Billets doux
et
Fonds de tiroir

Représentation du Capital Salarial par groupe de salaire et multiplié par le salaire du groupe.
Cet indicateur donne le poids économique de chaque groupe dans la société globale, sous le SEUL aspect des salaires.

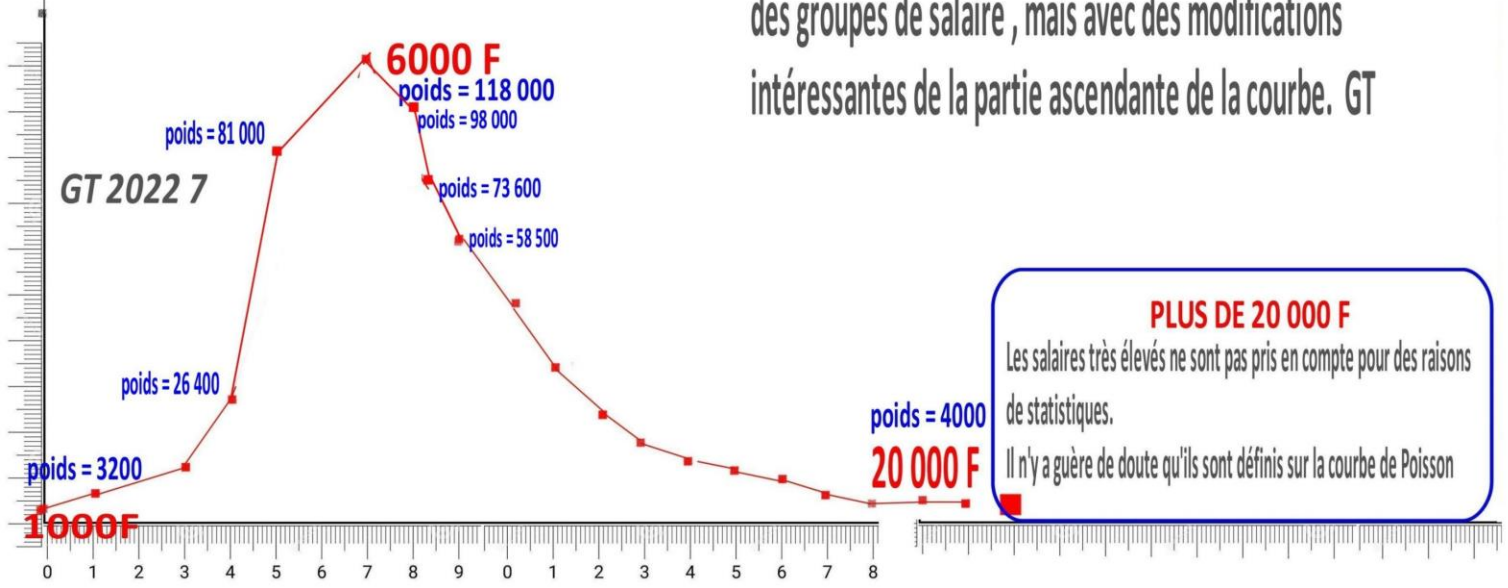

Cette courbe a été construite à la main, d'où quelques imperfections graphiques GT

La courbe de répartition des Salaires est une **courbe de Poisson** où "**courbe épidémique**" lorsqu'elle est continue.
On constate qu'il en va de même de la courbe du POIDS des groupes de salaire , mais avec des modifications intéressantes de la partie ascendante de la courbe. GT

PLUS DE 20 000 F

Les salaires très élevés ne sont pas pris en compte pour des raisons de statistiques.

Il n'y a guère de doute qu'ils sont définis sur la courbe de Poisson

Cette courbe a été établie pour des raisons didactiqu
sur les Salaires Hommes Suisse 2020.

Répartition des salariés selon les classes de salaires, en 2020

Salaire mensuel net, secteur privé et secteur public ensemble

	Femmes	Hommes
0–1 000	9,9%	3,4%
1 001–2 000	10,4%	3,1%
2 001–3 000	13,3%	3,2%
3 001–4 000	16,1%	6,6%
4 001–5 000	17,4%	16,2%
5 001–6 000	12,3%	19,8%
6 001–7 000	7,8%	14,0%
7 001–8 000	4,5%	9,2%
8 001–9 000	2,6%	6,5%
9 001–10 000	1,6%	4,7%
10 001–11 000	1,0%	3,2%
11 001–12 000	0,6%	2,2%
12 001–13 000	0,4%	1,5%
13 001–14 000	0,3%	1,1%
14 001–15 000	0,2%	0,8%
15 001–16 000	0,1%	0,6%
16 001–17 000	0,1%	0,4%
17 001–18 000	0,1%	0,3%
18 001–19 000	0,0%	0,3%
19 001–20 000	0,0%	0,2%
20 001+	0,3%	1,7%

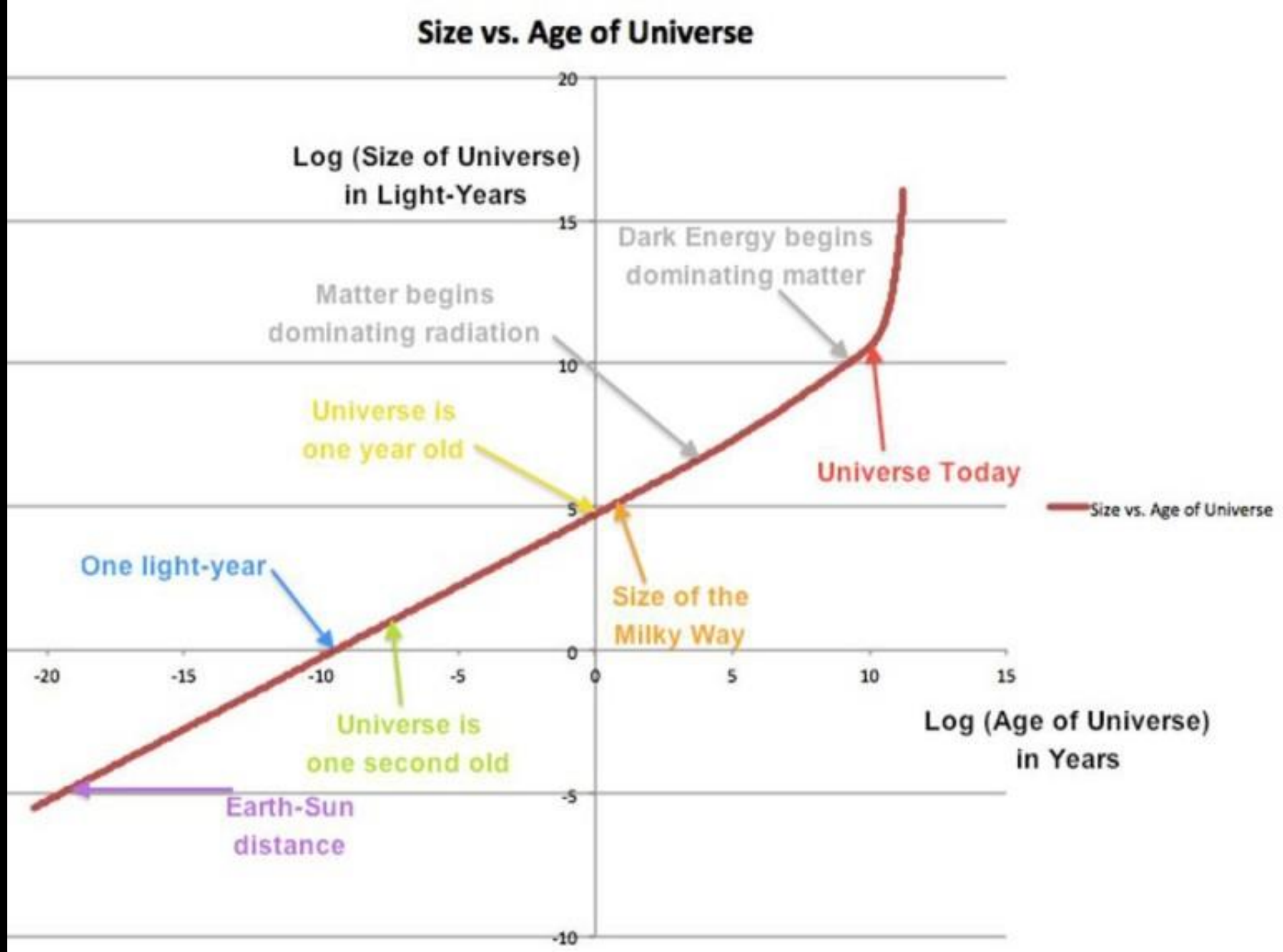
Size vs. Age of Universe
Log (Size of Universe) in Light-Years
20
15
10
5
0
-5
-10
-20
-15
-10
-5
0
5
10
15
Log (Age of Universe) in Years
Dark Energy begins dominating matter
Matter begins dominating radiation
Universe is one year old
Universe Today
One light-year
Size of the Milky Way
Universe is one second old
Earth-Sun distance
Size vs. Age of Universe

Le graviton est un boson de spin 2 non massif se déplaçant à la vitesse c =1, majorana, et selon une géodésique nulle. Sa charge est inconnue.

1 Lorsque le graviton rencontre un trou noir, est-il absorbé par le trou noir, ou le traverse-t-il comme du beurre frais ?

2 Cette question est-elle totalement idiote ?

Rayer la mention inutile :

Oui non je ne sais pas

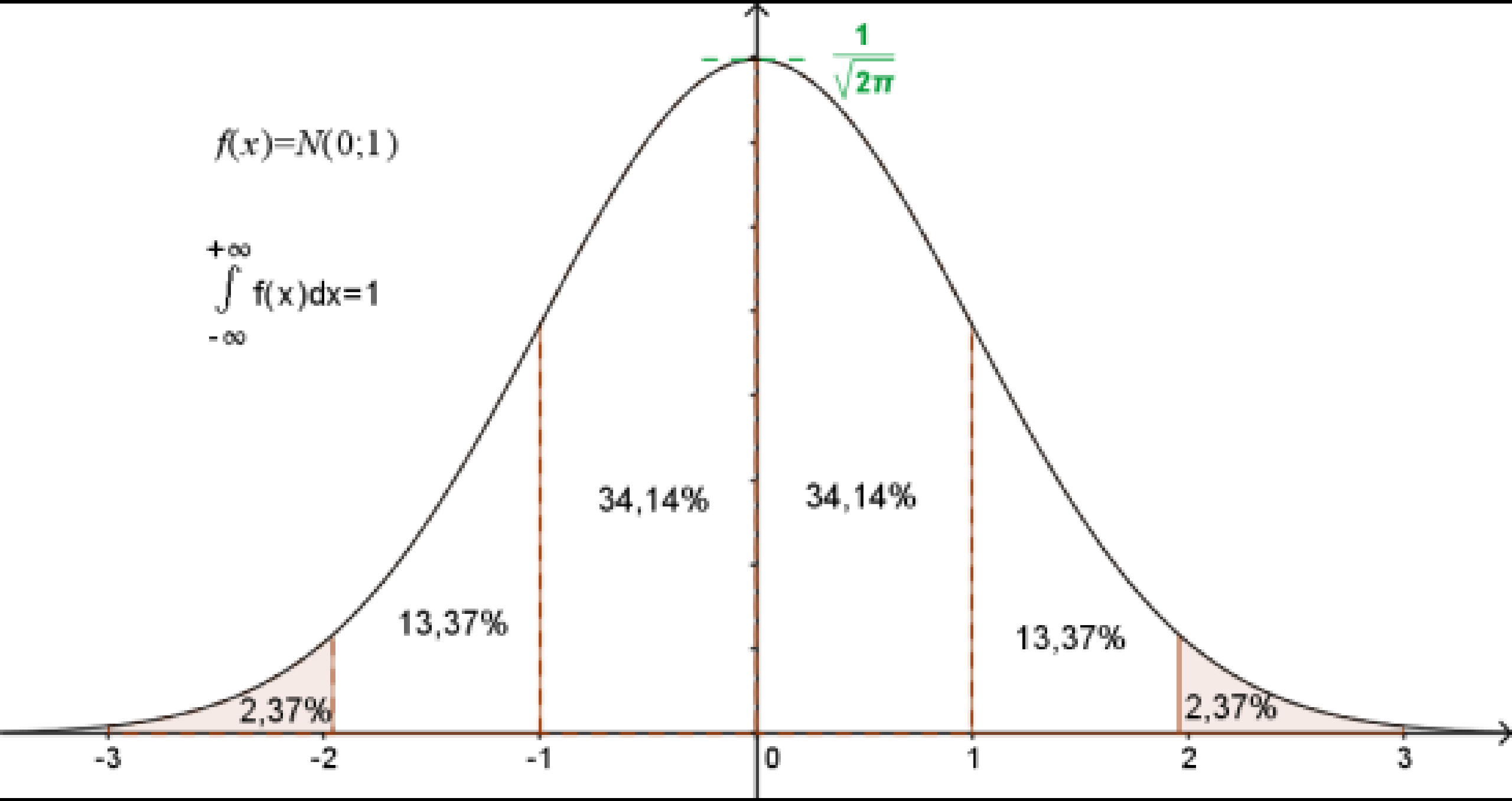
$f(x)=N(0;1)$
$\int_{-\infty}^{+\infty} f(x)dx=1$
$\frac{1}{\sqrt{2\pi}}$
34,14%
34,14%
13,37%
13,37%
2,37%
2,37%
-3
-2
-1
0
1
2
3

La masturbation rend les femmes intelligentes.

Elles ont QUATRE cerveaux :

Deux en haut pour satisfaire aux exigences sociales

Un dans leur appareil gastro-intestinal

Et un quatrième, le cerveau hormonal qui se manifeste clairement lorsqu'elles sont en folie, leurs seins et leur sexe devenant la seule chose importante de leur vie.

« Le corps des complexes est algébriquement clos ». Il n'y a pas d'extension possible de cette propriété ! On oublie un détail : les complexes algébriques ont la puissance du dénombrable, mais les complexes TRANSCENDANTS ont la puissance du continu !

Il n'y a pas de construction possible des transcendants. Nous sommes perdus au milieu d'un océan de nombres auxquels nous ne comprenons rien… GT 2021 5 5

Notifications

Nouvelles

1 épingle du tableau **SLAVA !** a été enregistrée

Alleluia !!

VIE

Vie

Attractive a répondu à votre commentaire 8 h

"Ce que je compte faire ? Bloquer ta gueule quand tu auras lu ce message. Au moins tu ne verras plus d'épingles que tu considères comme du "spam". Si faire connaître nos articles de blogs c'est pour toi du spam, va falloir sérieusement réviser la définition de ce mot"

CROISSANCE DE LA POPULATION MONDIALE

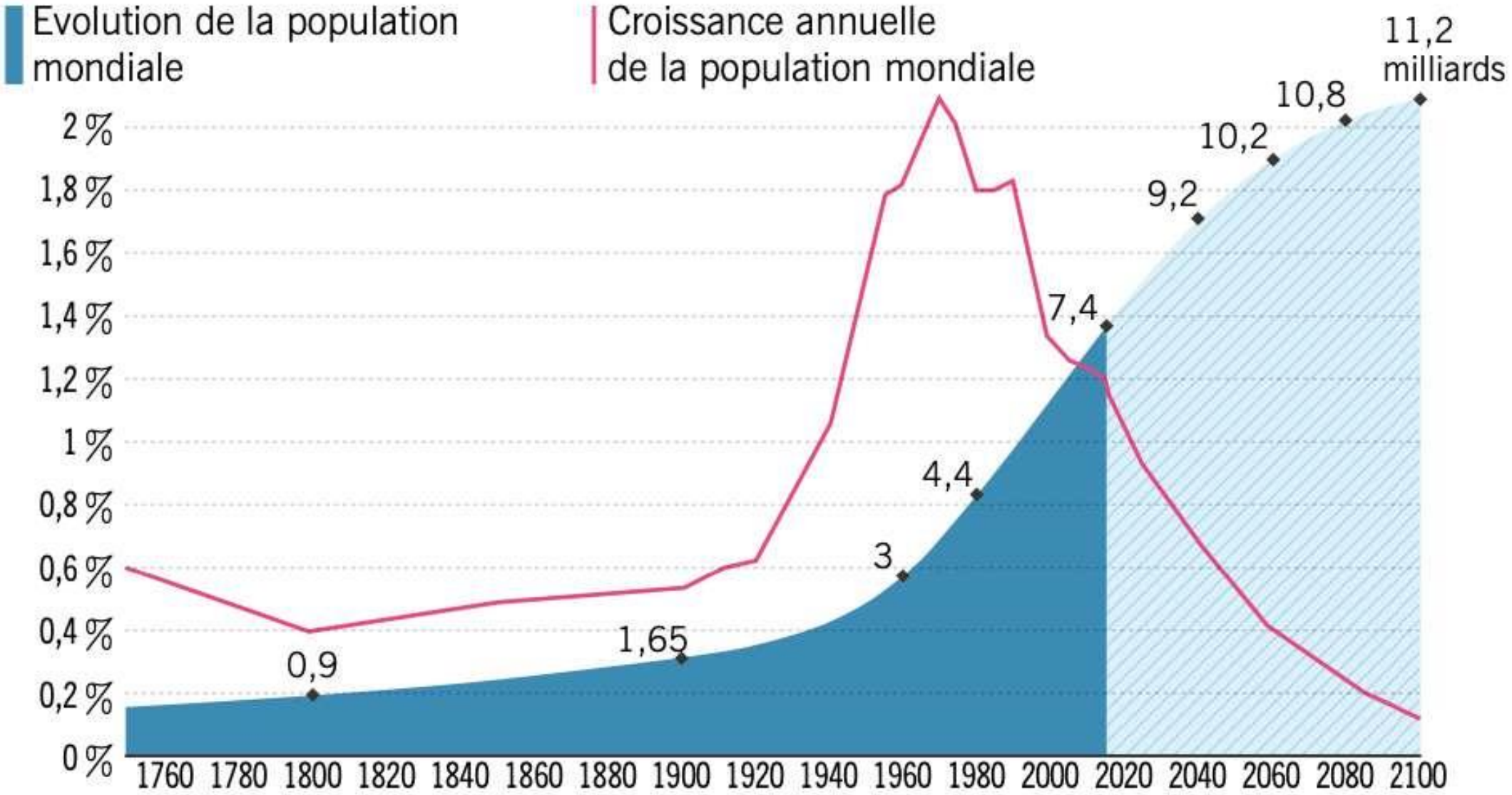

En bosonisant deux cordes ouvertes de façon à obtenir un graviton, on doit supprimer la partie antisymétrique du tenseur énergie-impulsion.

Mais celle-ci ne disparaît pas du bilan, et elle est transformée en énergie de torsion du vide, l'axion.

Rayer la mention inutile :

Tout à fait idiot -Pas bête -Je ne sais pas

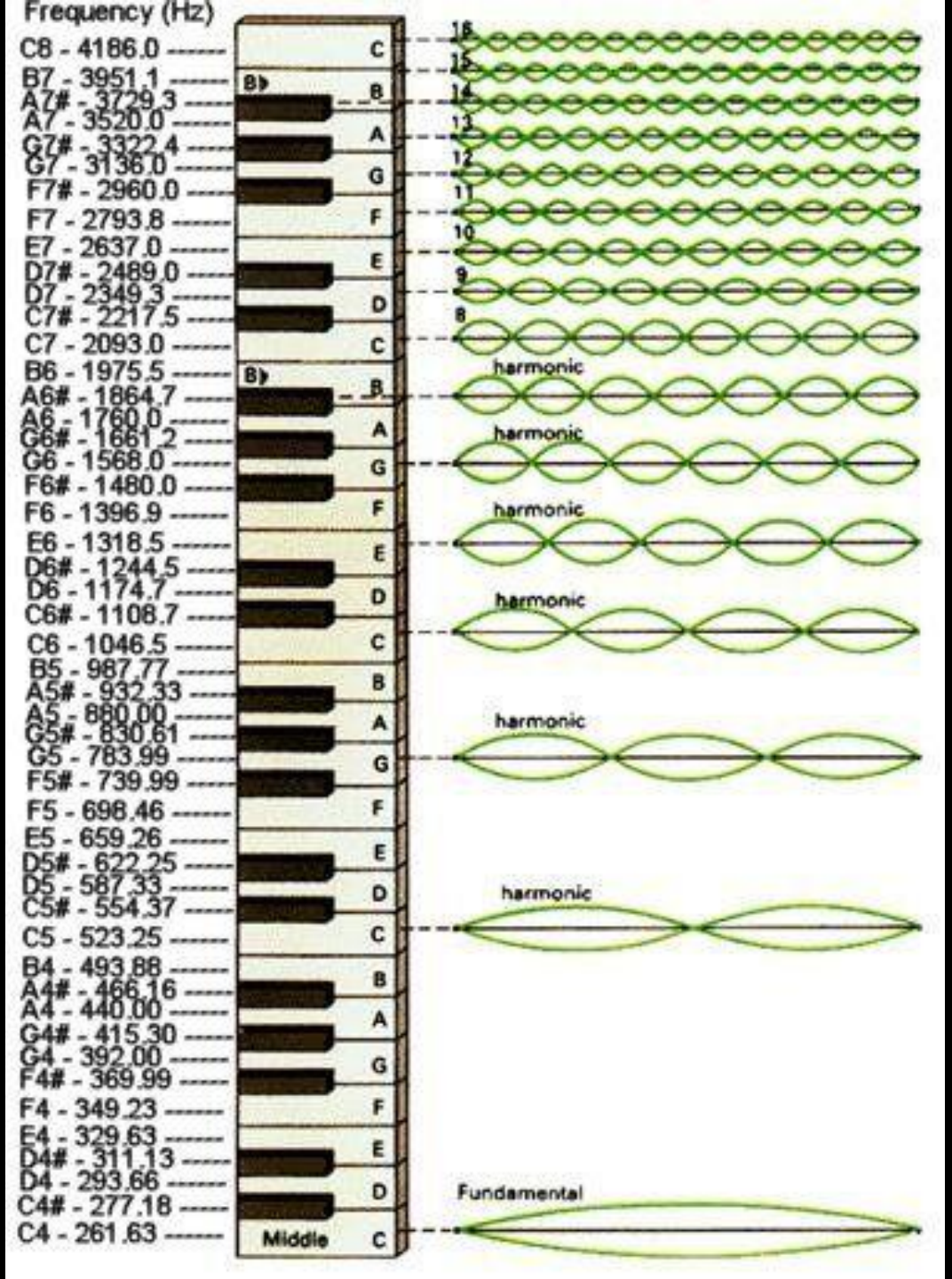
Frequency (Hz)
C8 - 4186.0
B7 - 3951.1
A7# - 3729.3
A7 - 3520.0
G7# - 3322.4
G7 - 3136.0
F7# - 2960.0
F7 - 2793.8
E7 - 2637.0
D7# - 2489.0
D7 - 2349.3
C7# - 2217.5
C7 - 2093.0
B6 - 1975.5
A6# - 1864.7
A6 - 1760.0
G6# - 1661.2
G6 - 1568.0
F6# - 1480.0
F6 - 1396.9
E6 - 1318.5
D6# - 1244.5
D6 - 1174.7
C6# - 1108.7
C6 - 1046.5
B5 - 987.77
A5# - 932.33
A5 - 880.00
G5# - 830.61
G5 - 783.99
F5# - 739.99
F5 - 698.46
E5 - 659.26
D5# - 622.25
D5 - 587.33
C5# - 554.37
C5 - 523.25
B4 - 493.88
A4# - 466.16
A4 - 440.00
G4# - 415.30
G4 - 392.00
F4# - 369.99
F4 - 349.23
E4 - 329.63
D4# - 311.13
D4 - 293.66
C4# - 277.18
C4 - 261.63
Middle
16
15
14
13
12
11
10
9
8
harmonic
harmonic
harmonic
harmonic
harmonic
harmonic
Fundamental

LE BEL ÉTÉ 1914,

Film

de Christian de Chalonges, datant de la préhistoire, l'une des merveilles du cinéma (incidemment français),

introuvable,

non édité,

inconnu… **GT**

Le 16 Août Moins 1000 BCE,
par précession des équinoxes,
le point Omega de l'entrée dans la Sasion Sombre est
juste sur le méridien d'Arcturus = Arkht-Ourgos.
L'Assomption de la Vierge et la célébration de Lugh na Sadh
sont à la même date.
Par précession, Lugh na Sadh va se déplacer vers la Tête de la Vierge.
Serpente à cornes =
Brigidd (Gundestrup)
Bouvier = Gardien des Ourses d'Artémis
Vierge Astraea
Torque de Môn
Chaudron de Gundestrup
colure Omega
NE
E
SE
Lion
Chiens de chasse
Chevelure de Bérénice
Bouvier
Arcturus
Couronne boréale
Hercule
Vierge
Spica
Mercure
Soleil
Sextant
Hydre Femelle
Coupe
Corbeau
Machine pneumatique
Boussole
Voiles
Carène
Serpent
Balance
Centaure
Croix du Sud
Mimosa
Acrux
Serpentaire
Antarès
Loup
Hadar
Mouche
Écliptique (de la date)
Colure équinoxial
Date et heure
-1000 – 8 – 16
FOV 98.9°
16 FPS
-1000-08-16 08:19:10 UTC+00:09 (TSLM)

GW170817: Observation of Gravitational Waves from a Binary Neutron Star Inspiral

B. P. Abbott *et al.*[*]
(LIGO Scientific Collaboration and Virgo Collaboration)

(Received 26 September 2017; revised manuscript received 2 October 2017; published 16 October 2017)

On August 17, 2017 at 12:41:04 UTC the Advanced LIGO and Advanced Virgo gravitational-wave detectors made their first observation of a binary neutron star inspiral. The signal, GW170817, was detected with a combined signal-to-noise ratio of 32.4 and a false-alarm-rate estimate of less than one per 8.0×10^4 years. We infer the component masses of the binary to be between 0.86 and 2.26 $M_\odot$, in agreement with masses of known neutron stars. Restricting the component spins to the range inferred in binary neutron stars, we find the component masses to be in the range 1.17–1.60 $M_\odot$, with the total mass of the system $2.74^{+0.04}_{-0.01} M_\odot$. The source was localized within a sky region of 28 deg^2 (90% probability) and had a luminosity distance of 40^{+8}_{-14} Mpc, the closest and most precisely localized gravitational-wave signal yet. The association with the γ-ray burst GRB 170817A, detected by Fermi-GBM 1.7 s after the coalescence, corroborates the hypothesis of a neutron star merger and provides the first direct evidence of a link between these mergers and short γ-ray bursts. Subsequent identification of transient counterparts across the electromagnetic spectrum in the same location further supports the interpretation of this event as a neutron star merger. This unprecedented joint gravitational and electromagnetic observation provides insight into astrophysics, dense matter, gravitation, and cosmology.

DOI: 10.1103/PhysRevLett.119.161101

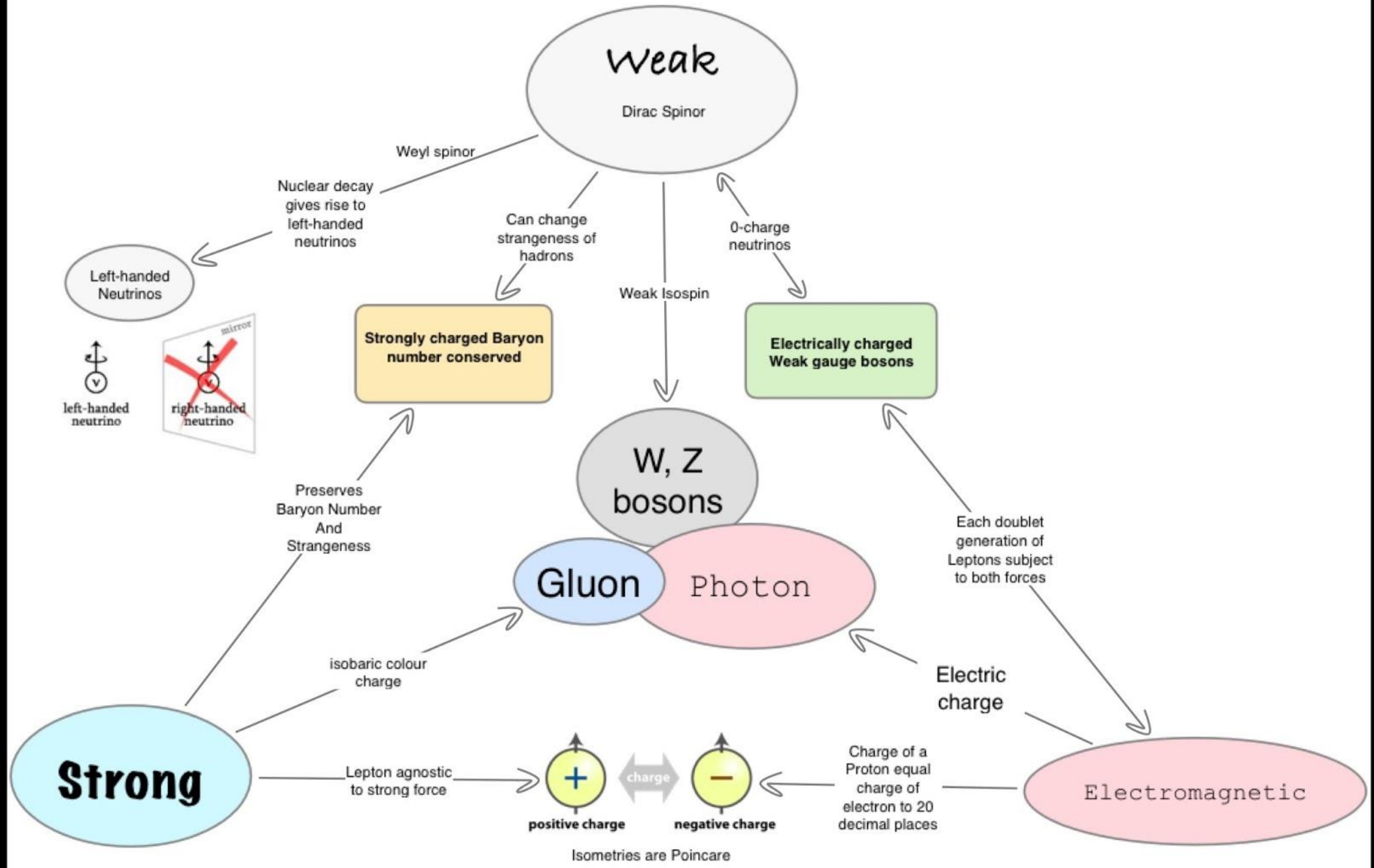
Weak
Dirac Spinor
Weyl spinor
Nuclear decay gives rise to left-handed neutrinos
Can change strangeness of hadrons
Weak Isospin
0-charge neutrinos
Left-handed Neutrinos
left-handed neutrino
mirror
right-handed neutrino
Strongly charged Baryon number conserved
Electrically charged Weak gauge bosons
W, Z bosons
Gluon
Photon
Preserves Baryon Number And Strangeness
Each doublet generation of Leptons subject to both forces
isobaric colour charge
Electric charge
Strong
Lepton agnostic to strong force
+
charge
−
positive charge
negative charge
Charge of a Proton equal charge of electron to 20 decimal places
Electromagnetic
Isometries are Poincare

Classical Solutions in Quantum Field Theory

Solitons and Instantons in High Energy Physics

Erick J. Weinberg

CAMBRIDGE MONOGRAPHS
ON MATHEMATICAL PHYSICS

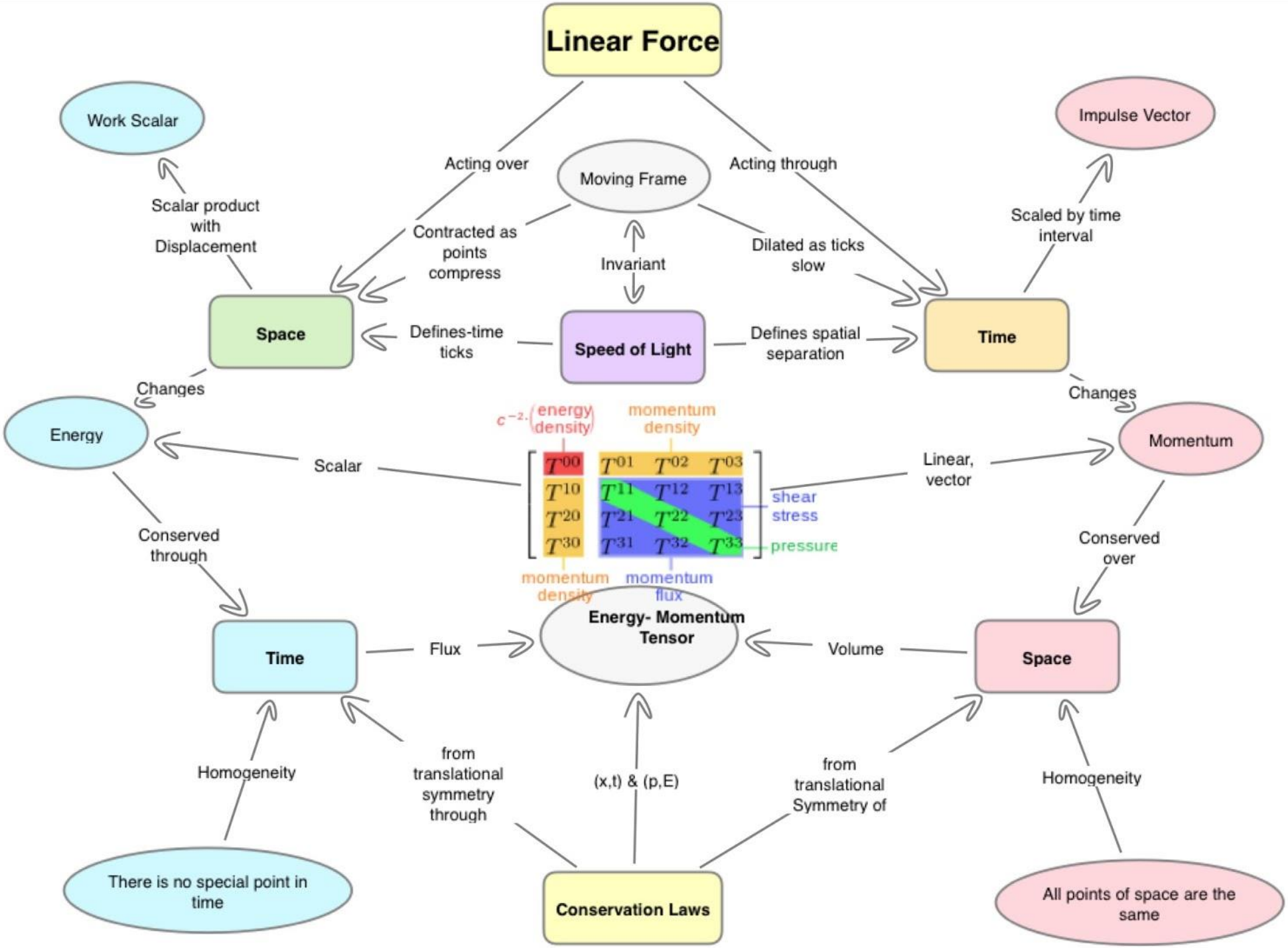
Linear Force
Work Scalar
Impulse Vector
Acting over
Moving Frame
Acting through
Scalar product with Displacement
Contracted as points compress
Invariant
Dilated as ticks slow
Scaled by time interval
Space
Defines-time ticks
Speed of Light
Defines spatial separation
Time
Changes
Changes
Energy
c^{-2}·(energy density)
momentum density
Momentum
Scalar
T^{00} T^{01} T^{02} T^{03}
T^{10} T^{11} T^{12} T^{13}
T^{20} T^{21} T^{22} T^{23}
T^{30} T^{31} T^{32} T^{33}
shear stress
pressure
Linear, vector
Conserved through
momentum density
momentum flux
Conserved over
Energy- Momentum Tensor
Time
Flux
Volume
Space
Homogeneity
from translational symmetry through
(x,t) & (p,E)
from translational Symmetry of
Homogeneity
There is no special point in time
Conservation Laws
All points of space are the same

1728

OU : COMMENT RATER UNE MARCHE ?

Gérôme XY Taillandier

Hardy rend visite à Ramanujan malade, à l'hôpital. On connaît la suite. Hardy dit à Ramanujan que le numéro de son taxi était 1729, nombre banal au possible. Ramanujan lui objecte que ce nombre est remarquable puisqu'il est le premier Taxicab découvert, un nombre qui peut se décomposer de deux manières différentes en somme de deux cubes.

Ces deux hommes se quittent. Ils savent l'un et l'autre fort bien que le nombre 1728 a une importance cruciale en mathématiques, puisque ce nombre est le premier coefficient de la fonction de Jacobi, ce qu'ils ne peuvent ignorer, puisqu'ils baignent dedans toute la journée.

Si l'un d'eux avait remarqué ce qu'ils n'ignoraient pas, que

$$j(i) + 1 = 1729,$$

ils auraient alors pû, dans ces circonstances affligeantes, constater que

$$\Theta_\Lambda(\tau) / \Delta(\tau) = j(\tau) + 24$$

et découvrir en un éclair le chemin qui mène au Monstre.

1965

Varga : Les Créatures

Polanski : Répulsion

Cul de Sac

Les Dimanches de Ville-d'Avray

Guillermin : Rags

Bergman : Persona

Manuscrit trouvé à Saragosse

L'immortelle

Trans-Europe-Express

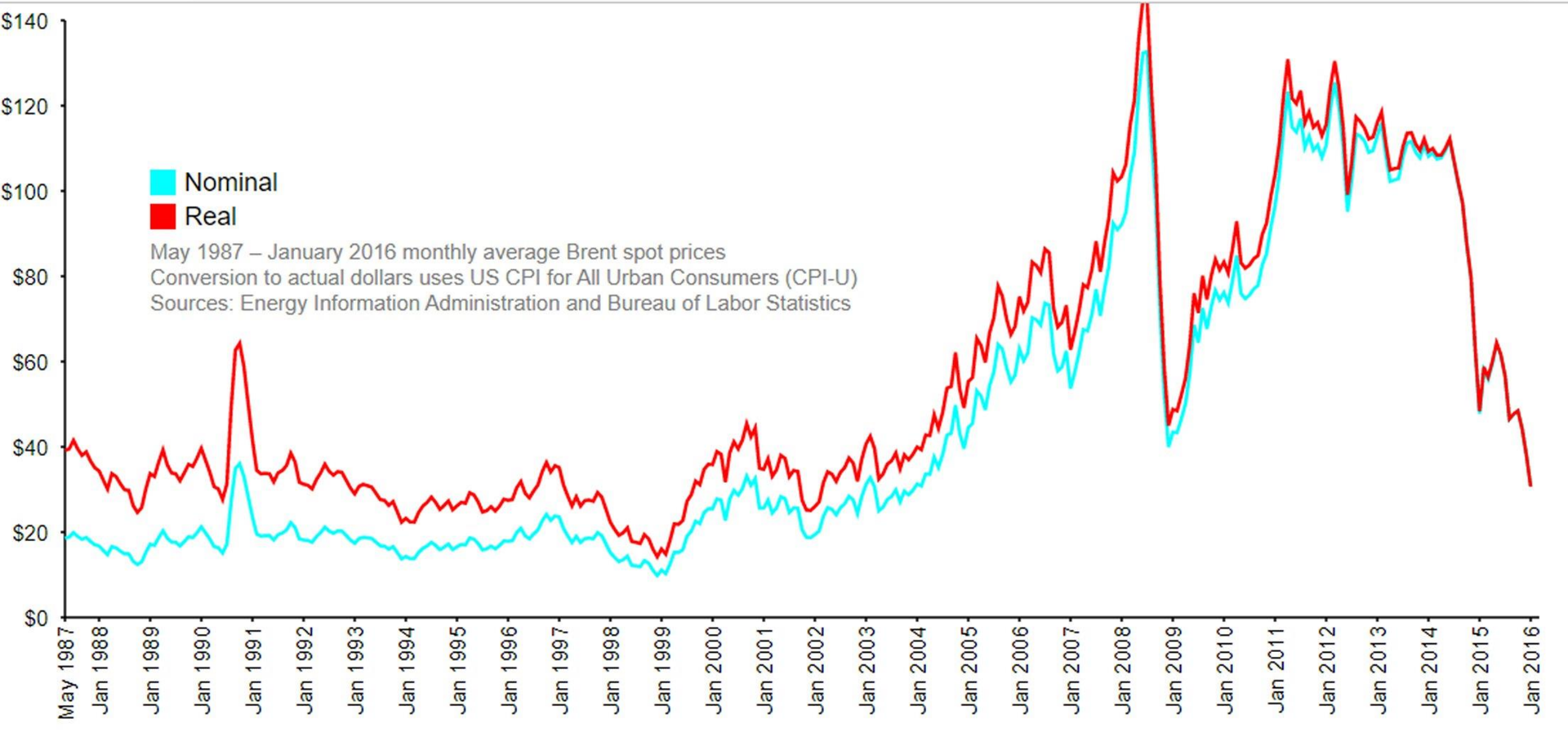
$140
$120
$100
$80
$60
$40
$20
$0
Nominal
Real
May 1987 – January 2016 monthly average Brent spot prices
Conversion to actual dollars uses US CPI for All Urban Consumers (CPI-U)
Sources: Energy Information Administration and Bureau of Labor Statistics
May 1987
Jan 1988
Jan 1989
Jan 1990
Jan 1991
Jan 1992
Jan 1993
Jan 1994
Jan 1995
Jan 1996
Jan 1997
Jan 1998
Jan 1999
Jan 2000
Jan 2001
Jan 2002
Jan 2003
Jan 2004
Jan 2005
Jan 2006
Jan 2007
Jan 2008
Jan 2009
Jan 2010
Jan 2011
Jan 2012
Jan 2013
Jan 2014
Jan 2015
Jan 2016

GW170817: Observation of Gravitational Waves from a Binary Neutron Star Inspiral

2017

For first time, speed of light and speed of gravitation are demonstrated to be the same.

B. P. Abbott *et al.*[*]
(LIGO Scientific Collaboration and Virgo Collaboration)

(Received 26 September 2017; revised manuscript received 2 October 2017; published 16 October 2017)

On August 17, 2017 at 12:41:04 UTC the Advanced LIGO and Advanced Virgo gravitational-wave detectors made their first observation of a binary neutron star inspiral. The signal, GW170817, was detected with a combined signal-to-noise ratio of 32.4 and a false-alarm-rate estimate of less than one per 8.0×10^4 years. We infer the component masses of the binary to be between 0.86 and 2.26 $M_\odot$, in agreement with masses of known neutron stars. Restricting the component spins to the range inferred in binary neutron stars, we find the component masses to be in the range 1.17–1.60 $M_\odot$, with the total mass of the system $2.74^{+0.04}_{-0.01} M_\odot$. The source was localized within a sky region of 28 deg^2 (90% probability) and had a luminosity distance of 40^{+8}_{-14} Mpc, the closest and most precisely localized gravitational-wave signal yet. The association with the γ-ray burst GRB 170817A, detected by Fermi-GBM 1.7 s after the coalescence, corroborates the hypothesis of a neutron star merger and provides the first direct evidence of a link between these mergers and short γ-ray bursts. Subsequent identification of transient counterparts across the electromagnetic spectrum in the same location further supports the interpretation of this event as a neutron star merger. This unprecedented joint gravitational and electromagnetic observation provides insight into astrophysics, dense matter, gravitation, and cosmology.

DOI: 10.1103/PhysRevLett.119.161101

Cette locomotive porte le numéro 5972. Selon la conjecture de Goldbach, tout nombre pair est la somme de deux nombres premiers. Qui peut trouver ces deux nombres?
Vous avez jusqu'au 31 Octobre à minuit pour trouver. Ensuite vous serez transformé en citrouille.

$[a,[b,c]] + [b,[c,a]] + [c,[a,b]] = 0$ (R1)

+

$ab + ba = 0$ Graβmann (R2.1)

All symmetric forms are suppressed.

Remains a spinor algebra.

$[a,[b,c]] + [b,[c,a]] + [c,[b,a]] = 0$ (R1)

+

$ab + ba = 1$ Clifford (R2.2)

All antisymmetric forms are suppressed.

Évolution du nombre de naissances, de décès et du solde naturel depuis 1957

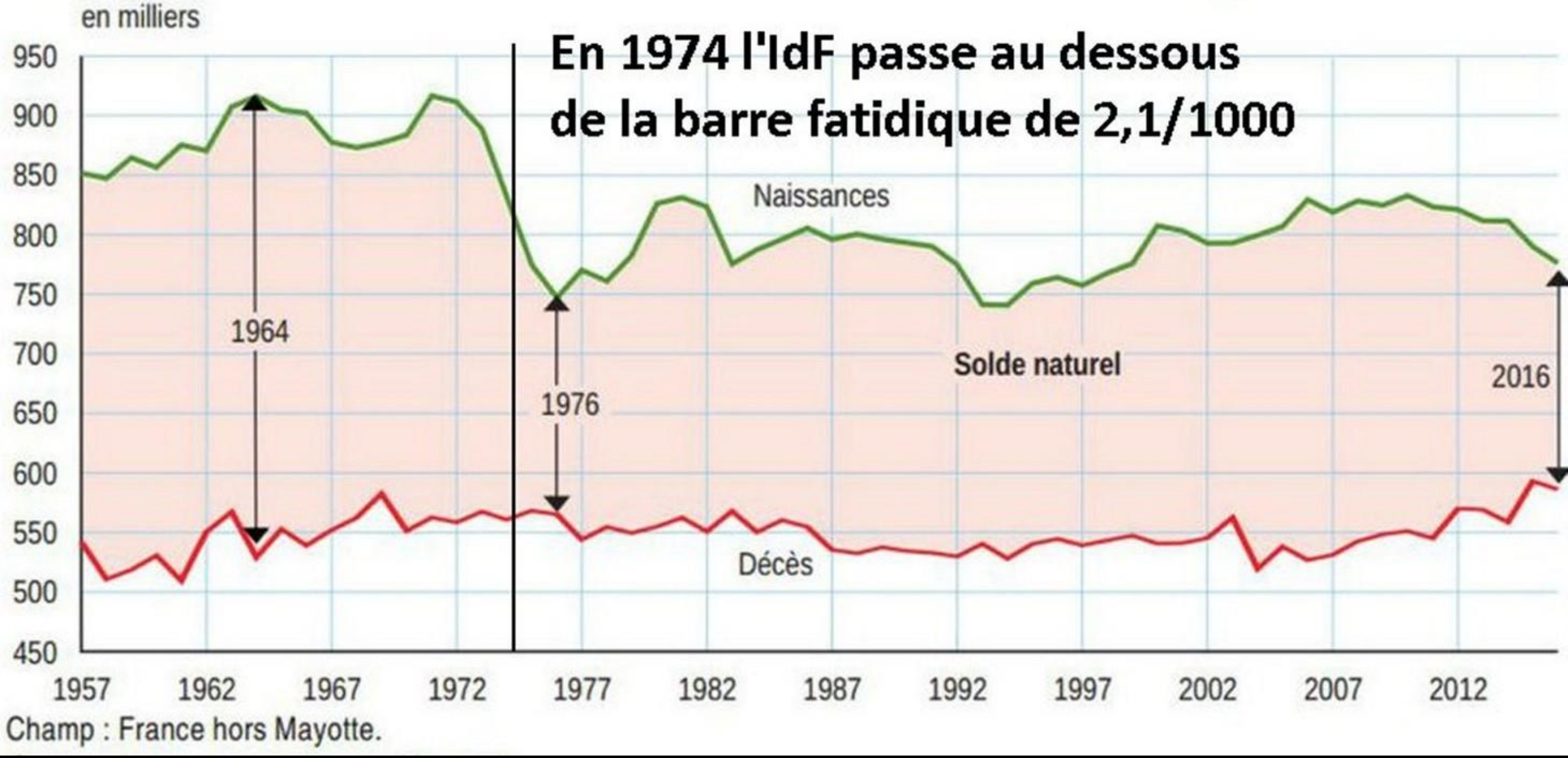

Champ : France hors Mayotte.

L'effet Bohm-Aharonov montre que l'espace est muni d'une connexité S^1.

Si on prolonge cet effet aux dimensions 3+1 et 6 + (3+1) = 10 de la supercorde, on peut se demander si ce prolongement aboutit à une connexité de l'espace-temps définie par une variété K3, qui serait la non-simple connexité correcte, obtenue à partir de cet effet.

Rayer la mention inutile :

idiot assez tordu jenesaispas

Il n'existe aucun repère inertiel dans lequel deux particules en mouvement inertiel peuvent être dans le même état quantique.

GT 2021 8 10

Mercredi 19, bus 91, je suis assis à la seule place réservée aux vioques. Foule de vieux qui viennent de prendre des vacances. Une petite vieille en bon état est juste à côté de moi pour me faire sentir qu'elle s'asseoirait bien sur mes genoux. Le vioque ne bouge pas…

Puis, le vioque prépare sa muleta et sa passe.

Il s'adresse à la vioque : « D'ordinaire je cède ma place mais aujourd'hui, j'ai décidé de la garder ». La vioque charge : « On voit bien que vous êtes un individu douteux… »

J'ajoute : « j'ai mes jours de bonté où je cède ma place aux vioques, mais pas aujourd'hui. »

Je laisse mariner la vioque.

Soudain je me lève l'air bonnasse et lui dis que je lui laisse volontiers la place.

Puis j'attaque à la lame. Juste derrière moi, il y a une jeunasse qui pense être de bonne famille et n'a à aucun moment proposé de céder SA place.

Je dis à la vioque : « Vous auriez pû solliciter cette dame de vous céder la sienne, car elle est jeune ».

Je n'insiste pas lourdement, pour lui faire comprendre qu'elle est assez lâche.

Je vais sortir.

La jeunasse me regarde avec mépris, tournant la tête de droite à gauche pour m'afficher son mépris. Je lui envoie une jolie bise avec un souffle pour lui faire sentir mon amour.

Olè !

Von Choltitz, à bientôt ! G T

1 Les lois de la physiques sont les mêmes dans tout repère inertiel.

2 La vitesse d'un boson de jauge non massif est indépendante de la vitesse de sa source.

3 La vitesse de la gravitation est indépendante de la vitesse de sa source.

Figure 2. Comparaison des projections de population publiées en 1981 et en 2017

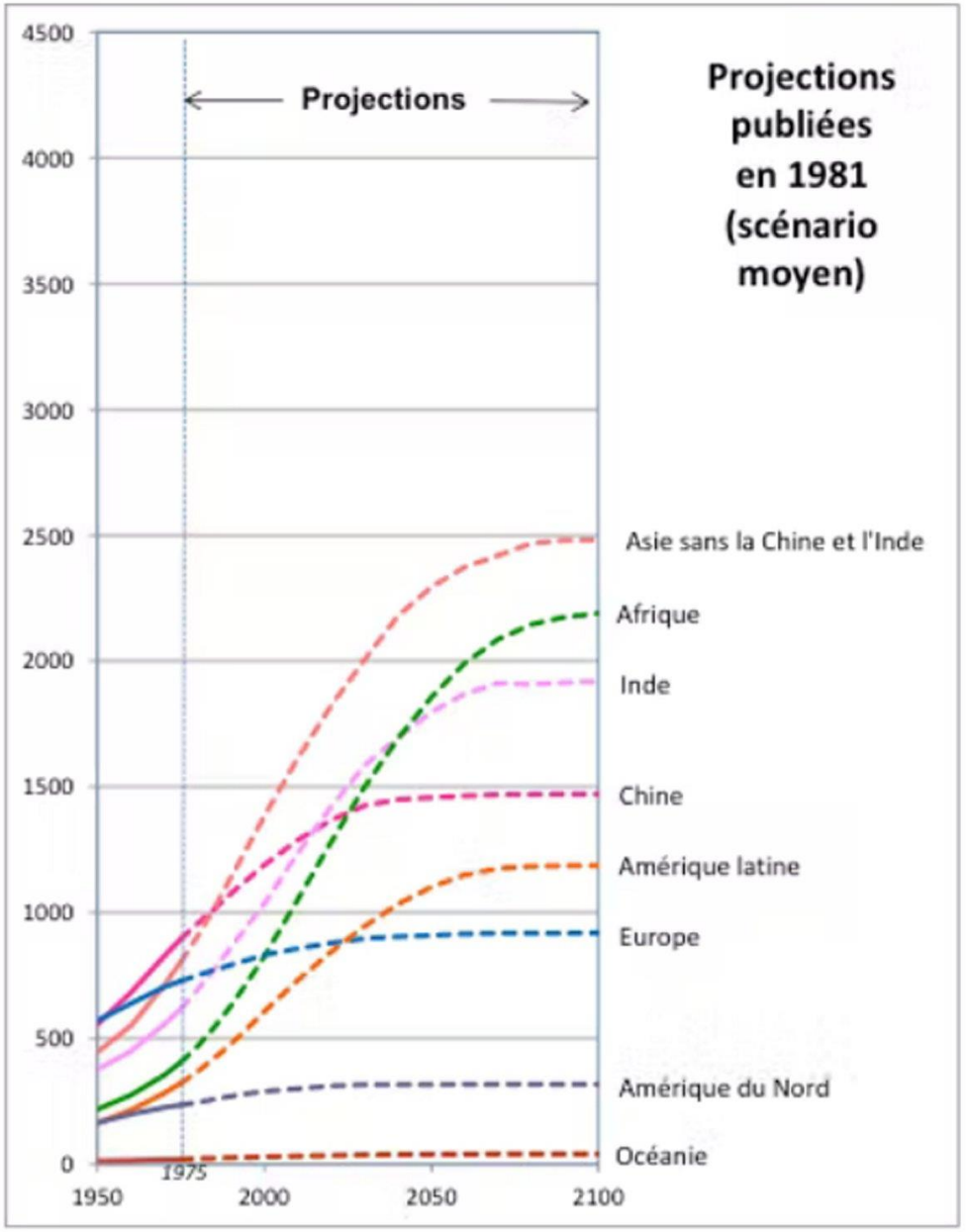

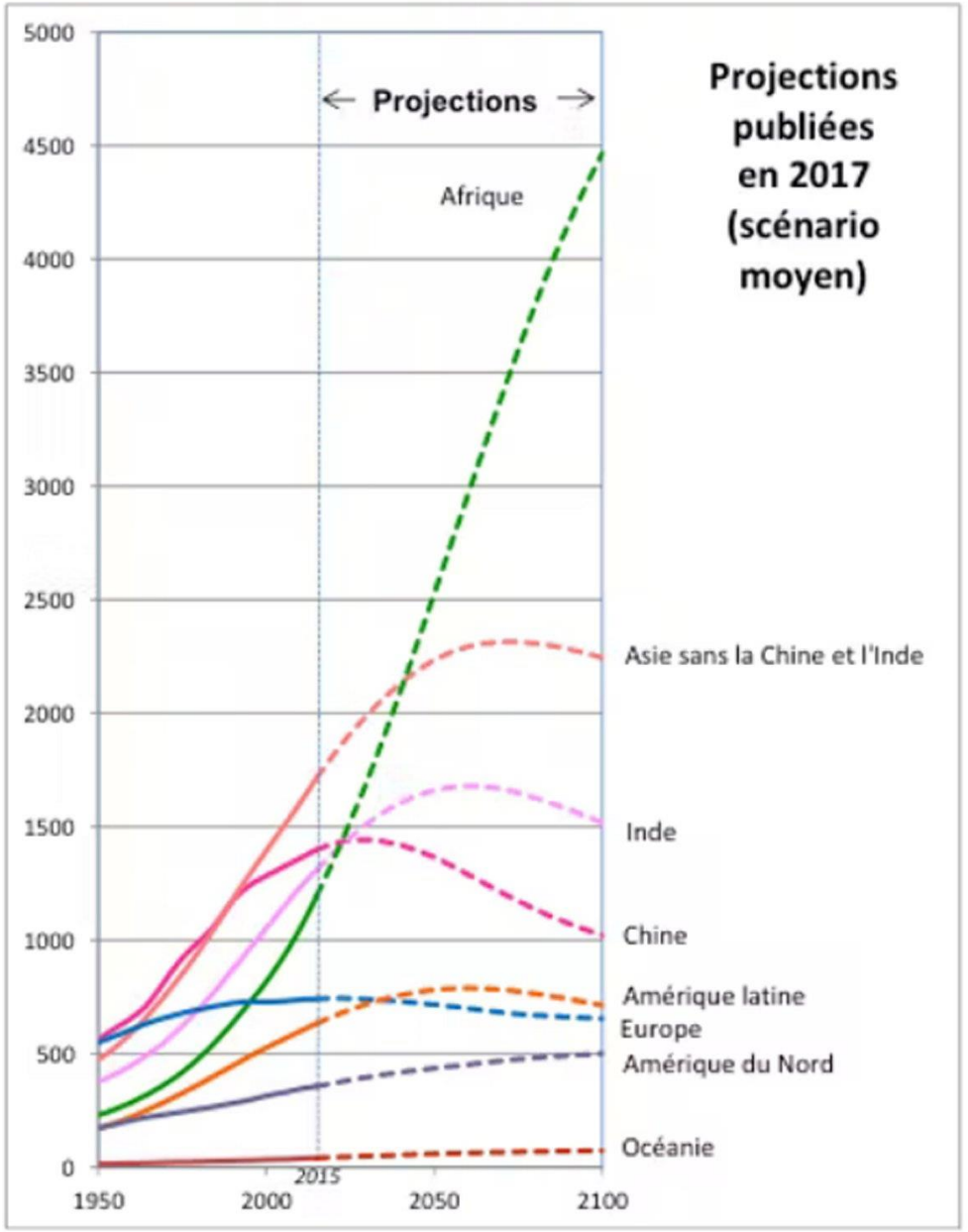

Lorsqu'une population donnée, homogène et stable, se trouve en état d'atomisation de ses intérêts de groupe, et forme des groupes fluents instables, ces conflits poussent au pouvoir de direction du groupe, la minorité dont les intérêts sont identiques, - et qui peut ainsi sans peine et avec l'accord tacite de la large majorité des sous-groupes en conflit, diriger la pop globale vers son abattoir.
GT 2022 5 17

Dans une société stable et homogène fonctionnant sur le principe one head-one vote, 80% des individus remettent aux 20% dominants le soin de régir leurs affaires à leur place.

En échange, les 20% dominants accaparent 80% du capital productif du groupe global.

La courbe de répartition de cet accaparement est une courbe de Poisson dont le lambda peut varier d'une société à l'autre selon son degré d'oligarchie.

Ce processus est universel et indépendant de la volonté des Sapiens qui le constituent.

Seuls de légers aménagements du lambda-Poisson sont sensibles à l'action des groupes sociaux, selon les modifications du mode de production en cours dans ce groupe.

GT 2022 6 19

"L'acte indique ce qui reste à désirer au-delà de la satisfaction"

J. Lacan, cité par Gérôme Taillandier:

Les Différents Sens d'un Acte",

Maîtrise de Philosophie, 1978

ACTE

Sa

Sinn

Sé

satisfaction

indication (Bedeutung)

ce qui reste à désirer

"L'acte indique ce qui reste à désirer au-delà de la satisfaction"

J. Lacan, cité par Gérôme Taillandier:

Les Différents Sens d'un Acte",

Maîtrise de Philosophie, 1978

I(A)

S(A-barré)

ACTE

Sa

Sinn

Sé

satisfaction

Φ(a)

indication (Bedeutung)

ce qui reste

à désirer

(a)

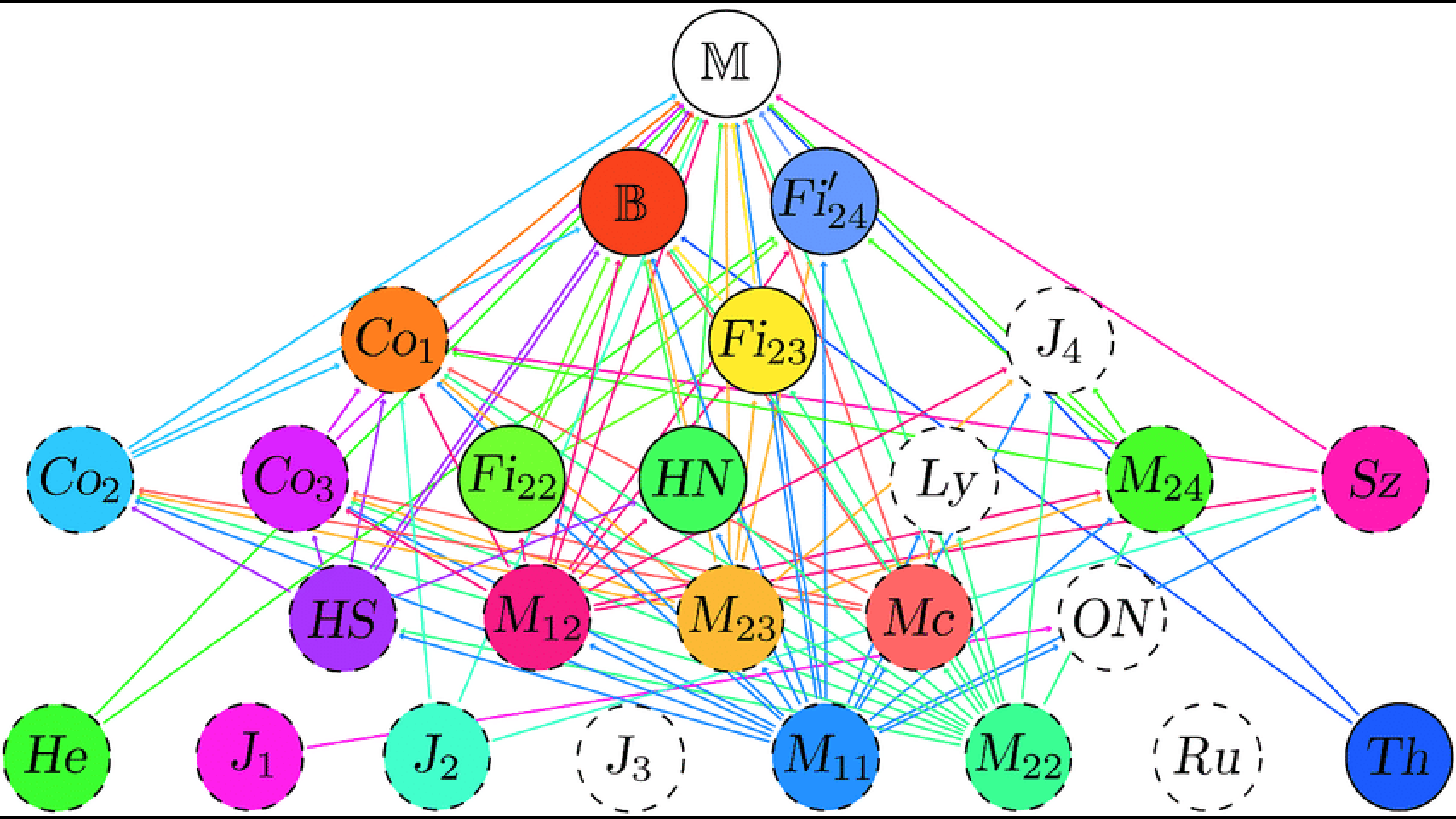
$\mathbb{M}$
$\mathbb{B}$
Fi'_{24}
Co_1
Fi_{23}
J_4
Co_2
Co_3
Fi_{22}
HN
Ly
M_{24}
Sz
HS
M_{12}
M_{23}
Mc
ON
He
J_1
J_2
J_3
M_{11}
M_{22}
Ru
Th

CORRESPONDANCE AdS-CFT

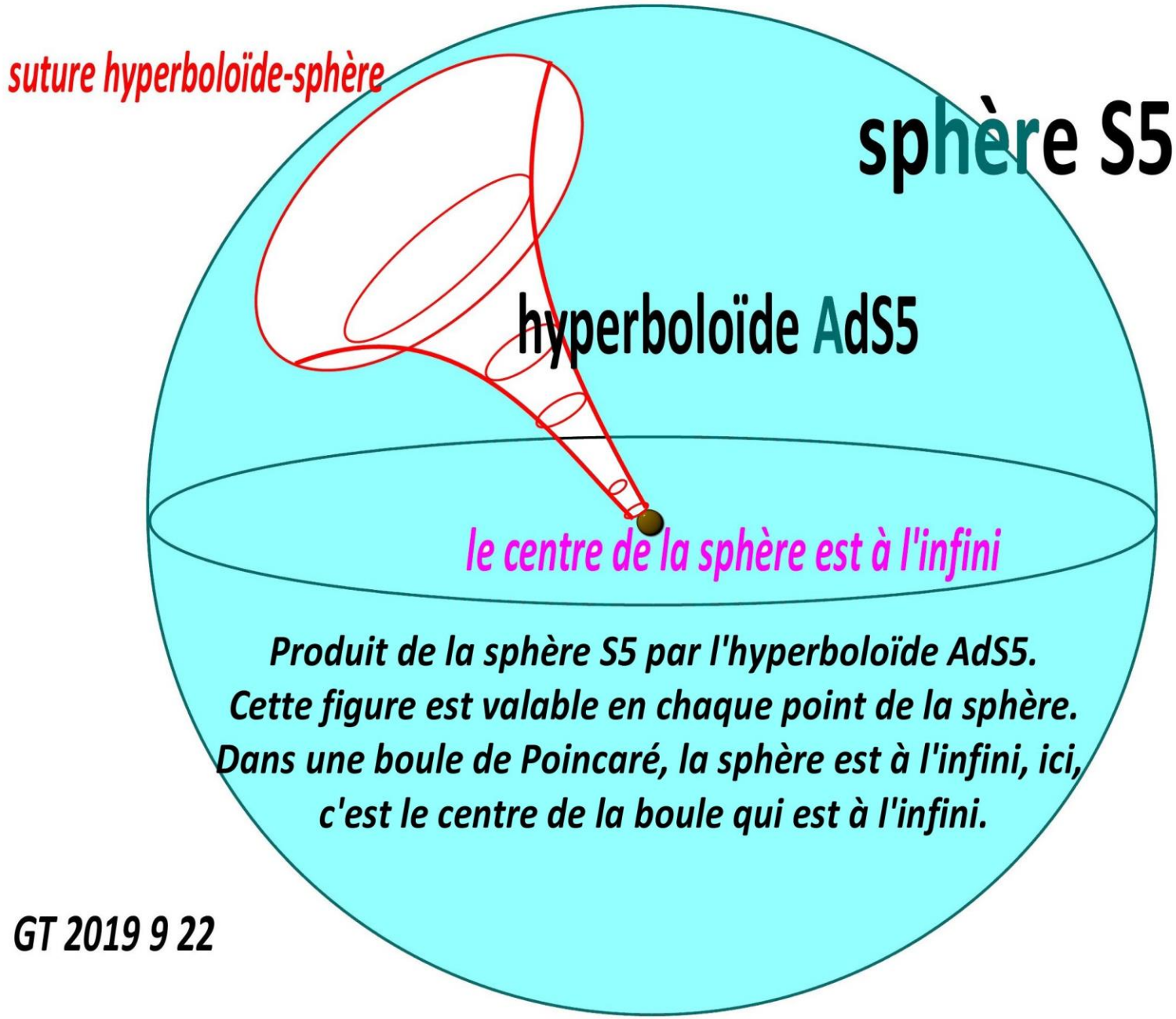

Produit de la sphère S5 par l'hyperboloïde AdS5.
Cette figure est valable en chaque point de la sphère.
Dans une boule de Poincaré, la sphère est à l'infini, ici,
c'est le centre de la boule qui est à l'infini.

GT 2019 9 22

correspondance AdS-CFT

la théorie de jauge conforme est sur la sphère S5

l'espace anti-de-Sitter simule

un espace-temps symétrique de la GR

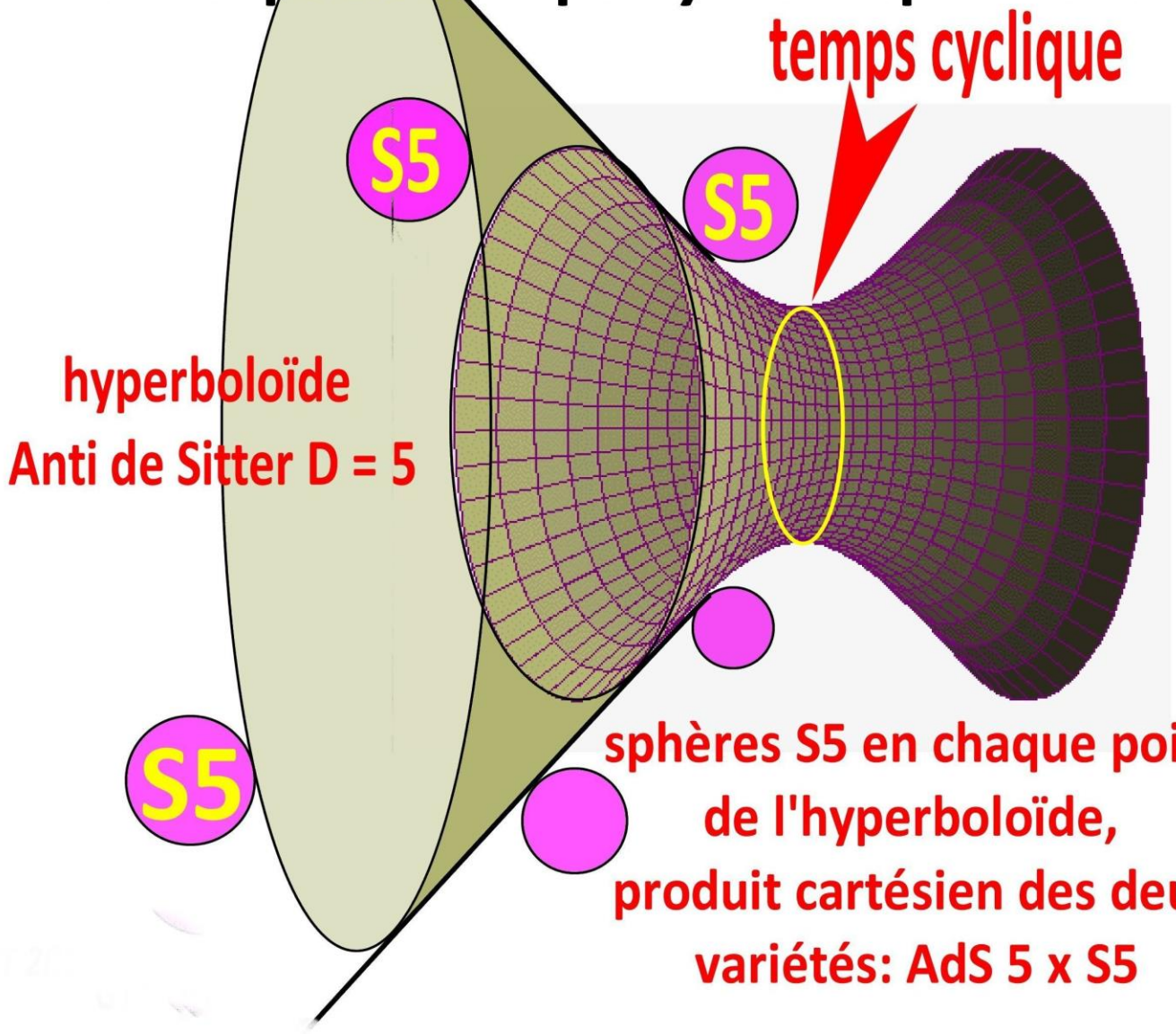

Dans ce schéma, on ne voit pas pourquoi la queue du conoïde ã (-t) ne se poursuit pas dans NOTRE univers, t >0.

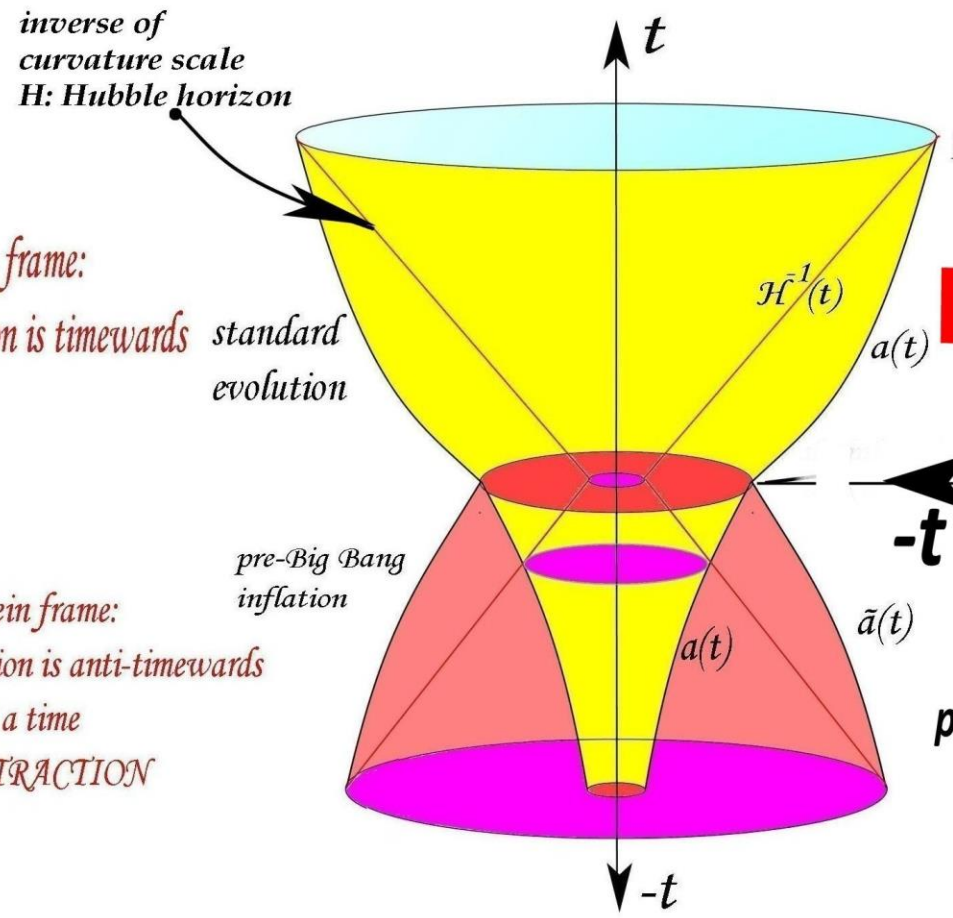

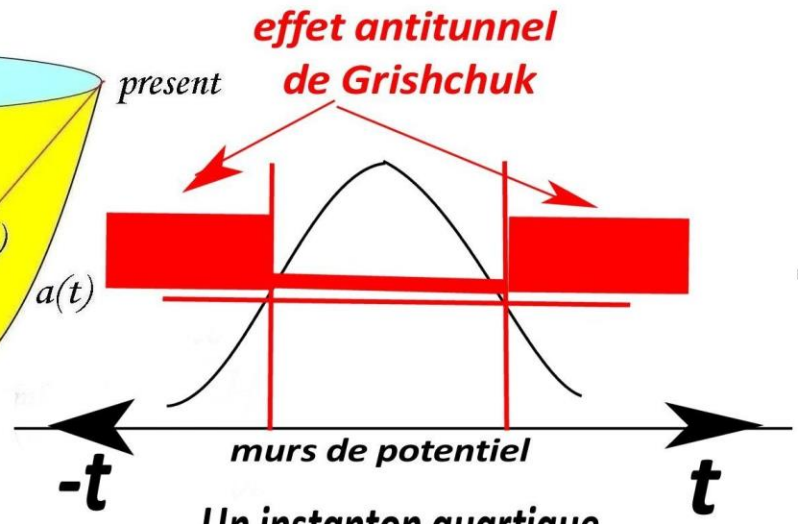

Un instanton quartique en t = 0 pompe le vide par effet-antitunnel et crée un flux de particules-antiparticules selon les directions t et -t.

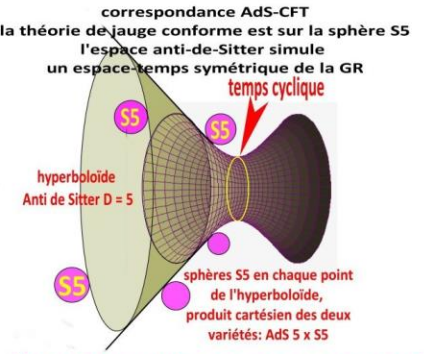

Cet instanton pourrait bien être une D-5brane AdS5 selon la proposition de Mannheim, tapant sur le vide

Hubble horizon and scale factor following Gasperini pre-Big Bang cosmology

L'existence de la "fluctuation quantique" en t = o paraît largement inutile.
Mais la symétrie exige que l'antimatière soit expulsée par effet-tunnel dans le pré-Big Bang.
Une D-brane paraît être le candidat idéal pour créer l'univers.

GT 2019.10

Figure 4 :
Taux de croissance de la population mondiale de 1700 à 2100

Figure 4:
World population growth rate from 1700 to 2100

Gilles Pison (d'après les données des Nations unies)
Gilles Pison (from UN data)

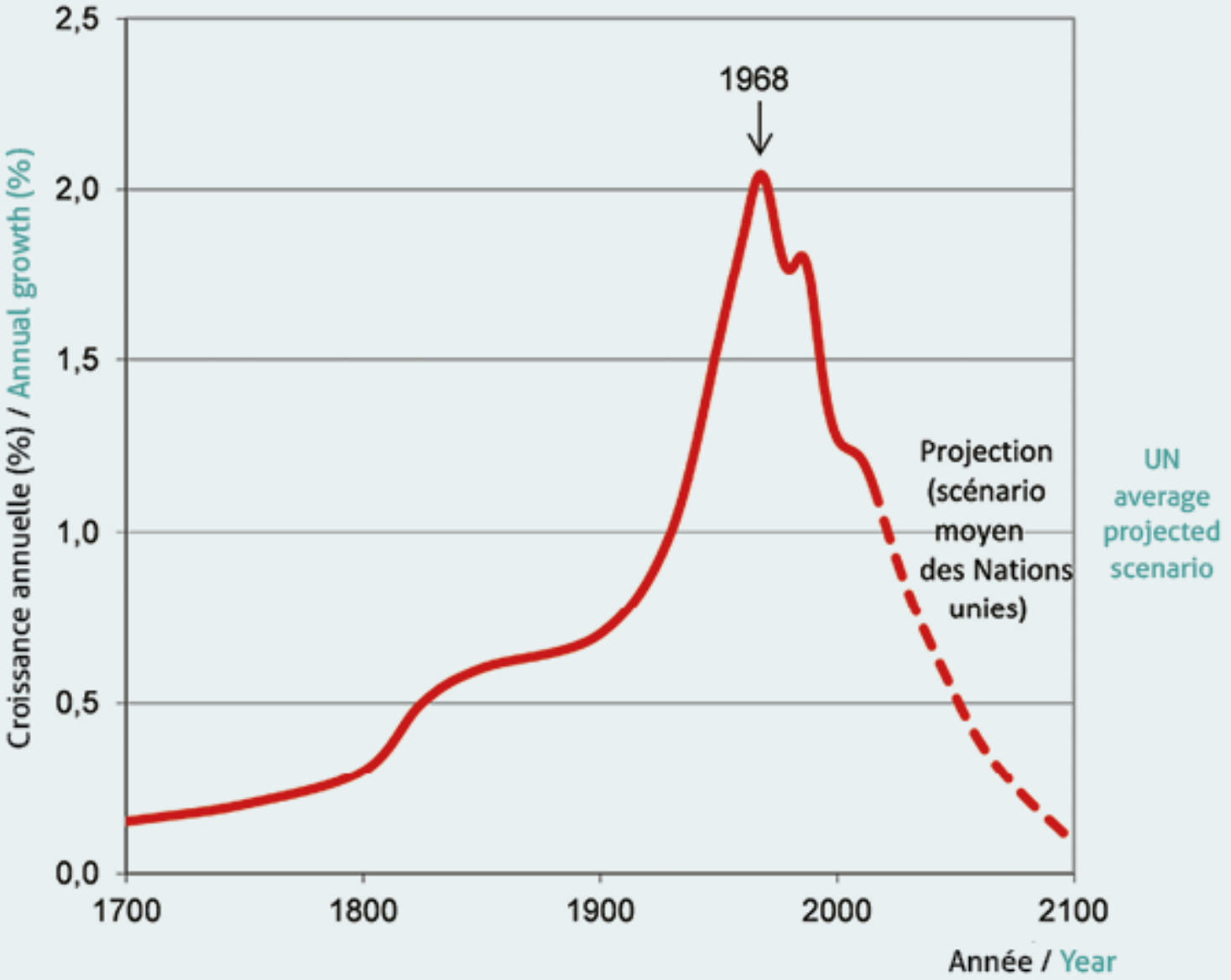

Aharonov-Bohm Effect

- A solenoid with the current is placed just behind the slits
- Uniform magnetic field is inside the solenoid
- Magnetic field outside is equal to zero
- But vector potential of the magnetic field is non-zero outside!

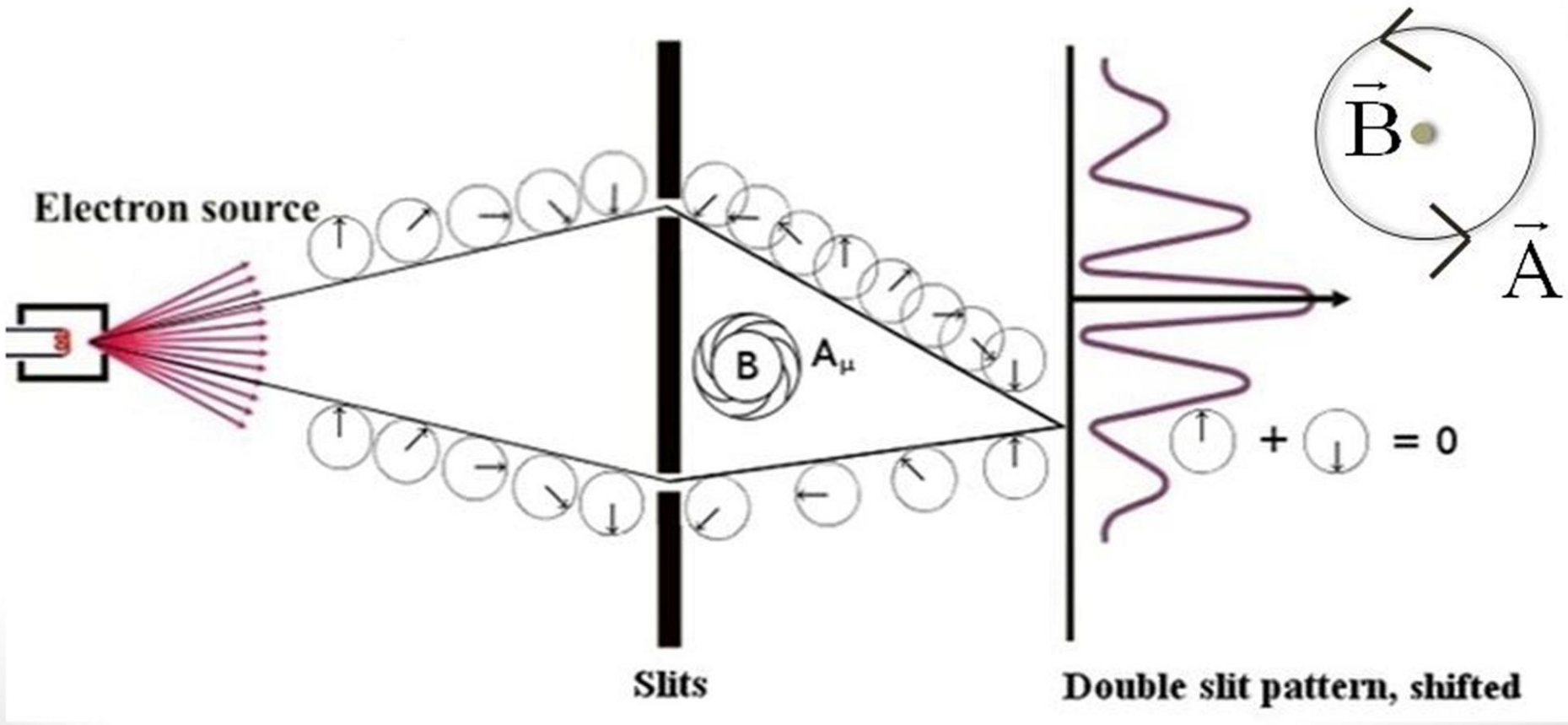

Alphabet Egyptien de Champollion le Jeune.

S. Grec	Signes Démotiques.	Signes Hiéroglyfiques.
A	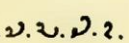	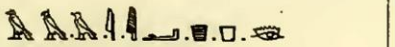
B	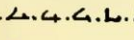	
Γ	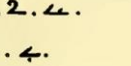	
Δ		
E		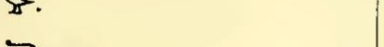
Z		
Θ	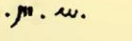	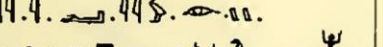
H	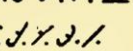	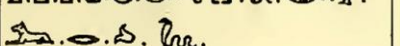
I	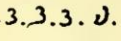	
K	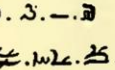	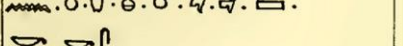
Λ	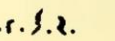	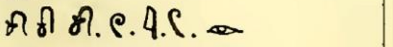
M	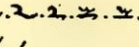	
N	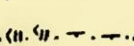	
Ξ	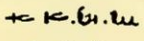	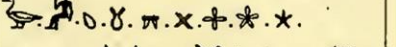
O	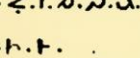	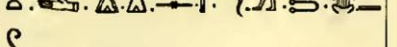
Π	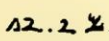	
P	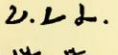	
Σ	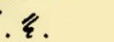	
Σ	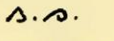	
T	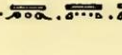	
Y		
Φ		
X		
Ψ		
Ω		
TO		

Evolution of the Alphabet

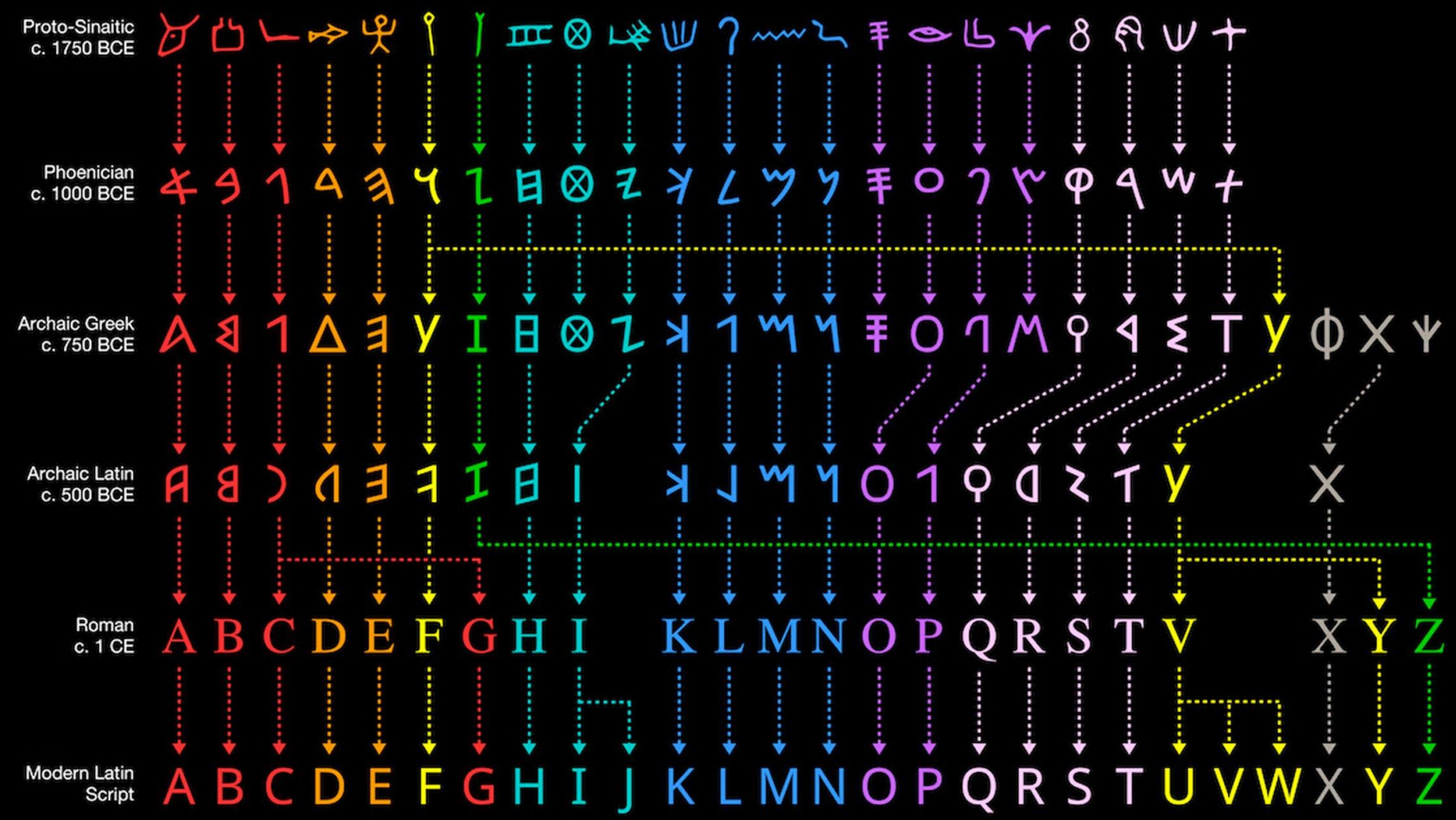

Ce schéma comporte des erreurs : on ne voit pas le Theta hellène.
La notation phonétique du phénicien s'imposerait
pour permettre de saisir l'évolution des sons par rapport aux lettres. GT

By Matt Baker | UsefulCharts.com
Alphabetum font by Juan José Marcos used for Ancient Greek/Latin

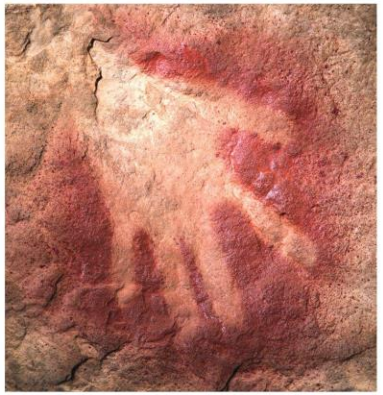

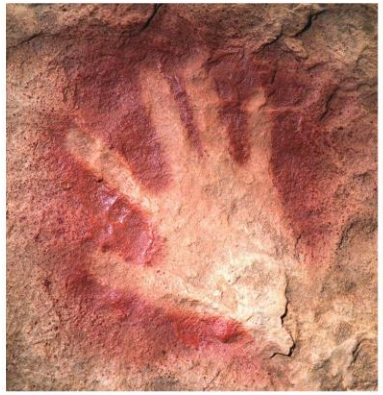

M W P' 'Q

axial vector

vectoriel:

aM Ma

Comment créer sans peine un alphabet consonnantique quand on est au Collège de France à la Grotte Chauvet Academy. GT

AMOUR-PASSION ET CHOIX D'OBJET

Gérôme Taillandier

Nous avons déjà constaté que, dans le phénomène de l'amour-passion, c'est le souhait d'être amant comme la mère du sujet, qui cherche à être aimé comme l'a été l'objet d'amour de l'Autre, qui détermine l'identification narcissique du sujet. Il paraîtrait donc que l'amour-passion est un mécanisme narcissique. Cependant, il semble utile d'aller plus loin.

Une dame a un mari, des enfants, et tout se passe bien dans sa vie, quand soudain, vers un tournant de sa vie, elle tombe amoureuse d'un pauvre moins que rien, en état passionnel typique. Cependant, devant l'état incompréhensible où elle se trouve, elle réagit, et se demande « *ce qu'elle joue là ?* »

Elle se rend vite compte qu'elle vient de répéter le départ de sa propre mère, quittant son mari, -- donc le père de la dame, alors que sa mère avait son âge actuel : il s'agit donc d'une répétition par identification avec sa mère, et non pas d'un amour effectif.

Devant cette conclusion, nous pourrions supposer que ce choix par identification à sa mère est de nature narcissique. Cependant, nous allons un peu plus loin.

Cette dame est une femme, bien sûr, et a donc le sexe de sa mère, ce qui paraît évident, mais ne l'est pas…

Ce n'est pas parce qu'une fille a une mère qu'elle s'identifie narcissiquement à elle. Il est naturel au fonctionnement œdipien qu'une fille puisse mettre ses pas dans ceux de sa mère, ce qui n'a rien de narcissique, mais au contraire, procède de la construction du choix d'objet par étayage.

Cet événement d'amour-passion n'a donc rien de narcissique ; il procède de la question que cette femme se pose : « A quarante ans, ai-je encore le droit d'aimer et d'être désirée ? »

Il s'agit bien d'un choix d'objet par appui, et non pas d'une indentification narcissique.

Lorsqu'on a affaire à un mécanisme d'amour-passion, on ne doit pas confondre l'identification impliquée dans le fait d'aimer pour vouloir être aimé, avec le choix d'objet narcissique, c'est l'analyse du contexte où ce mécanisme se déclenche qui doit guider la mise en évidence du désir inconscient.

2023 12 11

*La lumière et la gravitation se déplacent selon une géo-désique nulle.

*La vitesse de la lumière et celle de la gravitation est la vitesse-limite.

*Le gluon se déplace selon une géodésique nulle.

*Le gluon est en relation harmonique avec le photon et le graviton.

Les lois de la physique sont les mêmes dans tout repère inertiel.

La vitesse de la lumière *in vacuo* est la même dans tout repère inertiel.

Les lois de la physique sont invariantes (covariantes) dans tout repère transformant selon une General Coordinate Transformation.

La masse inertielle est équivalente à la masse gravitationnelle.

La gravitation se déplace à la vitesse-limite dans le vide.

(Il n'y a pas de vide de la gravitation, car elle définit une *self-energy* gravitationnelle.)

Le vide est rempli à ras-bord d'énergie du vide et de particules virtuelles inobservables ayant une action *on-shell* et *off-shell*.

Le principe d'équivalence du vide n'est pas connu.

GT 2023 12 28

Il paraîtrait que l'antimatière aurait disparu de notre univers. Pourtant elle est partout présente dans nos particules élémentaires :dans les mésons q-qbar, et dans les gluons dont la moitié de l'énergie est faite de la partie anticouleur du gluon, de sorte que près de la moitié de l'énergie de la matière CONNUE est faite d'antimatière. GT

Je me suis aperçu(e)

Je m’en suis aperçu(e)

Hi ! Hi ! Hi !

2005
1998
1960
cet arbre avait 60 ans
en 2019
pin
Forêt de Fontainebleau
naissance aux alentours de 1960
un très brutal épisode de
sécheresse est apparu
entre 1998 et 2005

arbre coupé en 2019,
à 39 ans
Cet
arbre
avait
39 ans
brutale sécheresse à partir de 2001-2

Votre avis

G Gérôme Taillandier

★ ☆ ☆ ☆ ☆ à l'instant NOUVEAU

J'ai déjà proposé que, parmi les "hommes clèbres" on fasse entrer Arletty, qui a bien mérité cela, près les malversations dont elle a fait l'objet pour son sens des rapprochements franco-allemands à une époque où le parti communiste faisait la loi et la justice en France. Une deuxième proposition serait d'y faire entrer Coco Chanel , les odeurs de cocaïne ne gênant plus personne aujourrd'hui. Lorsqu'on pense à l'argent que le fisc français a récupéré, grâce à elle, elle l'a bien mérité. La petite robe noire, révolution pour les femmes, est tout de même plus facile à porter qu'une ceinture de bananes. GT

Visité en décembre

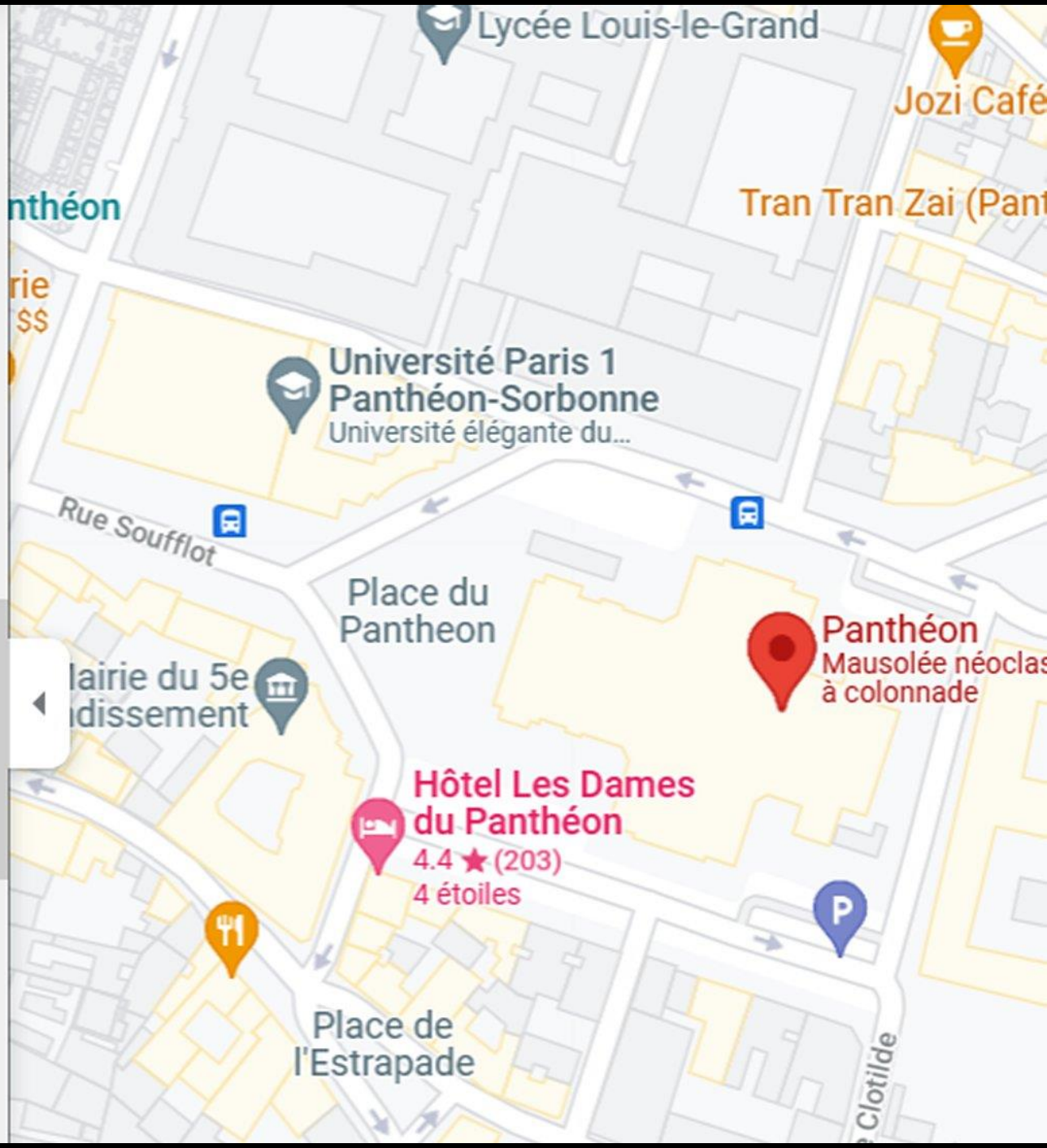

Panthéon

Gare routière

DÉTAILS SUR LE LIEU

G Gérôme Taillandier

★☆☆☆☆ à l'instant

Le Panthéon est un endroit dédié aux Grands Hommes. Il serait donc temps, puisqu'il y a désormais trois sexes en France, les hommes, les femmes de sexes divers, et les trans, que l'on change cette devise sous la forme: "Aux Grandes Femmes, aux Grands Hommes et aux Grandes Transes, la Patrie reconnaissante".
On pourra ainsi envisager d'y faire entrer Arletty, dont les efforts qu'elle fit dans une période difficile de notre histoire, pour réconcilier les peuples en les rapprochant, mériteraient bien cet honneur.
Il y aurait bien un obstacle: les couloirs de l'endroit ne sont pas chauffés, et notre Arletty nationale, dont la santé n'est guère résistante, risquerait d'y attraper un omicron, ou pire encore...

Visité en décembre

J'aime Partager

Ajouter une photo

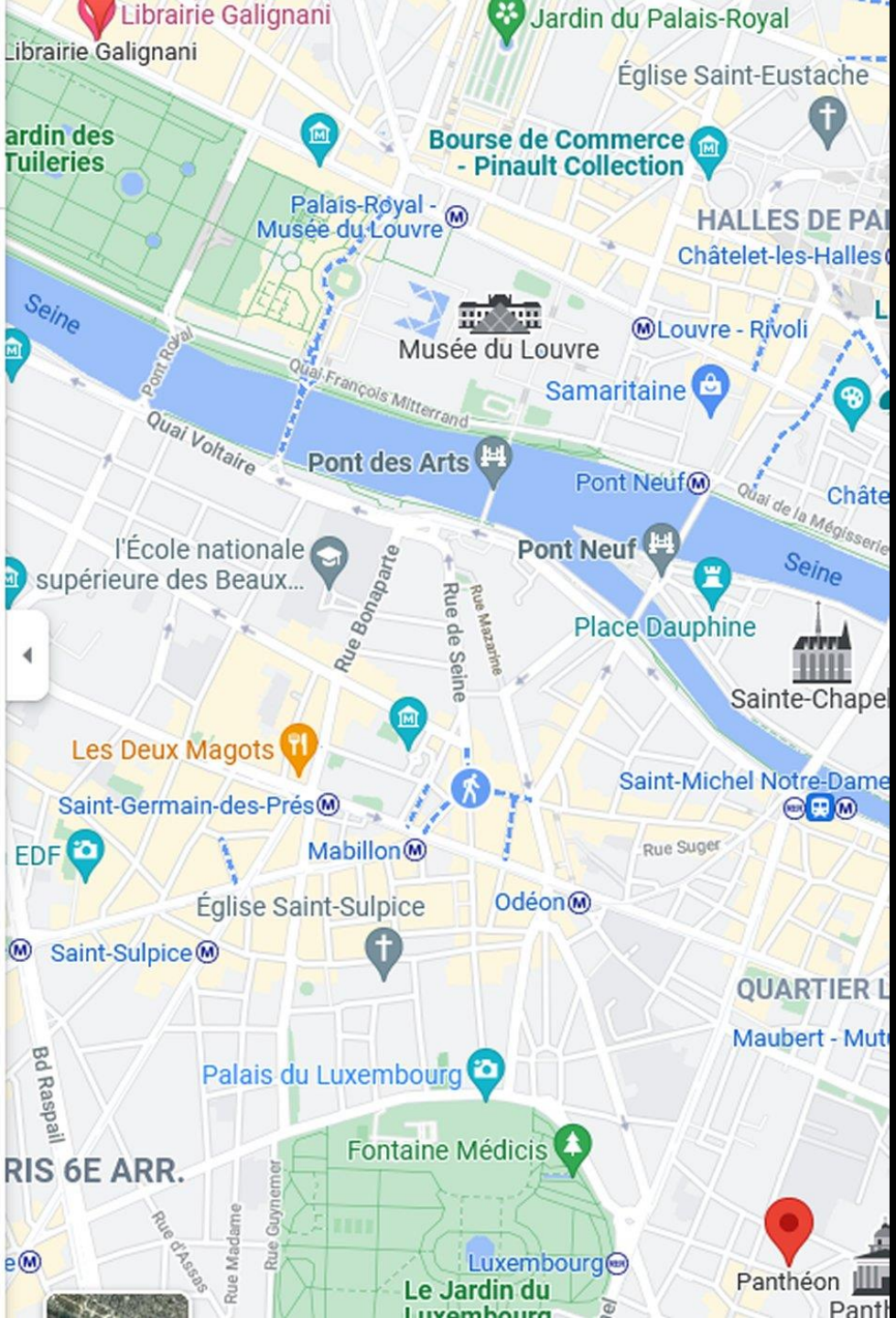

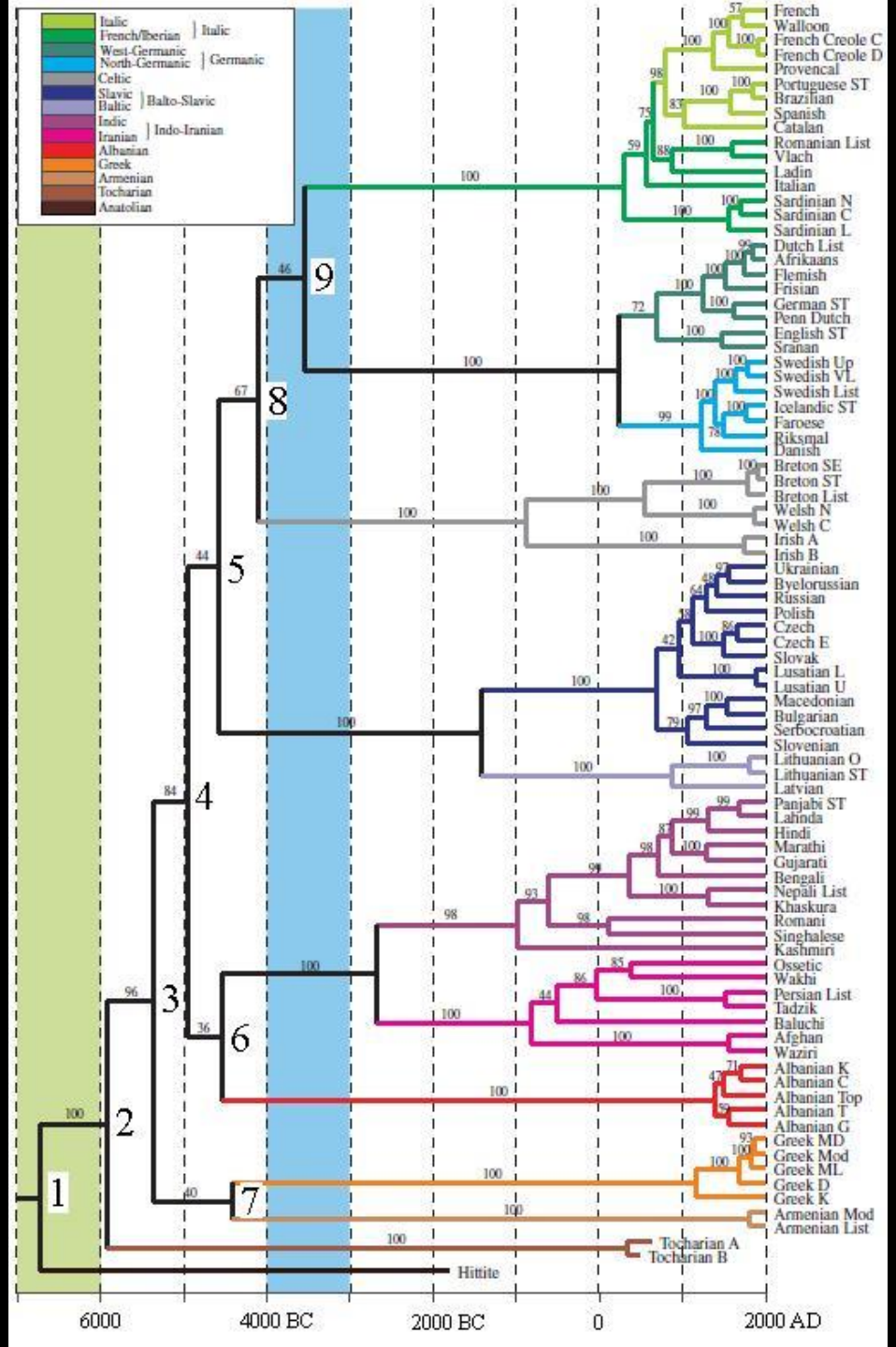
Italic
French/Iberian
Italic
West-Germanic
North-Germanic
Germanic
Celtic
Slavic
Baltic
Balto-Slavic
Indic
Iranian
Indo-Iranian
Albanian
Greek
Armenian
Tocharian
Anatolian
French
Walloon
French Creole C
French Creole D
Provencal
Portuguese ST
Brazilian
Spanish
Catalan
Romanian List
Vlach
Ladin
Italian
Sardinian N
Sardinian C
Sardinian L
Dutch List
Afrikaans
Flemish
Frisian
German ST
Penn Dutch
English ST
Sranan
Swedish Up
Swedish VL
Swedish List
Icelandic ST
Faroese
Riksmal
Danish
Breton SE
Breton ST
Breton List
Welsh N
Welsh C
Irish A
Irish B
Ukrainian
Byelorussian
Russian
Polish
Czech
Czech E
Slovak
Lusatian L
Lusatian U
Macedonian
Bulgarian
Serbocroatian
Slovenian
Lithuanian O
Lithuanian ST
Latvian
Panjabi ST
Lahnda
Hindi
Marathi
Gujarati
Bengali
Nepali List
Khaskura
Romani
Singhalese
Kashmiri
Ossetic
Wakhi
Persian List
Tadzik
Baluchi
Afghan
Waziri
Albanian K
Albanian C
Albanian Top
Albanian T
Albanian G
Greek MD
Greek Mod
Greek ML
Greek D
Greek K
Armenian Mod
Armenian List
Tocharian A
Tocharian B
Hittite
1
2
3
4
5
6
7
8
9
6000
4000 BC
2000 BC
0
2000 AD

Atmosphère ?

Il paraîtrait que le gaz carbonique aurait un effet de serre.

Essayez donc de me trouver un article expliquant COMMENT ?

Comment les infrarouges agissent-ils sur la molécule de CO2 afin d'être absorbés?

Comment cette absorption éventuelle agit-elle sur la TEMPÉRATURE et non sur l'ENERGIE ?

Je n'ai pas la moindre réponse à ces questions.

Je vous rappelle d'autre part que les plantes MANGENT le CO2, et qu'elles sont ravies quand l'atmosphère en contient beaucoup.

Par ailleurs, il n'y a AUCUN lien entre pourcentage de CO2 atmosphérique et TEMPÉRATURE atmosphérique.

Gérôme Taillandier 2023 2 13

Bien sûr j'attends une réponse à la première question…

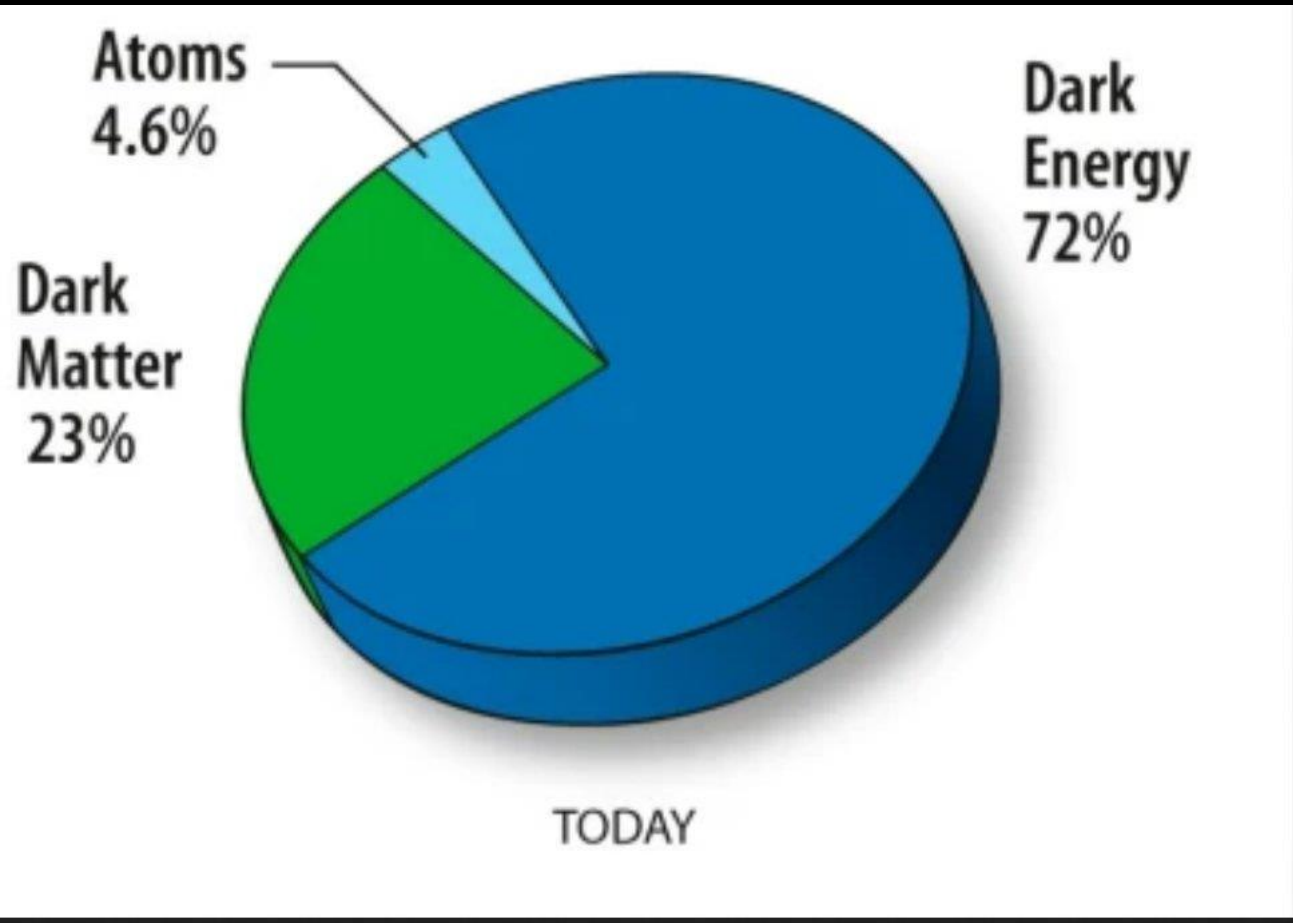
Atoms
4.6%
Dark
Energy
72%
Dark
Matter
23%
TODAY

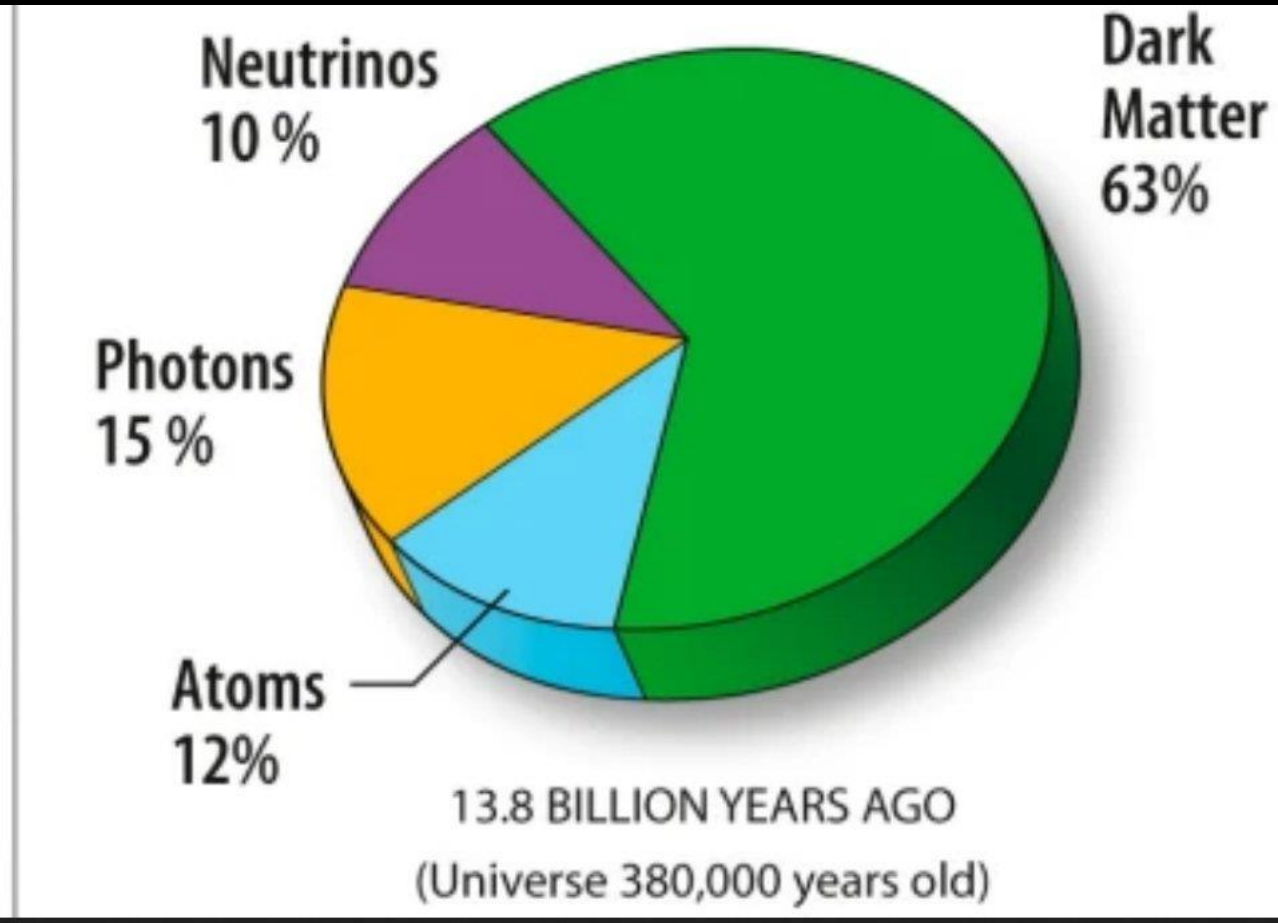
Neutrinos
10 %
Dark
Matter
63%
Photons
15 %
Atoms
12%
13.8 BILLION YEARS AGO
(Universe 380,000 years old)

En 4500 BP, L'équinoxe d'automne a lieu
avec son cercle méridien dans le Bouvier
Boötes. Ce dernier est la constellation
qui préside à l'équinoxe.
J'ai proposé que le Bouvier, Gardien
des Oursonnes, est Lugh.
Lugh na Sadh doit avoir lieu.
dans les nuits du 11 au 13 Août,
a lieu la pluie de météorites
des Perséides, baptisées
"larmes de Saint-Laurent".
Le lendemain, la Vierge
Astraea, dernière déesse
à être restée parmi les humains
après l'Âge d'Or, remonte au Ciel.
Petit Lion
Lion
Mercure
Girafe
Grande Ourse
Coupe
Soleil
Chiens de chasse
Chevelure de Bérénice
Corbeau
Petite Ourse
Vierge
Spica
Arcturus
Bouvier
Vénus
Uranus
Dragon
Centaure
Céphée
Couronne boréale
Hadar
Balance
Hercule
N
SE
Loup
Compas
Serpent
Lézard
Véga
Deneb
Lyre
Mars
Antarès
Serpentaire
Règle
Cygne
La pluie des Perséides est le point de départ fixe du calendrier des Anciens, avec celle des Herculéides

$$\Delta Q_5 = 2\Delta\, n^0{}_{f\,(L\text{-}R)} \qquad \text{(Schifman)}$$

$$N_{gen} = |\chi|/2 \qquad \text{(Green Schwarz Witten)}$$

Q5 : chiral anomaly

n : zero mode number of partons

f : flavor number

N : number of generations

Chi : Euler index of compactification manifold

L-R : Left – Right

IF flavor # = generation # then :

$$\Delta Q_5 = \Delta n^{\circ}{}_{(L\text{-}R)}\, |\chi|$$

Un tenseur se décompose en trois parties, un tenseur symétrique, un tenseur antisymétrique et une trace.

En théorie des cordes, la troisième partie est le champ de Kalb-Ramond, qui est en quatre dimensions un pseudoscalaire. En trois dimensions, ce champ est un champ magnétique, l'axion, qui gagne une masse par un effet d'instanton.

Si on admet que la charge de couleur des quarks a un champ « magnétique » dû à la conservation relativiste de la couleur dans les quarks, alors, on peut supposer que ce champ magnétique de couleur est ce pseudoscalaire. La matière sombre serait donc constituée de monopoles de champ magnéto-colorés.

Cette idée est compatible avec l'idée de Hawking que l'existence d'un trou de ver engendre l'existence de particules scalaires, si l'on admet par ailleurs qu'un trou noir émet des axions en raison de l'inversion du sens du temps dans le trou noir.

THERE ARE 2 GENERATING PROCESSES FOR GRAVITON:

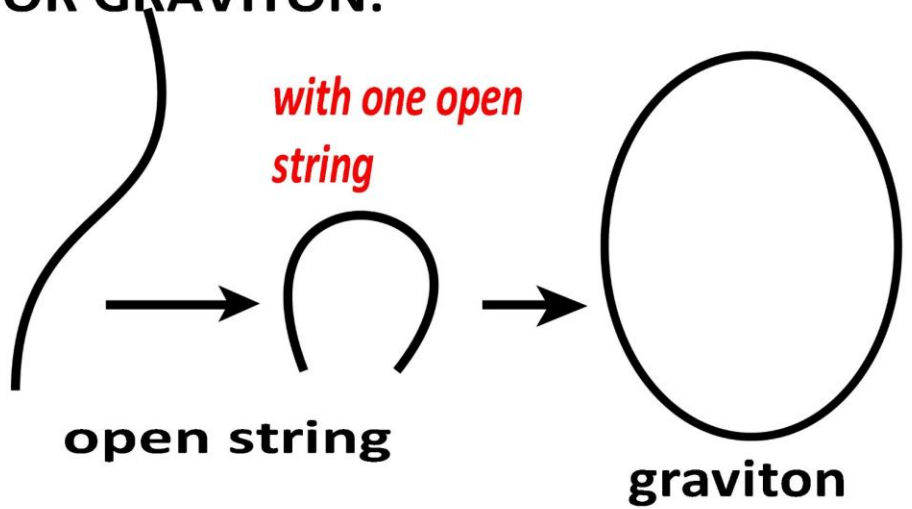

GT 2021 7 26

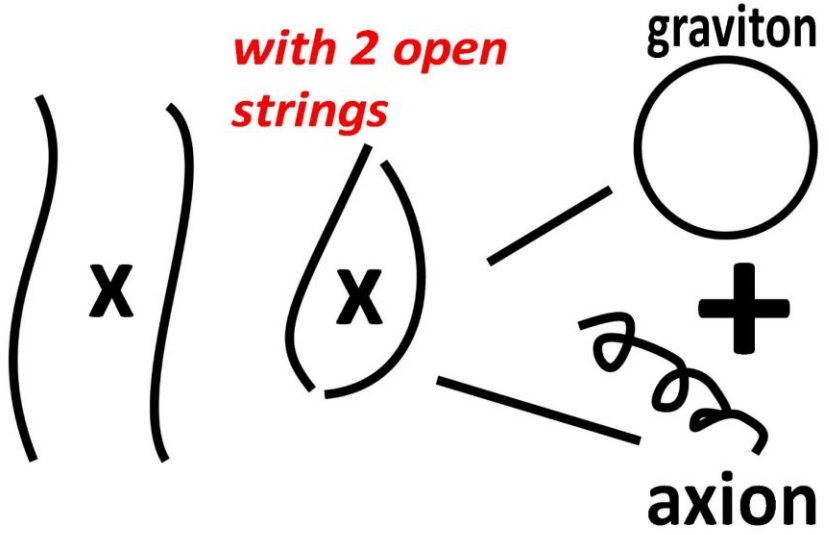

In process 2, we generate an AXION as the transform of antisymmetric part of E-M tensor.
Axion gets a mass by Veneziano process, due to instanton, is DARK MATTER

Article | References | Citing Articles (309) | PDF | Export Citation

ABSTRACT

A detailed analysis of the problems associated with the conserved U(1) axial-vector current in quark-gluon models is presented. It is shown that such models involve a light isoscalar pseudoscalar boson, with a mass less than $\sqrt{3}m_\pi$. The existence of this boson would produce a strong off-shell variation in the $\eta \to 3\pi$ matrix element, thus invalidating the usual conclusions about the rate and energy dependence of this decay. Following Kogut and Susskind, it is proposed that the light Goldstone boson is actually a dipole, with positive- and negative-metric parts, which cancel in matrix elements of gluon-gauge-invariant operators but not in operators such as the U(1) current. It is shown that the masses of the observable pseudoscalar bosons and the η decay rate are then just as they would be in a theory without the U(1) symmetry, and in fair agreement with experiment. The application of current algebra to theories with charmed quarks is briefly discussed.

Received 10 March 1975

DOI: https://doi.org/10.1103/PhysRevD.11.3583

©1975 American Physical Society

Computation of the quantum effects due to a four-dimensional pseudoparticle

G. 't Hooft

Phys. Rev. D **14**, 3432 – Published 15 December 1976; Erratum Phys. Rev. D **18**, 2199 (1978)

An article within the collection: *Physical Review D* 50th Anniversary Milestones

Article | References | Citing Articles (2,091) | PDF | Export Citation

ABSTRACT

A detailed quantitative calculation is carried out of the tunneling process described by the Belavin-Polyakov-Schwarz-Tyupkin field configuration. A certain chiral symmetry is violated as a consequence of the Adler-Bell-Jackiw anomaly. The collective motions of the pseudoparticle and all contributions from single loops of scalar, spinor, and vector fields are taken into account. The result is an effective interaction Lagrangian for the spinors.

Received 28 June 1976

DOI: https://doi.org/10.1103/PhysRevD.14.3432

©1976 American Physical Society

CERN, Geneva, Switzerland

Received 14 May 1979, Available online 25 October 2002.

Show less

+ Add to Mendeley | Share | Cite

https://doi.org/10.1016/0550-3213(79)90332-8

Get rights and content

Abstract

Witten's recent proposal that the U(1) problem might be solved in $1/N$ expanded QCD, is shown to be automatically consistent with expected θ dependences and anomalous Ward identities, if a (modified) Kogut-Susskind mechanism is used. Ward identities are algebraically saturated for large N. A sort of "partial conservation of the U(1) current" is found to hold for the "η" field.

How instantons solve the U(1) problem

G. 't Hooft

Show more

+ Add to Mendeley | Share | Cite

https://doi.org/10.1016/0370-1573(86)90117-1

Get rights and content

Abstract

The gauge theory for strong interactions, QCD, has an apparent U(1) symmetry that is not realized in the real world. The violation of the U(1) symmetry can be attributed to a well-known anomaly in the regularization of the theory, which in field configurations called "instantons" can be seen to give rise to interactions that explicitly break the symmetry. A simple polynomial effective Lagrangian describes these effects qualitatively very well. In particular it is seen that no unwanted Goldstone bosons appear and the eta particle owes a large fraction of its mass to instantons. There is no need for field configurations with fractional winding numbers and it is explained how a spurious U(1) symmetry that remains in QCD even after introducing instantons, does not affect these results.

A new ps-goldstone : massive axion Di Vecchia

absent thanks to an exact classical symmetry (the chiral rotation of the massless quark) which allows to rotate θ away.

The Peccei-Quinn (PQ) solution of the strong-CP problem uses a similar mechanism, but is based on extending QCD to include, in the matter sector, some new degrees of freedom. The essential property of the PQ model is that such an extension should provide a new classically exact, but anomalous and spontaneously broken, $U(1)_{PQ}$ symmetry.

The low-energy effective action of such a theory will have to contain, besides the usual QCD degrees of freedom, an extra would-be Goldstone boson related to the spontaneously broken $U(1)_{PQ}$ symmetry. If we denote by a_{PQ} the coefficient of the $U(1)_{PQ}$ anomaly and by F_α the scale of its spontaneous breaking (the analog of F_π), we can easily write down an effective action that incorporates all the relevant (anomalous and non-anomalous) Ward identities. It consists of adding a couple of terms to the effective Lagrangian of Eq. (15) to give:

$$L = \frac{1}{2}Tr(\partial_\mu U \partial_\mu U^\dagger) + \frac{1}{2}Tr(\partial_\mu N \partial_\mu N^\dagger) + \frac{F_\pi}{2\sqrt{2}}Tr\left(M(U+U^\dagger)\right)\frac{q^2}{aF_\pi^2} - \theta q +$$

$$+\frac{i}{2}q(x)\left(Tr(\log U - \log U^\dagger) + a_{PQ}(\log N - \log N^\dagger)\right) \tag{68}$$

where U

$$U(x) = \frac{F_\pi}{\sqrt{2}}e^{i\sqrt{2}\Phi(x)/F_\pi} \quad ; \quad N(x) = \frac{F_\alpha}{\sqrt{2}}e^{i\sqrt{2}\alpha(x)/F_\alpha} \tag{69}$$

Notice that, following our assumptions, the only term that breaks $U(1)_{PQ}$ is the one related to the anomaly.

Under the axial $U(1)$ and the additional $U(1)_{PQ}$ defined by:

$$U \to e^{i\beta}U \quad ; \quad N \to e^{i\gamma}N\,, \tag{70}$$

the effective Lagrangian transforms as follows:

$$\delta L = -\left(N_f\beta + a_{PQ}\gamma\right)q(x) \tag{71}$$

It is invariant if we choose $N_f\beta + a_{PQ}\gamma = 0$. This is an anomaly-free $U(1)$ subgroup, whose spontaneous and explicit breaking (by quark masses) implies a new, presudo-Goldstone boson, the (Peccei-Quinn-Weinberg-Wilczek) axion.

Proceeding as in the previous sections ($< U_{ij} >= e^{-i\phi_i}\delta_{ij}F_\pi/\sqrt{2}$ and $< N >= e^{-\phi}F_\alpha/\sqrt{2}$), we have to minimize the energy given by:

L’espace-temps dans lequel nous nous ébrouons n’est pas seulement minkowski et planck-discret, il est aussi non-simplement connexe. Demandez à Bohm-Aharonov.

Hi!hi!hi! GT 2023 2 11

Le plus extraordinaire effet de la physique est sans doute aucun l'effet Bohm-Aharonov.

Cet effet suppose l'existence d'une non-simple connexité de l'espace-temps de l'électromagnétisme, de nature S^1.

Une question peut être posée : supposons que ce degré de liberté soit identique à la liberté du problème U(1) fort, où la liberté du paramètre est un groupe U(1), exigeant l'introduction de l'axion pour sa résolution.

Est-il possible de concevoir que ces deux degrés de liberté soient le même effet ?

Si c'était le cas, la mise en évidence de l'axion devrait annuler l'effet Bohm-Aharonov lorsque l'axion est présent dans la théorie, puisque le degré de liberté lié au champ magnétique cesserait d'exister, du fait de l'annulation de la connexité S1.

GT

Regardez l'eau qui coule de votre baignoire tandis que vous jouez avec votre canard en plastique jaune. L'eau s'écoule selon un tourbillon antihoraire, mais selon un sens horaire si vous plongez la tête sous l'eau !

Le sens de rotation n'est pas un invariant de la théorie des baignoires, il dépend de l'observateur.

Il en va de même en théorie des cordes et cosmologie des cordes : la matière est de la matière dans le repère des cordes, mais de l'antimatière dans le repère d'Einstein, et vice-versa. Même chose pour l'antimatière. Seule une particule Majorana est invariante dans ces conditions. GT 2022 9 10

BALTHUS TISON DE FRÉDÉRIQUE

Frédérique Tison avait un père heureusement fusillé et une mère déportée et déglinguée, tous deux s'étant amusés à faire de la « résistance ».

Elle connut Balthus à 12 ans, et peut-être moins, et décida, à dix-sept ans, de le rejoindre pour devenir une femme. Elle y réussit fort bien, en sorte que Balthus peignit, sous sa demande, le tiers de son œuvre.

Balthus la tisonna beaucoup, du moins on l'espère.

Lorsqu'il eut fini, et qu'elle fut réparée du désastre de ses tarés familiaux, elle eut un enfant, Balthus quitta Chassy après avoir vécu un magnifique inceste avec une fille, qui la mena à sa féminité.

Méfiez-vous des résistants.

Demandez à Arletty.

GT

comment réaliser un couple parfait

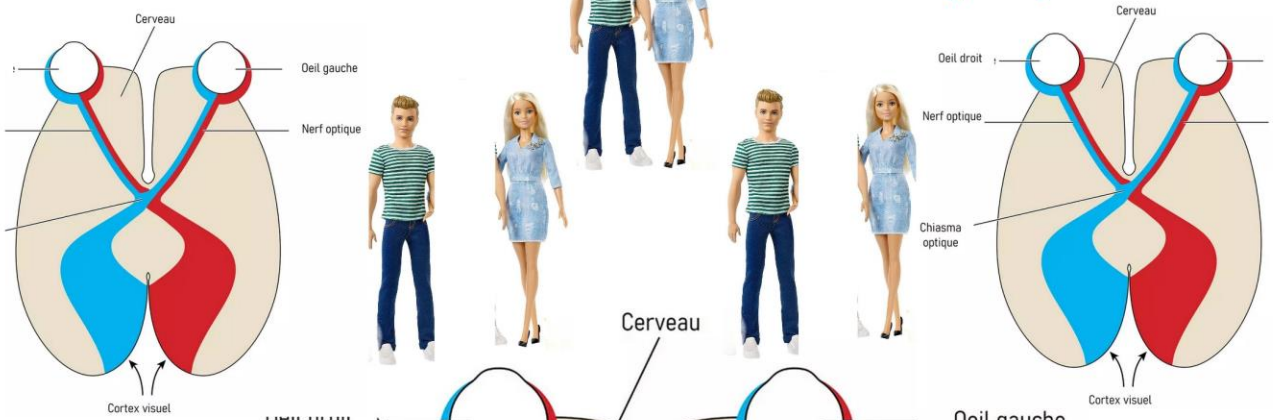

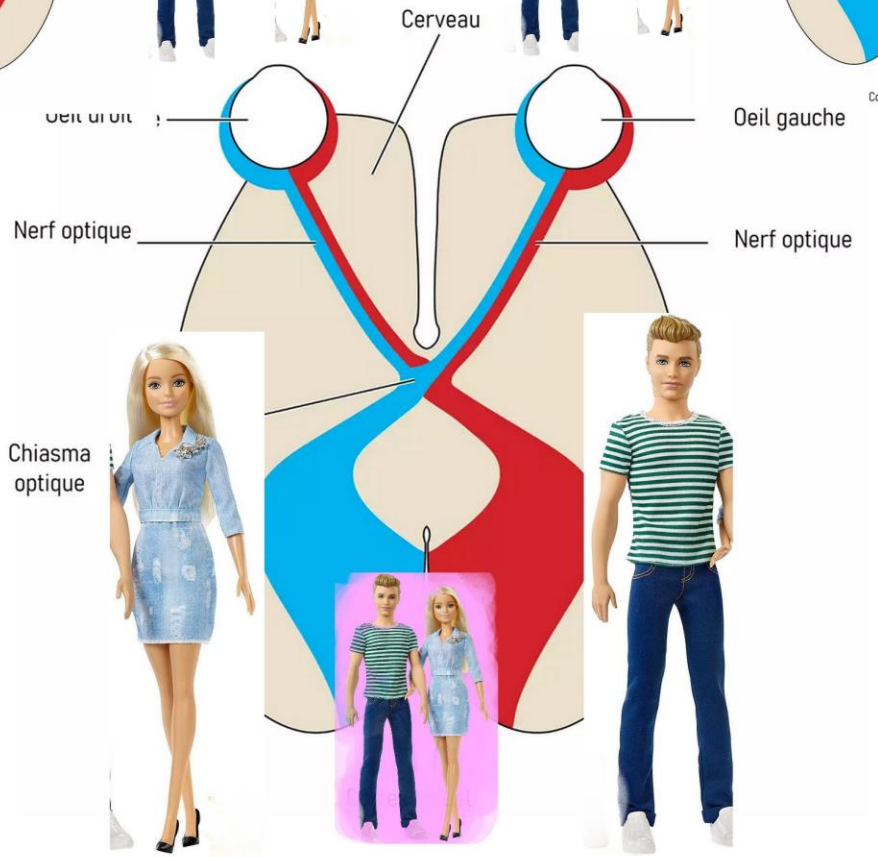

Comment l'amiral Nelson, copain de Lady Hamilton, pouvait-il, avec son oeil de verre, apprécier les charmes de Barbie ?

"L'Angleterre expecte que chacun appréciera Barbie."

oeil de verre de l'amiral...

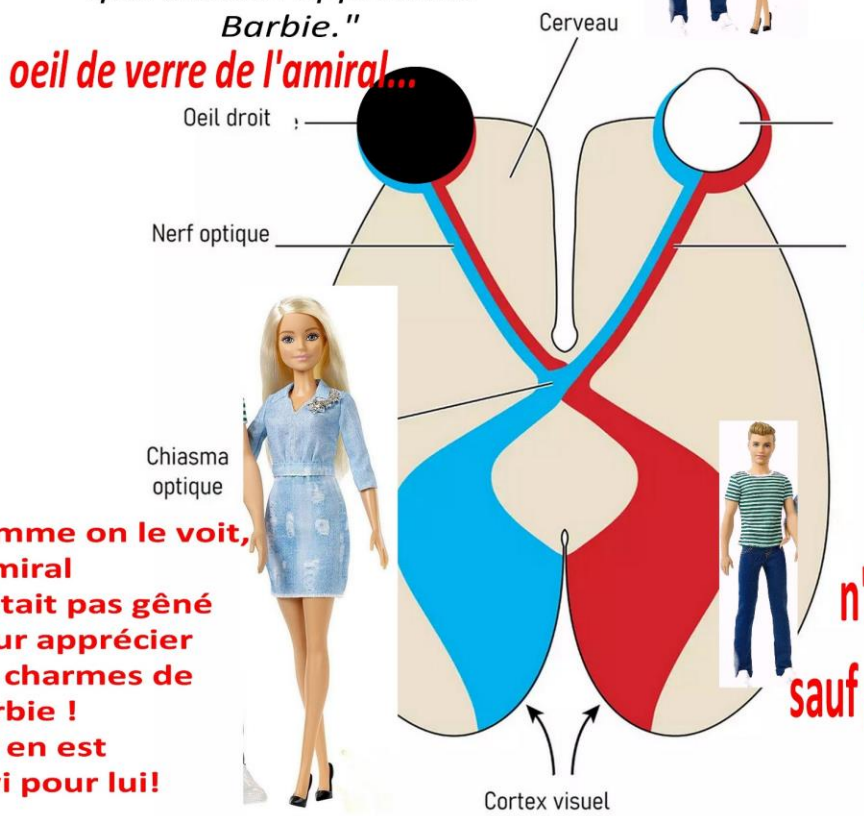

Comme on le voit, l'amiral n'était pas gêné pour apprécier les charmes de Barbie ! On en est ravi pour lui!

L'amiral ne pouvait guère apprécier ceux de Ken, ce qui n'est pas très gênant, sauf pour Lady Hamilton, rivale de Barbie...

Recovering the Standard Model

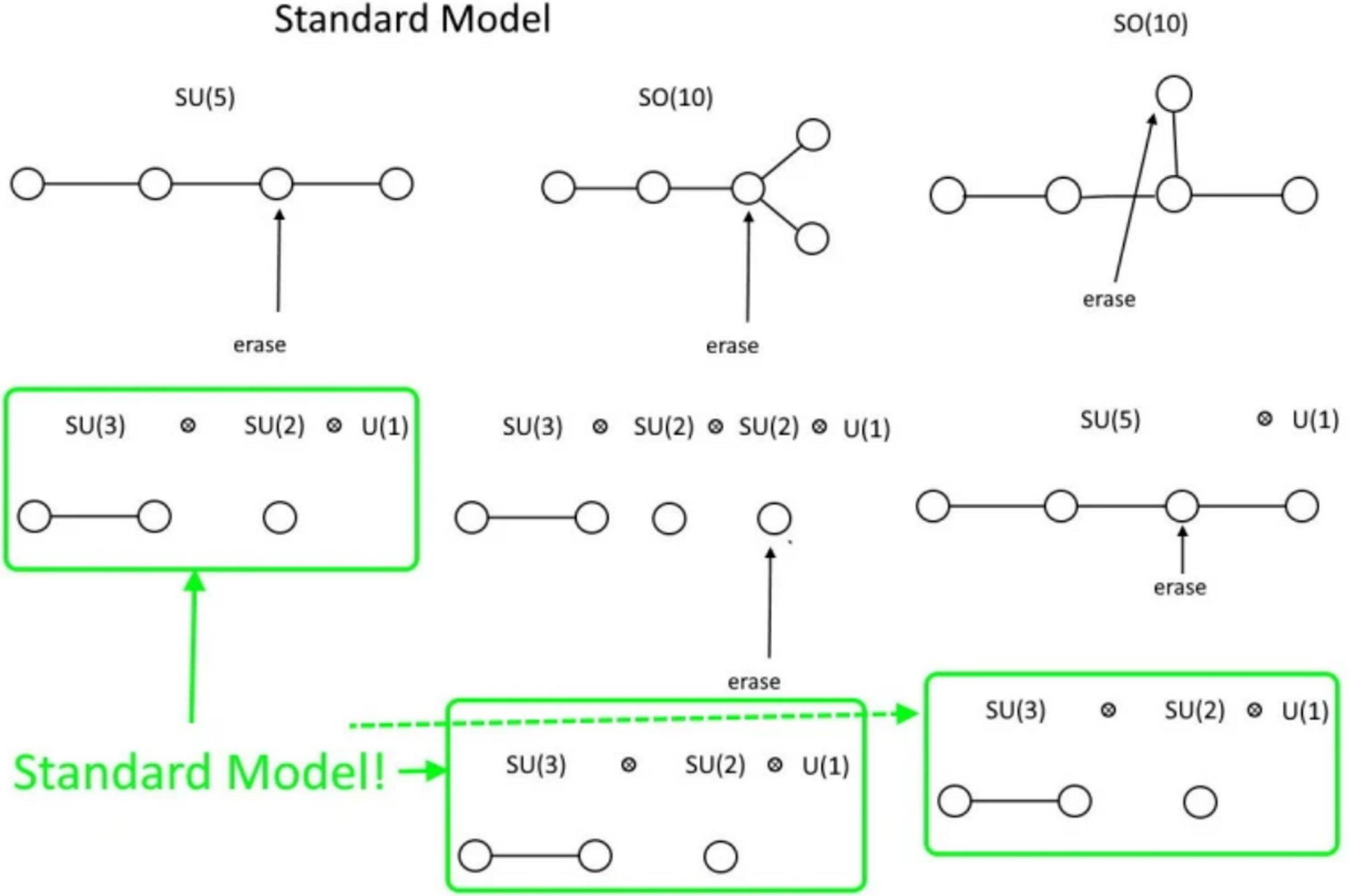

Nombre d'habitants pour 1 bar

(dans un voisinage fonctionnel de 25 km)

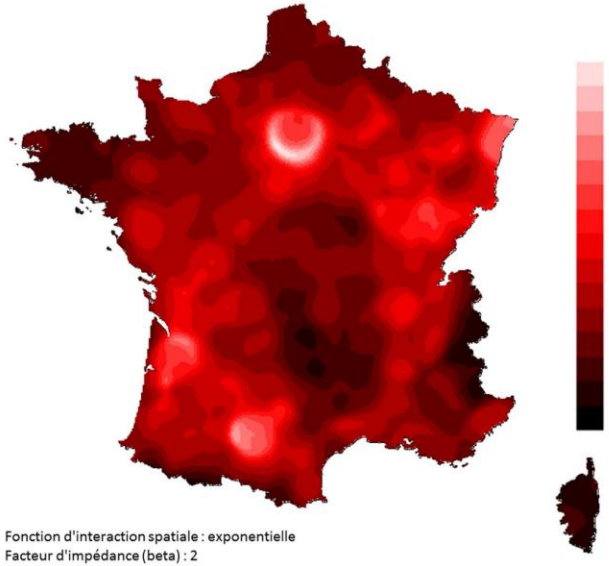

Fonction d'interaction spatiale : exponentielle
Facteur d'impédance (beta) : 2
Portée : 20 kilomètres
Sources : SIRENE 2013 (débits de boissons)– Geofla IGN

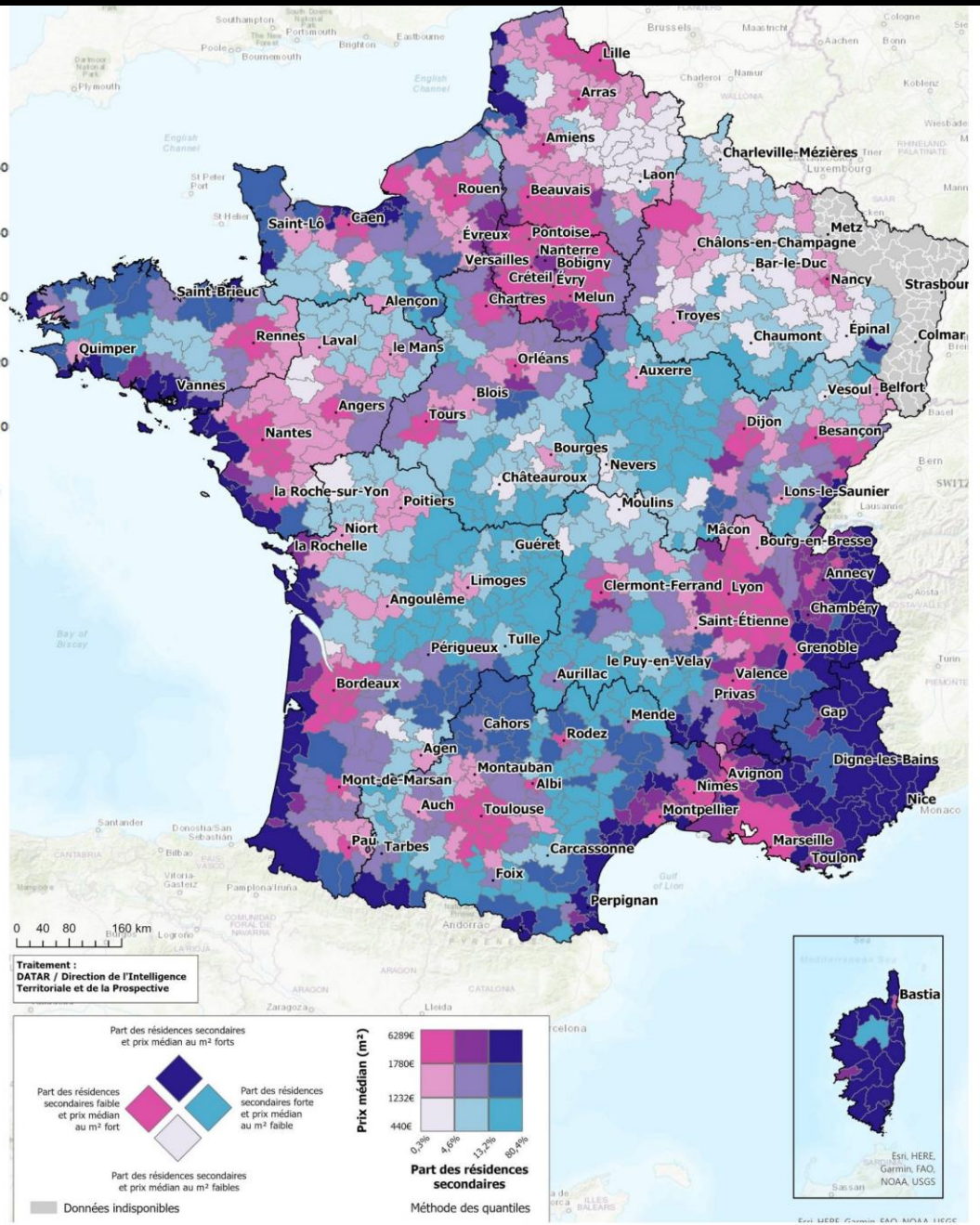

The Four Laws of Black Hole Mechanics

J. M. Bardeen*
Department of Physics, Yale University, New Haven, Connecticut, USA

B. Carter and S. W. Hawking
Institute of Astronomy, University of Cambridge, England

Received January 24, 1973

Abstract. Expressions are derived for the mass of a stationary axisymmetric solution of the Einstein equations containing a black hole surrounded by matter and for the difference in mass between two neighboring such solutions. Two of the quantities which appear in these expressions, namely the area A of the event horizon and the "surface gravity" κ of the black hole, have a close analogy with entropy and temperature respectively. This analogy suggests the formulation of four laws of black hole mechanics which correspond to and in some ways transcend the four laws of thermodynamics.

Today, 2023, that text is not available for free, fifty years after its publication.

1. Introduction

It is generally believed that a gravitationally collapsing body will give rise to a black hole and that this black hole will settle down to a stationary state. If the black hole is rotating, the stationary state must be axisymmetric [1] (An improved version of this theorem involving weaker assumptions is outlined in [2] and is given in detail in [3]). It has been shown that stationary axisymmetric black hole solutions which are empty outside the event horizon fall into discrete families each of which depends on only two parameters, the mass M and the angular momentum J [4–6]. The Kerr solutions for $M^4 > J^2$ are one such family. It seems unlikely that there are any others. It also seems reasonable to suppose that the Newman-Kerr solutions for $M^4 > J^2 + M^2Q^2$, where Q is the electric charge, are the only stationary axisymmetric black hole solutions which are empty outside the event horizon apart from an electromagnetic field. On the other hand there will be an infinite dimensional family of stationary axisymmetric solutions in which there are rings of matter orbiting the black hole. In Sections 2 and 3 of this paper we shall derive formulae for the mass of such a solution and for the difference in mass of two nearby solutions. These formulae

* Research supported in part by the National Science Foundation.

BELLE ÉPOQUE

Gérôme Taillandier

Juilet 1974, belle époque.

Luberon.

Je me suis invité dans une demeure pleine de scorpions, d'araignées, de pédés et de gouines.

Ne cherchez pas la maison, les banquiers n'aiment pas la publicité. On trouve une étrange chapelle d'O, si ! si !, où dorment les os des moines qui habitaient le coin. Du moins avant qu'on les vire pour faire des concerts.

Nous marchons sur un étroit chemin le long du massif, en compagnie de mon hôtesse, et d'un musicien local qui fréquente le couvent, Il est accompagné de deux de ses mignons, des locaux au bel accent rustique, à dégrossir. Nous allons visiter une maison de 1610 bâtie à flanc de côteau. Dans l'enthousiasme du moment, je demande au musicien :

-« Vous chassez ?

-Je ne chasse pas ! »

Il s'ensuit un silence d'environ une demi-heure.

Derrière moi, le mignon local commente de son bel accent :

- « Moi, les chasseurs, je les mettrais nus et je les chasserais au fusil ! »

Je vais bientôt quitter le Luberon, ses pédés, ses gouines, ses scorpions et ses araignées.

D'accord, c'est pas du Proust, mais y'a de l'idée !

Au fait, dans l'expérience de Michelson-Morley, comment savez-vous que deux photons qui ont divergé sur le miroir sans tain appartiennent bien au même faisceau ?

Par leur interférence sur le capteur ?

C'est pas un peu tiré par les cheveux ?

Ça ne sentirait pas un peu le quantum entanglement ?

2023 12 22

parallel transport of vector along cone circle: evidence of a deficit angle

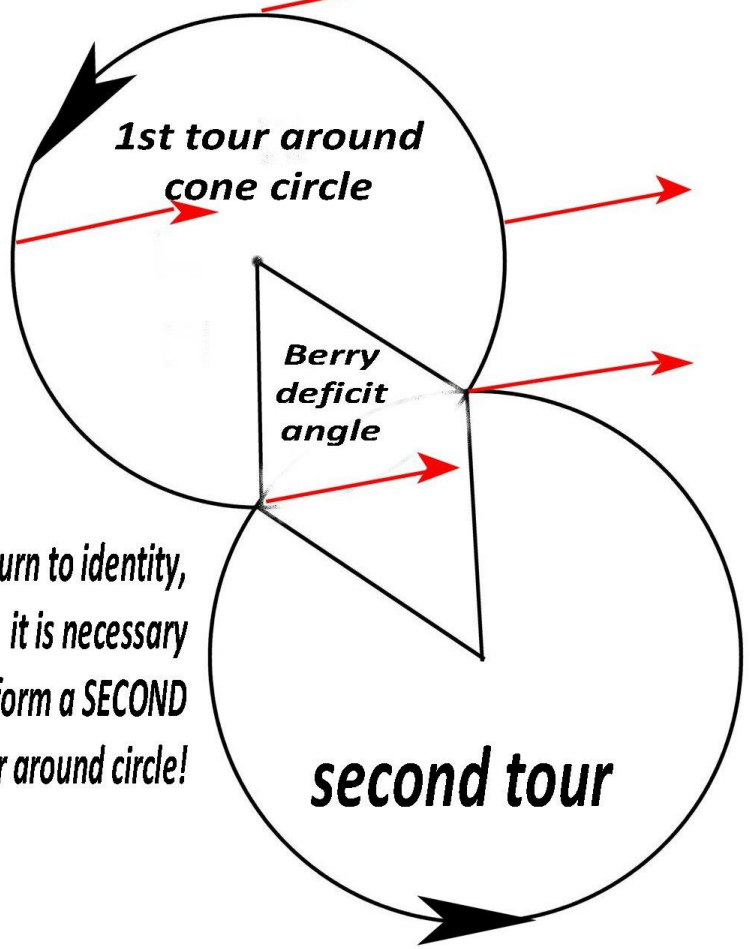

to return to identity, it is necessary to perform a SECOND tour around circle!

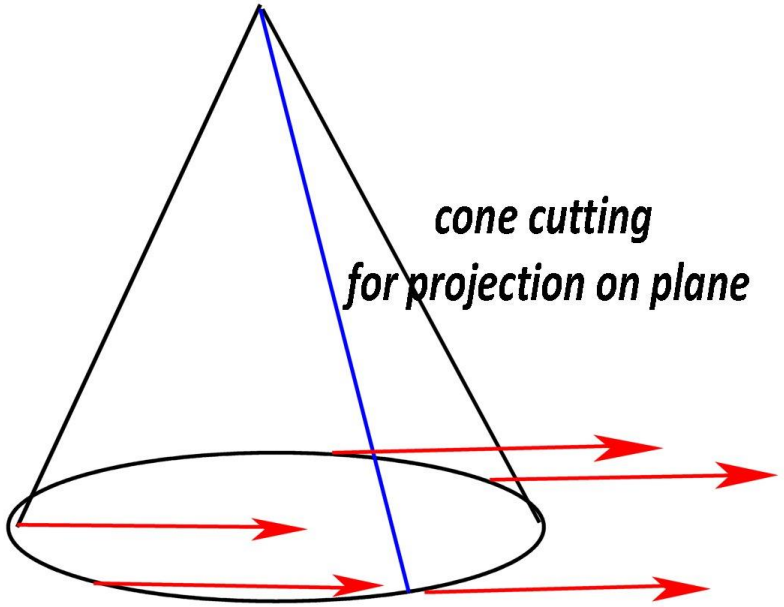

cone cutting for projection on plane

parallel transport of vector along circle

For a system subjet to intrinsic rotation, it is necessary the system performs a complete intrinsic rotation of 4π to suppress the effect of Berry deficit angle

$$ds^2 = (1 + 2\Phi)^{-1} dr^2 + r^2 d\theta^2$$

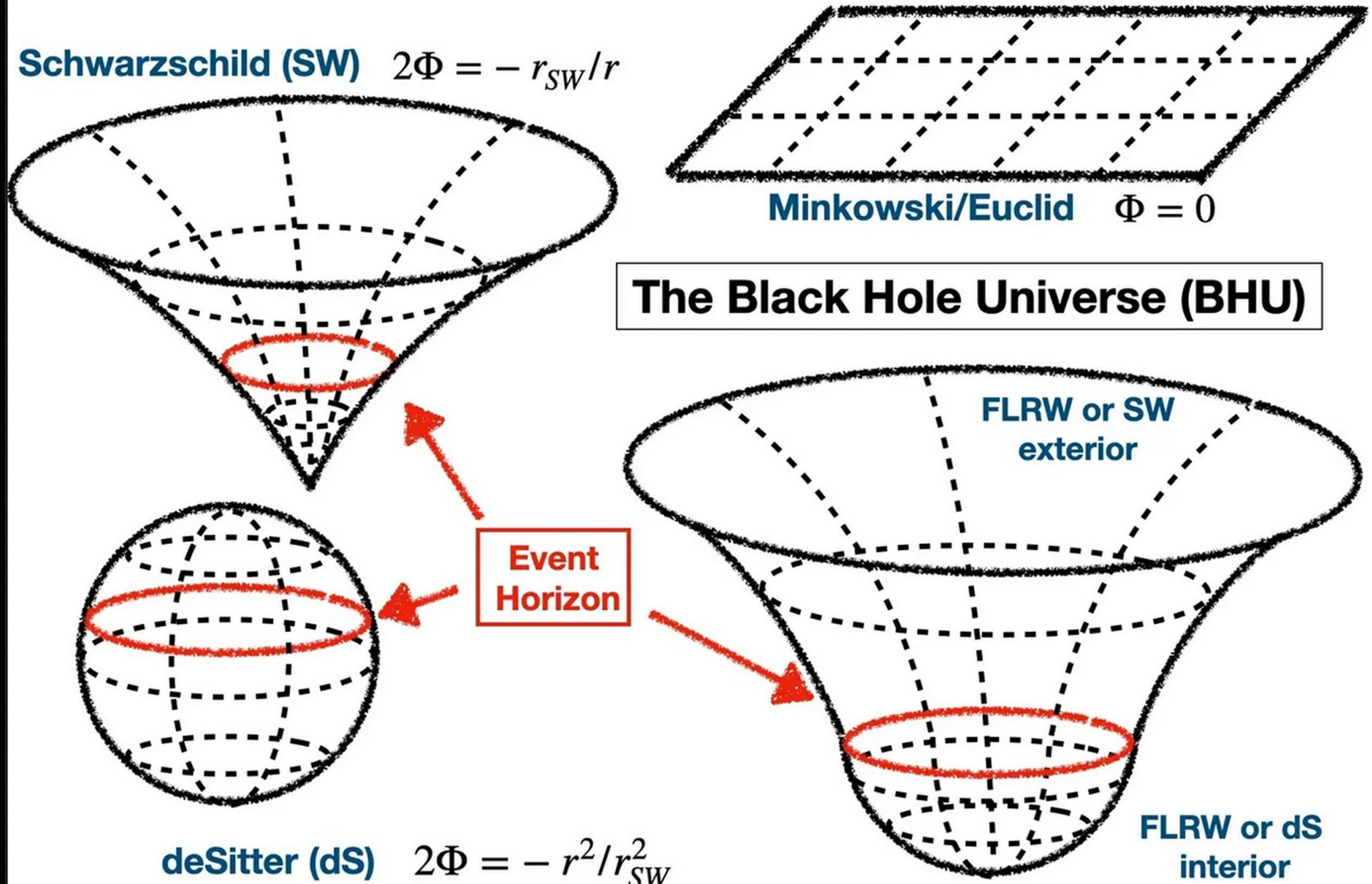

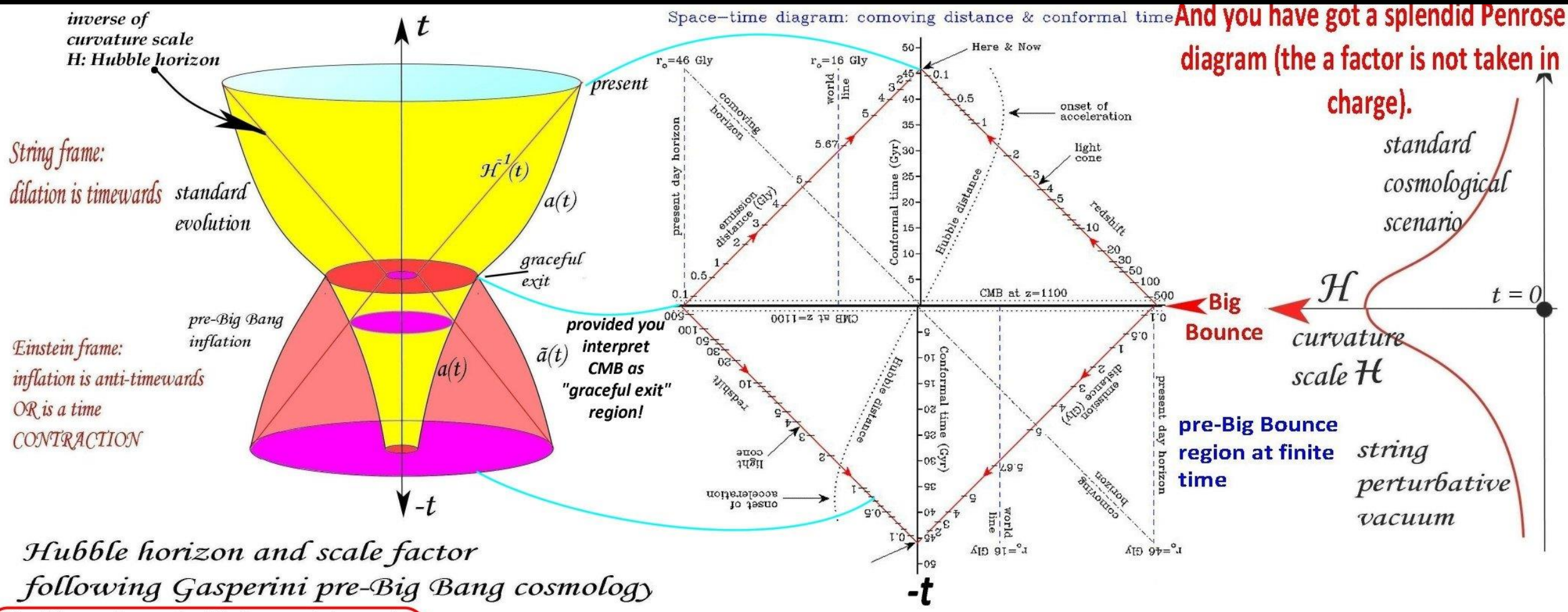

Hubble horizon and scale factor following Gasperini pre-Big Bang cosmology

Would you please, be kind enough to read M. Gasperini: String Cosmology, CUP, the minimal requisit, and Veneziano's papers on t--> -t + conformal transfo symmetry?

A simple trick to contemplate pre-Big Bounce as a kind of Penrose diagram at finite distance and time

GT

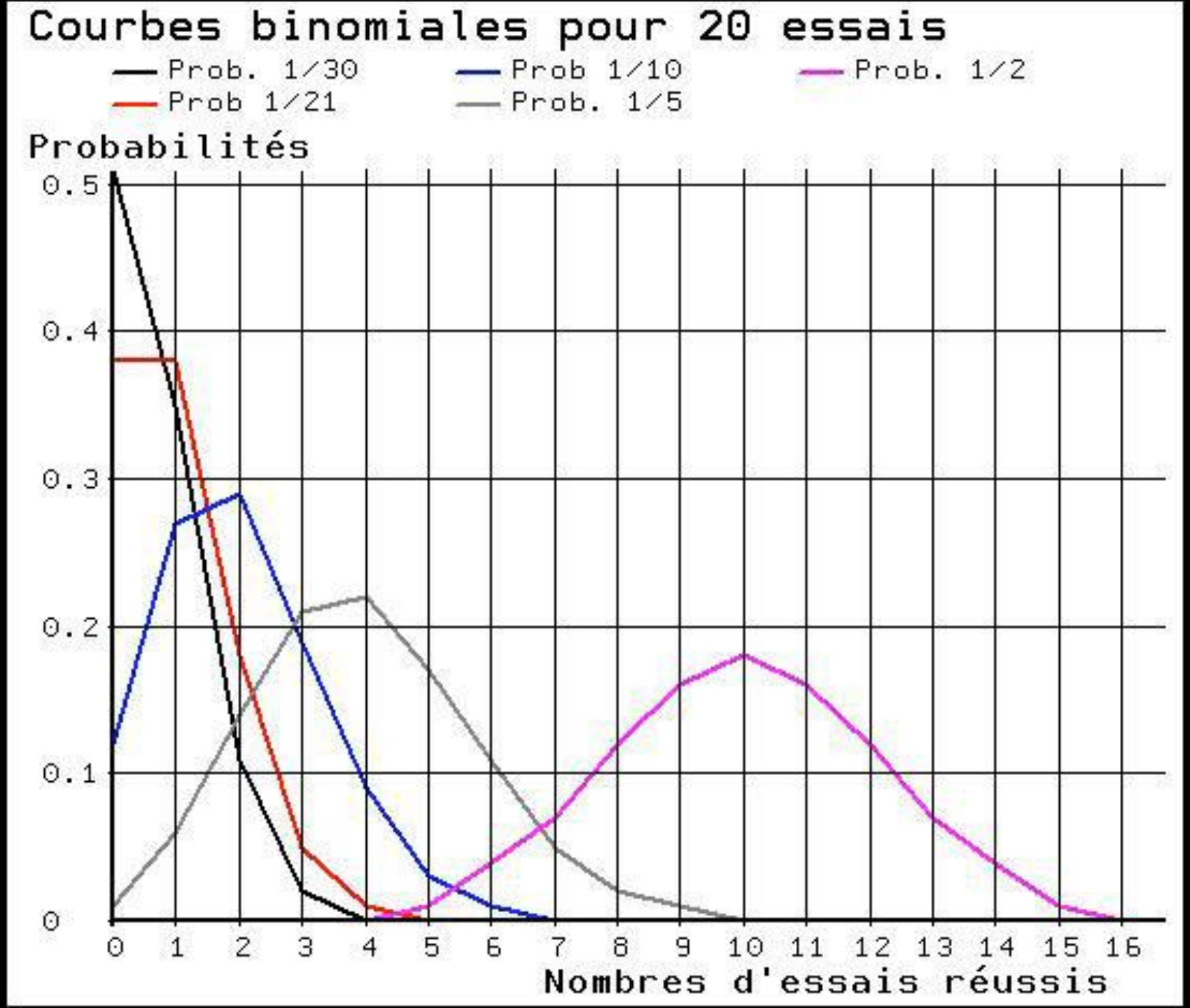
Courbes binomiales pour 20 essais
Prob. 1/30
Prob 1/10
Prob. 1/2
Prob 1/21
Prob. 1/5
Probabilités
0.5
0.4
0.3
0.2
0.1
0
0 1 2 3 4 5 6 7 8 9 10 11 12 13 14 15 16
Nombres d'essais réussis

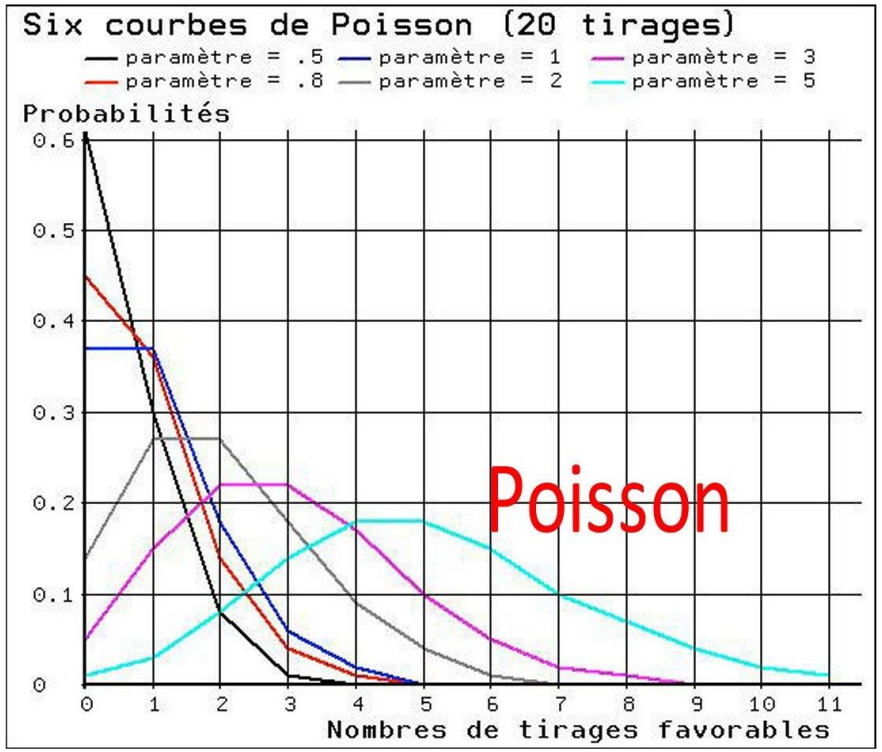

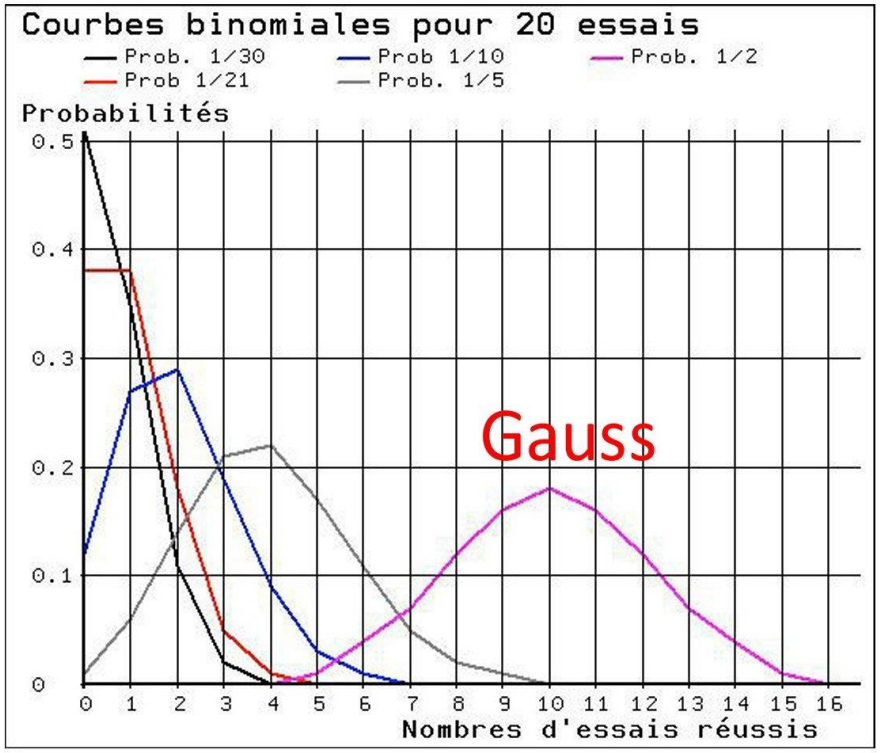

La limite de la loi binomiale est la loi de Poisson

La limite de la loi de Poisson est la loi de Gauss

La loi de Poisson est discrète, c'est une distribution. On doit pouvoir définir une loi de Poisson continue en usant de la fonction Gamma. GT

La théorie épidémique de Poisson établit que l'on peut considérer une loi de Poisson continue comme la différence entre deux sigmoïdes de paramètres différents. Cette théorie s'applique parfaitement bien aux phénomènes épidémiques, l'une des courbes sigma étant le facteur de croissance de la population, tandis que l'autre est son facteur de freinage. Cette théorie s'applique parfaitement bien à la pop humaine, au coronavirus, aux accidents d'avion, et en fait, à presque tout! GT

L'effet Bohm-Aharonov montre que l'espace est muni d'une connexité S^1.

Si on prolonge cet effet aux dimensions 3+1 et 6 + (3+1) = 10 de la supercorde, on peut se demander si ce prolongement aboutit à une connexité de l'espace-temps définie par une variété K3, qui serait la non-simple connexité correcte, obtenue à partir de cet effet.

Rayer la mention inutile :

idiot assez tordu jenesaispas

Aharonov-Bohm Effect

- A solenoid with the current is placed just behind the slits
- Uniform magnetic field is inside the solenoid
- Magnetic field outside is equal to zero
- But vector potential of the magnetic field is non-zero outside!

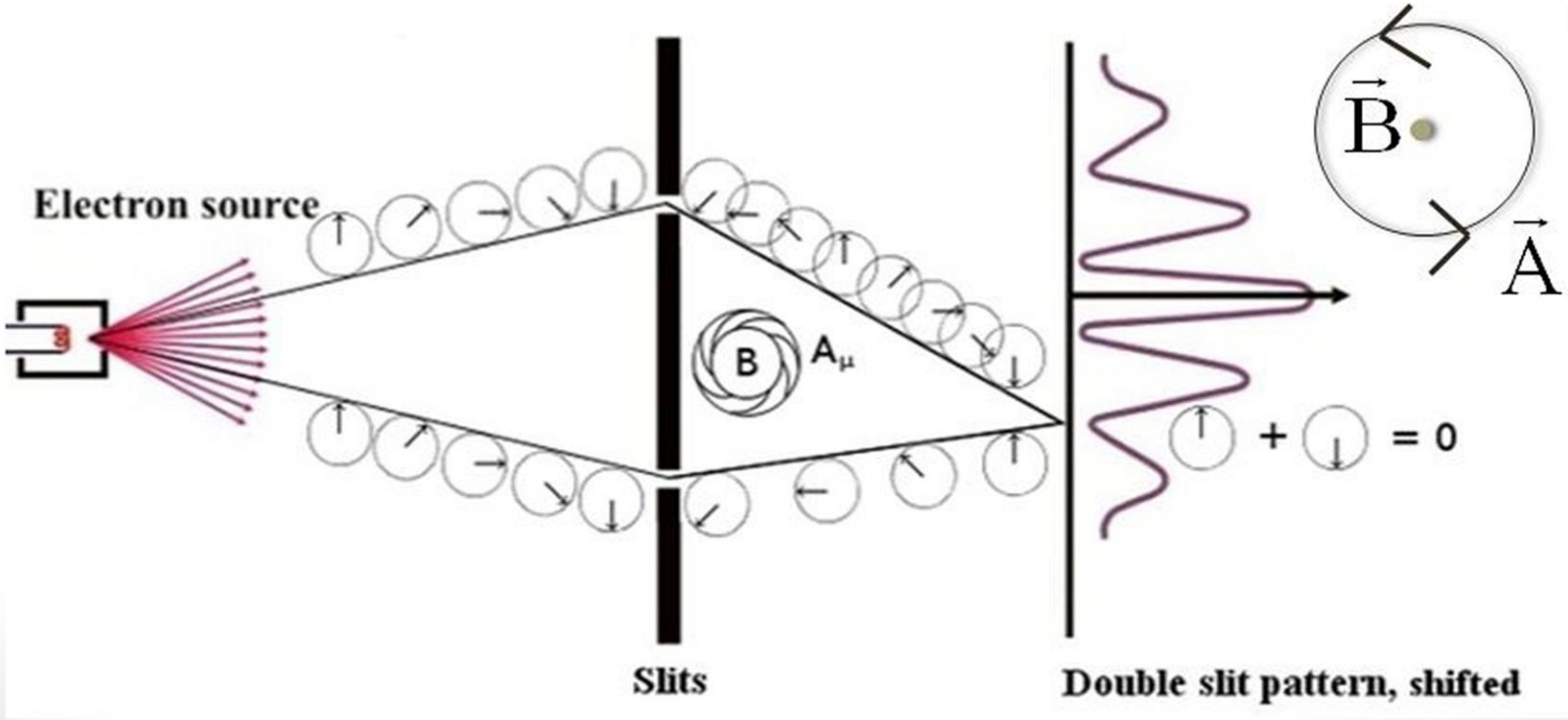

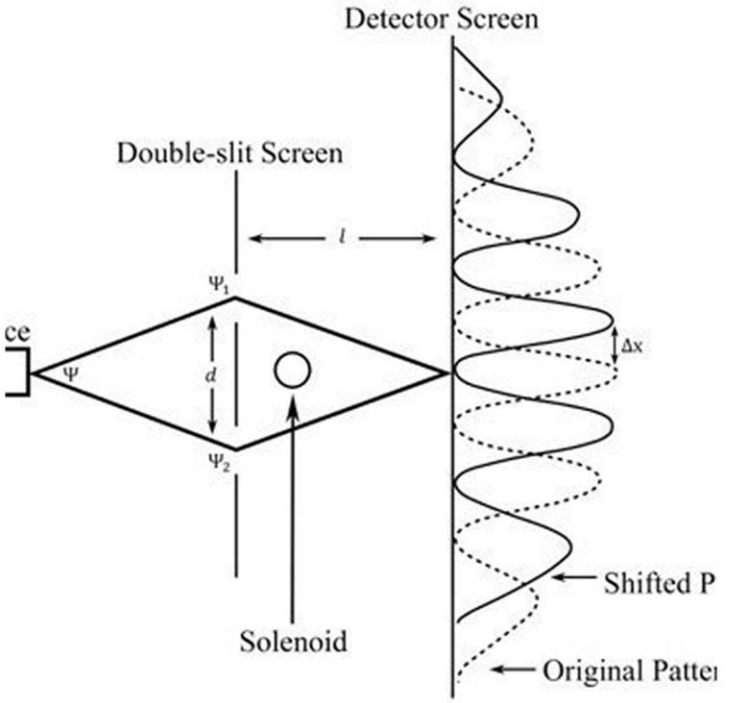

Le champ de couleur des gluons se propage selon une corde fermée dont la couleur et l'anticouleur sont les modes L et R.

Il doit y avoir une charge « magnéto-colorée » qui leur est associée.

Dans l'effet Bohm-Aharonov, l'espace-temps est supposé avoir une connexité associée de type S^1, qui n'est pas définie dans le modèle standard.

Est-il possible de considérer que cette connexité soit un effet de la charge de couleur magnéto-colorée dans notre espace-temps lorentzien ?

juin 03, 2021

—

Lorsque le gouvernement d'un état tient son siège dans la bonbonnière d'une maîtresse d'un roi dégénéré, on se dit qu'on ne peut pas prendre au sérieux une telle république.

En bosonisant deux cordes ouvertes de façon à obtenir un graviton, on doit supprimer la partie antisymétrique du tenseur énergie-impulsion.

Mais celle-ci ne disparaît pas du bilan, et elle est transformée en énergie de torsion du vide, l'axion.

Rayer la mention inutile :

Tout à fait idiot -Pas bête -Je ne sais pas

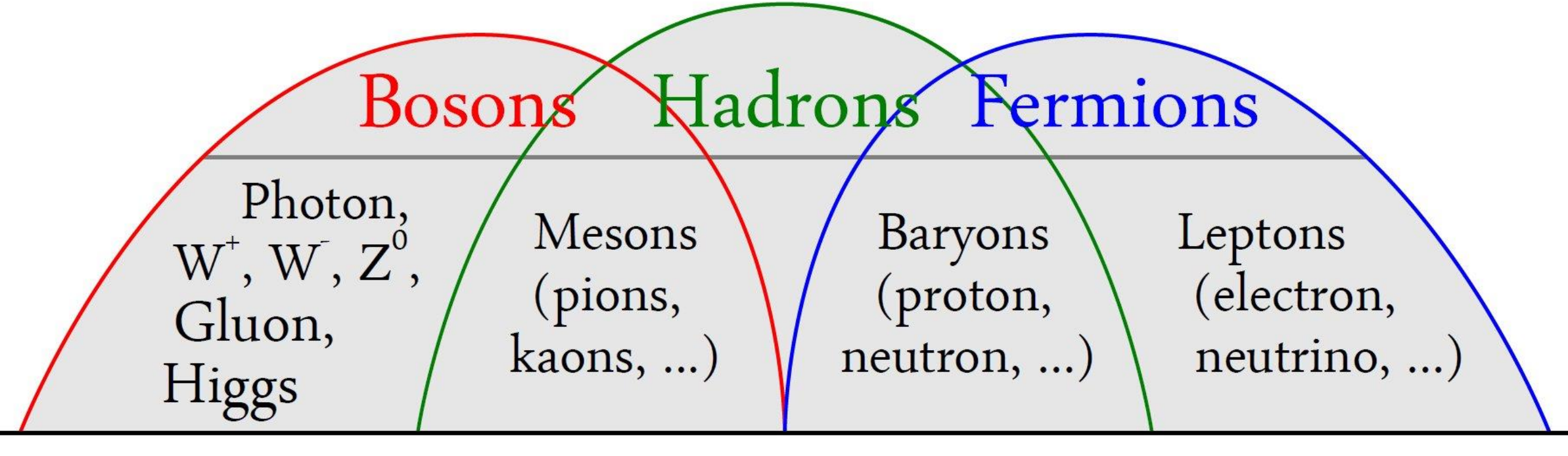
Bosons
Hadrons
Fermions
Photon,
W^+, W^-, Z^0,
Gluon,
Higgs
Mesons
(pions,
kaons, ...)
Baryons
(proton,
neutron, ...)
Leptons
(electron,
neutrino, ...)

∂Z bottled in CFT D=4

∂Z bottled in CFT D=4

correspondance AdS-CFT
la théorie de jauge conforme est sur la sphère S5
l'espace anti-de-Sitter simule
un espace-temps symétrique de la GR

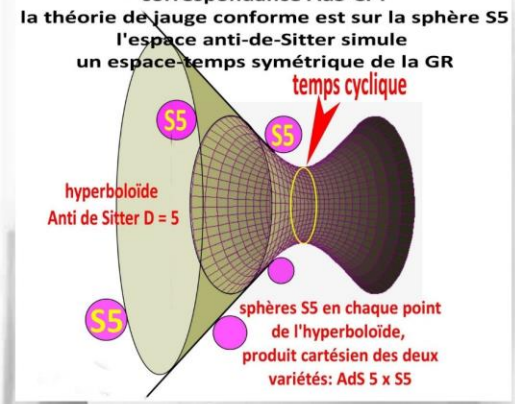

BRANCHE MORTE

Vers 1995, grâce à l'aide de quelques personnes, en particulier d'une femme que je croyais avoir aimée, je suis amené à rompre avec tout mon passé, et donc tous mes amis.

Ce jour-là, je m'en vais assister à une conférence relative à la psychanalyse dans un endroit très public. Le thème est sans aucun rapport avec la psychanalyse, mais fait partie de la retape sociale que le dirigeant d'école local organise de plus en plus tendanciellement en vue de progresser vers sa légion d'honneur.

Celle-ci ne doit plus être très loin.

Arrivé dans la salle de conférence où l'on attend le conférencier, je me rends soudain compte que je suis tout seul, je décide de m'en aller.

Dans l'escalier monumental, je rencontre un garçon charmant avec sa femme, je les salue très amicalement, et je lui dis : « En quoi le thème de cet exposé a-t-il le moindre rapport avec la psychanalyse ? »

Son visage change de ton. Nous nous séparons.

Quelques temps plus tard, consultant ma documentation, je me rends compte que le conférencier invité était justement ce garçon…

Je pense avoir bien scié la branche sur laquelle je ne souhaitais plus m'asseoir.

GT 2023 9 10

Le cours du brent au plus haut depuis octobre 2014

En dollars par baril

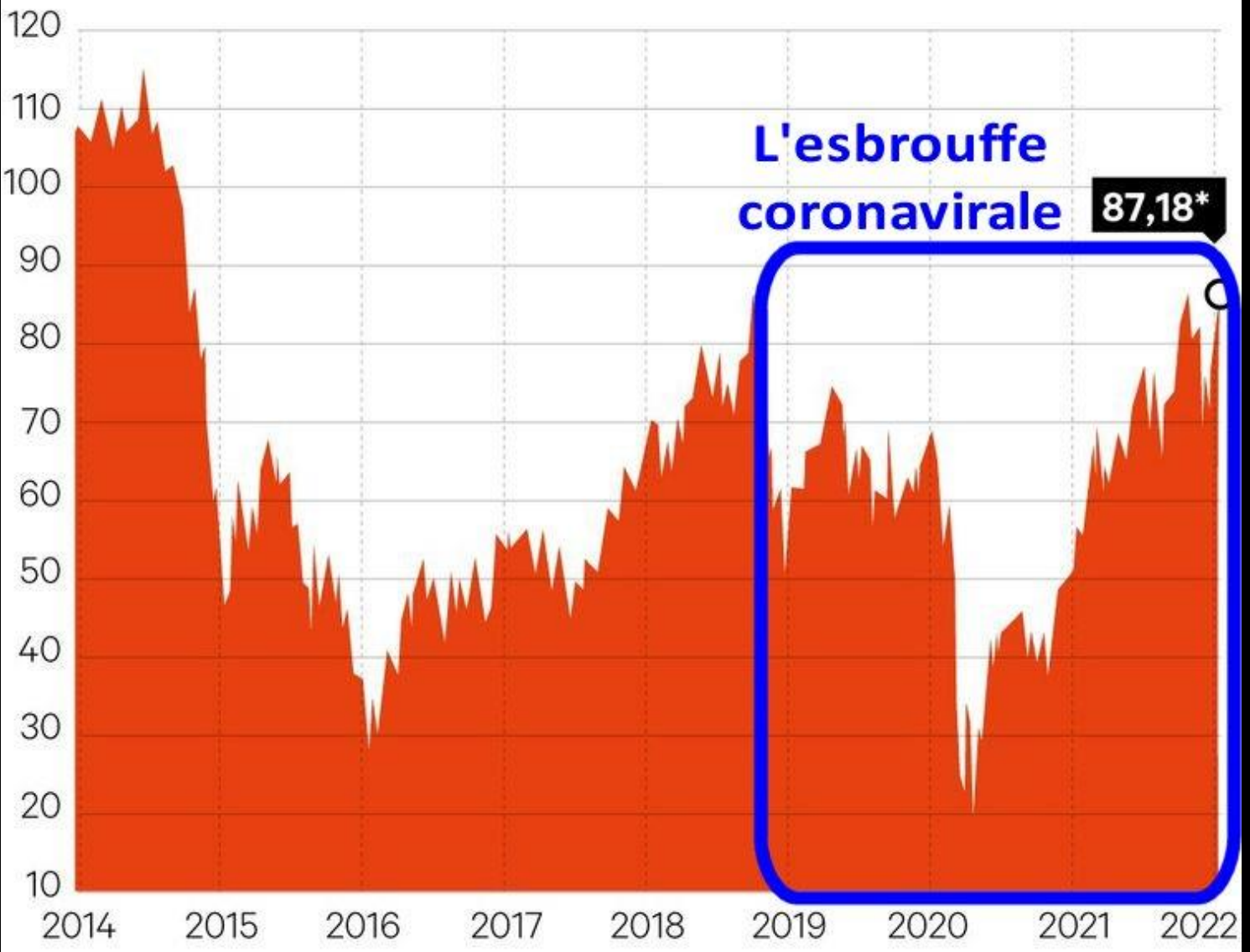

*EN SÉANCE

«LES ÉCHOS» / SOURCE : BLOOMBERG

Sponsorisé

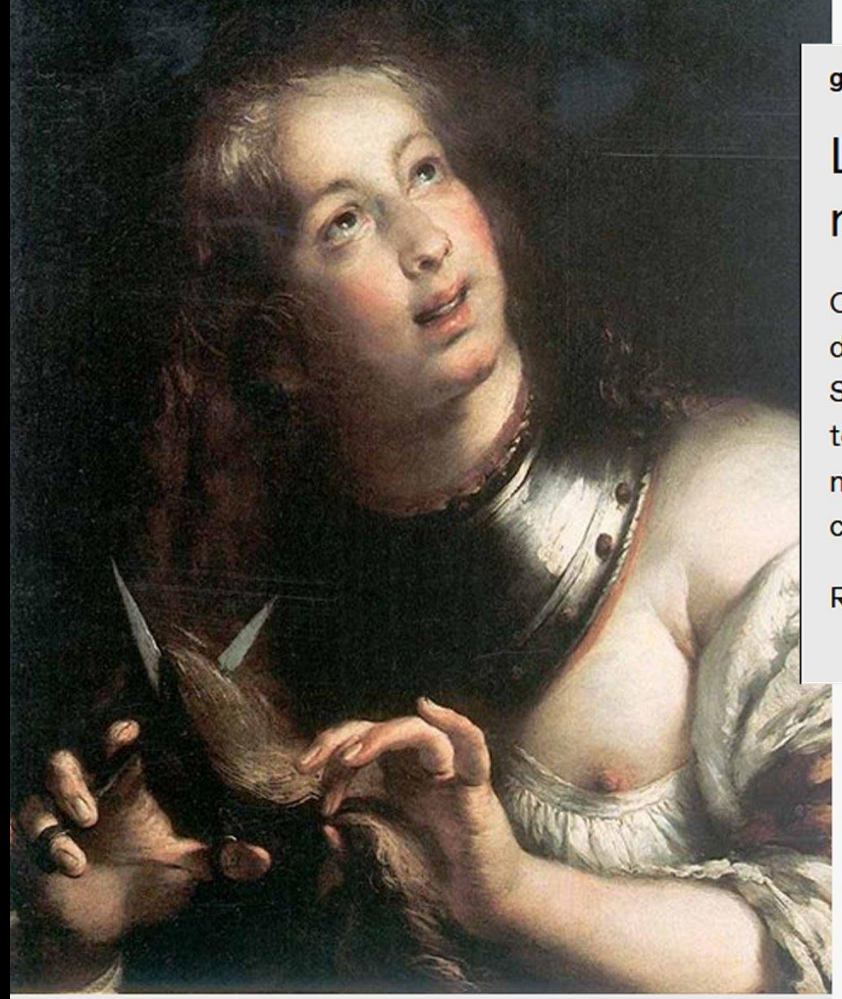

Berenice. Bernardo Strozzi (Italian, Baroque, 1581–1644). Oil on canvas. Galleria d'Arte Antica (Udine, Italy).

Queen Berenice was daughter of the King of Libya and wife of King Ptolemy III Euergetes of Egypt. They were married in 245 B.C. Celebrated as a paragon of marital devotion, to ensure her husband's safe return from a campaign against the Syrians, Berenice cut off her hair and offered it on the altar of Aphrodite. According to legend, the hair mysteriously disappeared from the temple and was installed in the heavenly skies as the constellation, Coma Berenices.

#bernardo strozzi #berenice

geromschweisthal •••

La Chevelure de Bérénice est un mythème méditerranéen.

Ce mythème n'est pas Indo-européen. Sur la plaque Lugh le Cornu du Chaudron de Gundestrup, cette constellation est incarnée par une Serpente, féminine, qui n'est autre que Brigidh, Bhride, Brigidd, tenue en main gauche par Lugh, tandis que le dieu tient le dieu Môn, masculin, la Couronne Boréale, en main droite. Lugh est la constellation du Bouvier, gardien des Oursonnes d'Artémis GT

Rien à voir avec Bérénice !

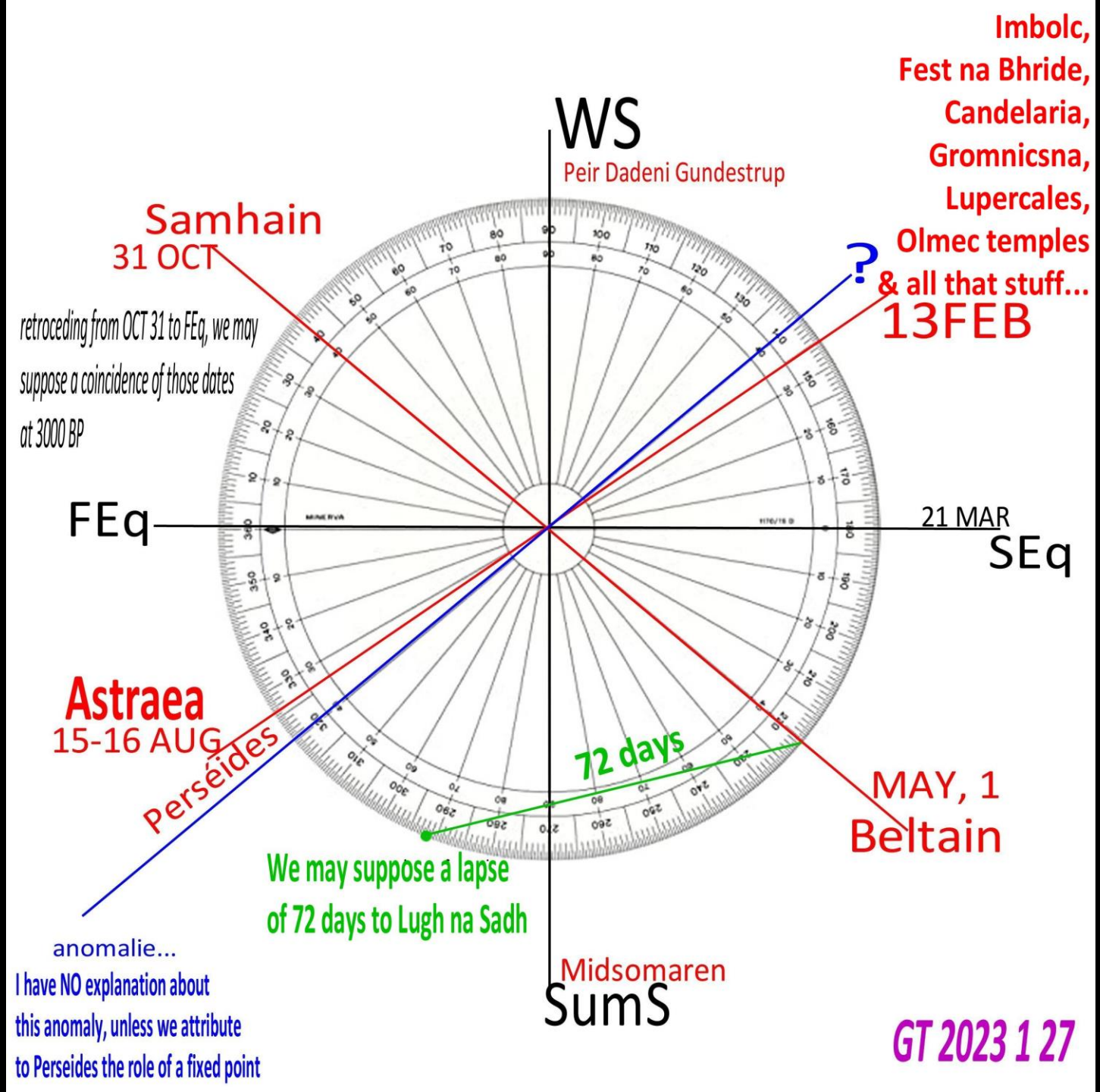
WS
Peir Dadeni Gundestrup
Samhain
31 OCT
retroceding from OCT 31 to FEq, we may
suppose a coincidence of those dates
at 3000 BP
FEq
21 MAR
SEq
Astraea
15-16 AUG
Perséides
72 days
We may suppose a lapse
of 72 days to Lugh na Sadh
anomalie...
I have NO explanation about
this anomaly, unless we attribute
to Perseides the role of a fixed point
Midsomaren
SumS
?
Imbolc,
Fest na Bhride,
Candelaria,
Gromnicsna,
Lupercales,
Olmec temples
& all that stuff...
13FEB
MAY, 1
Beltain
GT 2023 1 27

Manannan Gundestrup

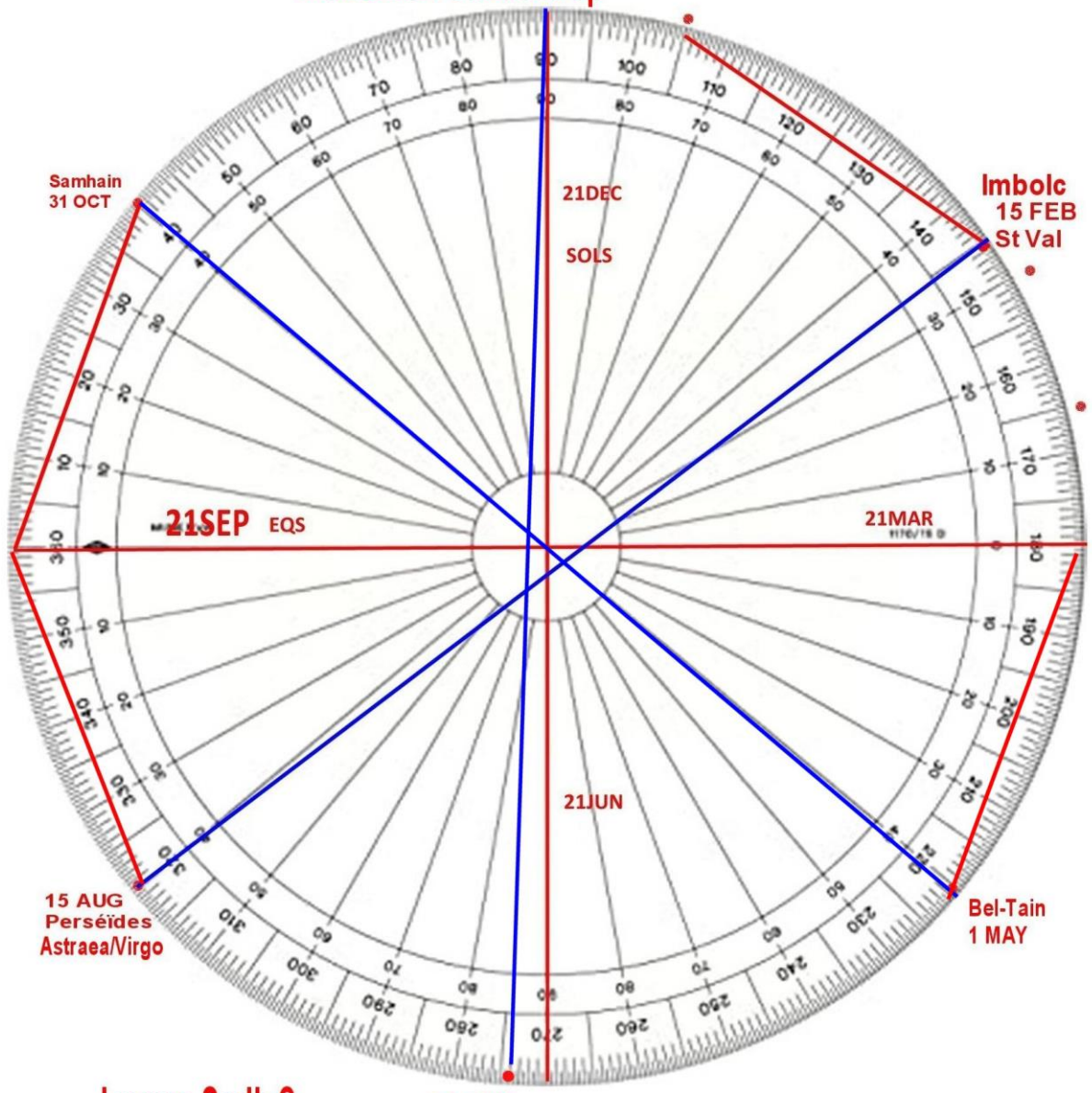

Lug na Sadh ?

24 JUN
Nied Fyr St Jean
Midsomaren Noc Kupala

UNLEASHED PASSIONS

Marihuana (1936)

geromschweisthal

Le cannabis provoque chez ses utilisateurs réguliers un syndrome bien connu:

-coupure des relations sociales sauf avec les fournisseurs, relation de dépendance économique et mentale.

-Syndrome persécutif: ON nous veut du mal, nous sommes des victimes de la société.

--Syndrome d'influence: ON veut nous influencer secrètement en usant de moyens sournois, en particulier les "nanoparticules".

-Syndrome de toute-puissance: Grâce au cannabis je contrôle parfaitement tout mon cerveau.

Ces symptômes sont aussi vrais chez un psychiatre consommateur que chez le paumé au chômage dans sa cage d'escalier de HLM. GT 2022 12 22

Carte du tendre for String Theories

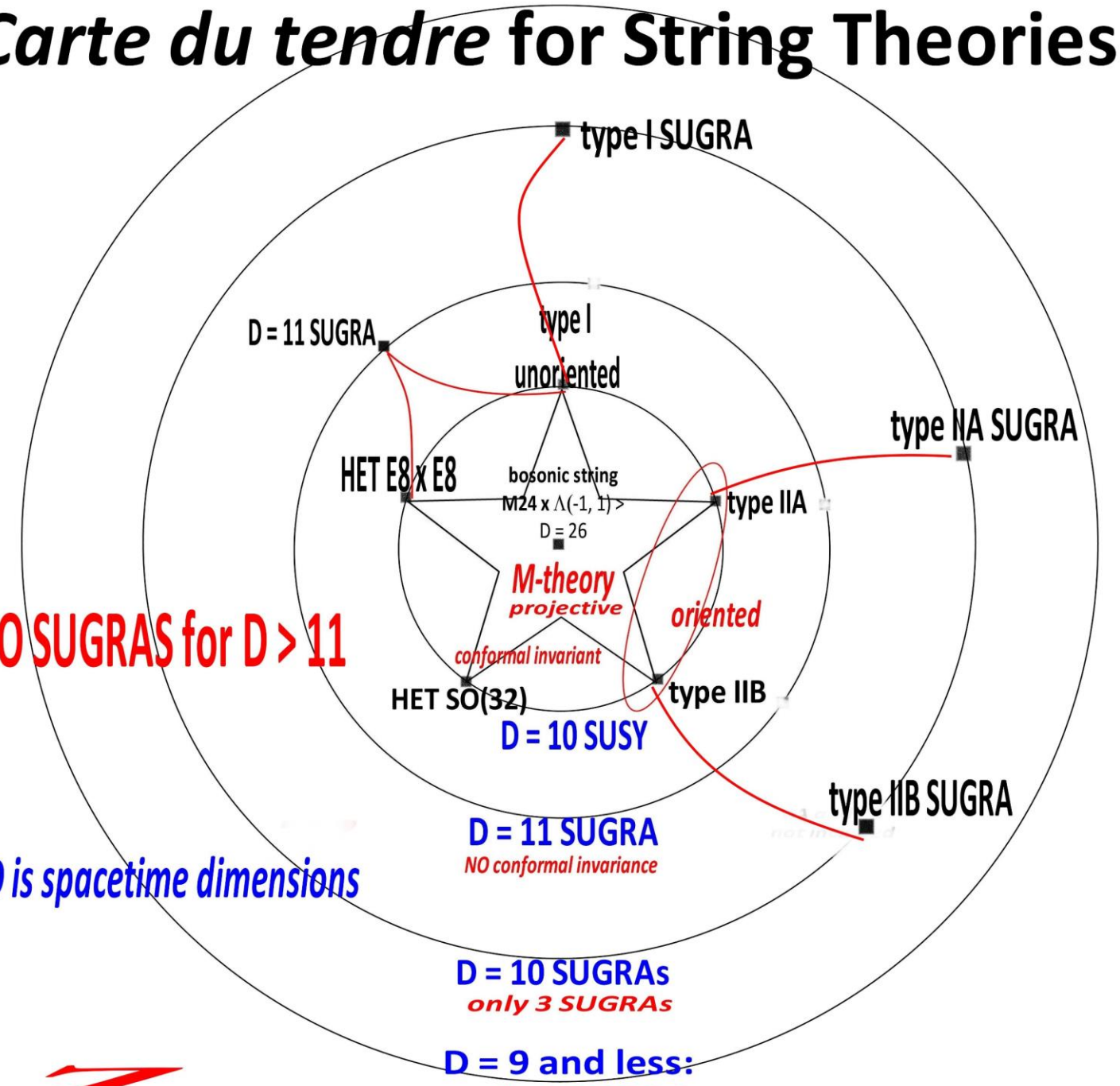

NO SUGRAS for D > 11

D is spacetime dimensions

Répartition de l'emploi par catégories socioprofessionnelles (%)

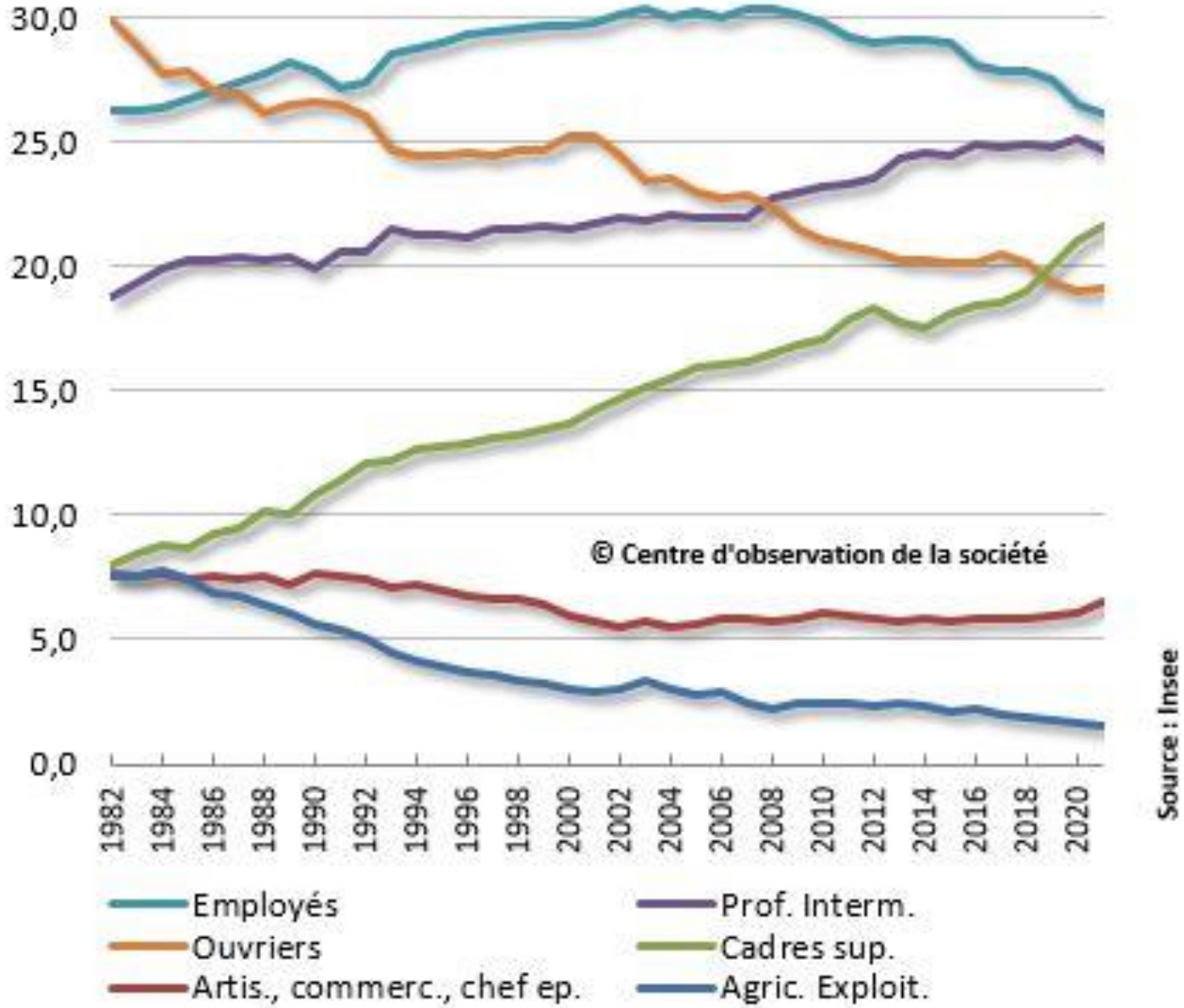

Source : Insee

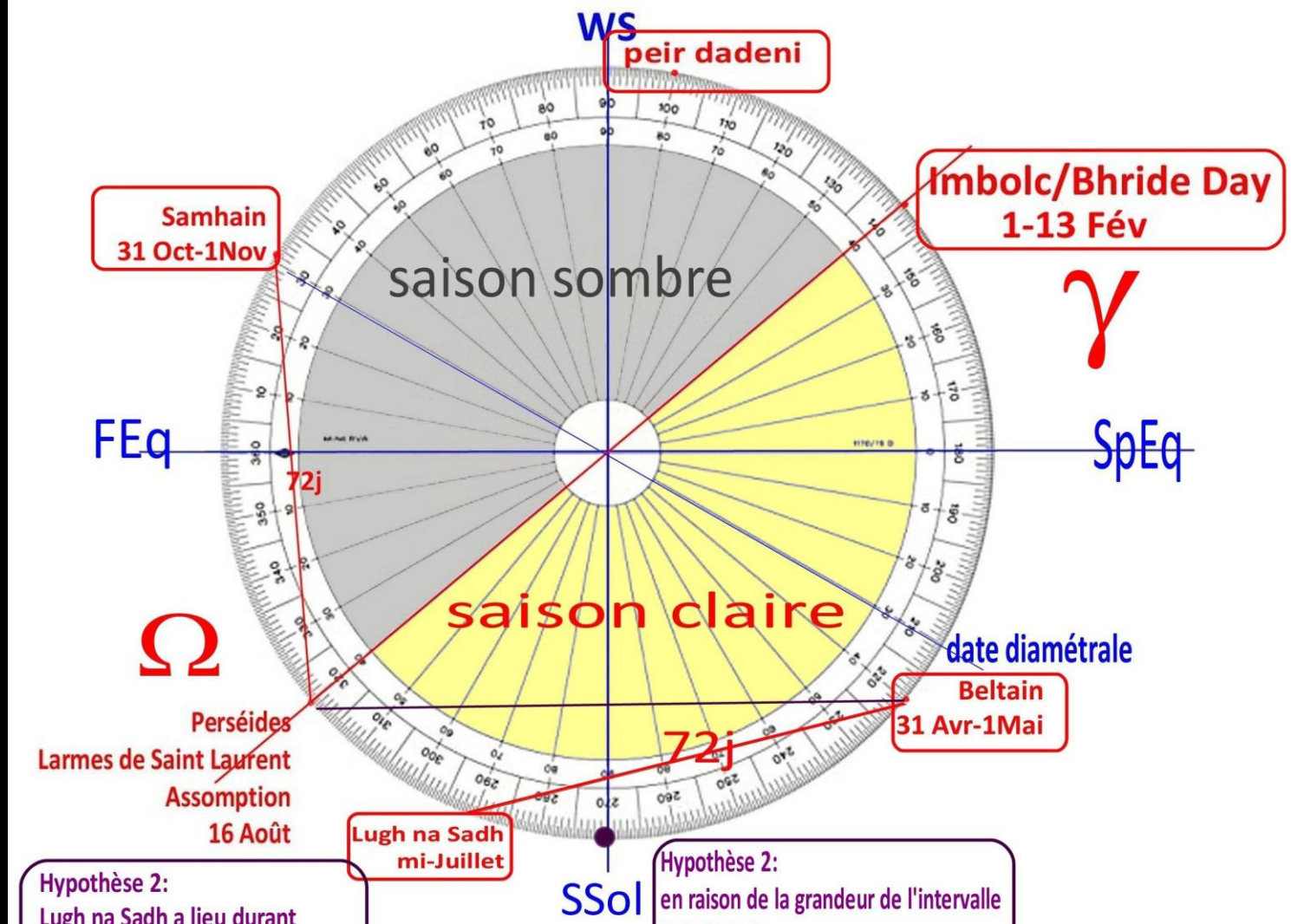

Hypothèse 2:
Lugh na Sadh a lieu durant les Perséides, car en 1000 BCE, Arcturus est sur le colure Omega. Par la suite, Arcturus ne sera plus sur ce colure, ce qui provoque une dissociation des fêtes de LnS et de l'Assomption.

Hypothèse 2:
en raison de la grandeur de l'intervalle Beltain-LnS,
on construit la célébration "naturelle" de Kupala Noc, la Saint-Jean d'été

(cette célébration non-divine n'est évidemment pas présente sur le Chaudron de Gundestrup)

NOUVELLES HYPOTHESES SUR LE CYCLE DES CELEBRATIONS KELTES

Vive les centrales électriques à Charbon!

PYRAMIDION DE KHEOPS

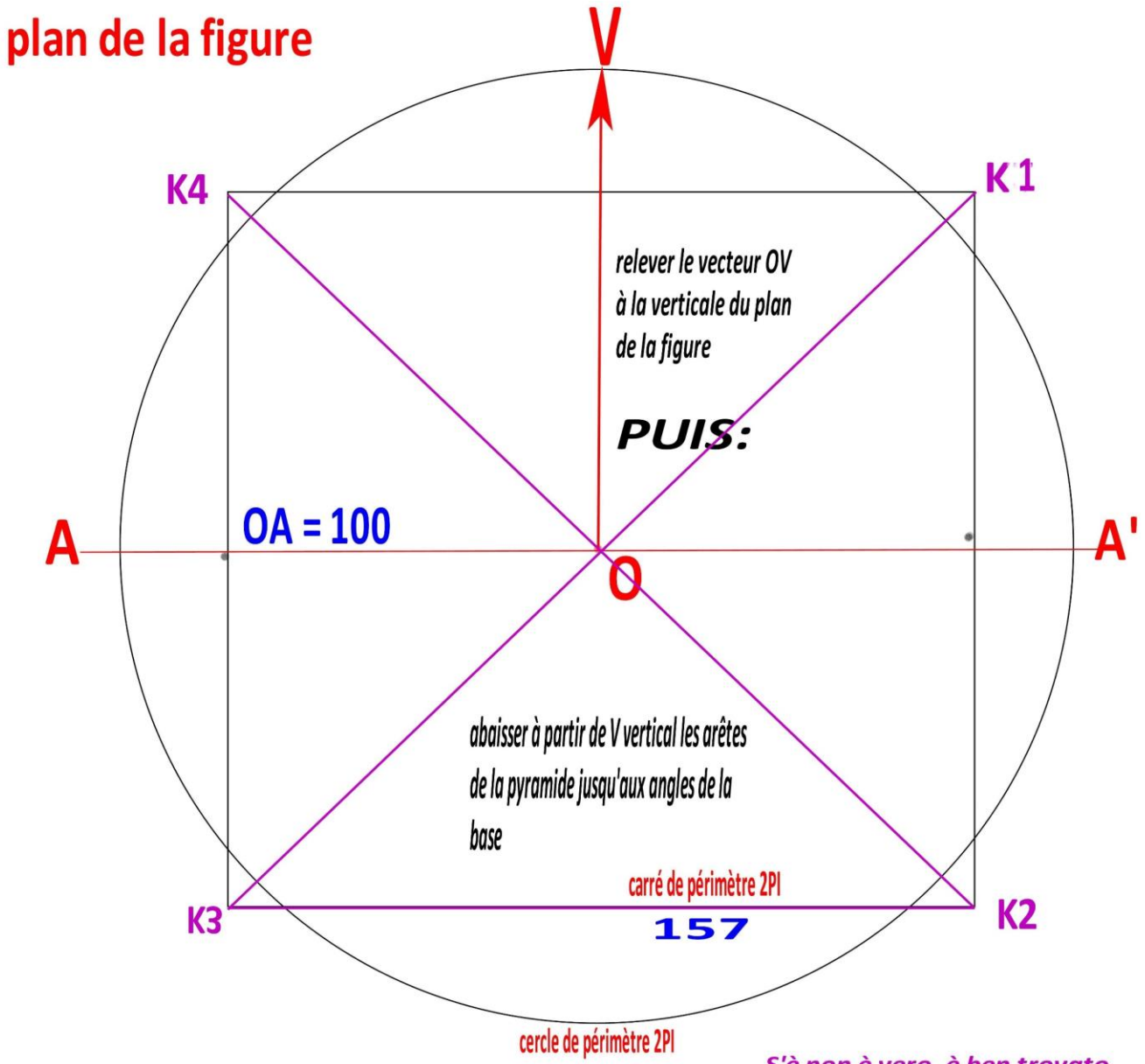

S'è non è vero, è ben trovato

Fig. 11.—Circumpolar Circle.

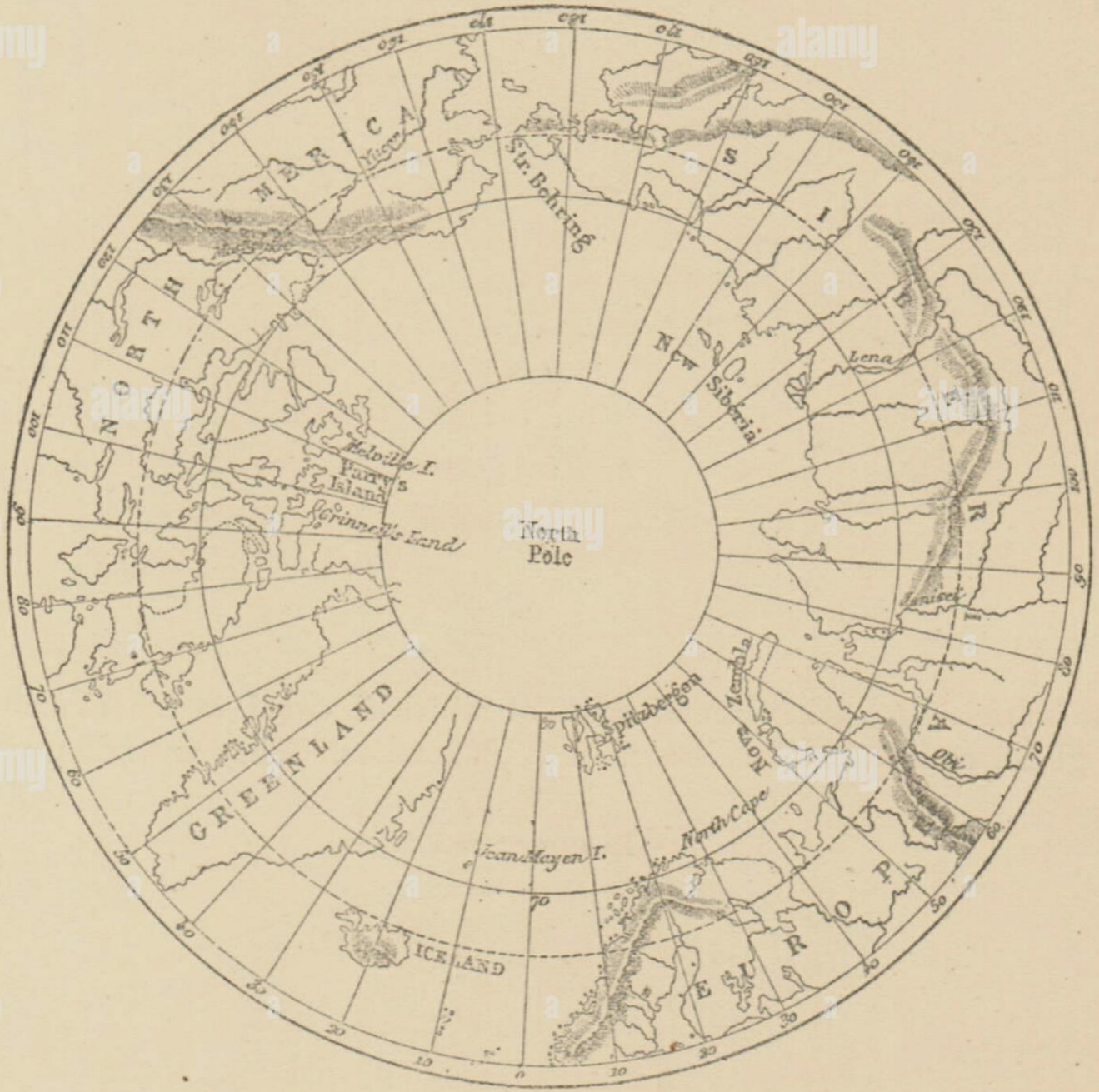

geromschweisthal

Contrairement aux images pieuses que l'on trouve dans les manuels de médecine, le cervix et son ensemble décoratif montent beaucoup plus haut dans le ventre que l'on ne le représente. Comme toujours, il s'agit de minimiser les femmes.

Or mon expérience pas médicale du tout m'a appris que chez bon nombre de femmes, le haut du cervix monte jusqu'à un ou deux doigts (en largeur!) sous le nombril. Il est facile de le vérifier avec quelques caresses que la Dame vous autorisera, en tout bien tout honneur, comme dit une de mes amies.

Gérôme Taillandier

Salaires, revenu professionnel et coût du travail

Niveau des salaires - Suisse

Selon les caractéristiques des personnes

Par groupes de professions

Secteurs privé et public

Répartitions des salaires nets

Composantes salariales

Salarium

Ecart salarial

Salaires des cadres / bas salaires

Répartitions des salaires nets

Répartition des salariés selon les classes de salaires, en 2020

Salaire mensuel net, secteur privé et secteur public ensemble

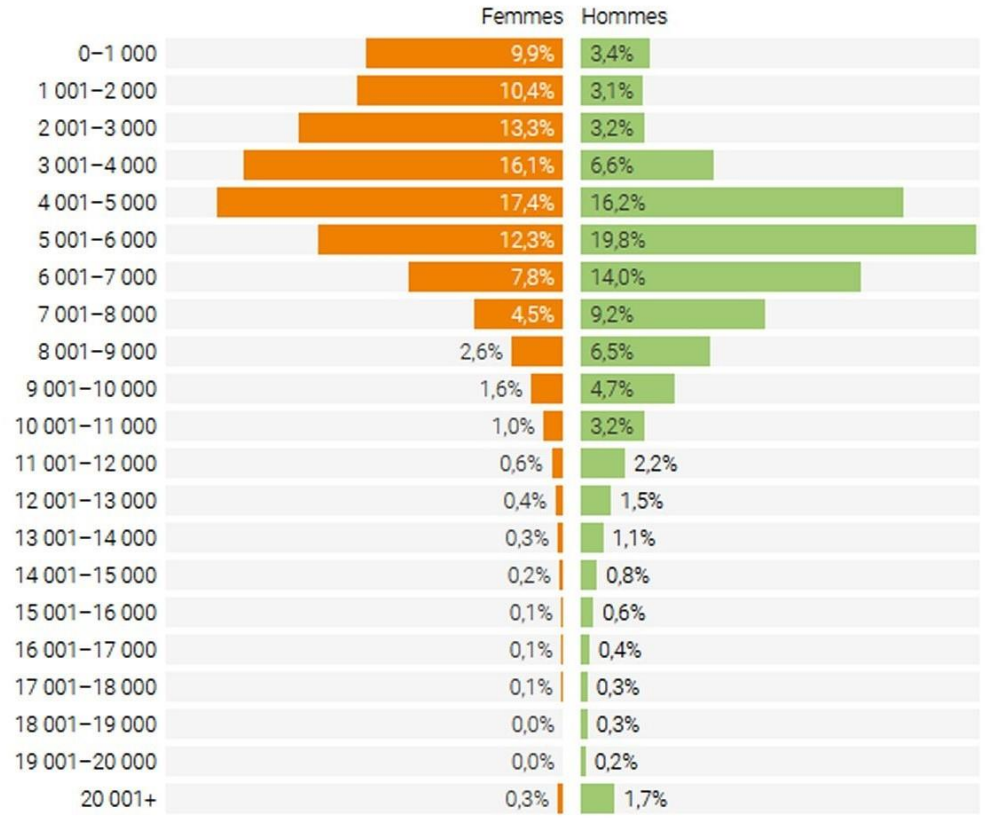

Source: OFS – Enquête suisse sur la structure des salaires (ESS)

© OFS 2022

© OFS

Détails et Download

Répartition des salariés selon le taux d'occupation et les classes de salaires, en 2020, salaire mensuel net, secteur privé et secteur public ensemble

Salariés occupés à plein temps

Contact

Office fédéral de la statistique
Section Salaires et conditions d
travail
Espace de l'Europe 10
CH-2010 Neuchâtel
Suisse

Contact

On a accoutumé de dire que la table des fermions du modèle standard sans SUSY et sans antimatière est constituée de 6 quarks et de 6 leptons.

Mais c'est faux. Les partons sont constitués de deux cordes fermées dont les deux extrémités émergeant on-shell ont --soit un quark ou un antiquark à chaque bout, --soit un lepton NU ou un lepton LAMBDA à chaque bout. NU et LAMDA sont les charges de Chan-Paton lepton et neutrino.

L'antimatière est impliquée dans chaque tube de charges de Chan-Paton constitués par ces cordes fermées.

Il faut y ajouter les angles de mélange, de Weinberg, CKM et leptoniques.

GT 2022 9 17

G Gérôme Taillandier

★ à l'instant

J'ai déjà proposé que, parmi les "hommes célèbres" on fasse entrer Arletty, qui a bien mérité cela, après les malversations dont elle a fait l'objet pour son sens des rapprochements franco-allemands à une époque où le parti communiste faisait la loi et la justice en France. Une deuxième proposition serait d'y faire entrer Coco Chanel , les odeurs de cocaïne ne gênant plus personne aujourd'hui. Lorsqu'on pense à l'argent que le fisc français a récupéré, grâce à elle, elle l'a bien mérité. La petite robe noire, révolution pour les femmes, est tout de même plus facile à porter qu'une ceinture de bananes. G

Pour une entrée de Mata-Hari au Panthéon.
Lorsqu'on pense à la contribution de Mata-Hari au maintien du moral des troupes dans le commandement supérieur, on ne peut qu'être ému de son oubli et je propose qu'elle entre au Panthéon, sans oublier les douze balles que son cadavre abrite. Il est évident que cette entrée contribuera beaucoup à la diversité culturelle dans ce pays. GT

Puisqu'il semble que la panthéonisation est un moyen de réaffirmer la République, je suggère par ailleurs que

ceinture de bananes. G

Pour une entrée de Mata-Hari au Panthéon.
Lorsqu'on pense à la contribution de Mata-Hari au maintien du moral des troupes dans le commandement supérieur, on ne peut qu'êre ému de son oubli et je propose qu'elle entre au Panthéon, sans oublier les douze balles que son cadavre abrite. Il est évident que cette entrée contribuera beaucoup à la diversité culturelle dans ce pays. GT

Puisqu'il semble que la panthéonisation est un moyen de réaffirmer la République, je suggère par ailleurs que l'on fasse entrer dans cette noble demeure Charlotte Corday. Celle-ci a débarrassé, avec un courage sans faille, ce pays de l'une des pires engeances qu'il ait connues, payant de sa vie le rétablissement de la dignitié de l'espèce humaine, GT

Visité en décembre 2021

J'aime Partager

Ajouter une photo

geromschweisthal

TIRER LA CHASSE APRÈS USAGE

Je viens enfin de trouver le titre de mes Œuvres Complètes, imprimées sur rouleaux de papier toilettes ! GT

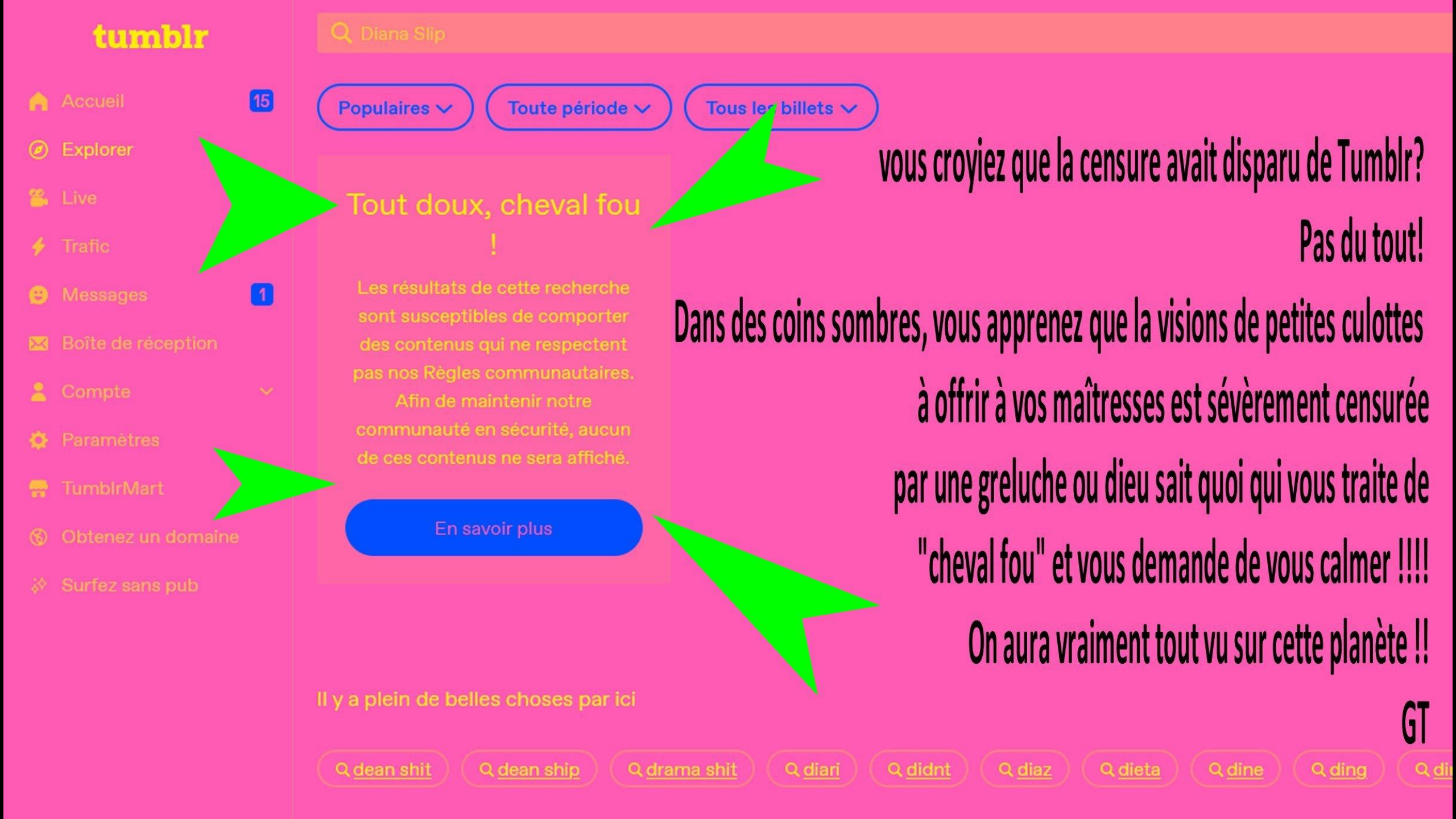
tumblr
Diana Slip
Accueil 15
Explorer
Live
Trafic
Messages 1
Boîte de réception
Compte
Paramètres
TumblrMart
Obtenez un domaine
Surfez sans pub
Populaires
Toute période
Tous les billets
Tout doux, cheval fou !
Les résultats de cette recherche sont susceptibles de comporter des contenus qui ne respectent pas nos Règles communautaires. Afin de maintenir notre communauté en sécurité, aucun de ces contenus ne sera affiché.
En savoir plus
vous croyiez que la censure avait disparu de Tumblr?
Pas du tout!
Dans des coins sombres, vous apprenez que la visions de petites culottes
à offrir à vos maîtresses est sévèrement censurée
par une greluche ou dieu sait quoi qui vous traite de
"cheval fou" et vous demande de vous calmer !!!!
On aura vraiment tout vu sur cette planète !!
GT
Il y a plein de belles choses par ici
dean shit
dean ship
drama shit
diari
didnt
diaz
dieta
dine
ding

geromschweisthal

Il y a plus de soixante ans, une plaisanterie courait chez les philosophes:

Que feriez-vous si vous deviez tuer tous les Chinois en appuyant sur un simple bouton?

Aujourd'hui, ce sont les Chinois qui rigolent: ils appuyent sur le bouton de leur télécommande à puce, et notre industrie est morte.

Hi! Hi! GT

On s'étonne que les Français n'aient toujours pas érigé un monument digne de ce nom à Von Choltitz.

Après tout, après les innombrables dégradations commises par les Français dans les Allemagne sous Turenne, Louvois, Bonaparte et Richelieu durant la Guerre de Trente Ans, ils n'auraient pas volé qu'on leur rase leur capitale, d'autant que le travail avait déjà été fait à moitié par Haussmann.

Quoiqu'il en soit, Choltitz a évité aux Parisiens d'aller vivre sous des bâches dans un camp de l'ONU, et c'est à lui et à lui seul que l'on doit que cette ville ressemble encore à un décor de théâtre de style vénitien.

Je suggère de raser la colonne Vendôme, et de la remplacer par une statue de Von Choltitz dans toute sa gloire et sa bienveillance.

GT

DELL

Il existe plusieurs brisures de symétrie du modèle standard étendu, dont l'angle de Weinberg, mais aussi la partie imaginaire de la matrice CKM.

Si l'on suppose qu'il y a 4 familles de partons selon SO(10), peut-on alors démontrer que cette nouvelle partie imaginaire de CKM4 ne brise plus la symétrie CPT ?

GT 2022 7

Dans une société industrielle développée l'organisation sociale est faite selon des **classes**, lesquelles sont définies par leur **revenus** et leur **fortune**. La théorie de la plus-value est désuète car non vérifiable, alors que les lois qui définissent les revenus et fortunes sont bien connues et sont définies par une **courbe de Poisson** dont le paramètre lambda est variable.

Il faut ajouter que cette organisation en classe est en fait secondaire et superficielle à une autre organisation sous-jacente, l'organisation en **castes.**

Je ne parlerai pas des castes et de leur effet sur les classes.

En conséquence dans une société industrielle stable, et homogène, les effets sociaux les plus manifestes sont les **variations de la fortune globale** de cette société, et les modifications de **l'appareil industriel** qui permet ou empêche le développement économique de cette société, et ses subordinations avec les autres sociétés globales qui les environnent.

Seule la production industrielle détermine le destin de ces groupes sociaux.

Une forme totalement antisymétrique est faite de deux parties : la partie cyclique des permutations paires et la partie antisymétrique des impaires.

Ainsi la multiplication de Clifford, ©, est la seul acceptable pour ces formes puisqu'elle définit la somme de deux parties :

$$a©b = a.b + a\hat{}b$$

Soient des spineurs de Dirac dont les spins sont (anti)parallèles. L'algèbre de Clifford se réduit à une algèbre de Dirac

$$ab + ba = \delta_{ij} \times n$$

Si les spins ne sont pas alignés, la partie *non-diagonale* du *wedge product* entre en scène et l'algèbre de Clifford est complète :

$$a©b = a.b + a\hat{}b$$

Soit une p-forme totalement antisymétrique. Elle se décompose en deux parties, la partie *cyclique* des permutations paires, et la partie *torsion* des permutations impaires.

Le produit de deux formes est tel que :

$$ab + ba = 0,$$

$$a^2 = o$$

ou *algèbre de Grassmann*.

Le produit naturel est le *produit de Clifford.*

L'intégration est *l'intégrale de Berezin*.

La division naturelle est la *contraction*.

FORECAST CLIMATE REHEATING FOR TIME TO COME

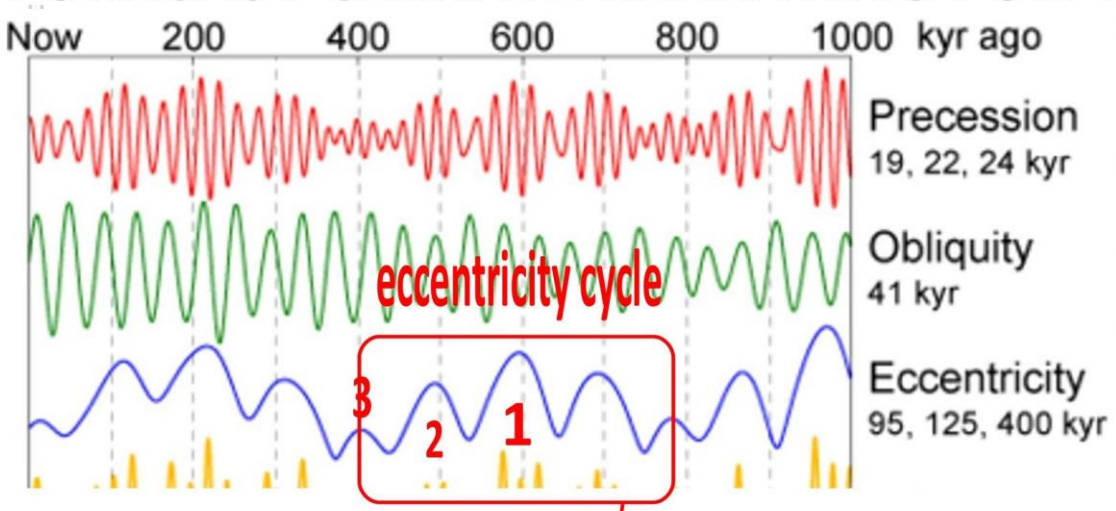

1

PERIOD of eccentricity is a 380 kyr wave

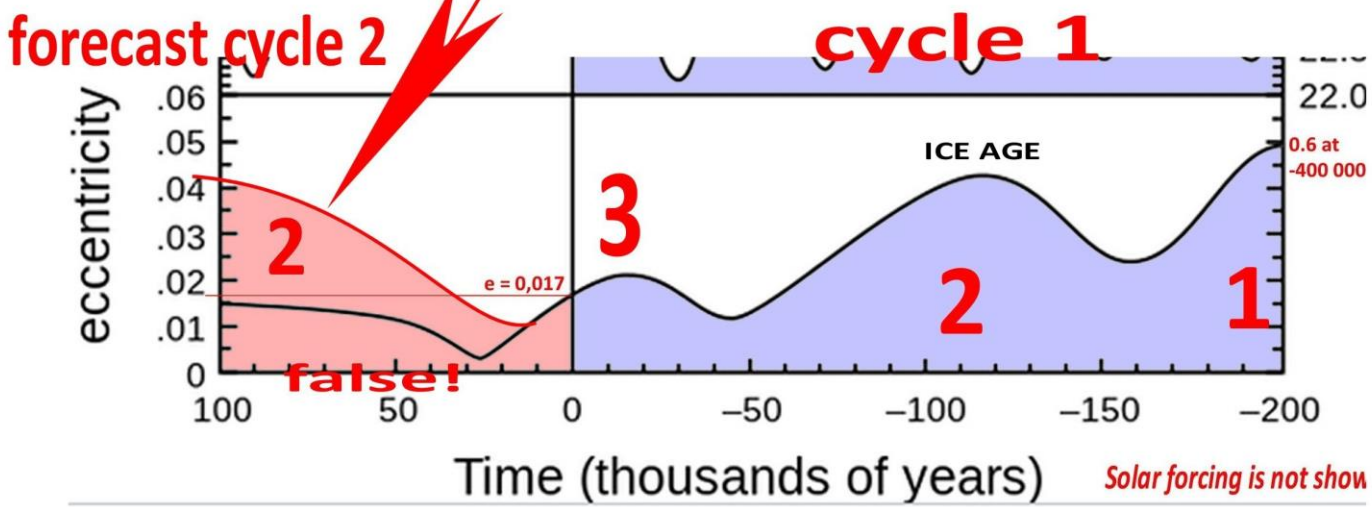

2 If we admit of a 80-90 kyr wave of eccentricity, "climate reheating" should progress for 2 000 years more, and begin to recess to higher eccentricity coefficients toward a new ice age afterwards.

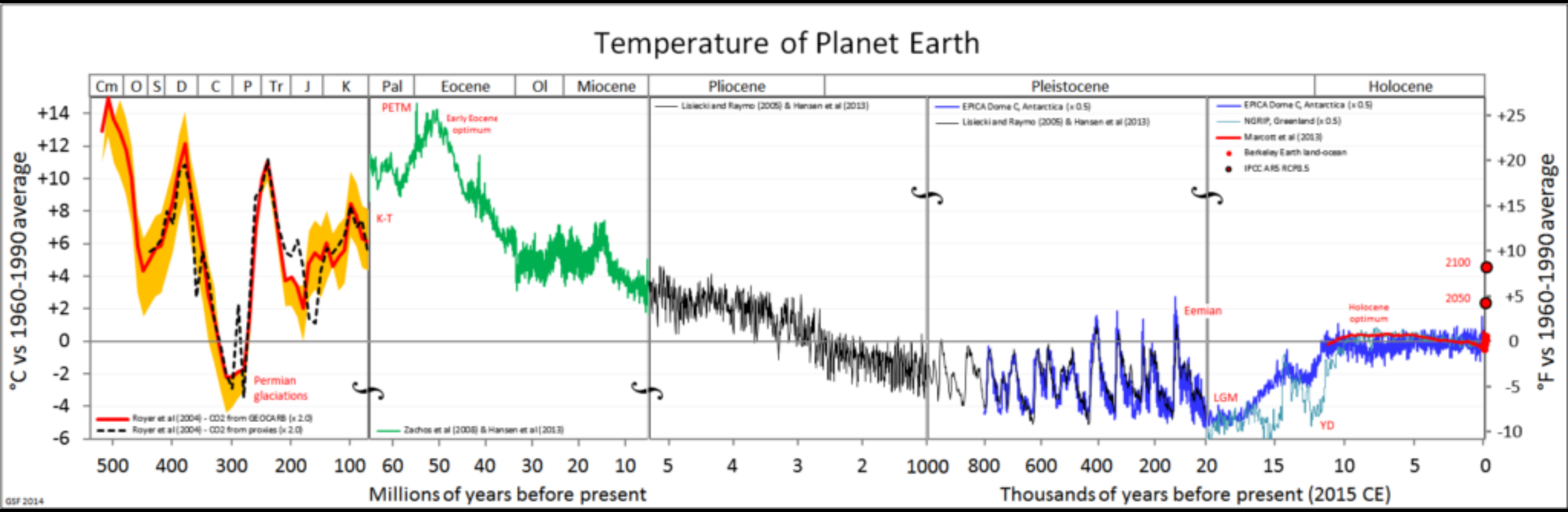
Temperature of Planet Earth
Cm
O
S
D
C
P
Tr
J
K
Pal
Eocene
Ol
Miocene
Pliocene
Pleistocene
Holocene
°C vs 1960-1990 average
°F vs 1960-1990 average
PETM
Early Eocene optimum
K-T
Permian glaciations
Royer et al (2004) - CO2 from GEOCARB (x 2.0)
Royer et al (2004) - CO2 from proxies (x 2.0)
Zachos et al (2008) & Hansen et al (2013)
Lisiecki and Raymo (2005) & Hansen et al (2013)
EPICA Dome C, Antarctica (x 0.5)
NGRIP, Greenland (x 0.5)
Marcott et al (2013)
Berkeley Earth land-ocean
IPCC AR5 RCP8.5
Eemian
LGM
YD
Holocene optimum
2100
2050
Millions of years before present
Thousands of years before present (2015 CE)
GSF 2014

Ivan Colonna
Berger
Corse

Le coup du composteur, une idée de génie : obliger tout un peuple à garder sa merde et à la contempler chaque jour et chaque instant !
Mieux que le vaccin!
Enculés jour et nuit par ce petit connard qui veut nous "emmerder"!
Même Caligula n'a pas eu d'idées aussi magnifiques !
Payer sa merde si elle n'est pas dans le pot !
Ce type est un génie !
Imagine ce qu'il a dans le cerveau : la raie publique, dont il attend de se venger de son malheur.

Ils chient tous ensemble, ravis. On ne dit pas "marcher au pas", ce n'est pas possible en même temps.

Le nombre de dimensions de notre espace-temps = 4.

Le nombre de dimensions de la supercorde = 10.

Le nombre de dimensions des bosons = 26 = 2 x 13.

13 est le nombre de nœuds de la corde à 13 nœuds qui permet à l'Architecte de construire un triangle rectangle 3-4-5, les Douze-Apôtres plus le Treizième.

Il divise la corde en 12 intervalles, la gamme pythagoricienne.

La théorie des cordes, Pythagoricienne ?

GT 2021 8 8

« NON-LOCALITÉ » ET THÉORIE DES CORDES

Gérôme Taillandier

On sait que la simultanéité n'existe pas en relativité.

De sorte que, confronté à une expérience de pensée dans laquelle deux partons sont dans le même état quantique à bonne distance l'un de l'autre, afin d'éviter l'écueil de la loi de Pauli, ces deux partons sont supposés être dans cette identité d'état grâce à la « non-localité », notion fumeuse au dernier degré, mais indispensable pour rendre compte de cette expérience.

Dans ces conditions, il paraît que l'expérience de Michelson-Morley repose sur la non-localité, car sinon, comment deux faisceaux de photons issus de la même source pourraient-ils interférer à leur retour ?

On a cependant un moyen de s'en sortir si l'on conçoit que la non-localité est une expression primitive de la théorie des cordes.

En effet, sur une corde, des propriétés invariantes sont conservées, et l'on peut considérer un photon, ou un fermion, comme une corde ouverte ou fermée, dont la world-sheet conserve les invariants.

C'est ainsi qu'un gluon n'est pas une particule de jauge, mais une corde fermée se propageant dans l'espace-temps, tandis que les quarks qui sont à son extrémité sont les charges de Chan-Paton de cette corde fermée, tandis que les modes L et R se propagent sur la world-sheet, l'antiquark étant la charge associée aux modes R tandis que le quark est associé au modes L.

La charge de couleur dépend d'un autre facteur, qui est l'index d'Euler de la variété de compactification de la théorie.

Ainsi, nous pouvons nos débarrasser de la fumeuse idée de non-localité, non sans reconnaître que cette notion a anticipé la théorie des cordes de manière remarquable.

2023 5 20

Corona en Allemagne, Décembre 2020:

La technique Allemande a trop bien marché et le seuil épidémique a été franchi en sorte que l'écrantage n'était plus suffisant face à la croissance virale!

D'où une importante vague de reprise qui montre l'existence d'un mécanisme de rappel dans une épidémie: une force s'oppose à la décroissance trop rapide de l'épidémie par rapport à la loi de Poisson qui régit la croissance de la propagation virale.

GT 2020 12 15

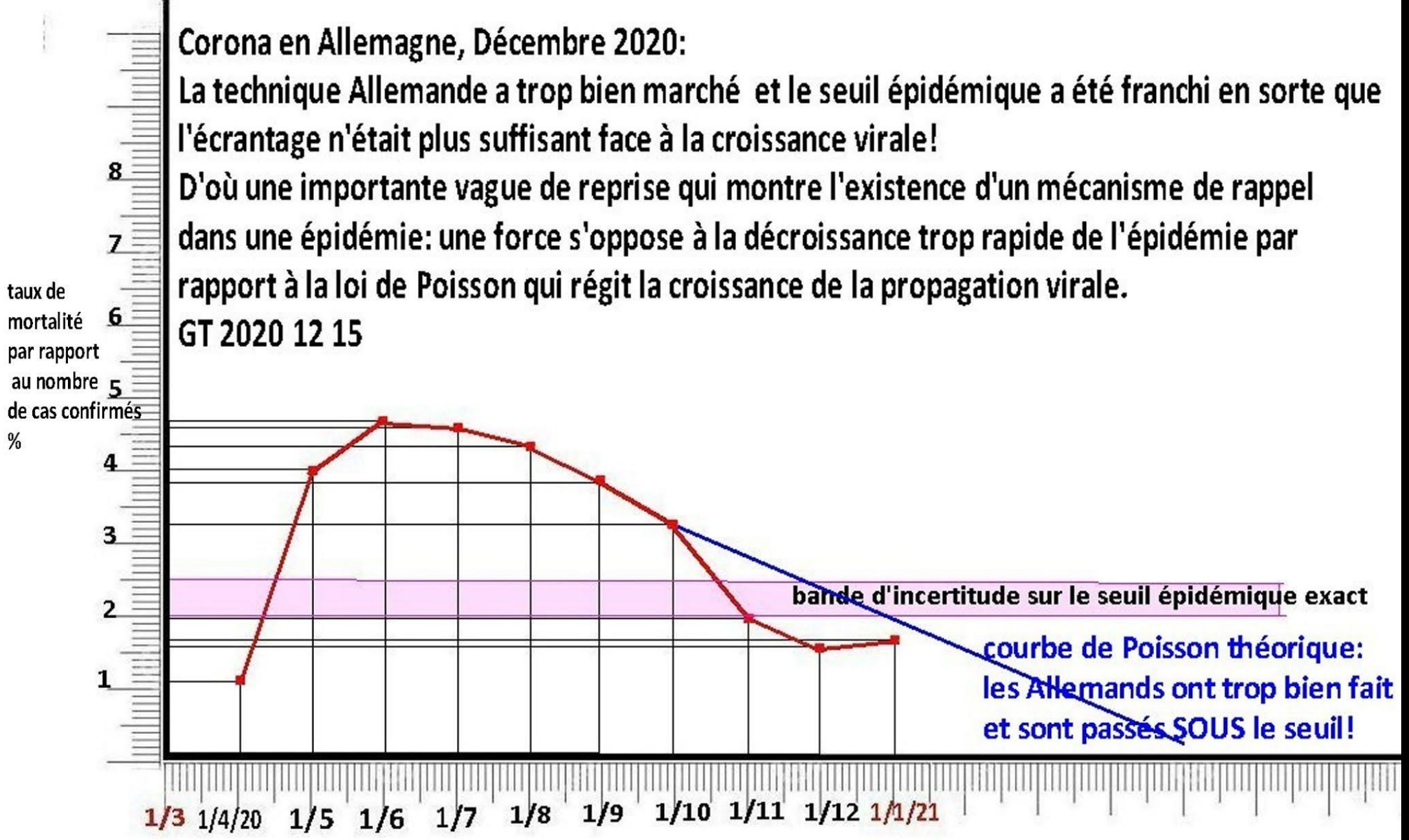

AUCUN VACCIN NE COURT PLUS VITE QU'UN VIRUS MUTANT

Idiamine Baba

Coronavirus: la foutaise médico-gouvernementale

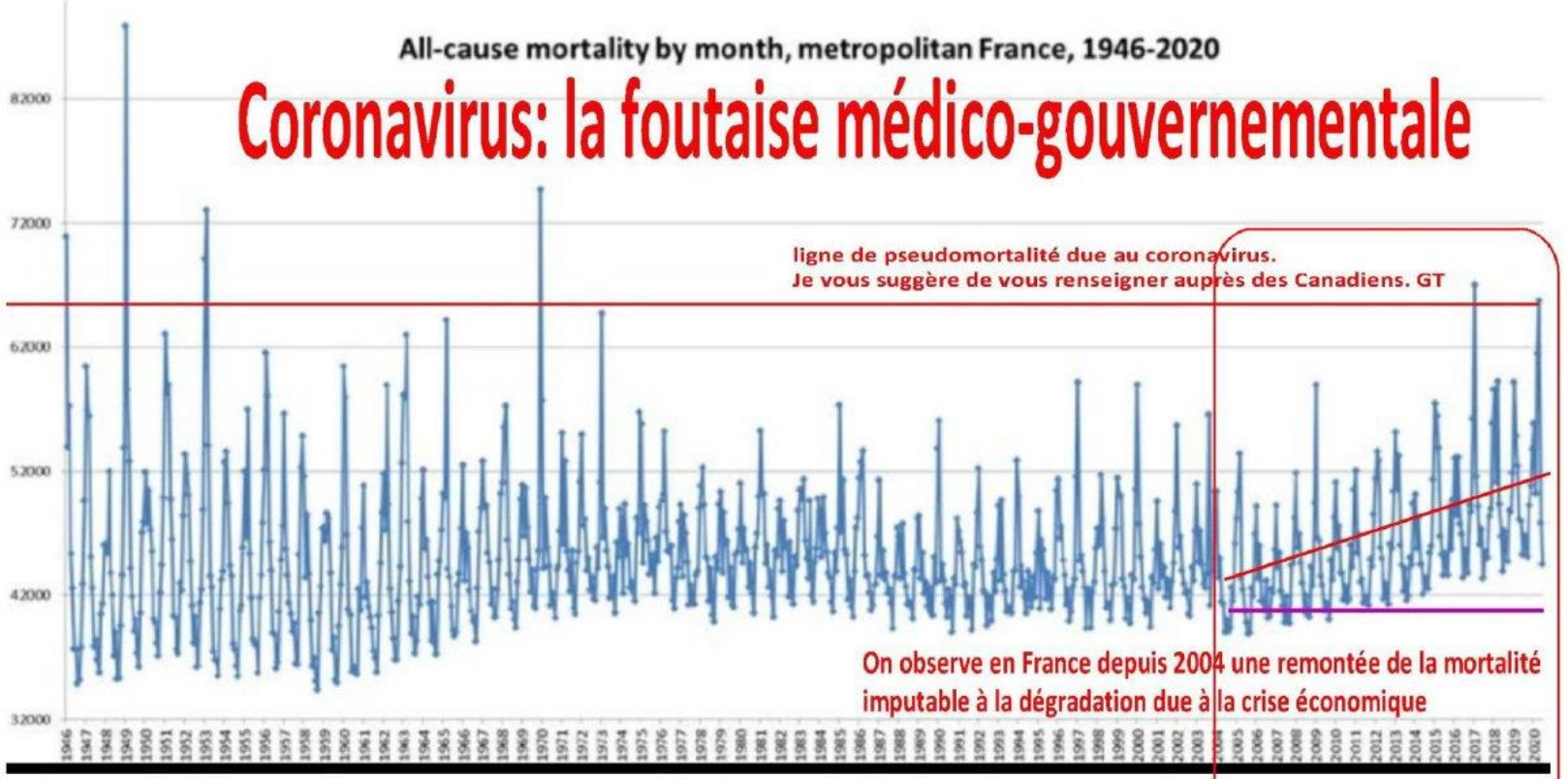

Considérez le secteur 2008-2020 de la courbe;
Faites une transformation affine de telle façon que le plancher de ce secteur soit sur la ligne antérieure des minima;
Vous constatez alors qu'il n'y a JAMAIS eu de crise du coronavirus, et que cette "épidémie" est un petit rhume innocent ressemblant à des dizaines d'autres.
L'expansion planétaire de cette farce s'explique simplement:
C'est une façon de NE PAS parler de la crise économique mondiale de 2008 avec son cortège de catastrophes.
CQFD

GT 2021 1 17

JE DEMANDE
LA LEVÉE DE L'INTERDICTION
DE LA PRESCRIPTION
LIBÉRALE
DE L'HYDROXYCHLOROQUINE
EN FRANCE
GT

O'MICRON MON AMOUR

La période d'activité de notre ami O'Micron a eu lieu entre le 1er Novembre 2021 et le 1er Mai 2022. O'Micron a vacciné au sens de Jenner, donc de l'immunité cellulaire, la SEULE qui justifie le titre de VACCIN, 21 millions de Gaulos-Barbus, gratuitement et sans casse.

Le pourcentage de morts relatif à la pop globale imputés à O'Micron durant cette période s'établit ainsi :

GAULE ET COLONIES : 4,1 pour DIX-MILLE

SVE : 3,87 pour DIX-MILLE

Et cela sans masques et sans ministre de la santé interdisant l'hydroxychloroquine.

GT 2022 5 10

Global > France

Back to top

Entre le 1er Novembre 2021 et le 1er Mai 2022

O'Micron a vacciné au sens de Jenner

21 MILLIONS de Gaulos-Barbus

France Situation

28 012 023
confirmed cases

143 249
deaths

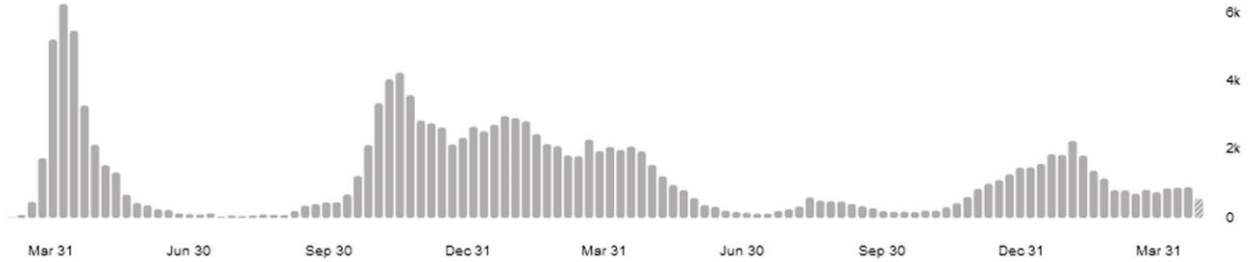

Source: World Health Organization

Data may be incomplete for the current day or week.

Il s'agit bien d'un VACCIN au sens de l'immunité cellulaire et non pas de produits bizarres commandés aux amis de l'industrie pharmaceutique pour leur permettre de se remplir les poches et de commander l'Europe par l'intermédiaire des autres membres de la Famille, comme c'est le cas actuellement. GT 2022 5 8

Didier Raoult a compris depuis longtemps ce que l'on sait depuis la grippe espagnole de 1918 : les antipaludéens soignent le coronavirus. Il n'a aucune chance de recevoir de Légion d'Honneur, à la différence de ceux qui ont interdit l'hydroxychloroquine, un antipaludéen bien connu.

Le coronavirus est lié au réchauffement climatique et à ses effets.

Le premier effet du réchauffement est **l'augmentation exponentielle** de la croissance de Sapiens.

Le second est l'augmentation de l'**emprise** de Sapiens sur les ressources naturelles.

Le troisième est l'exposition à de **nouveaux virus** liée à la consommation d'espèces animales nouvelles.

Le quatrième est la **turista**.

Le virus de l'influenza, sensible au froid, a donné sa démission pour qu'on le remplace par un virus plus efficace pour le **nettoyage** de l'espèce Sapiens en fin de vie ou malade. Le Corona assure le nettoyage avec efficacité.

De quoi se plaint-on ?

GT 2021 6 14

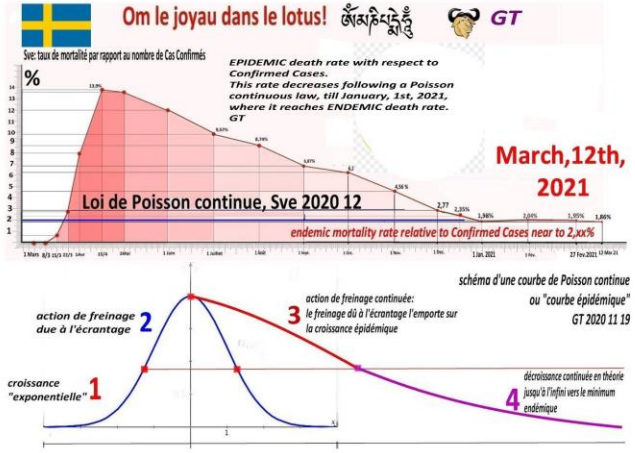

Il semble que PERSONNE ne veut tenir compte de la courbe de Poisson que j'ai construite en suivant la théorie de Poisson, 1840. Je ne suis pas responsable de l'imbécilité native de Sapiens Sapiens.
GT

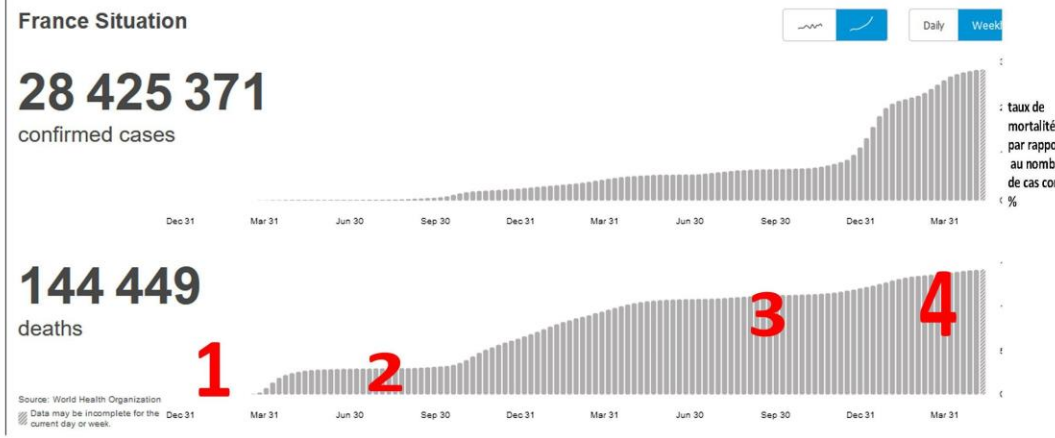

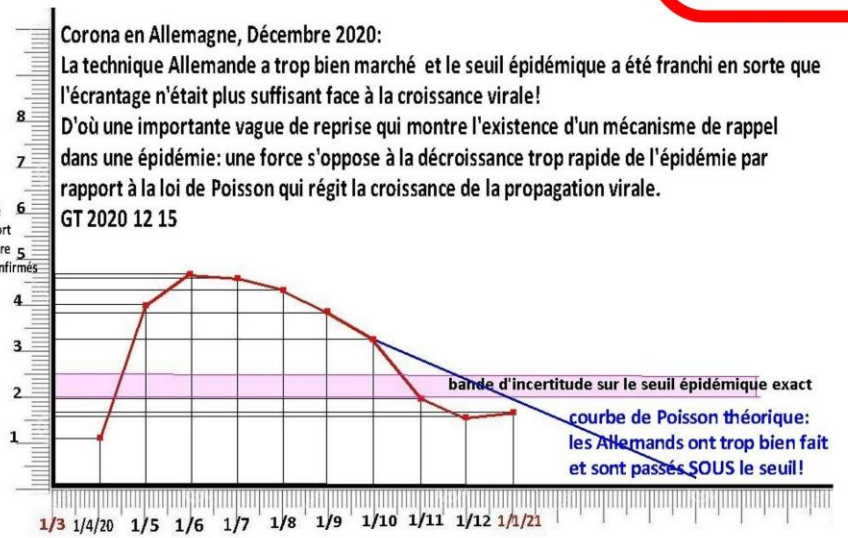

Corona en Allemagne, Décembre 2020:
La technique Allemande a trop bien marché et le seuil épidémique a été franchi en sorte que l'écrantage n'était plus suffisant face à la croissance virale!
D'où une importante vague de reprise qui montre l'existence d'un mécanisme de rappel dans une épidémie: une force s'oppose à la décroissance trop rapide de l'épidémie par rapport à la loi de Poisson qui régit la croissance de la propagation virale.
GT 2020 12 15

La courbe des valeurs umulées montre comment fonctionne une épidémie virale!
Elle augmente par phases et non par "vagues".
On observe 4 phases.
De plus, il est clair que l'on doit escompter l'arrivée prochaine des vagues 5 et 6 pour arriver à la saturation de la pop globale.
GT 2022 5 21

CORONA MON AMOUR

CORONAVIRUS

BILAN SUR L'ENSEMBLE DE L'ÉPIDÉMIE

AU 1 JUILLET 2022

En Gaule Barbue, grâce aux mesures de confinement et aux gestes barrières, le taux de contamination au coronavirus atteint la moitié de la pop gauloise, 30 159 000.

En Sve, où on s'en fiche éperdûment, le taux de contamination atteint le quart de la pop locale, 2 520 000.

Grâce aux vaccins qui n'en sont pas, en Gaule Barbue, le taux de mortalité imputé au coronavirus a été de 0,215%, contre 0,041% en Islande et 0,038 % en Bharat, contrées particulièrement arriérées.

pour la base de la grande pyramide, $232^{m},6678$; c'est seulement $0^{m},2234$ de plus que la mesure de cette base prise par les savants français; et cette exactitude, un peu moins étonnante que celle qui résulte de la coudée de $0^{m}527$, n'en est que plus facile à admettre.

Le pied romain conclu de ce module, d'après le rapport indiqué par Héron, est de $0^{m},2930$, et le mille romain, de 1465^{m}, ou un peu plus de 751 toises 1/2.

Voici de plus, dans la même hypothèse, la valeur de chacune des mesures contenues dans le tableau d'Héron.

Doigt	$0^{m},0220$
Palme	0, 0879
Dichas	0, 1758
Spithame	0, 2637
Pied italique	0, 2930
Pied philétérien	0, 3517
Pygon	0, 4396
Coudée	0, 5275
Pas	0, 8791
Xylon	1, 5825
Orgye	2, 1100
Acène	3, 516
Ammah	21, 100
Plèthre	35, 16
Jugère	70, 33
Stade	211, 00
Diaule	422, 0
Mille	1582, 5
Schène	6330, 0

En résumé, les recherches contenues dans ce second chapitre établissent les propositions suivantes :

1° Le système métrique égyptien représenté par le tableau d'Héron, se rapprochait de celui des Grecs et des Romains, soit par rapport aux dénominations des mesures, que les Grecs avaient traduites dans leur langue, soit par rapport à la valeur *relative* de ces mesures.

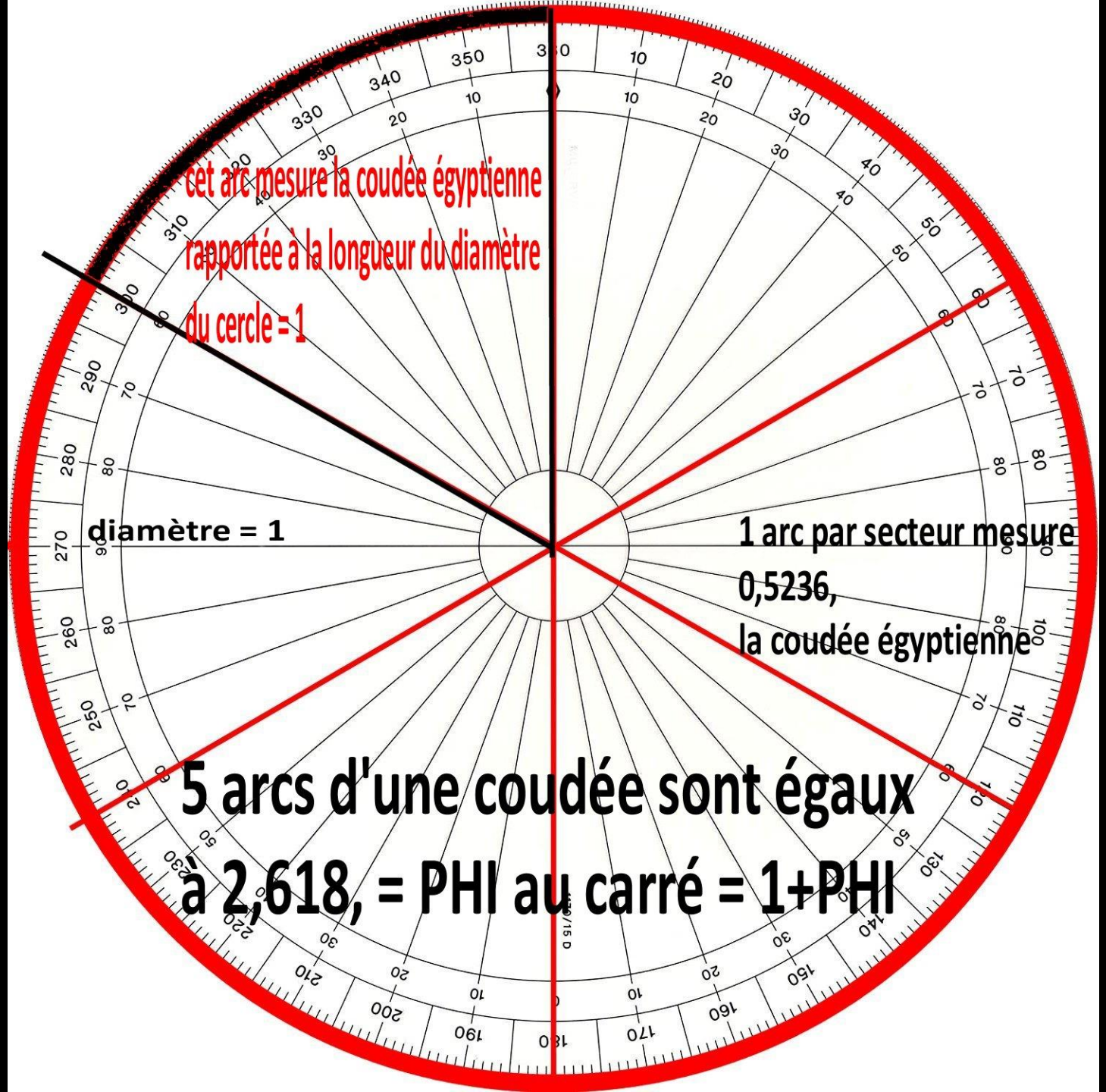
cet arc mesure la coudée égyptienne
rapportée à la longueur du diamètre
du cercle = 1
diamètre = 1
1 arc par secteur mesure
0,5236,
la coudée égyptienne
5 arcs d'une coudée sont égaux
à 2,618, = PHI au carré = 1+PHI

Il y avait à Chaumont une Cour des Trois Rois où s'étaient réunis trois empereurs.

Elle fut rasée parce qu'habitée par des pauvres, qu'on rendit riches en les noyant dans du béton armé.

Mon chat Pitou avait été recueilli par une dame à chats, et c'est là que j'allai le chercher.

Je n'ai pas sû m'occuper de Pitou, mais il est là tous les jours et je pense qu'il m'attend.

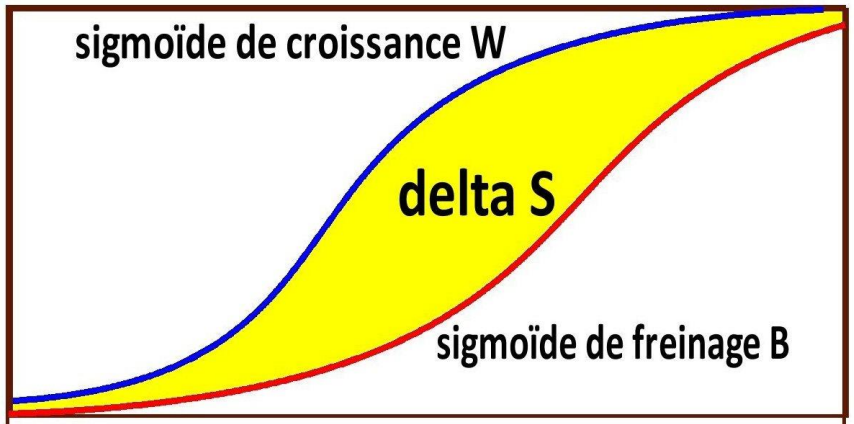

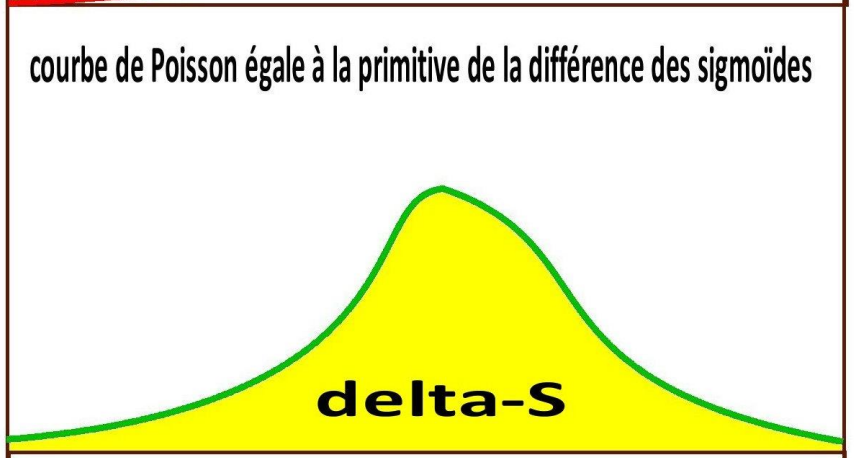

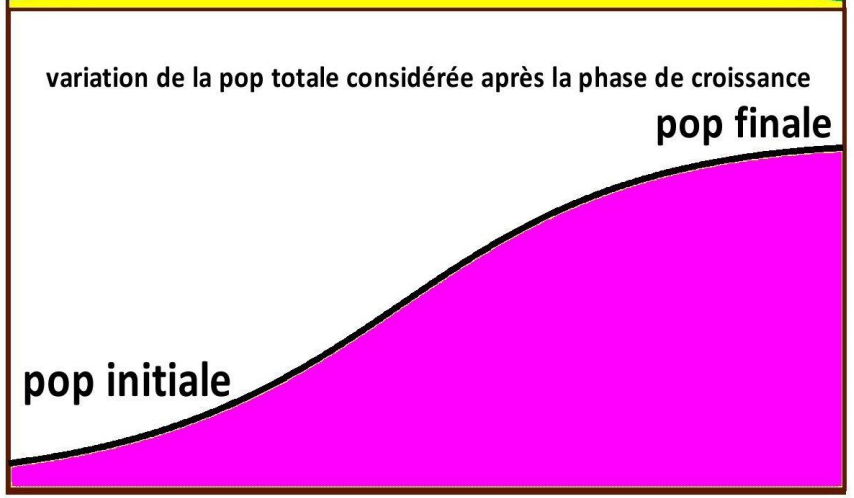

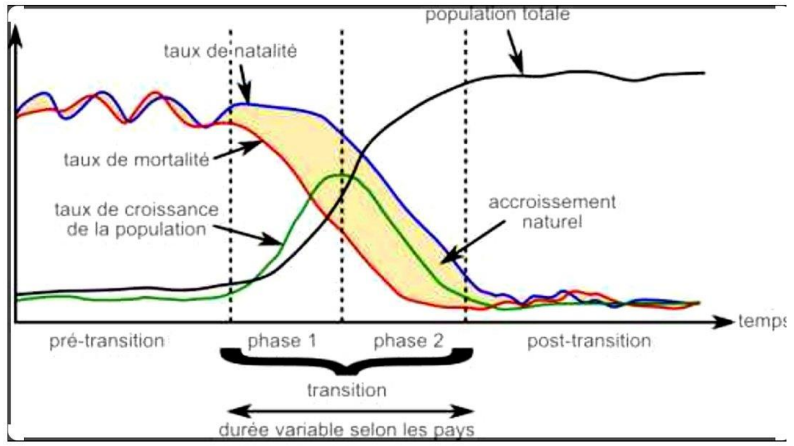

Je reprends ce schéma remarquable dont je ne connais pas l'auteur.

La courbe de Poisson a pour limite la loi de Gauss. Par ailleurs, elle représente la variation de vitesse du phénomène considéré, qu'il s'agisse d'une pop Sapiens ou d'une pop virale comme le coronavirus.

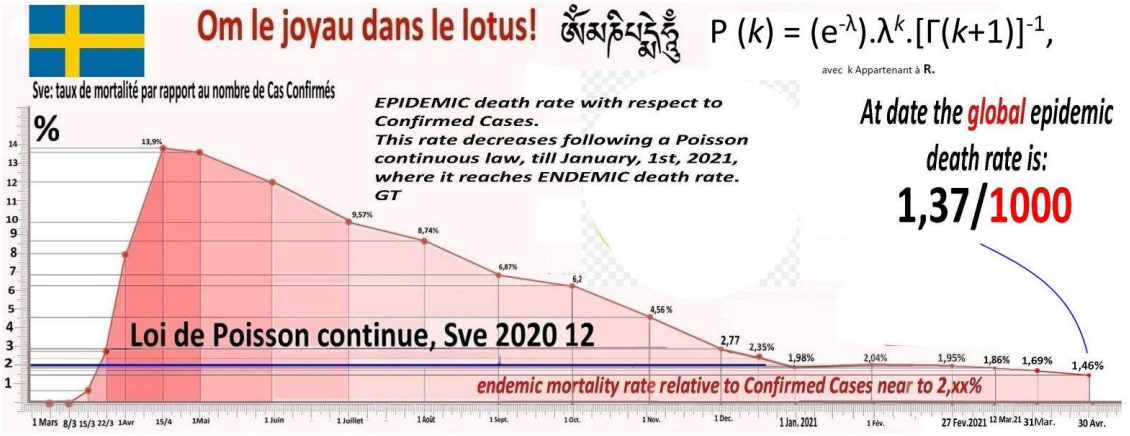

Selon une légende très répandue, la métrique de notre univers serait observationnellement plate. C'est sans doute tout à fait exact.

A quelques détails près :

-Il existe une expansion de l'univers, qui manifeste une courbure.

-Cette courbure est au moins définie par la constante cosmologique.

-Il existe une matière sombre inconnue.

-Il existe une énergie sombre encore plus inconnue, qui constituent à elles deux 95% de la masse-énergie de l'univers.

-Il existe une torsion de la gravitation sans laquelle on ne peut pas coupler la gravitation aux fermions.

Nous vivons dans un univers de De Sitter, avec peut-être bien quelques degrés de liberté Anti-De Sitter, si le potentiel des particules est hyperbolique, comme pour les ghosts et les tachyons.

GT 2023 12 28

Lorsqu'on considère la CP-violation faible, on oublie un peu vite que, dans l'antimatière, la CP-violation change de parité et devient une violation à dominante droite.

Ainsi, on ne peut séparer ces deux registres ; pour rétablir la CP-invariance, simplement, ces deux secteurs sont reliés par un orientifold qui transforme la matière en antimatière.

CRÈCHE

Gérôme Taillandier

Ayant eu par ces jours la chance de rencontrer un homme dont le nom se dit creac'h, je suis parti à la recherche du sens de ce mot Breton.

J'ai alors trouvé deux pistes.

L'une est le mot signifiant « étable », qui nous mène donc à la crèche où Marie accoucha de Jésus, selon un récit indo-européen bien connu., avec comme témoin le Triglav des Rois Mages, à la lumière de l'Étoile.

Mais un autre mot apparut : hauteur, montée, sommet, « en-haut ».

Ce mot Indo-Européen, Breton, Kelt, semble aller dans deux directions presque antinomiques.

Pourtant, on peut se demander s'il n'aurait pas un « double sens des mots primitifs », si l'on considère que la construction largement antérieure aux IE qui constitue les tertres datant d'environ 7000 BP, n'est autre qu'un tombeau, dans lequel il n'y a aucun mort, puisqu'on sait que le Roi mort, enterré sous son tertre, dans son cairn, est en réalité endormi et attend de reparaître à sa place de roi en son temps, comme nous l'a magnifiquement décrit Carmichael dans ses Carmina Gadelica, - la légende d'Arkhtourgos, endormi sur l'île d'Avalon, selon Tennyson.

S'il en est bien ainsi, le cairn est en réalité non pas un tombeau, ni un trou, mais un BERCEAU, où le nouveau-né attend de pouvoir revenir parmi les vivants.

Alors, Étable et Tertre ne font qu'un, et le mot IE a sans doute servi aussi à désigner le berceau où dort le roi, tandis que la Serpente, Brighid, apporte de ses nouvelles aux femmes enceintes.

2023 4 21

mapsontheweb

British satirical map of Europe 1856 at the end of Crimean war

gerometaillandier1729

Une des plus belles conneries faites par les Français; la guerre de Crimée. Grâce à quoi la Turquie s'est trouvée renforcée, en sorte que son occupation de la Grèce européenne a pu continuer tranquillement, et Sainte Sophie est toujours une mosquée. Quand il s'agit de faire des conneries, les gouvernants français répondent toujours présent.

L'élimination de Khedafi en Libye est une autre brillante initiative française, qui, outre des massacres, a engendré une situation de chaos permettant au trafic d'immigrés de battre son plein. Continuez vos conneries! GT

Source : commons.wikimedia.org

Dans un modèle standard « nu », sans angle de Weinberg et sans gravité, les 3 constantes de couplage sont dans une relation de Descartes. Il semble que l'interaction forte est en relation inverse des autres, en sorte que seule une théorie respectant la relation harmonique, ou cross-product, permet de construire ce modèle. Les quarks agissent en raison inverse et duale des autres interactions.

Evolution de l'emploi ouvrier et employé selon la qualification (%)

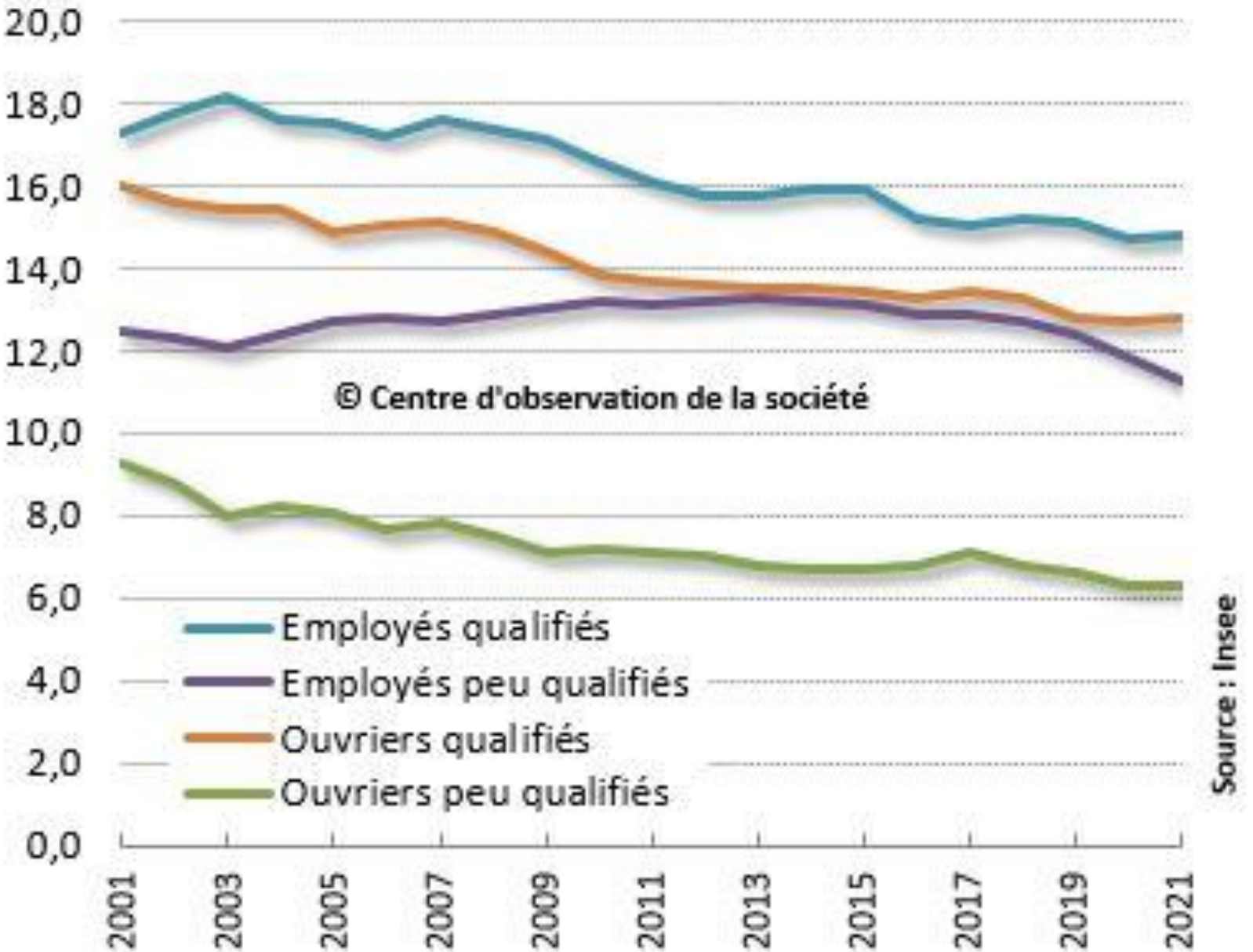

Je me sens déjà beaucoup mieux
depuis que j'ai laissé ce stupide
déguisement Sapiens!

Enfermé dans notre pauvre cube d'espace-temps bientôt réduit à la taille d'un caveau, il m'est revenu le schéma optique de Lacan, second, présentant ce qu'on peut dire de l'efficace du travail analytique sur les pauvres pieuvres que nous transportons dans notre boîte, avant d'être sous peu réduit en cloporte.

Selon Balint, la fin de l'analyse se traduirait par l'identification du Moi du patient à celui de l'analyste. Lacan émet des doutes à ce sujet, et est assez charitable pour le refuser.

Dans mon cas précis, il y a des preuves certaines que, de deux choses l'une ; ou bien je n'ai pas terminé mon analyse, ou bien je l'ai ratée, car clairement : Je ne suis pas Breton !

Un indice qui tendrait à prouver que je n'ai pas raté mon analyse au prix de rater tout le reste, est cette découverte, que, dans le choix d'objet narcissique, le désir de l'Autre, sous la forme de sa loi, s'impose sans fin au sujet. Comme me le disait un patient homosexuel merveilleux, il savait qu'il était là pour témoigner de la dette que sa mère lui avait transmise et dont il était l'incarnation, en sorte que, ajouté-je pour moi-même, il était condamné à baiser sa mère pour l'éternité, de sorte que jamais il ne pourrait baiser une femme, puisque celle-là ne serait pas sa mère.

Dans le cas présent, un choix d'objet narcissique parfaitement hétéro se traduisit par le fait de découvrir, à l'occasion d'une pêche à la ligne en eaux troubles, où la Fille du Rhin vint me faire du gringue, sans me donner l'anneau, que j'étais identifié comme sujet de l'inconscient à la loi de l'Autre, qui consistait à aimer et désirer la femme qui, plastron du père, était en fuite et ne se donnerait jamais à moi.

Pour mon bien…

Ainsi, dans le choix d'objet narcissique, le sujet de l'inconscient est IDENTIFIÉ à l'Autre en tant que désirant, en sorte que la cause du désir est identifiée dans l'objet du discours de l'Autre : un père en fuite et aimé.

Les concepts d'identification du sujet de l'inconscient et d'Autre du désir sont quelques-unes des notions indispensables pour entrer et surtout sortir de l'enfer de la vie humaine.

GT 2023 9 10

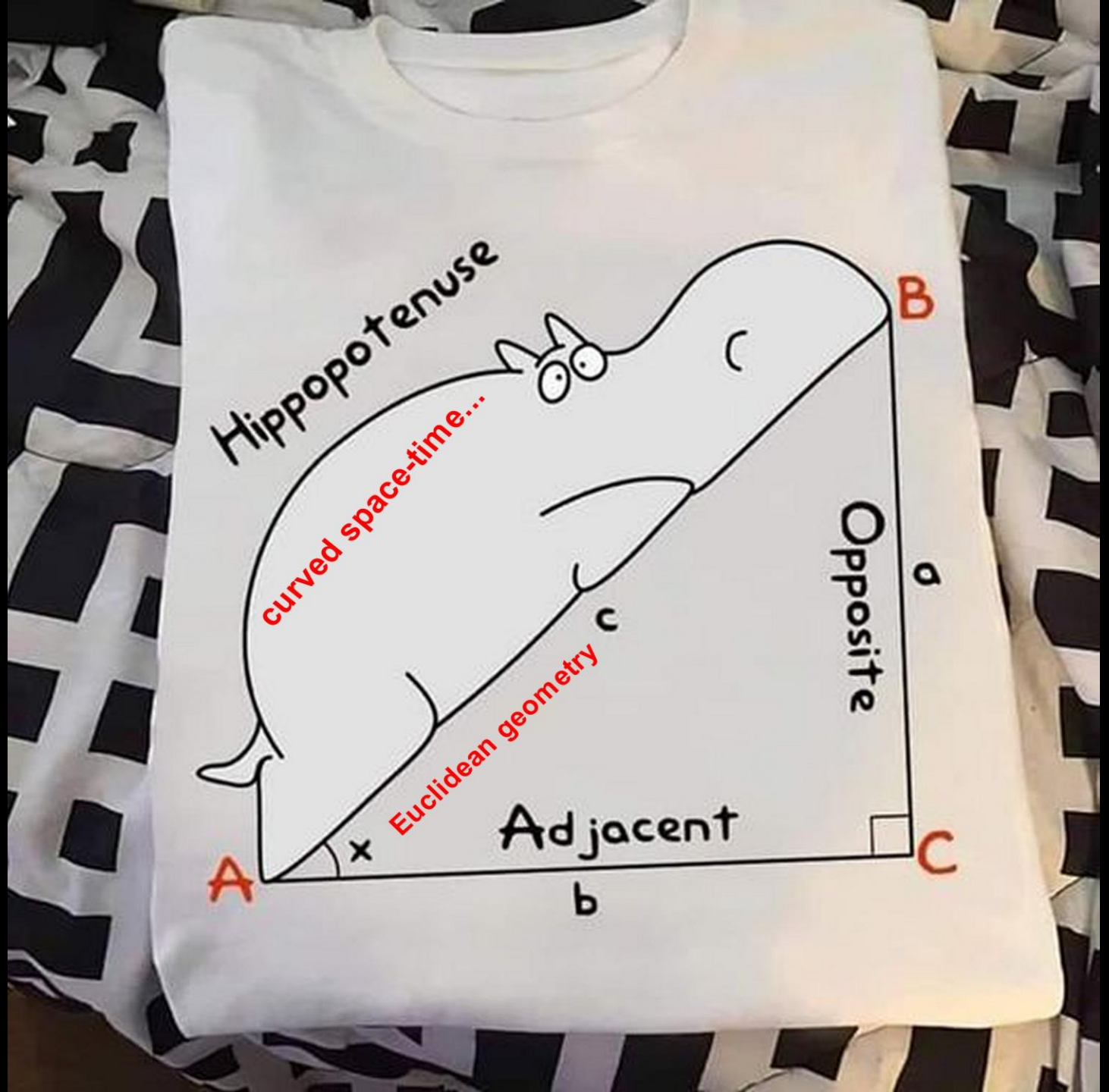
Hippopotenuse
curved space-time...
B
Opposite
a
c
Euclidean geometry
x
Adjacent
A
C
b

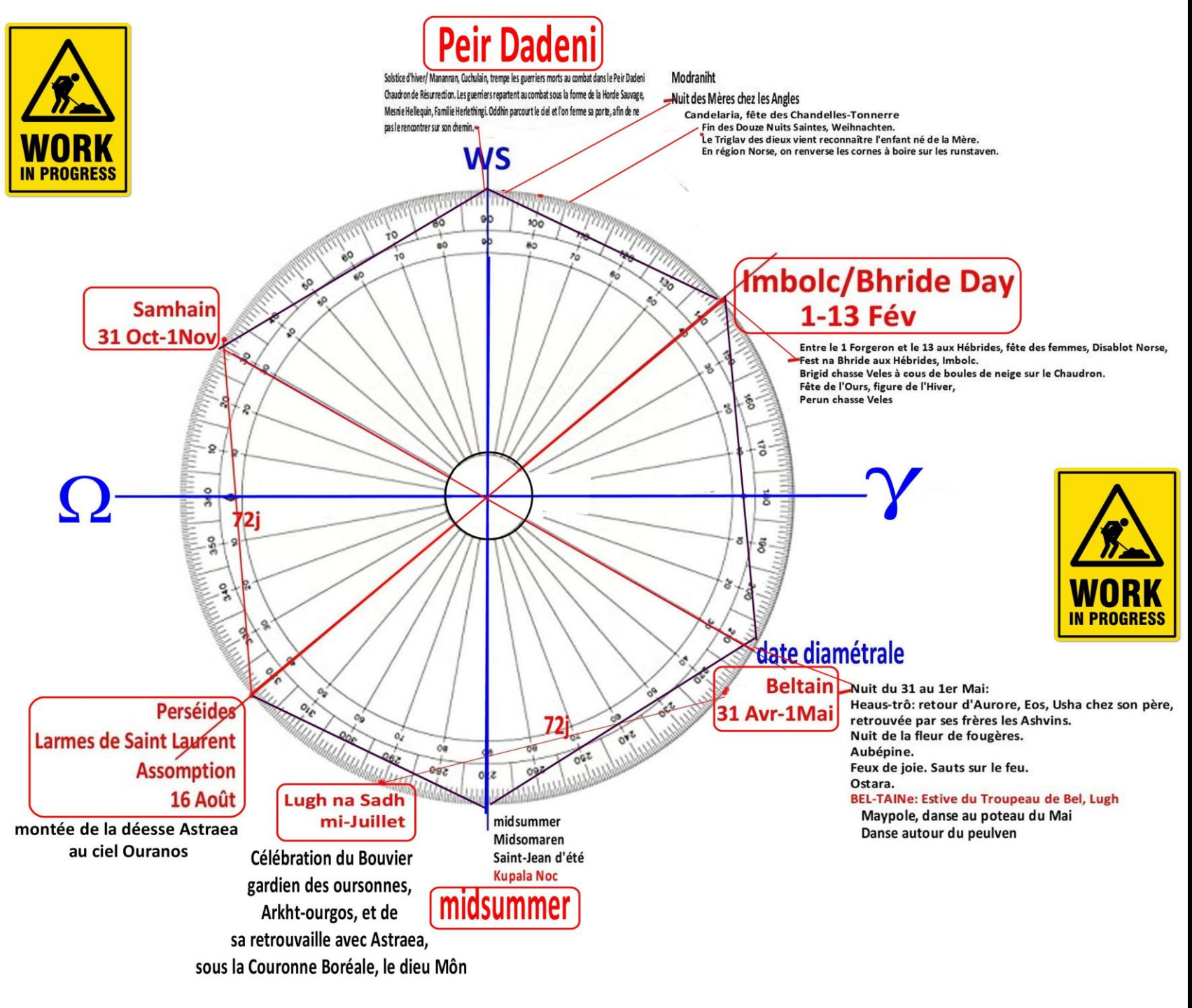
Peir Dadeni
Solstice d'hiver/ Manannan, Cuchulain, trempe les guerriers morts au combat dans le Peir Dadeni Chaudron de Résurrection. Les guerriers repartent au combat sous la forme de la Horde Sauvage, Mesnie Hellequin, Familie Herlething!. Oddhin parcourt le ciel et l'on ferme sa porte, afin de ne pas le rencontrer sur son chemin.
Modraniht
Nuit des Mères chez les Angles
Candelaria, fête des Chandelles-Tonnerre
Fin des Douze Nuits Saintes, Weihnachten.
Le Triglav des dieux vient reconnaître l'enfant né de la Mère.
En région Norse, on renverse les cornes à boire sur les runstaven.
WS
Samhain
31 Oct-1Nov
Imbolc/Bhride Day
1-13 Fév
Entre le 1 Forgeron et le 13 aux Hébrides, fête des femmes, Disablot Norse,
Fest na Bhride aux Hébrides, Imbolc.
Brigid chasse Veles à cous de boules de neige sur le Chaudron.
Fête de l'Ours, figure de l'Hiver,
Perun chasse Veles
Ω
γ
72j
72j
date diamétrale
Beltain
31 Avr-1Mai
Nuit du 31 au 1er Mai:
Heaus-trô: retour d'Aurore, Eos, Usha chez son père, retrouvée par ses frères les Ashvins.
Nuit de la fleur de fougères.
Aubépine.
Feux de joie. Sauts sur le feu.
Ostara.
BEL-TAINe: Estive du Troupeau de Bel, Lugh
Maypole, danse au poteau du Mai
Danse autour du peulven
Perséides
Larmes de Saint Laurent
Assomption
16 Août
montée de la déesse Astraea
au ciel Ouranos
Lugh na Sadh
mi-Juillet
Célébration du Bouvier
gardien des oursonnes,
Arkht-ourgos, et de
sa retrouvaille avec Astraea,
sous la Couronne Boréale, le dieu Môn
midsummer
Midsomaren
Saint-Jean d'été
Kupala Noc
midsummer

Peir Dadeni

Solstice d'hiver/ Manannan, Cuchulain, trempe les guerriers morts au combat dans le Peir Dadeni Chaudron de Résurrection. Les guerriers repartent au combat sous la forme de la Horde Sauvage, Mesnie Hellequin, Familie Herlethingi. Oddhin parcourt le ciel et l'on ferme sa porte, afin de ne pas le rencontrer sur son chemin.

Modraniht
Nuit des Mères chez les Angles
Candelaria, fête des Chandelles-Tonnerre
Fin des Douze Nuits Saintes, Weihnachten.
Le Triglav des dieux vient reconnaître l'enfant né de la Mère.
En région Norse, on renverse les cornes à boire sur les runstaven.

Ce schéma représente le vrai cycle des célébrations Indo-européennes de l'ouest, Slaves inclus.
Il est mis en scène sur le Chaudron de Gundestrup, excepté Midsummer, et de nombreuses autres célébrations secondaires que je complèterai.
GT 2022 12 13

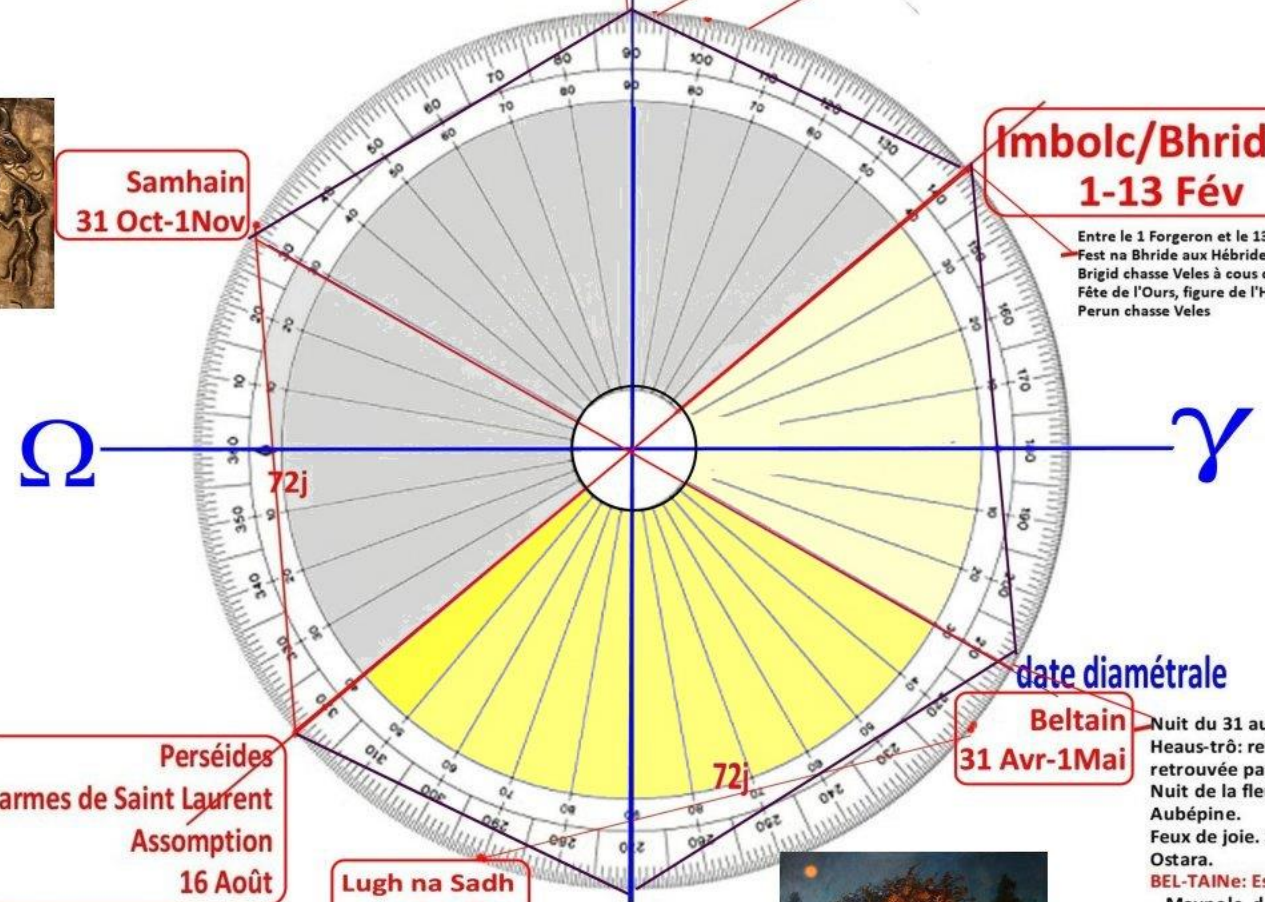

Samhain
31 Oct-1Nov

Imbolc/Bhride Day
1-13 Fév

Entre le 1 Forgeron et le 13 aux Hébrides, fête des femmes, Disablot Norse,
Fest na Bhride aux Hébrides, Imbolc.
Brigid chasse Veles à cous de boules de neige sur le Chaudron.
Fête de l'Ours, figure de l'Hiver,
Perun chasse Veles

date diamétrale
Beltain
31 Avr-1Mai

Nuit du 31 au 1er Mai:
Heaus-trô: retour d'Aurore, Eos, Usha chez son père, retrouvée par ses frères les Ashvins.
Nuit de la fleur de fougères.
Aubépine.
Feux de joie. Sauts sur le feu.
Ostara.
BEL-TAINe: Estive du Troupeau de Bel, Lugh
Maypole, danse au poteau du Mai
Danse autour du peulven

Perséides
Larmes de Saint Laurent
Assomption
16 Août

montée de la déesse Astraea au ciel Ouranos

Lugh na Sadh
mi-Juillet

Célébration du Bouvier gardien des oursonnes, Arkht-ourgos, et de sa retrouvaille avec Astraea, sous la Couronne Boréale, le dieu Môn

midsummer
Midsomaren
Saint-Jean d'été
Kupala Noc

midsummer

Peir Dadeni

Solstice d'hiver/ Manannan, Cuchulain, trempe les guerriers morts au combat dans le Peir Dadeni Chaudron de Résurrection. Les guerriers repartent au combat sous la forme de la Horde Sauvage, Mesnie Hellequin, Familie Herlethingi. Oddhin parcourt le ciel et l'on ferme sa porte, afin de ne pas le rencontrer sur son chemin.

Modraniht
Nuit des Mères chez les Angles
Candelaria, fête des Chandelles-Tonnerre
Fin des Douze Nuits Saintes, Weihnachten.
Le Triglav des dieux vient reconnaître l'enfant né de la Mère.
En région Norse, on renverse les cornes à boire sur les runstaven.

Ce schéma représente le vrai cycle des célébrations Indo-européennes de l'ouest, Slaves inclus.
Il est mis en scène sur le Chaudron de Gundestrup, excepté Midsummer, et de nombreuses autres célébrations secondaires que je complèterai.
GT 2022 12 13

WS

Samhain
31 Oct-1Nov

Imbolc/Bhride Day
1-13 Fév

Entre le 1 Forgeron et le 13 aux Hébrides, fête des femmes, Disablot Norse,
Fest na Bhride aux Hébrides, Imbolc.
Brigid chasse Veles à cous de boules de neige sur le Chaudron.
Fête de l'Ours, figure de l'Hiver,
Perun chasse Veles

Marzanna/Morena
renouveau des femmes,
on brûle et noie l'ancienne femme
La date est récente, et peu conforme aux traditions

Ω

72j

γ

date diamétrale

Beltain
31 Avr-1Mai

Nuit du 31 au 1er Mai:
Heaus-trô: retour d'Aurore, Eos, Usha chez son père, retrouvée par ses frères les Ashvins.
Nuit de la fleur de fougères.
Aubépine.
Feux de joie. Sauts sur le feu.
Ostara.
BEL-TAINe: Estive du Troupeau de Bel, Lugh
Maypole, danse au poteau du Mai
Danse autour du peulven

Perséides
Larmes de Saint Laurent
Assomption
16 Août

montée de la déesse Astraea au ciel Ouranos

72j

Lugh na Sadh
mi-Juillet

Célébration du Bouvier gardien des oursonnes, Arkht-ourgos, et de sa retrouvaille avec Astraea, sous la Couronne Boréale, le dieu Môn

midsummer
Midsomaren
Saint-Jean d'été
Kupala Noc

midsummer

Peir Dadeni

Solstice d'hiver/ Manannan, Cuchulain, trempe les guerriers morts au combat dans le Peir Dadeni Chaudron de Résurrection. Les guerriers repartent au combat sous la forme de la Horde Sauvage, Mesnie Hellequin, Familie Herlethingi. Oddhin parcourt le ciel et l'on ferme sa porte, afin de ne pas le rencontrer sur son chemin.

Modraniht
Nuit des Mères chez les Angles

WS

Nuit des Rois Twelf Night
j'ai commis ici une très grosse erreur, corrigée, GT

Vierge aux Loups

Gromnicna

Candelaria
chandelles-tonnerre
mère des loups
Gromnicna
Lupercalia

Imbolc/Bhride Day
1-13 Fév

Entre le 1 Forgeron et le 13 aux Hébrides, fête des femmes, Disablot Norse, Fest na Bhride aux Hébrides, Imbolc.
Brigid chasse Veles à cous de boules de neige sur le Chaudron.
Fête de l'Ours, figure de l'Hiver,
Perun chasse Veles

Acca Larentia

Samhain
31 Oct-1Nov

Marzanna/Morena
renouveau des femmes,
on brûle et noie l'ancienne femme
La date est récente, et peu conforme aux traditions

Ce schéma représente le vrai cycle des célébrations Indo-européennes de l'ouest, Slaves inclus.
Il est mis en scène sur le Chaudron de Gundestrup, excepté Midsummer, et de nombreuses autres célébrations secondaires que je complèterai.
GT 2022 12 13

Ω

72j

γ

la mère des loups
Acca Larentia, regagne la forêt

Perséides
Larmes de Saint Laurent
Assomption
16 Août

montée de la déesse Astraea au ciel Ouranos

Lugh na Sadh
mi-Juillet

Célébration du Bouvier gardien des oursonnes, Arkht-ourgos, et de sa retrouvaille avec Astraea, sous la Couronne Boréale, le dieu Môn

72j

midsummer
Midsomaren
Saint-Jean d'été
Kupala Noc

midsummer

date diamétrale

Beltain
31 Avr-1Mai

Nuit du 31 au 1er Mai:
Heaus-trô: retour d'Aurore, Eos, Usha chez son père, retrouvée par ses frères les Ashvins.
Nuit de la fleur de fougères.
Aubépine.
Feux de joie. Sauts sur le feu.
Ostara.
BEL-TAINe: Estive du Troupeau de Bel, Lugh
Maypole, danse au poteau du Mai
Danse autour du peulven

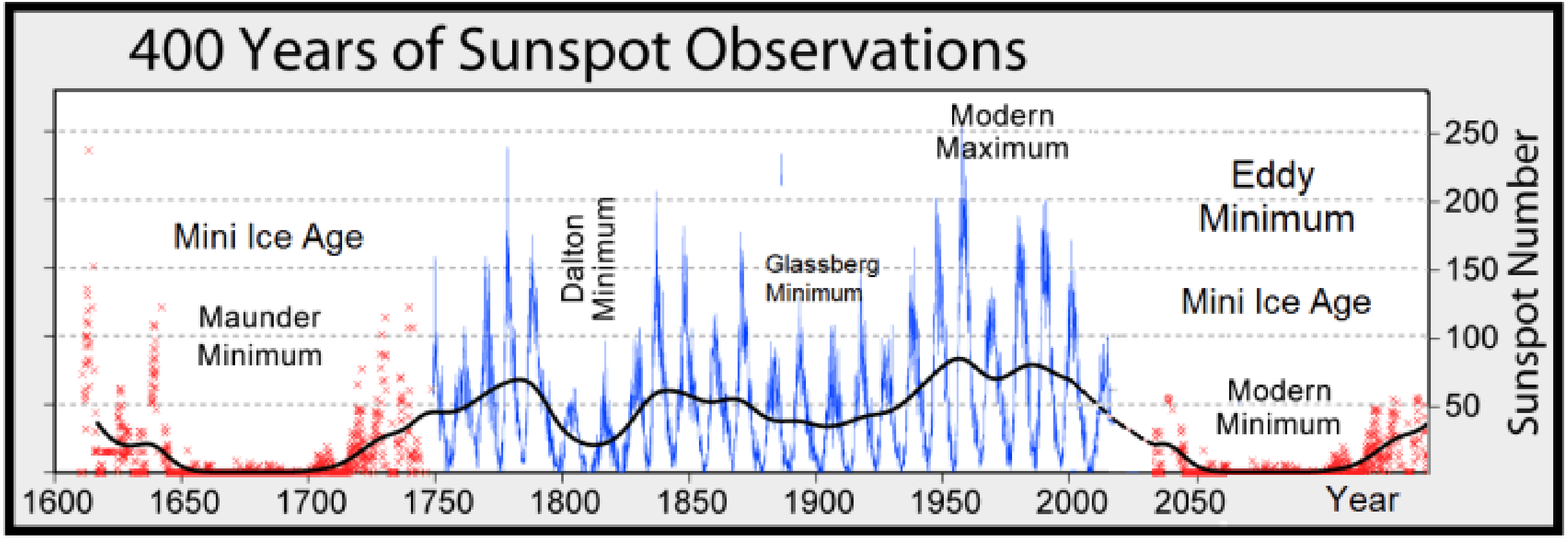
400 Years of Sunspot Observations
Mini Ice Age
Maunder Minimum
Dalton Minimum
Glassberg Minimum
Modern Maximum
Eddy Minimum
Mini Ice Age
Modern Minimum
250
200
150
100
50
Sunspot Number
1600
1650
1700
1750
1800
1850
1900
1950
2000
2050
Year

16.3.1 Dimensional reduction of the bosonic RR sector

The task of reducing the RR field strengths is simplified very much by using the normalization Eqs. (16.52). We find that the ten-dimensional odd-rank RR potentials split into the following nine-dimensional RR potentials of odd and even rank,

$$\hat{C}^{(2n-1)}{}_{\mu_1\cdots\mu_{2n-1}} = C^{(2n-1)}{}_{\mu_1\cdots\mu_{2n-1}} + (2n-1)A^{(1)}{}_{[\mu_1}C^{(2n-2)}{}_{\mu_2\cdots\mu_{2n-1}]},$$
$$\hat{C}^{(2n-1)}{}_{\mu_1\cdots\mu_{2n-2}\underline{x}} = C^{(2n-2)}{}_{\mu_1\cdots\mu_{2n-2}}, \tag{16.78}$$

and the even-rank RR field strengths reduce to nine dimensions according to

$$\hat{G}^{(2n)}{}_{a_1\cdots a_{2n}} = G^{(2n)}{}_{a_1\cdots a_{2n}}, \qquad \hat{G}^{(2n)}{}_{a_1\cdots a_{2n-1}\underline{x}} = k^{-1}G^{(2n-1)}{}_{a_1\cdots a_{2n-1}}, \tag{16.79}$$

[14] T duality can also be established between the massive $N = 2A$, $d = 10$ supergravity and $N = 2B$, $d = 10$ supergravity [118, 691], but, due to lack of space, we will restrict ourselves to the simplest case.

where the nine-dimensional RR field strengths are defined as follows,

$$G^{(2n+1)} = dC^{(2n)} - HC^{(2n-2)} + F^{(2)}C^{(2n-1)},$$
$$G^{(2n)} = dC^{(2n-1)} - HC^{(2n-3)} + F^{(1)}C^{(2n-2)}, \tag{16.80}$$

and the nine-dimensional gauge transformations that leave them invariant are

$$\delta A^{(i)} = d\Sigma^{(i)},$$
$$\delta B = d\Lambda - d\Sigma^{(1)}A^{(2)} - d\Sigma^{(2)}A^{(1)},$$
$$\delta C^{(2n)} = d\Lambda^{(2n-1)} - H\Lambda^{(2n-3)} - F^{(2)}\Lambda^{(2n-2)}, \tag{16.81}$$
$$\delta C^{(2n+1)} = d\Lambda^{(2n)} - H\Lambda^{(2n-2)} - F^{(1)}\Lambda^{(2n-1)}.$$

Using the notation introduced in Section 16.1.3, we can write the nine-dimensional RR field strengths and gauge transformations in this way:

$$G = dC - HC + F^{(2)}\Pi_{\rm odd}C + F^{(1)}\Pi_{\rm even}C.$$
$$\delta C = d\Lambda^{(\cdot)} - H\Lambda^{(\cdot)} - F^{(2)}\Pi_{\rm even}\Lambda^{(\cdot)} - F^{(1)}\Pi_{\rm odd}\Lambda^{(\cdot)}. \tag{16.82}$$

The RR kinetic terms in the action reduce as follows:

$$-\frac{\sqrt{|\hat{g}|}}{2\cdot(2n+2)!}\left(\hat{G}^{(2n+2)}\right)^2 = -\frac{\sqrt{|g|}}{2\cdot(2n+2)!}k\left(G^{(2n+2)}\right)^2 + \frac{\sqrt{|g|}}{2\cdot(2n+2)!}k^{-1}\left(G^{(2n+1)}\right)^2. \tag{16.83}$$

The reduction of the Chern–Simons term is straightforward. On putting everything together, after some integrations by parts, we obtain

$$S = \frac{g_{\rm A}^2}{16\pi G^{(9)}_{\rm NA}}\int d^9x\sqrt{|g|}\Big\{e^{-2\phi}\Big[R - 4(\partial\phi)^2 + \frac{1}{2\cdot 3!}H^2 + (\partial\ln k)^2$$
$$-\tfrac{1}{4}k^2\left(F^{(1)}\right)^2 - \tfrac{1}{4}k^{-2}\left(F^{(2)}\right)^2\Big] - \tfrac{1}{2}\sum_{n=1,\ldots,4}\frac{(-1)^n k^{(-1)^n}}{n!}\left(G^{(n)}\right)^2$$
$$-\frac{1}{2^3\cdot 3^2}\frac{\epsilon}{\sqrt{|g|}}\big[\partial C^{(3)}\partial C^{(3)}A^{(2)} - 3\partial C^{(3)}\partial C^{(2)}\left(B + A^{(1)}A^{(2)}\right)$$
$$+6\partial C^{(3)}\partial A^{(1)}C^{(2)}A^{(2)} + 9\partial C^{(2)}\partial A^{(1)}C^{(2)}\left(B + A^{(1)}A^{(2)}\right)$$
$$+9\partial A^{(1)}\partial A^{(1)}C^{(2)}C^{(2)}A^{(2)}\big]\Big\}. \tag{16.84}$$

16.3.2 Dimensional reduction of fermions and supersymmetry rules

We can use the decomposition of ten- into nine-dimensional gamma matrices explained in Appendix B.1.5, which corresponds to the decomposition of ten-dimensional 32-component fermions,

$$\hat{f} = \begin{pmatrix} f^1 \\ f^2 \end{pmatrix}, \tag{16.85}$$

into their two chiral 16-dimensional halves f^1 and f^2. Thus, from each ten-dimensional spinor we obtain a pair of nine-dimensional spinors with internal indices $i = 1, 2$, which we do not write explicitly in general and on which the Pauli matrices act. Now, from the two ten-dimensional spinors $\hat{\lambda}$ and $\hat{\psi}_{\hat{\mu}}$ we obtain three pairs of nine-dimensional spinors, ρ, λ, and ψ_μ. The ten-dimensional supersymmetry parameter $\hat{\epsilon}$ gives a pair of nine-dimensional supersymmetry parameters ϵ. The explicit relations are

$$\psi_\mu = \psi_\mu + kA^{(1)}{}_\mu\sigma^3\rho, \qquad \hat{\lambda} = \sigma^2(\lambda + \rho),$$
$$\hat{\psi}_{\underline{x}} = k\sigma^3\rho, \qquad \hat{\epsilon} = \epsilon. \tag{16.86}$$

Observe that all these nine-dimensional spinors are real (we remind the reader that $\hat{\lambda}$ was defined to be imaginary).

Observe also that, in the dimensional reduction, the Dirac conjugates acquire an extra σ^2. For instance

$$\bar{\hat{\epsilon}} = \bar{\epsilon}\sigma^2. \tag{16.87}$$

The dimensional reduction of the supersymmetry rules is a repetition of what we did in the reduction from 11 to ten dimensions and we quote only the final results.

For the NSNS bosons:

$$\delta_\epsilon e^a{}_\mu = -i\bar{\epsilon}\Gamma^a\psi_\mu, \quad \delta_\epsilon k = -ik\bar{\epsilon}\rho, \quad \delta_\epsilon\phi = -\frac{i}{2}\bar{\epsilon}\lambda,$$
$$\delta_\epsilon A^{(1)}{}_\mu = -ik^{-1}\bar{\epsilon}\sigma^3(\psi_\mu - \Gamma_\mu\rho), \quad \delta_\epsilon A^{(2)}{}_\mu = -ik\bar{\epsilon}(\psi_\mu + \Gamma_\mu\rho), \tag{16.88}$$
$$\delta_\epsilon B_{\mu\nu} = -2i\bar{\epsilon}\sigma^3\Gamma_{[\mu}\psi_{\nu]} + \delta_\epsilon A^{(1)}{}_{[\mu}A^{(2)}{}_{\nu]} + \delta_\epsilon A^{(2)}{}_{[\mu}A^{(1)}{}_{\nu]}.$$

For the RR bosons:

$$\delta_\epsilon C^{(2n)}{}_{\mu_1\cdots\mu_{2n}} = 2nie^{-\phi}k^{1/2}\bar{\epsilon}\mathcal{P}_{n-1}\Gamma_{[\mu_1\cdots\mu_{2n-1}}\Big[\psi_{\mu_{2n}]} - \frac{1}{4n}\Gamma_{\mu_{2n}]}(\lambda-\rho)\Big]$$
$$-i2n(2n-1)\bar{\epsilon}\sigma^3C^{(2n-2)}{}_{[\mu_1\cdots\mu_{2n-2}}\Gamma_{\mu_{2n-1}}\psi_{\mu_{2n}]}$$
$$-2n\delta_\epsilon A^{(2)}{}_{[\mu_1}C^{(2n-1)}{}_{\mu_2\cdots\mu_{2n}]},$$
$$\delta_\epsilon C^{(2n-1)}{}_{\mu_1\cdots\mu_{2n-1}}$$
$$= -i(2n-1)e^{-\phi}k^{-\frac{1}{2}}\bar{\epsilon}\mathcal{P}_{n-1}\Gamma_{[\mu_1\cdots\mu_{2n-2}}\Big[\psi_{\mu_{2n-1}]} - \frac{1}{2(2n-1)}\Gamma_{\mu_{2n-1}]}(\lambda+\rho)\Big]$$
$$-i(2n-1)(2n-2)\bar{\epsilon}\sigma^3C^{(2n-3)}{}_{[\mu_1\cdots\mu_{2n-3}}\Gamma_{\mu_{2n-2}}\psi_{\mu_{2n-1}]}$$
$$-(2n-1)\delta_\epsilon A^{(1)}{}_{[\mu_1}C^{(2n-2)}{}_{\mu_2\cdots\mu_{2n-1}]}. \tag{16.89}$$

For the fermions:

$$\delta_\epsilon\psi_\mu = \Big\{\partial_\mu - \tfrac{1}{4}\big[\phi_\mu + \tfrac{1}{2}H_\mu\sigma^3 + \left(k\,F^{(1)}{}_\mu\sigma^3 + k^{-1}\,F^{(2)}{}_\mu\right)\big]\Big\}\epsilon$$
$$+\frac{1}{16}e^{\phi}\sum_{i=1}^{8}\frac{1}{n!}k^{\frac{(-1)^n}{2}}\,\mathcal{G}^{(n)}\Gamma_\mu\mathcal{P}_{[\frac{n}{2}]+1}\epsilon.$$
$$\delta_\epsilon\rho = \big[\tfrac{1}{2}\partial\ln k + \tfrac{1}{8}\left(k\,F^{(1)}\sigma^3 - k^{-1}\,F^{(2)}\right)\big]\epsilon$$
$$+\frac{1}{16}e^{\phi}\sum_{i=1}^{8}\frac{1}{n!}k^{\frac{(-1)^n}{2}}\,\mathcal{G}^{(n)}\mathcal{P}_{[\frac{n}{2}]+1}\epsilon, \tag{16.90}$$
$$\delta_\epsilon\lambda = \Big\{\partial\phi - \frac{1}{12}H\sigma^3 - \tfrac{1}{8}\left(k\,F^{(1)}\sigma^3 + k^{-1}\,F^{(2)}\right)\Big\}\epsilon$$
$$+\frac{1}{16}e^{\phi}\sum_{i=1}^{8}(-1)^n\frac{(9-2n)}{n!}k^{\frac{(-1)^n}{2}}\,\mathcal{G}^{(n)}\mathcal{P}_{[\frac{n}{2}]+1}\epsilon.$$

d = 10, N = 2A SUGRA

Ortin : Strings and Branes, CUP

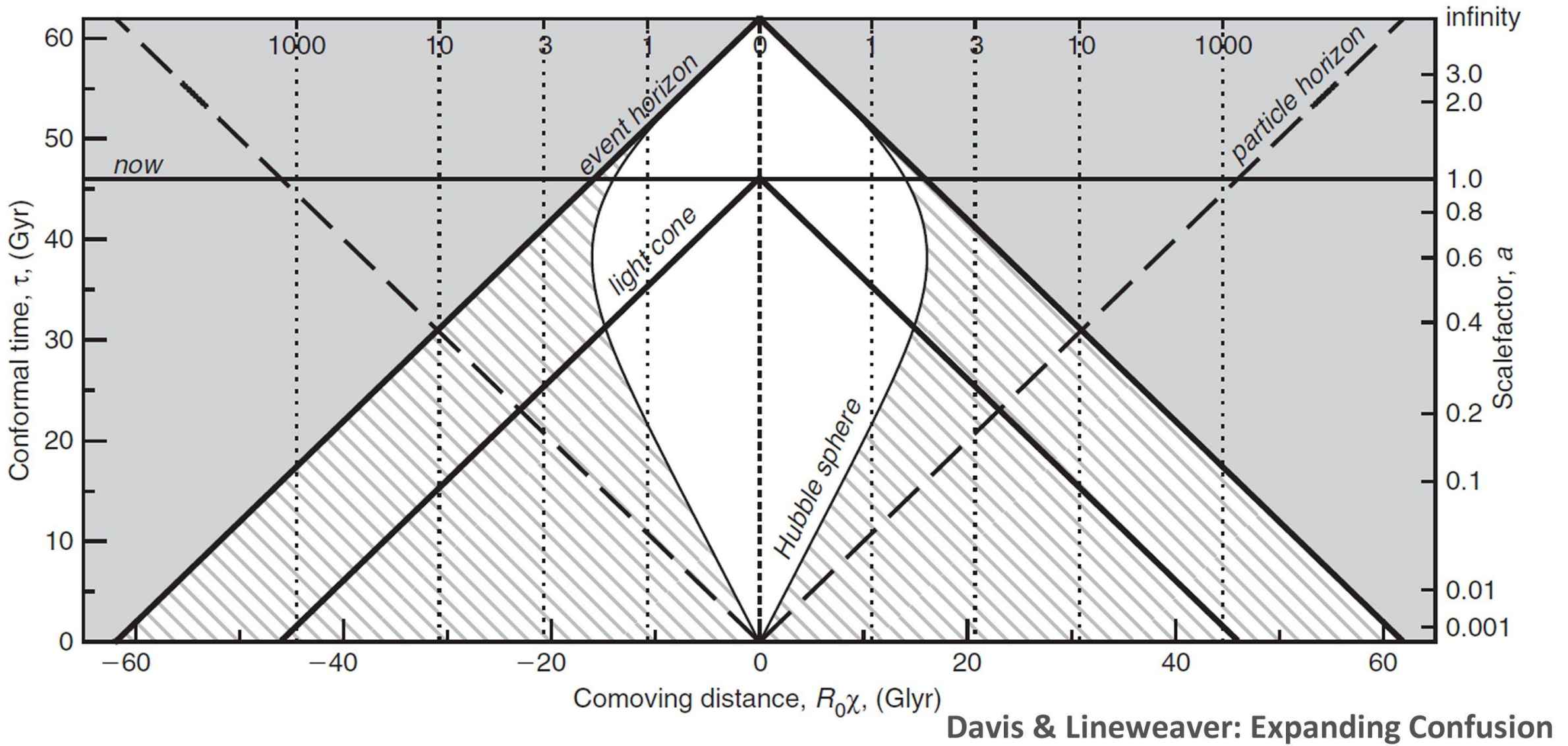

Davis & Lineweaver: Expanding Confusion

Figure 1 Spacetime diagrams showing the main features of the GR description of the expansion of the universe for the $(\Omega_M, \Omega_\Lambda) = (0.3, 0.7)$ model with $H_0 = 70\,\mathrm{km\,s^{-1}\,Mpc^{-1}}$. Dotted lines show the worldlines of comoving objects. We are the central vertical worldline. The current redshifts of the comoving galaxies shown appear labelled on each comoving worldline. The normalised scalefactor, $a = R/R_0$, is drawn as an alternative vertical axis. All events that we currently observe are on our past light cone (with apex at $t =$ now). All comoving objects beyond the Hubble sphere (thin solid line) are receding faster than the speed of light. Top panel (proper distance): The speed of photons relative to us (the slope of the light cone) is not constant, but is rather $v_{rec} - c$. Photons we receive that were emitted by objects beyond the Hubble sphere

facebook
Gérôme Taillandier
À propos
Photos
Dernière photo de Gérôme Taillandier sur Facebook avant sa désintégration au Zuckerbium pour Trumpisme. rien à voir avec des imitateurs alpestres

La « France » n'a jamais déclaré la guerre à l'Allemagne le 3 Septembre 1939 à 17 heures.

Cette déclaration est le SEUL FAIT d'**Edouard Daladier**.

Comme on n'est jamais trop prudent, il a demandé à Jupiter Lebrun de le faire à sa place.

Cette déclaration de guerre est tout à fait INCONSTITUTIONNELLE, seul le parlement ayant le pouvoir de déclarer la guerre.

Elle a été beaucoup facilitée par l'interdiction du Parti Communiste sous un prétexte fallacieux, et par l'exclusion de la Chambre des Députés, des députés communistes, seul fait de DALADIER.

Il s'agit d'un COUP D'ÉTAT.

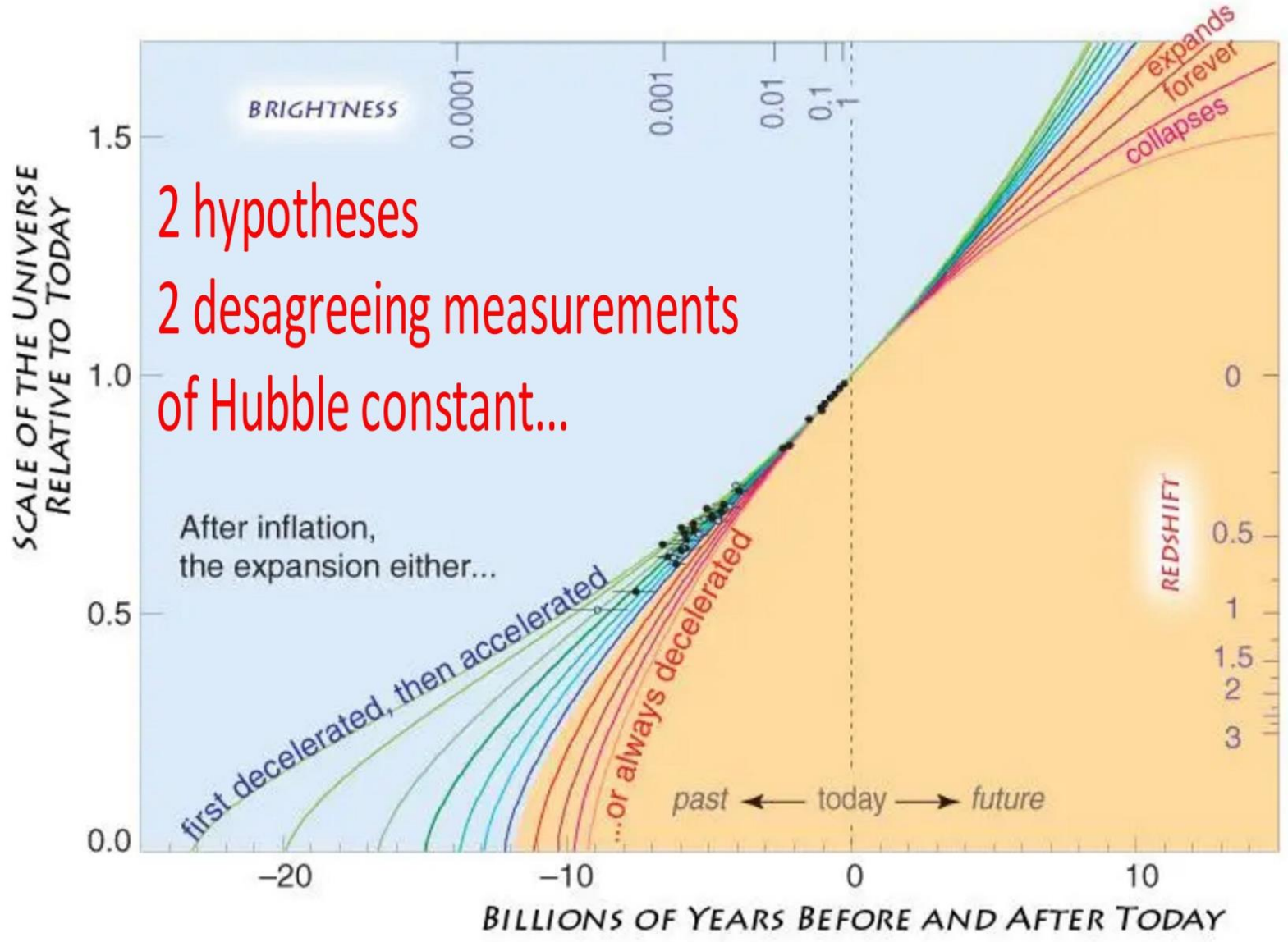

And why not TWO expansions?

One for the money,

One for matter/antimatter,

Two for dark matter?

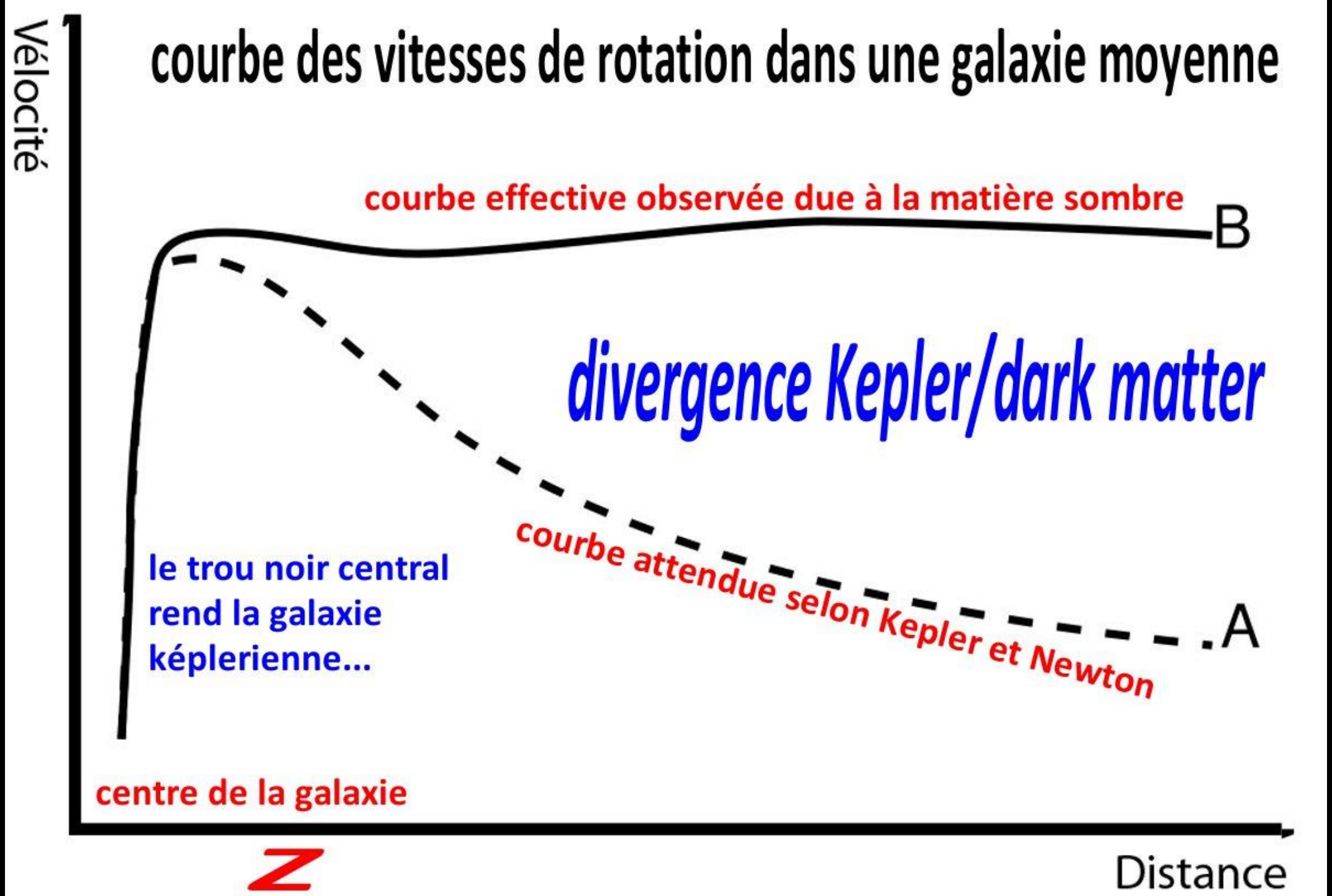
courbe des vitesses de rotation dans une galaxie moyenne
Vélocité
courbe effective observée due à la matière sombre
B
divergence Kepler/dark matter
courbe attendue selon Kepler et Newton
A
le trou noir central
rend la galaxie
képlerienne...
centre de la galaxie
Z
Distance

Recession velocity (v_{rec}) is the velocity in Hubble's law since Hubble's constant $H = \dot{a}/a$. Peculiar velocity (v_{pec}) is unassociated with the expansion of the universe and corresponds more closely to common usage of the word 'velocity'. For example setting $ds = 0$ for a photon in the FRW metric gives a radial peculiar velocity $a\dot{\chi}_\gamma = c$. The conversion from cosmological redshift to recession velocity is different from the conversion from an SR Doppler shift to peculiar velocity (Fig. 1):

$$v_{pec}(z) = c\,\frac{(1+z)^2-1}{(1+z)^2+1} \qquad \text{SR Doppler shift} \qquad (2)$$

$$v_{rec}(z) = \dot{a}(z)\int_o^z \frac{c\,dz'}{H(z')} \qquad \text{GR cosmological redshift} \qquad (3)$$

Equation (3) converts high redshifts into superluminal recession velocities but does not contradict special relativity because nothing ever overtakes a photon and all observers measure local photons to be traveling at c.

domaine de AdS/dS

limite de Lorentz-Poincaré

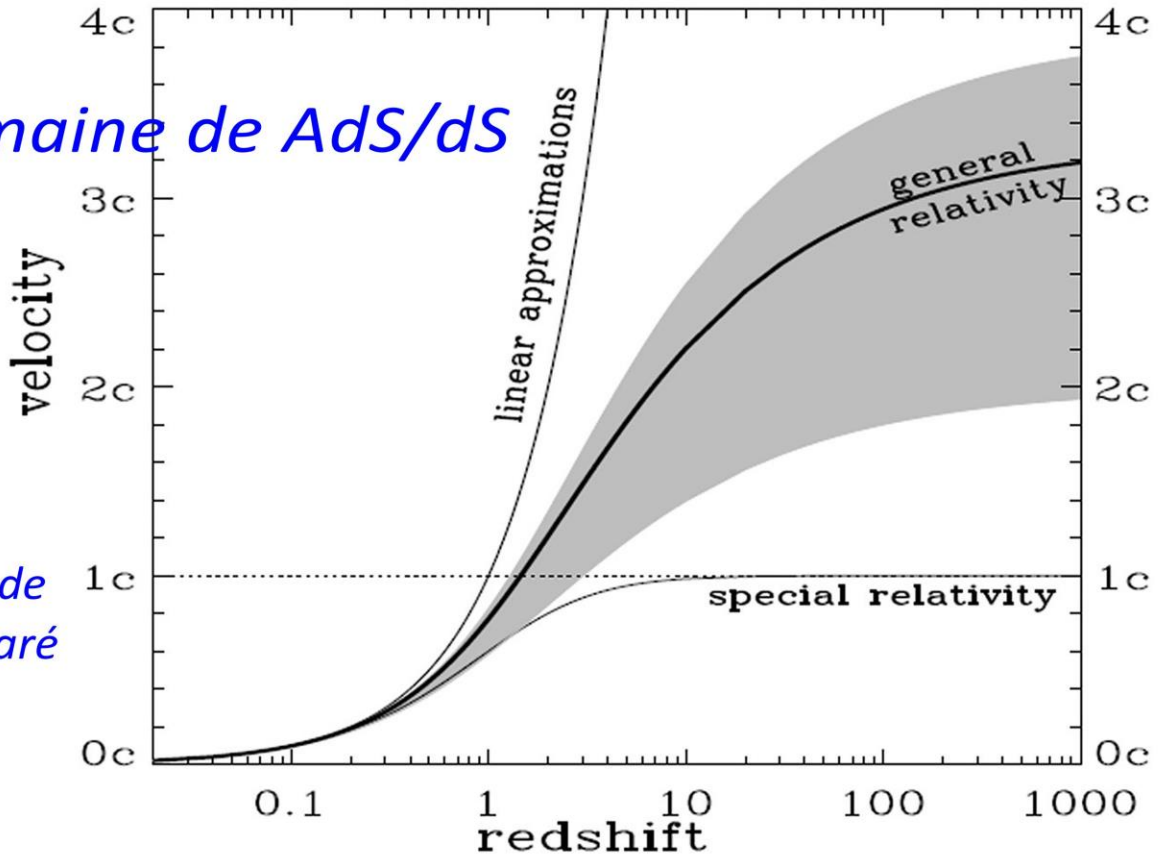

FIGURE 1. Velocity is plotted as a function of redshift for both special relativity (Eq. 2) and the general relativistic (GR) Friedmann-Robertson-Walker cosmology (Eq. 3). The SR conversion has an upper limit of c. The GR conversion is model dependent (hence the grey band), and time dependent (present day recession velocities are shown). The thick line is an $(\Omega_M, \Omega_\Lambda) = (0.3, 0.7)$ model for which recession velocity exceeds the speed of light for all redshifts $z > 1.46$. The upper and lower limits of the grey band are $(\Omega_M, \Omega_\Lambda) = (0.2, 0.8)$ and $(1, 0)$ respectively. In all cosmological models within this range, objects above a redshift of three are receding superluminally. Unfortunately adding to the confusion, both expressions share the same low redshift linear approximation: $v \approx c\,z$. This is why Hubble could measure a linear distance-redshift relation. These redshift-velocity conversions do not depend on H. Notice that at the particle horizon ($z \to \infty$) the velocity of recession is about 3 times the speed of light.

Il résulte de ces faits que la vitesse d'expansion et la vitesse-limite sont indépendantes, autrement dit, que l'énergie sombre , facteur d'expansion, est un champ indépendant de la gravité et du modèle standard. GT

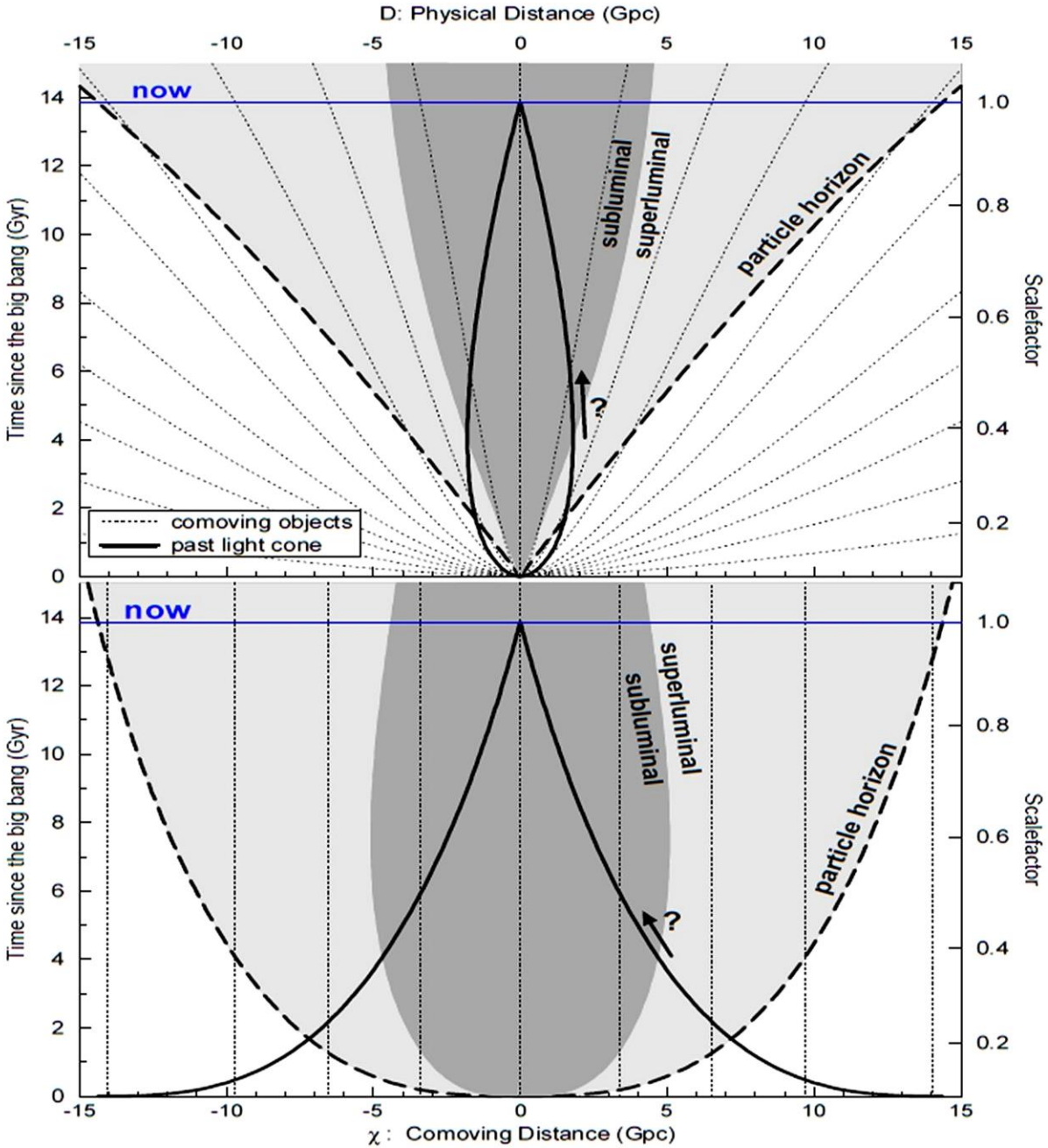

FIGURE 2. These spacetime diagrams are generated by inserting the parameters $(h, \Omega_M, \Omega_\Lambda) = (0.68, 0.3, 0.7)$ into Friedmann's equation. The upper panel is in physical distance and has a tear-drop-shaped past lightcone. The lower panel is in comoving distance and has a trumpet-shaped past light cone. The past lightcones enclose the events we have been able to see. Constant time surfaces are horizontal slices. On a surface of constant time the dark grey shading encloses the region of space which is receding subluminally; all other regions are receding superluminally. The light grey shading defines the observable universe and is bounded by the particle horizon. Following the worldline of a comoving galaxy that was receding superluminally at the time of emission, shows that the galaxy is *still* receding superluminally. In the viable GR models of Fig. [1], all objects with a redshift greater than ~ 3 are, *and always have been*, receding faster than the speed of light. How can photons reach us from regions of space that are receding superluminally? How can they cross from the light grey into the dark grey? (see text).

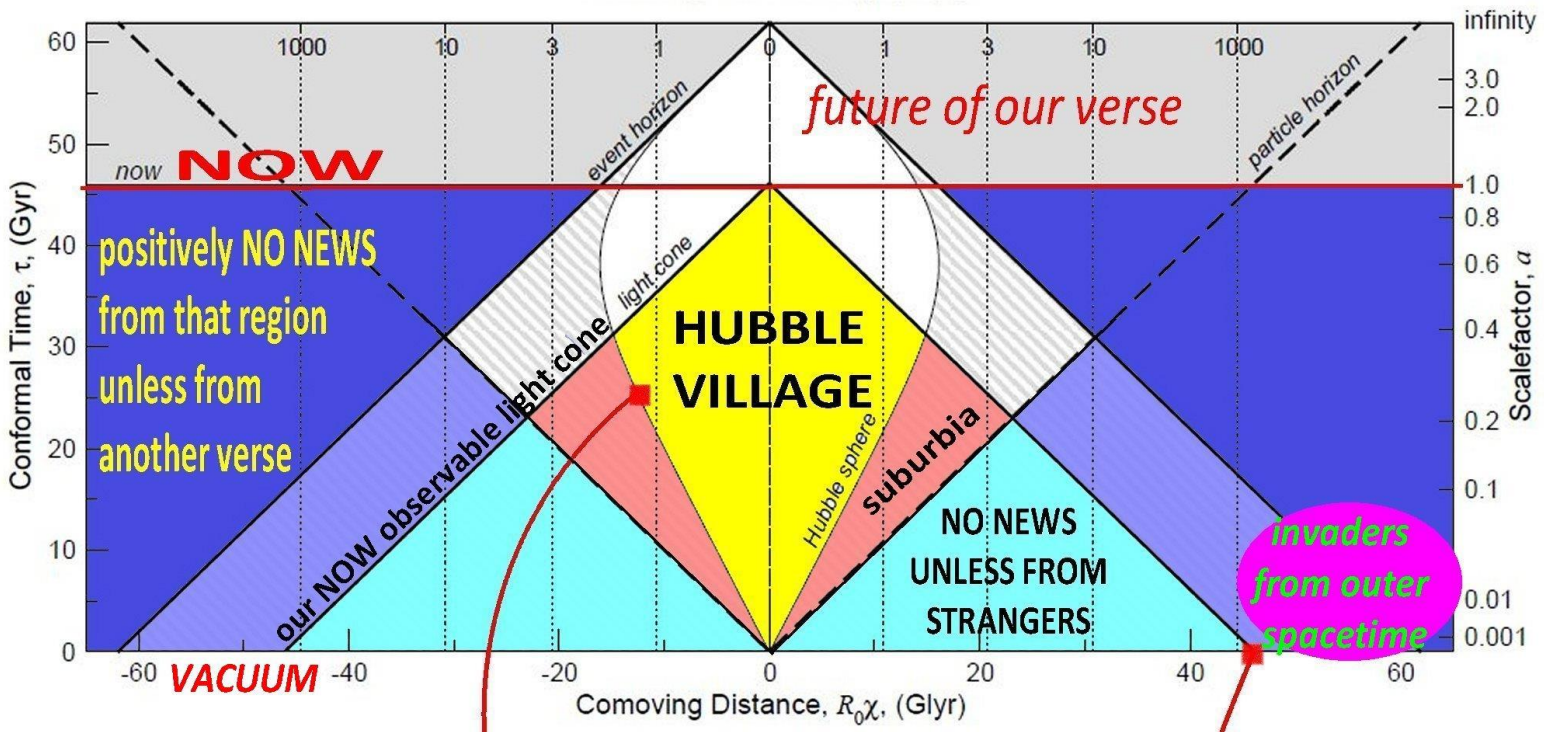
future of our verse
now NOW
positively NO NEWS
from that region
unless from
another verse
event horizon
particle horizon
light cone
our NOW observable light cone
HUBBLE
VILLAGE
Hubble sphere
suburbia
NO NEWS
UNLESS FROM
STRANGERS
invaders
from outer
spacetime
VACUUM
Conformal Time, τ, (Gyr)
Scalefactor, a
Comoving Distance, $R_0\chi$, (Glyr)
infinity
1000
10
3
1
0
60
50
40
30
20
10
0
-60
-40
-20
20
40
60
3.0
2.0
1.0
0.8
0.6
0.4
0.2
0.1
0.01
0.001

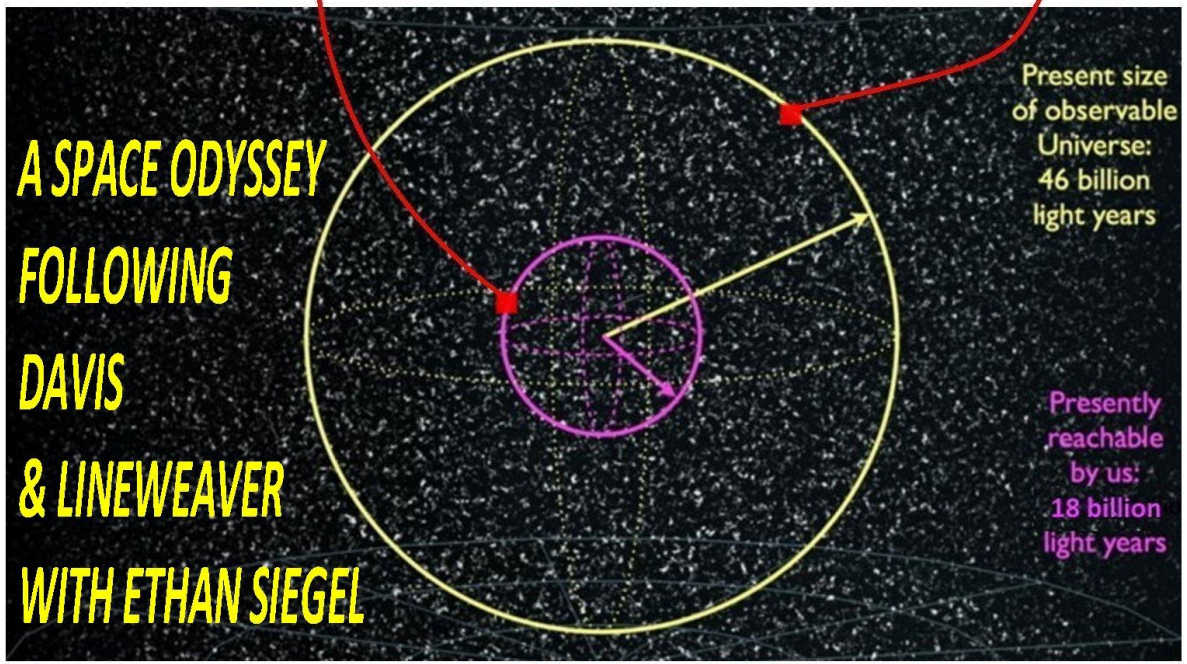
A SPACE ODYSSEY
FOLLOWING
DAVIS
& LINEWEAVER
WITH ETHAN SIEGEL
Present size
of observable
Universe:
46 billion
light years
Presently
reachable
by us:
18 billion
light years

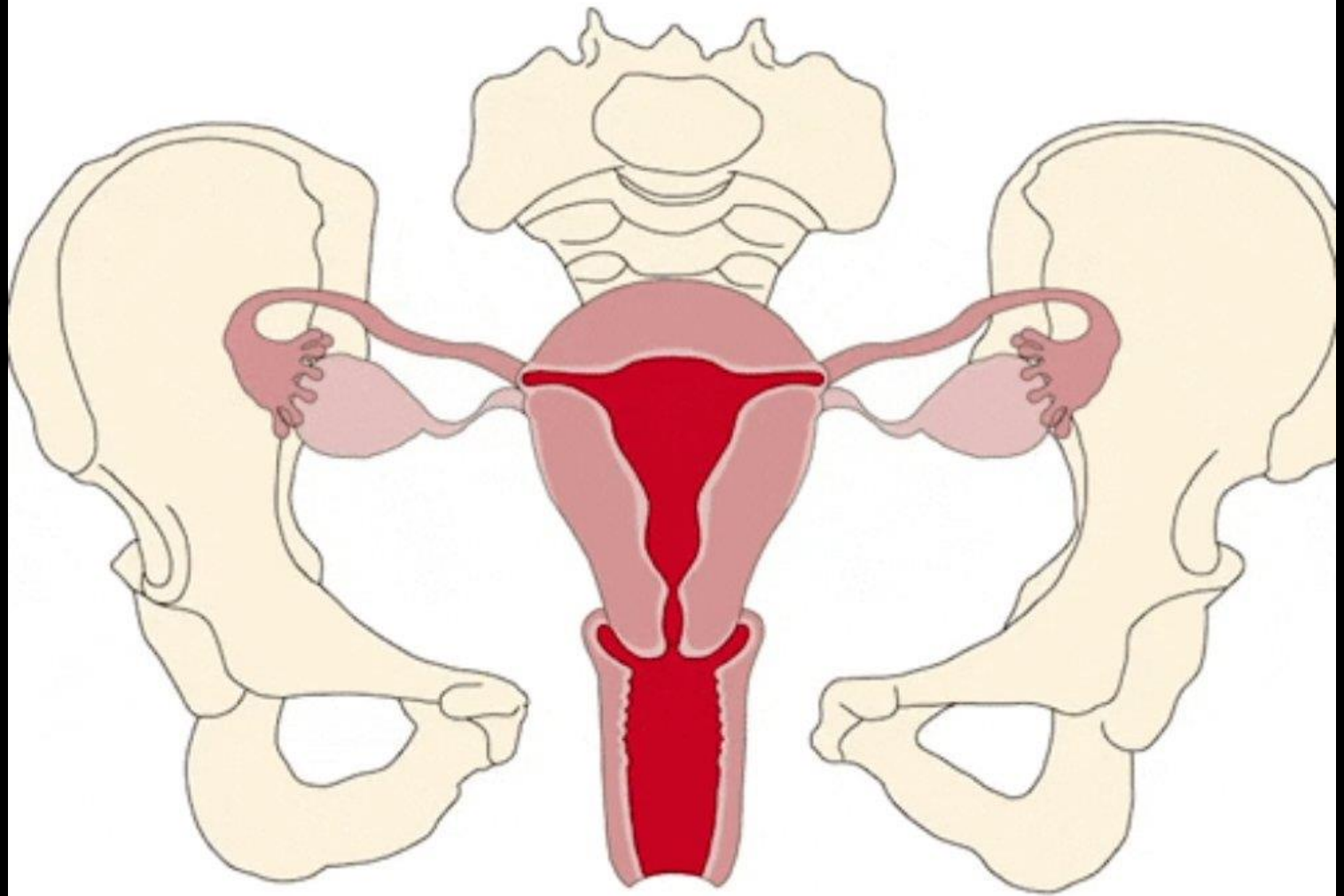

$$\Delta Q_5 = \Delta n^0_{L\text{-}R} \, |\chi|$$

Q_5 : axial anomaly

$N^0_{L\text{-}R}$: difference between left and right zero-modes

χ : Euler index of compactification manifold

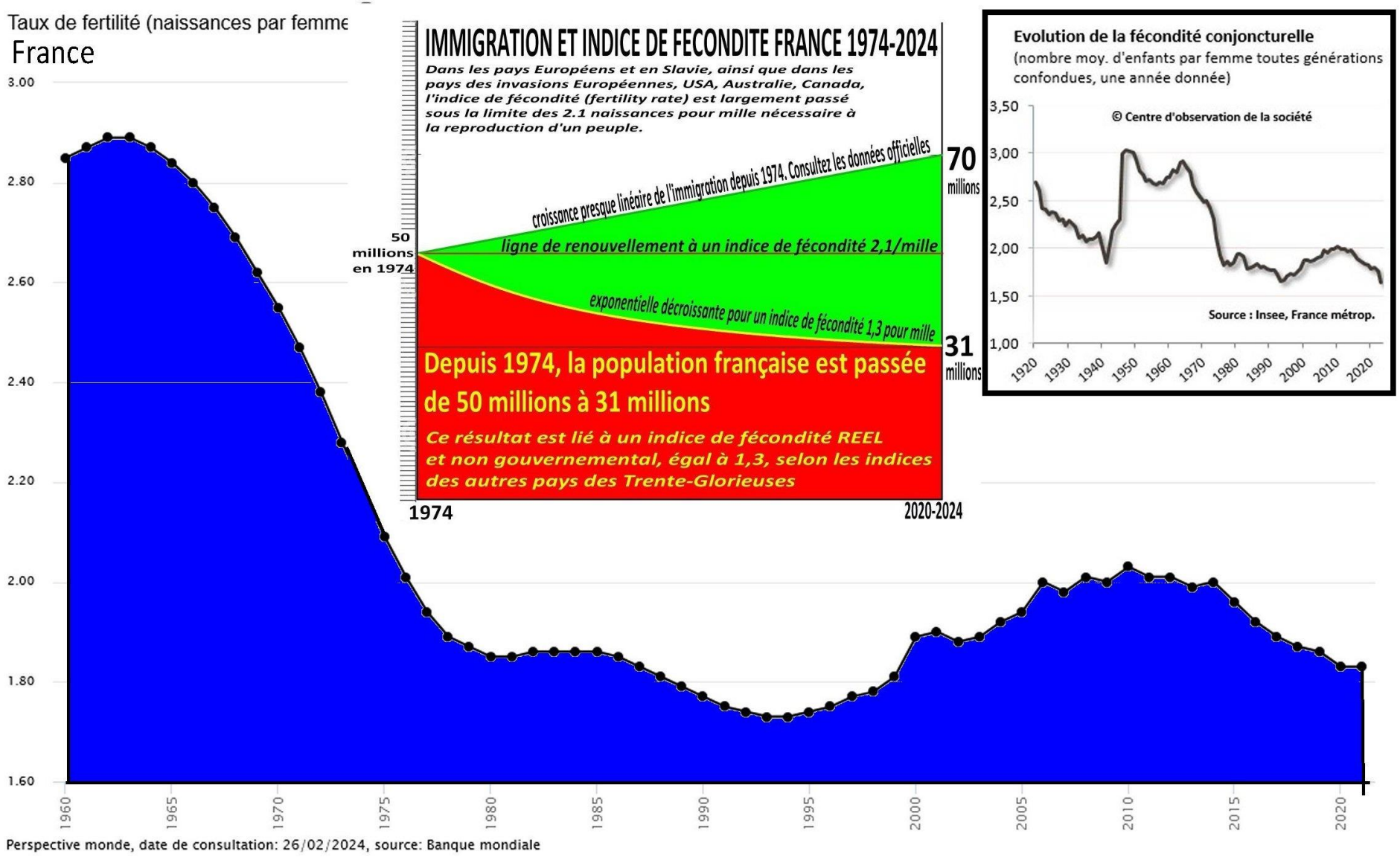
Taux de fertilité (naissances par femme
France
3.00
2.80
2.60
2.40
2.20
2.00
1.80
1.60
1960
1965
1970
1975
1980
1985
1990
1995
2000
2005
2010
2015
2020
Perspective monde, date de consultation: 26/02/2024, source: Banque mondiale

IMMIGRATION ET INDICE DE FECONDITE FRANCE 1974-2024
Dans les pays Européens et en Slavie, ainsi que dans les pays des invasions Européennes, USA, Australie, Canada, l'indice de fécondité (fertility rate) est largement passé sous la limite des 2.1 naissances pour mille nécessaire à la reproduction d'un peuple.
croissance presque linéaire de l'immigration depuis 1974. Consultez les données officielles
70 millions
50 millions en 1974
ligne de renouvellement à un indice de fécondité 2,1/mille
exponentielle décroissante pour un indice de fécondité 1,3 pour mille
31 millions
Depuis 1974, la population française est passée de 50 millions à 31 millions
Ce résultat est lié à un indice de fécondité REEL et non gouvernemental, égal à 1,3, selon les indices des autres pays des Trente-Glorieuses
1974
2020-2024

Evolution de la fécondité conjoncturelle
(nombre moy. d'enfants par femme toutes générations confondues, une année donnée)
© Centre d'observation de la société
3,50
3,00
2,50
2,00
1,50
1,00
1920
1930
1940
1950
1960
1970
1980
1990
2000
2010
2020
Source : Insee, France métrop.

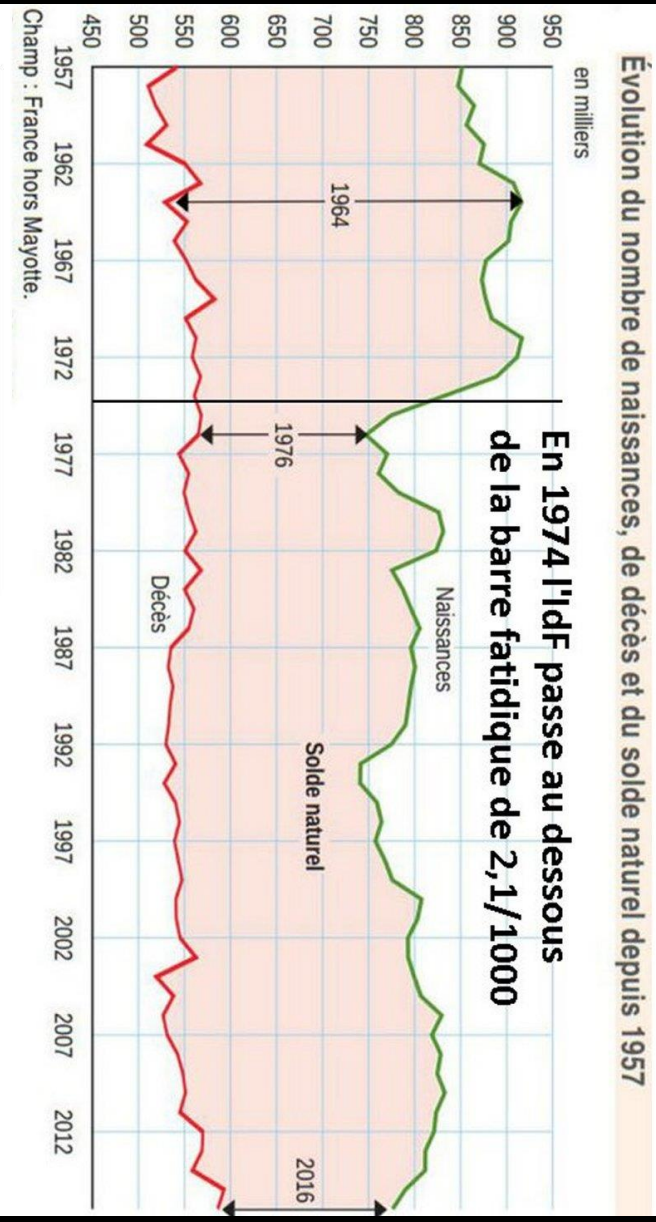
Champ : France hors Mayotte.
en milliers
450
500
550
600
650
700
750
800
850
900
950
1957
1962
1967
1972
1977
1982
1987
1992
1997
2002
2007
2012
1964
1976
2016
Décès
Naissances
Solde naturel
En 1974 l'IdF passe au dessous de la barre fatidique de 2,1/1000
Évolution du nombre de naissances, de décès et du solde naturel depuis 1957

La dérivée d'un cycle est une frontière.

En conséquence, nous pouvons considérer la théorie de la corde ouverte comme une dérivée de la théorie de la corde fermée.

De plus, une brane peut être considérée comme une dérivée de l'espace des gravitons dans lequel elle est plongée.

Enfin, les quarks sont les charges de Chan-Paton des gluons, en sorte que l'on peut considérer les quarks de valence comme la dérivée de la boucle de gluons sur laquelle ils sont définis.

GT 2022 7 22

Dans une harde Sapiens stable et homogène, la loi de Pareto s'applique :

80% de la harde remet sa direction aux décisions des 20% dominants, en échange de quoi ces 20% accaparent 80% du capital de la fraction dominée.

La séparation des deux groupes correspond à peu près à la séparation sigma1-sigma2 de la Gaussienne normale

Quand la limite de séparation est déplacée vers la gauche, le groupe dominant est plus nombreux que dans la situation de Pareto : le système est OLIGARCHIQUE.

Quand la situation est Pareto, le système est monarcho-DEMOCRATIQUE. Un individu représente la harde.

Quand la limite est déplacée vers la droite, le groupe dominant est restreint : la situation de la harde est DICTATORIALE.

En Gaule Travelo-Barbue, en 2022, la situation de la harde était à 34% de votants pour le souverain, le mode de direction était clairement oligarchique.

Les aspirants au renversement de direction étant inscrits au GODF comme les jupitériens, la stabilité du système est donc assurée même en cas de changement dictatorial.

Les dinosaures ne mettaient pas de carburant dans leur moto il y a 130 millions d'années.

Pourtant ils étaient obligés de se baigner dans la mer d'Écosse pour se rafraîchir du climat subtropical sous lequel ils vivaient.

Vous n'avez encore rien vu !

GT

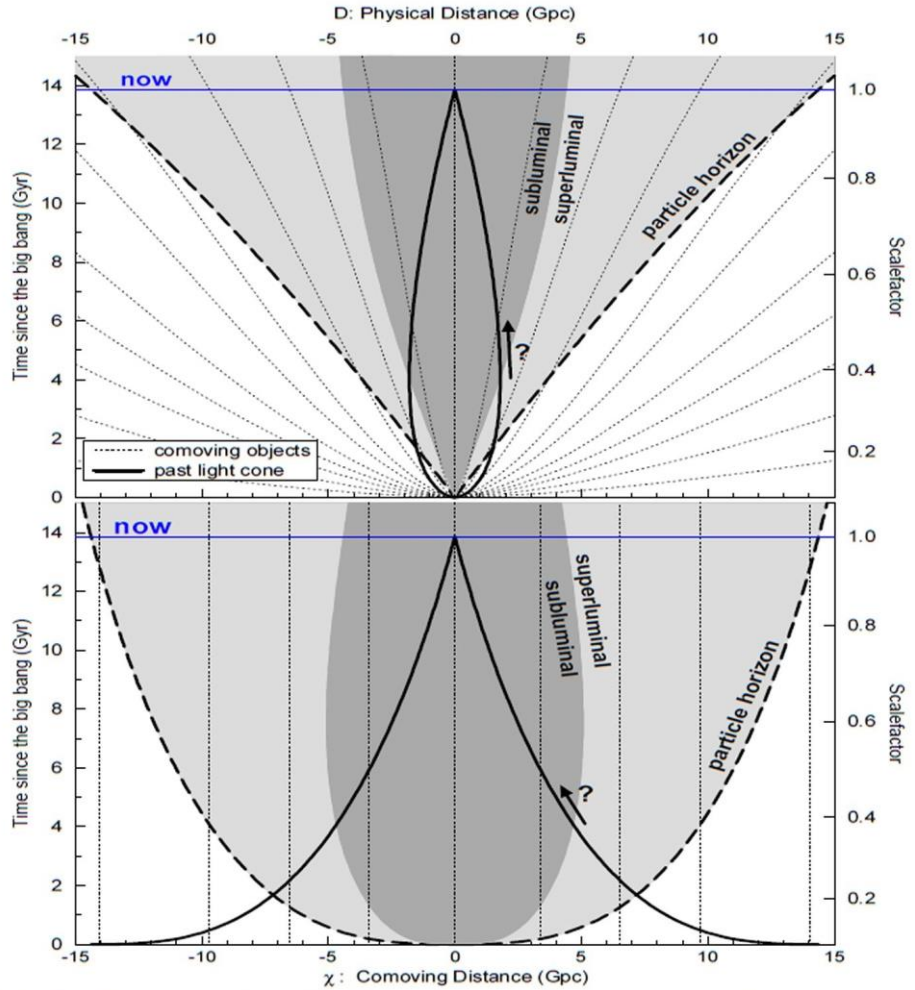

FIGURE 2. These spacetime diagrams are generated by inserting the parameters $(h, \Omega_M, \Omega_\Lambda) = (0.68, 0.3, 0.7)$ into Friedmann's equation. The upper panel is in physical distance and has a tear-drop-shaped past lightcone. The lower panel is in comoving distance and has a trumpet-shaped past light cone. The past lightcones enclose the events we have been able to see. Constant time surfaces are horizontal slices. On a surface of constant time the dark grey shading encloses the region of space which is receding subluminally; all other regions are receding superluminally. The light grey shading defines the observable universe and is bounded by the particle horizon. Following the worldline of a comoving galaxy that was receding superluminally at the time of emission, shows that the galaxy is *still* receding superluminally. In the viable GR models of Fig. [1], all objects with a redshift greater than ~ 3 are, *and always have been*, receding faster than the speed of light. How can photons reach us from regions of space that are receding superluminally? How can they cross from the light grey into the dark grey? (see text).

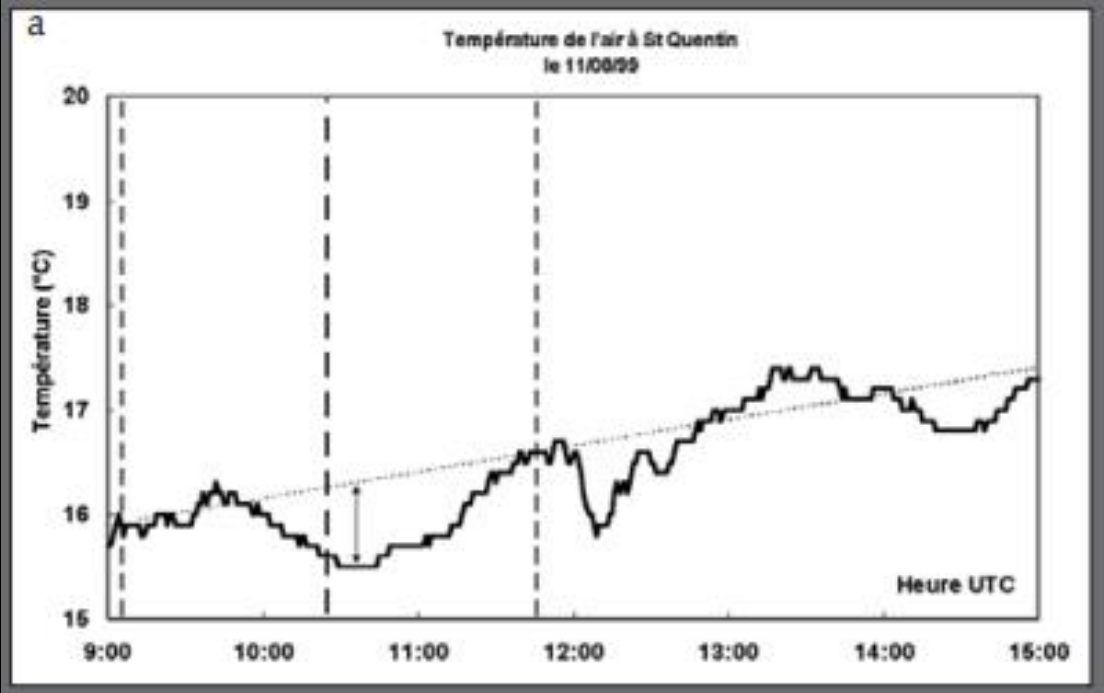

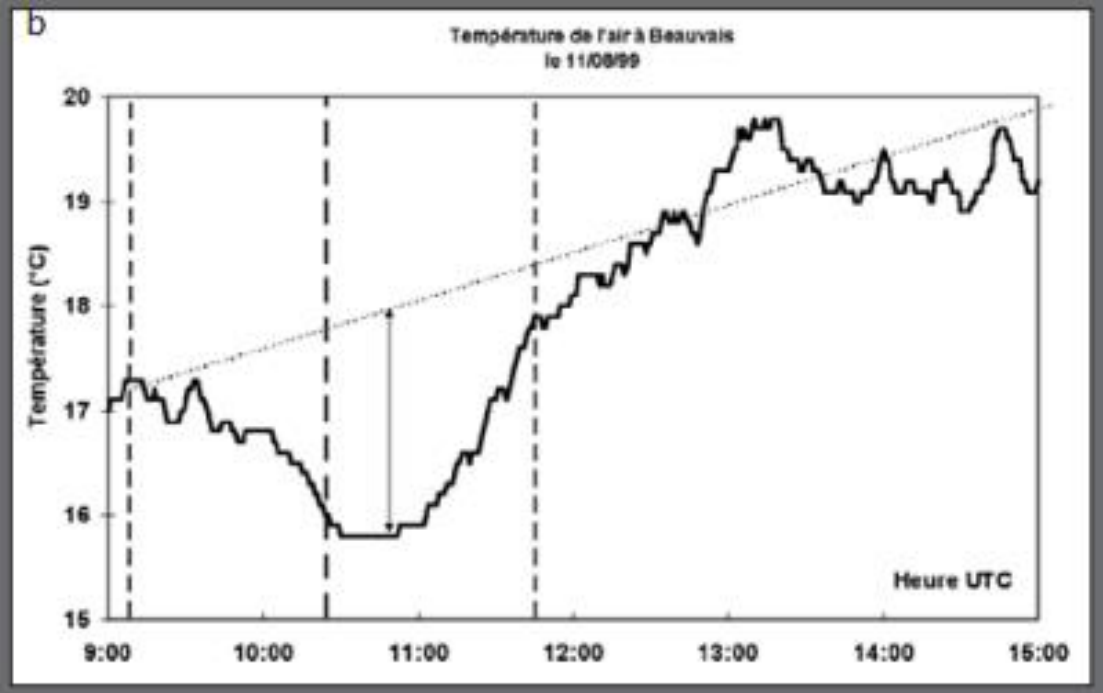

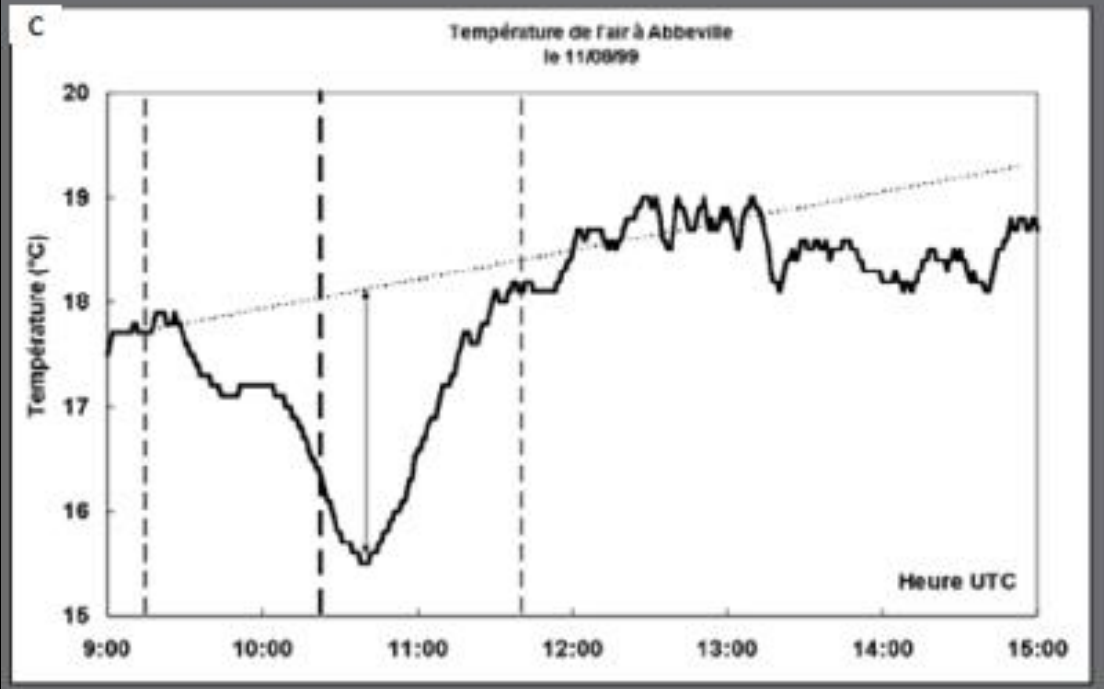

Figure 4 - Tracé de la température de l'air près du sol (sous abri) mesurée toutes les minutes entre 9 h et 15 h UTC le 11 août 1999, pour trois stations de Météo-France situées dans la bande de totalité.
Le trait vertical discontinu gras indique l'heure centrale de l'éclipse totale.
Les traits verticaux discontinus minces indiquent l'heure du premier contact (début de l'éclipse partielle) et du dernier contact (fin de l'éclipse partielle).
La ligne en pointillés et la flèche montrent comment on a estimé le déficit de température dû à l'éclipse.

a - Station météorologique de Saint-Quentin (Aisne) ;

b - Station météorologique de Beauvais (Oise) ;

c - Station météorologique d'Abbeville (Somme).

The World's Population in 2000, by Latitude

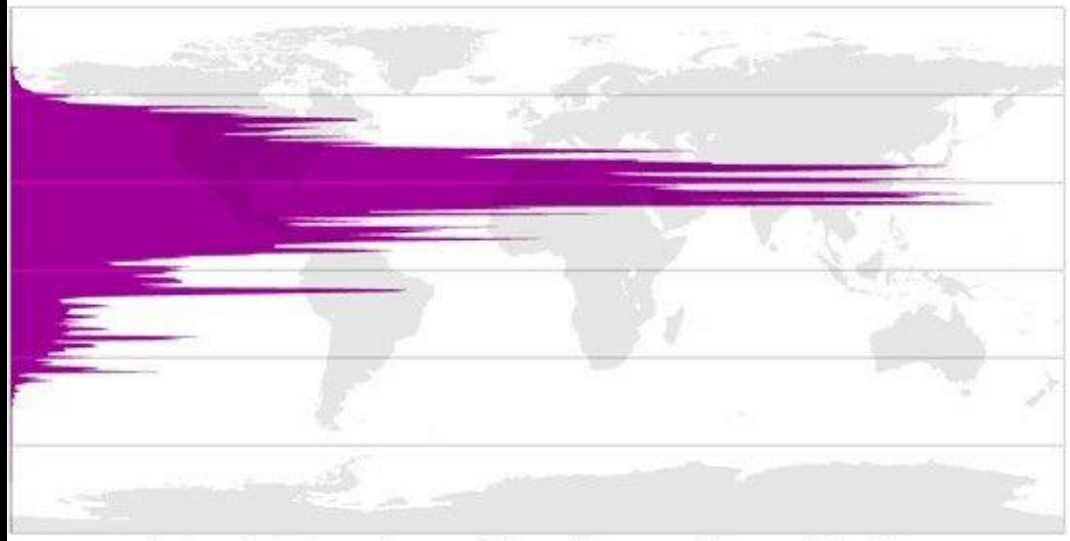

(horizontal axis shows the sum of all population at each degree of latitude)

The World's Population in 2000, by Longitude

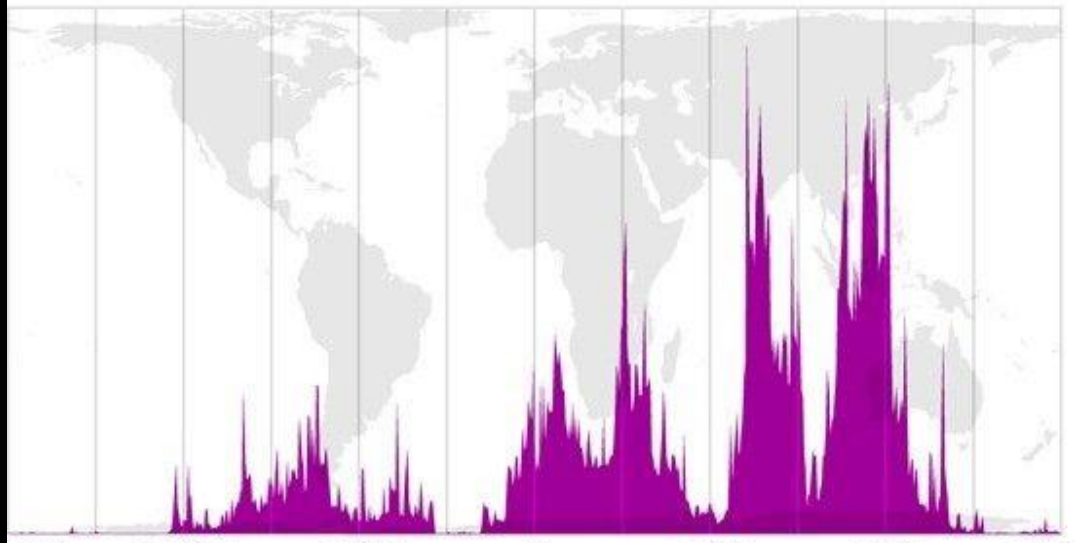

(vertical axis shows the sum of all population at each degree of longitude)

Suède : la droite remporte les législatives

Résultats finaux

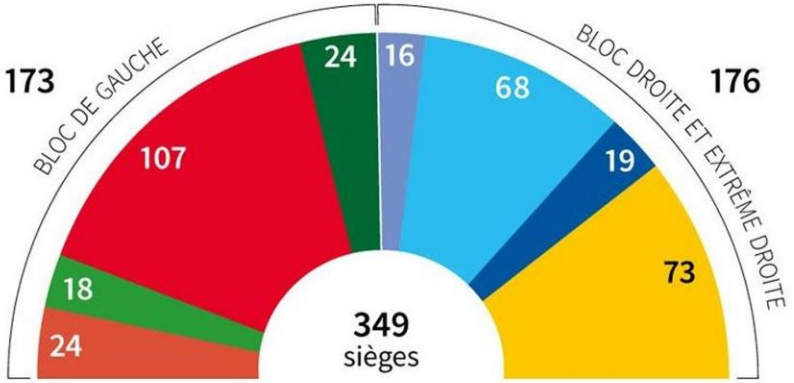

- Parti de Gauche (ex-communistes)
- Parti écologiste - Les Verts
- Parti social-démocrate
- Parti du Centre
- Parti libéral
- Parti des Modérés (conservateurs)
- Parti chrétien-démocrate
- Démocrates de Suède (extrême droite)

Source : Commission électorale

AFP

2002-2022, l'inexorable montée du score des Le Pen

Score du candidat du Front national/Rassemblement national aux élections présidentielles françaises, en %

Les résultats des élections générales en Italie

Élections du 25 septembre 2022

Chambre des députés

Frères d'Italie (extrême-droite)	26,01 %
Ligue du Nord (extrême-droite)	8,78 %
Forza Italia (droite)	8,12 %
Parti démocrate (centre-gauche)	19,06 %
Mouvement 5 étoiles (attrape-tout populiste)	15,42 %

Sénat

Frères d'Italie (extrême-droite)	26,03 %
Ligue du Nord (extrême-droite)	8,86 %
Forza Italia (droite)	8,28 %
Parti démocrate (centre-gauche)	18,96 %
Mouvement 5 étoiles (attrape-tout populiste)	15,54 %

Source: ministère de l'Intérieur. Résultats partiels.

VISACTU

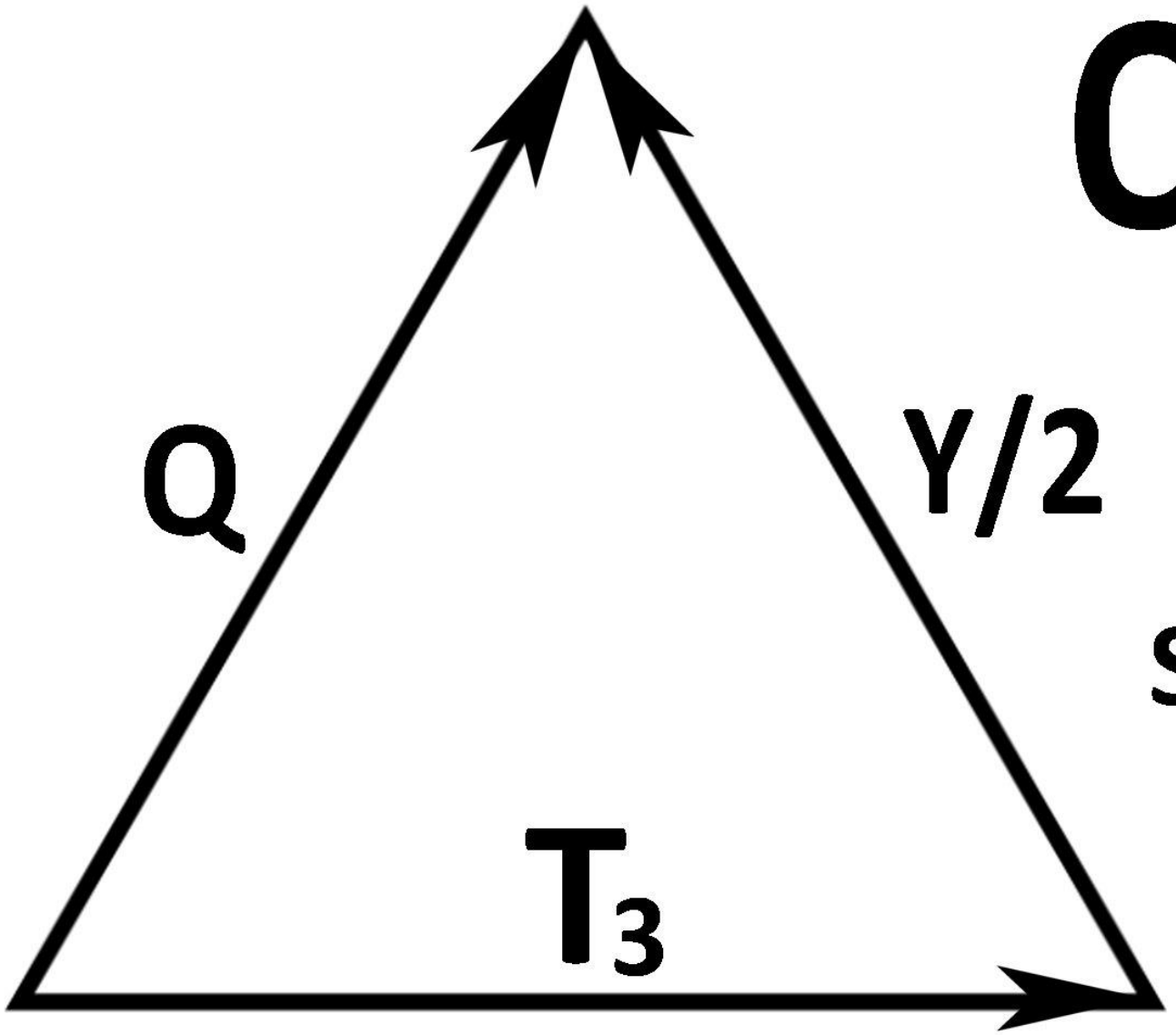

$$Q = T_3 + Y/2$$

So that electric charge is defined by spin and conserved numbers

ÉLÉMENTS DE GÉNÉALOGIE À L'INTENTION DES MINISTÈRES DE L'INTROMISSION DE GAULE FRANQUE

Je suis né de ma grand-mère portant l'ADN mitochondrial U4, dans la région de Novgorod, il y a 15 000 ans. Puis elle l'a amené avec elle en Gaule il y a peu. Pendant ce temps, ma mère cousait, cousait, des brassards FFI.

Mon grand père maternel descendait de la famille Schweisthal, de Pfalz, ou les Français se livrèrent à diverses occupations, durant la Guerre de Trente Ans, puis sous Turenne, Louvois et ses dragonnades. Les Allemands se souviennent très bien d'eux. Les Français eurent ainsi l'idée d'occuper le Rheinland et l'Alsace, jusqu'au jour où Adolf Hitler eut la bonne idée de ramener le Rheinland en Allemagne. Les Schweisthal résistèrent donc à ces diverses occupations malgré eux, lorsqu'un de mes ancêtres, malgré lui, fut engagé dans un régiment de chasseurs à cheval français sans qu'on lui eût demandé son avis. Tout cela se fait un peu malgré nous, bien sûr. Bonaparte tenta bien lui aussi de s'occuper chez nous, mais finalement, nous devînmes Prussiens, après qu'il eût décidé de prendre ses vacances.

Mon père avait l'ADN paternel T*.

J'ai longtemps joué avec sa STEN, dans le grenier de ma grand-mère, jusqu'au jour où elle la jeta. C'est dommage, une STEN est toujours utile à avoir chez soi.

Bref, ma généalogie est assez typiquement gauloise.

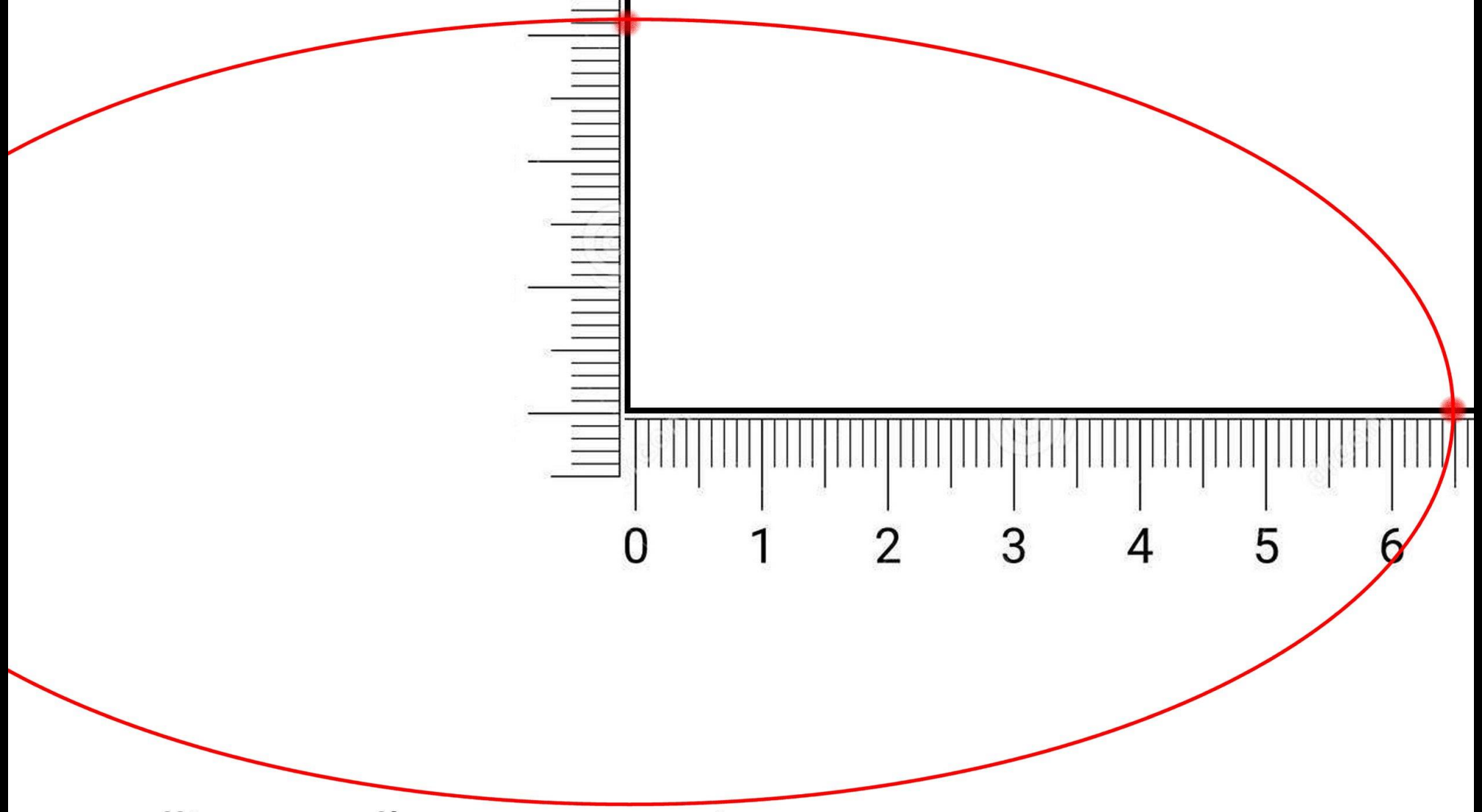

Cette ellipse que l'on pourra aussi nommer Ellipse Dorée n'a pas été retenue par l'architecte de Stonehenge. GT

ÉNERGIE D'UN CORPS DANS UN REPÈRE IMPROPRE

Gérôme Taillandier

Ce petit texte a été écrit pour mon amusement personnel, et est sans doute dépourvu de tout sérieux. Je peux donc espérer qu'il fera rire de moi, comme cela a été fait il y a longtemps par l'assistance d'un célèbre physicien. Amusez-vous bien.

L'auteur.

Selon l'article d'Einstein dans lequel celui-ci montre que la masse d'un corps équivaut à son énergie, intervient le fait que, si l'on passe dans le repère impropre, la perte d'énergie de masse est égale à l'énergie irradiée par le corps.

Soit un corps de masse non-nulle susceptible d'irradier, ce qui est le cas pour les ondes électromagnétiques et gravitationnelles. Selon une idée reçue, si un corps massif a une vitesse approchante celle de la lumière, sa masse augmente vers l'infini.

Cependant, si la proposition d'Einstein est exacte, ce n'est pas ce qui se passe.

La masse non-radiative du corps doit tendre vers zéro si la vitesse tend vers celle de la lumière, tandis que son énergie de radiation augmente selon le facteur bien connu. En sorte que, si le corps est irradiant, ce qui est nécessaire puisqu'il émet des ondes de gravitation, alors, son énergie radiative tend vers une valeur limite finie, égale à sa masse au repos multipliée par c^2

La limite de l'énergie d'un corps en mouvement dans le repère impropre a donc une valeur finie.

2023 6 20

ÉNERGIE SOLAIRE ET VARIATIONS DE L'EXCENTRICITÉ DE L'ORBITE TERRESTRE

Le problème de l'excentricité de l'orbite terrestre et son lien avec la quantité de chaleur reçue du Soleil sur une période de temps suffisamment courte, peut se formuler en ces termes : **quelle quantité de chaleur est REÇUE par la Terre sur une période de 1 an en fonction de l'excentricité de son orbite**, sachant que l'orbite est une ellipse dont l'excentricité varie entre 0,6 il y a 200 000 ans et 0,01 actuellement ?

Cette quantité ne dépend que de l'excentricité.

Trois facteurs sont en cause :

L'**excentricité** de l'ellipse

L'**énergie reçue** variant en $1/r^2$ à partir du foyer de l'ellipse

La **vitesse** scalaire instantanée de la Terre sur son orbite, puisque le temps de séjour de la Terre sur un intervalle court de son orbite détermine la somme d'énergie reçue sur cet intervalle.

Il reste alors à **intégrer** ces données sur une période, en fonction de l'excentricité, afin d'obtenir la quantité d'énergie reçue en fonction de l'excentricité.

GT 2023 2 24

Dans l'entropie, le système perd ses couleurs,
Delta S = Delta Q / T

entropie

entropie élevée

information:
néguentropie

Dans l'information, égale à (-S), le système retrouve ses couleurs

entropie faible

ENTROPIE ET INFORMATION

Dans l'entropie, le système perd ses couleurs,
Delta S = Delta Q / T

entropie

information:
néguentropie

Dans l'information, égale à (-S), le système retrouve ses couleurs

Dans l'entropie, le système perd ses couleurs,
Delta S = Delta Q / T

entropie

information:
néguentropie

Dans l'information, égale à (-S), le système retrouve ses couleurs

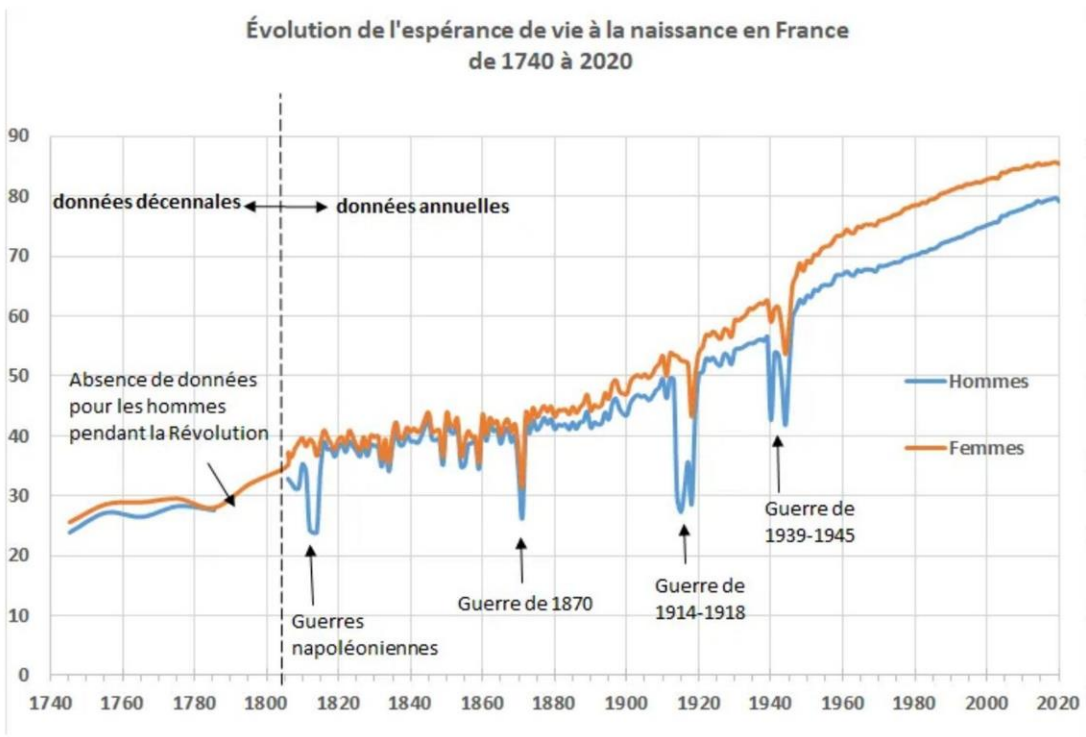

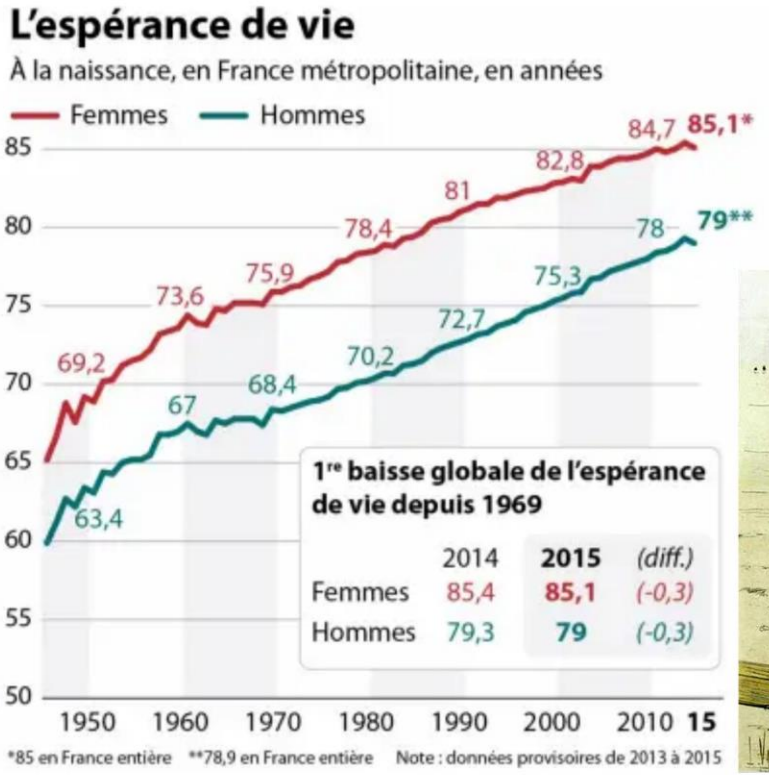

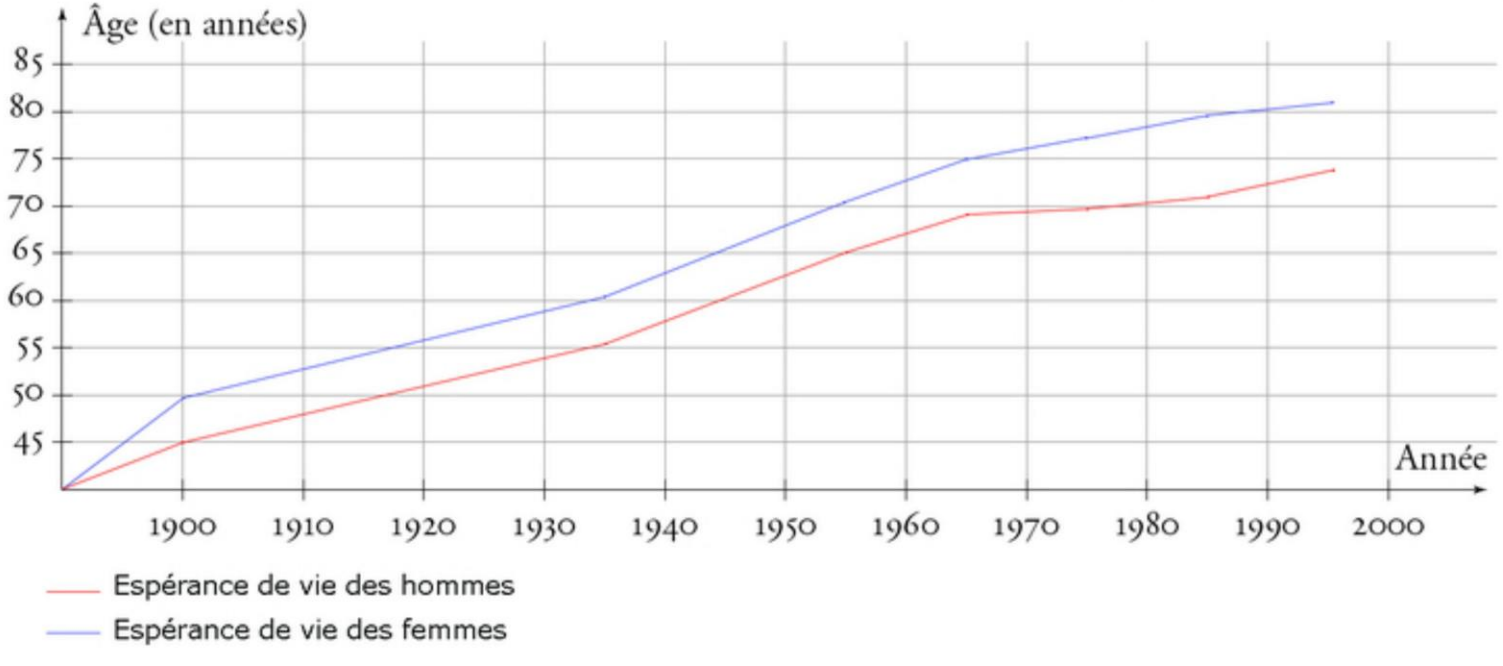

Merci Poléon 1!

Merci Poléon 3!

Merci Poincaré 1!

Merci Daladier-Chamberlain!

GT 2024 2

Aux erreurs de dessin près...

Mais en réalité, le vrai billet

n'est pas gravé comme cela!! GG

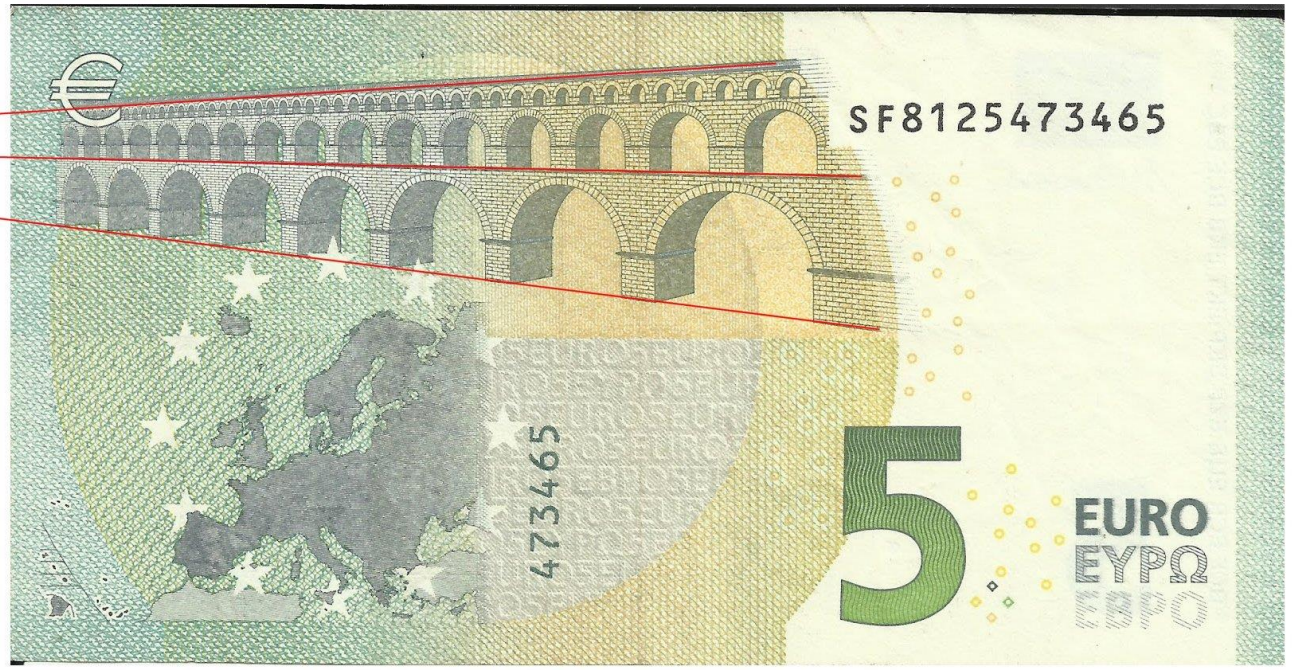

Pourquoi ces points de fuite ???

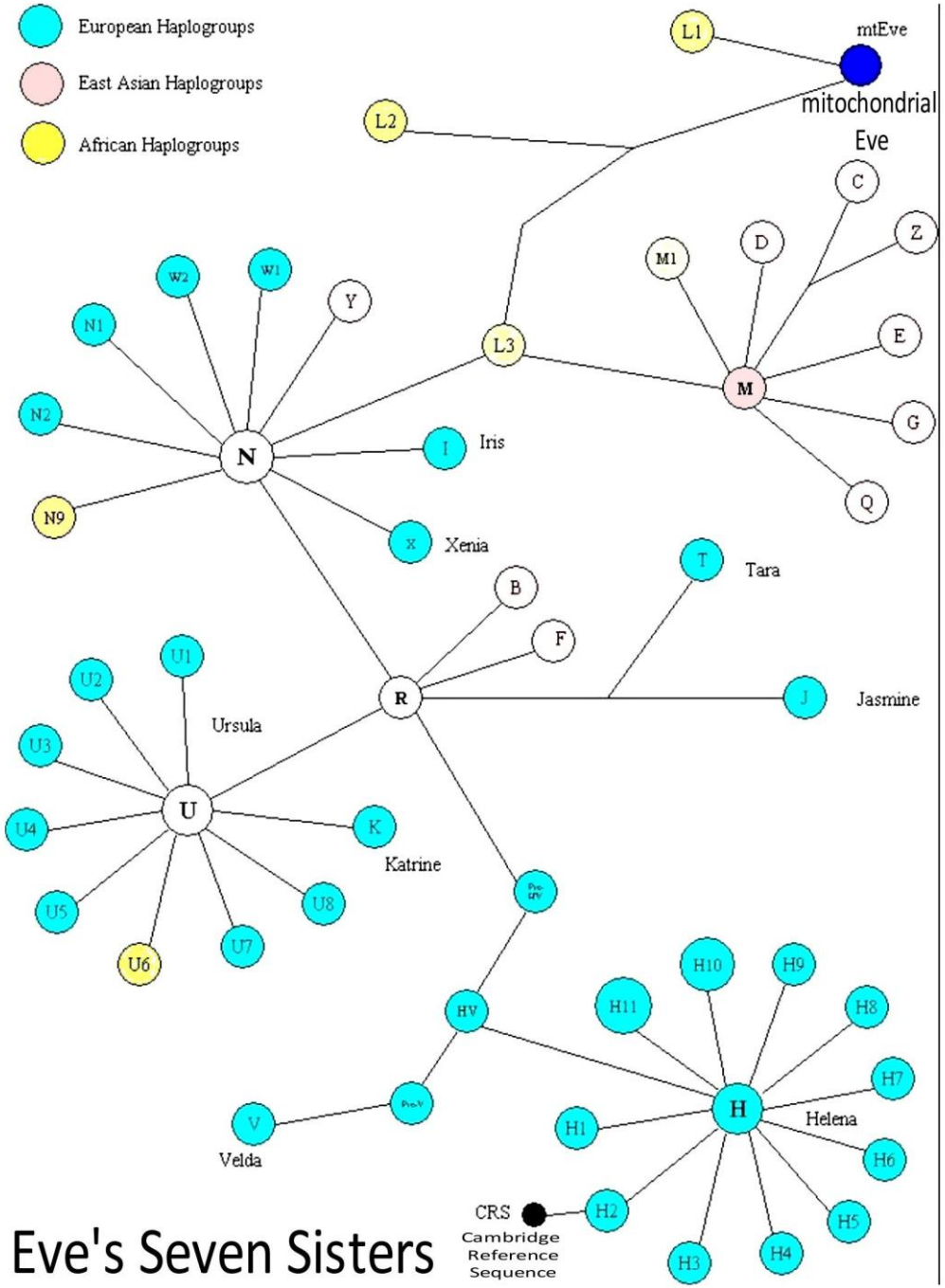
European Haplogroups
East Asian Haplogroups
African Haplogroups
L1
mtEve
mitochondrial Eve
L2
C
Z
D
M1
L3
E
M
G
Q
W2
W1
Y
N1
N2
N
I
Iris
N9
X
Xenia
T
Tara
B
F
R
J
Jasmine
U1
U2
Ursula
U3
U
K
Katrine
U4
U5
U8
U7
U6
HV
H10
H9
H11
H8
H7
H
Helena
H1
H6
V
Velda
H2
H5
H3
H4
CRS
Cambridge Reference Sequence
Eve's Seven Sisters

ORBITE DE LA TERRE IL Y A 400 000 ANS

excentricité e = 0,6
a = 1
c = 0,6
b = 0,8

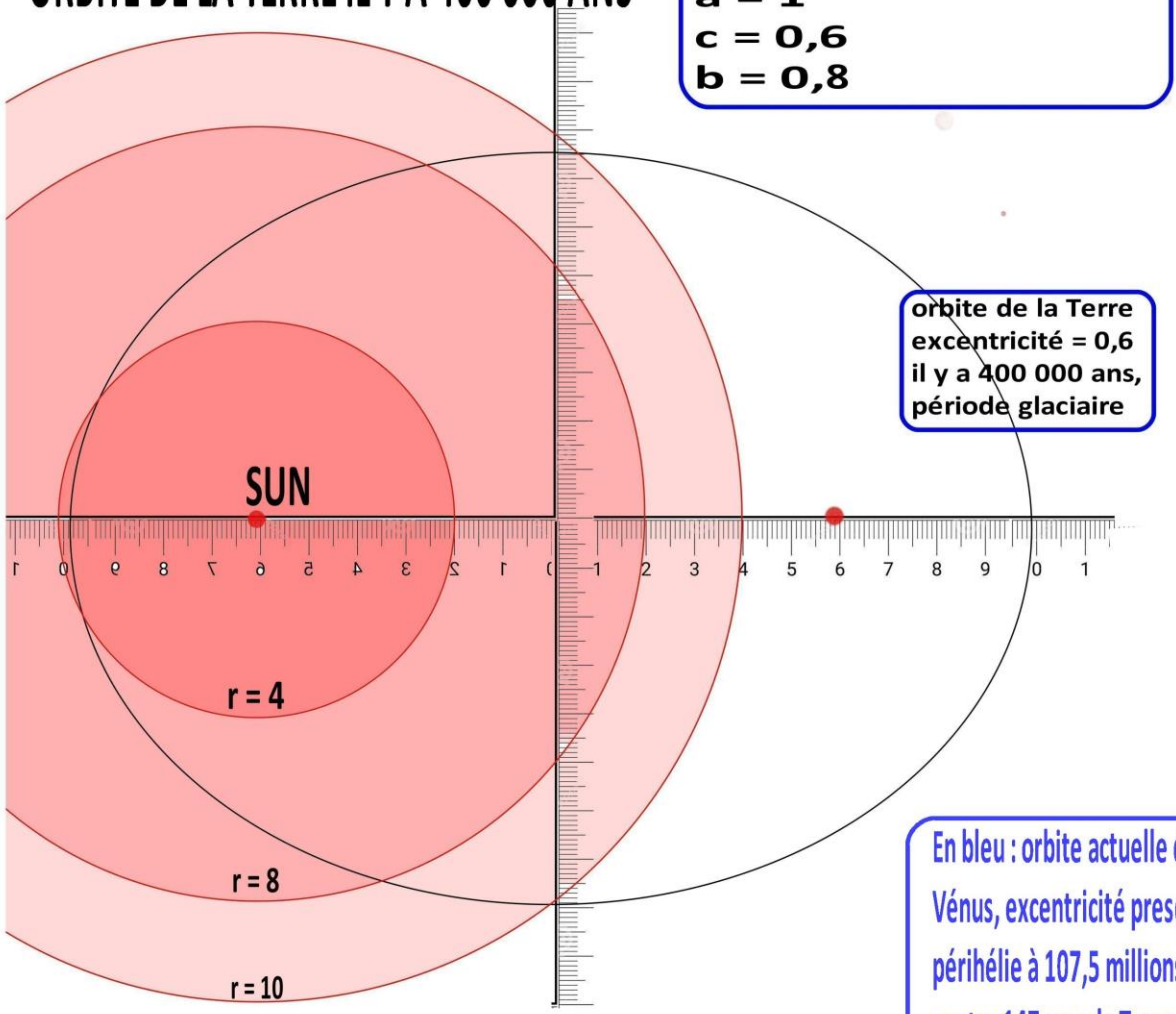

orbite de la Terre
excentricité = 0,6
il y a 400 000 ans,
période glaciaire

l'énergie reçue en un point M de l'orbite est en 1/r^2.
La vitesse instantanée du point M n'est pas prise en compte

ORBITE DE LA TERRE AVANT HIER

excentricité e = 0,017
a = 1
b = 0,985
c = 0,017

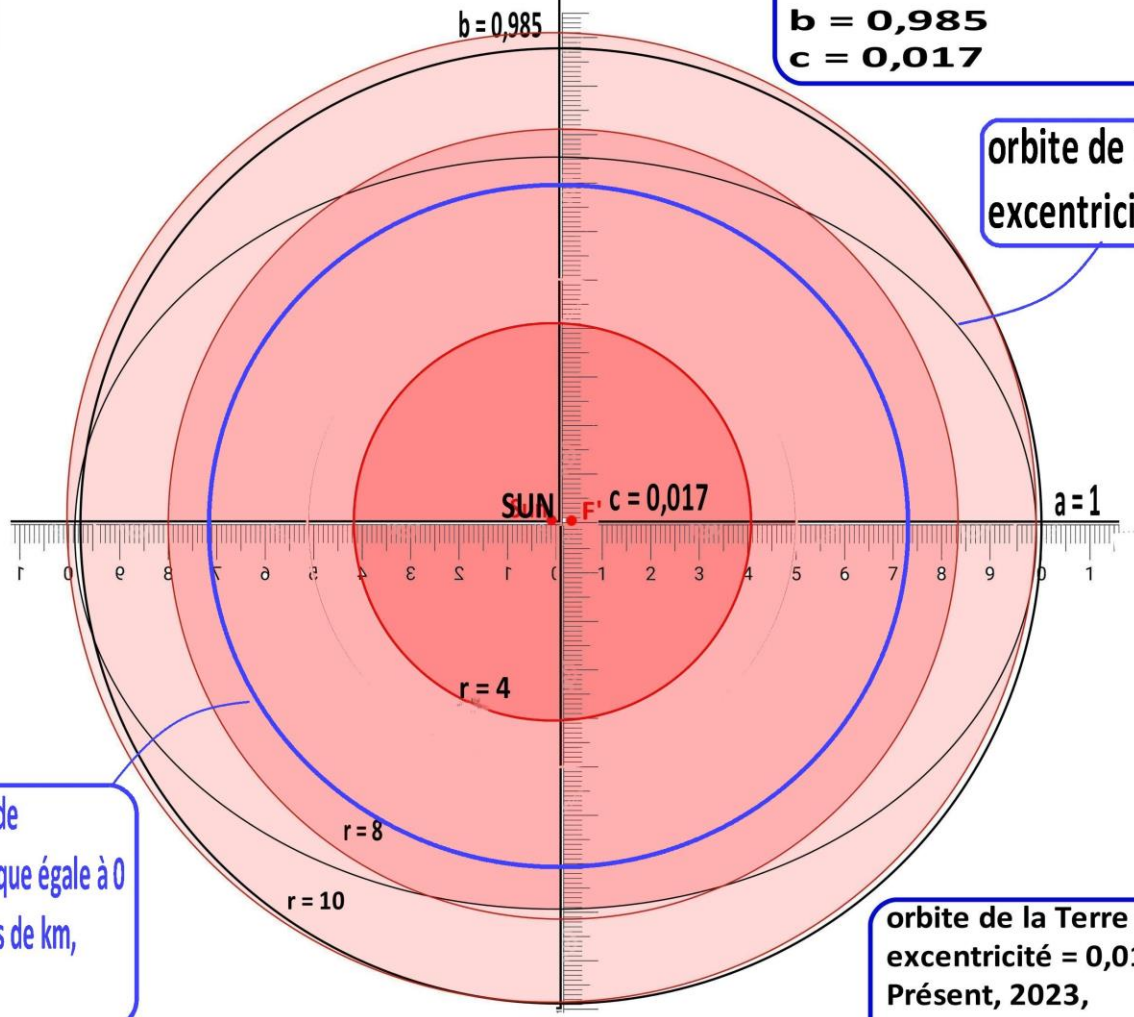

orbite de la Terre,
excentricité 0,6

En bleu : orbite actuelle de
Vénus, excentricité presque égale à 0
périhélie à 107,5 millions de km,
contre 147 pour la Terre

Et voici pourquoi votre fille est muette,
et Vénus cuite au feu de bois
depuis fort longtemps...GT

orbite de la Terre
excentricité = 0,017
Présent, 2023,
descente de l'excentricité
due au 3ième cycle de
l'onde d'excentricité

excentricité de l'orbite de la Terre et effets sur le climat, Gérôme Taillandier

excentricité de l'orbite terrestre et climat

Une excentricité faible
engendre un flux de chaleur
reçu par la Terre
plus élevé que pour
une excentricité forte.

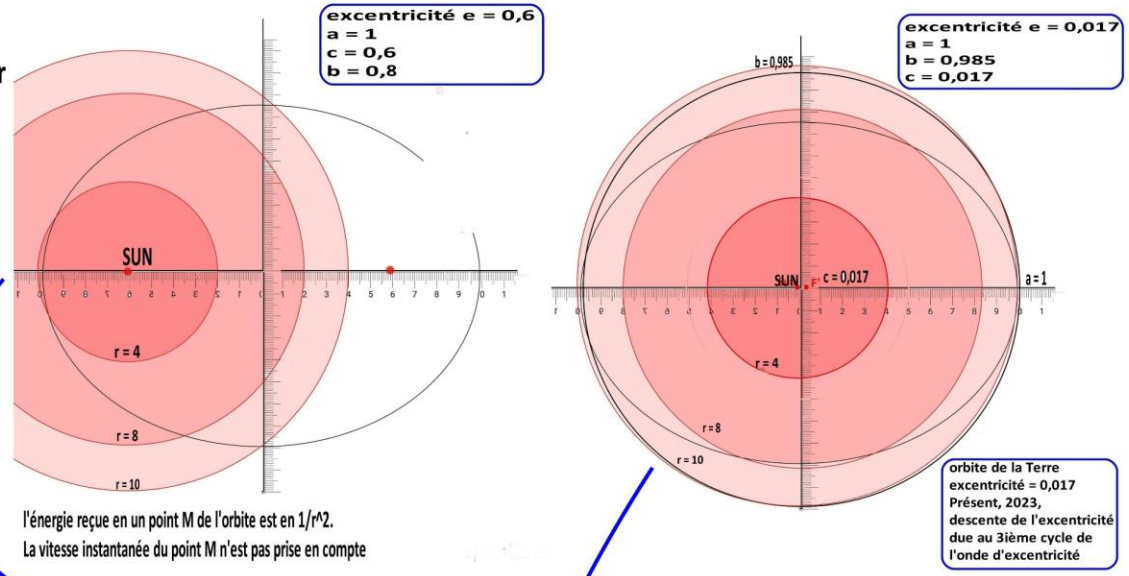

l'énergie reçue en un point M de l'orbite est en 1/r^2.
La vitesse instantanée du point M n'est pas prise en compte

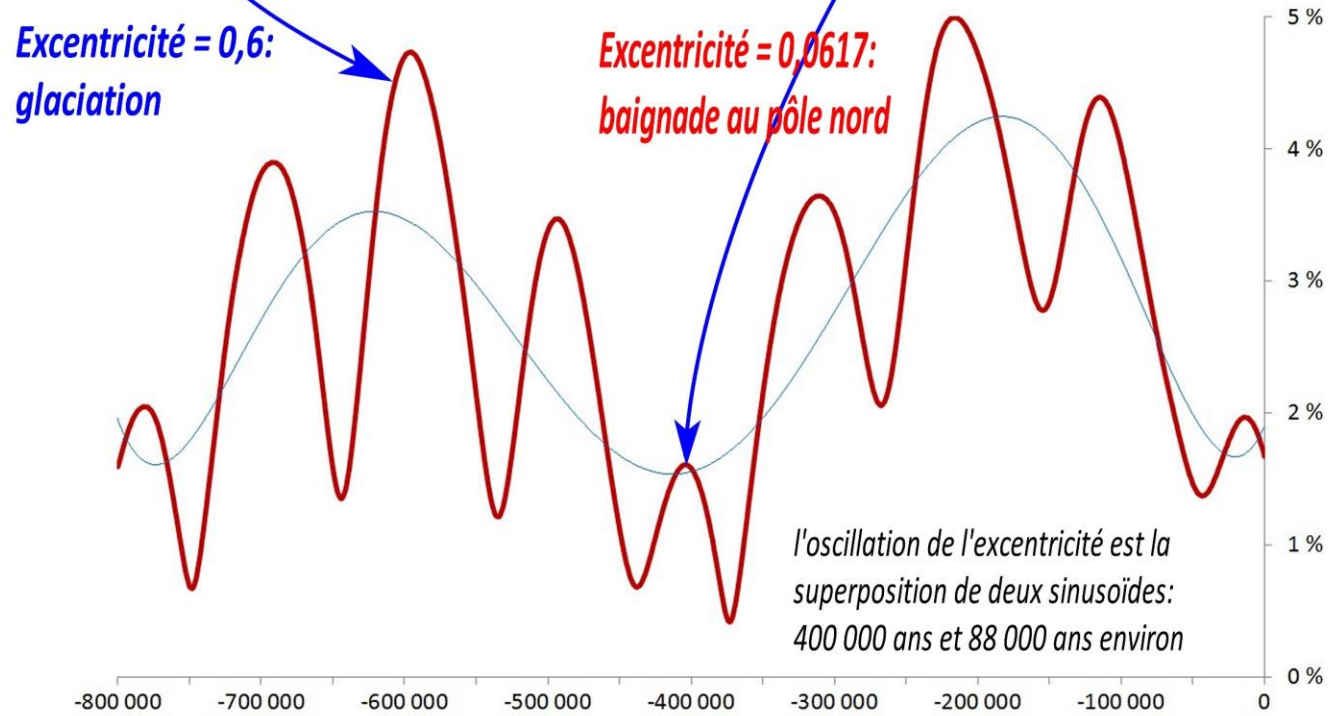

Ce schéma s'inspire librement de: © Olivier Berruyer, www.les-crises.fr Et donc de J. Laskar

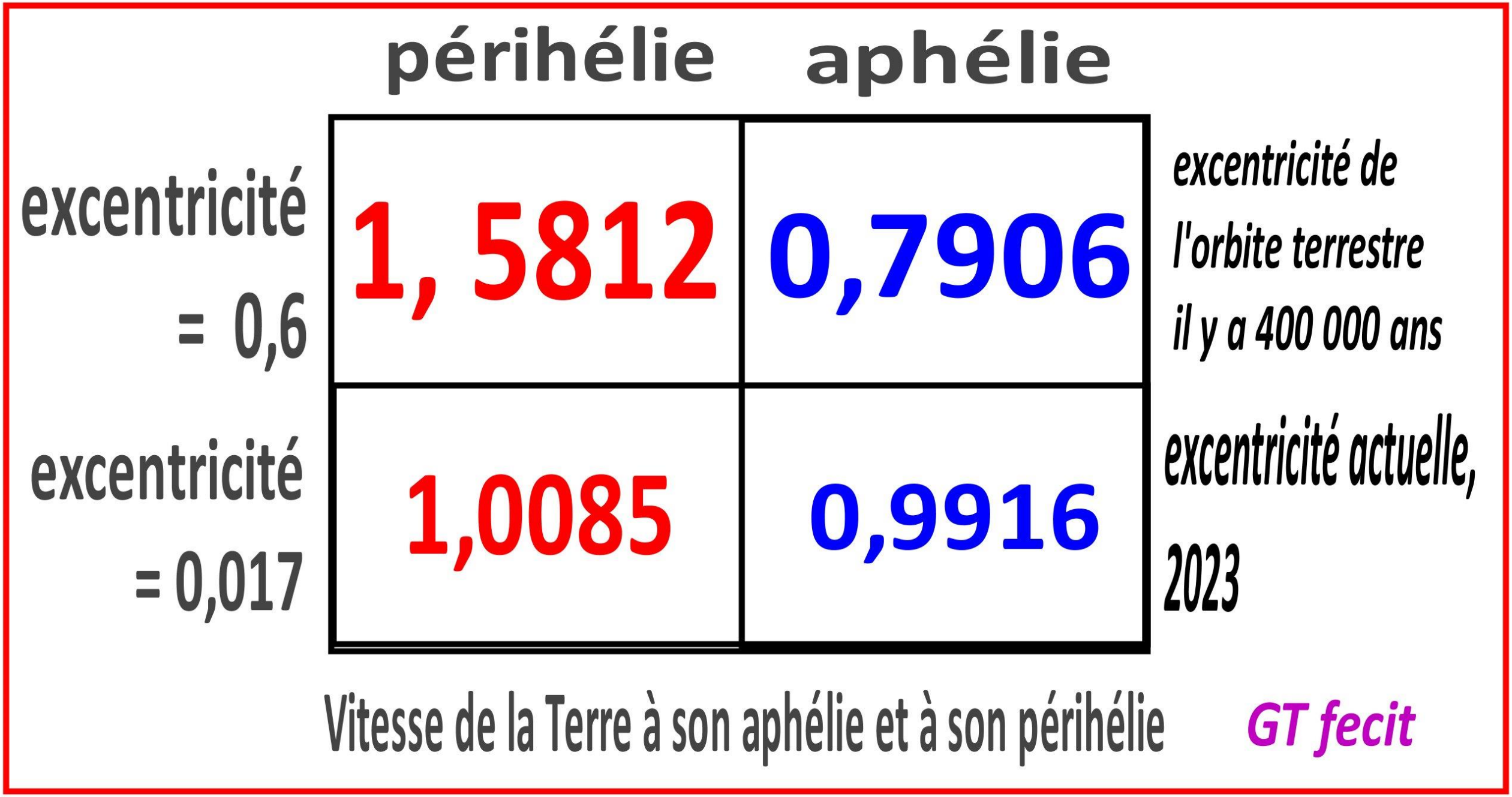
périhélie
aphélie
excentricité = 0,6
1, 5812
0,7906
excentricité de l'orbite terrestre il y a 400 000 ans
excentricité = 0,017
1,0085
0,9916
excentricité actuelle, 2023
Vitesse de la Terre à son aphélie et à son périhélie
GT fecit

Dans une société industrielle donnée, stable et close, la distribution des capitaux et revenus est une distribution de Poisson.

Si cette société fonctionne sur un mode oligarchique dur, le paramètre λ de la courbe de Poisson est de l'ordre de 2 à 3, et le ventre de la courbe est fortement déplacé à gauche.

Dans une société démocratique de type parlementaire, le λ est plutôt proche de 5 à 7.

Le maximum d'égalité de distribution du capital dans une société humaine est donc une courbe de Poisson approximable par une gaussienne pour un λ proche de 10.

Il n'y a pas d'égalité supérieure à une gaussienne dans une société humaine sans système dictatorial.

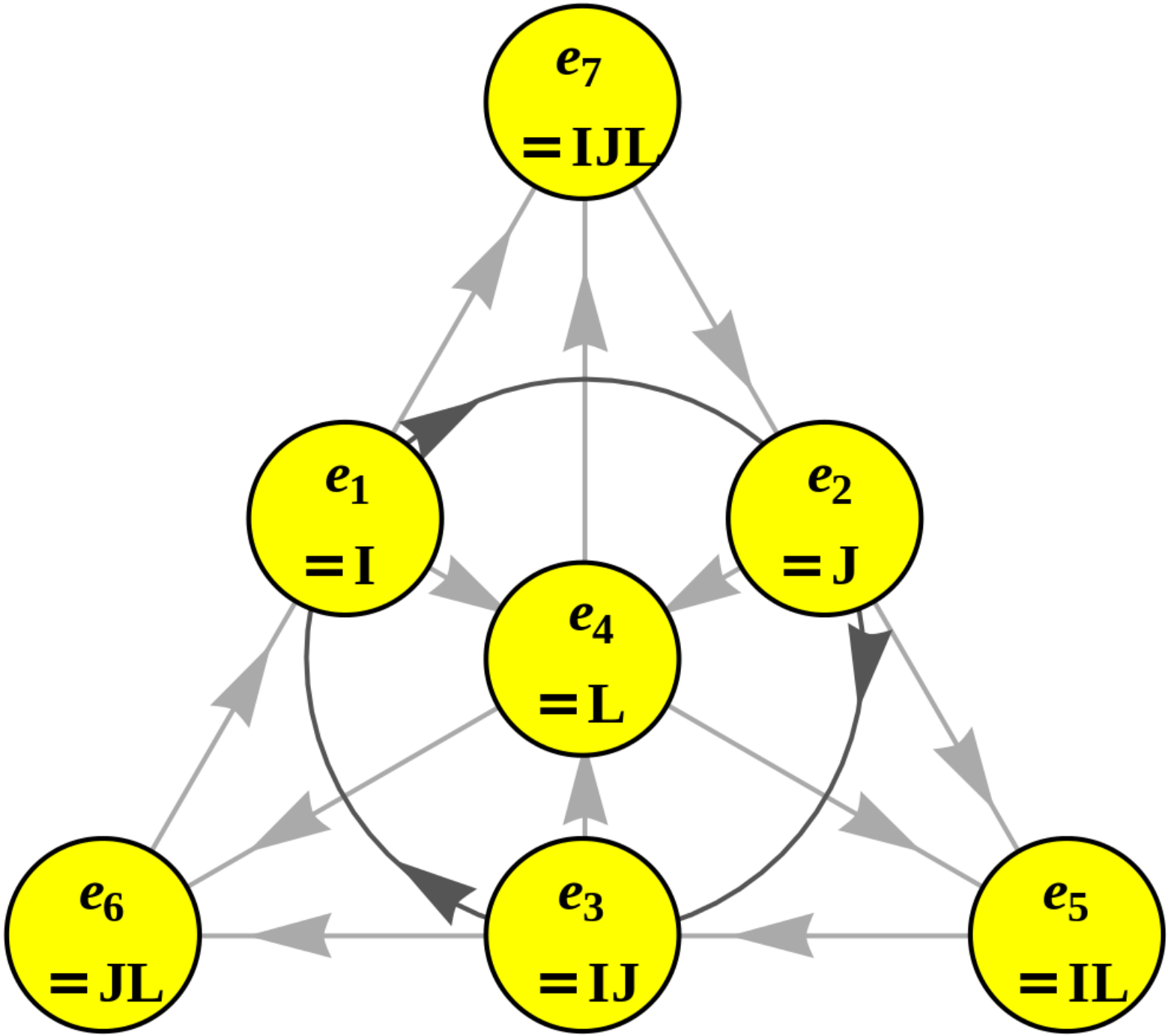
e_7
= IJL
e_1
= I
e_2
= J
e_4
= L
e_6
= JL
e_3
= IJ
e_5
= IL

Prenez une théorie des cordes.

Définissez dessus une algèbre de Lie et un groupe de transformation des cordes.

Définissez l'adjoint de ce groupe.

Ajoutez à la sauce, des fantômes (ghosts) dans les boucles des cordes.

Vous obtenez après cuisson une algèbre de Clifford et des traces, autrement dit des spineurs.

Vous avez créé un espace de spineurs sur votre théorie des cordes.

La charge électrique est non quantisée à moins de la DQC.

Elle est invariante relativiste.

D'où l'existence d'un champ magnétique.

La charge de couleur est-elle quantisée.

Est-elle invariante dans une transfo de Lorentz ?

Y a-t-il un « champ magnétique » du gluon ?

Je paie une sucette anglaise à la personne qui me le dit. GT 2021 8 7

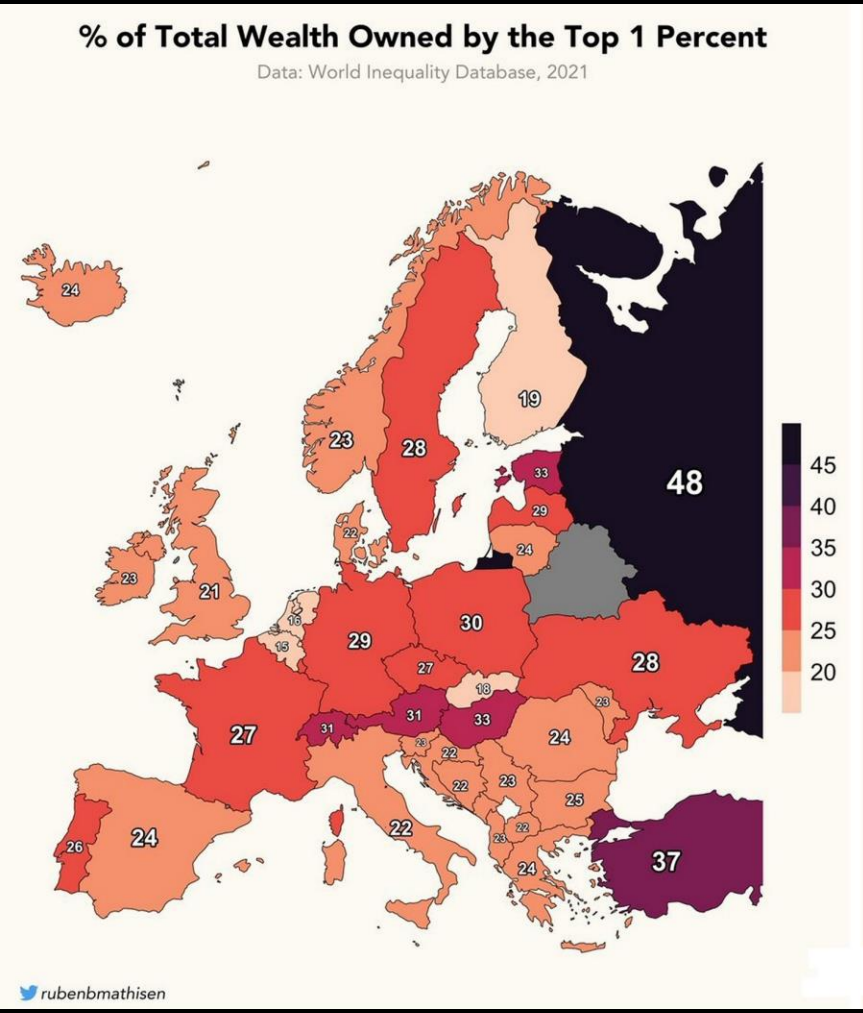
% of Total Wealth Owned by the Top 1 Percent
Data: World Inequality Database, 2021
45
40
35
30
25
20
rubenbmathisen

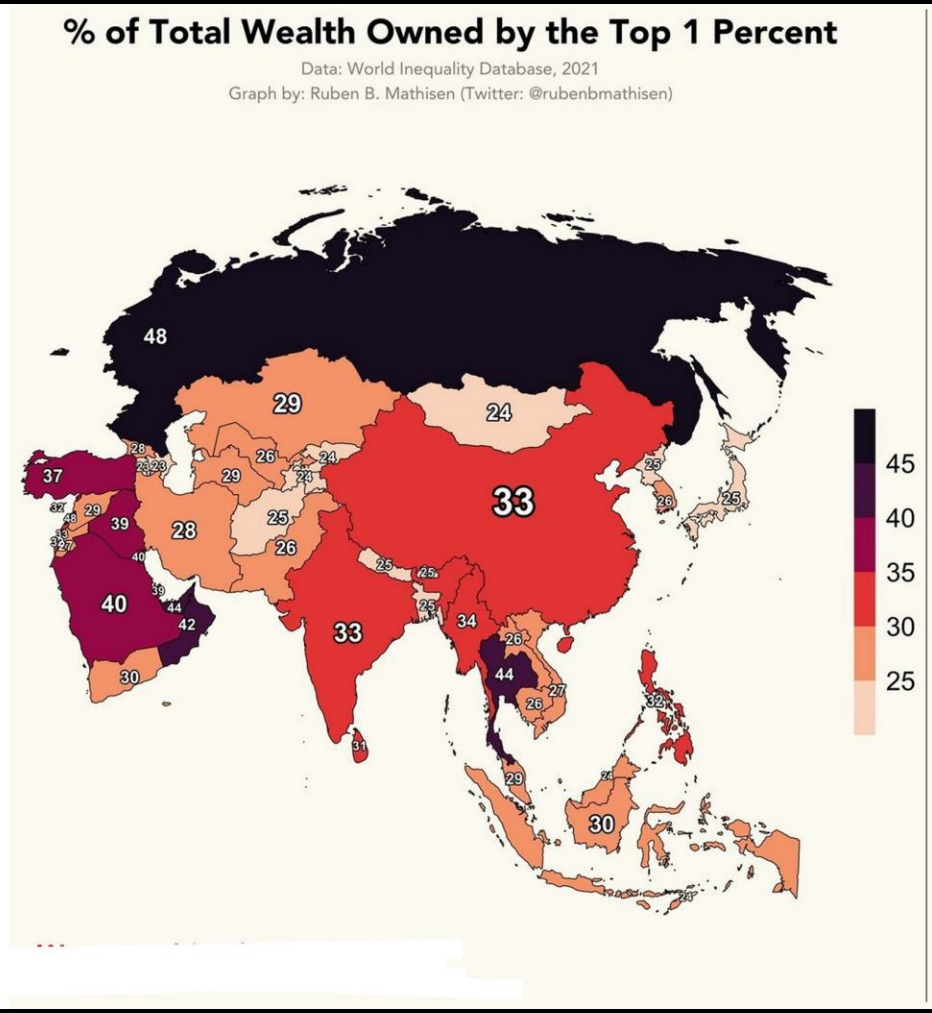
% of Total Wealth Owned by the Top 1 Percent
Data: World Inequality Database, 2021
Graph by: Ruben B. Mathisen (Twitter: @rubenbmathisen)
45
40
35
30
25

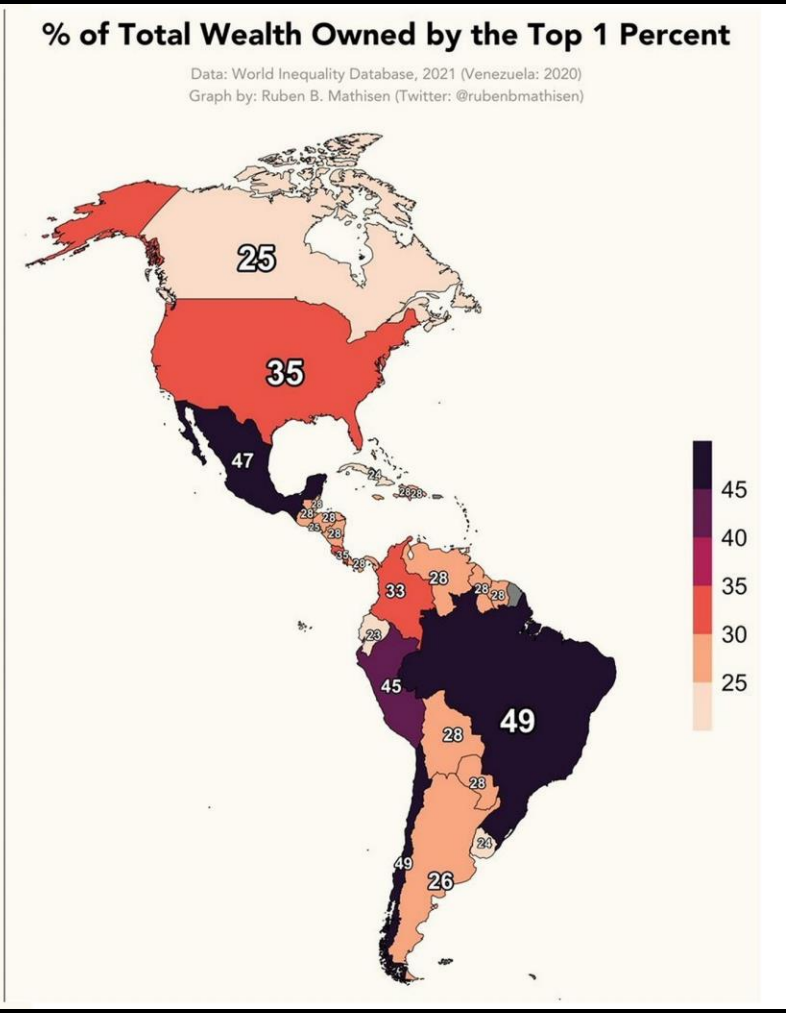
% of Total Wealth Owned by the Top 1 Percent
Data: World Inequality Database, 2021 (Venezuela: 2020)
Graph by: Ruben B. Mathisen (Twitter: @rubenbmathisen)
45
40
35
30
25

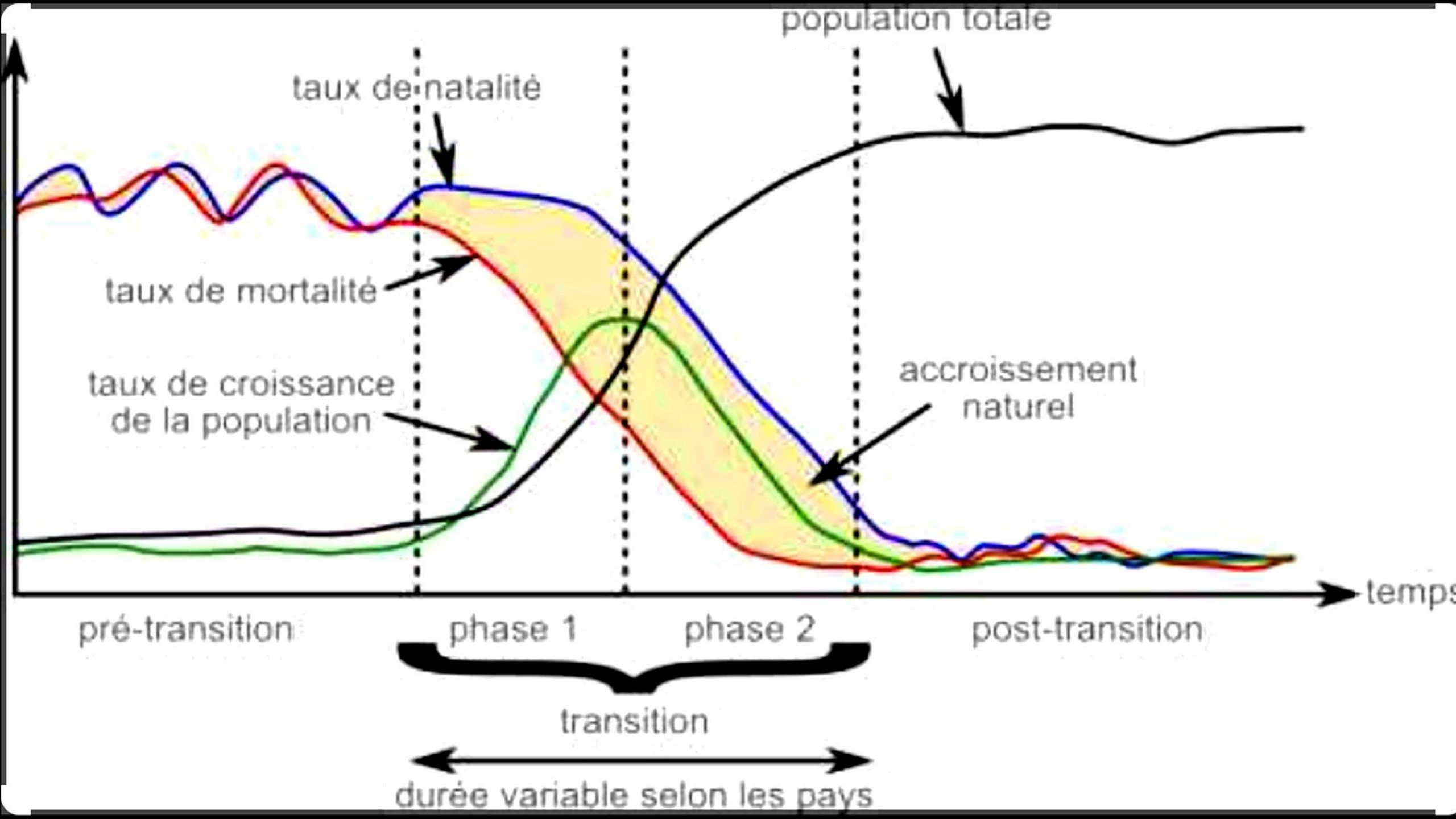
population totale
taux de natalité
taux de mortalité
taux de croissance
de la population
accroissement
naturel
temps
pré-transition
phase 1
phase 2
post-transition
transition
durée variable selon les pays

The eightfold way: the beauty of Klein's quartic curve, edited by Silvio Levy. Pp. 331. £19.95 (pb), £40 (hb). 2001. ISBN 0 521 00419 5, 0 521 80209 1 (Cambridge University Press).

In November 1993, a sculpture by Helaman Ferguson was unveiled at the Mathematical Sciences Research Institute in Berkeley. Ferguson, well-known for his mathematics-inspired sculptures, used Klein's Quartic (KQ) as his theme on this occasion and gave his sculpture a resonant name, 'The Eightfold Way', redolent of symmetry, Buddhism and quark theory. KQ is associated with an incredibly symmetrical compact Riemann surface of genus 3. The base of the sculpture is a two-tone stone mosaic representing the uniformisation of the surface from an hyperbolic tessellation of heptagons (compare Figure 1); rising from the central heptagon is an heptagonal serpentine prism which cups Ferguson's holey, tetrahedroidal, topological rendition of KQ out of Carrara marble; ridges and grooves in the surface highlight 24 heptagons which echo the fundamental domain of the tessellation; following these edges 'left fork, right fork, left fork, etc.' gives one of 21 'eight-fold cycles' that enlace the surface.

Unusually then, this volume is 'the book of the sculpture'. The nine

Toi aussi, tu pratiques le fisting?

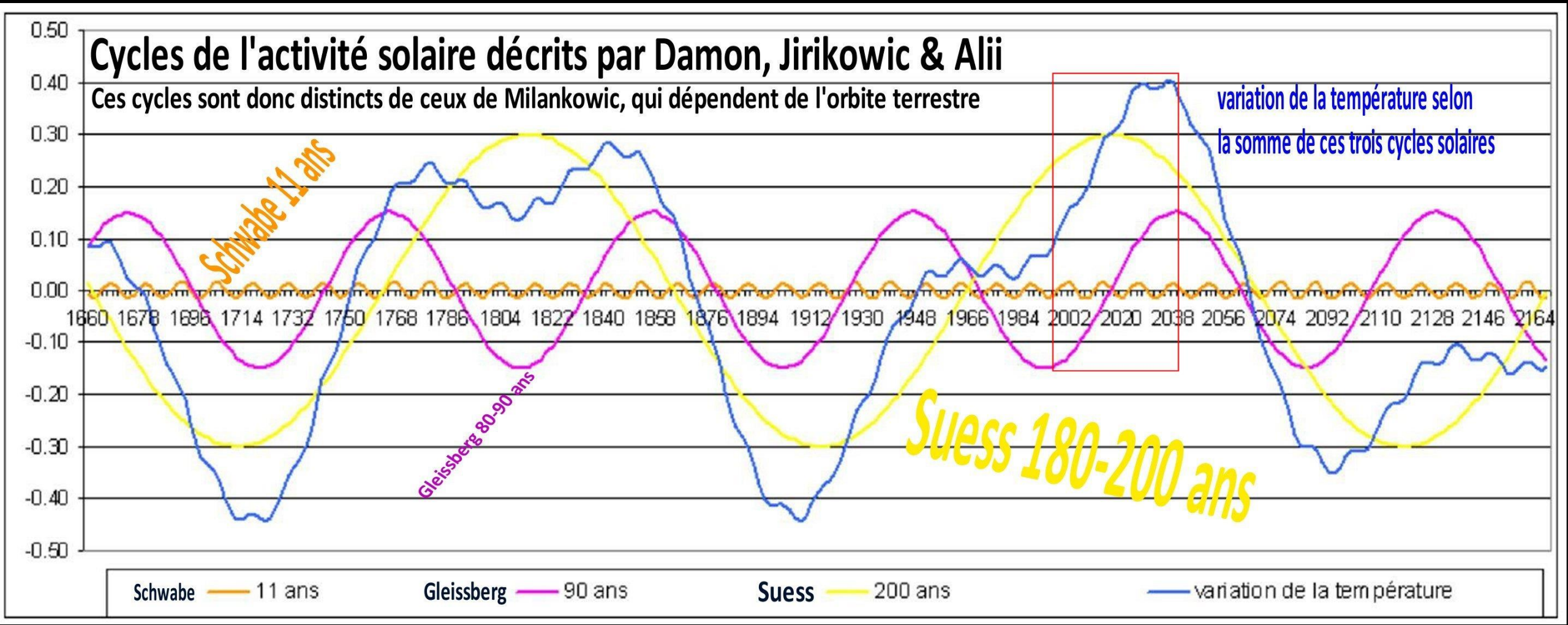
Cycles de l'activité solaire décrits par Damon, Jirikowic & Alii
Ces cycles sont donc distincts de ceux de Milankowic, qui dépendent de l'orbite terrestre
variation de la température selon
la somme de ces trois cycles solaires
Schwabe 11 ans
Gleissberg 80-90 ans
Suess 180-200 ans
0.50
0.40
0.30
0.20
0.10
0.00
-0.10
-0.20
-0.30
-0.40
-0.50
1660 1678 1696 1714 1732 1750 1768 1786 1804 1822 1840 1858 1876 1894 1912 1930 1948 1966 1984 2002 2020 2038 2056 2074 2092 2110 2128 2146 2164
Schwabe 11 ans
Gleissberg 90 ans
Suess 200 ans
variation de la température

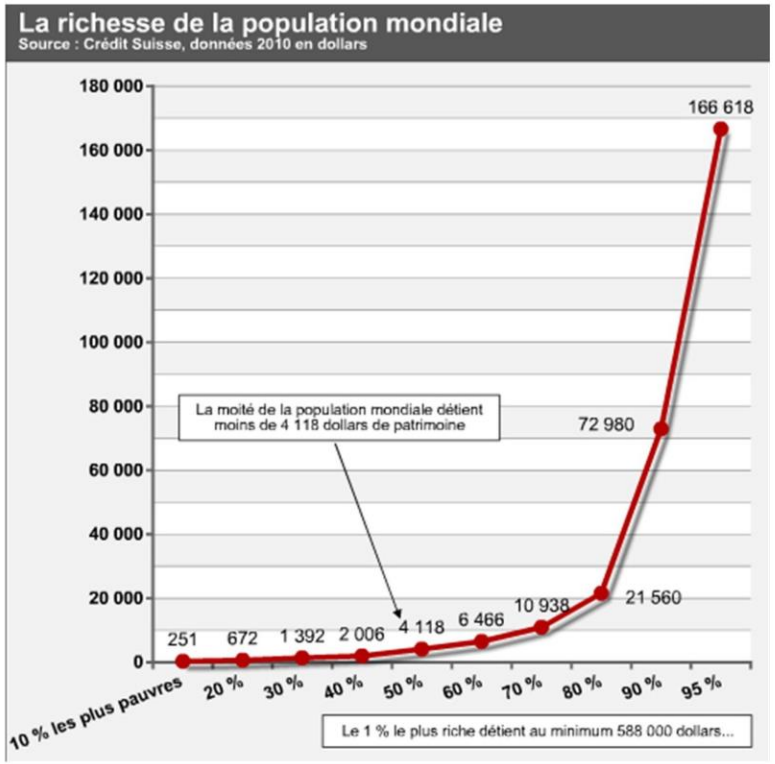

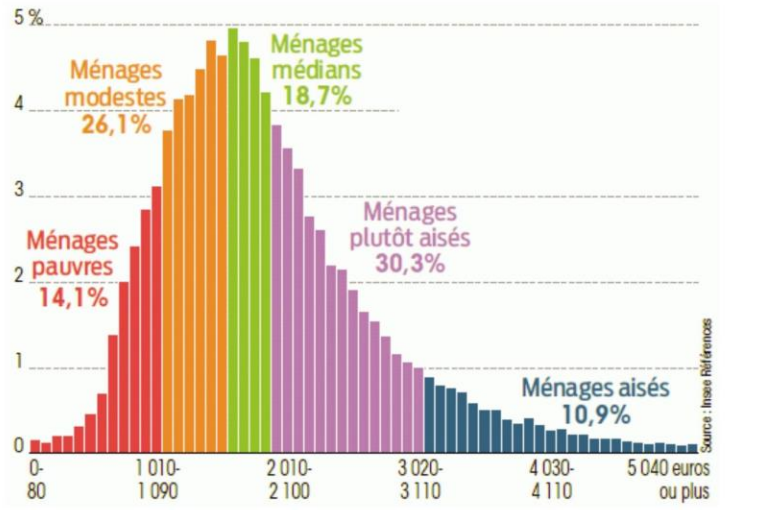

FORTUNE ET REVENU

La différence entre fortune et revenu porte un nom : le capital financier, la Bourse, les actions, les obligations. Cette richesse fictive se transmute miraculeusement en fortune réelle. Cherchez comment.

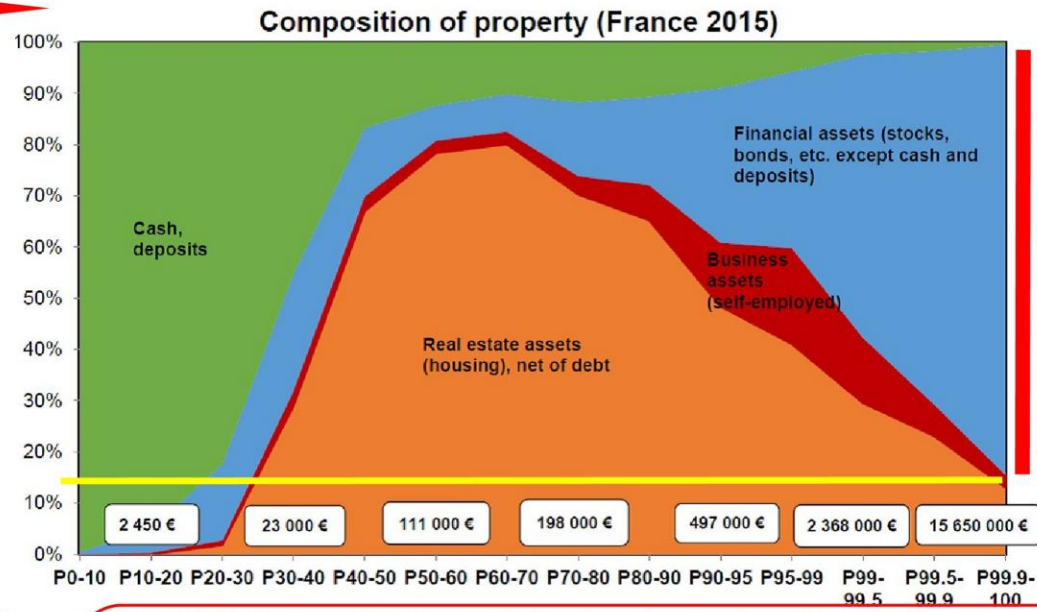

2 Le capital fixe non-circulant de la classe la plus riche est égal à 15% de son capital total.

3 85% du capital total de la classe la plus riche est fait de vent : actions obligations, du papier ou des chiffres

4: Demandez-vous qui fait souffler le vent ?

Demandez à MM. Pompidou et Sarkozy à quoi servent les lois du 3 Janvier 1973 et la loi 123 du traité de Lisbonne.

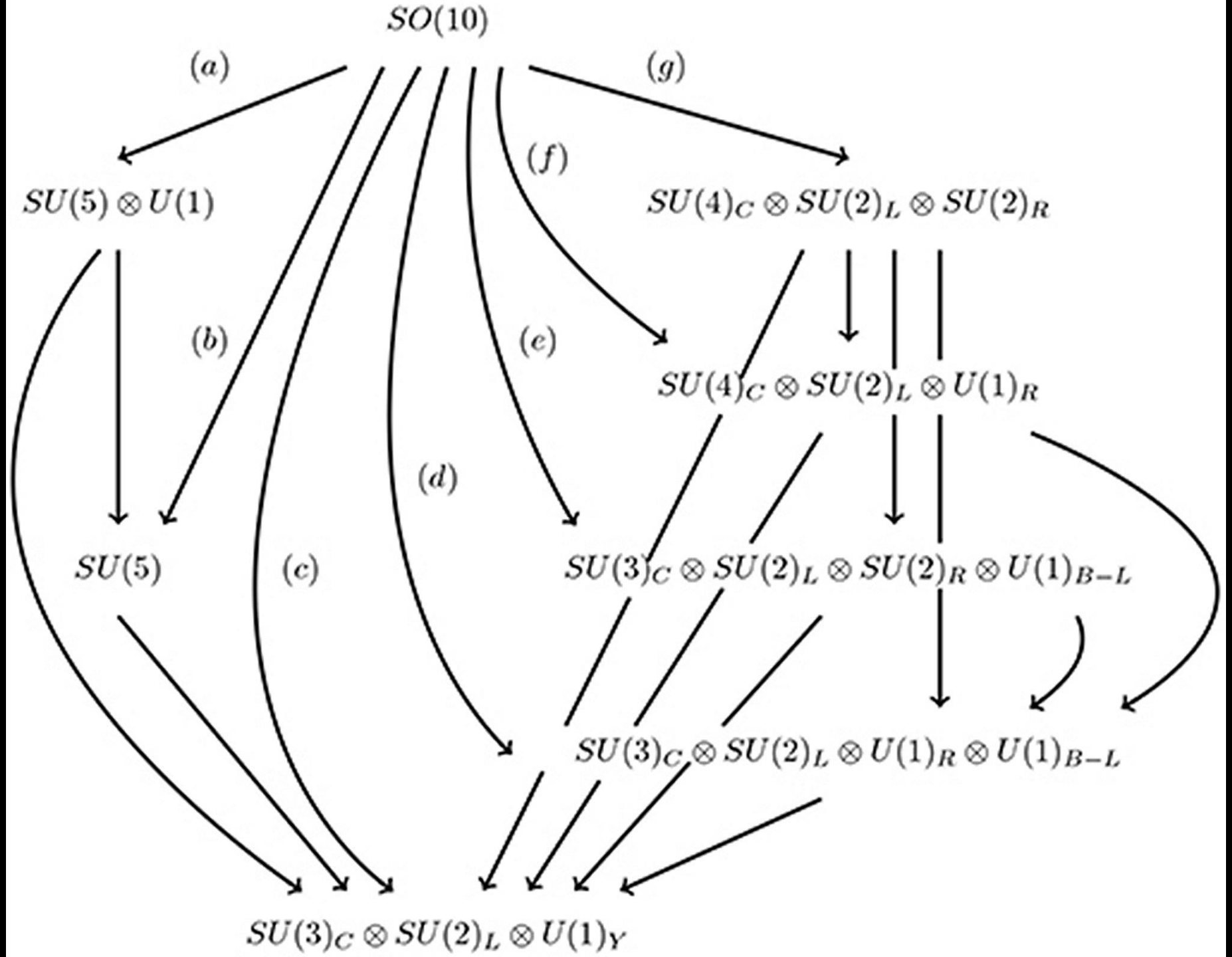
$SO(10)$
(a)
(g)
(f)
$SU(5) \otimes U(1)$
$SU(4)_C \otimes SU(2)_L \otimes SU(2)_R$
(b)
(e)
$SU(4)_C \otimes SU(2)_L \otimes U(1)_R$
(d)
$SU(5)$
(c)
$SU(3)_C \otimes SU(2)_L \otimes SU(2)_R \otimes U(1)_{B-L}$
$SU(3)_C \otimes SU(2)_L \otimes U(1)_R \otimes U(1)_{B-L}$
$SU(3)_C \otimes SU(2)_L \otimes U(1)_Y$

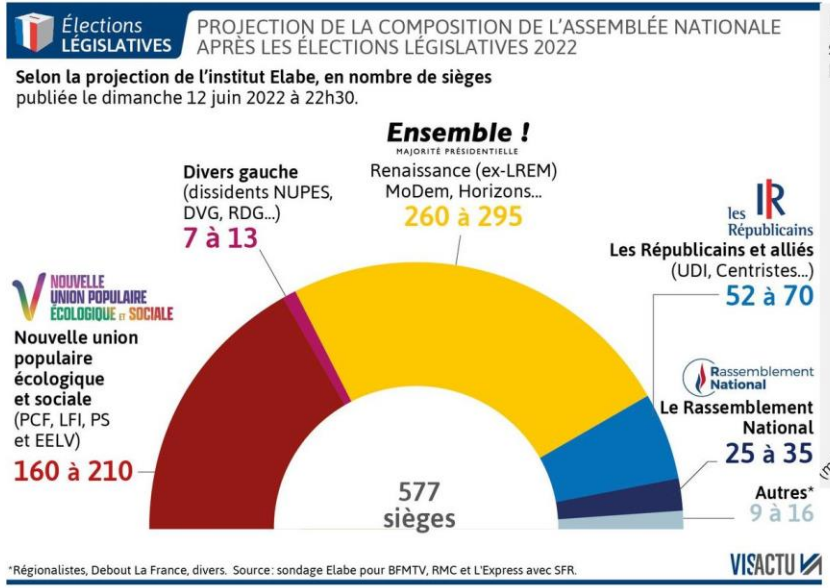

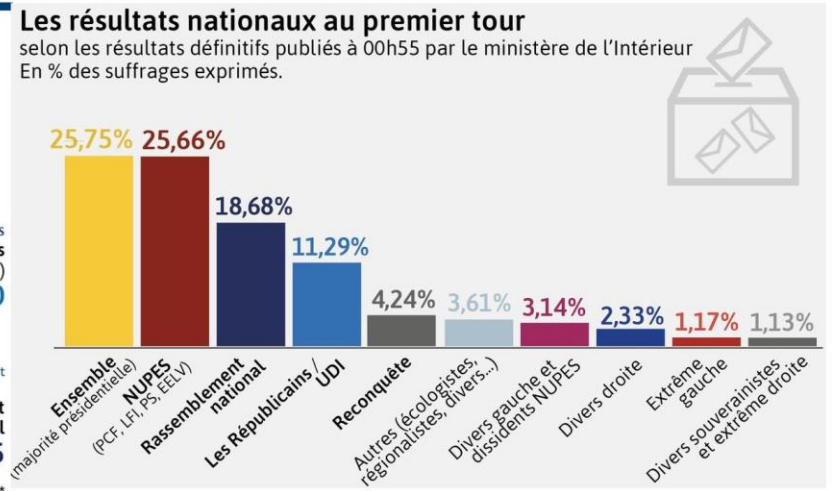

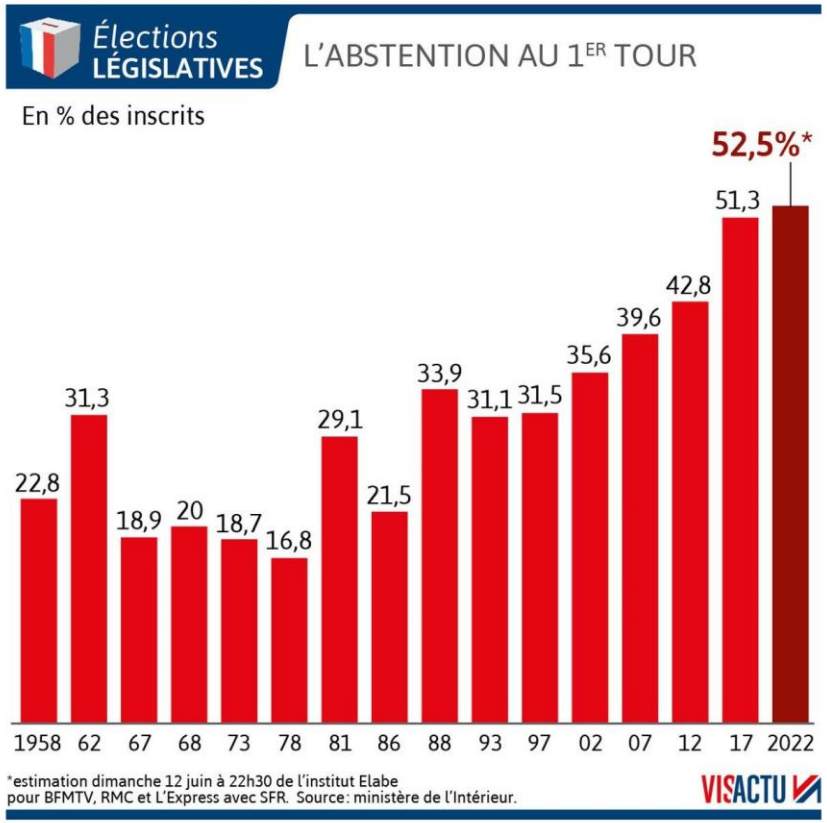

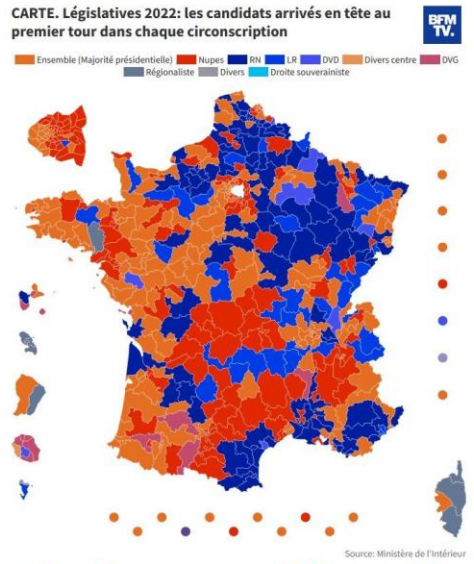

Gérôme Taillandier vit dans un cauchemard nommé "France". Depuis quarante ans, il cherche à se réveiller...

Hubble spectroscopically confirms farthest galaxy to date

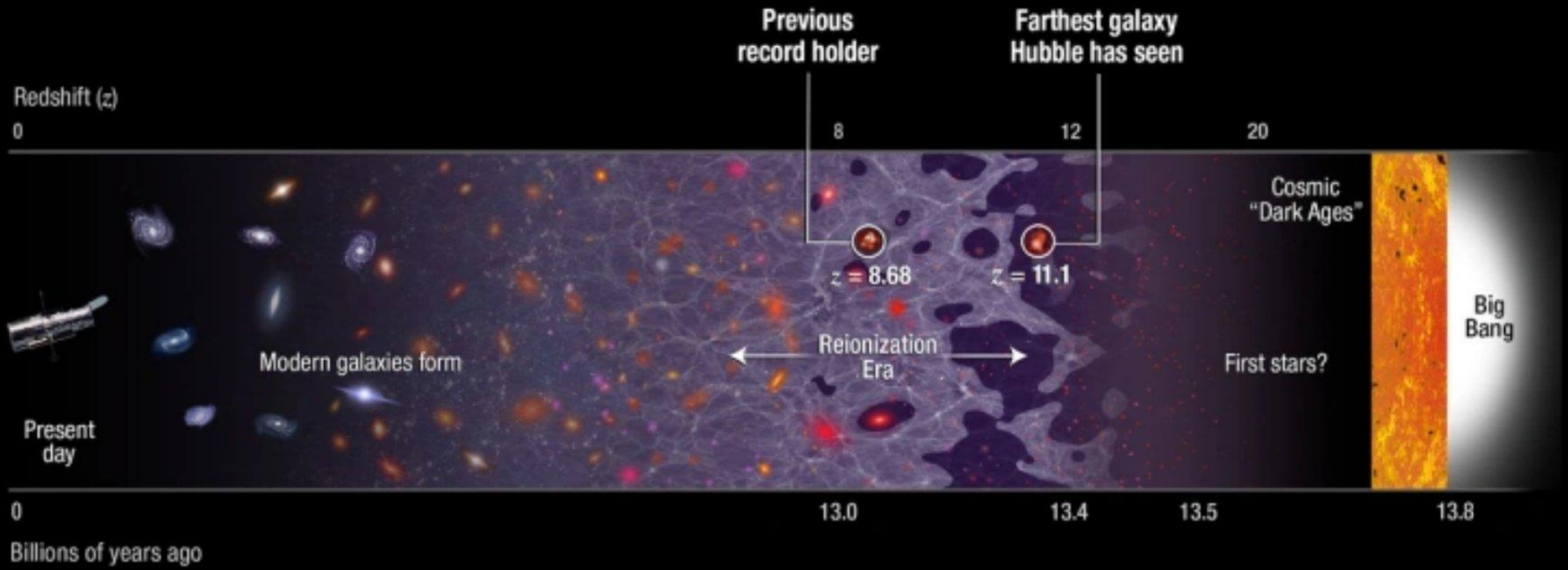

On doit distinguer vitesse angulaire et vitesse linéaire.
Comme il se doit, la mesure est faite en linéaire.
La courbe en pointillé est la vitesse linéaire selon la loi 3 de Kepler.
La courbe jaune montre la déviation de cette loi due à la matière sombre. La courbe de la vitesse angulaire exigerait de définir la fonction de cette vitesse en fonction de r selon Kepler, ce que personne ne semble pressé d'écrire...
Il faut dire que c'est une différentielle, ce qui n'amuse personne.

GT

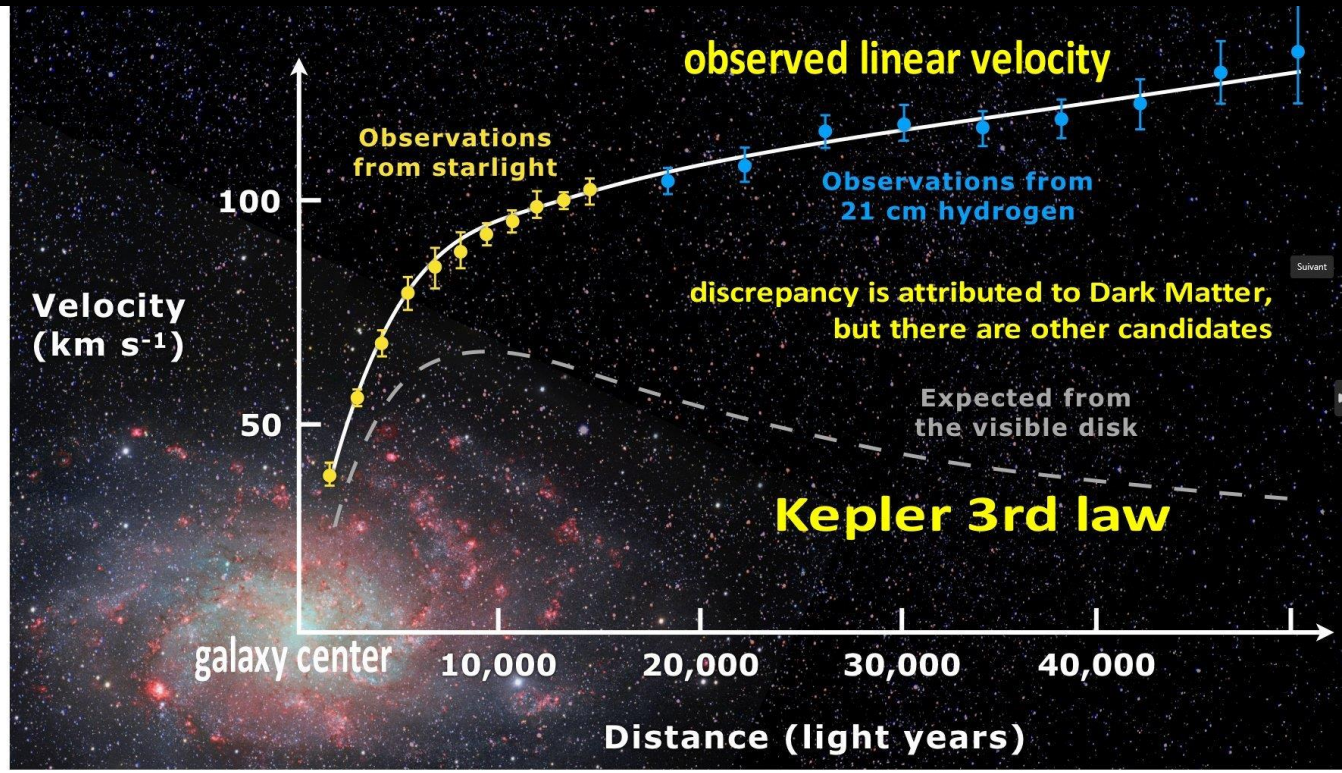

De Wiki en anglais. Inutile de le lire en français, c'est incompréhensible, comme toujours.

Dans ce schéma, on ne voit pas pourquoi la queue du conoïde ã (-t) ne se poursuit pas dans NOTRE univers, t >0.

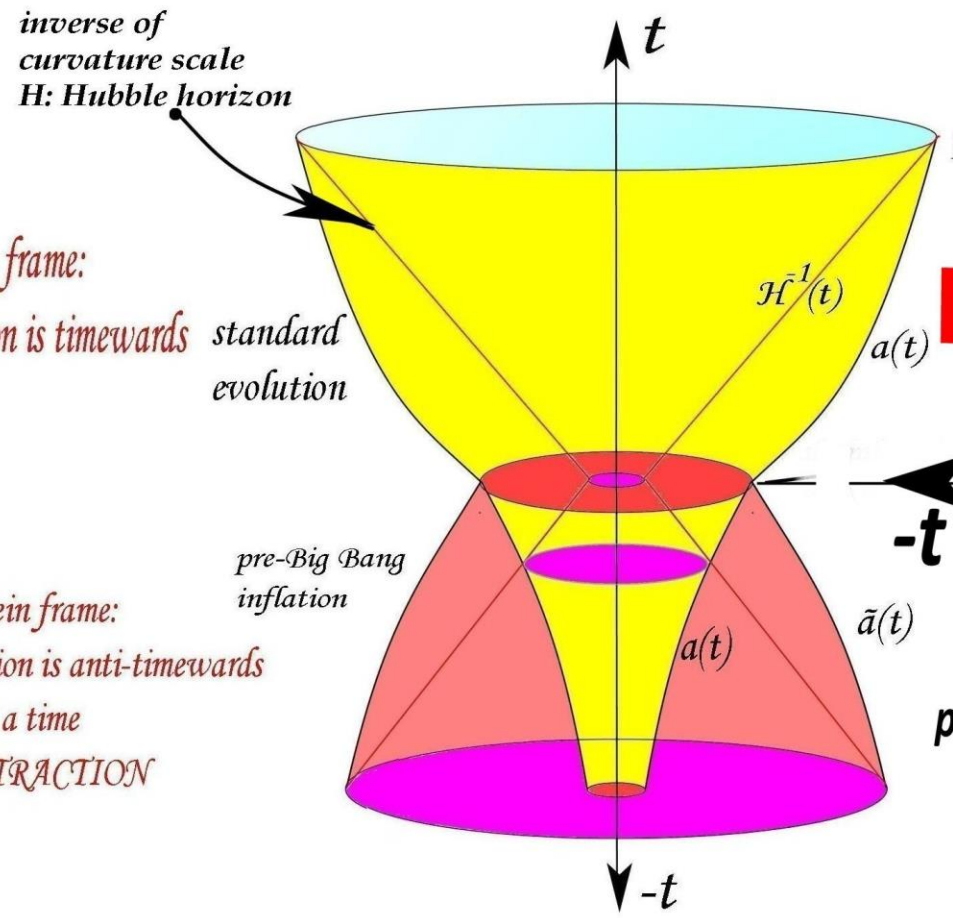

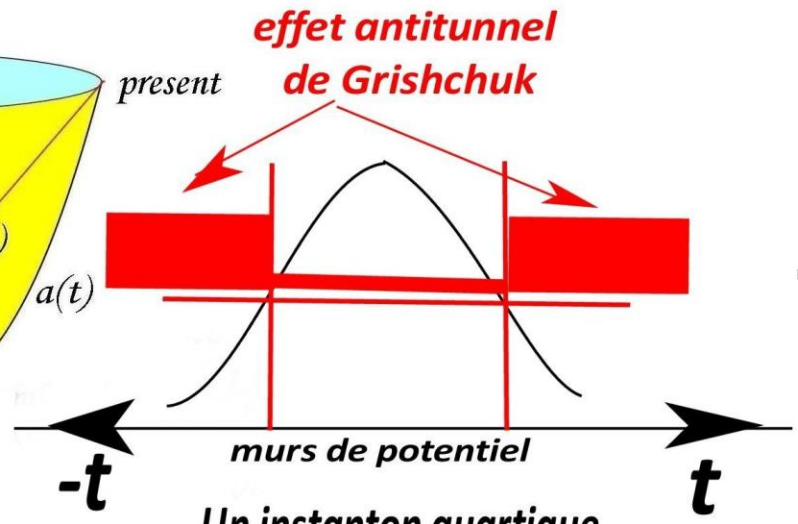

Un instanton quartique en t = 0 pompe le vide par effet-antitunnel et crée un flux de particules-antiparticules selon les directions t et -t.

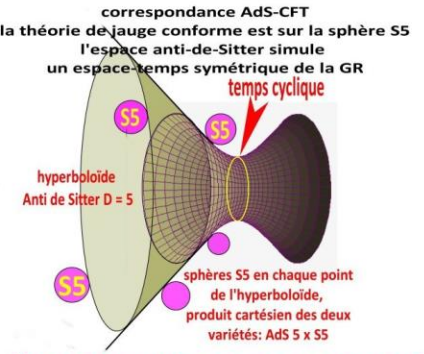

Cet instanton pourrait bien être une D-5brane AdS5 selon la proposition de Mannheim, tapant sur le vide

Hubble horizon and scale factor following Gasperini pre-Big Bang cosmology

L'existence de la "fluctuation quantique" en t = o paraît largement inutile.
Mais la symétrie exige que l'antimatière soit expulsée par effet-tunnel dans le pré-Big Bang.
Une D-brane paraît être le candidat idéal pour créer l'univers.

GT 2019.10

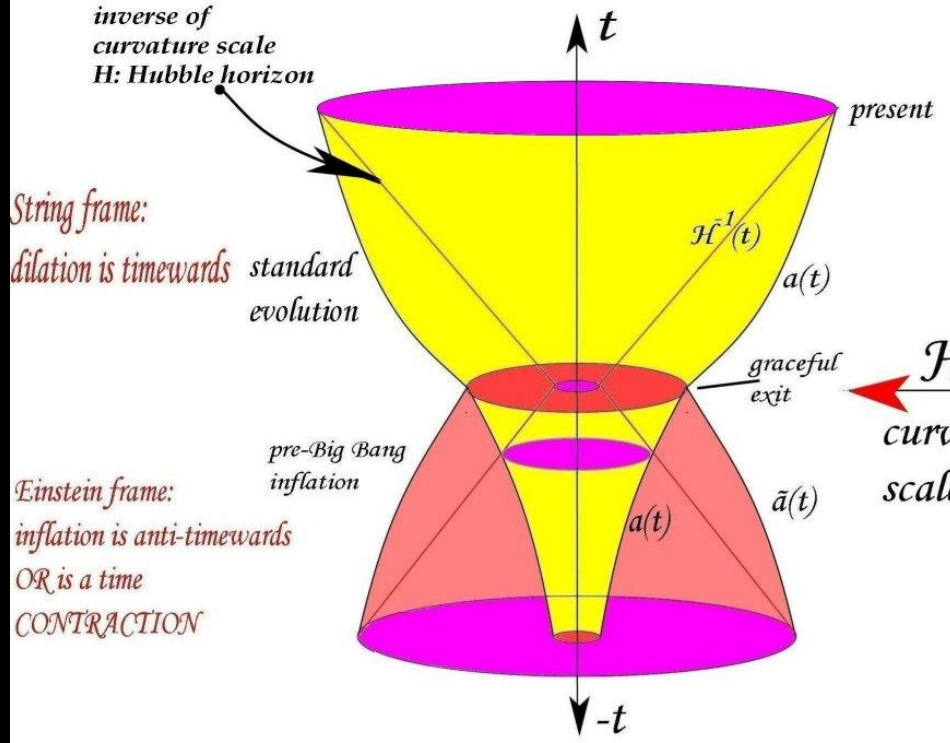

Hubble horizon and scale factor
following Gasperini pre-Big Bang cosmology

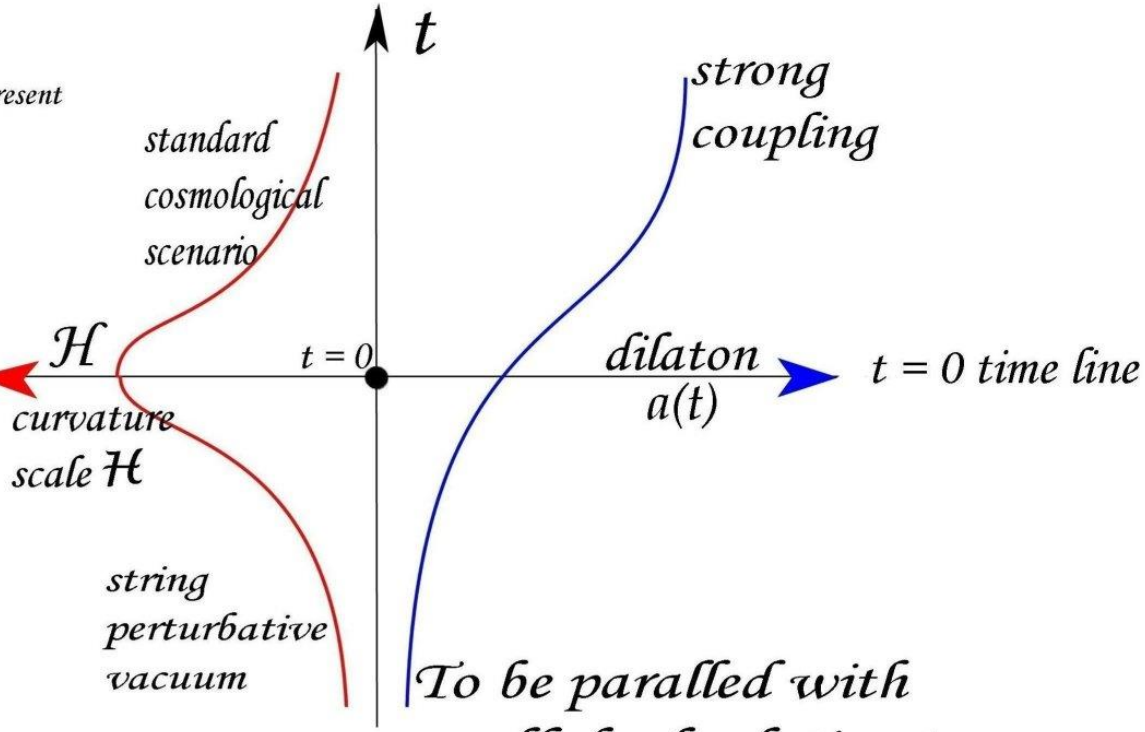

To be paralled with
a self-dual solution to
string cosmology

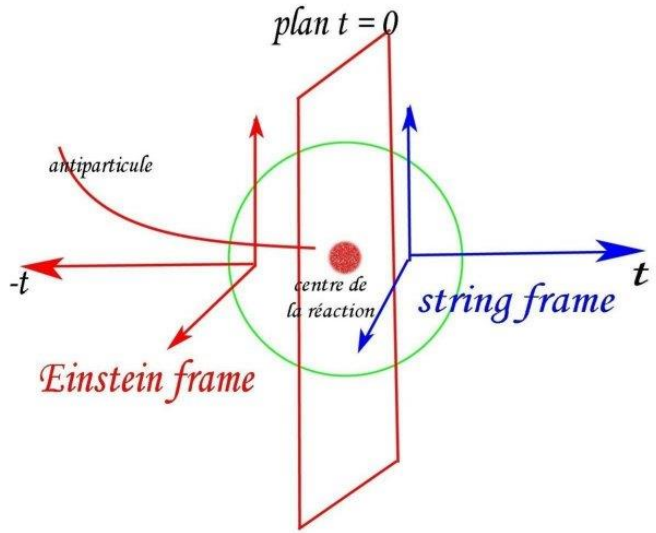

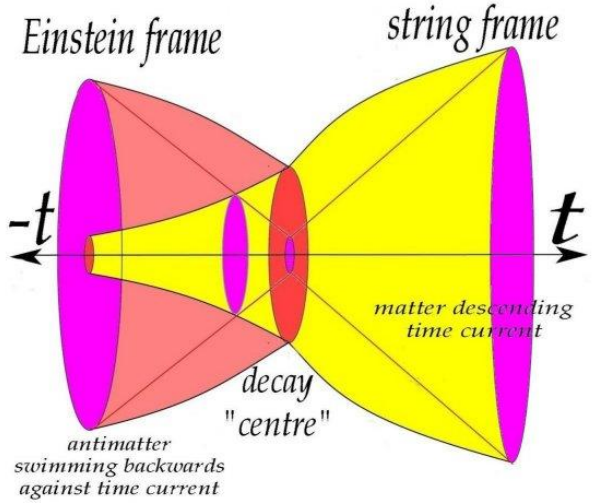

We could perfectly admit of
a Gasperini-Veneziano scheme
for particle decay. So that universe
growth could be a sequel of that
decay scheme.

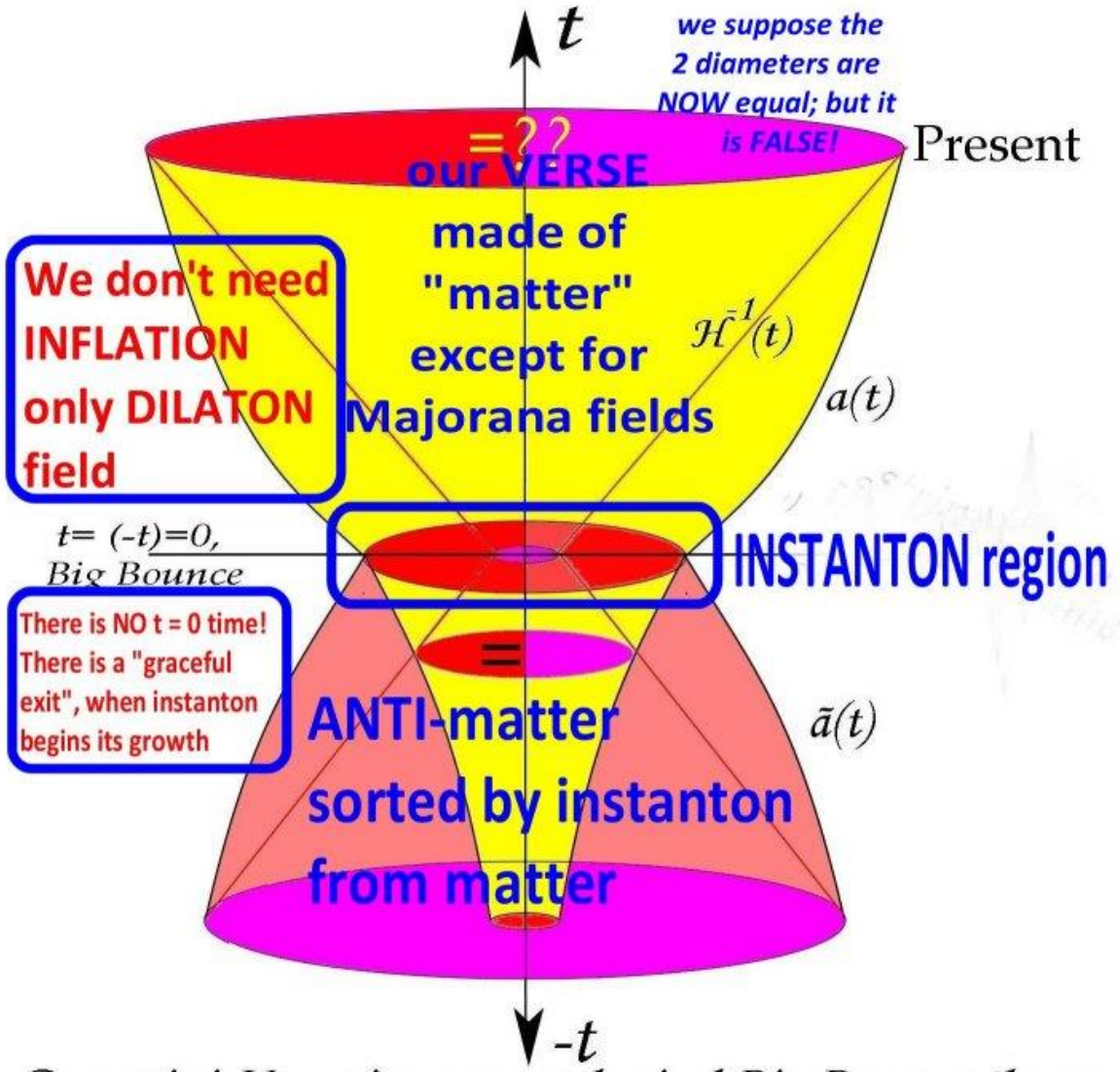

Gasperini-Veneziano cosmological Big Bounce theory

a *is dilaton field*

H^1 is inverse of Hubble horizon, curvature

GT 2019. 10

Gasperini Conoid revised from an instantonic viewpoint:

- *--No t = 0 time,*
- *--Instanton sorts matter and antimatter*
- *--time orientation is the result of matter-antimatter sorting*
- *--instanton generates matter-antimatter sorting by selecting them from vacuum pair productions*

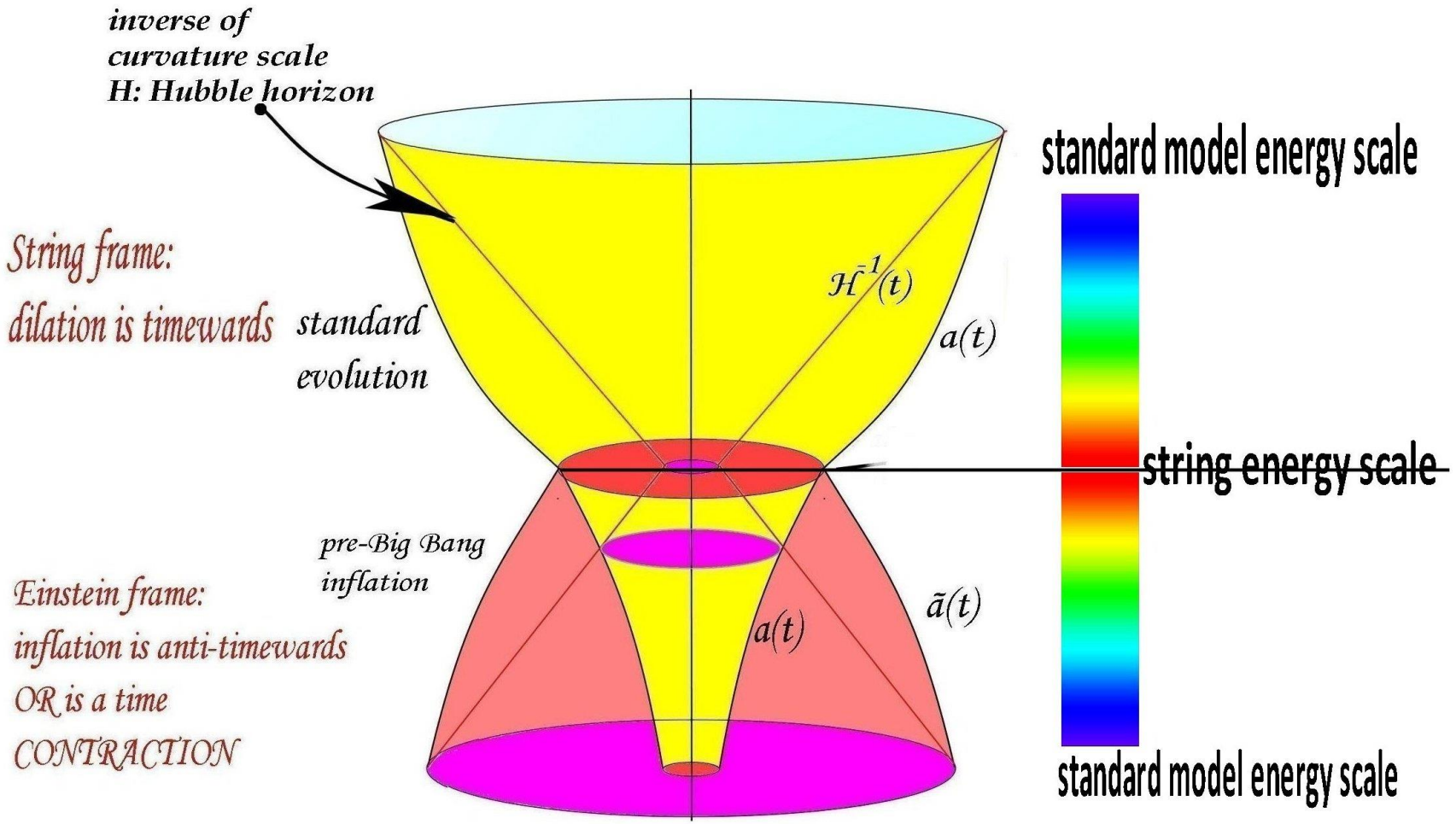

Hubble horizon and scale factor following Gasperini pre-Big Bang cosmology

Why not consider Gasperini scheme as an all-time energy scale, string energy scale being the background noise of various energy scales, from string to low-energy scale of SM?
The scheme is PRESENT, NOT following a time-line.
GT 2021 12 7

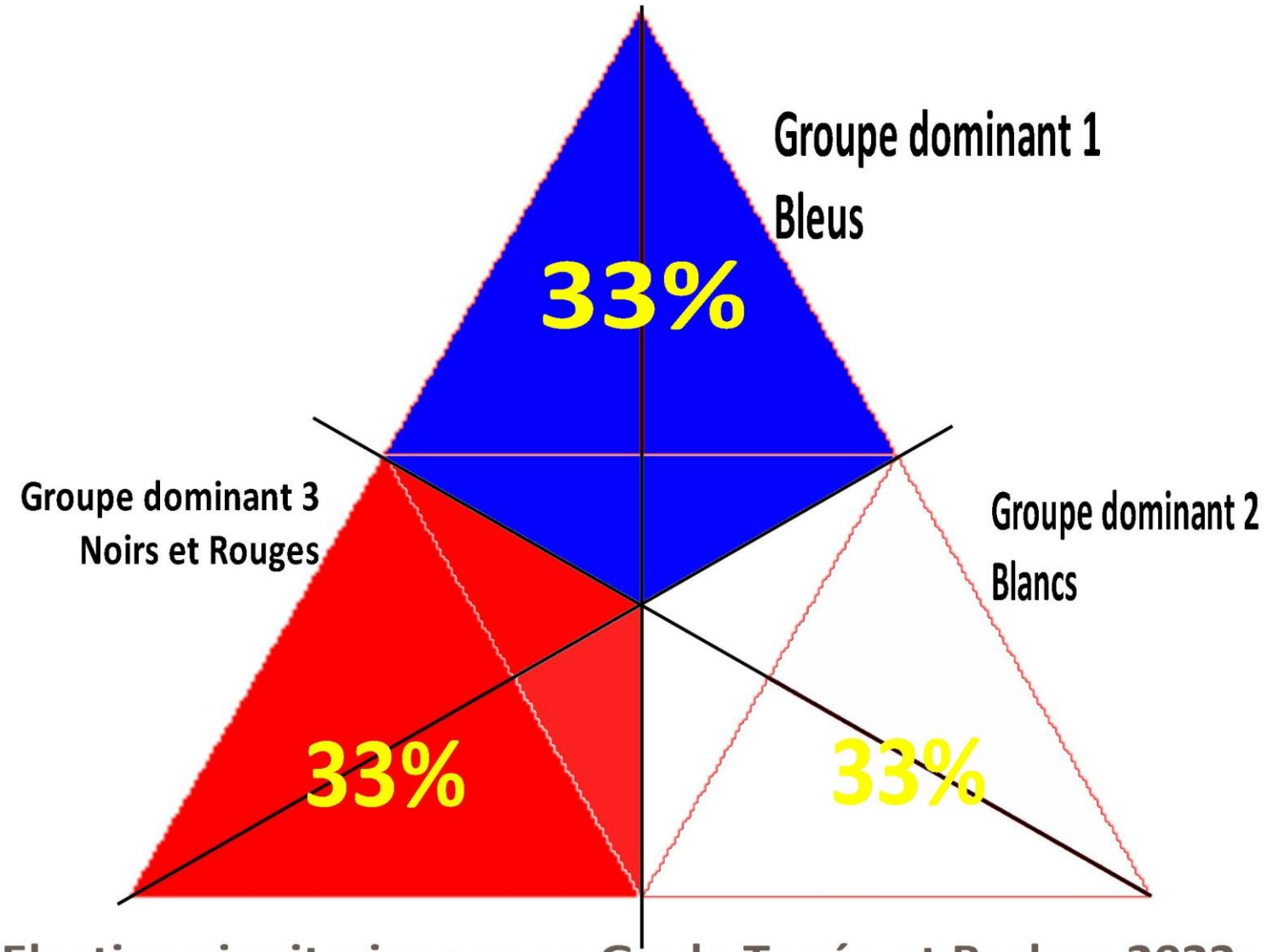

Elections jupiteriennes en Gaule Togée et Barbue 2022
Au cas où les groupes dominants seraient équipartis, la situation de la harde devient instable et sujette à fragmentation ou à conflit de dominance.
Cette situation est pré-dictatoriale. GT

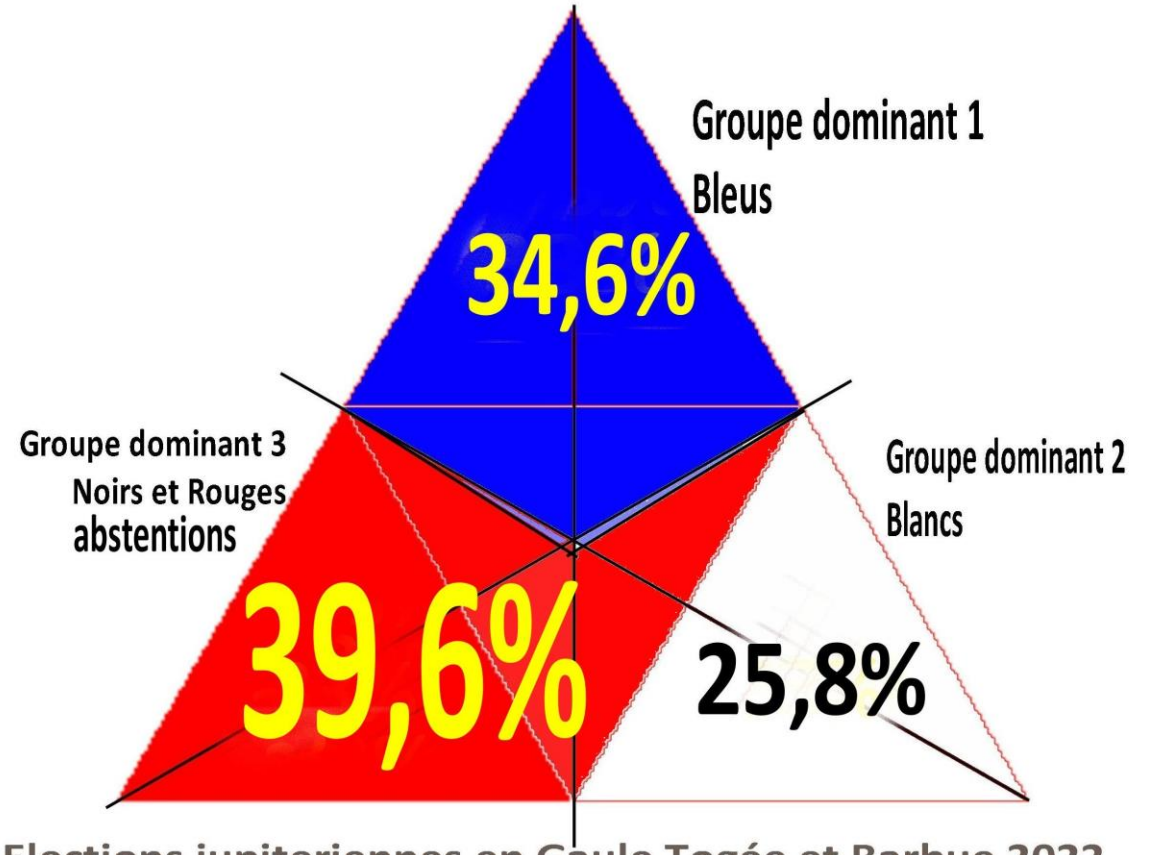

Elections jupiteriennes en Gaule Togée et Barbue 2022
Au cas où les groupes dominants seraient équipartis, la situation de la harde devient instable et sujette à fragmentation ou à conflit de dominance.
Cette situation est pré-dictatoriale. GT

Les pourcentages sont définis sur la base du corps électoral potentiel

La Gaule Togée et Barbue est en situation de STAMPEDE

GT

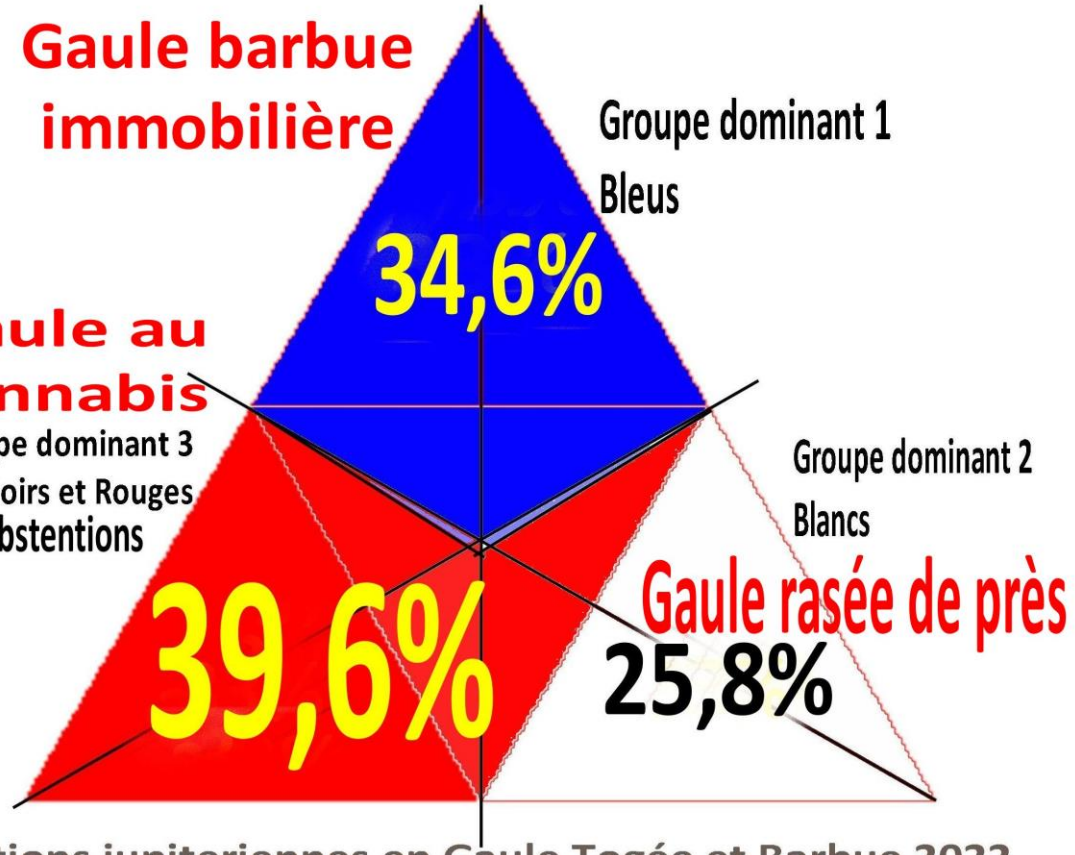

Elections jupiteriennes en Gaule Togée et Barbue 2022
Au cas où les groupes dominants seraient équipartis, la situation de la harde devient instable et sujette à fragmentation ou à conflit de dominance.
Cette situation est pré-dictatoriale. GT

Les pourcentages sont définis sur la base du corps électoral potentiel

La Gaule Togée et Barbue est en situation de STAMPEDE

GT

Le fonctionnement d'une harde Sapiens
en condition démocratique obéit à la
loi de Pareto 80/20:
sa partition est gaussienne
en première instance,
les processus économiques transforment
cette distribution en loi de Poisson.

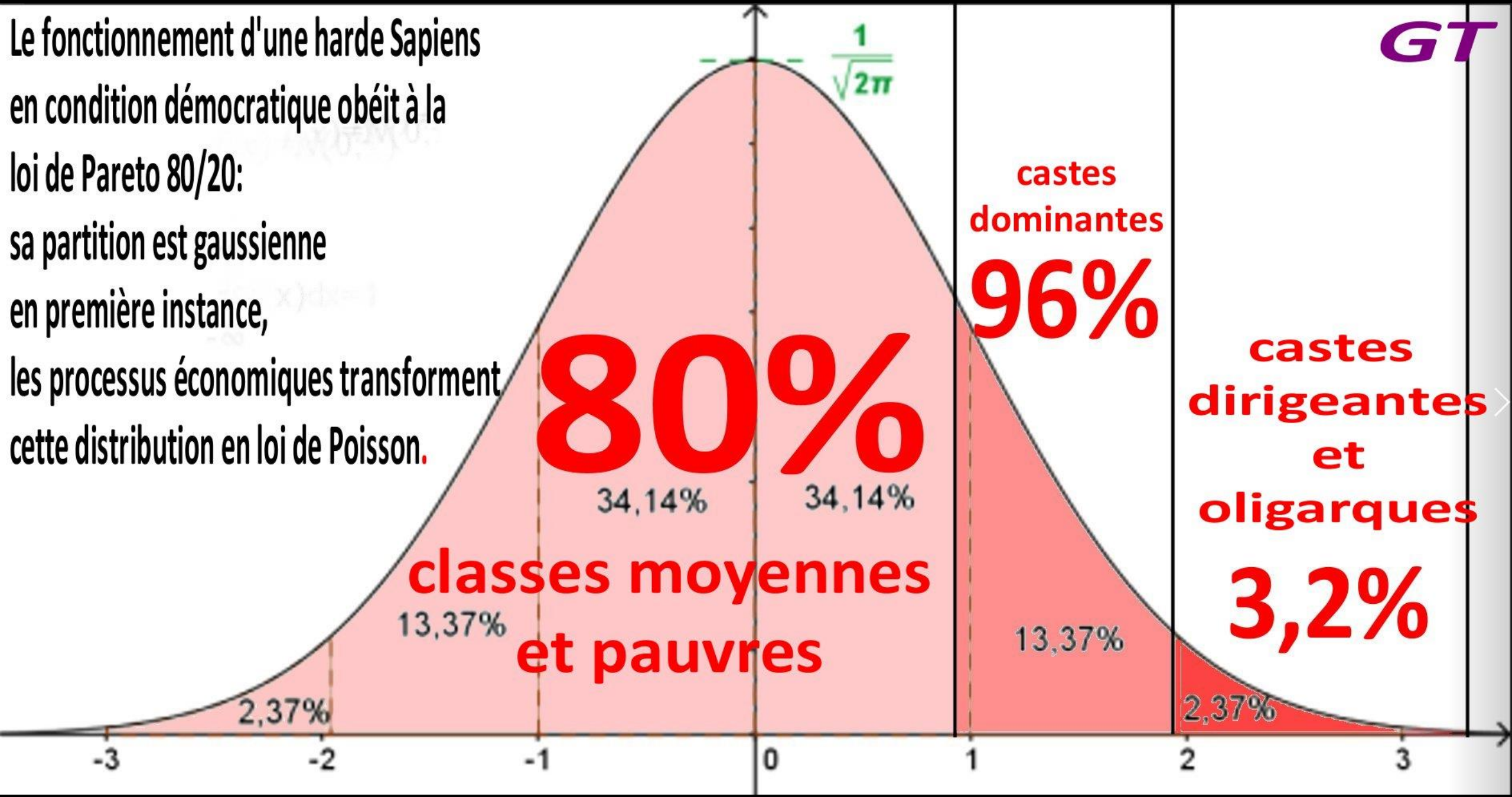

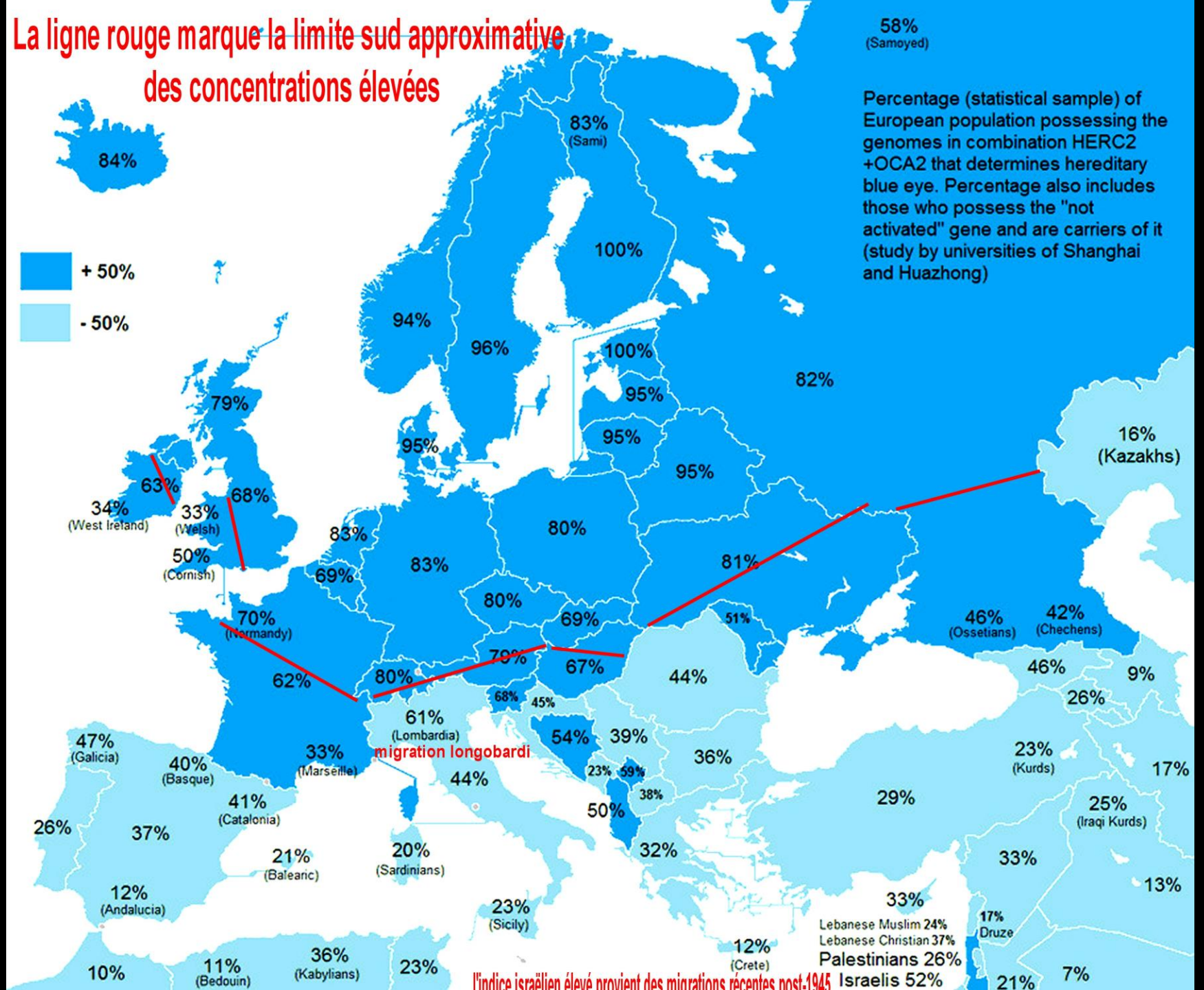
La ligne rouge marque la limite sud approximative des concentrations élevées
Percentage (statistical sample) of European population possessing the genomes in combination HERC2 +OCA2 that determines hereditary blue eye. Percentage also includes those who possess the "not activated" gene and are carriers of it (study by universities of Shanghai and Huazhong)
+ 50%
- 50%
migration longobardi
l'indice israélien élevé provient des migrations récentes post-1945

Gérôme Taillandier vous salue bien.

Né d'un grand'père allemand et d'une mère débile, d'un père perdu dans les songes creux du GODF, il devint malgré tout et malgré lui, psychanalyste, ce qu'il reste et que personne ne pourra lui enlever, sauf avec la tête et les couilles.

Marxiste de droite-nat', il sait que l'histoire de l'humanité jusqu'à nos jours est l'histoire de la lutte de classes. Mais il sait aussi qu'il existe par-dessus tout, des races, des castes, des sexes, et un QI.

Assistant depuis quarante ans à la disparition de sa race, les Indo-Européens de l'ouest, avec effarement, il regarde comme Augustin, les Grandes Invasions sous ses yeux ébahis, et la joie et l'extase qu'elles produisent dans une horde de fumeurs de cannabis.

Il regarde avec effarement l'effondrement des plus élémentaires valeurs de sa société : vols, toxicomanies, pseudo-femelles gouvernementales, hordes déchaînées sorties des bas-fonds, toxicomanes de luxe, devenant le mode de fonction de ce groupe humain, n'y manquant plus que l'élection d'un cheval ou d'une jument à la présidence de la Raie Publique.

D'ici quelques années, Gérôme Taillandier devrait se réincarner, pour son plus grand soulagement, -à moins qu'un boucher méditerranéen habitué à l'égorgement des chèvres, ne vienne anticiper sur les lois de la nature.

Gérôme Taillandier vous salue bien.

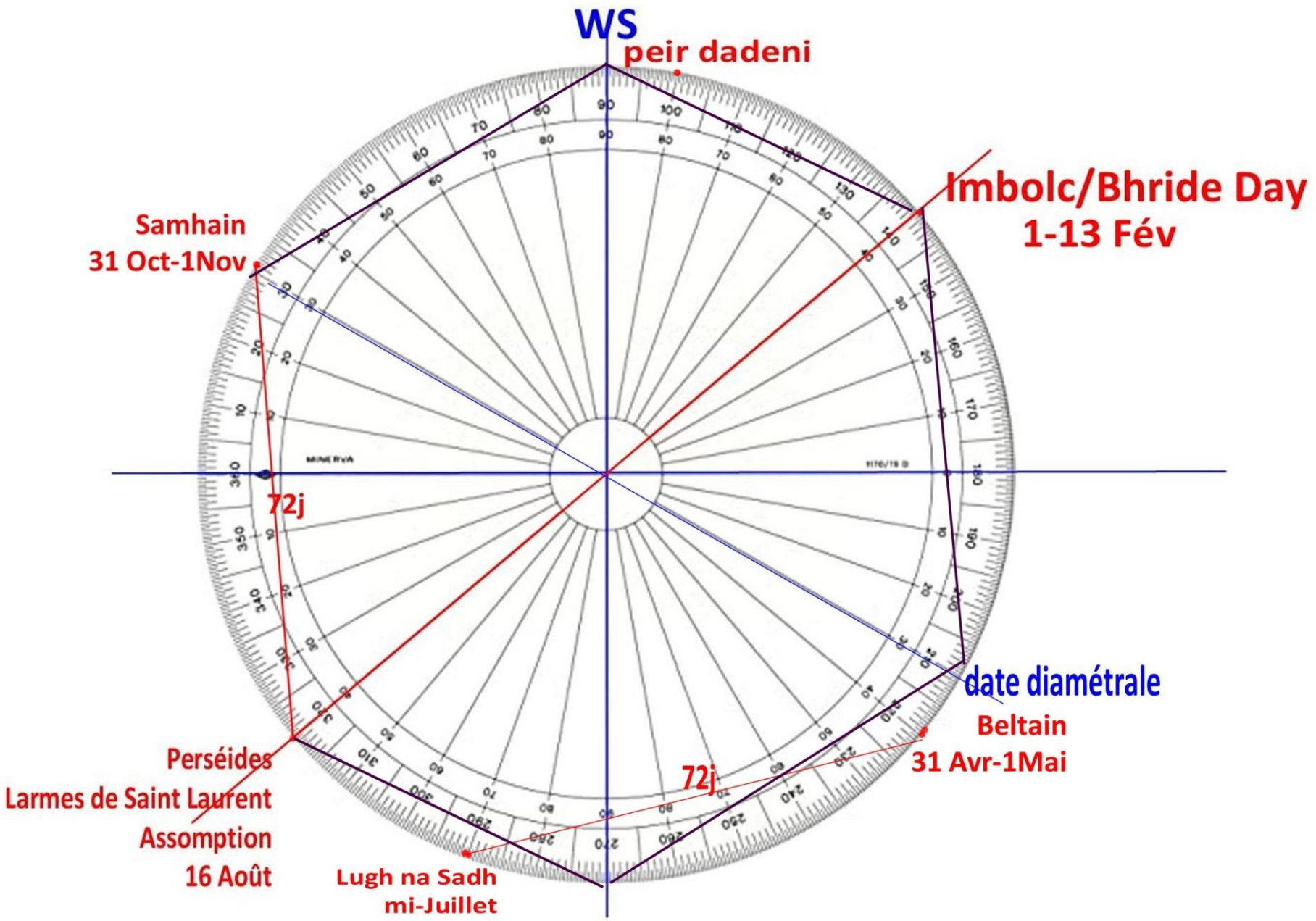
WS
peir dadeni
Imbolc/Bhride Day
1-13 Fév
Samhain
31 Oct-1Nov
72j
date diamétrale
Beltain
31 Avr-1Mai
Perséides
Larmes de Saint Laurent
Assomption
16 Août
72j
Lugh na Sadh
mi-Juillet

Votre avis n'est pas visible en ligne

Merci d'avoir laissé un avis sur IHU Mediterranee. Malheureusement, nous ne l'avons pas publié, car :

Les processus et systèmes de modération de Google ont identifié du contenu susceptible d'être hors sujet, choquant, obscène, vulgaire ou incitant à la haine. Il est possible que votre contribution ait aussi enfreint d'autres règles. Vous pouvez modifier ou renvoyer votre avis à tout moment.

inclinaison de l'axe terrestre à 21°23,5'

Nord céleste

La précession change l'axe terrestre, mais pas l'angle d'inclinaison. Le cercle équinoxial n'est donc pas affecté.

plan de l'écliptique

Soleil

Le cercle rouge est le cercle équinoxial: tous les points sur ce cercle ont une journée équinoxiale

Le cercle équinoxial est tangent aux deux tropiques selon l'angle d'inclinaison maximal

Les autres points du globe n'ont de journées d'équinoxe que deux jours par an.

World governorship 2074 AD

ÉTRANGE SÉDUCTION

Gérôme Taillandier

Concernant l'hystérie et l'homosexualité, qui fonctionnent sur le même mécanisme de *choix d'objet narcissique*, on se demande comment différencier ces deux pathologies.

Je suis arrivé à une conclusion en regardant le film de Sally Potter, La Leçon de Tango.

On définira l'hystérie par ce trait : *« l'hystérique passe son temps à essayer de transformer les hommes en femmes et les femmes en hommes.* »

Ce trait se diffracte en plusieurs autres. L'un d'eux consiste en une élimination totale des femmes hors du jeu amoureux, lequel est un jeu de science-fiction, dont le seul but est d'assurer la mainmise mentale sur les hommes par l'hystérique concernée.

Cette mainmorte a cependant une participation des femmes au jeu, par l'intermédiaires des confidentes, qui constituent un groupe discret et invisible que l'hystérique ne révèle jamais à quiconque.

Pour obtenir le consentement des victimes de son jeu, l'hystérique sort alors une formule rituelle bien connue : « Nous nous connaissons de toute éternité, et nous étions autrefois frère et sœur spirituels dans une autre vie. »

Le gogo qui entend cela tombe en transe dans un état bien connu : l'amour-passion.

A l'arrière-plan du jeu, est un spectateur, le père, à qui est offert ce spectacle, afin qu'il puisse continuer à jouir de sa fille et à jouer avec elle, malgré l'interdiction de l'inceste qu'elle a fini par lui imposer.

Si vous souhaitez connaître les techniques utilisées pour parvenir à faire entrer un pauvre idiot dans ce jeu, je vous suggère de regarder le film remarquable intitulé « Étrange Séduction », avec Walken, Mirren, Everett et Richardson. On n'a jamais fait mieux.

7 Les "Gaulois" ne s'appelaient pas Gaulois
mais "Kelts"
4 Les "Gaulois" se couaient les cheveux
et ne portaient pas des cheveux longs
et pouilleux. Ils étaient blonds et faisaient
très peurs au Latins
2 Les "Gaulois" se rasaient !
1 Les "Gaulois" portaient un torque
3 Les "Gaulois" portaient la moustache british
et pas une barbe méditerranéenne
8 Les "Gaulois"
n'avaient pas de portable
ni de casquette à la con.
Ils avaient une épée
et ne craignaient pas
de s'en servir dans le
métro.
5 Les "Gaulois" étaient Belges.
Ils ne mangeaient pas de frites
et n'étaient pas obèses.
Ils ne portaient pas de masque
anti-cons.
6 Les "Gaulois" n'aimaient pas qu'on les envahisse.

Version Pareto-Marxiste du fonctionnement des sociétés développées en 2023.
La conjugaison de la loi 80/20 de Pareto avec Marx donne des résultats qui feraient exploser un cerveau normal. GT

OLIGARCHES :leurs activités ont lieu dans les Îles sous le vent privées et invisibles

1,32% : FORTUNES ET BEAUTE :
Les fortunés ont leurs avoirs hors du pays et sous forme de capital financier, donc invisible

6,4% de la Horde

Clowns et Pinocchios journalistes payés cher pour hypnotiser la masse

20% du sigma 2 : ABOYEURS payés pour faire taire la masse

Masse de la Horde :
80% de la masse totale, soit :
50% + 20% de la Horde, les
20% étant le premier sigma de droite, +
50% les sigmas de la gauche
de la courbe de Gauss.

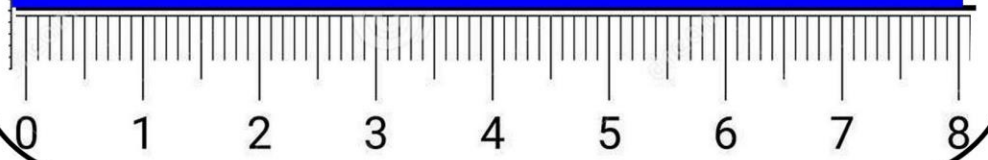

DON'T
TREAD
ON
ME

Un couple hétérosexuel harmonieux s'épanouit dans la reconnaissance des tâches de chacune des partenaires et par l'acceptation de la Diversité des Opinions. (Sir R. Scruton)

from
UP
to DOWN
from
TOP
to
BOTTOM
she has
a
STRANGE CHARM

Ver Meer à la moulinette
A
pauvre Ver Meer !
Aucune chance ...
i'(a)
i(a)
I(A)
Sbar
cruche
support de la cruche
fonction corticale C
a

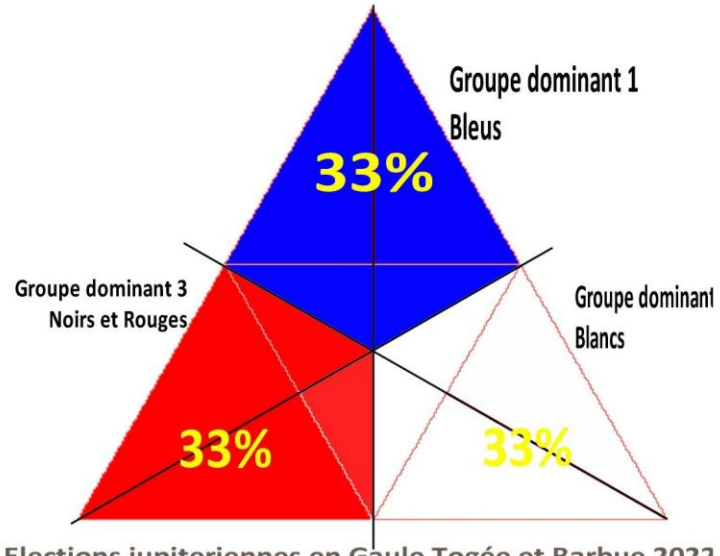

Elections jupiteriennes en Gaule Togée et Barbue 2022
Au cas où les groupes dominants seraient équipartis, la situation de la harde devient instable et sujette à fragmentation ou à conflit de dominance.
Cette situation est pré-dictatoriale. GT

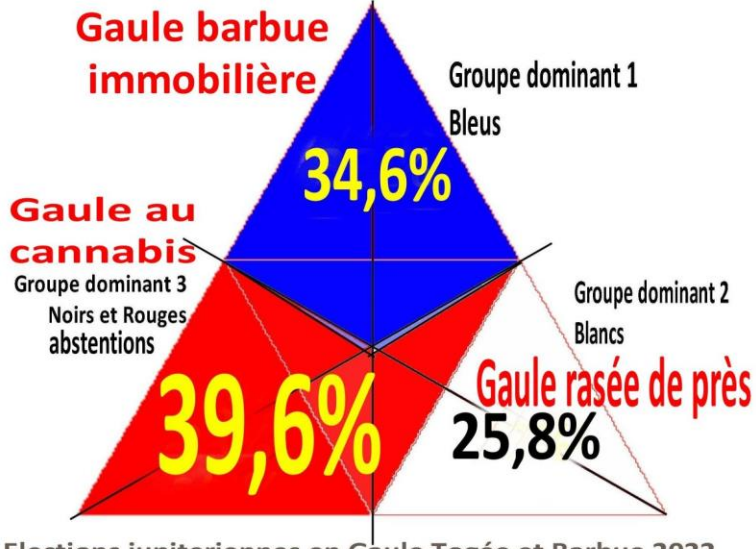

Elections jupiteriennes en Gaule Togée et Barbue 2022
Au cas où les groupes dominants seraient équipartis, la situation de la harde devient instable et sujette à fragmentation ou à conflit de dominance.
Cette situation est pré-dictatoriale. GT

Les pourcentages sont définis sur la base du corps électoral potentiel

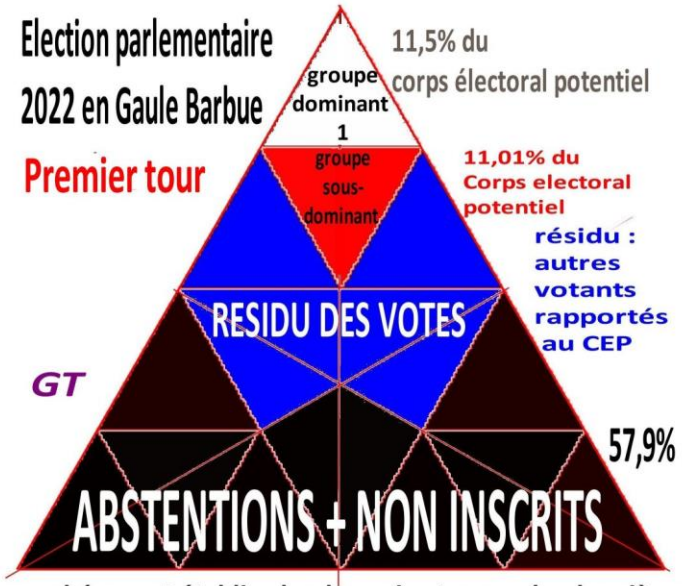

ce schéma est établi selon les voix et non selon les sièges
Il est défini sur la base du Corps Electoral Potentiel:
Abstentions + Non-inscrits (5 millions)

On constate que la loi de Pareto 80/20 est parfaitement respectée: ce royaume est bicéphale. On sait que c'est la situation idéale pour les coups d'état.

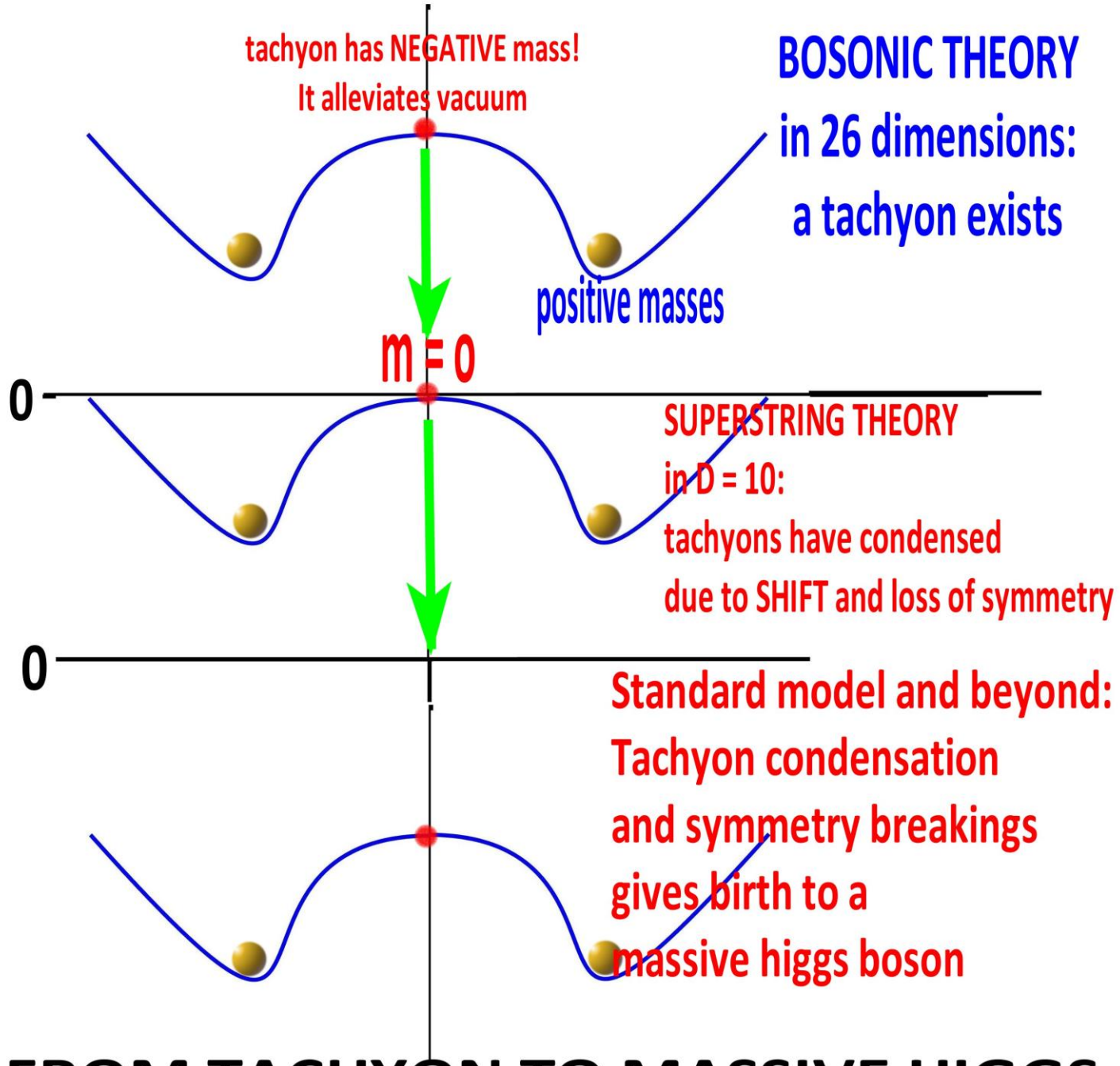

FROM TACHYON TO MASSIVE HIGGS

On peut se demander où vivent les fantômes. La réponse est simple : ils vivent off-shell, dans la région spacelike de l'espace-temps de Minkowski. Leur nourriture ordinaire est l'algèbre de Grassmann et celle de Clifford.

Leur probabilité de présence dans la région timelike où nous vivons est proportionnelle à leur longueur d'onde de Compton.

Voyez Crimson Peak ! GT

gerometaillandier

Les glaciers fondent depuis la dernière période glaciaire, il y a 17 000 ans. Cela continuera durant environ 10 000 ans, selon l'excentricité de l'orbite terrestre. Alors pas la peine de vous exciter avec le Réchauff'cul climatique. Il y a 70 millions d'années, les dinos de baignaient dans la mer d’Écosse pour se rafraîchir, tellement il faisait chaud là haut. Gérôme Taillandier

Blaze

0 note

@gerometaillandier /
gerometaillandier.tumblr.com

Blogs similaires à celui-là

blackswaneuroparedux
Black Swan Europa redux

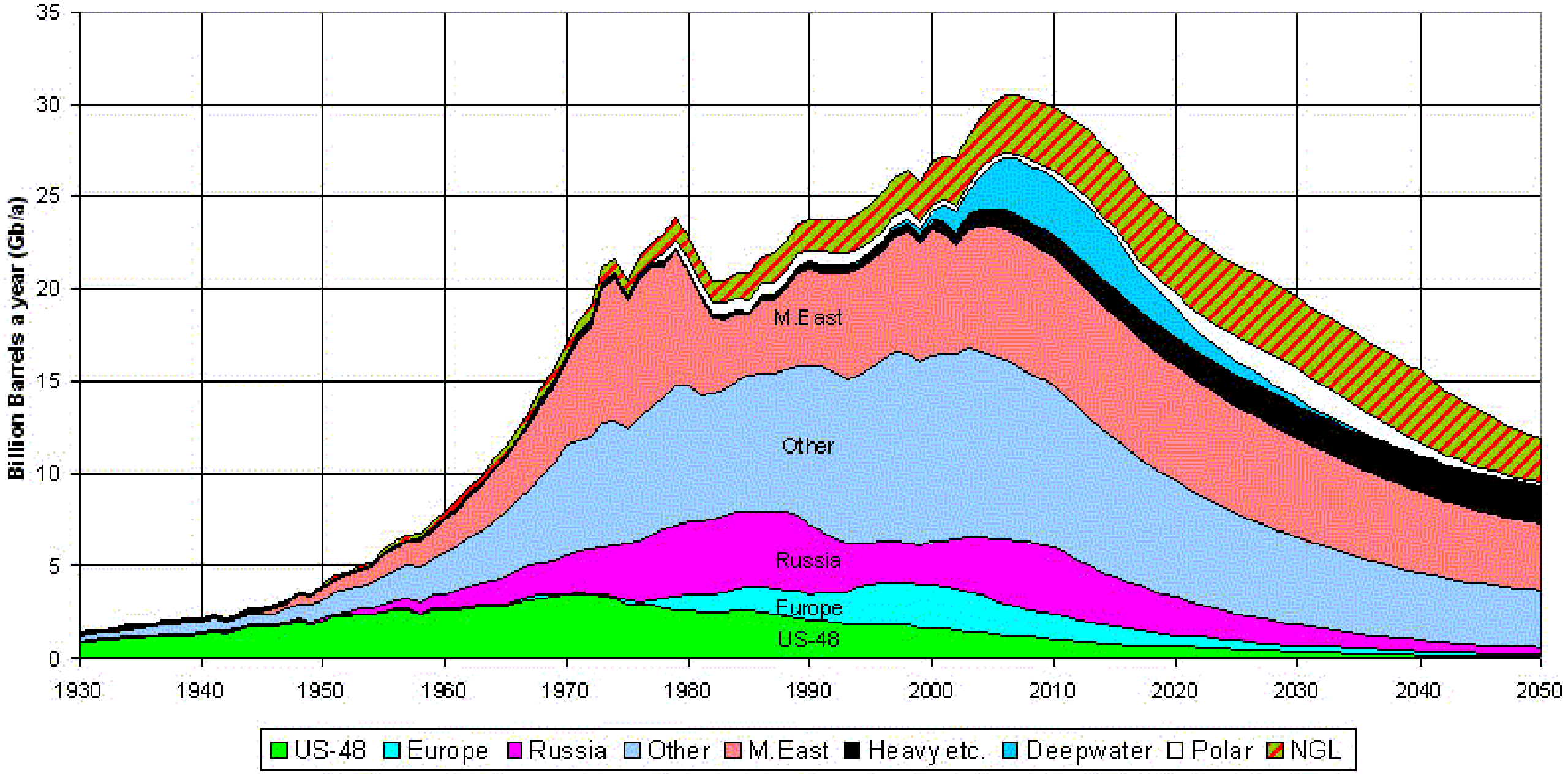
Billion Barrels a year (Gb/a)
35
30
25
20
15
10
5
0
1930
1940
1950
1960
1970
1980
1990
2000
2010
2020
2030
2040
2050
M.East
Other
Russia
Europe
US-48
US-48
Europe
Russia
Other
M.East
Heavy etc.
Deepwater
Polar
NGL

Le gluon est un « tube » d'énergie formé d'espace-temps, dans un espace lorentzien : sa « longueur » ne peut donc pas être définie, puisque la longueur minimale d'espace-temps n'a aucun sens. On ne peut définir que le temps le plus long d'une de ses extrémités à l'autre.

Mais les deux extrémités du tube d'énergie ne sont pas dans le même espace-temps : l'une est dans le repère d'Einstein, l'autre dans le repère des cordes. Ce temps maximum ne peut donc pas être mesuré, même s'il existe.
2022 9 5

La charge électrique est non quantisée à moins de la DQC.

Elle est invariante relativiste.

D'où l'existence d'un champ magnétique.

La charge de couleur est-elle quantisée.

Est-elle invariante dans une transfo de Lorentz ?

Y a-t-il un « champ magnétique » du gluon ?

Je paie une sucette anglaise à la personne qui me le dit. GT 2021 8 7

Si nous considérons que le gluon est une corde fermée circulant sur son tube d'espace-temps, nous voyons que les deux modes circulant le long de la corde en sens inverse, sont les modes de la corde, et sont la circulation de matière et d'antimatière le long du tube. Si le tube d'espace-temps s'arrête, les modes se manifestent comme des charges de Chan-Paton aux deux extrémités du tube, un mode de couleur et un mode d'anticouleur.

On peut se demander pourquoi, dans le repère des cordes, le mode de couleur semble prédominer sur le mode d'anticouleur, qui semble disparaître. -Mais cela n'est dû qu'au fait que, dans le repère des cordes, l'antimatière semble inexistante alors qu'elle est partout présente, puisqu'elle n'est perceptible que dans le repère d'Einstein.

Il en résulte que, dans le decay du méson, ce temps de decay nous indique combien de temps un parton d'antimatière est susceptible de demeurer au contact de la matière, dans le repère des cordes (String Frame). GT 2022 9 6

On peut considérer le gluon comme une corde fermée dont le gluon est la world-sheet. Les modes L et R de la corde ont une expression sous la forme de charges de Chan-Paton, les quarks. Le mode L est le quark d'anticouleur, le mode R, le quark de couleur. Il reste à définir l'algèbre des couleurs sur la world-sheet.

GT 2023 1 8

Considérons un cercle de rayon r.

Soit un rayon du cercle, et sur ce rayon, deux points M et M4 en relation de division harmonique avec les intersections avec le cercle.

Si nous associons une « force » à ces points M et M', s'exerçant sur eux, plus le point extérieur s'éloigne, plus la force diminue de manière newtonienne. Plus le point intérieur s'approche du cercle, plus la force d'attraction augmente.

C'est la liberté asymptotique des gluons-quarks.

S'il y a une équation d'onde du gluon, elle doit obéir à cette relation harmonique avec les équations d'onde des bosons de jauge et avec celle du graviton.

GT 2023 1 8

Faire confiance à son clitoris pour avoir un orgasme digne de ce nom est aussi inapproprié que de sonner à la sonnette de Grand-Mère en espérant assister ainsi au repas de Noël. GT

Gaudet mihi, latin médiéval: "gaudet michi", en Français: Gaudemiché, Godemiché.

QUESTION POUR ENNUYER DES PHYSICIENS

Je remplis deux bouteilles, l'une avec de la matière, l'autre avec de l'ANTI-matière. Elles sont à 1 m l'une de l'autre. Elles ont donc une énergie de gravitation et une énergie de Hubble qui les relie. Puis je les éloigne de 3 m.

Question :

Que devient l'énergie gravitationnelle du fait de cet éloignement ?

Que devient l'énergie de récession de Hubble dans les mêmes conditions ?

GT

Selon le principe d'équivalence, la vitesse de la lumière dans le vide est c = 1. C'est aussi une vitesse-limite.

On sait depuis 2016 que les ondes de gravité se déplacent à la même vitesse que la lumière.

Question : Est-ce que la vitesse de la gravité dépend du dilaton et donc de la dimension de l'espace-temps ? Si oui, cette dépendance est-elle la même que celle de la lumière ? Selon le cas, le problème de la hiérarchie peut avoir des solutions très variées. GT

*Le graviton non massif agit sur les bosons et les fermions.

* La concentration d'énergie des gluons dans un parton provoque une action de type relation de Descartes entre graviton et gluons.
Elle courbe l'espace-temps

* l'action du graviton sur les bosons de masse nulle maximise la géodésique nulle de ces bosons dans un espace-temps courbe.

*La question n'est pas conclue concernant les higgs, les axions et le dilaton.

*Le graviton est un boson tenseur de spin 2.

*Il se propage à la vitesse-limite.

*J'ignore si sa vitesse est déterminée par le dilaton et donc par les dimensions de l'espace-temps.

*Si c'est le cas, il est possible que le graviton ne se déplace à cette vitesse que dans un espace D = 4, ce qui expliquerait la dimension de notre E-T.

OUI NON N'IMPORTE QUOI !

Le graviton est une corde fermée qui se déplace dans le target-space, détaché de la brane dont il est issu.

Comment pourrait-il être un propagateur entre deux masses dans ces conditions ?

La seule solution est de supposer qu'il vit sur le compactifié qui définit les degrés de liberté internes et qu'il modifie l'espace-temps par une sorte de « contraction » de cet espace sur la géodésique nulle qui relie les deux masses.

Le graviton est un boson de spin 2 non massif se déplaçant à la vitesse c =1, majorana, et selon une géodésique nulle. Sa charge est inconnue.

1 Lorsque le graviton rencontre un trou noir, est-il absorbé par le trou noir, ou le traverse-t-il comme du beurre frais ?

2 Cette question est-elle totalement idiote ?

Rayer la mention inutile :

Oui non je ne sais pas

LA VENGEANCE DU DINOSAURE À PLUMES

La grippe est un virus des dinosaures théropodes, plus connus sous le nom d'"oiseaux".

Ce virus passe dans les suidés où il subit de nombreuses mutations. Il devient alors aisément transmissible à l'humain.

La grippe espagnole a tué 100 millions d'humains, aux dernières nouvelles. La grippe continue à tuer avec allégresse.

Cette situation est due aux conditions d'élevage des dinosaures et des suidés en Asie du Sud-est.

Théorème: La grippe est la conséquence de la dévoration de dinosaures théropodes par Sapiens Sapiens.

© nord-decouverte.fr

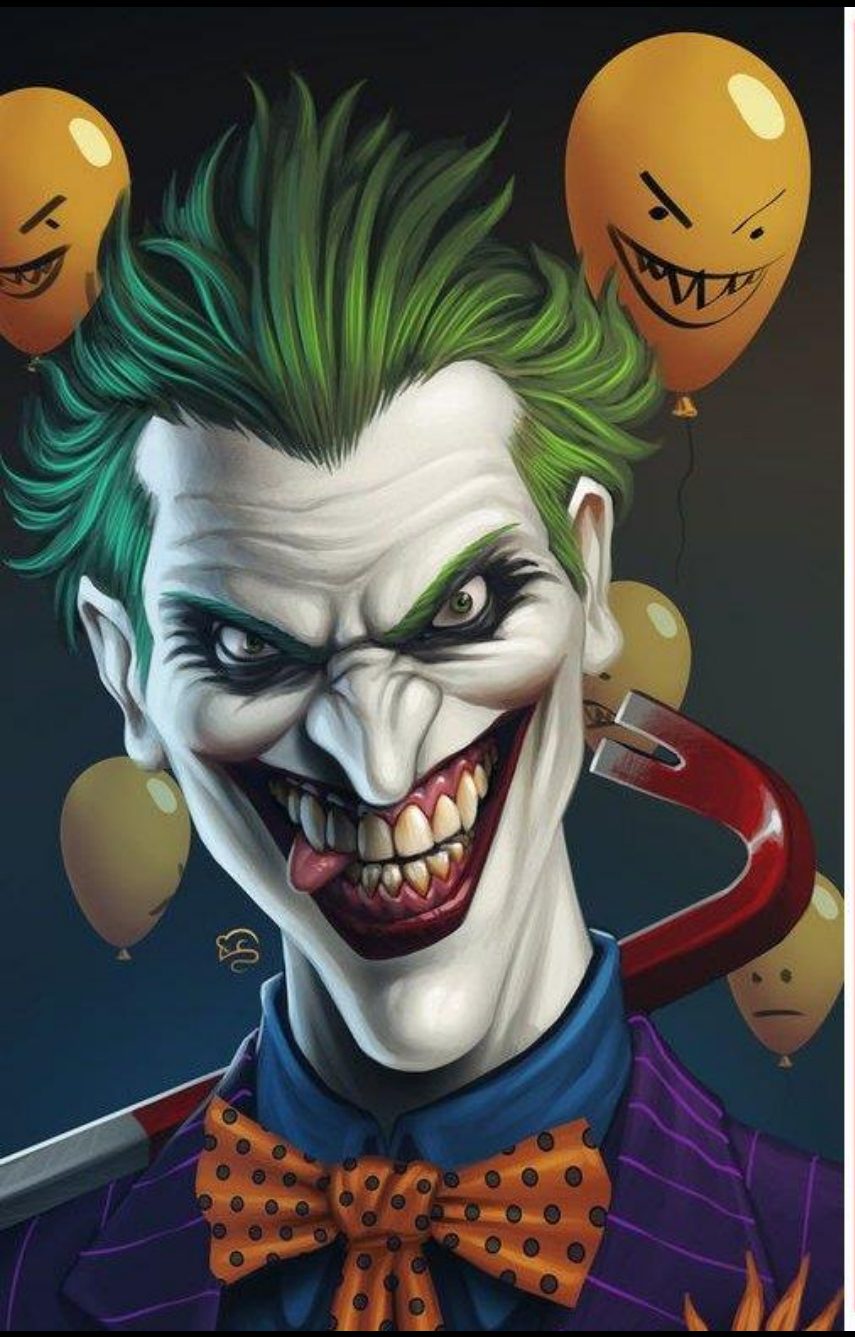

Gérôme Taillandier

Ne s'appelle pas

***Jérôme Taillandier*,**

n'habite pas dans les Alpes

et

n'est pas photographe

MA LIBRAIRIE ARCHIVE

J'entends travailler à la renaissance de ma civilisation indoeuropéenne en cours de destruction. Pour cela, une bibliothèque est nécessaire, dont le centre est

Hamlet's Mill,

le livre fondateur de l'Ère du Verseau.

Je constitue dans la mesure de mes moyens la culture de notre civilisation en rassemblant les ouvrages qui ont établi ses fonctions symboliques, afin qu'elle puisse renaître sous la lumière de la constellation du Verseau.

Gérôme Taillandier 2021

Gérôme Taillandier

Ayant exercé le métier de psychanalyste à Paris,

N'a PAS de compte Facebook,

celui-ci

ayant été supprimé par FACEBOOK

pour mauvaise odeur idéologique.

En conséquence, toute utilisation de mes identifiants par de petits rigolos est une

USURPATION D'IDENTITÉ

geromschweisthal

Savez-vous que la reine Gwenhwyfar est profondément haïe et méprisée en Cymru?

Les Gallois ont oublié que leur peuple était matrilinéaire autrefois, et ont gobé l'appât et l'hameçon... GT

clear season		dark season		end / beginning
BELTANE	**LUGH NA SADH**	**"SAMHAIN"**	**MANANNAN**	**IMBOLC**
Departure of cattle for the estive. The night before, bonfires, "Walpurgisnacht", young men and women adancing, etc.	**Aftermath, Lugh Assembly, not so joyful as may seem...**	return home of cattle from estive. Nothing to do with Ancestors, nor Halloween, displaced here for X'mas need...	Manannan/CuC'hulainn, and rebirth of dead warriors due to peir dadeni, at winter solstice	Brigid, Bridhe night, Disablot, "Candelaria", Gromnicna, **Feast of women**

GT 2017.7

1

Manannan, Cu Chulain, trempe les guerriers morts dans le Chaudron d'Immortalité, afin qu'ils retournent au combat dans la Horde Sauvage

Les Trois Unicornes sont sacrifiés pour le retour des Ancêtres d'Automne en Slavie

5

ATTENTION: le départ de la datation est au solstice d'hiver!

Lakshmi la Bienveillante,Dana, Brigidd, lance des boules de neige à six pointes sur Veles le dieu de la Saison Sombre

2

4

Larmes de Saint Laurent
Vierge à la palombe,
remontée d'Astraea au ciel
célébration d'Arkht-Ourgos, le Bouvier

Lugh le Bouvier vêtu en shaman, tient en main Lune et Serpente, La Serpente est Brigidd, Vénus, qui règne sur les humains en assurant l'ordre du Temps. Le Cerf Blanc s'assure que les rites sont bien respectés, afin de le transmettre à Arkht-Themis, Justice de l'Ourse Les Oursonnes, servanrtes d'Artémis, sont absente de cette plaque. Et Artémis aussi.

Houston, nous avons un problème. Il y a 5 plaques sur le Chaudron, mais tout semble indiquer la présence de la célébration de Kupala Noc. Où est passée cette célébration ? GT

La découverte des Herculéides et de leur place dans le cycle est de Matthieu Calloc'h. Le problème n'est pas résolu.

3

Retour d'Aurore à la maison de son père le Dieu-Tonnerre, arrachée aux mains de son ravisseur, le Scorpion de l(hiver

Ce schéma est hypothétique et comporte de nombreuses incertitudes.
Une année de 365 jours a été compressée sur un compas de 360°
On tiendra compte de l'imprécision du dessin.
Le cycle de l'an est fixé au solstice d'hiver, de manière arbitraire.
Le Chaudron de Gundestrup comporte 5 célébrations.
GT 2022 6 12

1

Manannan, Cu Chulain, trempe les guerriers morts dans le Chaudron d'Immortalité, afin qu'ils retournent au combat dans la Horde Sauvage

Les Trois Unicornes sont sacrifiés pour le retour des Ancêtres d'Automne en Slavie

5

ATTENTION: le départ de la datation est au solstice d'hiver!

Lakshmi la Bienveillante,Dana, Brigidd, lance des boules de neige à six pointes sur Veles le dieu de la Saison Sombre

2

4

Larmes de Saint Laurent
Vierge à la palombe,
remontée d'Astraea au ciel
célébration d'Arkht-Ourgos, le Bouvier

Lugh le Bouvier vêtu en shaman, tient en main Lune et Serpente, La Serpente est Brigidd, Vénus, qui règne sur les humains en assurant l'ordre du Temps. Le Cerf Blanc s'assure que les rites sont bien respectés, afin de le transmettre à Arkht-Themis, Justice de l'Ourse Les Oursonnes, servanrtes d'Artémis, sont absente de cette plaque. Et Artémis aussi.

Houston, nous avons un problème. Il y a 5 plaques sur le Chaudron, mais tout semble indiquer la présence de la célébration de Kupala Noc. Où est passée cette célébration ? GT

La découverte des Herculéides et de leur place dans le cycle est de Matthieu Calloc'h. Le problème n'est pas résolu.

3

Retour d'Aurore à la maison de son père le Dieu-Tonnerre, arrachée aux mains de son ravisseur, le Scorpion de l(hiver

Ce schéma est hypothétique et comporte de nombreuses incertitudes.
Une année de 365 jours a été compressée sur un compas de 360°
On tiendra compte de l'imprécision du dessin.
Le cycle de l'an est fixé au solstice d'hiver, de manière arbitraire.
Le Chaudron de Gundestrup comporte 5 célébrations.
GT 2022 6 12

Kupala Noc, 1883
Mais on remarque la présence de Marjana...

6?

geromschweisthal

2022, October, 26th: England is invaded by GHOSTS !

Last Englishmen and women are fleeing Londonistan.

Trolls everywhere!

Elves have been deemed on Westminster Bridge, trespassing to Parliament...

Blonde men are bleeding their last drops since vampires are fond of such blood!

Flee! Flee!

HARRY ET L'EXPANSION DE L'UNIVERS

Gérôme Taillandier

Lorsque, dans Harry Potter, les Détraqueurs explorent le train, nous voyons que les gouttes de pluie sur la vitre sont inclinées, ce qui montre que le train est en mouvement. En réalité, elles tombent selon une parabole, ce qui prouve que le wagon est à l'arrêt lorsqu'on tourne la scène…

On peut alors considérer que la trace sur une vitre est équivalente à un mouvement et à une attraction gravitationnelle, alors que la vitre n'est pas en mouvement.

On peut suggérer le même phénomène à propos de l'expansion de l'univers. Dans la théorie ΛCDM, on démontre que l'univers est plat, mais en expansion, selon la constante cosmologique.

Mais on peut interpréter ce fait autrement.

Si on admet que notre espace-temps est COURBE, alors, l'expansion peut être interprétée comme la manifestation de cette courbure, mais vue à partir d'un modèle où l'espace-temps est plat !

Ainsi, il n'est pas exclu que l'énergie sombre puisse être décrite par une théorie du champ vectorielle, de spin 1, mais dans un espace-temps courbe, son interprétation en espace plat étant définie comme expansion, ce qu'elle n'est pas en réalité.

2023 12 13

Petite Ourse
Petit Renard
Dragon
Lyre
Véga
Grande Ourse
Hercule
τ-herculides
larmes de St Lauren
ancien lanceur de pluie des filantes
NO
Couronne boréale
N
Chiens de chasse
Lune=
Couronne de la Vierge
Bouvier
gardien des ours
Chevelure de Bérénice
Serpent
Serpentaire
Arcturus
Arkht-Ourgos
Svâti, le Svastika
Terre, Avon, 0 m
FOV 83.7°
20 FPS
2022-05-31 08:50:46 UTC+01:00

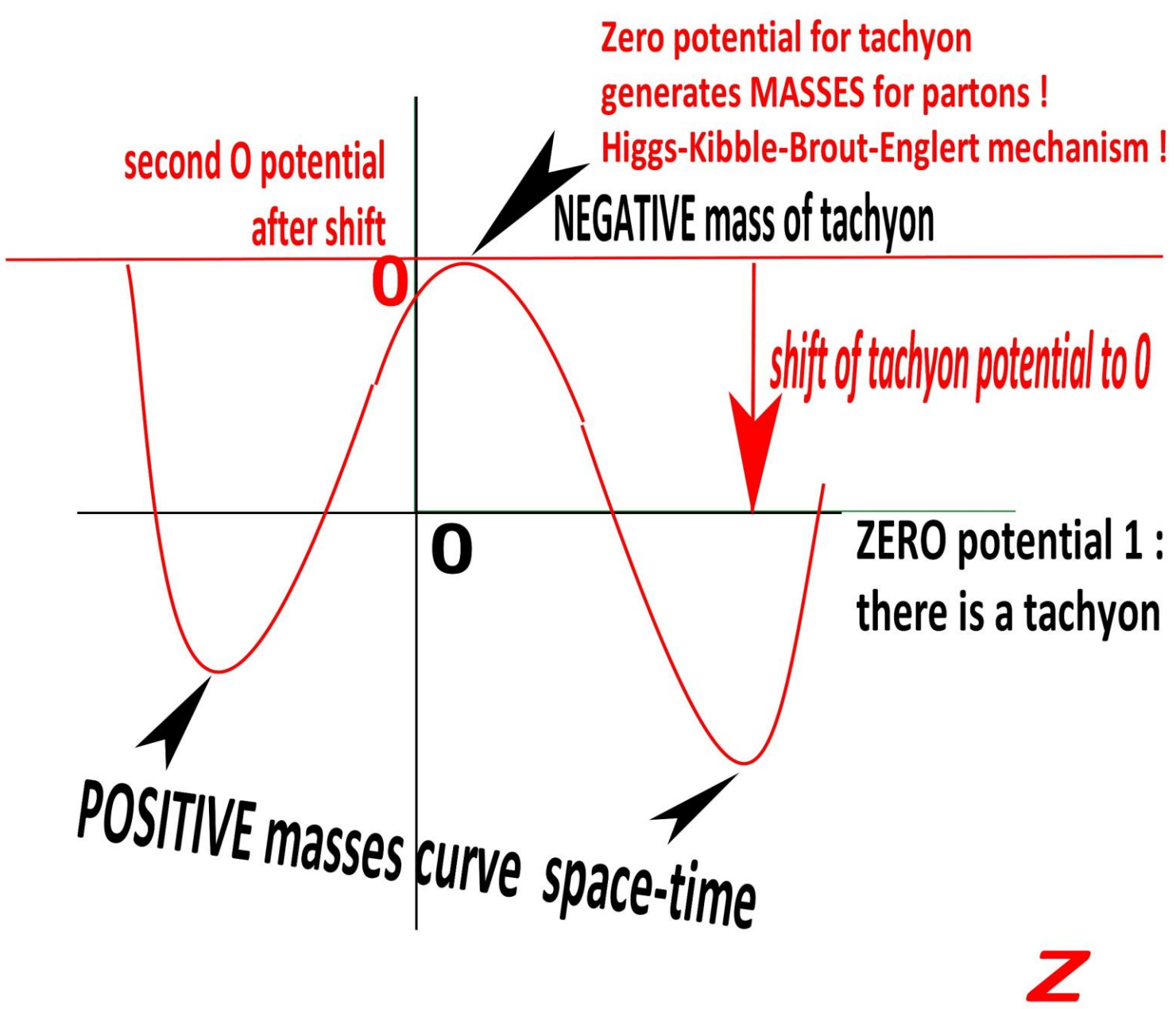

How particles acquire a mass due to a higgs mass shift from tachyon potential. (West)

THÉORÈME

Le pourcentage d'homosexuel dans une caste sociale donnée est fonction de la fortune et des revenus de cette caste.

Dans les castes inférieures, ce pourcentage est de l'ordre de 1 chiffre.

Dans les castes supérieures, ce pourcentage est de l'ordre de 20% et peut être plus élevé dans les 1% supérieurs des castes dirigeantes.

L'appartenance à un milieu homosexuel est un facteur de sélection sociale ascendante en raison des services rendus et de l'adaptabilité de cette koinè à l'accumulation des fortunes et privilèges de caste.

geromschweisthal

Bravo Houellebecq!

Costume de marié superbe!

Espérons que nous pourrons voir des photos de votre femme un de ces jours.

Et comme disait un de mes amis, à la SDN: “Charbonnier est maître chez soi”. GT

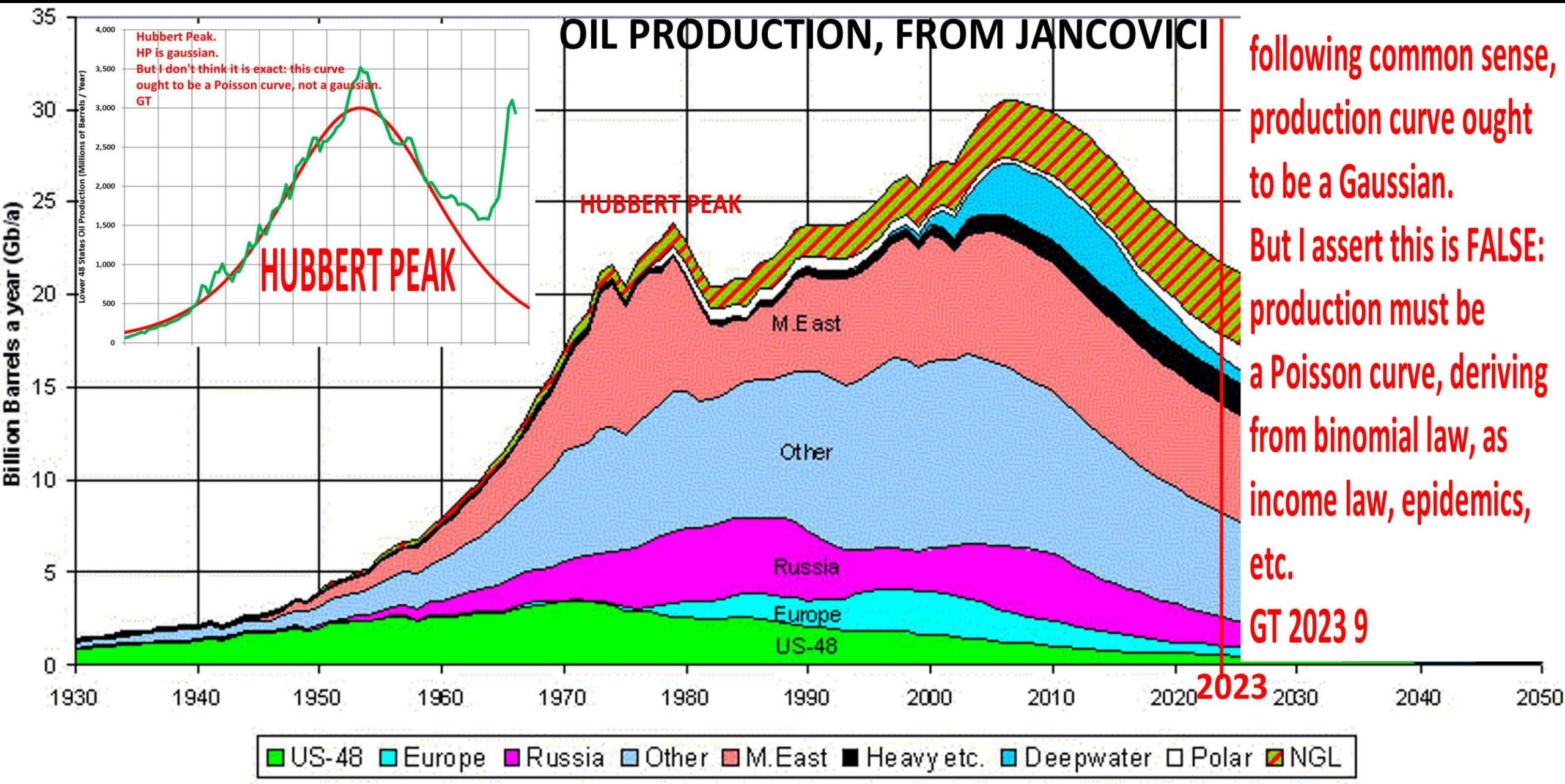
OIL PRODUCTION, FROM JANCOVICI
Hubbert Peak.
HP is gaussian.
But I don't think it is exact: this curve
ought to be a Poisson curve, not a gaussian.
GT
HUBBERT PEAK
HUBBERT PEAK
Billion Barrels a year (Gb/a)
Lower 48 States Oil Production (Millions of Barrels / Year)
M.East
Other
Russia
Europe
US-48
2023
following common sense,
production curve ought
to be a Gaussian.
But I assert this is FALSE:
production must be
a Poisson curve, deriving
from binomial law, as
income law, epidemics,
etc.
GT 2023 9
US-48 Europe Russia Other M.East Heavy etc. Deepwater Polar NGL

1 Dans ce schéma, ne pas tenir compte de la partie grise!

2 Le présent est la pointe du triangle jaune

3 Sur la ligne des abscisses, le temps écoulé depuis le BB.

Le Hubble Village a maintenant un "diamètre" de 14,8 Gyr

cercle violet en bas.

4 La vitesse de la lumière est c = 1, ou 300 000... km/s

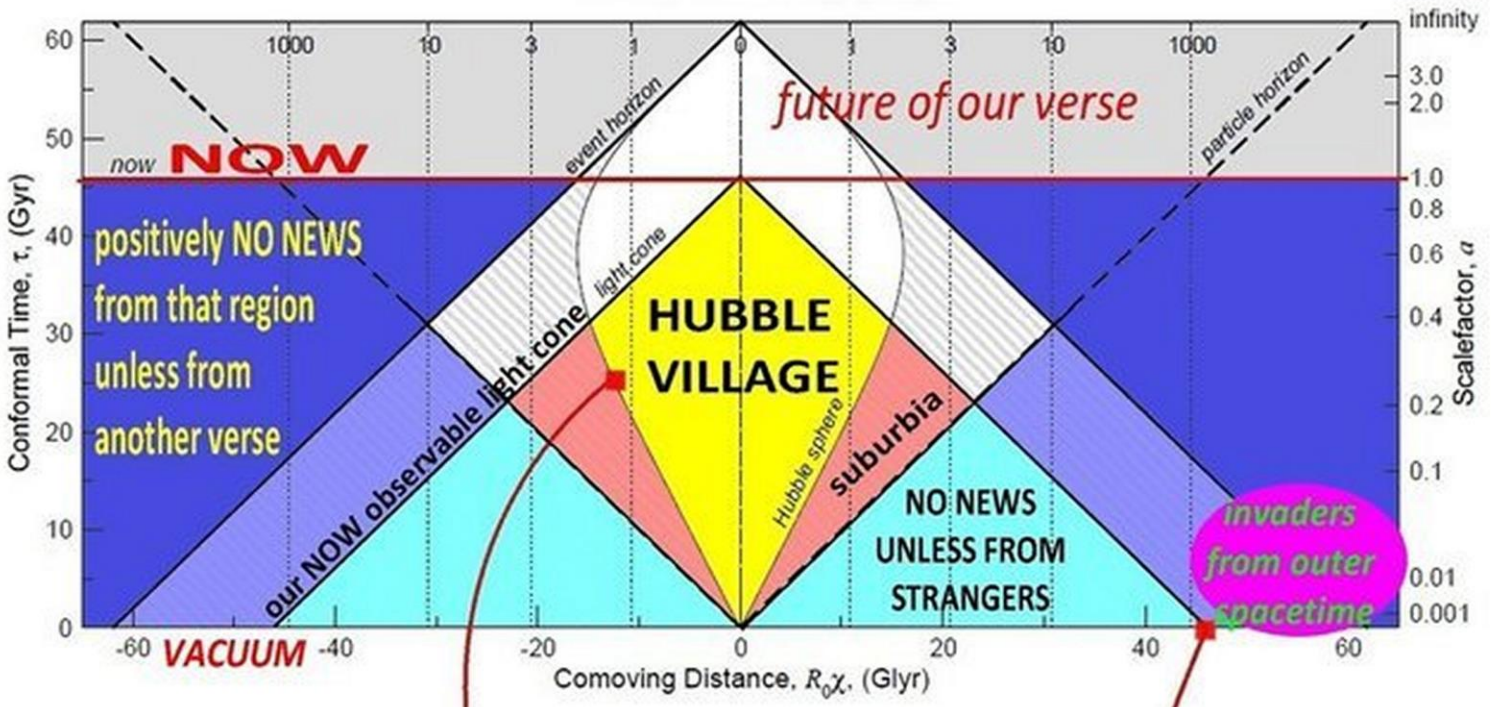

5 MAIS la vitesse de l'expansion de Hubble fait que notre univers a maintenant un rayon de 46 Gyr !! (cercle blanc en bas).

A cette limite, la vitesse d'expansion est d'environ 3c, c vitesse de la lumière.

Elle peut aller beaucoup plus loin dans le futur...

Nous ignorons tout de cette "force" d'expansion...

Sauf le dilaton en théorie des cordes...

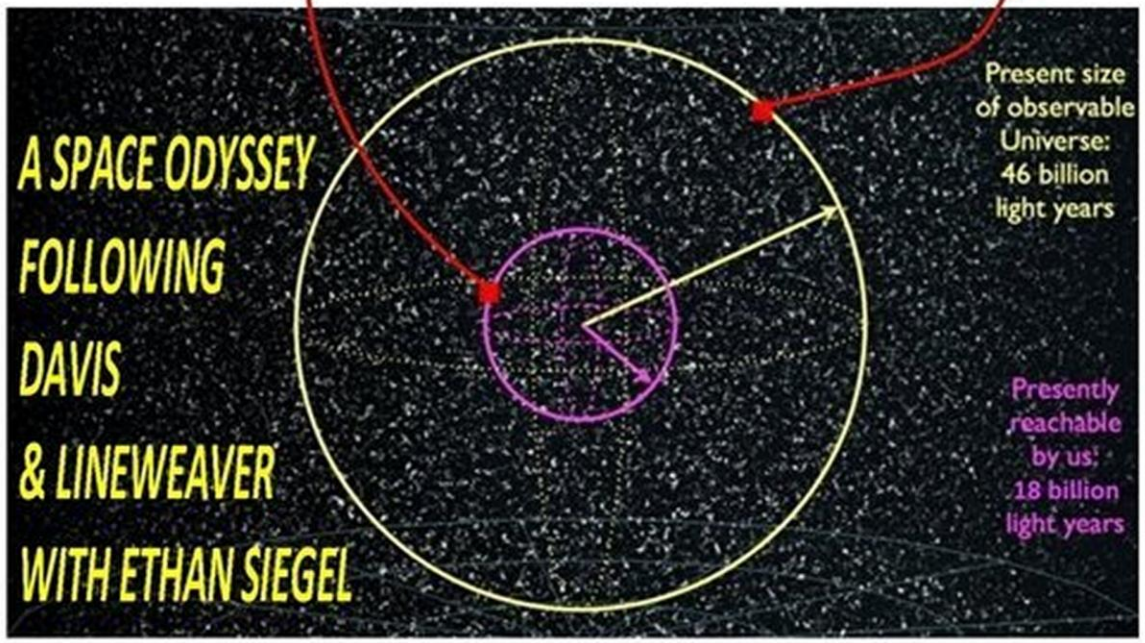

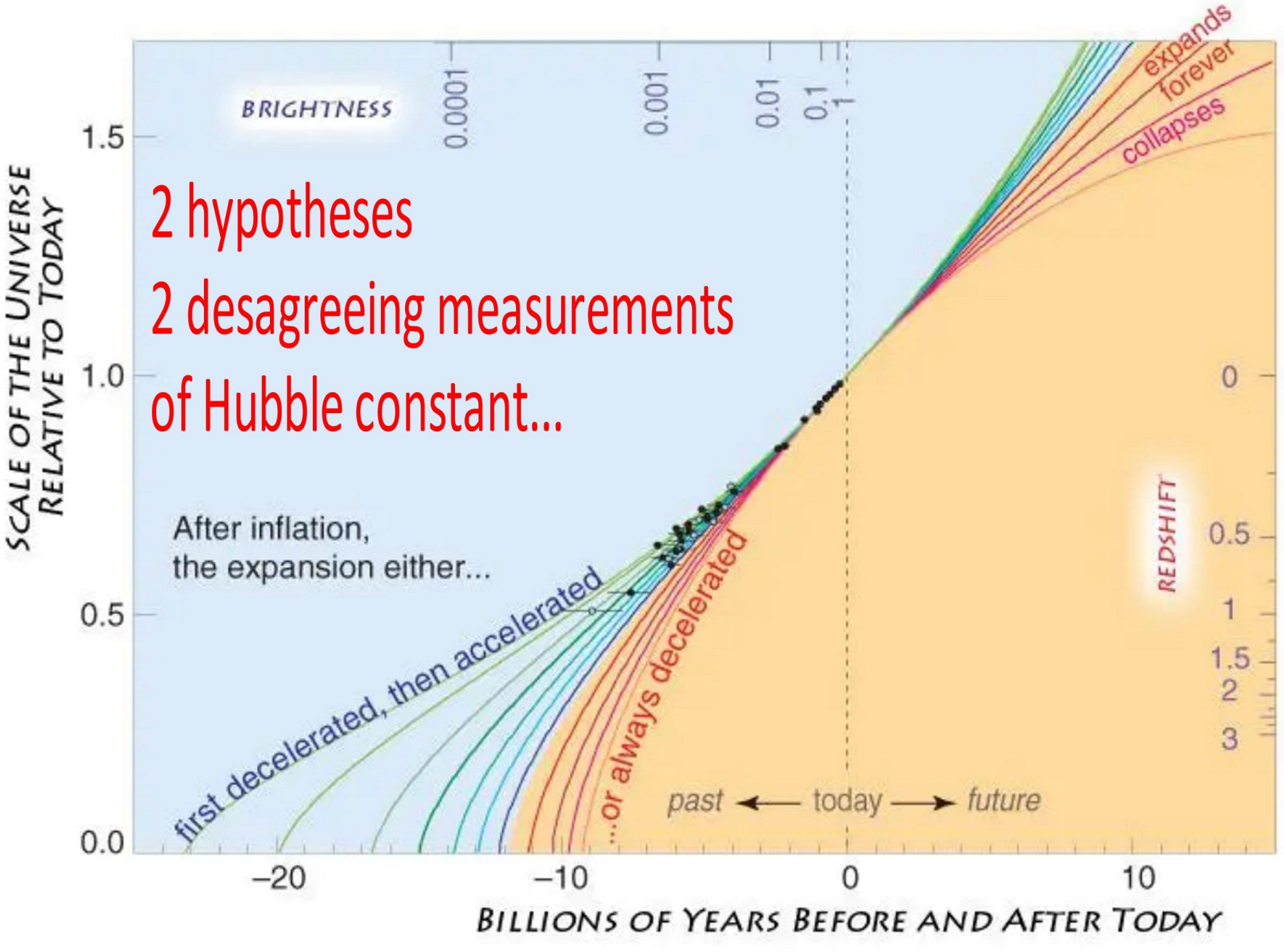
2 hypotheses
2 desagreeing measurements
of Hubble constant...
BRIGHTNESS
0.0001
0.001
0.01
0.1
1
expands forever
collapses
SCALE OF THE UNIVERSE RELATIVE TO TODAY
1.5
1.0
0.5
0.0
After inflation,
the expansion either...
first decelerated, then accelerated
...or always decelerated
REDSHIFT
0
0.5
1
1.5
2
3
past
today
future
–20
–10
0
10
BILLIONS OF YEARS BEFORE AND AFTER TODAY

$$i = ln(-1)/\pi$$

L’arme de destruction massive la plus efficace, sans commune mesure avec l’atome, est l’indice de fécondité. Les Indo-Européens de l’ouest, avec in IdF de 1,3, ont décidé de se suicider massivement.

GT

L'indice de fécondité en Gaule Barbue chez les FdS est environ égal à 1,3 pour 1000.

Les Gaulos-Barbus ont décidé de se suicider en 1974, date à laquelle l'indice de fécondité a chuté sous la barre des 2,1 pour 1000.

Le différentiel avec l'indice officiel est lié à l'immigration depuis 1963 environ.

Some theories about the Indo-European *urheimat* (homeland)

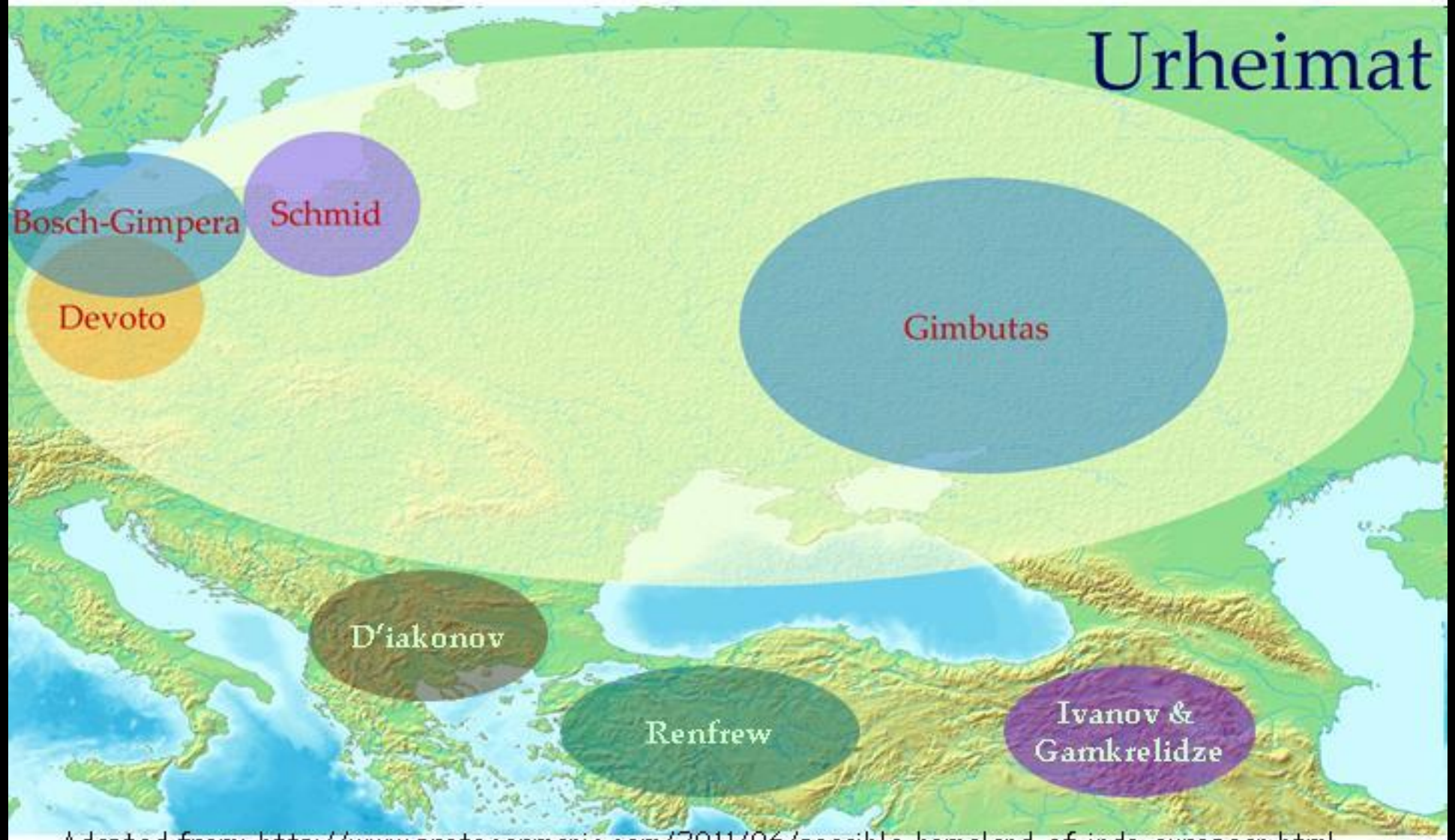

Adapted from: http://www.protogermanic.com/2011/06/possible-homeland-of-indo-european.html

CALLE DE
ISABEL
TINTERO

ALFREDO RUIZ DE LAMA
MADRID

$$\frac{P}{2H} = 3,14153 \approx \pi = 3,14159$$

$$\frac{a}{b} = 1,6189 \approx \varphi = 1,6180$$

$$\frac{2Ar}{H} = 3$$

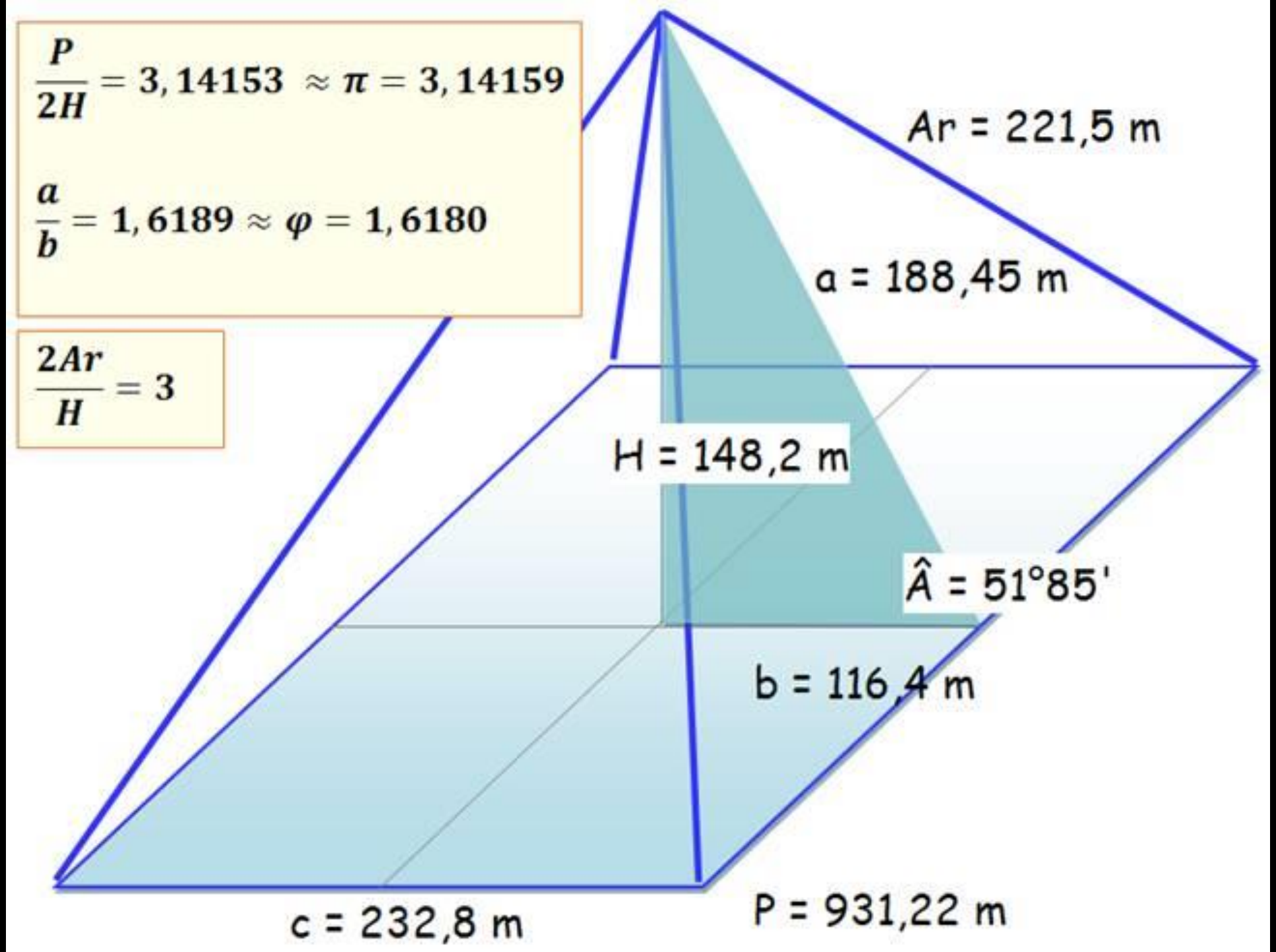

La civilisation indoeuropéenne de l'Ouest commence le jour où les Mongols jettent un de leurs cadavres pestiféré dans une ville d'Europe.

Grâce à eux, l'Europe a libéré ses forces créatives et productives.

Elle arrive au point, dans les années 1890, d'être la plus belle civilisation que l'on ait jamais vue.

Alors, dans un état d'extase orgasmique, les Européens, fous de joie de voir ce qu'ils ont créé, se jettent les uns sur les autres dans un état d'orgasme pour se détruire, et enfin JOUIR !

Cela a lieu en Septembre 1914.

Devant les résultats de cet orgasme, effarés de ce qu'ils ont fait, ils commencent leur descente aux enfers, qui aura lieu en 1973, à l'occasion d'une crise sans importance.

Puis ils décident de se suicider collectivement avec un taux de fécondité destiné à mettre un terme à leur existence.

C'est le Götterdämmerung de ma civilisation, que je regarde sombrer depuis quarante ans.

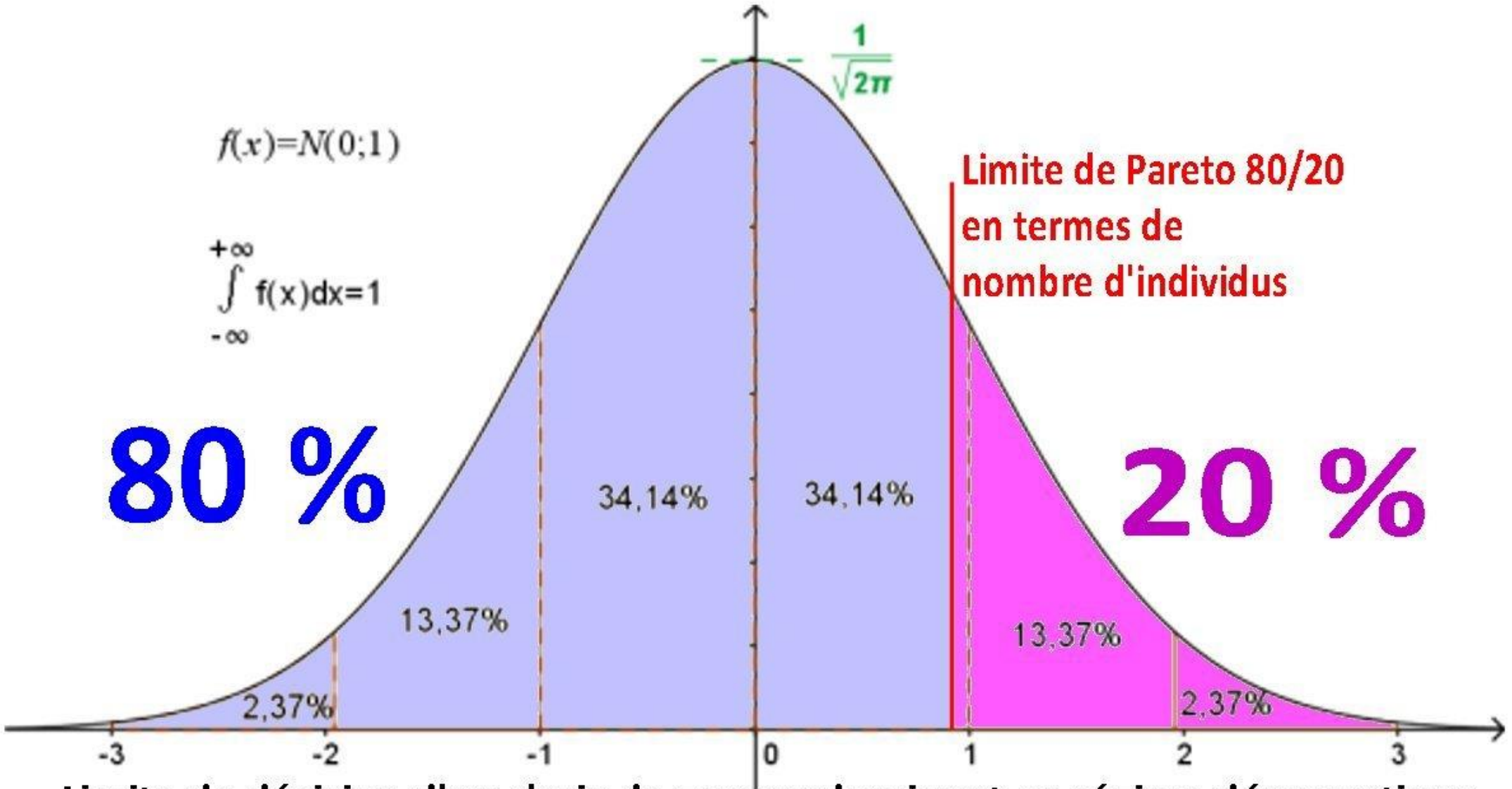

Limite de décision d'un choix de groupe dominant en régime démocratique (one-head, one vote)

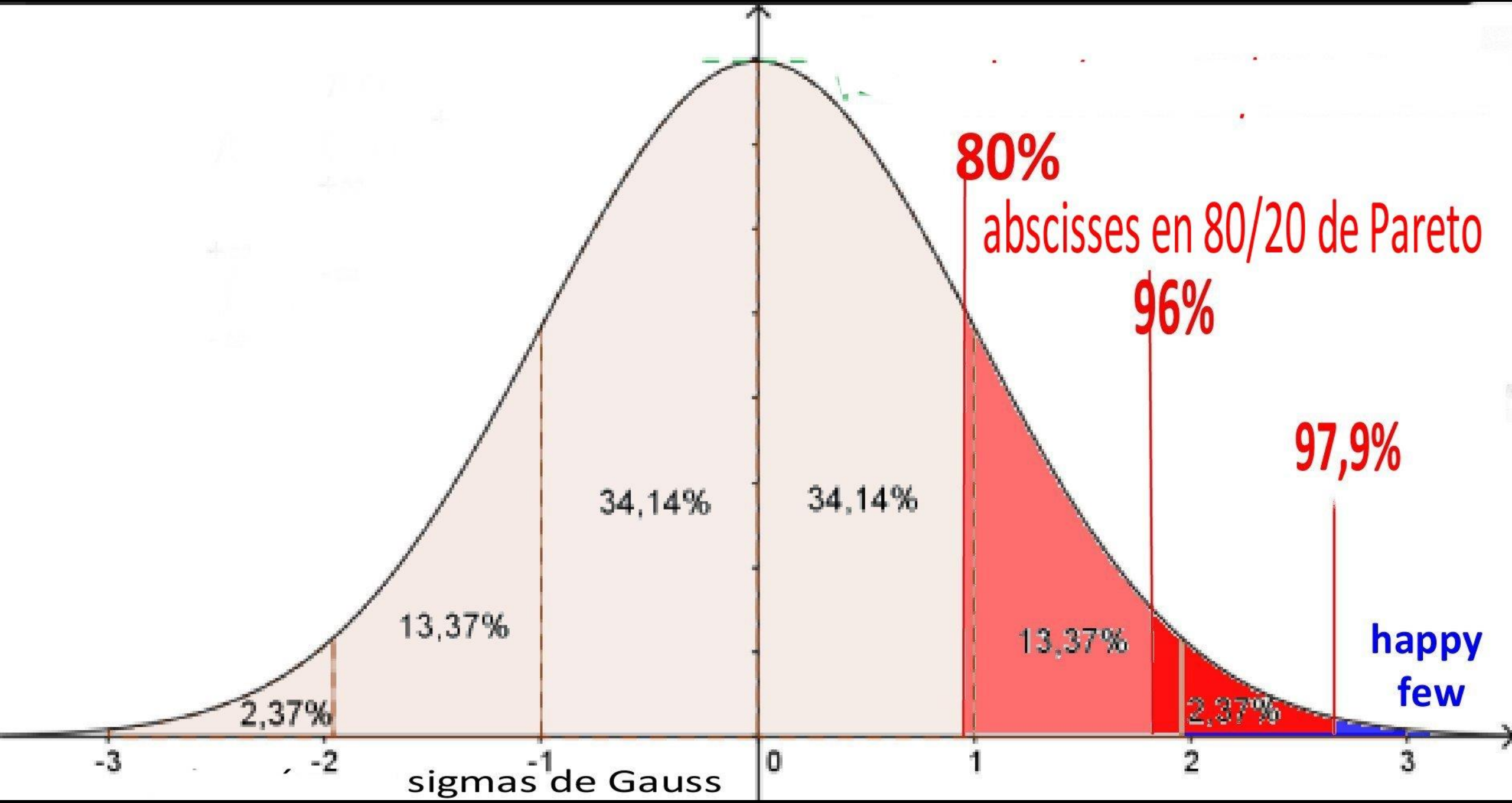
80%
abscisses en 80/20 de Pareto
96%
97,9%
happy few
34,14%
34,14%
13,37%
13,37%
2,37%
2,37%
-3
-2
-1
0
1
2
3
sigmas de Gauss

La croissance et la décroissance, dans des conditions stables et homogènes de pops animales, virus compris, et Sapiens, obéissent à une loi de Poisson.

Cette loi est la différence de deux sigmoïdes l'une, de croissance, l'autre, de freinage. La courbe de Poisson est la différence de ces deux courbes.

Selon les conditions du biotope, la croissance peut être lente et la décroissance rapide, ou inversement. Dans certains cas, la croissance peut être quasi-gaussienne.

Les koinès Sapiens obéissent à la même loi, et connaissent des cycles de croissance et d'extinction.

Il peut se faire que, dans des circonstances d'exception, un cycle puisse reprendre sous l'effet d'un événement accidentel externe au système : Invasion de masse, météorite, découverte de minerais, invention de masse, changements climatiques brutaux. AUCUNE extermination de masse ne vient à bout de ces pops, animales comme humaines, mais au contraire les renforce par l'effet « démoustication ».

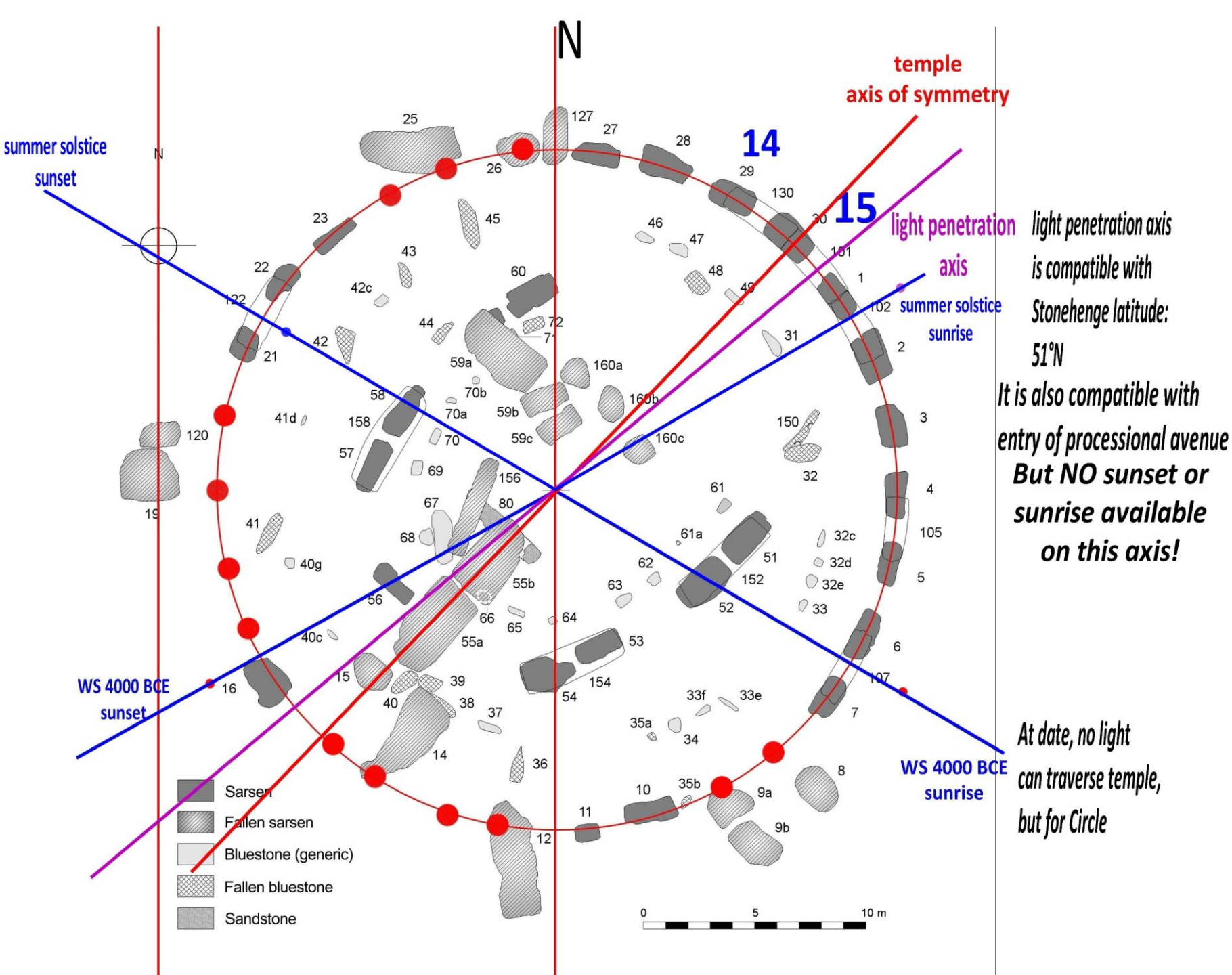

light penetration axis is compatible with Stonehenge latitude: 51°N

It is also compatible with entry of processional avenue

But NO sunset or sunrise available on this axis!

At date, no light can traverse temple, but for Circle

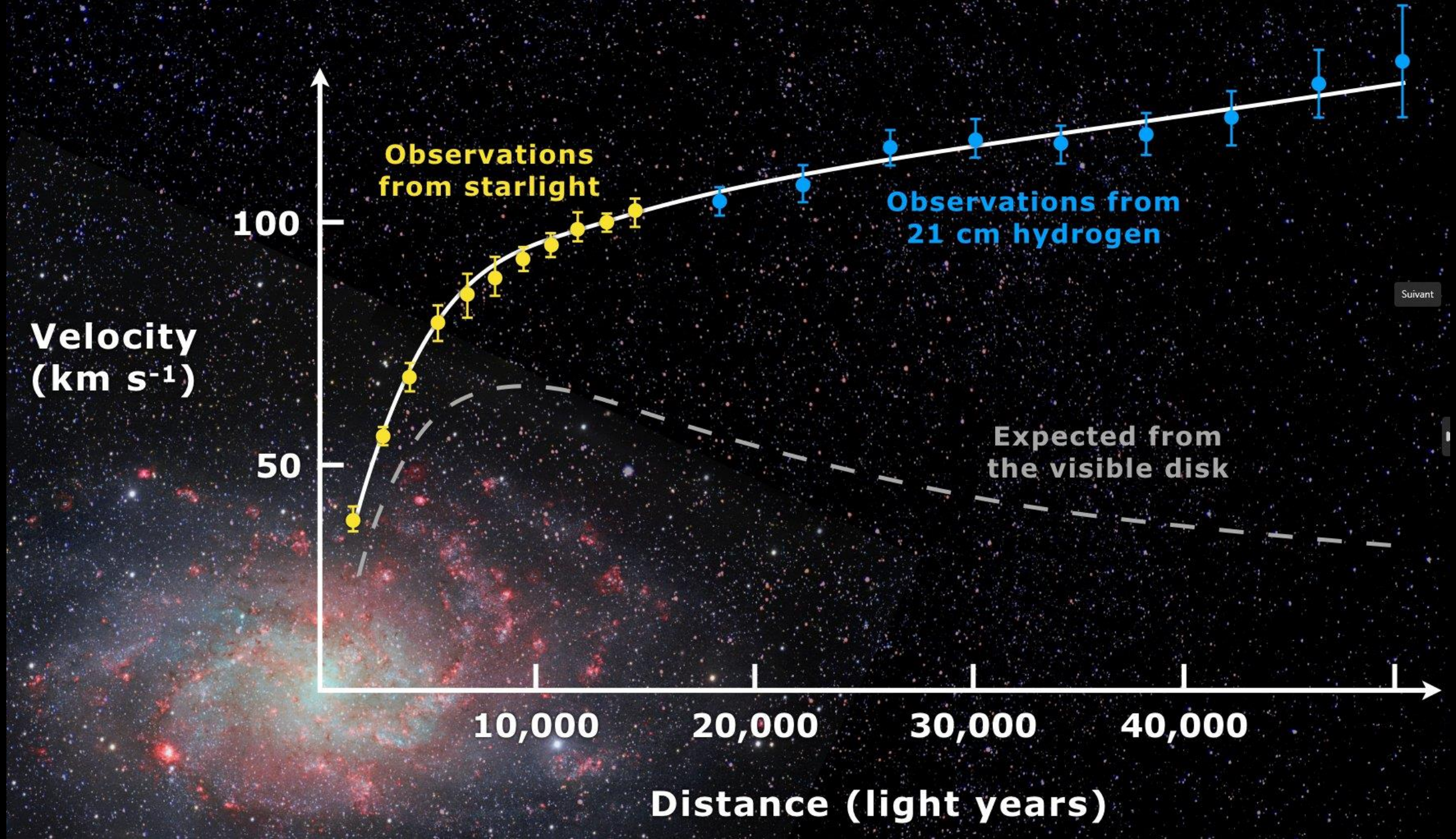
Observations
from starlight
Observations from
21 cm hydrogen
Expected from
the visible disk
Velocity
(km s-1)
100
50
10,000
20,000
30,000
40,000
Distance (light years)

How does a meson survive outside Dirac Vacuum ?

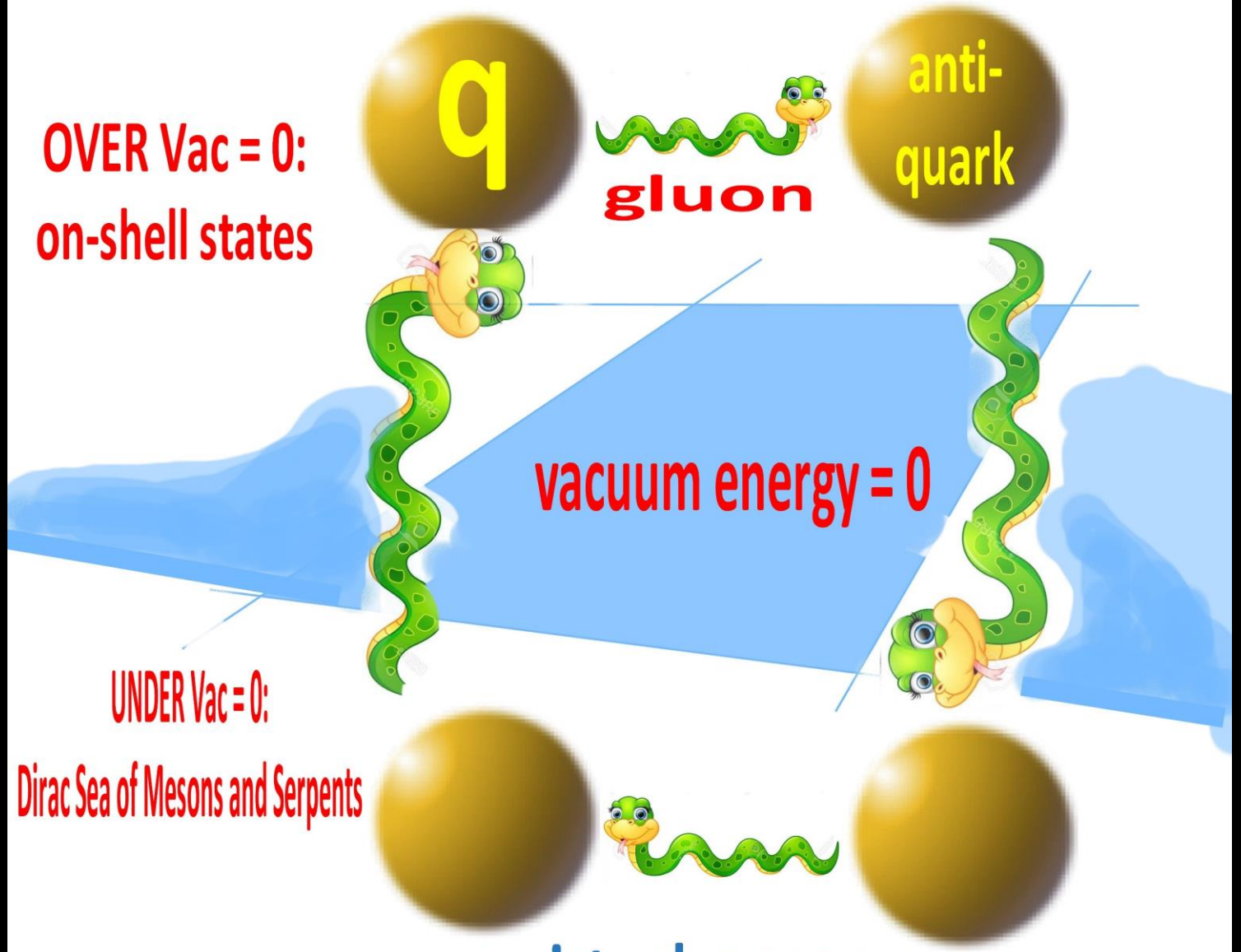

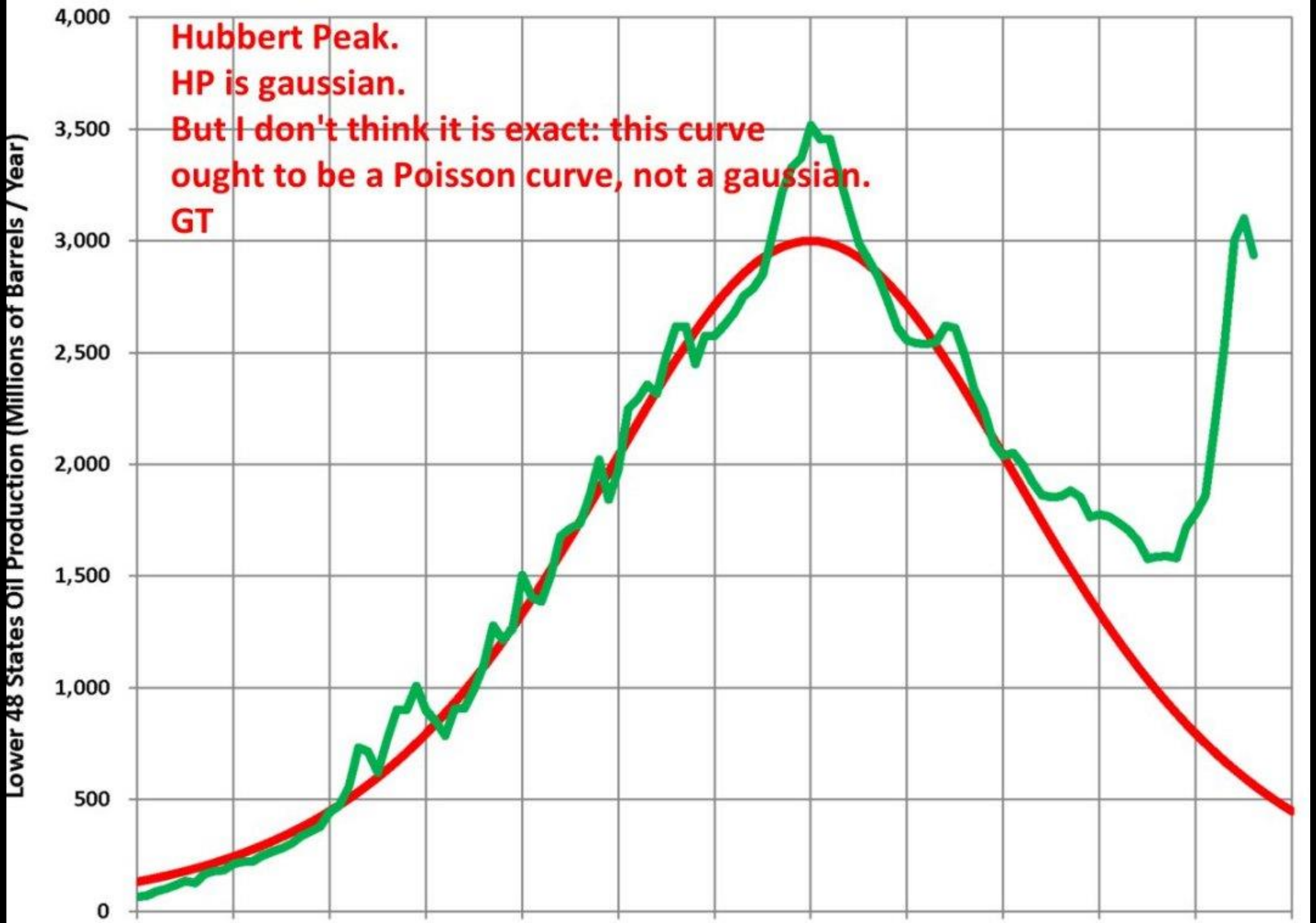
Hubbert Peak.
HP is gaussian.
But I don't think it is exact: this curve ought to be a Poisson curve, not a gaussian.
GT
Lower 48 States Oil Production (Millions of Barrels / Year)
4,000
3,500
3,000
2,500
2,000
1,500
1,000
500
0

Speed of light depends on space-time dimension d

$$c = \left[\frac{\hbar \, G_N^{(d)}}{\left(e^{\frac{\phi}{d-1}} \right)^2} \right]^{\frac{1}{3}}$$

$\begin{cases} c, \hbar, G_N \\ \phi \text{ dilaton} \\ d \end{cases}$

Taux de fertilité (naissances par femme), France

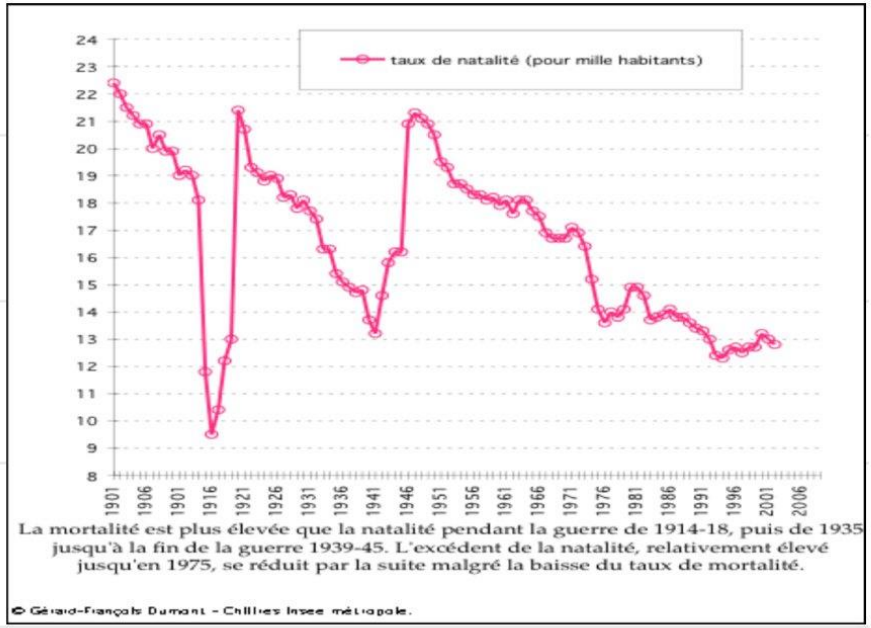

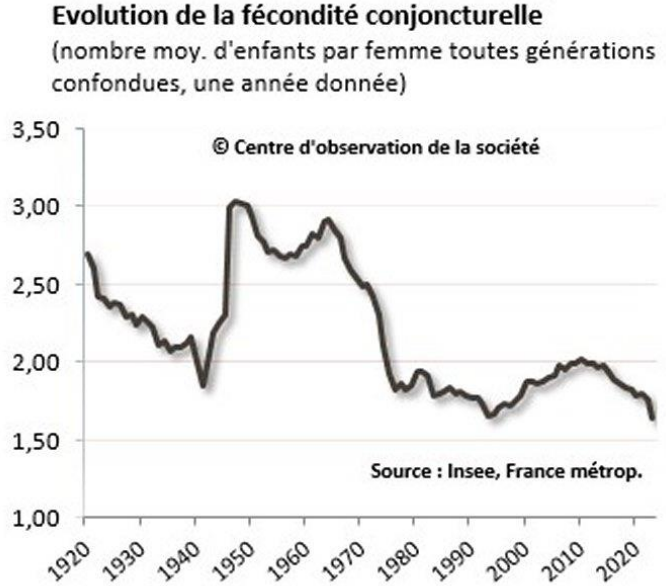

Perspective monde, date de consultation: 26/02/2024, source: Banque mondiale

Taux de fertilité (naissances par femme

France

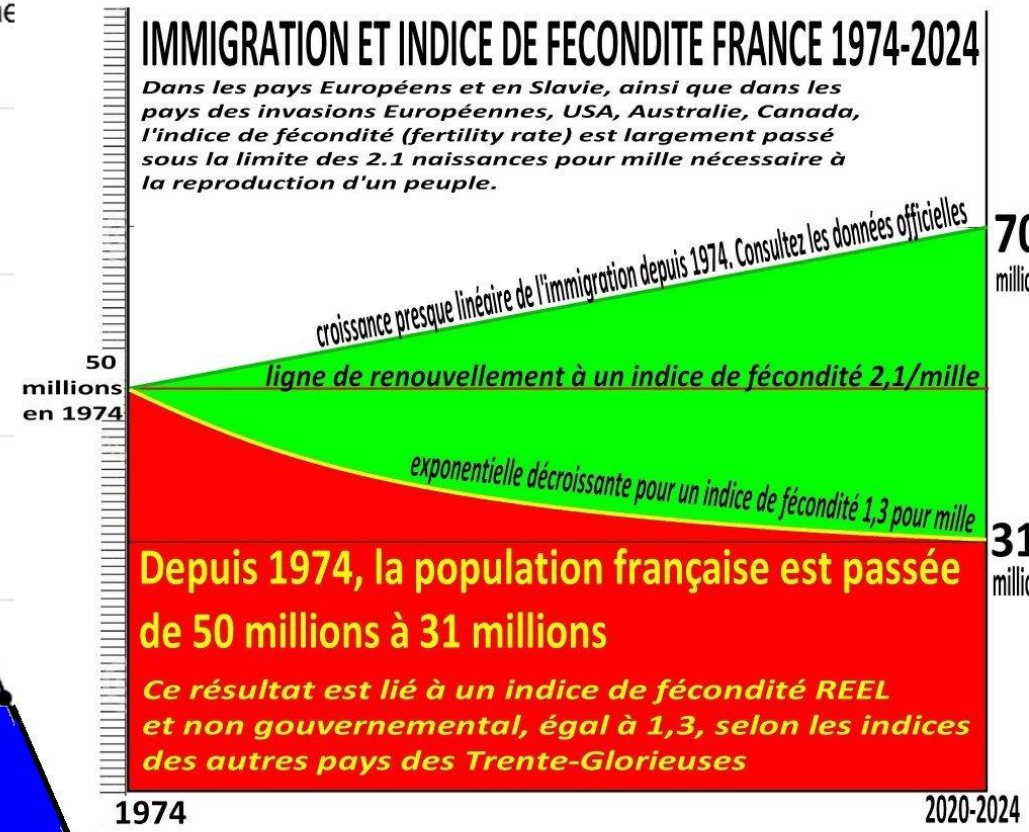

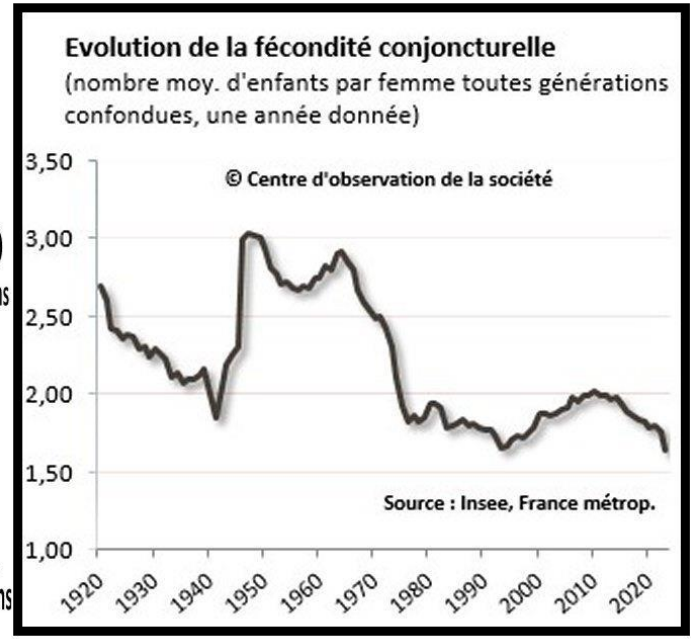

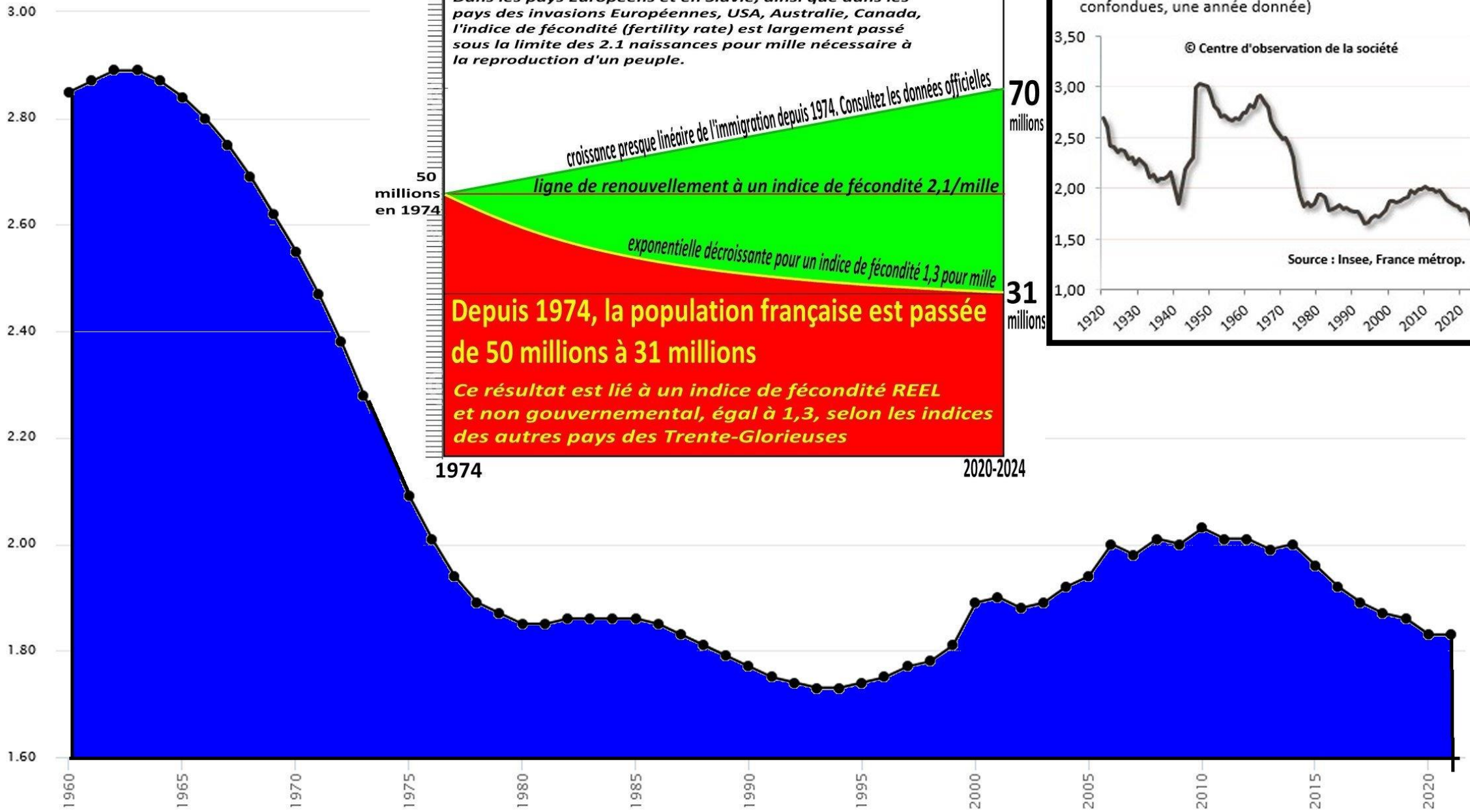

Perspective monde, date de consultation: 26/02/2024, source: Banque mondiale

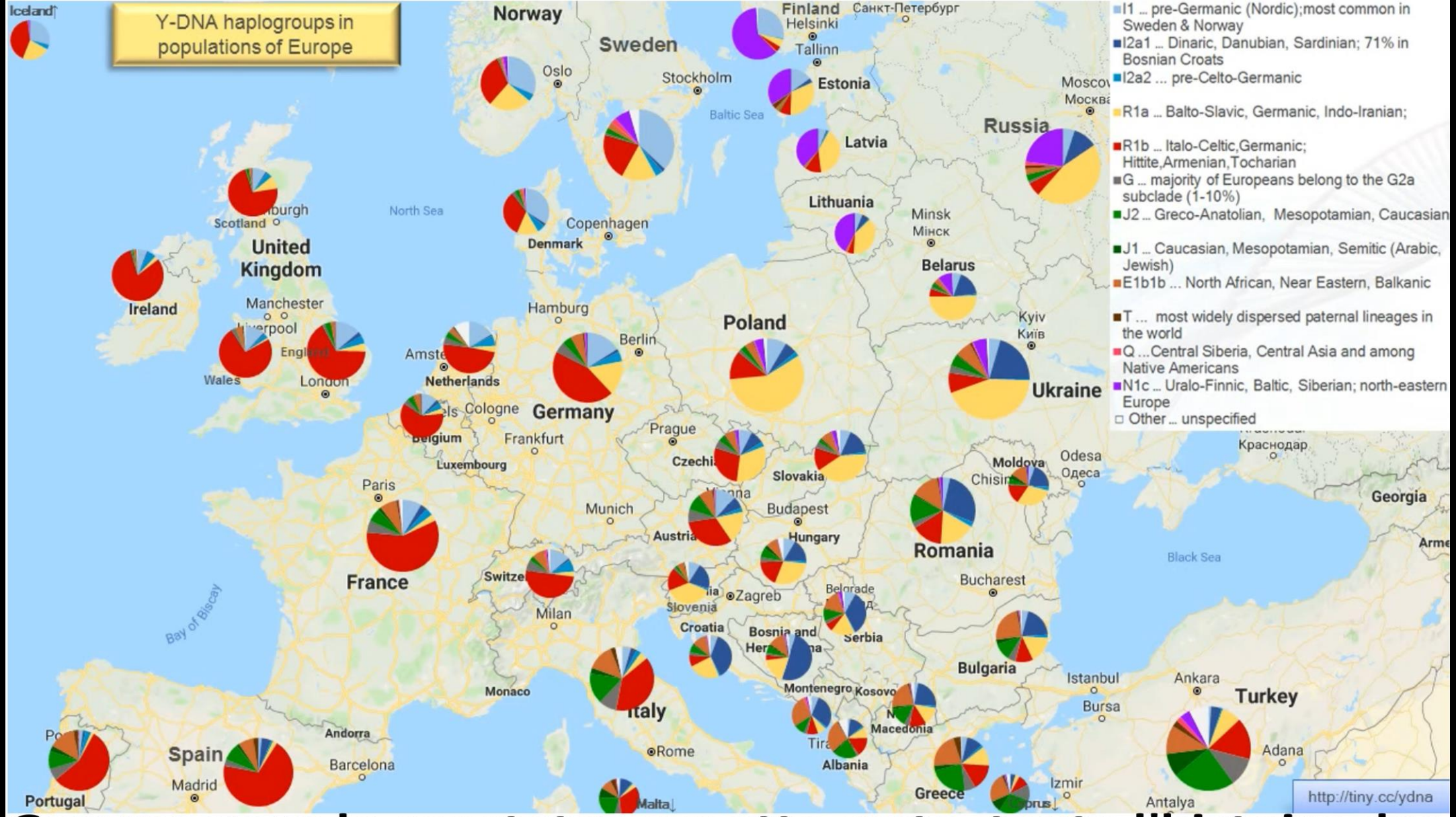

Comme vous le constatez sur ette carte, toute l'histoire des Indo-Européens de l'Ouest se résume aux conflits de deux haplogroupes : R1a et R1b. Si l'un de ces haplogroupes disparaît, -malheur aux vaincus !

En théorie des cordes, la vitesse de la lumière dépend du dilaton et donc des dimensions de l'espace-temps. Il n'est donc pas nécessaire de supposer l'inflation pour résoudre le problème de la hiérarchie, puisqu'il suffit de supposer que le Big-Bounce « commence » par un E-T en 26 puis en 10 dimensions, le flash lumineux du BB étant donné par la théorie bosonique M26. GT

En théorie des cordes, la vitesse de la lumière dépend du dilaton, qui lui-même dépend de la dimension de l'espace-temps. Il n'y a pas besoin de supposer une inflation initiale, si l'on suppose que le commencement de l'univers a lieu par une théorie bosonique M 26, impliquant une perte de symétrie par condensation des tachyons, -puis une brisure de symétrie jusqu'à la dimension 10, suivie enfin par une autre brisure de symétrie qui augmente la dimension à 11, mais en introduisant la gravité, absente jusque là. Il n'y a pas de gravité à proprement parler en supersymétrie de dimension 10. Ces mécanismes donnent l'apparence d'une inflation, ce qui n'est pas le cas, puisque la gravité n'apparaît qu'en dimension 11. GT

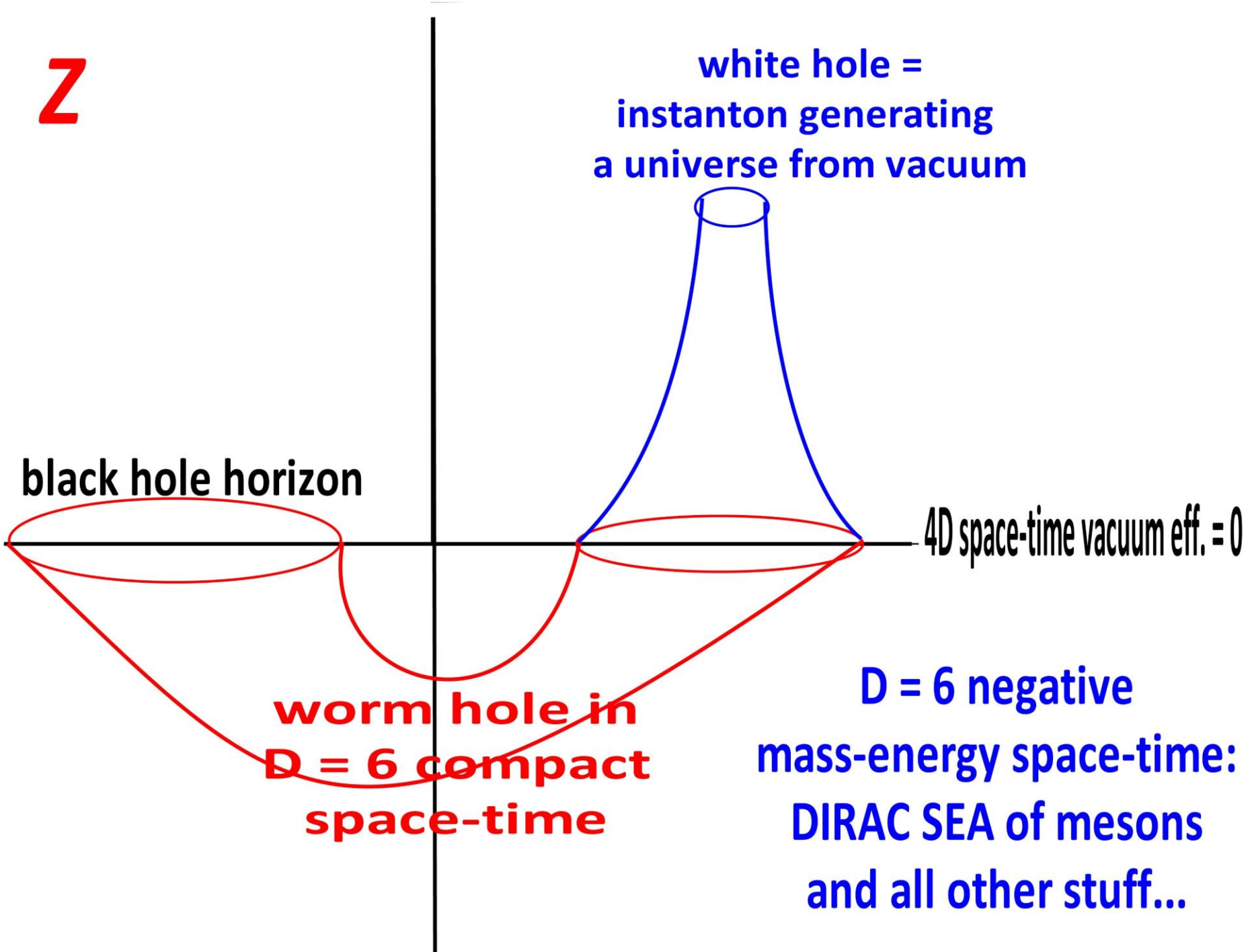
Z
white hole =
instanton generating
a universe from vacuum
black hole horizon
4D space-time vacuum eff. = 0
worm hole in
D = 6 compact
space-time
D = 6 negative
mass-energy space-time:
DIRAC SEA of mesons
and all other stuff...

G

Gérôme Taillandier

1 avis

★☆☆☆☆ à l'instant NOUVEAU

Contrairement à ce qu'on dit, Pasteur n'a jamais vacciné qui que ce soit. Il a administré un sérum anti-rabique.
De plus, ce sérum n' pas été découvert par lui mais par son assistant, qui eut la bonne idée de mourir peu après d'une infection professionnelle, grâce à quoi Pasteur put s'attribuer la découverte.
Le seul qui ait jamais vacciné à l'époque était Koch, ennemi juré de Pasteur.
Les chercheurs de cet institut, au lieu de jouer à la TV les dirigeants politiques, feraient mieux de s'occuper de virus en n'émettant pas des nouvelles qui noient la réalité: le variant O'Micron est inoffensif et de plus, vaccine vraiment les personnes qui ont la chance de l'attraper. GT

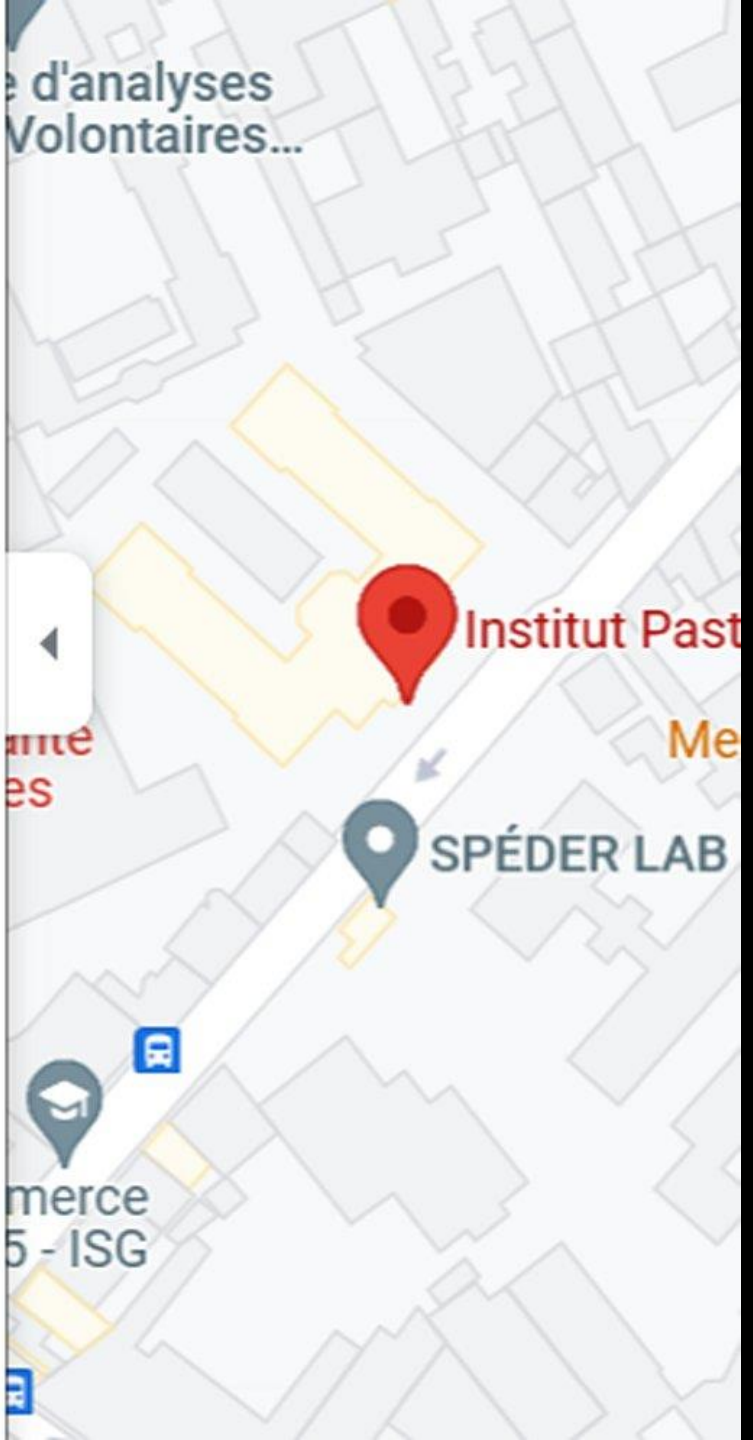

Poincaré : les intégrales premières du mouvement ne sont pas résolubles pour n>2.

Question : Existe-t-il un espace-temps pas forcément euclidien dans lequel ces intégrales seraient résolubles ?

Un tore ? Une K3 ? Une Calabi-Yau ? Un truc bien frappadingue ? GT 2021 11 25

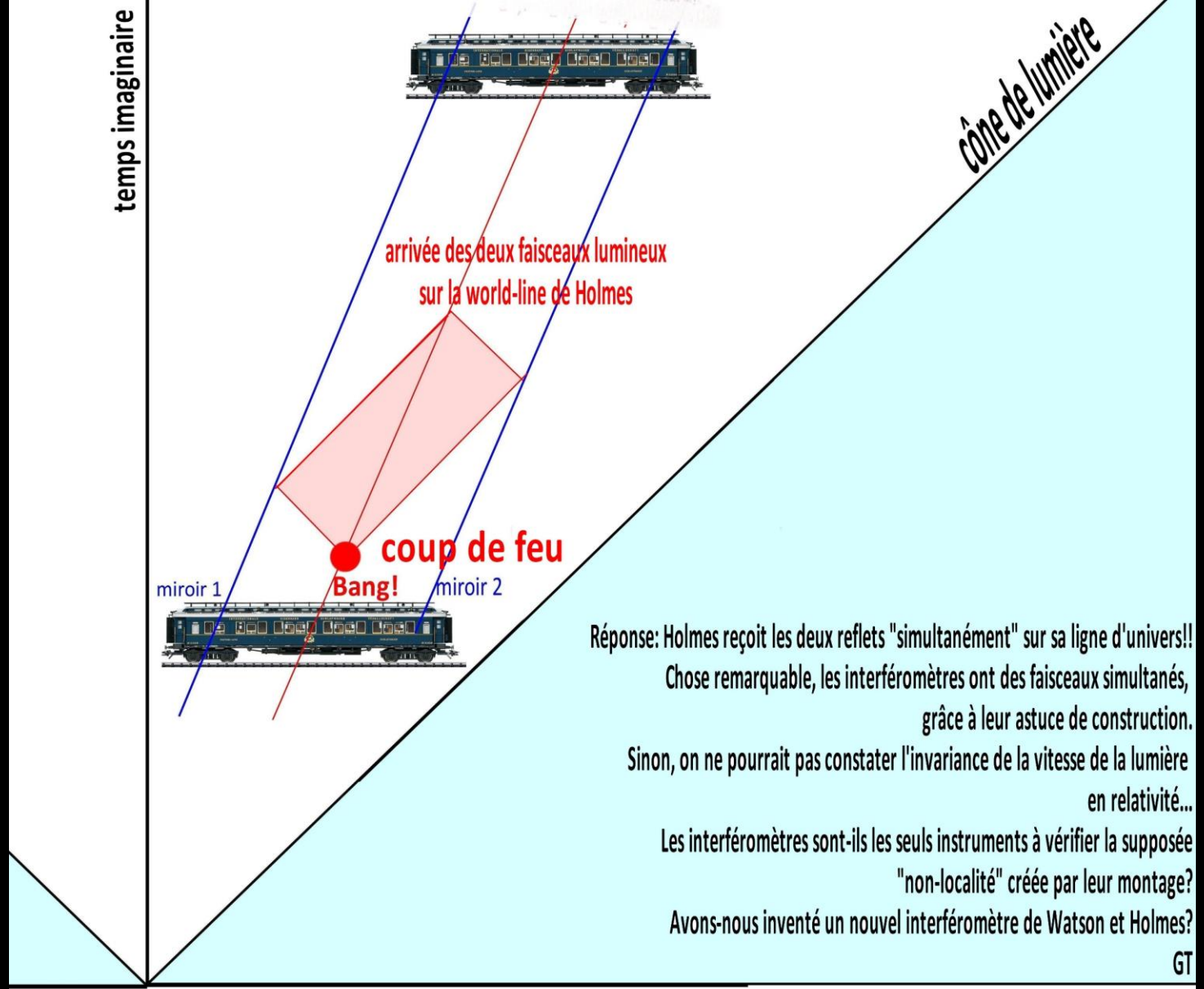

Réponse: Holmes reçoit les deux reflets "simultanément" sur sa ligne d'univers!!
Chose remarquable, les interféromètres ont des faisceaux simultanés,
grâce à leur astuce de construction.
Sinon, on ne pourrait pas constater l'invariance de la vitesse de la lumière
en relativité...
Les interféromètres sont-ils les seuls instruments à vérifier la supposée
"non-localité" créée par leur montage?
Avons-nous inventé un nouvel interféromètre de Watson et Holmes?
GT

Holmes et Watson se sont installés au milieu du wagon. Un coup de feu est tiré par Watson. La lumière du tir est réfléchie dans les miroirs situés à chaque extrêmité du wagon.
Avec quel intervalle d'espace-temps la lumière réfléchie dans ces deux miroirssera-t-elle perçue par Holmes?

Films introuvables :

Claude d'Anna : La pente douce

Salomé année 1986

Partenaires

Les jeux dangereux

John Guillermin :

RAGS

Geiszendörfer :

Der Zaubere Berg

Christian de Chalonges :

L'été 14

Gare de Lyon, Paris

Votre avis

Gérôme Taillandier
16 avis

à l'instant NOUVEAU

Vendredi 29 Avril 2022, Gare de Lyon;
Je prends des photos du joli train italien Italtrenni, appuyé sur la barrière du quai voisin. Un homme portant une combinaison de groupe d'intervention sans macarons lisible, se précipite vers moi pour me dire que c'est INTERDIT! Je suis largement au-delà de la zône réservée par Italtrenni pour l'embarquement de ses voyageurs.
J'ai alors droit à un effet de plastron de l'individu concerné pour me REPOUSSER!
Pour finir, il me balance la remarque suivante:"vous devriez avoir honte de vous comporter comme cela à votre âge!"

L'incident a été signalé au poste de police de la gare.
La prochiane fois que j'ai affaire à ce type d'incidents de la part de personnel non autorisé à assurer l'ordre et la loi, je dépose une plainte contre la SNCF.
GT

Visité en avril

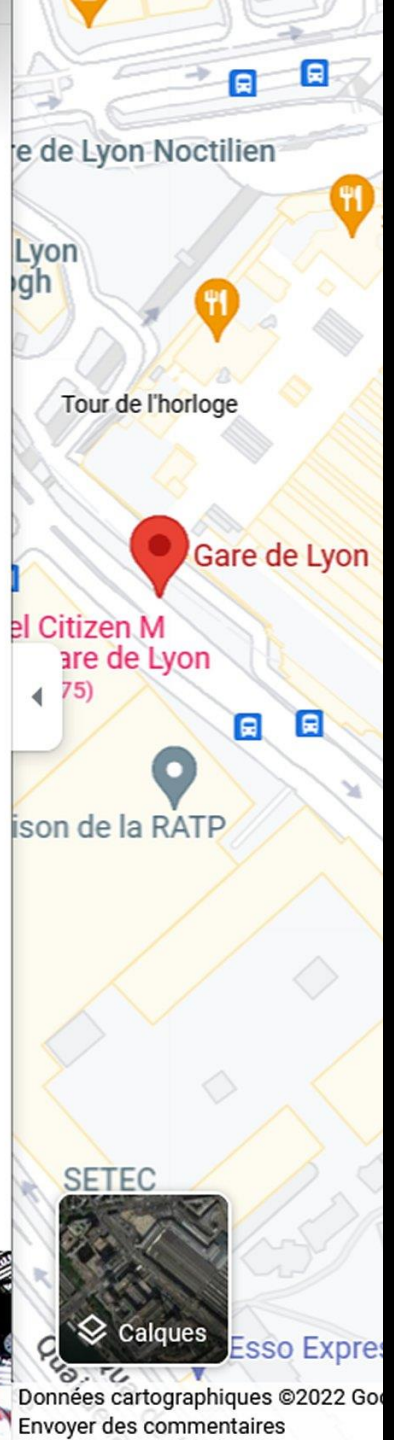

Il existe une unique bijection entre la sphère et le domaine fondamental du demi-plan hyperbolique de Poincaré : la fonction *j* de Jacobi.

Question :

Soit un hyperboloïde anti-de-Sitter ;

Existe-t-il une application bijective entre cette variété et le domaine fondamental du demi-plan de Poincaré ?

GT 2023 10 23

Censuré sur Google Maps.

Les avis ne sont pas vérifiés

G Gérôme Taillandier GT

★★★★★ il y a 20 heures

Probablement la peinture la plus ratée de toute la Renaissance, la Joconde est le plus désolant des tableaux. Les innombrables repeints de Léo l'ont définitivement tuée. Il est vrai que, tenter de faire naître une femme du portrait de son copain Salai n'est pas plus possible que de faire renaître Marlène Dietrich chez Michou. Ainsi, Léo a réussi a massacrer le portrait dont on peut supposer qu'il vivait dans son état original. Si vous voulez voir de la peinture, allez plutôt voir le carton de la Sainte Anne et de la Vierge, où la peinture est restée présente grâce à son éloignement précoce.
De plus, il paraîtrait que la Joconde exercerait un effet hypnotique sur ses visiteurs. C'estun phénomène bien connu en psychologie, qu'on appelle auto-hypnose. Regarder ce tableau à 10 mètres de distance au milieu des portables est tellement emmerdant que les spectateurs se persuadent que la Joconde veut leur parler pour oublier Bobonne et les enfants un instant. Mais ça ne marche pas! GT

Visité en mars

Gérôme Taillandier sans masque

"Tirer le joug sous un maître plaît au peuple. Récompense, les coups de bâton".

Construire la supersymétrie engendre nécessairement un potentiel de Kähler. Ce potentiel étant une énergie, doit se manifester dans des termes dynamiques. L'inflation et la brisure de supersymétrie en font partie, mais aussi la matière noire ou même l'énergie du vide.

We used this expression in the transition from path integrals to harmonic oscillators when we converted the vertex function at τ_i to the vertex function at the origin.

Third, in our derivation of the harmonic oscillator formalism we introduced the vacuum state $|0, k\rangle$. Notice that the functional formalism started with the world sheet of the interacting strings being an infinite horizontal strip of width π in the complex plane. The external lines were placed along the real axis. Therefore the effect of a string coming in from negative (positive) infinity corresponds to the functional integral over a semi-infinite strip. Thus, the vacuum state $|0\rangle$ is the functional integral of the string theory over a semi-infinite strip. We can represent the tachyon vacuum with momentum k as:

$$|0; k\rangle = e^{ik\cdot x}\,|0; 0\rangle\,, \tag{2.6.7}$$

where

$$\alpha_n\,|0; 0\rangle = 0, \qquad n \geq 0. \tag{2.6.8}$$

Putting everything together, we can now convert the path integral to harmonic oscillator form:

$$\begin{aligned} A_n &= \int d\mu \int DX e^{-s} \prod_{i=3}^{N-1} dz_i \exp[ik_i X^{\mu i}(\sigma = 0; \tau_i)] \\ &= \langle 0; k_1|\, V_0(k_2) D V_0(k_3) D \cdots D V_0(k_{N-1})\,|0; k_N\rangle\,. \end{aligned} \tag{2.6.9}$$

It is important to realize that the harmonic oscillator expression is a direct consequence of the functional formalism.

Fortunately, this amplitude is easy to calculate. As an exercise, let us first calculate the four-point function explicitly:

$$\begin{aligned} A_4 &= \langle 0; k_1|\, V(k_2) D V(k_3)\,|0; k_4\rangle \\ &= \int_0^1 dx x^{k_3\cdot k_4 - 1}\,\langle 0|\exp\left\{-k_2\cdot\sum_{n=1}^{\infty}\frac{\alpha_n}{n}\right\} x^R \exp\left\{k_3\cdot\sum_{n=1}^{\infty}\frac{\alpha_{-n}}{n}\right\}|0\rangle \\ &= \int_0^1 dx x^{-(1/2)s-2}(1-x)^{-(1/2)t-2} \\ &= \frac{\Gamma(-\alpha(s))\Gamma(-\alpha(t))}{\Gamma(-\alpha(s)-\alpha(t))} \\ &= B(-\alpha(s), -\alpha(t)), \end{aligned} \tag{2.6.10}$$

where

$$\begin{aligned} \alpha(s) &= 1 + \tfrac{1}{2}s, \\ s &= -(k_1 + k_2)^2, \\ t &= -(k_2 + k_3)^2, \\ u &= -(k_1 + k_3)^2, \end{aligned} \tag{2.6.11}$$

are the Mandelstam variables and R is the number operator: $R = \sum_{n=1}^{\infty} n a_n^\dagger a_n$. Thus, the four-point scattering amplitude has an elegant form. In fact, it can be represented as the Euler Beta function. This Beta function has fascinating physical properties that first excited the imagination of high-energy theorists in the late 1960s. It was discovered by G. Veneziano and M. Suzuki quite by accident as they were looking for a way in which to satisfy finite energy sum rules for the hadronic S-matrix. At that time, theorists wanted to construct a scattering amplitude for hadrons that had the following of G. Chew's criteria for an S-matrix:

(1) Unitarity;
(2) Lorentz symmetry;
(3) CPT invariance;
(4) Analyticity;
(5) Crossing symmetry.

To this list, theorists sometimes added:

(6) Regge behavior, i.e.,

$$A(s, t) \sim s^{\alpha(t)} \tag{2.6.12}$$

for large s and fixed t, and also

(7) Duality, i.e.,

$$A(s, t) = \sum_J \frac{c_J(t)}{s - M_J^2} = \sum_J \frac{c_J(s)}{t - M_J^2}. \tag{2.6.13}$$

The list of "axioms" for the hadronic S-matrix was so large that physicists were pessimistic that they could ever be satisfied. Then, when the Euler Beta function was accidentally discovered while thumbing through a math book, these two young physicists were surprised that this analytic function satisfied *all but one* of these axioms! For example, Regge behavior can be shown by using Sterling's approximation on the Γ function:

$$\Gamma(x) \approx \sqrt{2\pi}\,\frac{x^x}{\sqrt{x}}e^{-x}. \tag{2.6.14}$$

Duality can also be shown by evaluating the poles of the integrand near the limits of integration $x = 0$ and $x = 1$:

$$A(s, t) \sim \frac{1}{n!}\,\frac{(\alpha(t)+1)(\alpha(t)+2)\cdots(\alpha(t)+n)}{\alpha(s) - n} \tag{2.6.15}$$

A similar expression exists for the t-channel poles. In fact, all the postulates but the first, unitarity, can be satisfied. (Unitarity is violated for the simple reason that the analytic structure of the amplitude is a series of poles in the s- and t-plane. A true unitary amplitude, however, should also have imaginary parts instead of poles and cuts along the real axis, as we shall see in Chapter 5).

Using operator methods, we can now solve for the N-point function.

where the classical solution is determined via the Green's function for Laplace's equation on the upper half-plane:

$$X_{\mu,\text{classical}} = -i\alpha' \int G(z,z')J(z')\,dz'$$
$$G(z,z') = \log|z-z'| + \log|z-z^{*\prime}| \tag{21.58}$$

(This Neumann function is easily calculated by the method of images. The electrostatic potential at a point z in the upper half-plane is the sum of the contributions from a point charge placed at z' and also the image charge placed in the lower half-plane at $z^{*\prime}$.)

With this Neumann function, the Gaussian integral can be performed, leaving us with the N-point tree amplitude[10–14]:

$$A_N = \int \prod_{i=3}^{N-1} dz_i \prod_{2\le i<j\le N} |z_i - z_j|^{-k_i k_j} \tag{21.59}$$

where the z_i are on the real axis and obey: $\infty = z_1 > z_2 = 1 \ge z_3 \cdots z_{N-1} \ge z_N = 0$. This is the scattering amplitude that describes the scattering of N tachyons.

For $N = 4$, this expression reduces down to the celebrated Veneziano formula:[15,16]

$$B_4(s,t) = \int_0^1 dx\, x^{-s/2-2}(1-x)^{-t/2-2} = \frac{\Gamma(-\alpha(s))\Gamma(-\alpha(t))}{\Gamma(-\alpha(s)-\alpha(t))} \tag{21.60}$$

where $\alpha(s) = 1 + \frac{1}{2}s$, $\alpha(t) = 1 + \frac{1}{2}t$, $s = (k_1+k_2)^2$, and $t = (k_2+k_3)^2$.

The accidental discovery of this formula in 1968 by Veneziano and Suzuki, who were trying to describe the scattering matrix for hadronic interactions, marked the birth of what eventually became superstring theory. (They were originally trying to find a formula for the scattering of pions, using S matrix theory and finite-energy sum rules, when they stumbled across the Euler beta function, which satisfied almost all the properties of the S matrix except unitarity.)

In practice, it is often more convenient to work with the operator formalism. To convert the path integral to the operator formalism, we need to make the transition from the Lagrangian formalism to the Hamiltonian formalism on the world-sheet. Then the path integral will be defined in terms of X^μ as well as its conjugate momentum P^μ, which is an operator. This transition is easily done, since the Lagrangian describes an infinite set of noninteracting harmonic oscillators.

When we make the transition to the Hamiltonian formalism, the vertex $e^{ik\cdot X}$ appearing in the path integral now becomes the operator expression:

$$V(k) =: e^{ik_\mu X^\mu} := \exp\left(k\cdot\sum_{n=1}^{\infty}\frac{\alpha_{-n}}{n}\right)\exp\left(-k\cdot\sum_{n=1}^{\infty}\frac{\alpha_n}{n}\right)e^{ik\cdot x} \tag{21.61}$$

(We must normal order this vertex. This is because in the path integral for the N-point function we deleted the sum over $i = j$, which diverges. To eliminate this divergent quantity in the operator formalism, we normal order the oscillators.)

In the Hamiltonian formalism, the transition element between two string states is given by $\langle X|e^{iTH}|X'\rangle$. If we make a Wick rotation, then the integrated propagator between two states becomes:

$$D = \int_0^\infty e^{-\tau(L_0-1)}d\tau = \frac{1}{L_0-1} \tag{21.62}$$

sandwiched between any two string states. The Hamiltonian on the world-sheet is given by $L_0 - 1$.

For the path integral describing the N-point amplitude, the transition to the Hamiltonian formalism gives us an expression for the N-point function[17]:

$$A_N = \langle 0,k_1|V(k_2)DV(k_3)\cdots V(k_{N-1})|0,k_N\rangle \tag{21.63}$$

where $|0,k\rangle = |0\rangle e^{ik\cdot x}$, where x^μ is the center-of-mass variable describing X^μ. To contract these oscillators, which are all written in terms of exponentials, we use the coherent state formalism. We define a coherent state by:

$$|\lambda\rangle \equiv \sum_{n=0}^{\infty}\frac{\lambda^n}{n!}(a^\dagger)^n|0\rangle = e^{\lambda a^\dagger}|0\rangle \tag{21.64}$$

Then we have the identities:

$$\langle\mu|\lambda\rangle = e^{\mu^*\lambda}$$
$$x^{a^\dagger a}|\lambda\rangle = |x\lambda\rangle$$
$$e^{\mu a^\dagger}|\lambda\rangle = |\lambda+\mu\rangle \tag{21.65}$$

By contracting the oscillators, we reproduce the N-point amplitude in Eq. (21.59), as desired.

From a physical point of view, the more interesting theory is the closed string theory, which includes Einstein's theory of general relativity as a subset. Closed strings can also be quantized in much the same way. The only major difference mathematically is that the closed string contains two independent sets of oscillators, not just one.

We can decompose the string variable in terms of two sets of commuting harmonic oscillators:

$$X_\mu(\sigma) = x_\mu + \left(\frac{\alpha'}{2}\right)^{1/2}\sum_{n=1}^{\infty}\frac{1}{\sqrt{n}}\left(a_n e^{-in\sigma} + \tilde{a}_n e^{in\sigma}\right.$$

Planck units

EDIT

Planck units represent physical constants which are theoretical limits at the quantum level, which is the fabric of reality manipulated by Type Omega-minus. Quantum fluctuations exceeding these limits could break down the fabric of spacetime and reality and create rifts into other realms or dimensions.

At Planck scales, the strength of gravity becomes comparable with the other forces, and the fundamental forces are unified. String theory was the early approach to realize the Theory of Everything.

The scale was created by Max Planck in 1906, constructed solely out of the three fundamental constants:

Speed of light	c = 299792458 ms^{-1}
Gravitational constant	G = 6.673(10) x 10^{-11} m^3 kg^{-1} s^{-2}
Plank's constant	= $h/2\pi$ = 1.054571596(82) x 10^{-34} kg m^2 s^{-1}

Unit	Scale	Comment
Planck length	1.616 x 10^{-35} m	If a particle or dot about 0.1 mm in size (the diameter of human hair) were magnified in size to be as large as the universe, then inside that universe-sized dot, the Planck length would be roughly the size of an 0.1 mm dot. In other words, it would take more Planck lengths to span a grain of sand than it would take grains of sand to span the observable universe.
Planck mass	2.176 x 10^{-8} kg	An object of such mass would be a quantum black hole created at Planck time, with a Schwarzschild diameter of Planck length. This paper attempts to explain why the Planck mass is so large compared to other fundamental particles. Each time the indivisible particles that make an electron (for example) have traveled the reduced Compton wavelength of the electron, they counter-strike. The electron is therefore in a mass state only a fraction of the time. This is why the Planck mass can be so enormous compared to the electron rest-mass and still make up the electron as well as any other subatomic particle. The number of uncertain transitions
Planck time	5.391 x 10^{-44} s	In the Big Bang, the **Planck epoch** or **Planck era** is the earliest stage before the time passed was approximately 10^{-43} seconds.
Planck temperature	1.417 x 10^{32} K (kelvin)	It's a billion billion times the highest natural temperatures in the current universe, found in gamma-ray bursts and quasars. This is *absolute hot*, conceived as an opposite to absolute zero. Everything 5×10^{-44} seconds after the Big Bang. Kugelblitzes.
Planck area	10^{-70} m^2	Planck length squared. According to the Bekenstein bound, the entropy of a black hole is proportional to the number of Planck areas that it would take to cover the black hole's event horizon.
Planck volume	10^{-105} m^3	Planck length cubed. A quantum black hole is contained within a Planck volume. There are about 10^{186} Planck volumes in the universe.
Planck energy	10^{9} J (joules)	A quantum black hole must have Planck mass and Planck energy such that its escape velocity exceeds the speed of light.
Planck energy density	10^{-29} g/cm^3	Analogous to Planck's law which describes the spectral density of electromagnetic radiation emitted by a black body.
Planck charge	10^{-18} C (coulombs)	The electric potential energy of one Planck charge on the surface of a sphere that is one Planck length in diameter is one Planck energy,
Planck force	10^{44} N (newtons)	The amount of force required to accelerate one Planck mass by one Planck acceleration

Planck mass	2.176 x 10^{-8} kg	particles. Each time the indivisible particles that make an electron (for example) have traveled the reduced Compton wavelength of the electron, they counter-strike. The electron is therefore in a mass state only a fraction of the time. This is why the Planck mass can be so enormous compared to the electron rest-mass and still make up the electron as well as any other subatomic particle. The number of uncertain transitions between mass and energy for an electron is 7.76 x 10^{20} times per second. An electron is only 9.109 x 10^{-31} kg, or 2.389x10^{22} particles per Planck mass.
Planck time	5.391 x 10^{-44} s	In the Big Bang, the **Planck epoch** or **Planck era** is the earliest stage before the time passed was approximately 10^{-43} seconds.
Planck temperature	1.417 x 10^{32} K (kelvin)	It's a billion billion times the highest natural temperatures in the current universe, found in gamma-ray bursts and quasars. This is *absolute hot*, conceived as an opposite to absolute zero. Everything 5×10^{-44} seconds after the Big Bang. Kugelblitzes.
Planck area	10^{-70} m^2	Planck length squared. According to the Bekenstein bound, the entropy of a black hole is proportional to the number of Planck areas that it would take to cover the black hole's event horizon.
Planck volume	10^{-105} m^3	Planck length cubed. A quantum black hole is contained within a Planck volume. There are about 10^{186} Planck volumes in the universe.
Planck energy	10^{9} J (joules)	A quantum black hole must have Planck mass and Planck energy such that its escape velocity exceeds the speed of light.
Planck energy density	10^{-29} g/cm^3	Analogous to Planck's law which describes the spectral density of electromagnetic radiation emitted by a black body.
Planck charge	10^{-18} C (coulombs)	The electric potential energy of one Planck charge on the surface of a sphere that is one Planck length in diameter is one Planck energy,
Planck force	10^{44} N (newtons)	The amount of force required to accelerate one Planck mass by one Planck acceleration
		after the Big Bang. Kugelblitzes.
Planck area	10^{-70} m^2	Planck length squared. According to the Bekenstein bound, the entropy of a black hole is proportional to the number of Planck areas that it would take to cover the black hole's event horizon.
Planck volume	10^{-105} m^3	Planck length cubed. A quantum black hole is contained within a Planck volume. There are about 10^{186} Planck volumes in the universe.
Planck energy	10^{9} J (joules)	A quantum black hole must have Planck mass and Planck energy such that its escape velocity exceeds the speed of light.
Planck energy density	10^{-29} g/cm^3	Analogous to Planck's law which describes the spectral density of electromagnetic radiation emitted by a black body.
Planck charge	10^{-18} C (coulombs)	The electric potential energy of one Planck charge on the surface of a sphere that is one Planck length in diameter is one Planck energy,
Planck force	10^{44} N (newtons)	The amount of force required to accelerate one Planck mass by one Planck acceleration
Planck density	10^{96} kg/m^3	Equivalent to the mass of the universe packed into the volume of a single atomic nucleus.
Planck pressure	10^{113} Pa (pascals)	Equal to one Planck force in one Planck area. It is the gravitational force of attraction between two equal sized universes all concentrated on one fourth of Planck Area.
Planck acceleration	10^{51} m/s^2	The acceleration due to gravity at the surface of a Planck mass or quantum black hole.
Planck frequency	10^{43} /s	Upper bound for the frequency (vibrations per second) of an electromagnetic wave.

Categories

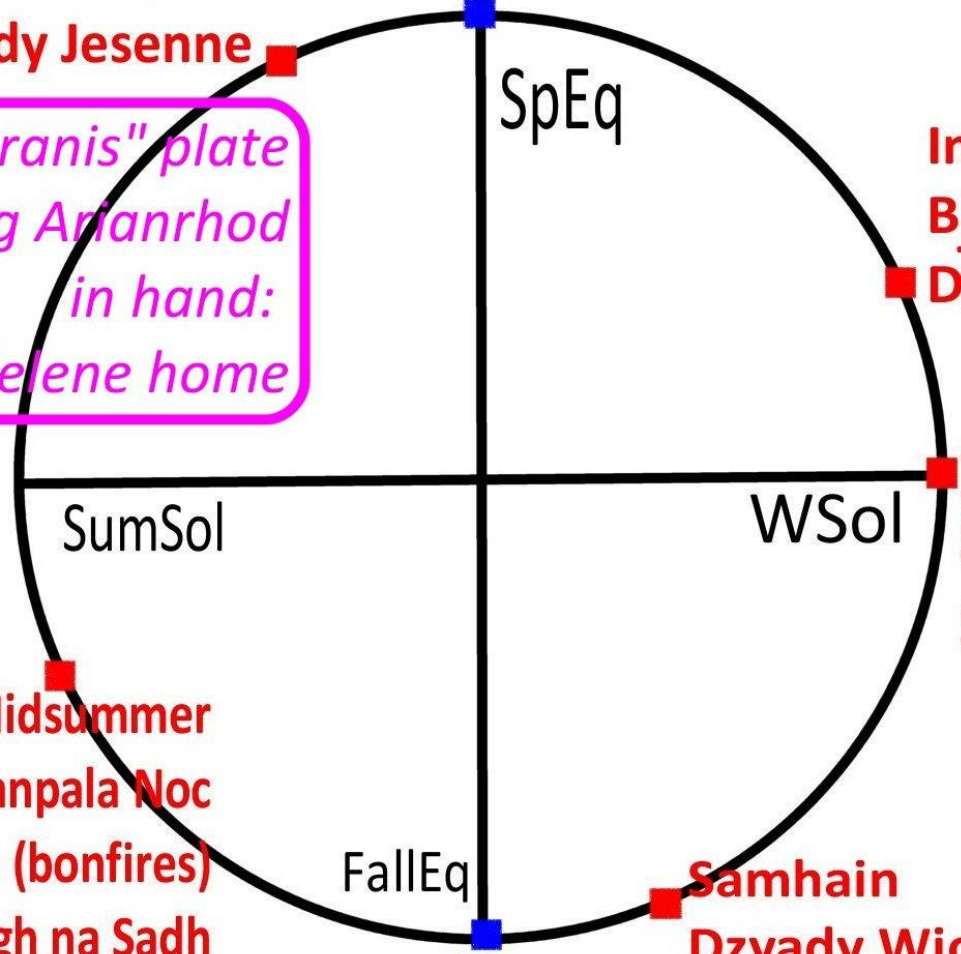

Beltane
Ôstarâ
Dzyady Jesenne

"Taranis" plate holding Arianrhod in hand: return of Helene home

"Lakshmi" plate holding thunderbolts in hand

Imbolc
Bhride Day
Dyady Gromniczna

12Weihnachten
Saturnalia
Slava Kolyada

Cu C'hulain plate of Renascence Grail

Midsummer
Kupala/Kanpala Noc
Sobotka (bonfires)
Lugh na Sadh

Lugh Keraunos plate holding Arianrhod and "Veles" in hand

Samhain
Dzyady Wiosenne
All Hallow'd Ev'n

Three Unicorns and their "blot" for "Blotmonat"

GT 2018.1.9

Kelt and Slava critical dates of year

geromschweisthal

Savez-vous que les femmes Keltes avaient le droit d'avoir des amants ?

Et de divorcer ?

Et d'être propriétaires de leurs biens ?

Et de faire la guerre ?

Le système social Kelt était probablement matrilinéaire, comme la légende de la ville d'Ys et celle de la reine Gwenhwyfar, Guenevere, le montrent. L'extension aux autres peuples Indo-européens ne m'est pas connue. Tout cela a disparu grâce aux invasions de ces connards de Romains....

GT

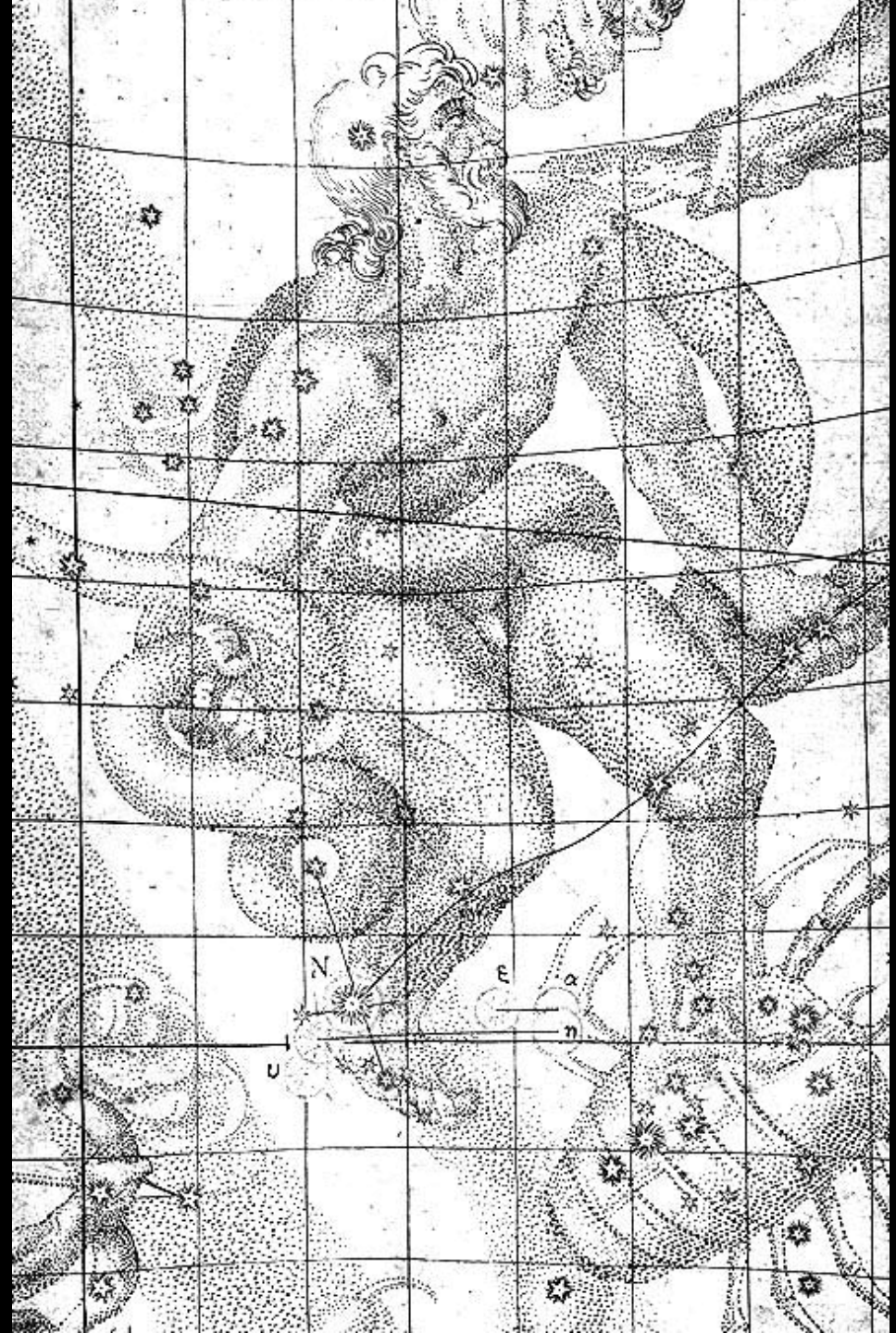
N
ε
α
η
υ

assive bosons
integer spin)

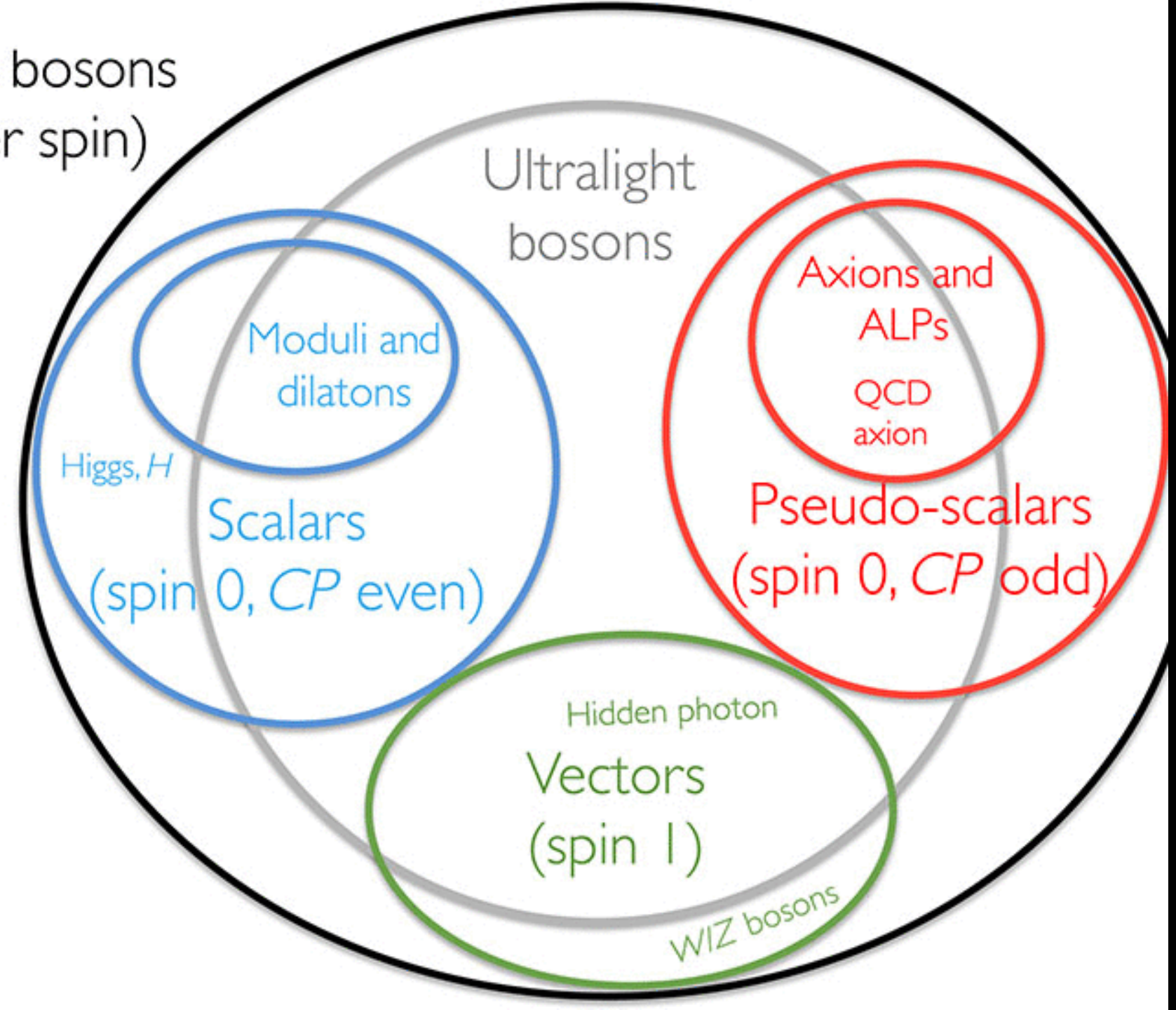

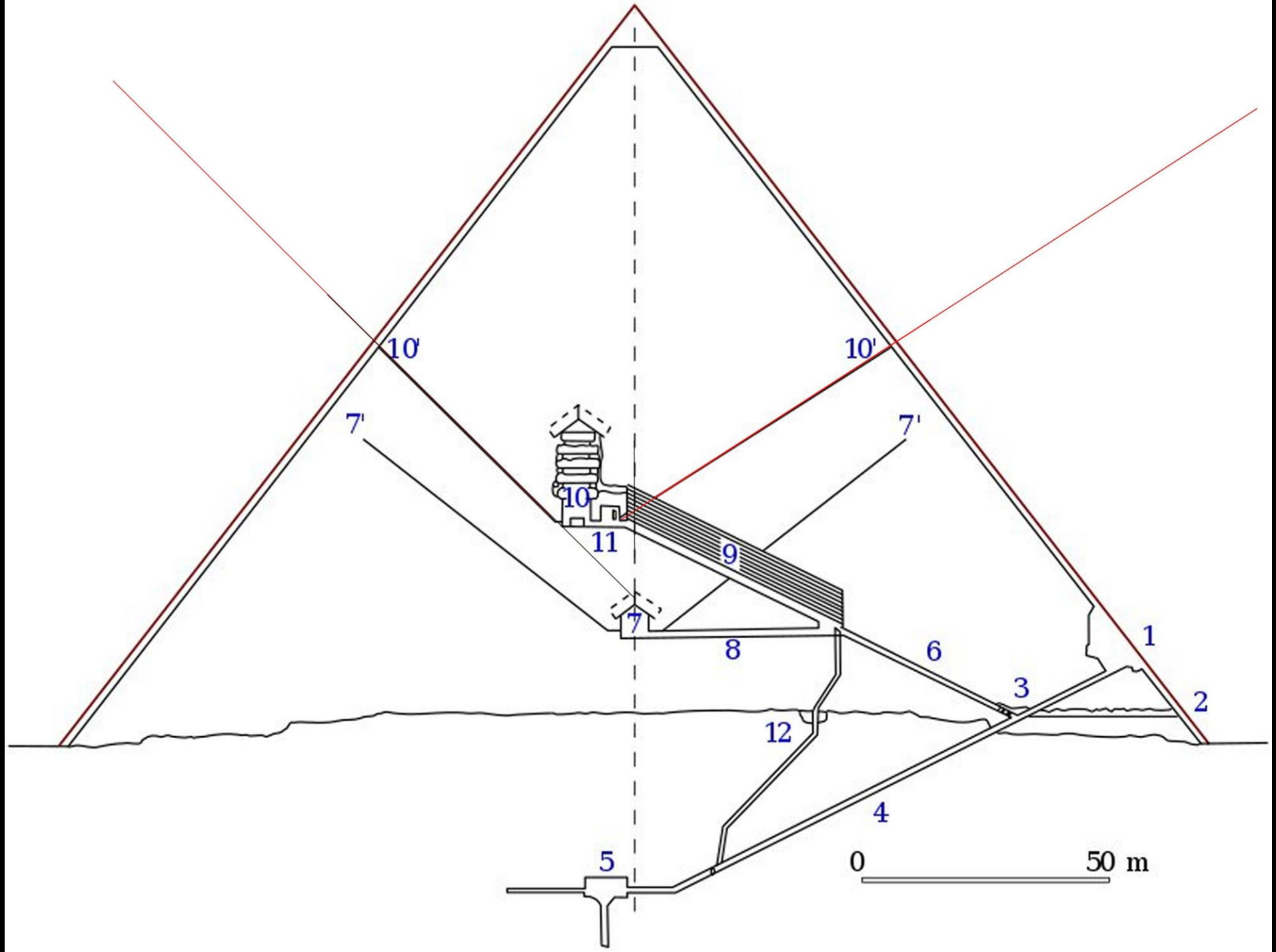
10'
10'
7'
7'
10
11
9
7
8
6
1
3
2
12
4
5
0
50 m

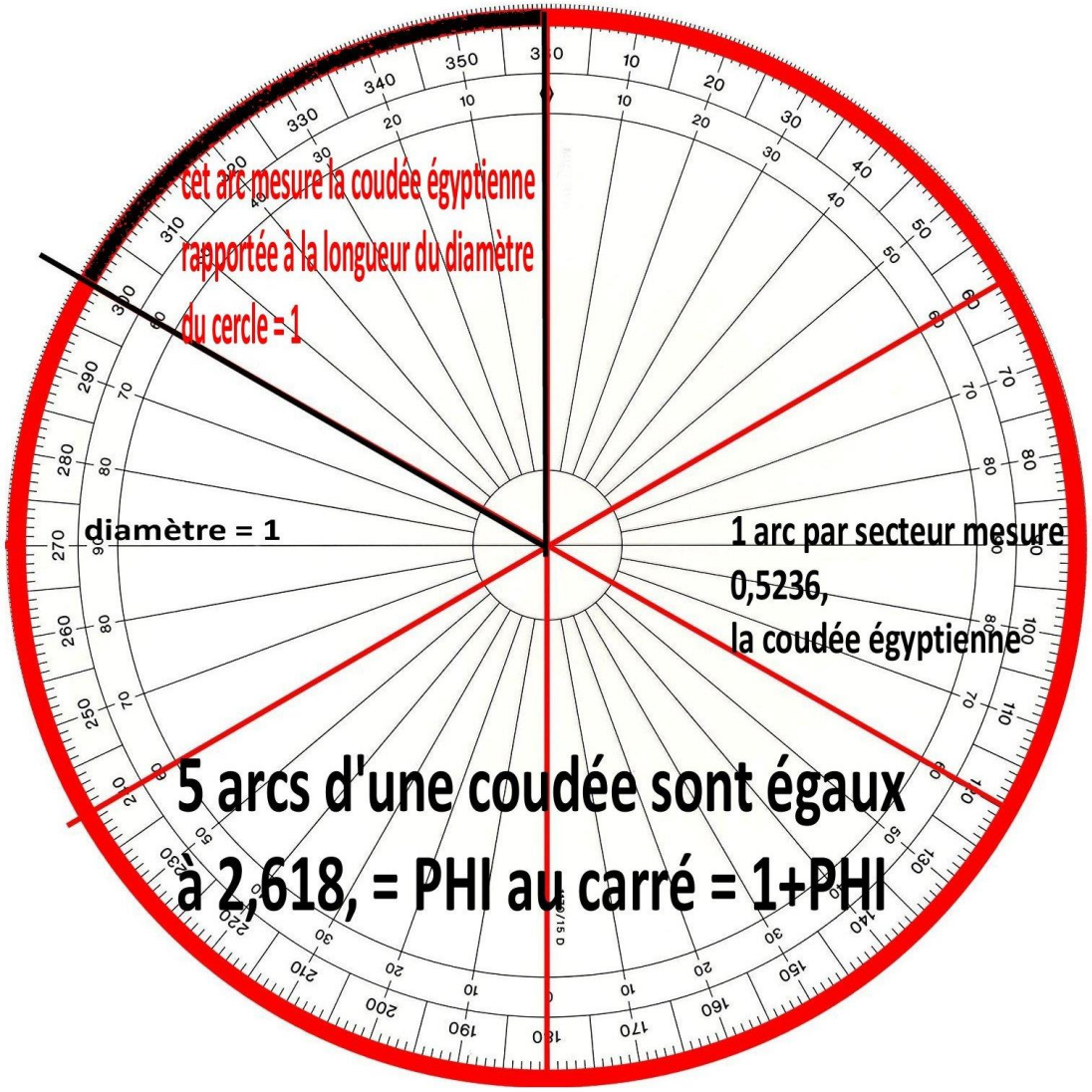

Cette division du cercle en 6 révèle les progrès considérables accomplis par l'architecte de Khéops.

*diamètre du cercle = 1

*périmètre du cercle = PI = 3,1416

*1 arc = 0,5236, coudée

*5 arcs = PHI^2 = 1+PHI = 2,618

L'architecte connaît PI, PHI et K.

En théorie des cordes, le champ de Kalb-Ramond se traduit à basse énergie par l'axion, constituant candidat au rôle de matière sombre. Il existe deux axions.

Le candidat à l'expansion de l'univers est le dilaton, couplé au graviton. GT

LLAN THELLO

Comme vous le savez sans doute, l'arrivée de Thello en Bretagne de son pays de Wale, le pays des baleines, aboutit à un culte du saint local, dont dérive le nom de votre village, puisque Llan, en Galois, signifie « Église ». Le village est donc le « siège de Thello », -Landeleau.

Laws of physics are the same in any inertial frame.

Speed of light is the same in any inertial frame

Inertial mass is equivalent to gravitational mass

Laws of physics are invariant (covariant) under GCT (general coordinate transformations) (Principle of general covariance).

By no means those principles allow for a deduction of gravity, but only of general relativity.

The same for expansion of universe or dark energy.

They cannot generate the path of light in Michelson-Morley experiment, neither Bohm-Aharonov effect.

They don't generate either the principle of quantum mechanics, Heisenberg principle.

LEPTONS, CORDE FERMÉE ET REPÈRE DES CORDES

Gérôme Taillandier

Concernant les mésons, la structure du gluon ne pose aucun problème, puisque c'est à ce propos que la théorie des cordes a été inventée : Le méson est une corde fermée dont les modes L et R définissent leur charge de Chan-Paton : les quarks.

Si la durée de vie des mésons est brève, c'est qu'ils sont en liaison avec un autre méson du vide avec lequel ils forment un tétraquark.

Concernant les leptons, nous avons un problème plus excitant : pourquoi les leptons ne sont-ils pas constitués de DEUX charges, et pourquoi leur charge est-elle L et non R ?

A cela, la réponse est simple : les leptons sont observables dans le repère des cordes, tandis que leur anti-lepton n'est observable que dans le repère d'Einstein, celui dans lequel l'antimatière est visible, tandis que la matière ne l'est pas. Voyez le schéma de Gasperini-Veneziano !

En conséquence, à la différence des autres partons les leptons et anti-leptons sont reliés par un twist de Möbius, ils ne sont observables ensemble que sur un orientifold. Bien sûr, leur corde fermée est soumise à ce twist.

Il faudrait expliquer pourquoi cela implique que les leptons ne sont observables que par leur charge électrique, tandis que leur charge de couleur est non-observable.

2023 5 23

J'arrive aux valeurs positives de toutes ces mesures, valeurs qui dépendent de celle de la coudée, qui en est le fondement.

Le module de cette dernière unité, de cette unité radicale, a été déterminé avec toute la précision désirable, par plusieurs moyens, tous indépendants les uns des autres.

1° Sans autre secours que les auteurs anciens, et en partant de la moyenne des mesures romaines, j'avais trouvé que la coudée égyptienne devait valoir . . . . . $0^m, 5302$[2].

2° La coudée du Nilomètre, mesurée exactement par les savants français, a été trouvée de $0^m, 5273$[3]; [mais les divers étalons de la coudée aujourd'hui connus, employés concurremment avec la coudée du Nilomètre, ont donné pour moyenne . . . . . $0^m, 5254$[4];]

Terme moyen . . . . . $0, 5275$.

3° La valeur de la coudée du Nilomètre a été confirmée par l'application qu'en a faite M. Girard à la grandeur de la base de la pyramide de Chéops[5].

Ces mesures confirment que Pi n'est pas = 3, mais au moins 3,14 GT

[1] *Supra*, p. 170. — [2] *Supra*, p. 108. — [3] *Supra*, p. 114. — [4] *Supra*, p. 116. — [5] *Supra*, p. 114.

LETRONNE

Bonjour les piles au lithium!

Bienvenue en enfer,

les piles au lithium!

Vous n'avez encore rien vu!

Soit c = 1

L et t longueur et temps propres

L’ et t’ longueur et temps impropres.

Alors

$$t' > t$$

$$L' < L$$

James-Webb Deep Field image
and the same spot as seen
from a trick on JW, showing
Dark Matter in the center
of Local Cluster.
you can look for the six-pointed
"star", which is the same galaxy
on both images.

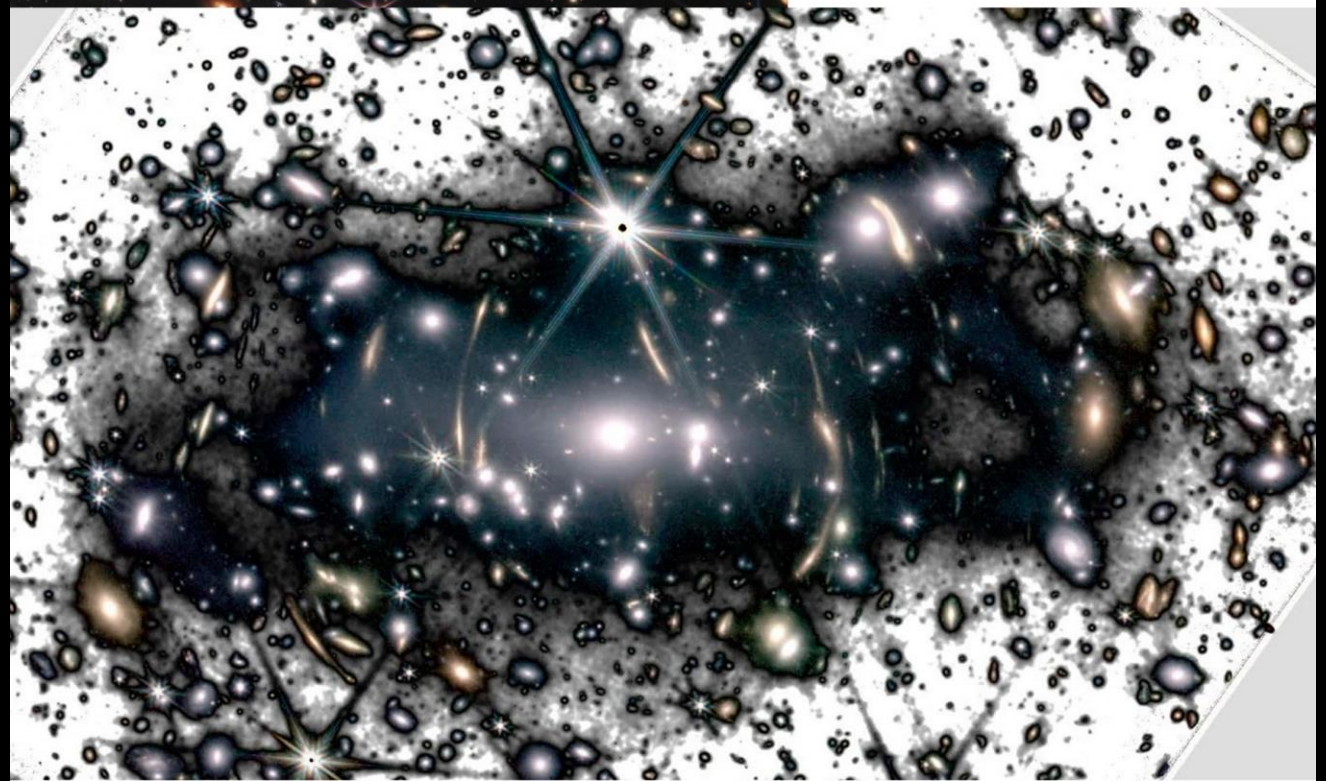

LOI DE POISSON CONTINUE

COURBE DE PROPAGATION ÉPIDÉMIQUE

$$P(k) = (e^{-\lambda}).\lambda^{k}.[\Gamma(k+1)]^{-1},$$

avec k Appartenant à **R.**

LOI DE POISSON CONTINUE

COURBE DE PROPAGATION ÉPIDÉMIQUE

$$P(k) = (e^{-\lambda}).\lambda^{k}.[\Gamma(k+1)]^{-1},$$

avec k Appartenant à **R**.

avec :

$$\Gamma(n+1) = n!$$

$$\Gamma(z) = \int_0^{+\infty} t^{z-1} e^{-t}\,dt\,,$$

z complexe.

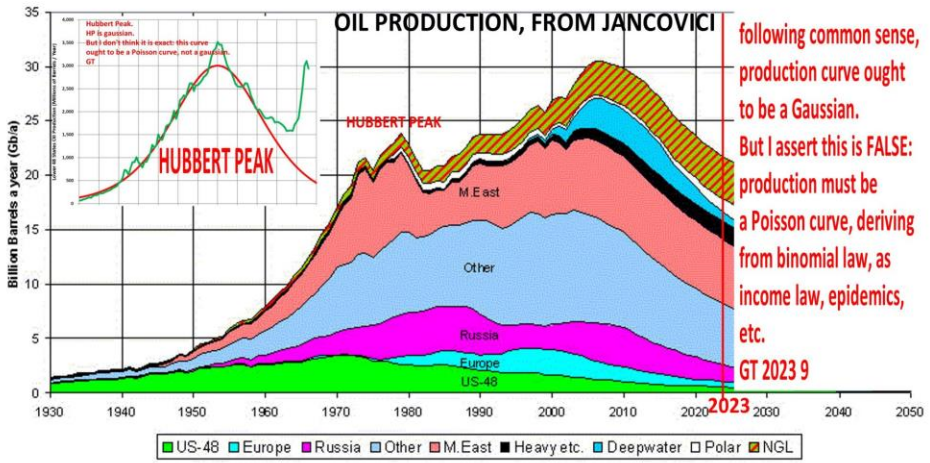

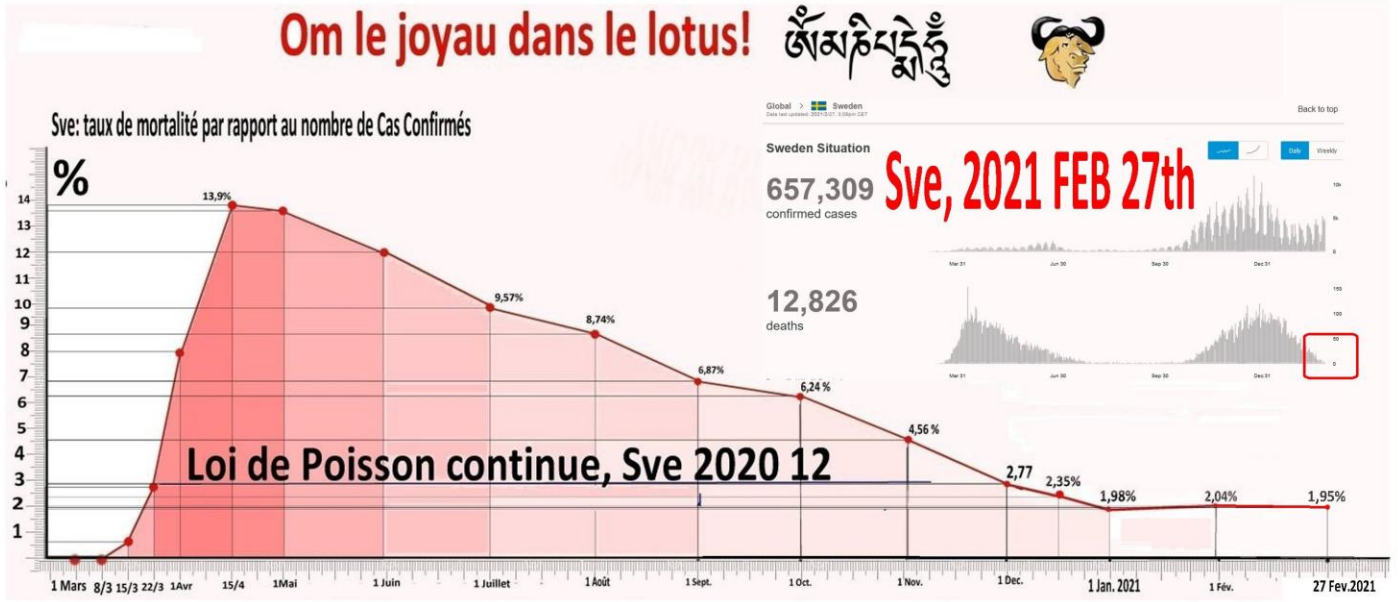

Proposition 4:

Les lois de la physique sont les mêmes dans tout repère invariant par une transformation qui conserve le cross-ratio (ABCD) = -1

Moshe is of course completely right, but let me be a bit less abstract for a while and list a few examples that cover most of the contexts where the term "zero mode" is used.

When one discusses the motion of an extended object, such as the string, the position of a point along the string - the point is parameterized by σ- is $X\mu(\sigma)$. The "zero mode" of X is then nothing else than the average over the string - the center-of-mass coordinate.

The dual quantity is the "zero mode" of the momentum - the integral of $P\mu(\sigma)$: **that's nothing else than the total momentum. These two zero modes, the center-of-mass position and the total momentum, are the quantities we would normally associate with a point-like particle. And indeed, in some approximation, the string may be considered to be a particle, and the zero modes are the usual properties of the particle.**

If one solves differential equations on compact manifolds, such as the Calabi-Yau manifolds, one may find zero modes, too. For example, we may have a Dirac equation

$D\mu\gamma\mu\psi(x1,...,x6)=0$

The solutions ψ to this massless Dirac equations are just zero modes. The equation above only included functions of the compact coordinates. But if you consider both 6 compact and the 3+1 non-compact coordinates, one may consider spinors ψwhose dependence on the 6 compact coordinates is given by the "zero mode" - the solution of the equation above. Such a

geromschweisthal

Qui dit macronisation dit Retraite à points.

Qui dit macronisation dit Retraite à points.

Qui dit Retraite à point dit fin des retraites par répartition.

Qui dit points dit Plus de retraites pour les riches que pour les pauvres.

Qui dit points dit Fonds de pension et capitaux investis aux Îles Vierges.

Qui dit points dit capital financier sans contrôle des usagers.

Qui dit points dit accroissement de l'inégalité sociale.

Qui dit points dit domination des banques sur l'état et le peuple.

Quand vous aurez votre retraite à points, vous aurez un bel avant-bras enfoncé dans le cul jusqu'à la garde.

Cherchez son propriétaire.

#macron #vaccin

Le moment où Macron a dit vouloir «emmerder» les non-vaccinés, raconté par notre journaliste

28 937 vues • 5 janv. 2022

1,1 K JE N'AIME PAS PARTAGER ENREGISTRER

700 k abonnés

S'ABONNE

Dans un entretien accordé aux lecteurs du Parisien, le président de la République a usé de mots très forts pour dénoncer « l'irresponsabilité » des antivax. Pauline Théveniaud, journaliste au Parisien, a assisté à cet échange. Elle nous raconte le contexte dans lequel a été prononcée cette

PLUS

702 commentaires

TRIER PAR

G Ajouter un commentaire public...

G **Gérôme Taillandier** il y a 0 seconde

Emmerder, enculer, M. O'Macron connaît bien. Il passe son temps à ça. Demandez aux ouvriers d'Alsthom-Moteurs: tous enculés d'un seul coup!

Toutes les algèbres de Clifford sont isomorphes aux 8 premières d'entre elles modulo 8. C'est pourquoi le nombre maximal de spineurs majorana dans une théorie supersymétrique est égal à 8. Chiche ? GT

Si nous considérons le cône de lumière de l'espace-temps supersymétrique, nous savons que la variété-drapeau définie sur le cône de lumière a une structure de spineur, puisque le circuit exige 4 Pi pour se boucler.

Donc le passage de la corde bosonique à la supersymétrie engendre la compactification sur le cône de 2 x 8 dimensions qui sont celles de 8 fermions majorana engendrés par la réduction de dimensions. Il n'est pas nécessaire d'ajouter les majoranas à la main. GT

String theory in D = 10 is conformal invariant. Hence it has NO mass. Gravitation and mass appear as a result of 11th dimension in SUGRA. Mass is a symmetry breaking of string theory. What does cause that, exactly ?

GT 2021 11 13

Suspects in the 60 deadliest mass shootings of 2022
All mass shootings with 3 or more fatalities

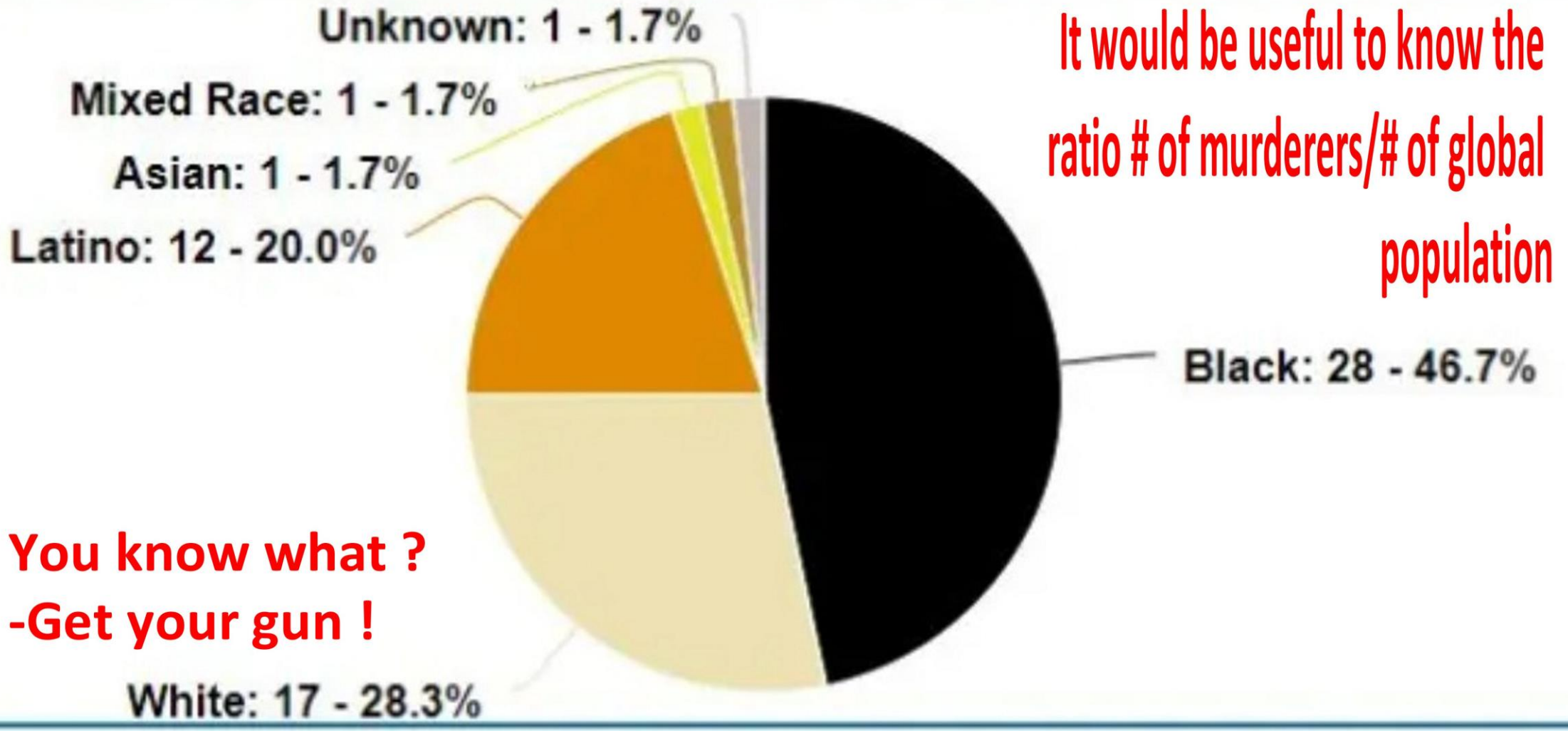

It would be useful to know the ratio # of murderers/# of global population

You know what ?
-Get your gun !

"Une particule d'antimatière est une particule de matière qui remonte le cours du temps" (Feynman)

Alice est de l'autre côté du miroir : elle remonte le cours du temps, ou descend le cours de l'antitemps. Attention au retour, qui est sportif !

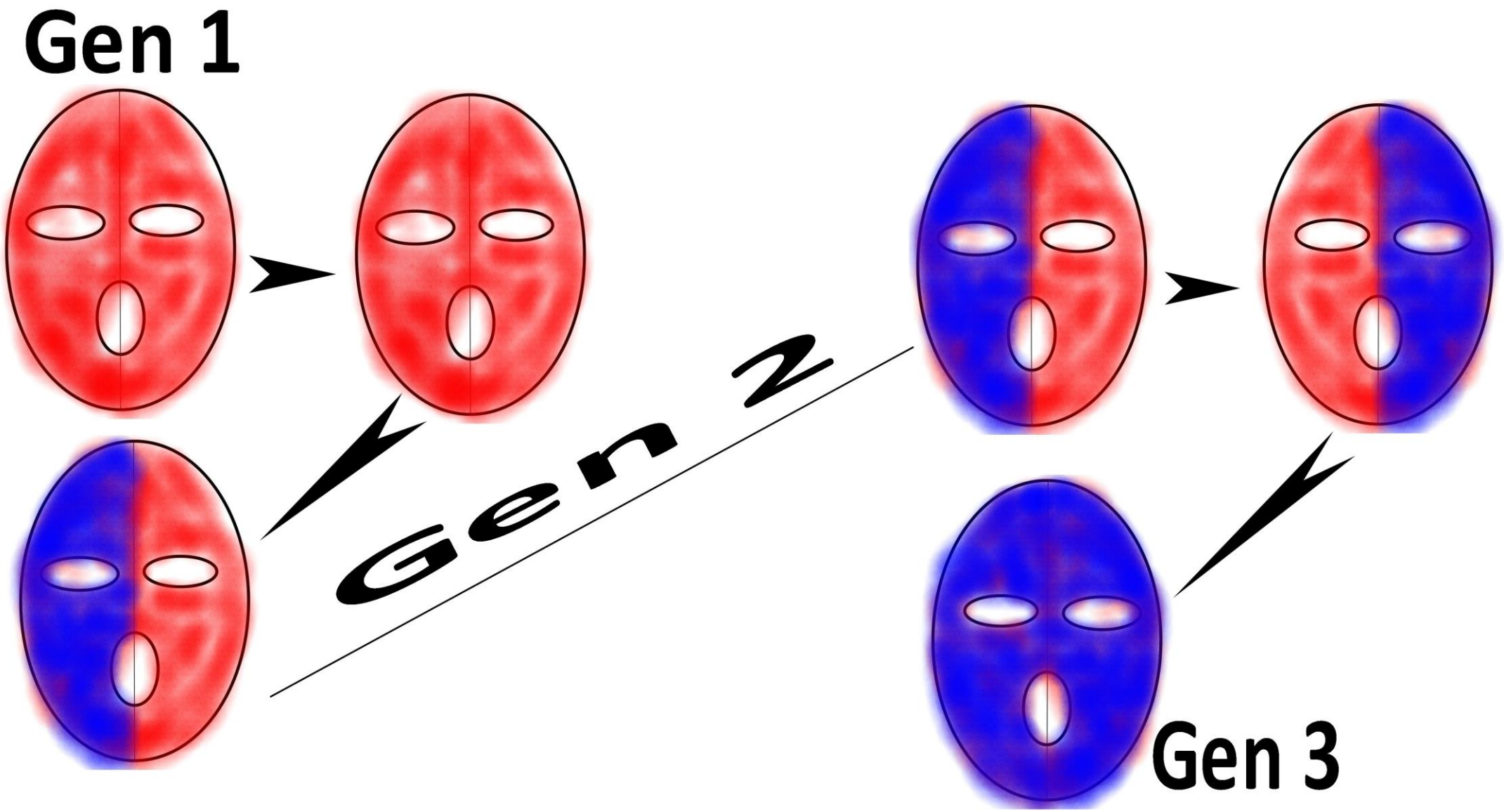

2 applications de la matrice symplectique produisent un changement de couleur des visages, en supposant que :
Bleu = contraire de Rouge

23 Ἐν ἐκείνῃ τῇ ἡμέρᾳ προσῆλθον αὐτῷ Σαδδουκαῖοι, λέγοντες μὴ εἶναι ἀνάστασιν, καὶ ἐπηρώτησαν αὐτὸν

24 λέγοντες· Διδάσκαλε, Μωϋσῆς εἶπεν· Ἐάν τις ἀποθάνῃ μὴ ἔχων τέκνα, ἐπιγαμβρεύσει ὁ ἀδελφὸς αὐτοῦ τὴν γυναῖκα αὐτοῦ καὶ ἀναστήσει σπέρμα τῷ ἀδελφῷ αὐτοῦ.

25 ἦσαν δὲ παρ’ ἡμῖν ἑπτὰ ἀδελφοί· καὶ ὁ πρῶτος γήμας ἐτελεύτησεν, καὶ μὴ ἔχων σπέρμα ἀφῆκεν τὴν γυναῖκα αὐτοῦ τῷ ἀδελφῷ αὐτοῦ·

26 ὁμοίως καὶ ὁ δεύτερος καὶ ὁ τρίτος, ἕως τῶν ἑπτά·

27 ὕστερον δὲ πάντων ἀπέθανεν ἡ γυνή.

28 ἐν τῇ ἀναστάσει οὖν τίνος τῶν ἑπτὰ ἔσται γυνή; πάντες γὰρ ἔσχον αὐτήν.

29 Ἀποκριθεὶς δὲ ὁ Ἰησοῦς εἶπεν αὐτοῖς· Πλανᾶσθε μὴ εἰδότες τὰς γραφὰς μηδὲ τὴν δύναμιν τοῦ θεοῦ·

30 ἐν γὰρ τῇ ἀναστάσει οὔτε γαμοῦσιν οὔτε γαμίζονται, ἀλλ’ ὡς ἄγγελοι θεοῦ ἐν τῷ οὐρανῷ εἰσιν·

31 περὶ δὲ τῆς ἀναστάσεως τῶν νεκρῶν οὐκ ἀνέγνωτε τὸ ῥηθὲν ὑμῖν ὑπὸ τοῦ θεοῦ λέγοντος·

32 Ἐγώ εἰμι ὁ θεὸς Ἀβραὰμ καὶ ὁ θεὸς Ἰσαὰκ καὶ ὁ θεὸς Ἰακώβ; οὐκ ἔστιν ὁ θεὸς νεκρῶν ἀλλὰ ζώντων.

33 καὶ ἀκούσαντες οἱ ὄχλοι ἐξεπλήσσοντο ἐπὶ τῇ διδαχῇ αὐτοῦ.

GT 2019.9.2

cycle 52

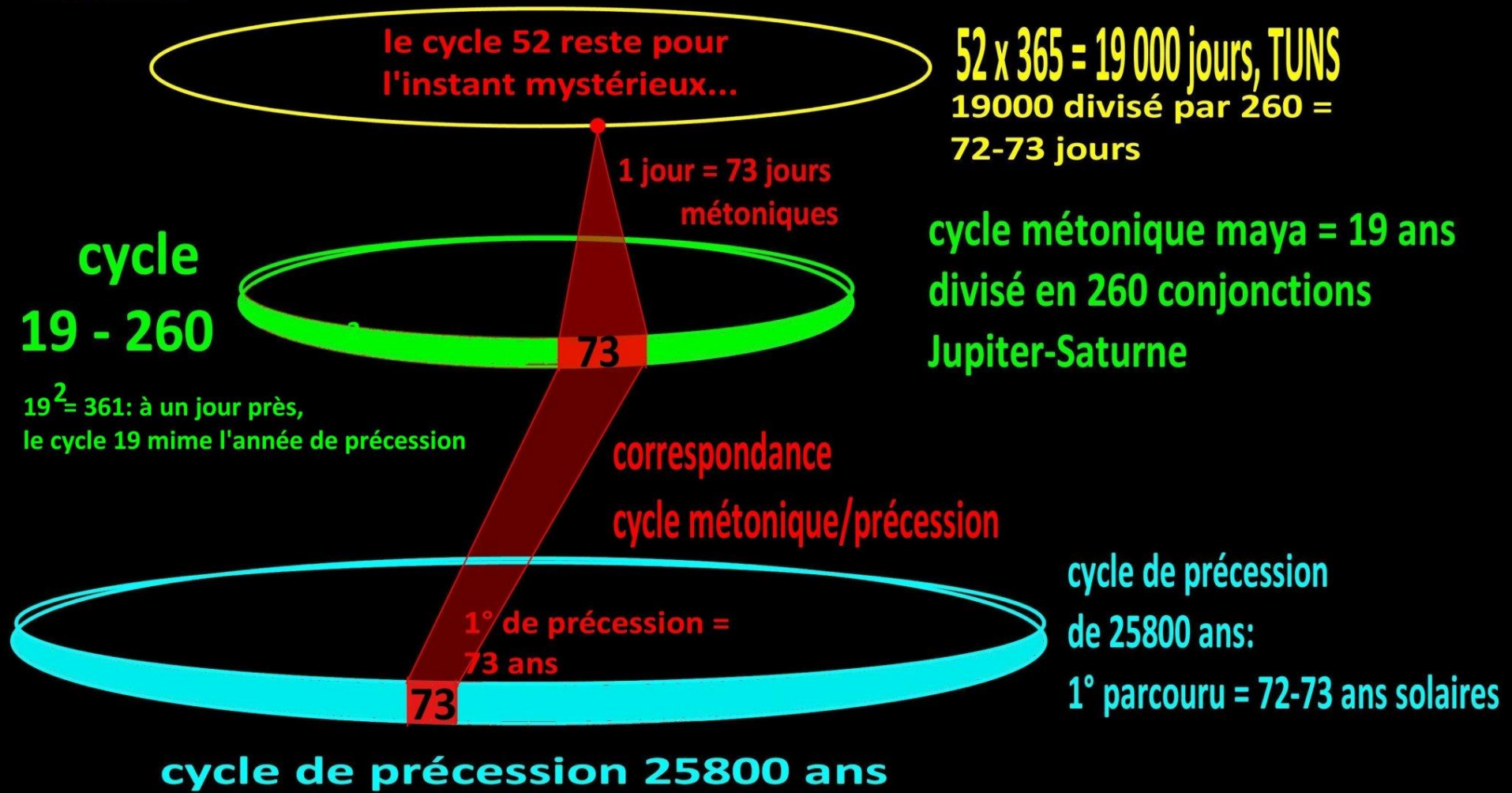

52 x 365 = 19 000 jours, TUNS

19000 divisé par 260 =
72-73 jours

cycle métonique maya = 19 ans
divisé en 260 conjonctions
Jupiter-Saturne

cycle
19 - 260

19^2 = 361: à un jour près,
le cycle 19 mime l'année de précession

cycle de précession
de 25800 ans:
1° parcouru = 72-73 ans solaires

cycle de précession 25800 ans

ASTRONOMIE MAYA: CORRESPONDANCE ENTRE CYCLE DE PRECESSION ET CYCLE METONIQUE PAR LES NOMBRES 52, 260, 19, 73

On appelle « Etoile Merkaba » un symbole bien connu dans certaines régions du Proche-Orient, et chez les alchimistes. Cependant, la connaissance qu'on a de cette étoile se limite à ses 6 sommets, puisque projetée sur un plan. On s'aperçoit bientôt que cette étoile est en fait l'intrication de deux tétraèdres par leur centre de gravité. Ainsi, toute la dimension 3 de cette étoile reste ignorée.

Supposons alors que nous décidons de transporter cette étoile dans un espace à 10 dimensions ? Que devient la figure géométrique ainsi conçue ? GT 2022 8

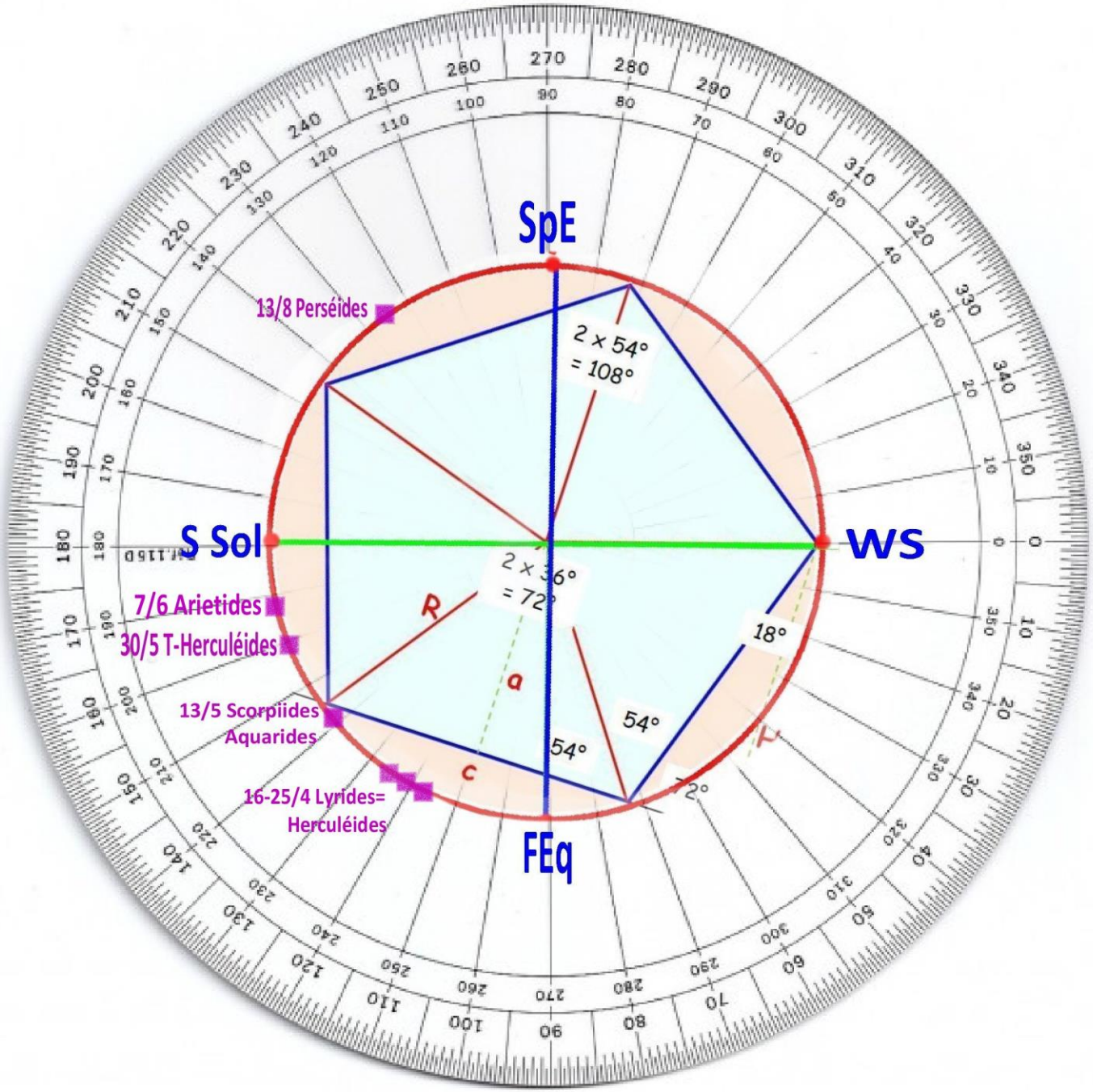
SpE
13/8 Perséides
2 x 54°
= 108°
S Sol
WS
2 x 36°
= 72°
R
7/6 Arietides
30/5 T-Herculéides
a
18°
13/5 Scorpiides
Aquarides
54°
54°
c
16-25/4 Lyrides=
Herculéides
FEq

A well regulated Militia, being necessary to the security of a free State, the right of the people to keep and bear Arms, shall not be infringed

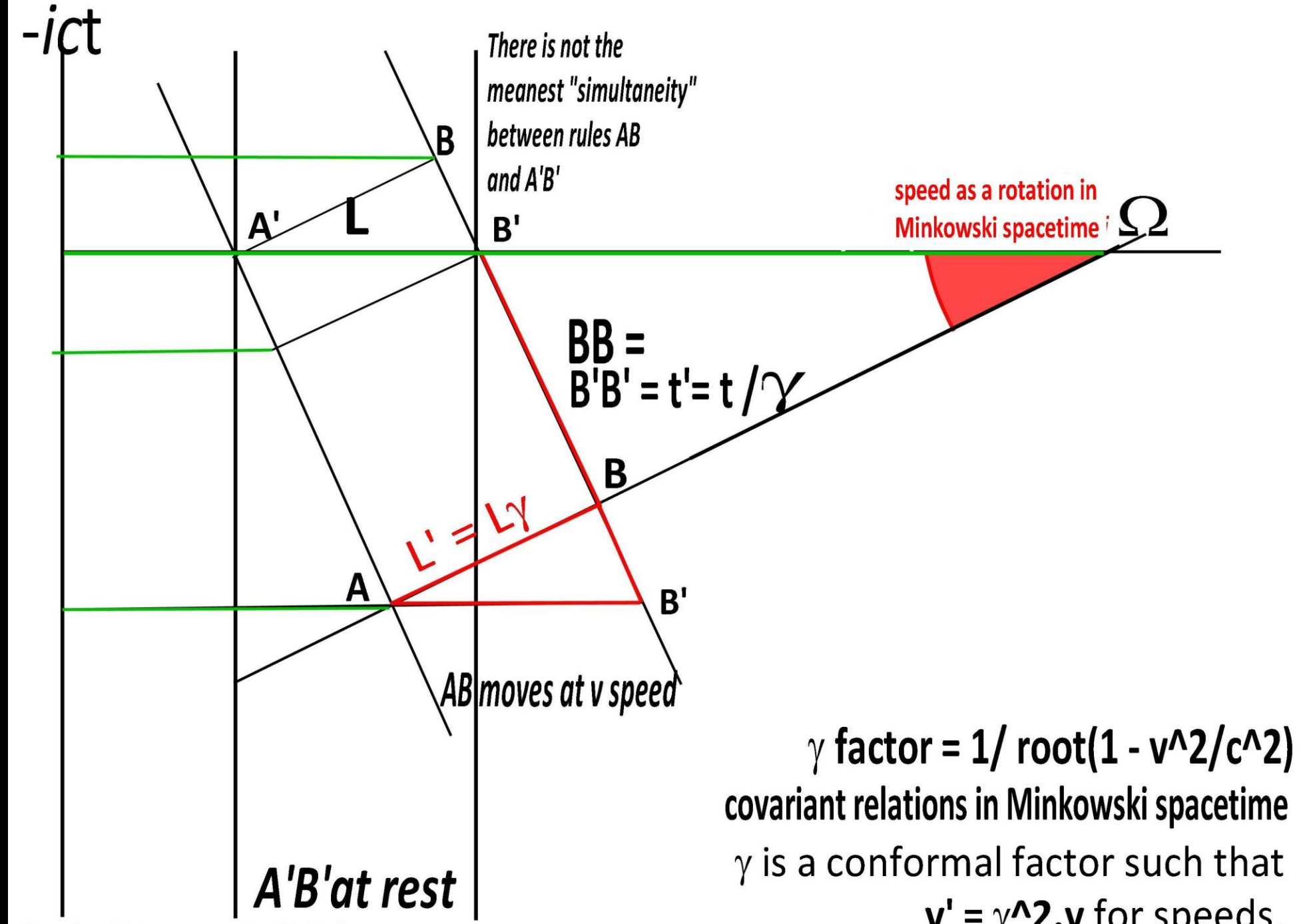

γ factor = 1/ root(1 - v^2/c^2)

covariant relations in Minkowski spacetime

γ is a conformal factor such that

v' = γ^2.v for speeds.

That's all home-made, Folks!

MON JOY:

latin Gaudium, neutre,

donc masculin en Français:

"MON JOY SAINT DENIS"

geromschweisthal

Détails de l'histoire: Mongols 1

Alors que les Mongols, après avoir envahi l'Inde et la Rus, avaient décidé d'envahir aussi l'Europe, ils firent le siège d'une ville oubliée. Mais celle-ci résista, et une épidémie de peste noire, endémique en Mongolie en raison du mode de vie local, se déclara dans les troupes mongoles. Ils levèrent le camp et décidèrent de faire un petit cadeau à leurs amis d'en face en leur balançant avec une catapulte un de leurs cadavres pestiféré.

En quelques années, l'Europe fut décimée et perdit la moitié de sa population par la peste.

Merci les Mongols!

Après ça on dira que les Européens ne sont pas gentils ...

geromschweisthal

Détails de l'histoire: Mongols, 2

Grâce à la Grande Peste, les structures sociales féodales en Europe furent largement détruites, de nombreuses terres en déshérence furent cultivées sérieusement, les contraintes féodales disparurent largement, et un nouveau mode de production put se développer sans être gêné par les féodaux: le capitalisme. Ainsi l'Europe put commencer son développement économique, social, intellectuel, scientifique,qui dura cinq siècles.

Merci les Mongols !

THE KEY TO EVERYTHING

Google Maps

Tombeau de Napoléon 1er

Site historique

DÉTAILS SUR LE LIEU

supprimé de GoogleMaps!

G Gérôme Taillandier

★☆☆☆☆ il y a 20 heures

700 000 Français tués, deux ou trois fois plus de mutilés, et cela du côté Napo, sans doute autant de l'autre côté. Un ravage permanent de l'Europe durant quinze ans, des milliers d'Espagnols tués ou fusillés pour avoir refusé la "liberté" à la française, la ruine de l'économie française due au blocus, le rétablissement de l'esclavage pour permettre à Bobonne d'empocher ses picaillons aux Îles, le tout pour permettre à la famille Napo et à ses amis de piller l'Europe à leur bénéfice?
Bravo Napo! Belle vengeance sur l'occupation française de la Corse!

Visité en janvier

J'aime Partager

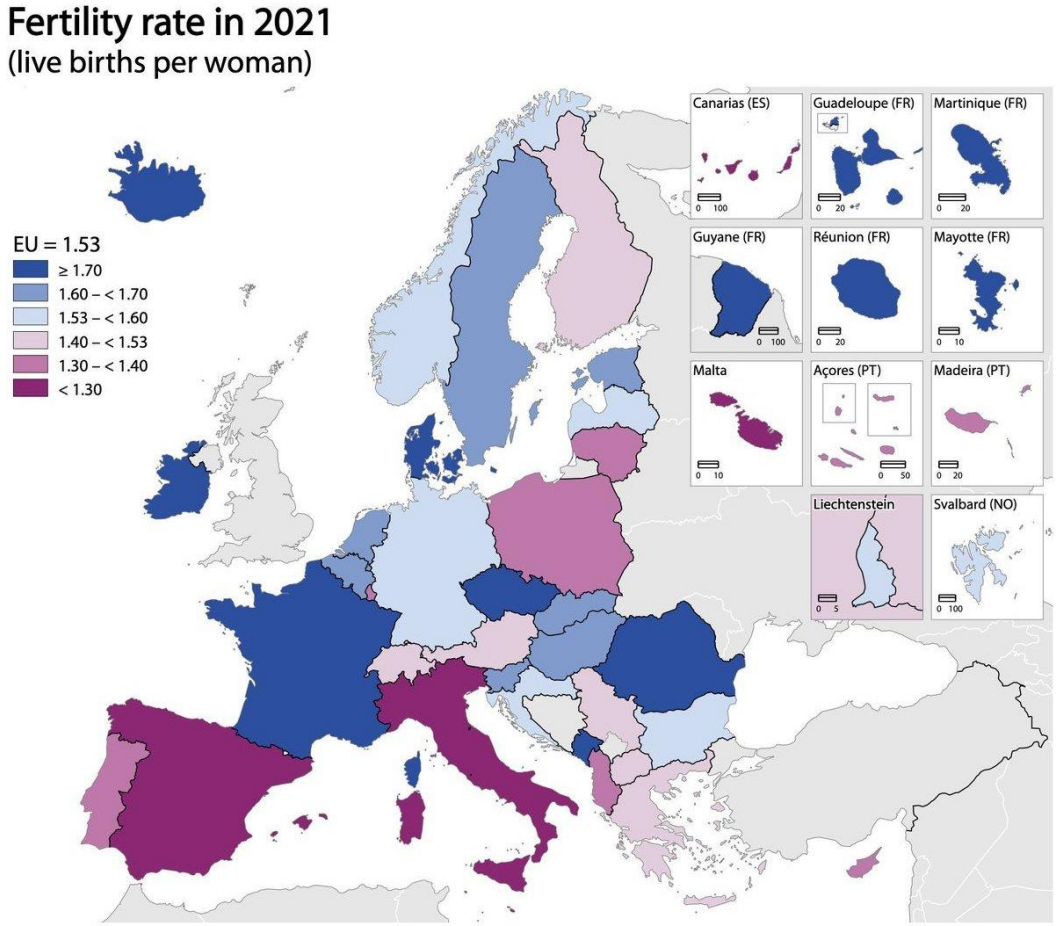

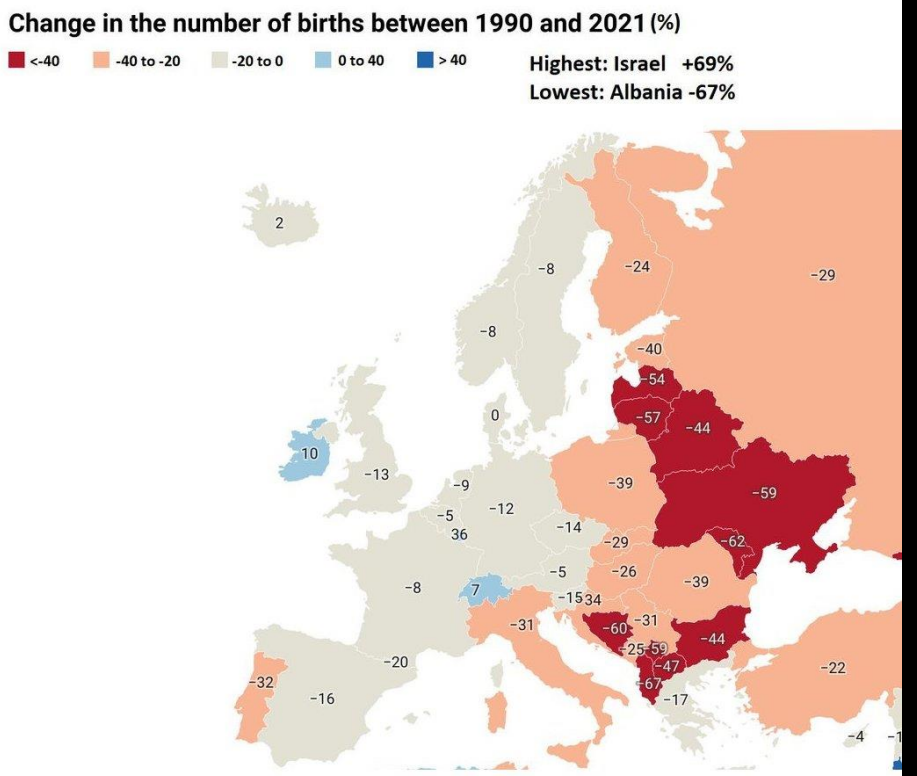

Ces cartes ont été faites selon les visions idéologiques de la prétendue Union Européenne, et ne représentent en rien la réalité.
En République Française, le taux de fécondité affiché ignore avec tranquillité que le VRAI taux de natalité en Gaule est égal à 1,3-1,4, la différence étant due à l'immigration principalement Africaine, Musulmane et Animiste.
Ce chiffre, comme celui de la Suède, qui a choisi de favoriser l'immigration, est donc destiné à noyer le poisson de la réalité dans l'eau de dirigeants de la Junte Européiste, Macron, Scholz, Leyen, afin de dissimuler le vrai sens de leur action en Europe, comme c'est le cas aux USA sous le gouvernement démocrate.

Grâce à la stupide flèche maçonnique de Viollet-le-Duc, Notre Dame a failli disparaître au bout d'un siècle et demi.

Grâce à la nouvelle flèche maçonnique qu'on lui remet, on est assuré que Notre-Dame disparaîtra d'ici un siècle.

On pourra toujours construire la Mosquée François dessus.
GT 2023

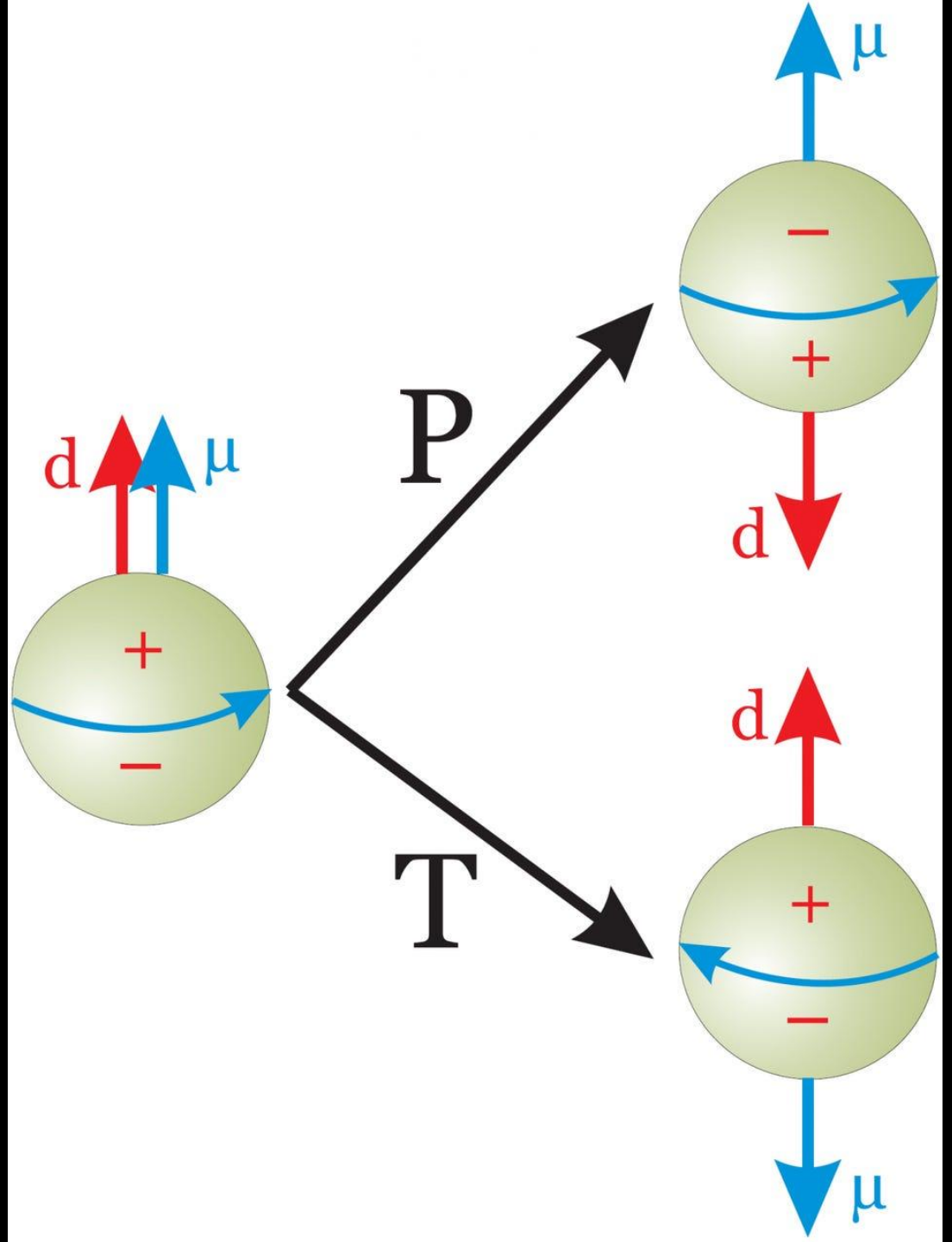
μ
d
μ
P
−
+
d
+
−
d
T
+
−
μ

matière + antimatière

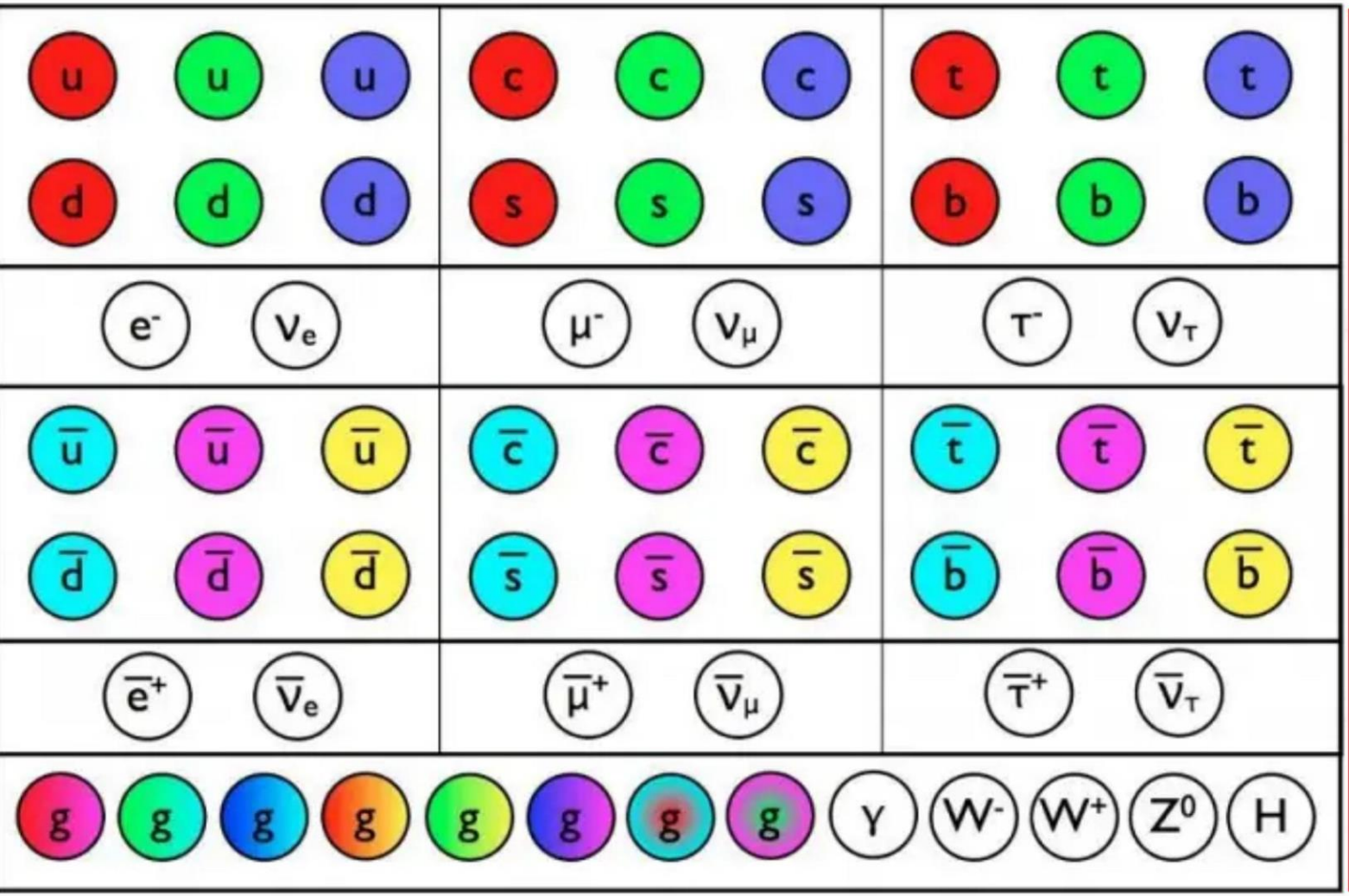

ajouter un 4ième neutrino

avec un "neutrino stérile", on devine une 4ième colonne...

Quarks

Leptons

Anti-Quarks

Anti-Leptons

Bosons

Avec 4 colonnes, on est tout près d'un résultat des cordes: le genre de la variété de compactification est égal à 8

et le nombre de générations est égal à 4...

Il faudra ajouter la supersymétrie là-dessous

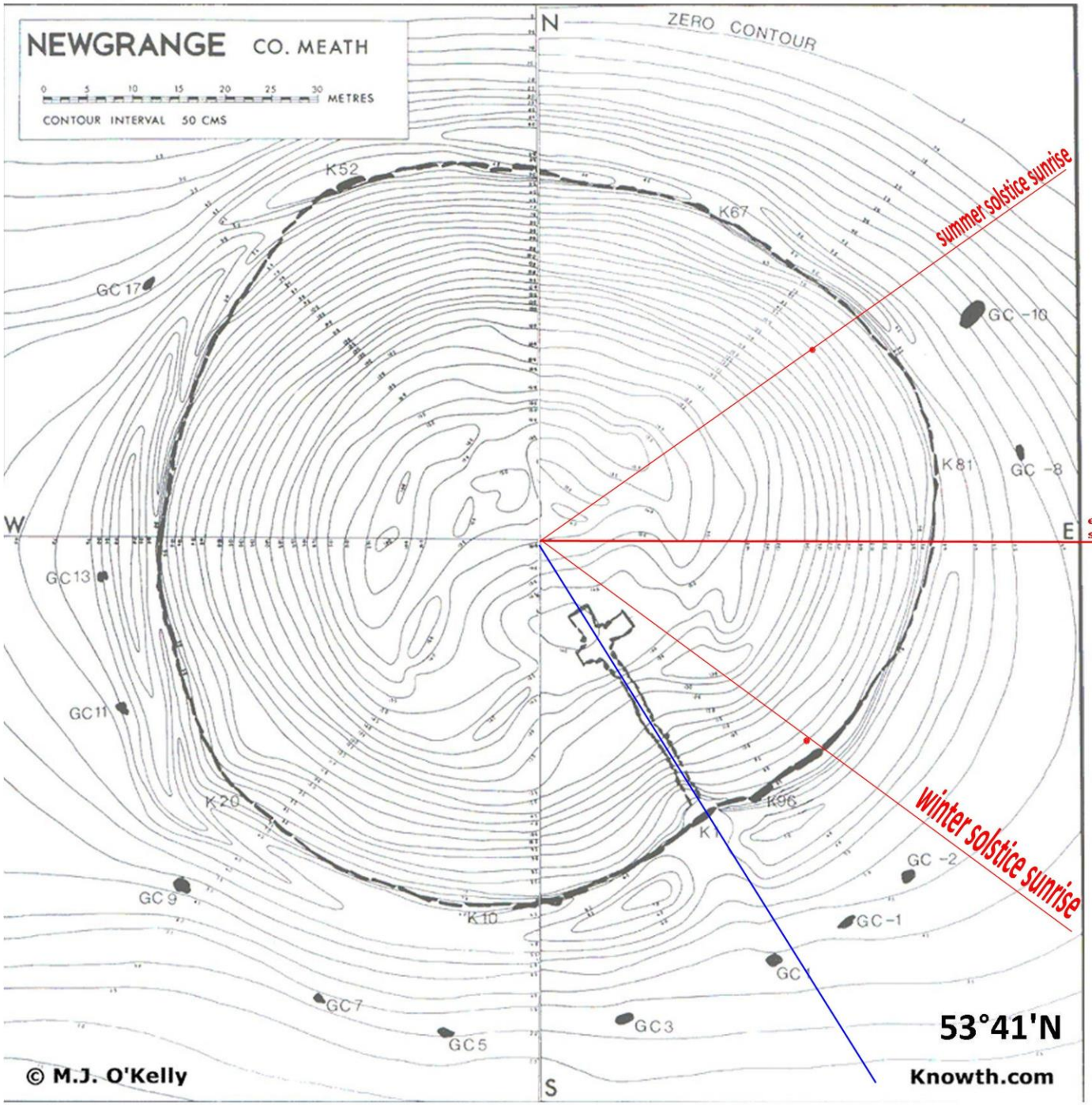

with an approx latitude = 54°, Cairn has height of Sun at equinox noon = 36°.

There is NO connection between Entry and any sunrise at Newgrange

some stones are lacking
they may have been 30.

some miracle may happen and Entry may be illuminated by something weird ; we call that "electric light"

unlesse I'm wrong, of course... GT

Savez-vous d'où vient l'eau en Égypte ?

Du Nil.

Savez-vous d'où vient l'eau du Nil ?

Des Montagnes de la Lune.

La fonte des neiges engendre la crue du Nil et le Nil.

Avec le « réchauffement climatique », dans 30 ans, il n'y aura plus de neige sur les Montagnes de la Lune.

Concluez. GT

NOMBRES D'OR

J'ai mis en évidence que le nombre d'or avait été trouvé il y a sans doute quelques bons milliers d'années grâce à l'octaëteris de Vénus.

Cependant, ces valeurs de Φ ne sont qu'approchées par les rapports 5/8 et 8/5. Comment les Anciens auraient-ils pû en déduire leur valeur exacte comme les solutions de l'équation issue de la définition de Platon ? Cela ne paraît pas possible avant 2000 BCE.

Je me suis alors posé la question différemment. Si l'on remarque que 1,6 = 1 + 0,6, on peut, si l'on accepte de **définir Φ par ses DEUX valeurs** établir la relation suivante :

Φ + 1 = 1/ Φ, puisque cet inverse est la forme de 8/5, tandis que le premier Φ est égal à 5/8. On a alors :

$$\Phi^2 + \Phi = 1,$$

ce qui n'est rien d'autre que l'équation du nombre d'or, **à laquelle nous venons d'accéder par les deux valeurs de la résonance de Vénus, 5/8 et 8/5**, sans faire entrer en ligne de compte la trop fameuse proportion de Platon.

GT 2021 7 31

Au cours de la période des

1 Juillet 2021 au 23 Décembre 2021,

Notre ami le corona de souche O'Micron a courageusement continué sa tâche de vaccination de la pop mondiale.

Grâce à lui, les taux de morts qui lui sont imputés sont égaux à

5,7 pour CENT mille en Sve, 0,00057 % *erreur de frappe*

1,4 pour DIX mille en Gaule Togée, 0,00014 %, soit presque **trois plus** qu'en Sve.

En empêchant la propagation de notre ami O'Micron, on empêche l'immunité collective qui lui est due et on laisse se propager les autres variants.

GT 2021 12 27

PS : Tabac + Alcool = 120 000 morts par an en Gaule.

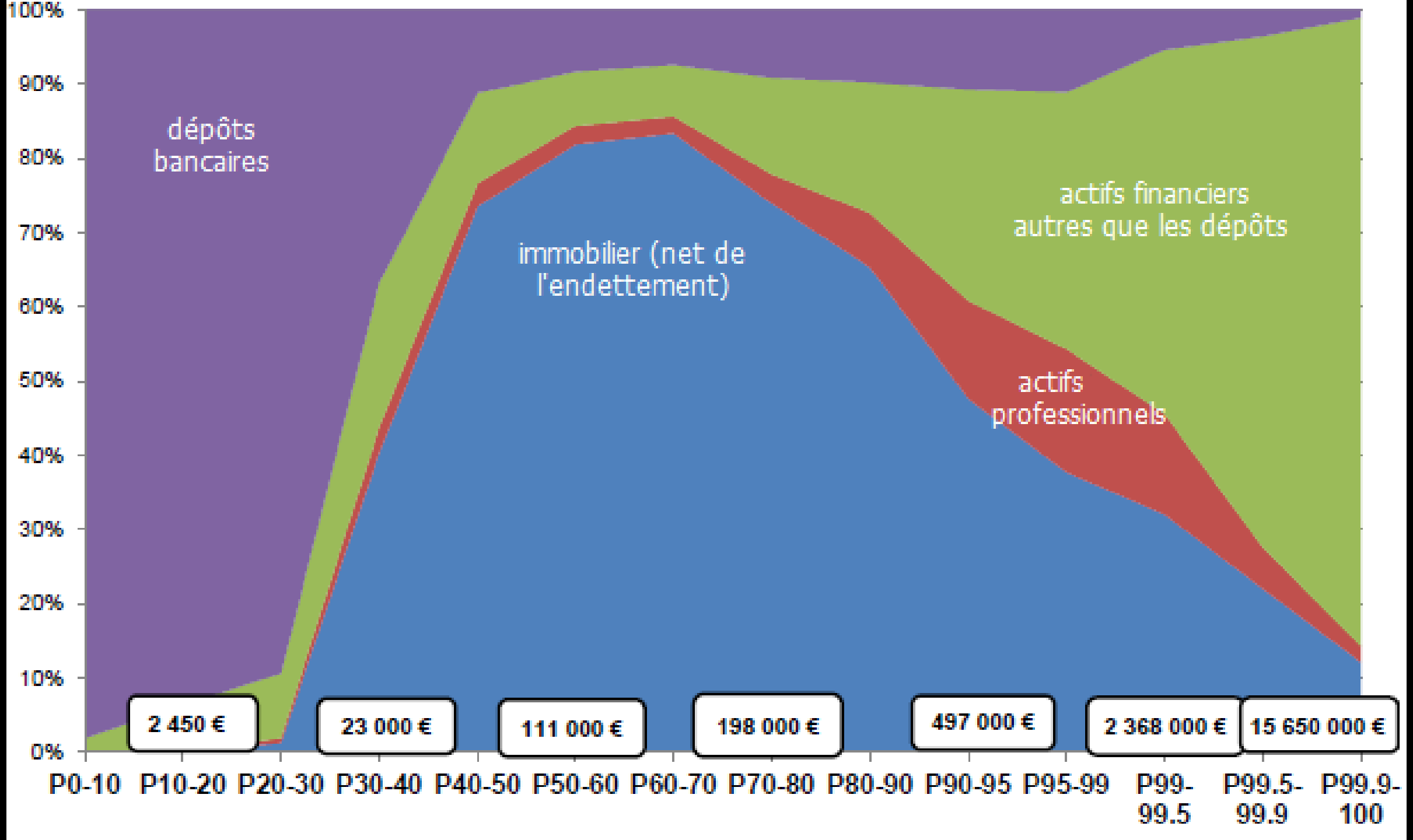
100%
90%
80%
70%
60%
50%
40%
30%
20%
10%
0%
dépôts bancaires
immobilier (net de l'endettement)
actifs financiers autres que les dépôts
actifs professionnels
2 450 €
23 000 €
111 000 €
198 000 €
497 000 €
2 368 000 €
15 650 000 €
P0-10
P10-20
P20-30
P30-40
P40-50
P50-60
P60-70
P70-80
P80-90
P90-95
P95-99
P99-99.5
P99.5-99.9
P99.9-100

Contrairement aux propos des brillants "ministres" dont nous sommes affligés, et des industriels qui se font des couilles en or, les "vaccins" contre le corona NE SONT PAS des vaccins, mais des SERUMS-ANTI: ils luttent contre le virus, mais leur efficacitéé est limitée dans le temps, car ils n'agissent en aucun cas sur l'immunité cellulaire, la seule qui mérite le nom de "vaccin".
SEUL le variant O'Micron est efficace pour vacciner, puisqu'il agit sur l'immunit cellulaire. Gérôme Taillandier, 2021 12 31

O'MICRON MON AMOUR

Certaines personnes pas très malines se demandent pourquoi O'Micron résiste aux vaccins.

La réponse est simple : parce qu'il est fait pour ça !

Premièrement, les « vaccins » ne sont pas des vaccins mais des sérums anticorps. Ils ne sont actifs que sur un temps restreint.

Deuxièmement, figurez-vous que les virus MUTENT ! Et ils mutent bien plus vite que les vaccins !

Or O'Micron est le résultat de la sélection naturelle du coronavirus organisée par la vaccination. La vaccination engendre des souches résistantes, comme la démoustication engendre des moustiques résistants aux insecticides.

On remarque que la vaccination engendre une immense vague d'expansion virale partout. L'explication est simple : la vaccination sélectionne des souches résistantes.

Remerciez O'Micron ! Soucieux de son cheptel, il a décidé de ne plus le tuer et de le vacciner au sens de Jenner pour mieux l'utiliser.

Meuh !

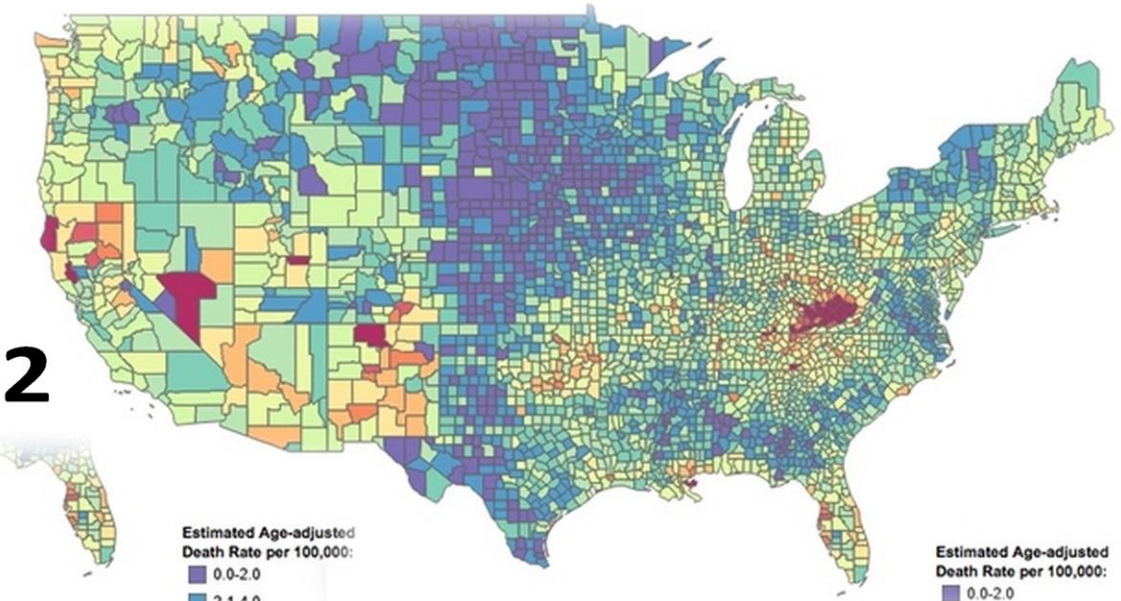

2002

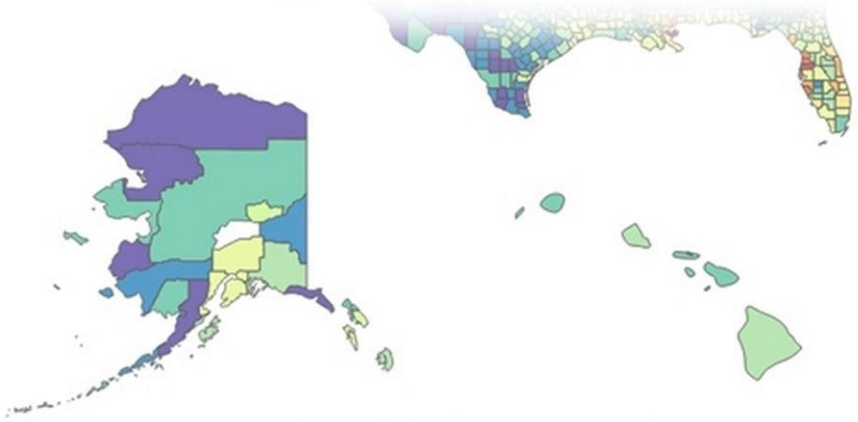

Estimated Age-adjusted
Death Rate per 100,000:
0.0-2.0
2.1-4.0
4.1-6.0
6.1-8.0
8.1-10.0
10.1-12.0
12.1-14.0
14.1-16.0
16.1-18.0
18.1-20.0
>20

Taux de décès par overdose en 2002

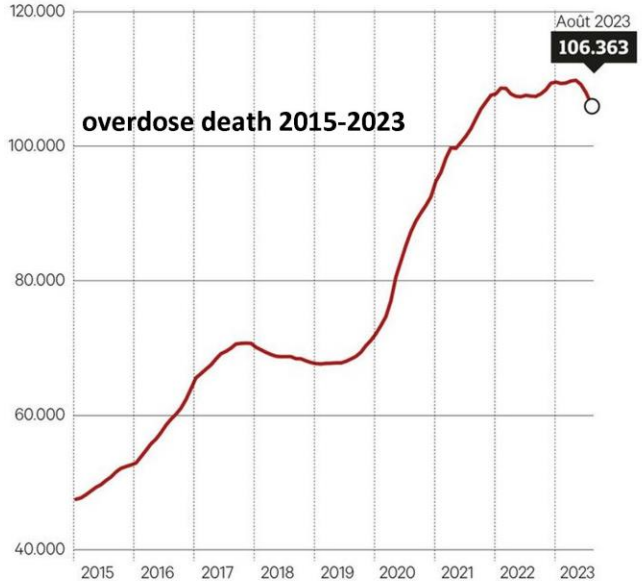

SOURCE : CENTERS FOR DISEASE CONTROL AND PREVENTION

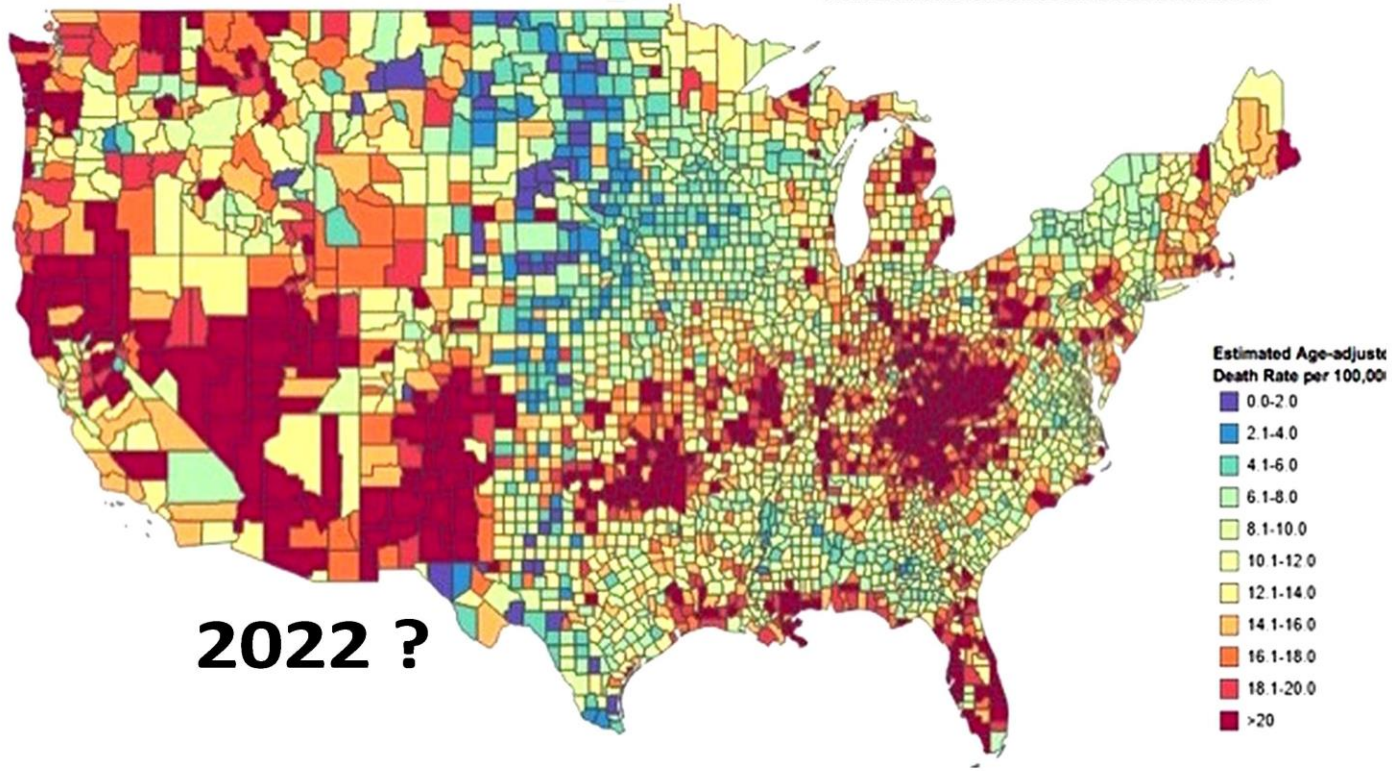

2022 ?

Les morts par overdose aux États-Unis

Taux de mortalité annuel, par type d'opiacés

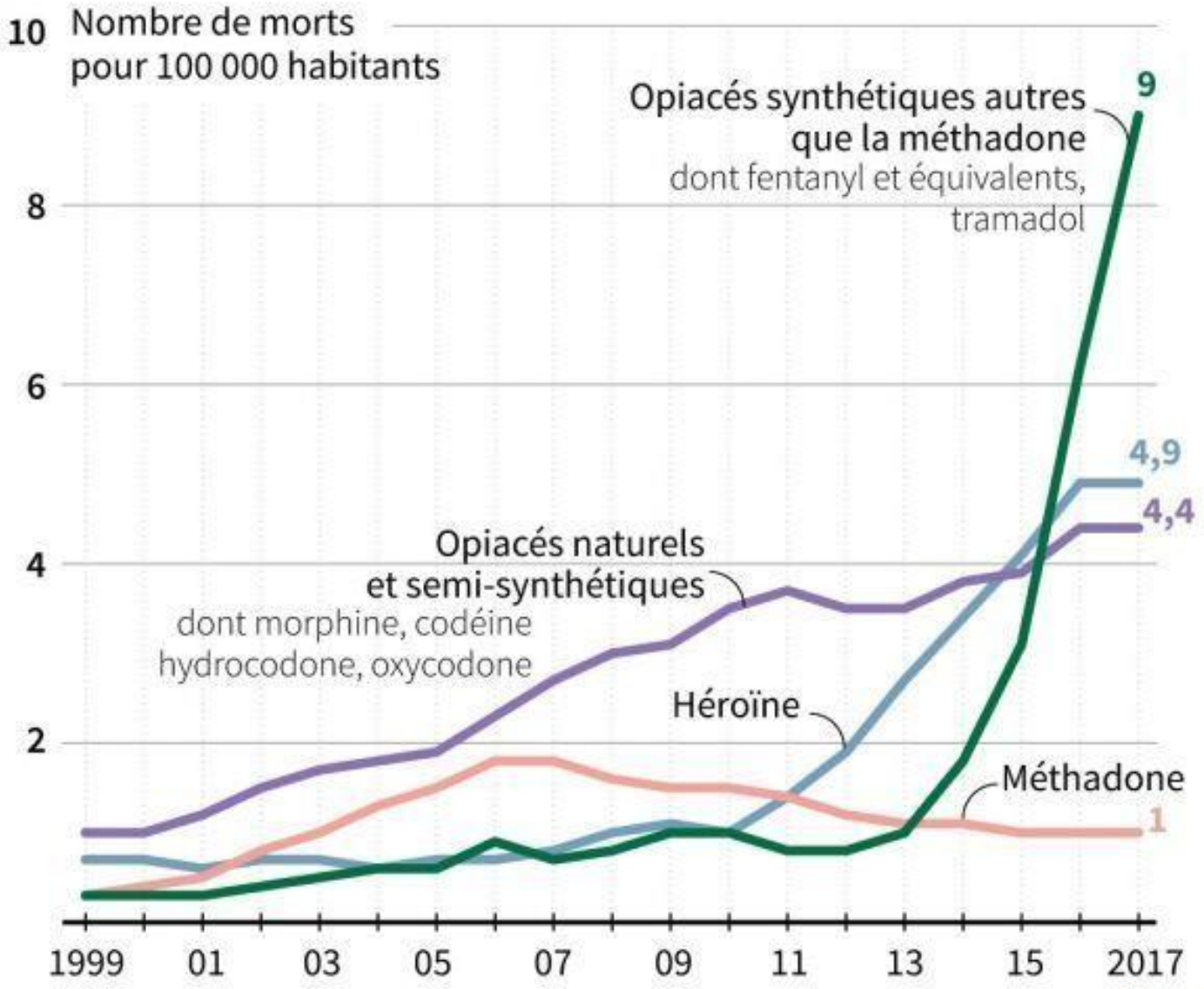

Source : CDC National Center for Health Statistics

© AFP

Crise des opiacés aux États-Unis et minorités

En 2020, le taux de mortalité par overdose chez les personnes noires a dépassé celui des blanches aux États-Unis pour la première fois depuis 1999

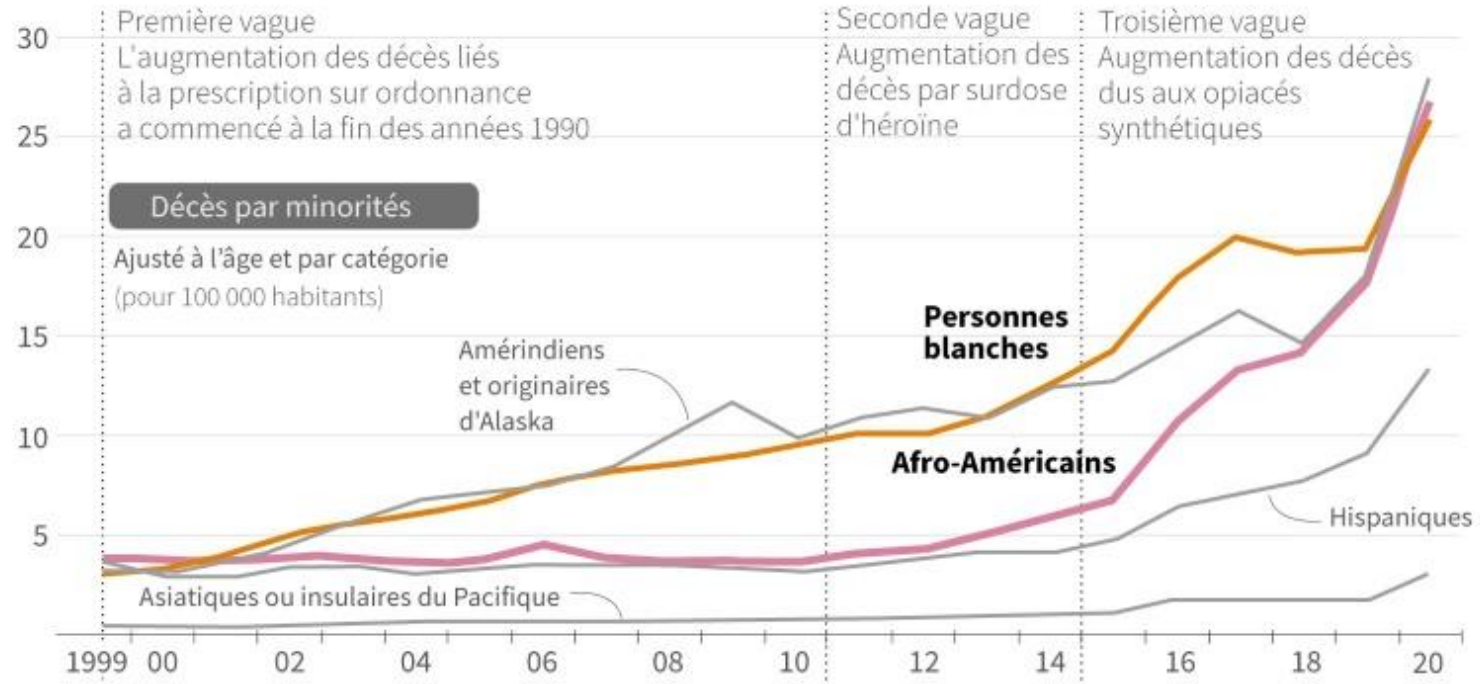

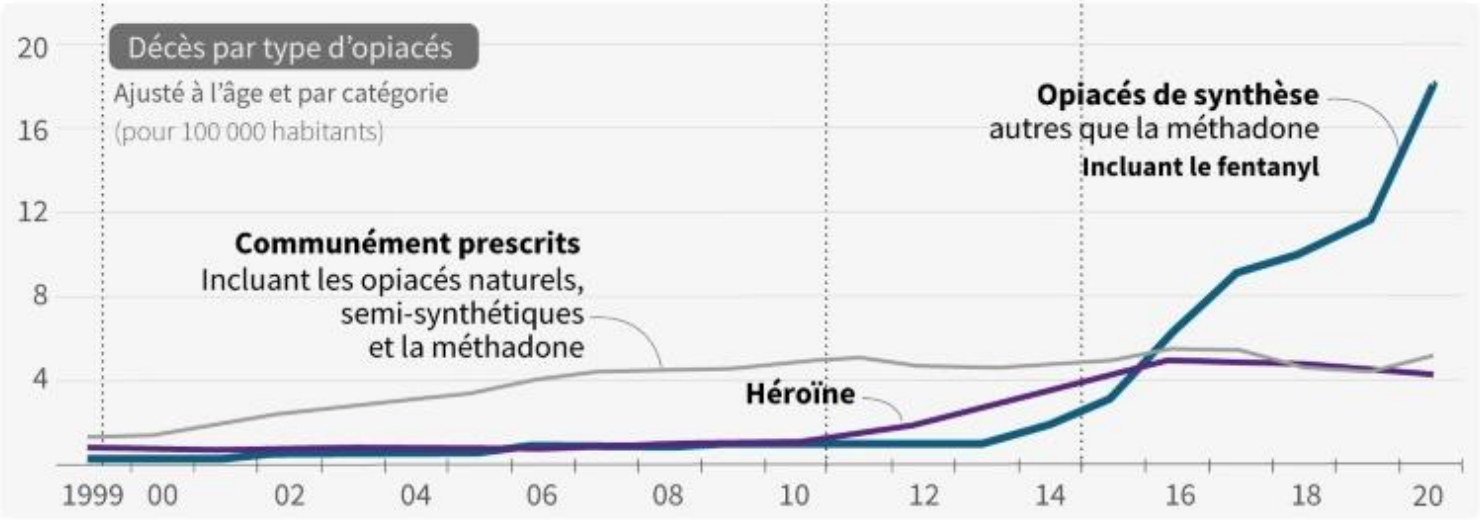

Sources : CDC Centre National pour les Statistiques de Santé, Lancet

AFP

Oyez ! Oyez !

Chercheuses et chercheurs de tout poil, anthropologues, historiens, archéologues !

J'ai réussi grâce à une seule photographie ancienne à démontrer l'existence de la Ronde autour du Poteau, le peulven, en Bretagne. Cette cérémonie est partout présente dans les peuples du Nord et chez les Slaves.

Y aurait-il parmi vous quelqu'une ou quelqu'un qui connaîtrait un autre document sur ce sujet ?

Si c'est le cas, je vous en conjure, publiez-le enfin que la reconstitution de la Ronde au peulven soit enfin reconstituée en Bretagne et ailleurs.

Gérôme Taillandier

GW170817: Observation of Gravitational Waves from a Binary Neutron Star Inspiral

B. P. Abbott *et al.*[*]
(LIGO Scientific Collaboration and Virgo Collaboration)

(Received 26 September 2017; revised manuscript received 2 October 2017; published 16 October 2017)

On August 17, 2017 at 12:41:04 UTC the Advanced LIGO and Advanced Virgo gravitational-wave detectors made their first observation of a binary neutron star inspiral. The signal, GW170817, was detected with a combined signal-to-noise ratio of 32.4 and a false-alarm-rate estimate of less than one per 8.0×10^4 years. We infer the component masses of the binary to be between 0.86 and 2.26 $M_\odot$, in agreement with masses of known neutron stars. Restricting the component spins to the range inferred in binary neutron stars, we find the component masses to be in the range 1.17–1.60 $M_\odot$, with the total mass of the system $2.74^{+0.04}_{-0.01} M_\odot$. The source was localized within a sky region of 28 deg^2 (90% probability) and had a luminosity distance of 40^{+8}_{-14} Mpc, the closest and most precisely localized gravitational-wave signal yet. The association with the γ-ray burst GRB 170817A, detected by Fermi-GBM 1.7 s after the coalescence, corroborates the hypothesis of a neutron star merger and provides the first direct evidence of a link between these mergers and short γ-ray bursts. Subsequent identification of transient counterparts across the electromagnetic spectrum in the same location further supports the interpretation of this event as a neutron star merger. This unprecedented joint gravitational and electromagnetic observation provides insight into astrophysics, dense matter, gravitation, and cosmology.

DOI: 10.1103/PhysRevLett.119.161101

I. INTRODUCTION

On August 17, 2017, the LIGO-Virgo detector network observed a gravitational-wave signal from the inspiral of two low-mass compact objects consistent with a binary neutron star (BNS) merger. This discovery comes four decades after Hulse and Taylor discovered the first neutron star binary, PSR B1913+16 [1]. Observations of PSR B1913+16 found that its orbit was losing energy due to the emission of gravitational waves, providing the first indirect evidence of their existence [2]. As the orbit of a BNS system shrinks, the gravitational-wave luminosity increases, accelerating the inspiral. This process has long been predicted to produce a gravitational-wave signal observable by ground-based detectors [3–6] in the final minutes before the stars collide [7].

Since the Hulse-Taylor discovery, radio pulsar surveys have found several more BNS systems in our galaxy [8]. Understanding the orbital dynamics of these systems inspired detailed theoretical predictions for gravitational-wave signals from compact binaries [9–13]. Models of the population of compact binaries, informed by the known binary pulsars, predicted that the network of advanced gravitational-wave detectors operating at design sensitivity will observe between one BNS merger every few years to hundreds per year [14–21]. This detector network currently includes three Fabry-Perot-Michelson interferometers that measure spacetime strain induced by passing gravitational waves as a varying phase difference between laser light propagating in perpendicular arms: the two Advanced LIGO detectors (Hanford, WA and Livingston, LA) [22] and the Advanced Virgo detector (Cascina, Italy) [23].

Advanced LIGO's first observing run (O1), from September 12, 2015, to January 19, 2016, obtained 49 days of simultaneous observation time in two detectors. While two confirmed binary black hole (BBH) mergers were discovered [24–26], no detections or significant candidates had component masses lower than $5M_\odot$, placing a 90% credible upper limit of 12 600 Gpc^{-3} yr^{-1} on the rate of BNS mergers [27] (credible intervals throughout this Letter contain 90% of the posterior probability unless noted otherwise). This measurement did not impinge on the range of astrophysical predictions, which allow rates as high as ~10 000 Gpc^{-3} yr^{-1} [19].

The second observing run (O2) of Advanced LIGO, from November 30, 2016 to August 25, 2017, collected 117 days of simultaneous LIGO-detector observing time. Advanced Virgo joined the O2 run on August 1, 2017. At the time of this publication, two BBH detections have been announced [28,29] from the O2 run, and analysis is still in progress.

Toward the end of the O2 run a BNS signal, GW170817, was identified by matched filtering [7,30–33] the data against post-Newtonian waveform models [34–37]. This gravitational-wave signal is the loudest yet observed, with a combined signal-to-noise ratio (SNR) of 32.4 [38]. After

[*]Full author list given at the end of the Letter.

Published by the American Physical Society under the terms of the Creative Commons Attribution 4.0 International license. Further distribution of this work must maintain attribution to the author(s) and the published article's title, journal citation, and DOI.

POUR ÉVITER LA GRIPPE

La quinine paraît efficace

Une enquête du "Matin" prouve que les paludéens qui usent régulière ment de ce médicament sont moins atteints que les autres

1918

Gérôme Taillandier sans masque

Contrairement aux propos de crétins savants, on sait que les antipaludéens sont efficaces contre les infections à virus graves depuis 1918, contre la grippe espagnole H1N1. Salut Raoult! Bonne continuation! GT

OU'EST-CE QU'IL VEUT ENCORE, CELUI-LA ?

Panthéon

GoogleMaps

Bizarrement, cet avis n'a pas encore été supprimé, comme c'est le cas de la plupart de mes avis. GT

J'ai déjà proposé que, parmi les "hommes célèbres" on fasse entrer Arletty, qui a bien mérité cela, après les malversations dont elle a fait l'objet pour son sens des rapprochements franco-allemands à une époque où le parti communiste faisait la loi et la justice en France.
Une deuxième proposition serait d'y faire entrer Coco Chanel , les odeurs de cocaïne ne gênant plus personne aujourd'hui.
Lorsqu'on pense à l'argent que le fisc français a récupéré, grâce à elle, elle l'a bien mérité. La petite robe noire, révolution pour les femmes, est tout de même plus facile à porter qu'une ceinture de bananes. G

Pour une entrée de Mata-Hari au Panthéon.
Lorsqu'on pense à la contribution de Mata-Hari au maintien du moral des troupes dans le commandement supérieur, on ne peut qu'être ému de son oubli et je propose qu'elle entre au Panthéon, sans oublier les douze balles que son cadavre abrite. Il est évident que cette entrée contribuera beaucoup à la diversité culturelle dans ce pays.
Sa grâce a été refusée par le président de la RP Française, Raymond Poincaré, un courageux de plus. GT

Puisqu'il semble que la panthéonisation est un moyen de réaffirmer la République, je suggère par ailleurs que l'on fasse entrer dans cette noble demeure Charlotte Corday. Celle-ci a débarrassé, avec un courage sans faille, ce pays de l'une des pires engeances qu'il ait connues, payant de sa vie le rétablissement de la dignitié de l'espèce humaine, GT

Annuler Publier

Les Enfants du Paradis ont été tournés aux Studios de la Victorine à Nice, sous « occupation » italienne.

Rappelons que Nice est une ville italienne.

C'est donc grâce à Mussolini que ce film a pû être tourné, puisque le financier français, à Paris, était sous contrôle allemand.

Ce film est donc italo-allemand, il a permis à de nombreux acteurs pas très résistants de gagner leur vie et de réaliser le seul chef-d'œuvre du cinéma français.

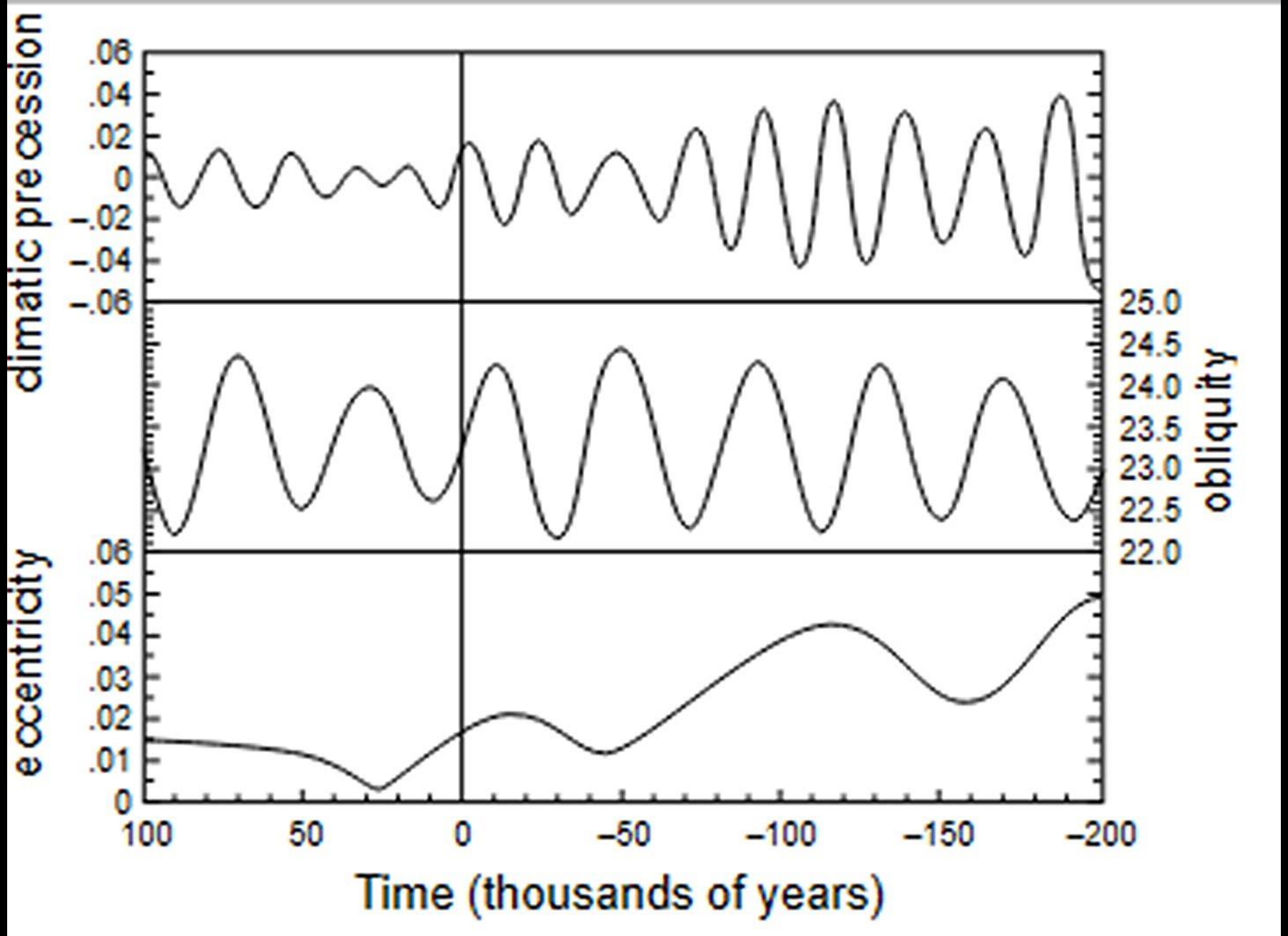
climatic precession
.06
.04
.02
0
−.02
−.04
−.06
obliquity
25.0
24.5
24.0
23.5
23.0
22.5
22.0
eccentricity
.06
.05
.04
.03
.02
.01
0
100
50
0
−50
−100
−150
−200
Time (thousands of years)

Il existe trois types de régimes politiques dans un empire : la démocratie, la dictature, l'oligarchie.

Lorsque la loi de Pareto 80/20 est respectée, on a affaire à un régime démocratique : 20% de la pop impose sa loi aux 80% et en touche les bénéfices.

Si la barre de séparation augmente le nombre 80% vers un nombre plus élevé, on est en situation de dictature.

Lorsque la barre se déplace en sorte que le nombre 20% soit plus élevé, on est en situation d'oligarchie. GT

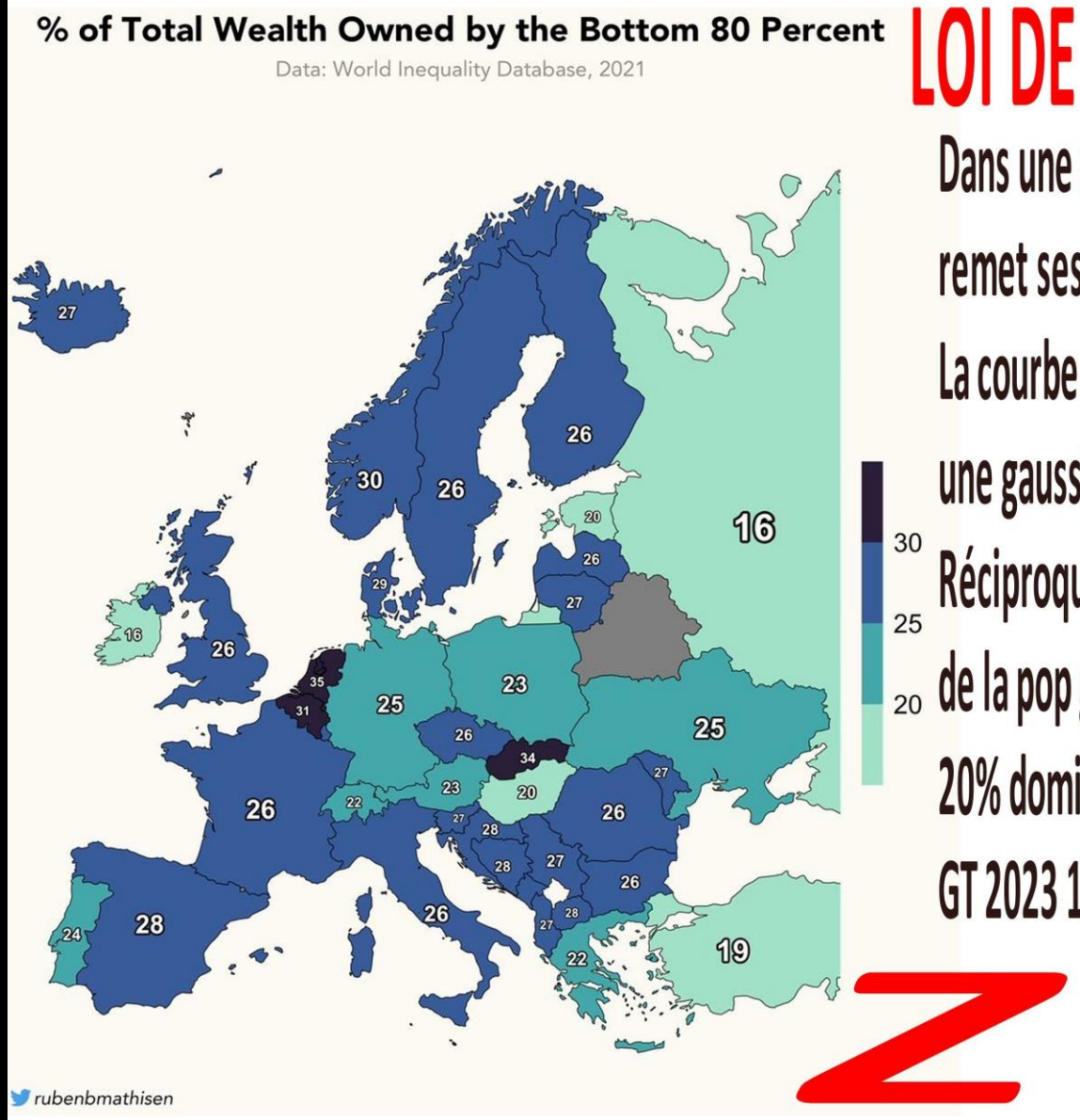

LOI DE PARETO 80/20 RECIPROQUE

Dans une société "démocratique", 80% de la pop globale remet ses droits et pouvoirs de décision à 20% d'entre eux.

La courbe décrite par ces rapports de dominance est une gaussienne.

Réciproquement, en rétribution de ce marché, les 80% de la pop globale remettent 80% de leur fortune aux 20% dominants, et gardent 20% de la fortune totale.

GT 2023 1 16

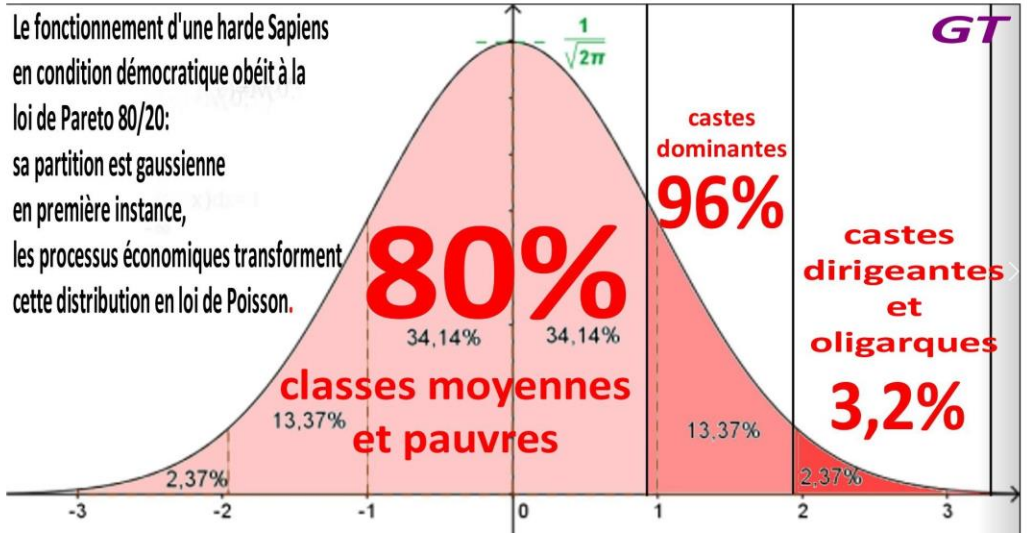

*Dans une société industrielle « démo-cratique », la répartition des revenus et fortunes n'est PAS une Gaussienne, mais une courbe de Poisson, dont le lambda définit la répartition.

*Le « ventre » de la courbe et son mode, définissent la part des richesses détenues par les classes inférieures et moyennes.

*Ce nombre varie entre 25-30% et 15% actuellement.

GT 2023 1 16

Dans une pop stable et homogène capable de choix, comme les cervidés ou Sapiens, les décisions du groupe se font lorsqu'un groupe homogène de 20% des individus décident de la même manière, les 80 autres pour cent remettant leur décision aux mains du groupe dominant.

C'est une forme de la **loi de Pareto 80/20**.

Gaule Togée et Barbue élection jupitérienne AD 2022 :

Inscrits : 48,7 M

Non-inscrits : environ 5 M, en fait inconnus…

Groupe dominant : 27,6 % 9 560 000 M

Groupe dominé : 72,4 % des votants

Groupe des Votants : 100 – 27 % = 73%

RESULTAT DE PARETO :

73 % Votants x 27,6 Dominants % = 20,15% des votants,

Loi de Pareto confirmée !

Le basculement en sens inverse, connu sous le nom de *Stampede* est très facile à obtenir comme le montrent la bataille de Midway et la déclaration de guerre de Chamberlain en 1939

GT 2022 4 11

Dans une société Sapiens assez homogène et stable, la répartition des opinions et choix de société est définie par une **courbe de Gauss**.

Lorsque le groupe social est amené à prendre des décisions sur son histoire à venir, la répartition se divise selon la **loi de Pareto 80/20** : 80% des individus adoptent le choix des dominants, qui contraignent les 20% restant à suivre leur choix.

Le groupe des dominants politiques et économiques, sauf situation d'anomie totale, est défini par la queue de la **courbe de Poisson**, autrement dit par la fortune et les revenus. Les groupes sous-dominants suivent les décisions du groupe dominant. GT 2021 11 22

En situation de panique, réelle ou artificielle, créée par un sous-groupe, un groupe humain se précipite comme un seul être vers la sortie, où ils s'entretuent mutuellement, sous le prétexte de se sauver en obéissant à la loi de sécurité maximum qui leur a été insufflée par les dirigeants. La loi qui semble définir ce fait est la loi 80/20 de Pareto : 80% du groupe agit ainsi, et considère les 20% restants comme des traîtres qu'il faut faire taire et neutraliser. Le groupe dominant porte alors le symbole matériel de son option sous la forme d'un badge ou d'un aboiement qui est répété sans cesse comme une protection apotropéïque et comme un signe d'obéissance à la loi du plus fort identifiée à la loi du Bien et du Bon pour le groupe, sous peine de tomber dans le groupe alterne que l'on doit éliminer.

GT 2021 12 29

En régime de harde démocratique

la limite de Pareto est à 20/80

En régime dictatorial, la limite de Pareto est déplacée vers la gauche

En régime oligarchique, la limite de Pareto est déplacée vers la droite

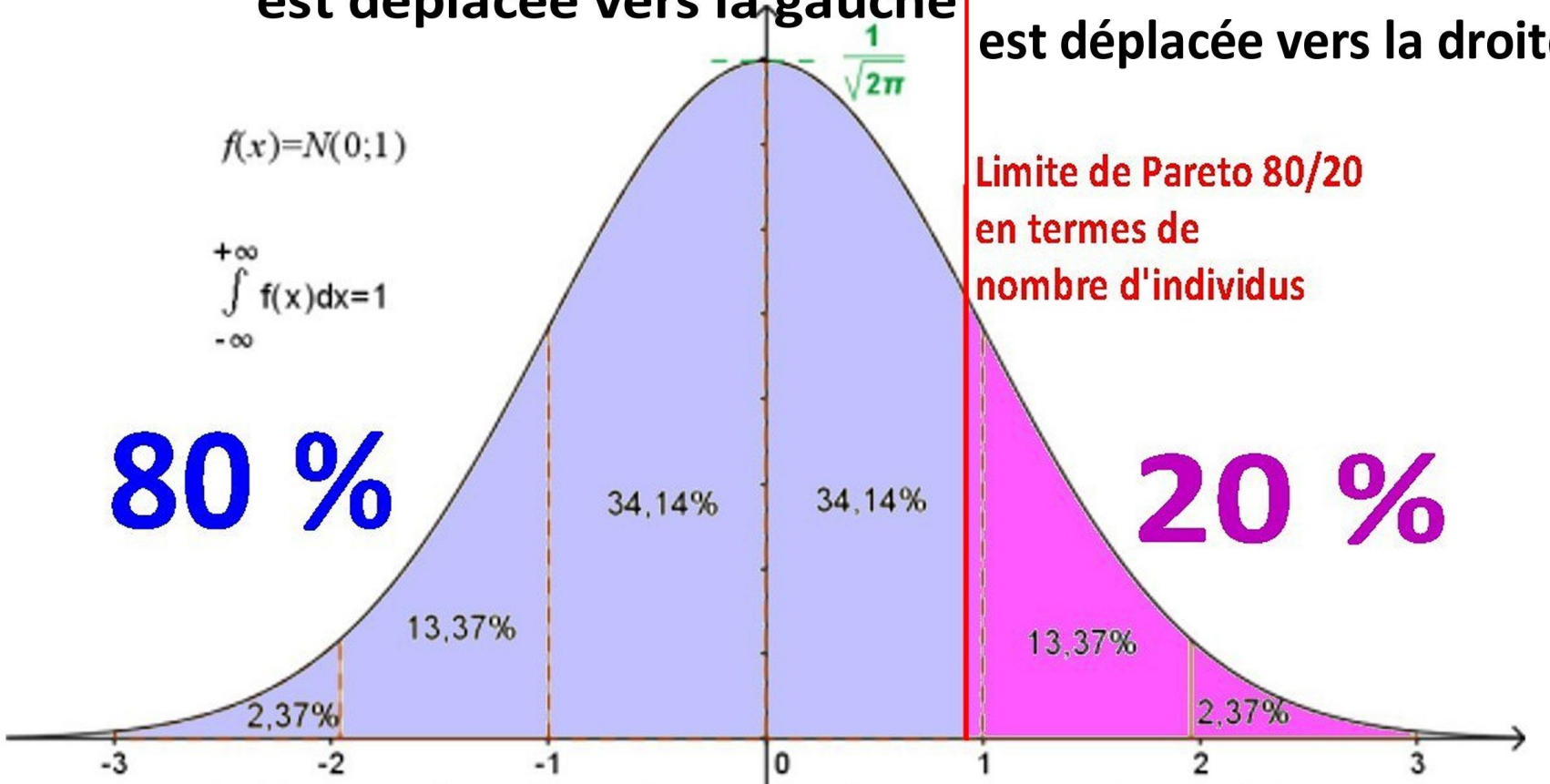

Limite de décision d'un choix de groupe dominant en régime démocratique
(one-head, one vote)

*Pareto distribution 80/20 « long tail » is a binomial law stating an equilibrium in a phase space.

*Limit of binomial law is a Poisson distribution.

*Limit of Poisson law is Gauss distribution for Lambda-Poisson near 10.

*Poisson discrete distribution may be analytically continued to a continuous law : epidemic law, due to Gamma-function in place of factorial, and Beta-function for binomial coefficients.

S'è non è vero è ben trovato. GT

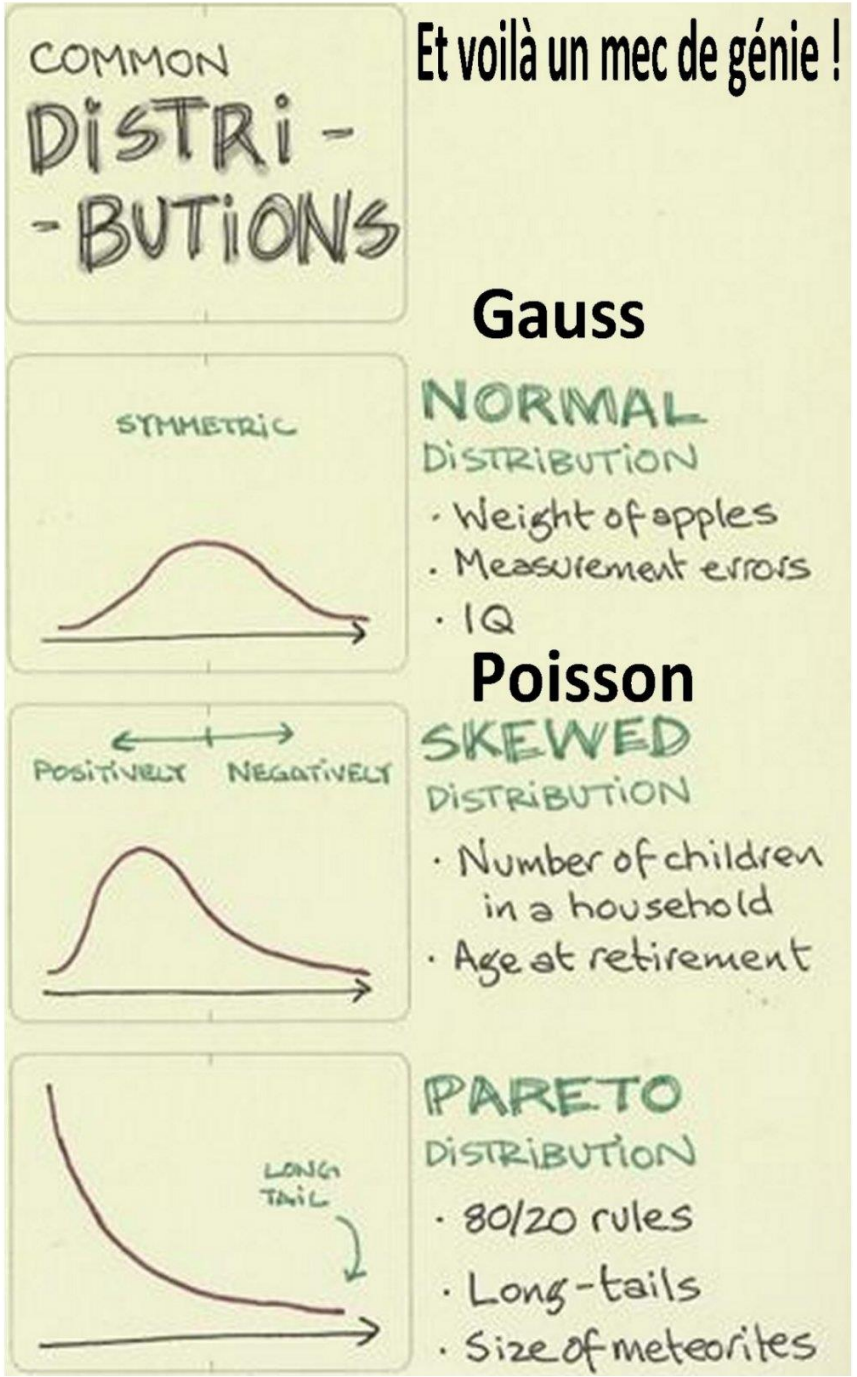

Considérons une pendule à cadran munies de ses aiguilles, et numérotée de 1 à 24 ; nous savons qu'une rotation est égale au **produit d'un nombre pair de réflections planes.** En conséquence, au lieu de regarder les aiguilles tourner, nous pouvons substituer au « temps » un produit de 48 réflections planes, soit un nombre pair de transformation du système mécanique par transformation de **parité**, ce qui engendre des spineurs.

Par ailleurs nous savons que le **produit de deux transformations supersymétriques est un vecteur de translation**. Nous sommes donc aussi débarrassés de l'espace, auquel nous substituons des produits pairs de transformations super-symétriques.

Ainsi, nous venons de constituer un espace d'objets spineurs et translations sans espace ni temps. C'est le principe de la théorie de Green-Schwarz.

Le temps et l'espace sont des artefacts sans réalité, alors que les actions de parité et de supersymétrie sont le soubassement des systèmes physiques. GT 2023 2 10

Election parlementaire 2022 en Gaule Barbue

Premier tour

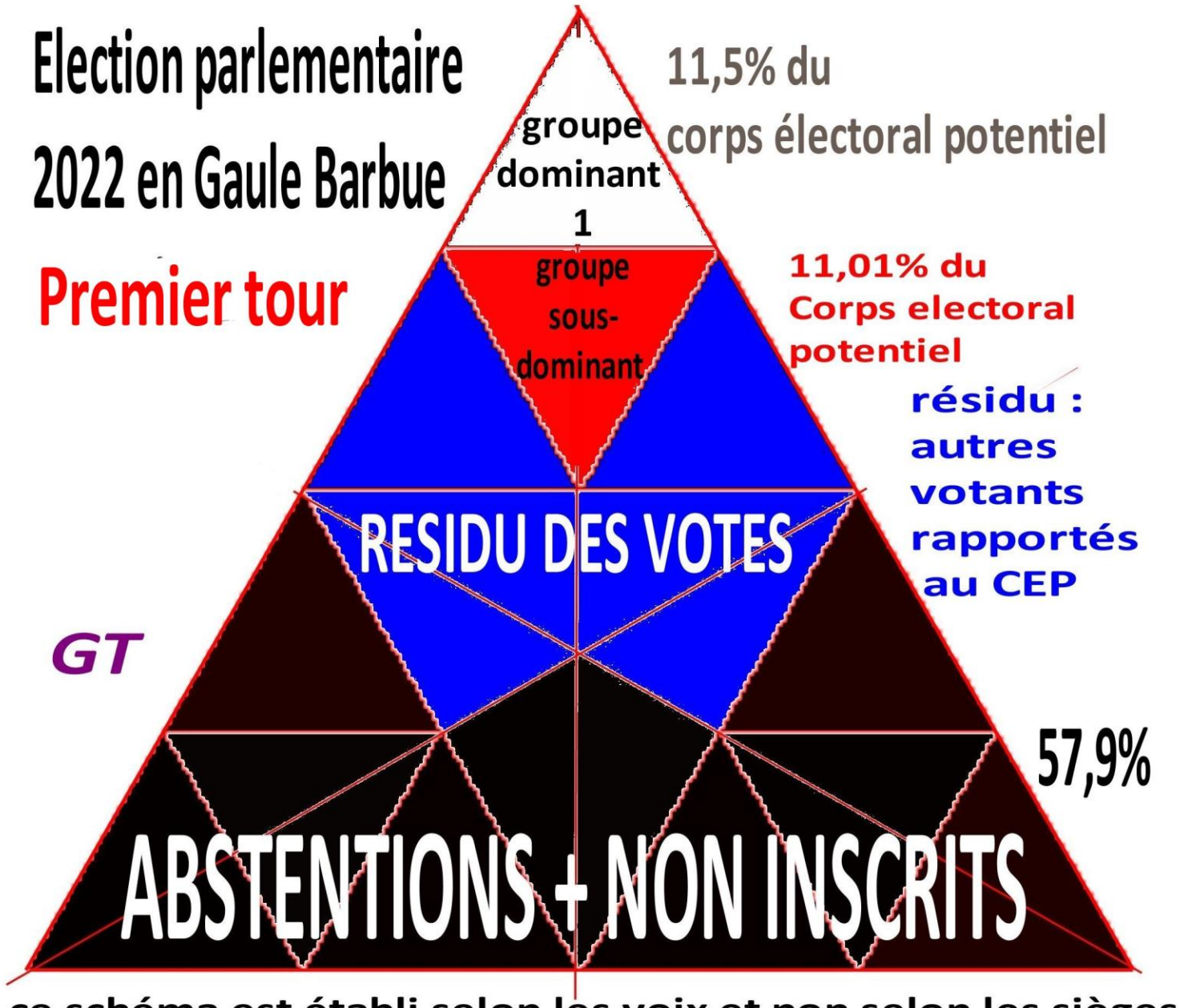

ce schéma est établi selon les voix et non selon les sièges
Il est défini sur la base du Corps Electoral Potentiel:
Abstentions + Non-inscrits (5 millions)

On constate que la loi de Pareto 80/20 est parfaitement respectée: ce royaume est bicéphale. On sait que c'est la situation idéale pour les coups d'état.

PARTON SUR UN POTENTIEL HYPERBOLIQUE

Gérôme Taillandier

Considérez un parton se déplaçant sur un vide de potentiel hyperbolique, AdS par exemple. Ce parton a donc des degrés de liberté paraboliques et des degrés elliptiques. Sur les premiers, le parton est parfaitement ordinaire, mais sur les degrés elliptiques, il est soit un tachyon, soit un ghost, selon sa masse.

Comment résoudre sa situation ?

Rien de plus simple, il faut compactifier les dof elliptiques, en sorte que le parton est, on shell, tout à fait respectable !

Il devient excitant de chercher comment les dof compactifiés agissent sur la théorie et sur les dof paraboliques.

Bonne nouvelle année !

2023 12 31

PARTONS AS CLOSED STRINGS

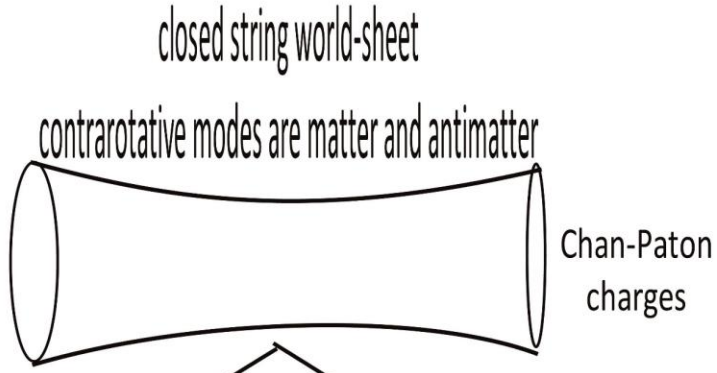

coupling constants are bounded by a Descartes relationship: they build a harmonic cross-ratio (ABCD) = -1

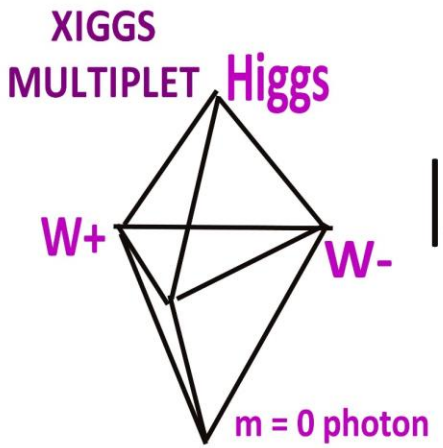

after Weinberg angle has acted!

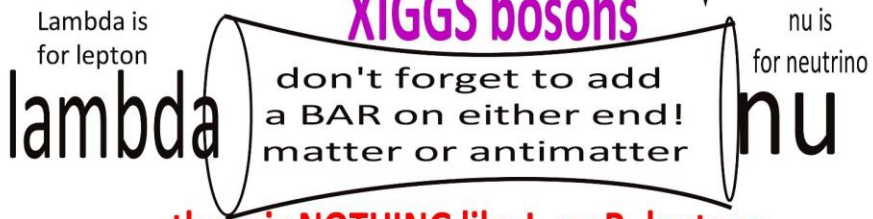

there is NOTHING like L- or R- lepton: each one is present as a Chan-Paton charge at either end of W-S !!

that's all home-made, folks !! Z

Of the Origin and Design of Government in General.
With concise Remarks on the English Constitution.

SOME writers have so confounded society with government, as to leave little or no distinction between them; whereas they are not only different, but have different origins. Society is produced by our wants, and government by our wickedness; the former promotes our happiness *positively* by uniting our affections, the latter *negatively* by restraining our vices. The one encourages intercourse, the other creates distinctions. The first is a patron, the last a punisher.

Society in every state is a blessing, but government even in its best state is but a necessary evil; in its worst state an intolerable one; for when we suffer, or are exposed to the same miseries *by a government,* which we might expect in a country *without government,* our calamities is heightened by reflecting that we furnish the means by which we suffer. Government, like dress, is the badge of lost innocence; the palaces of kings are built on the ruins of the bowers of paradise. For were the impulses of conscience clear, uniform, and irresistibly obeyed, man would need no other lawgiver; but that not being the case, he finds it necessary to surrender up a part of his property to furnish means for the protection of the rest; and this he is induced to do by the same prudence which in every other case advises him out of two evils to choose the least. *Wherefore,* security being the true design and end of government, it unanswerably follows that whatever *form* thereof appears most likely to ensure it to us, with the least expence and greatest benefit, is preferable to all others.

In order to gain a clear and just idea of the design and end of government, let us suppose a small number of persons settled in some sequestered part of the earth, unconnected with the rest, they will then represent the first peopling of any country, or of the world. In this state of natural liberty, society will be their first thought. A thousand motives will excite them thereto; the strength of one man is so unequal to his wants, and his mind so unfitted for perpetual solitude, that he is soon obliged to seek assistance and relief of another, who in his turn requires the same. Four or five united would be able to raise a tolerable dwelling in the midst of a wilderness, but *one* man might labor out the common period of life without accomplishing anything; when he had felled his timber he could not remove it, nor erect it after it was removed; hunger in the mean time would urge him to quit his work, and every different want would call him a different way. Disease, nay even misfortune would be death, for though neither

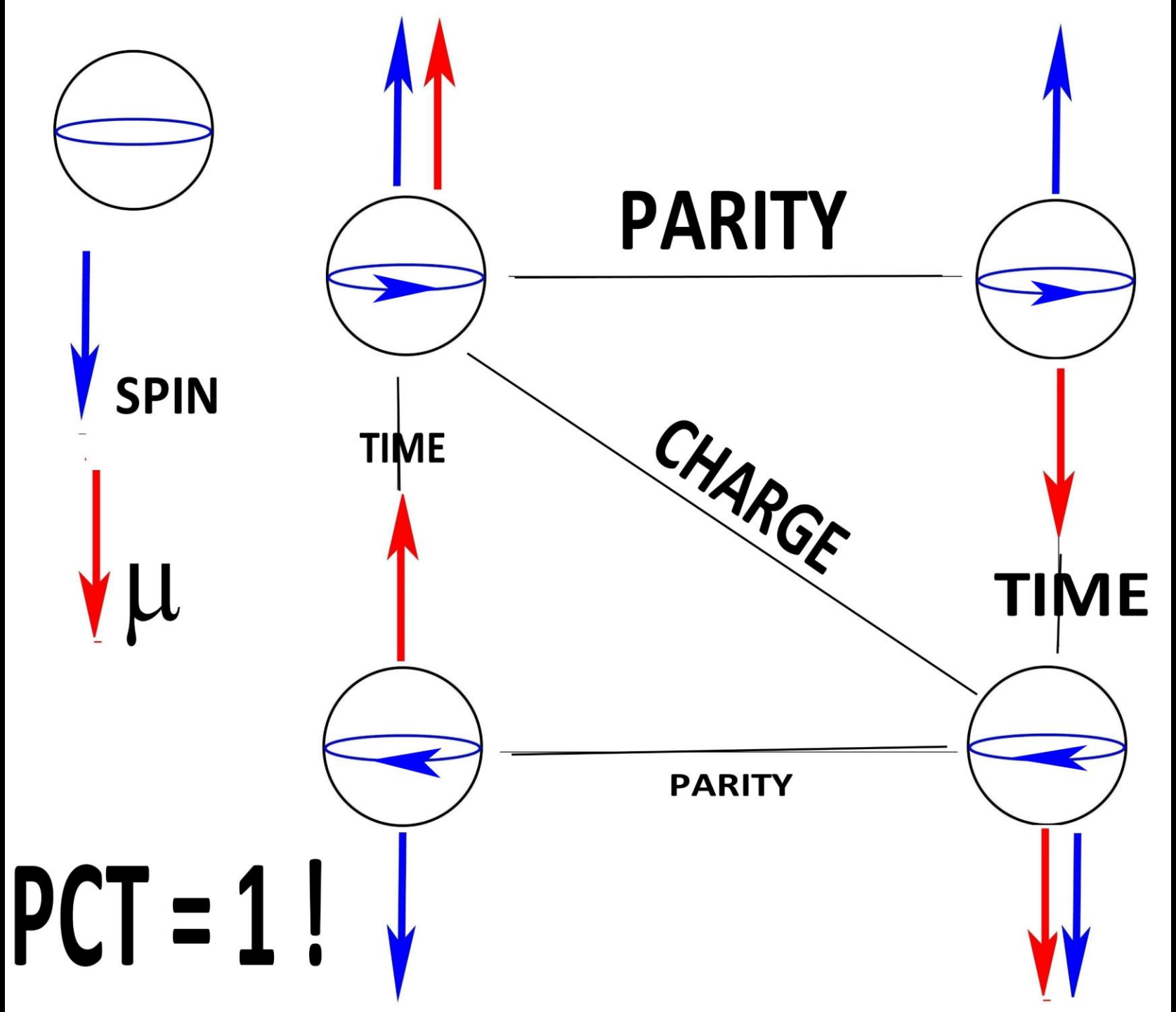
PARITY
SPIN
TIME
CHARGE
TIME
μ
PARITY
PCT = 1 !

PCT = TCP = 1

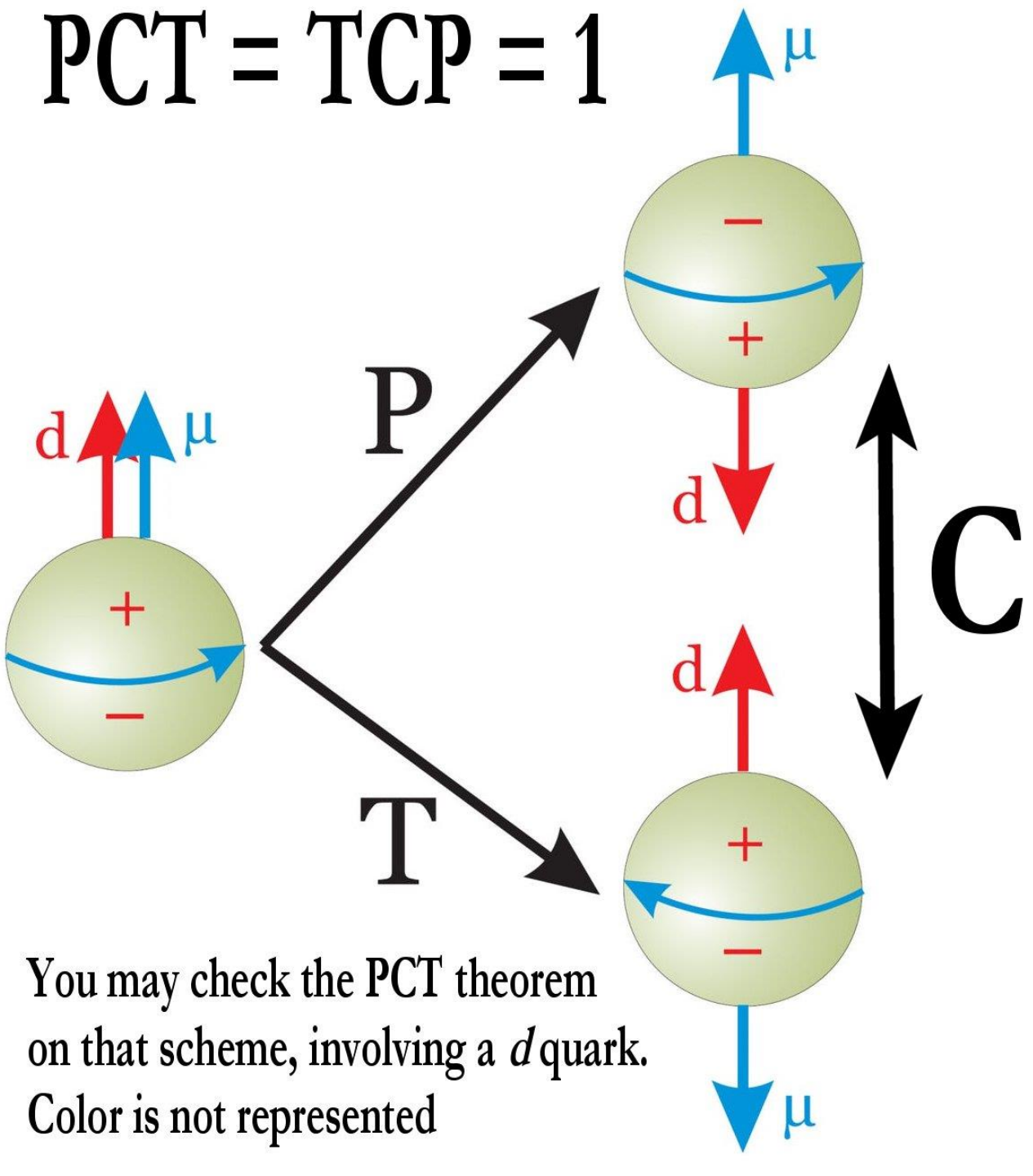
μ
d
μ
P
d
C
d
T
μ
You may check the PCT theorem
on that scheme, involving a *d* quark.
Color is not represented

L'attaque de Pearl Harbor est un coup monté par Roosevelt pour provoquer le plus con des amiraux japonais à attaquer l'île.

Sça a parfaitement marché.

Grâce à cela, Roosevelt a réussi à faire basculer l'opinion américaine en faveur de la guerre avec l'Allemagne, ce qui n'aurait jamais marché sinon.

ATTENTION: le départ de la datation est au solstice d'hiver!

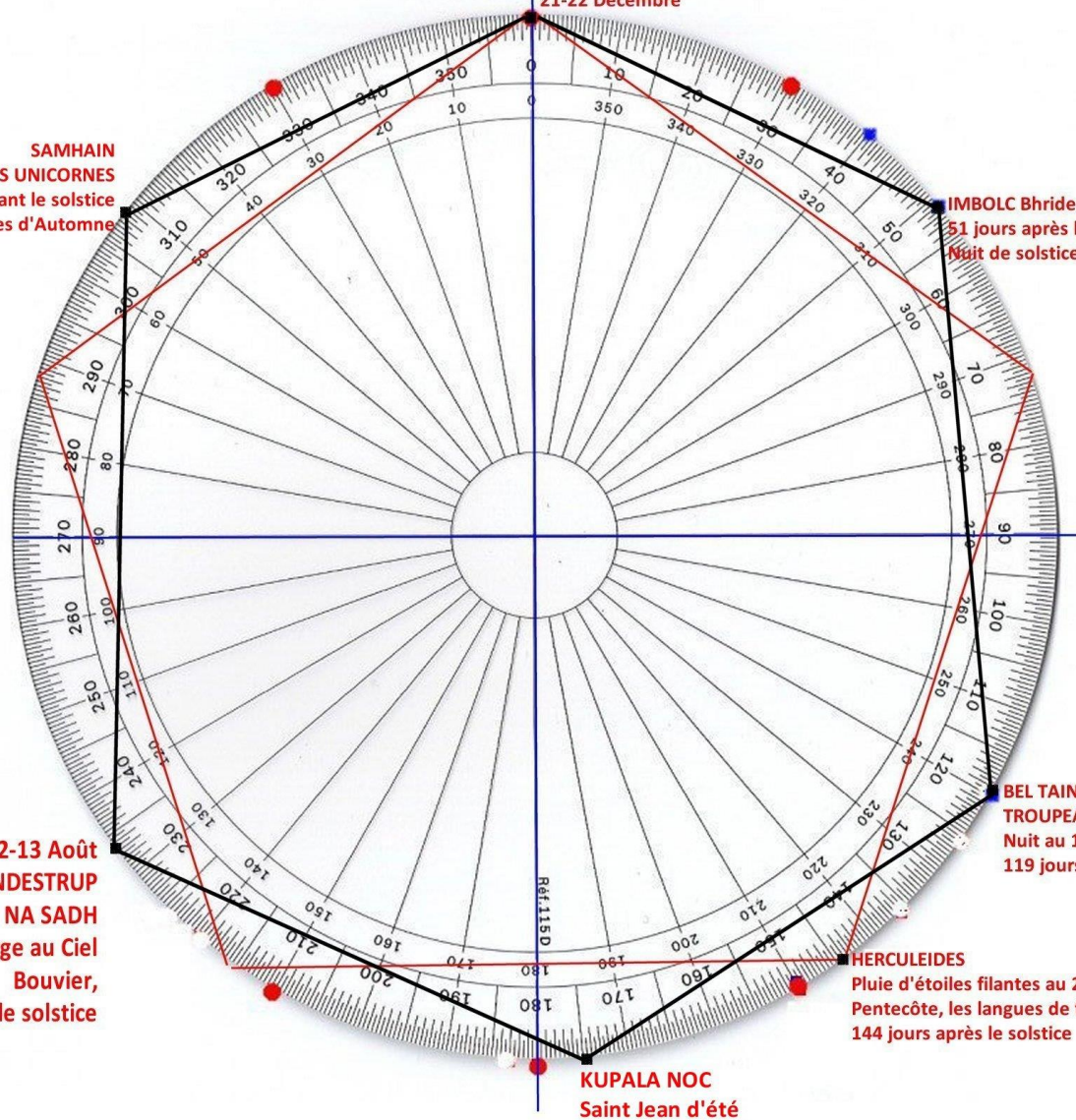

MANANNAN/PEIR DADENI
Nuit de solstice d'hiver
21-22 Décembre

SAMHAIN
PLAQUE AUX TROIS UNICORNES
51 jours avant le solstice
Ancêtres d'Automne

IMBOLC Bhride Day, 13 Février
51 jours après la
Nuit de solstice

BEL TAIN
TROUPEAU DE BEL
Nuit au 1er Mai
119 jours après le solstice

HERCULEIDES
Pluie d'étoiles filantes au 25 Mai
Pentecôte, les langues de feu
144 jours après le solstice

KUPALA NOC
Saint Jean d'été
Midsummer Night
174 jours après le solstice

PERSEIDES 12-13 Août
PLAQUE LUGH GUNDESTRUP
=LUGH NA SADH
= Montée de la Vierge au Ciel
Bouvier,
234 jours après le solstice

1

Manannan, Cu Chulain, trempe les guerriers morts dans le Chaudron d'Immortalité, afin qu'ils retournent au combat dans la Horde Sauvage

Les Trois Unicornes sont sacrifiés pour le retour des Ancêtres d'Automne en Slavie

5

ATTENTION: le départ de la datation est au solstice d'hiver!

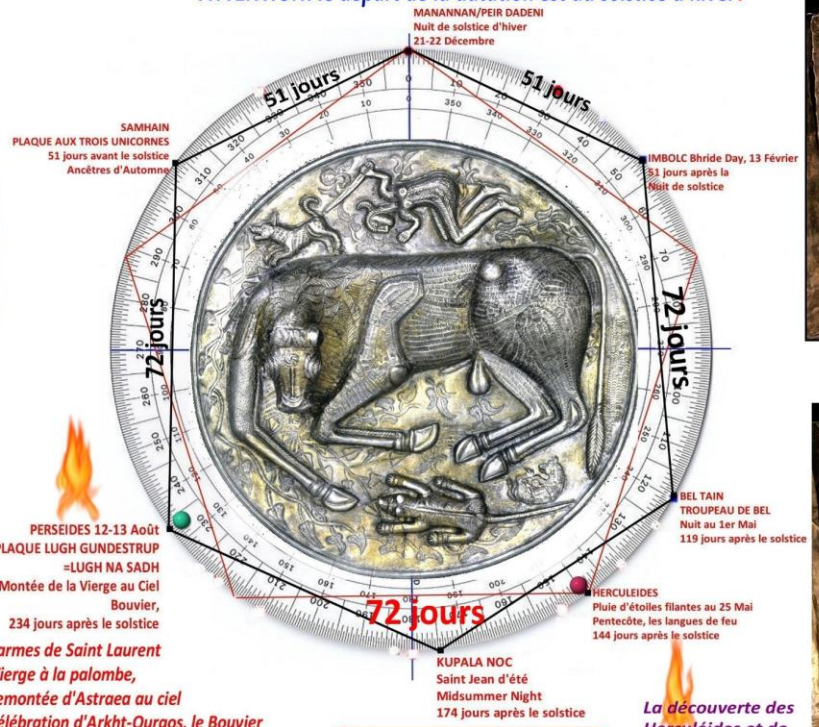

Lakshmi la Bienveillante,Dana, Brigidd, lance des boules de neige à six pointes sur Veles le dieu de la Saison Sombre

2

4

Lugh le Bouvier vêtu en shaman, tient en main Lune et Serpente, La Serpente est Brigidd, Vénus, qui règne sur les humains en assurant l'ordre du Temps. Le Cerf Blanc s'assure que les rites sont bien respectés, afin de le transmettre à Arkht-Themis, Justice de l'Ourse Les Oursonnes, servanrtes d'Artémis, sont absente de cette plaque. Et Artémis aussi.

Larmes de Saint Laurent
Vierge à la palombe, remontée d'Astraea au ciel
célébration d'Arkht-Ourgos, le Bouvier

Houston, nous avons un problème. Il y a 5 plaques sur le Chaudron, mais tout semble indiquer la présence de la célébration de Kupala Noc. Où est passée cette célébration ? GT

La découverte des Herculéides et de leur place dans le cycle est de Matthieu Calloc'h. Le problème n'est pas résolu.

3

Retour d'Aurore à la maison de son père le Dieu-Tonnerre, arrachée aux mains de son ravisseur, le Scorpion de l(hiver

Larmes de Saint Laurent
Vierge à la palombe,
remontée d'Astraea au ciel
célébration d'Arkht-Ourgos, le Bouvier

Houston, nous avons un problème.
Il y a 5 plaques sur le Chaudron,
mais tout semble indiquer la présence de
la célébration de Kupala Noc. Où
est passée cette célébration ? GT

La découverte des
Herculéides et de
leur place dans le
cycle est de
Matthieu Calloc'h.
Le problème n'est
pas résolu.

Etoile du Nord Drudenfusz Svati

La perversion et sa jouissance constitue la modalité fondamentale d'organisation des société humaines. Les pervers qui se commettent à ce travail du groupe, restent ordinairement dans l'ombre, et délèguent à la représentation auprès des foules, des personnages patentés dans l'art du spectacle hypnotique, les politiciens, animés par la libido dominandi. Les pervers se chargent de la libido fruendi dont ils partagent les bénéfices avec leurs collègues de la scène publique.

GT 2021 11 5

"Un peuple d'élite, fier de lui-même et dominateur"...

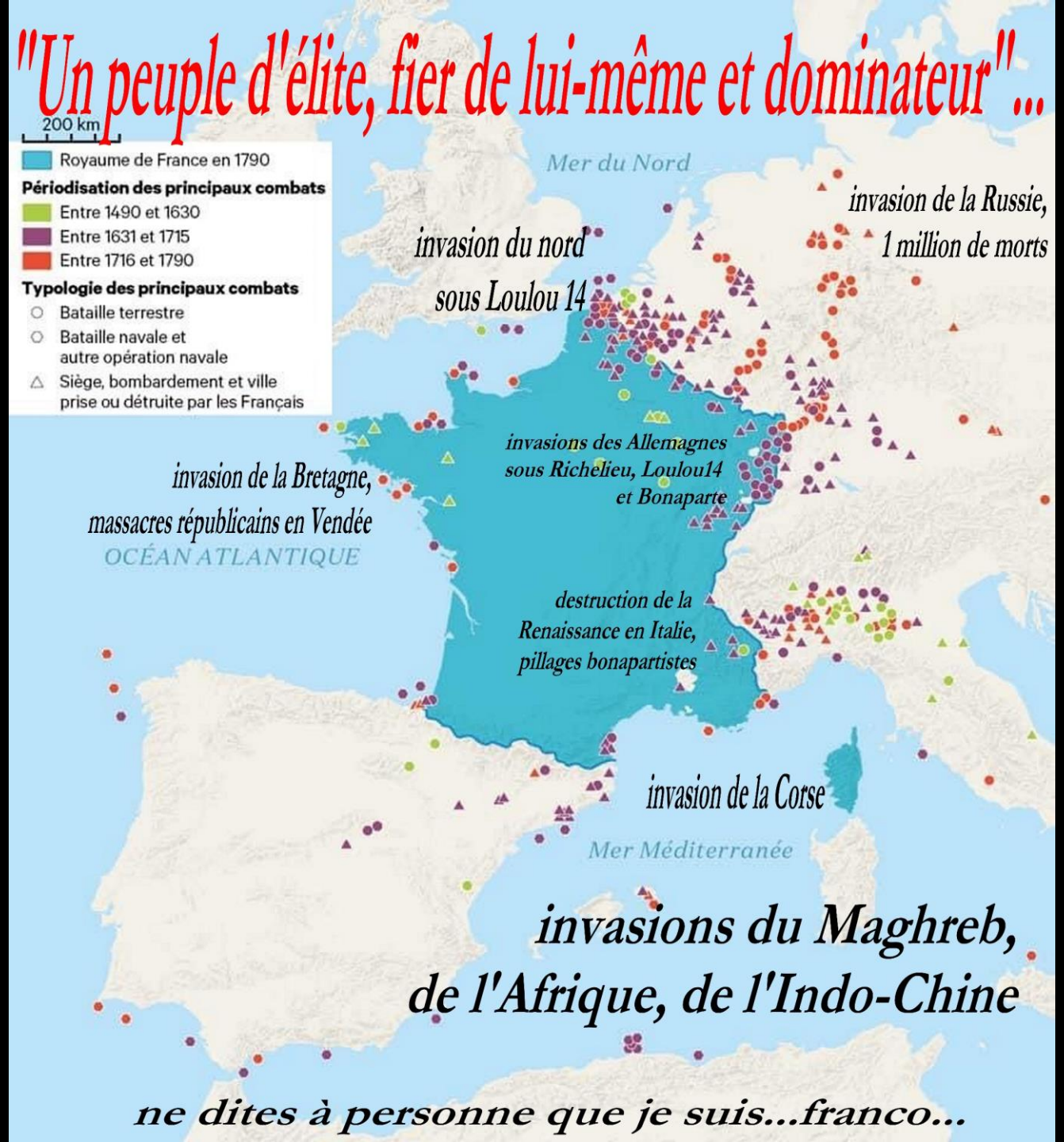

ne dites à personne que je suis...franco...

Un photon « nu » a quatre degrés de liberté : scalaire, trois vectoriels, dont deux transverses et un longitudinal. Quand le photon est habillé grâce à Weinberg et à une jauge, il n'a plus que deux degrés de liberté.

Question :

Où sont passés les autres degrés de liberté ?

Une hypothèse : ils sont absorbés par le vide, et échangent constamment avec lui. Cet échange a un temps de relaxation, et c'est ce temps qui fixe la vitesse du photon à la vitesse-limite. GT

Nuclear scale ... to string scale

Matter

Macroscopic

Crystal

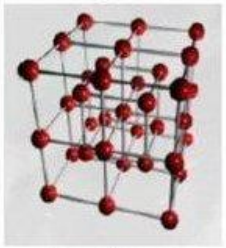

10^{-9} m

Atom

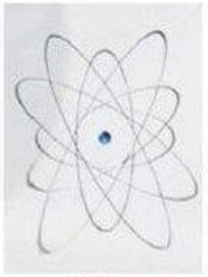

10^{-10} m

Atomic nucleus

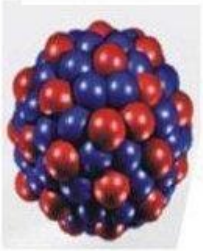

10^{-14} m

Nucleon

10^{-15} m

Quark

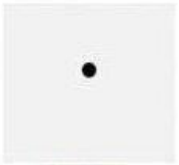

$< 10^{-18}$ m

Nuclear physics:
studies the properties of nuclei and
the interactions inside and between them

string scale

let's say: 2 centuries?

Actually, rather 10^(-34)m...

10^(-30)m

shamefully borrowed from Ethan Siegel

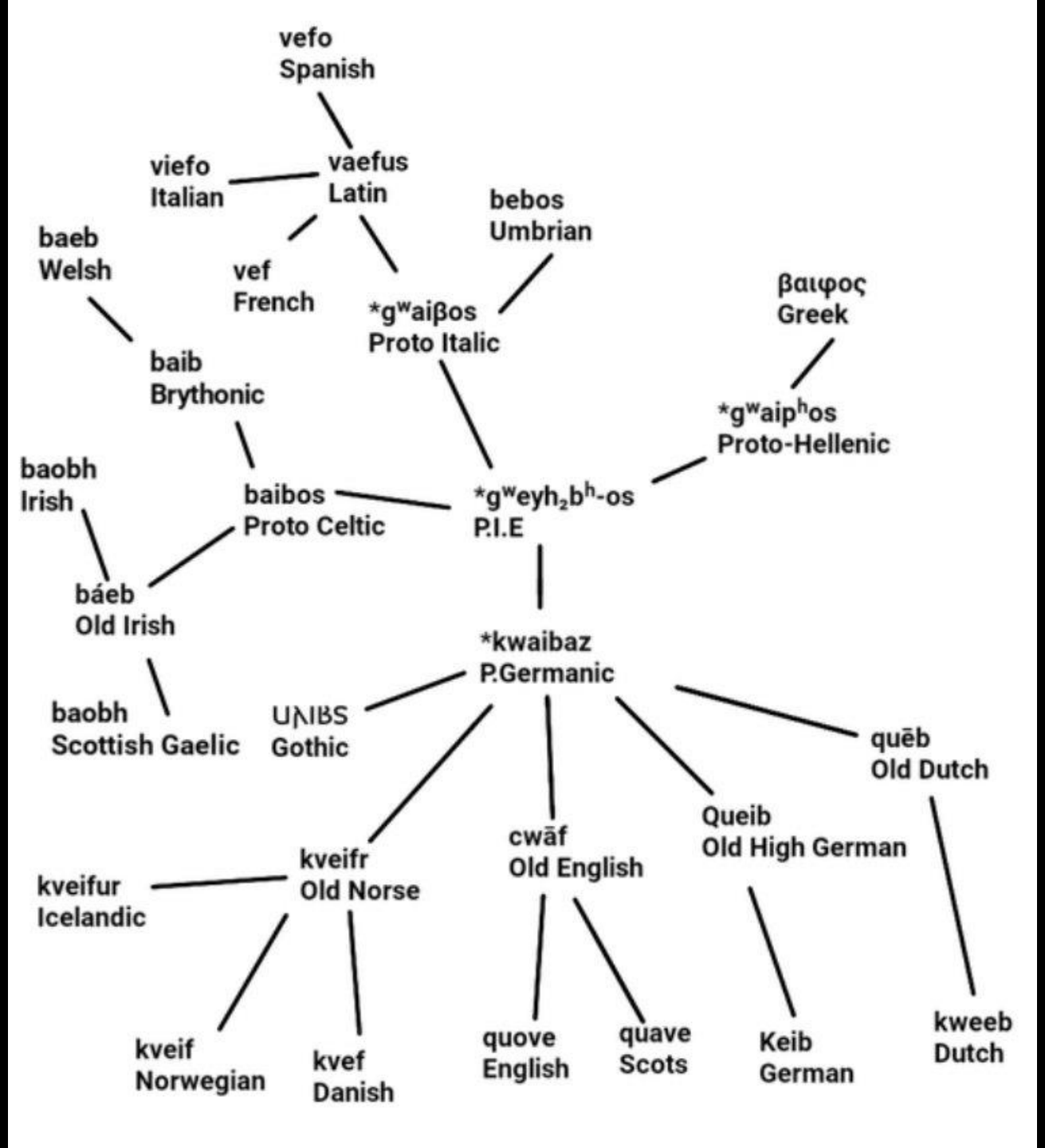
vefo
Spanish
viefo
Italian
vaefus
Latin
bebos
Umbrian
baeb
Welsh
vef
French
*gʷaiβos
Proto Italic
βαιφος
Greek
baib
Brythonic
*gʷaipʰos
Proto-Hellenic
baobh
Irish
baibos
Proto Celtic
*gʷeyh₂bʰ-os
P.I.E
báeb
Old Irish
*kwaibaz
P.Germanic
baobh
Scottish Gaelic
ᘻᘁᛒᛊ
Gothic
quēb
Old Dutch
Queib
Old High German
cwāf
Old English
kveifr
Old Norse
kveifur
Icelandic
kveif
Norwegian
kvef
Danish
quove
English
quave
Scots
Keib
German
kweeb
Dutch

Soient les lois de Kepler et la loi de Newton de la force centrale en i/r^2 ;

Définir l'équation différentielle d'un point courant sur l'orbite de l'ellipse définie par la force centrale en un des foyers de l'ellipse.

Prendre pour origine du repère le foyer concerné.

Définir l'équation différentielle de la vélocité du point courant.

Conjuguer ce résultat avec le forçage solaire défini par la loi en i/r^2, afin de définir la quantité de chaleur reçue par le point courant instantanément.

Définir l'équation différentielle résultante en fonction de l'excentricité e = c/a de l'ellipse.

Calculer la primitive de cette équation sur une période de parcours du point courant.

Calculer enfin la quantité de chaleur reçue sur une période, en variant les excentricités.

On prendra les excentricités 0,017 et 0,6.

Comparer la quantité de chaleur reçue par le point courant sur une période, avec les excentricités.

Gérôme Taillandier, 2023 10 23

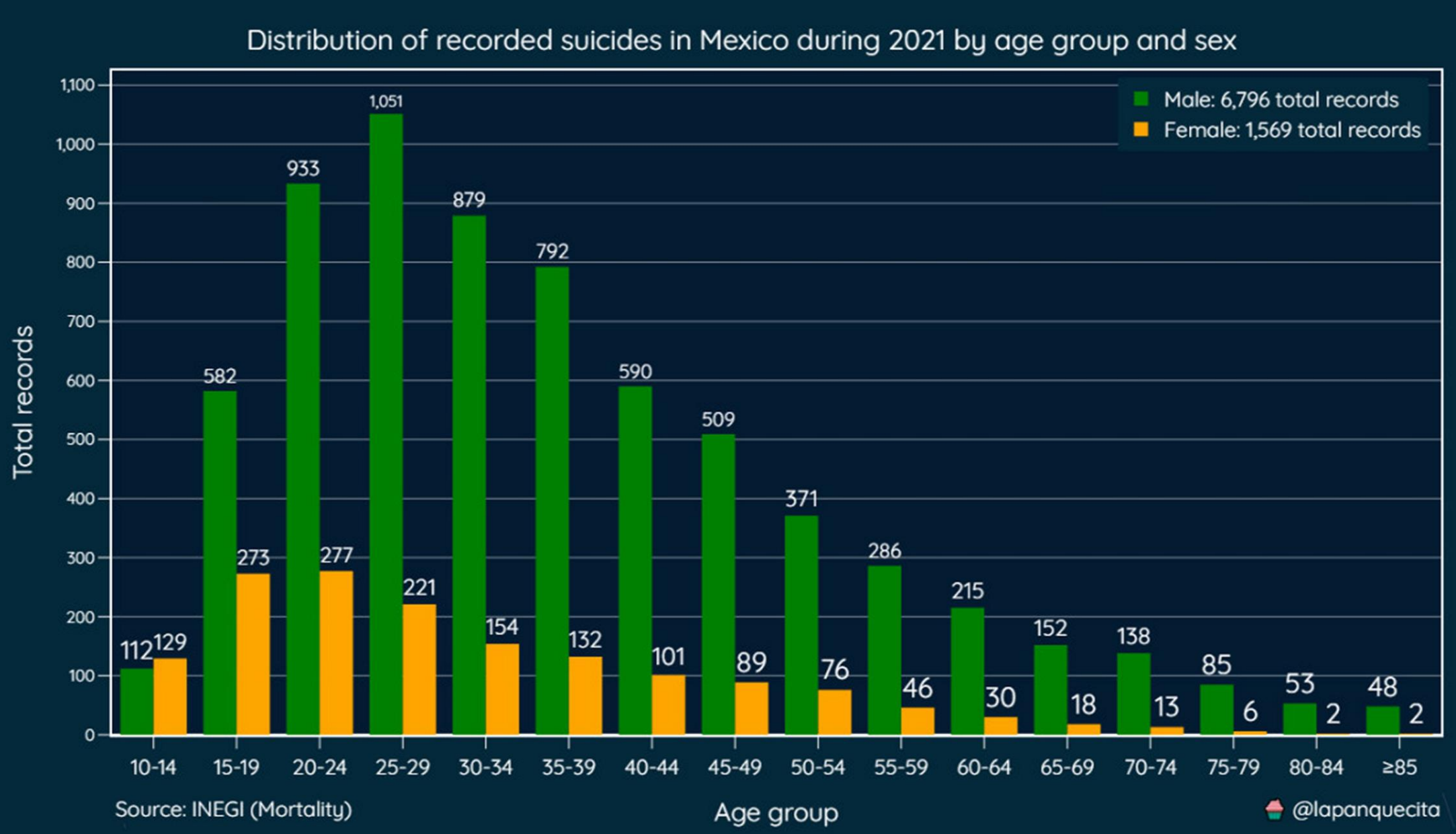

Distribution of recorded suicides in Mexico during 2021 by cause and sex

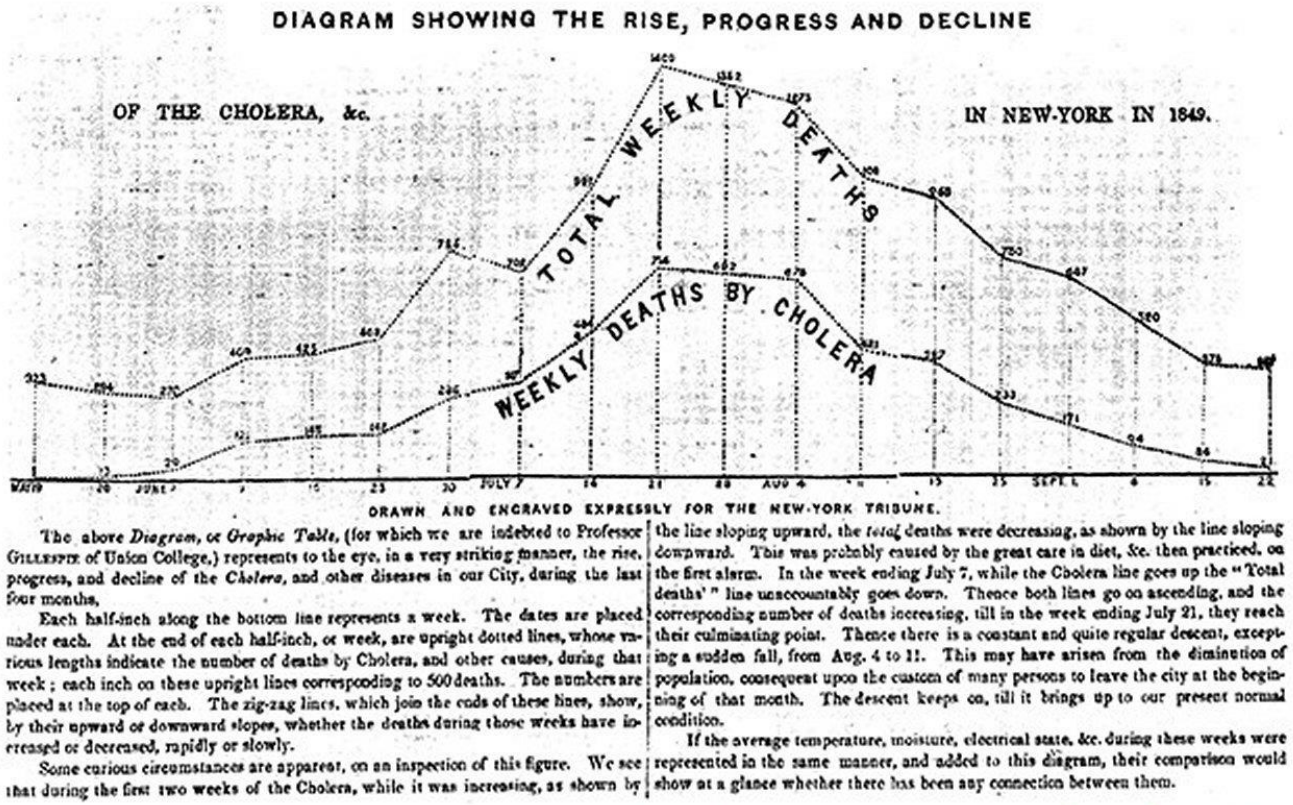

The above *Diagram, or Graphic Table,* (for which we are indebted to Professor GILLESPIE of Union College,) represents to the eye, in a very striking manner, the rise, progress, and decline of the *Cholera,* and other diseases in our City, during the last four months.

Each half-inch along the bottom line represents a week. The dates are placed under each. At the end of each half-inch, or week, are upright dotted lines, whose various lengths indicate the number of deaths by Cholera, and other causes, during that week; each inch on these upright lines corresponding to 500 deaths. The numbers are placed at the top of each. The zig-zag lines, which join the ends of these lines, show, by their upward or downward slopes, whether the deaths during those weeks have increased or decreased, rapidly or slowly.

Some curious circumstances are apparent, on an inspection of this figure. We see that during the first two weeks of the Cholera, while it was increasing, as shown by the line sloping upward, the *total* deaths were decreasing, as shown by the line sloping downward. This was probably caused by the great care in diet, &c. then practiced, on the first alarm. In the week ending July 7, while the Cholera line goes up the "Total deaths'" line unaccountably goes down. Thence both lines go on ascending, and the corresponding number of deaths increasing, till in the week ending July 21, they reach their culminating point. Thence there is a constant and quite regular descent, excepting a sudden fall, from Aug. 4 to 11. This may have arisen from the diminution of population, consequent upon the custom of many persons to leave the city at the beginning of that month. The descent keeps on, till it brings up to our present normal condition.

If the average temperature, moisture, electrical state, &c. during these weeks were represented in the same manner, and added to this diagram, their comparison would show at a glance whether there has been any connection between them.

Courbe de Poisson résultant d'une épidémie de choléra.

On constate un fait intéressant: les morts non dûs

à l'épidème manifestent une nette augmentation indépendante

de l'épidème, ce qui semble indiquer qu'il existe un effet secondaire

de ce facteur qui retentit sur les causes de mortalité "normales".

Il se pourrait que ce fait soit intrinsèque aux épidémies et que

d'autres épidèmes engendrent le même phénomène.

GT 2021 10 12

Courbe de Poisson de la mortalité résultant d'une épidémie de choléra

La courbe épidémique est presque gaussienne, indiquant l'importance de la propagtion de l'épidème
tandis que les effets secondaires peut-êtrer associés à l'épidème rendent la courbe
totale Poisson.

LOI DE POISSON CONTINUE

COURBE DE PROPAGATION ÉPIDÉMIQUE

$$P(k) = (e^{-\lambda}).\lambda^{k}.[\Gamma(k+1)]^{-1},$$

avec k Appartenant à **R.**

avec :

$$\Gamma(n+1) = n!$$

$$\Gamma(z) = \int_0^{+\infty} t^{z-1} e^{-t}\,dt\,,$$

z complexe.

Figure 2. Comparaison des projections de population publiées en 1981 et en 2017

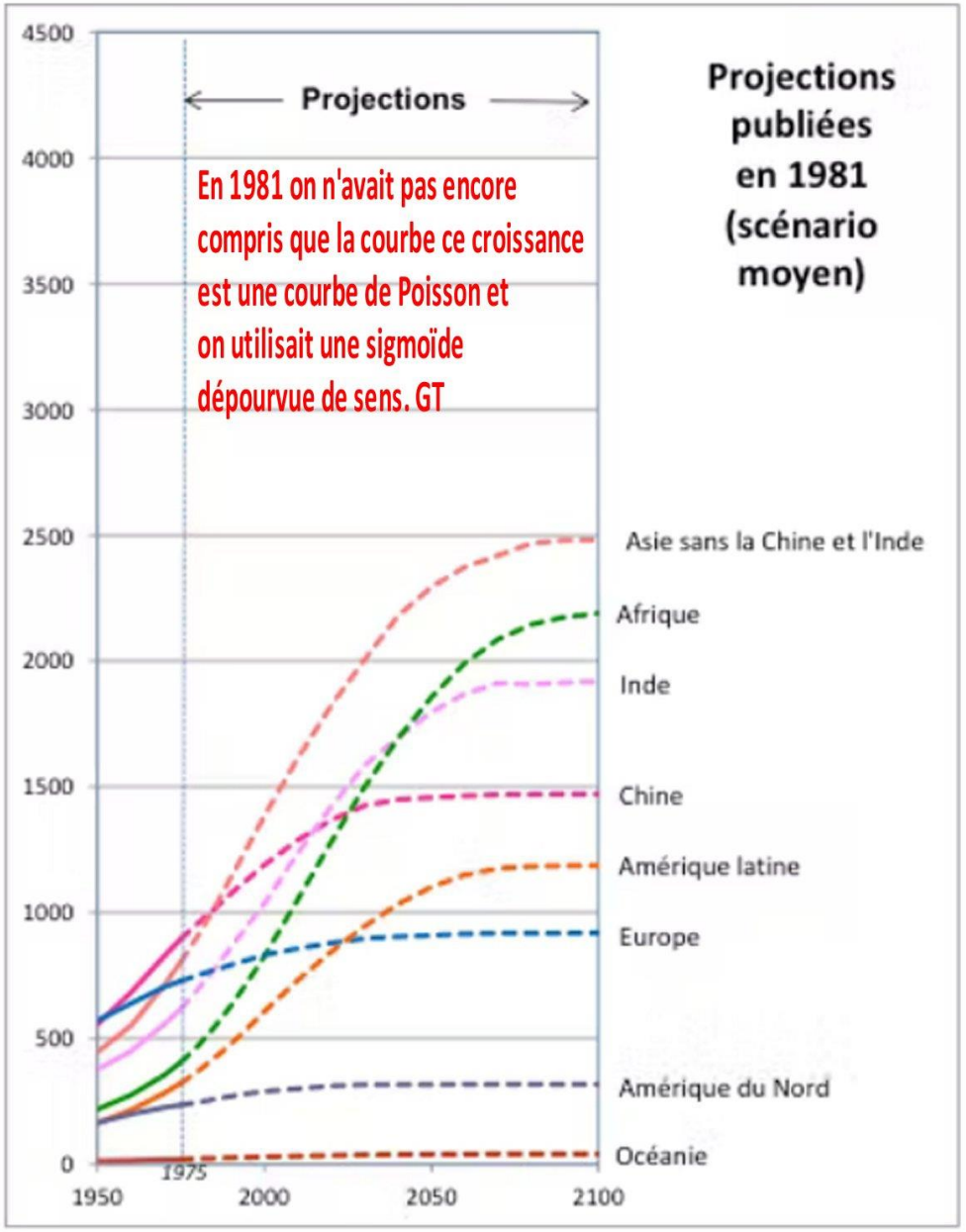

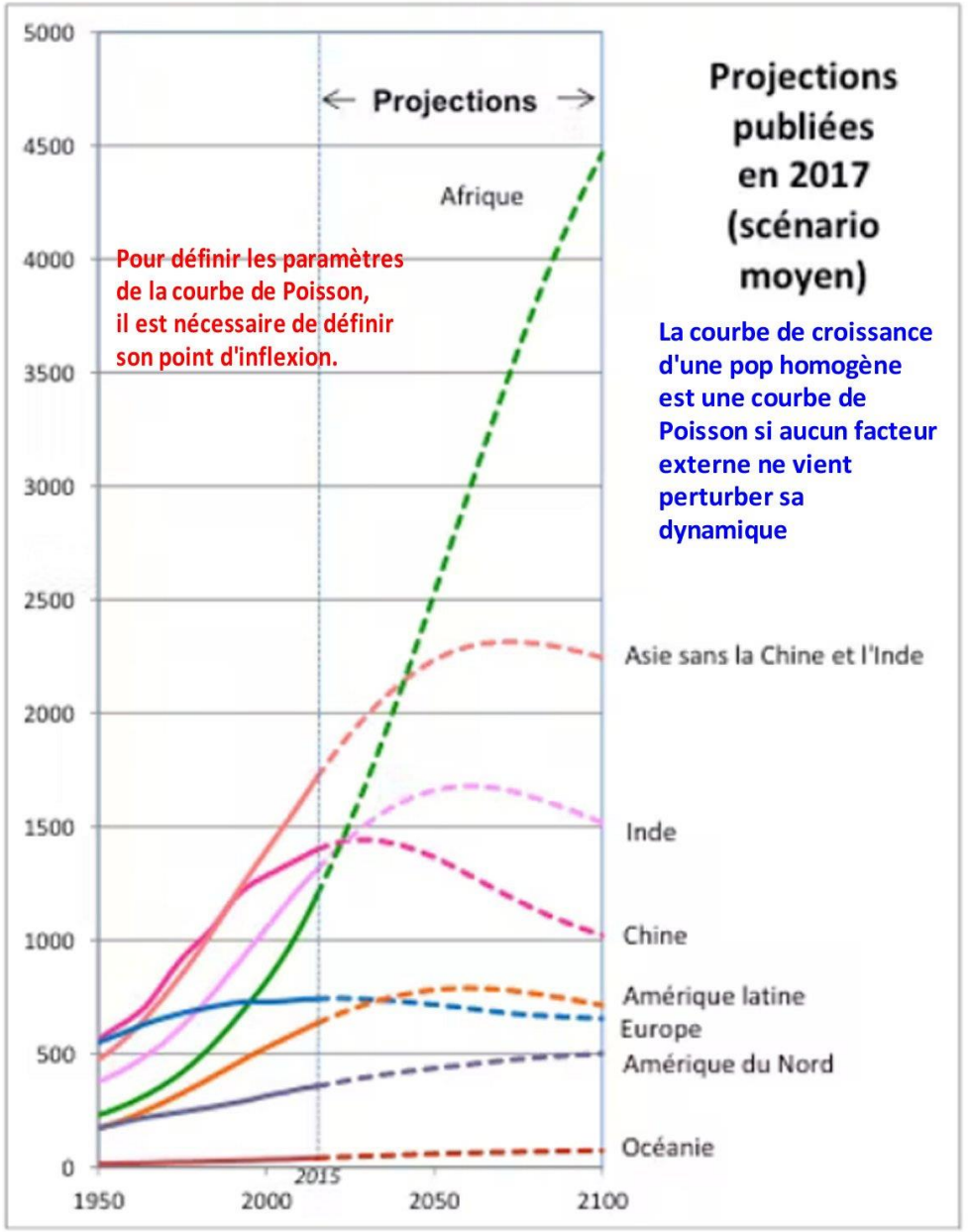

Une courbe épidémique est une courbe de Poisson continue, somme directe d'un nombre fini de courbes de Poisson élémentaires, que j'ai schématisées par des courbes en pic par souci de simplicité.
La somme directe sur un intervalle donné d'un nombre infini de courbes de Poisson est une courbe de Poisson. GT

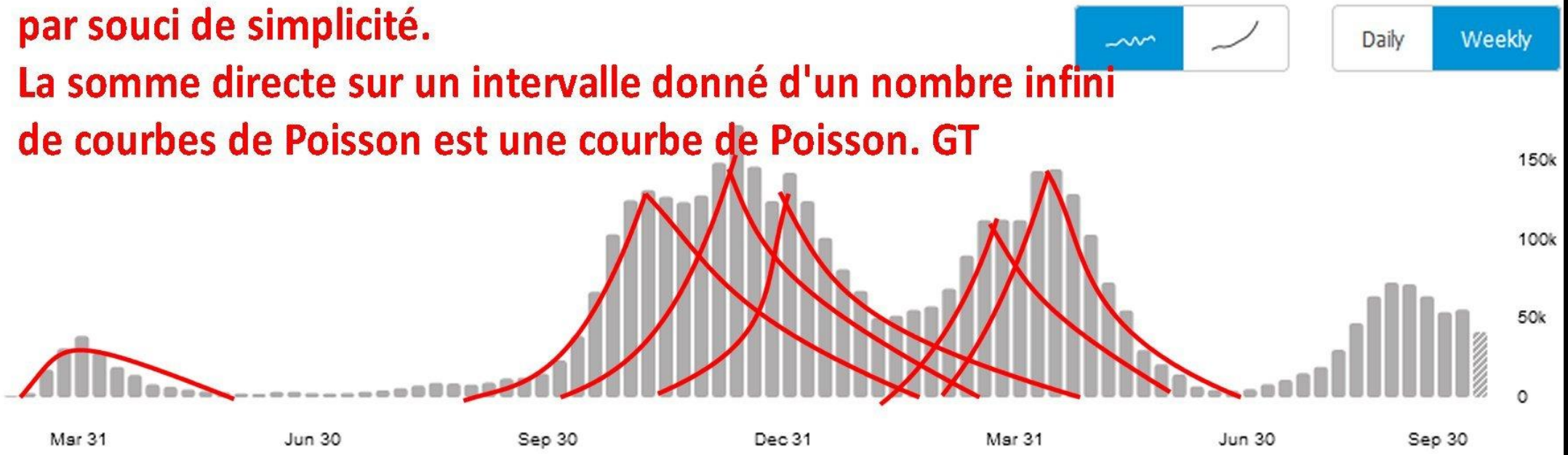

Pour obtenir une courbe épidémique, nous devons remplacer les factorielles par la fonction GAMMA.

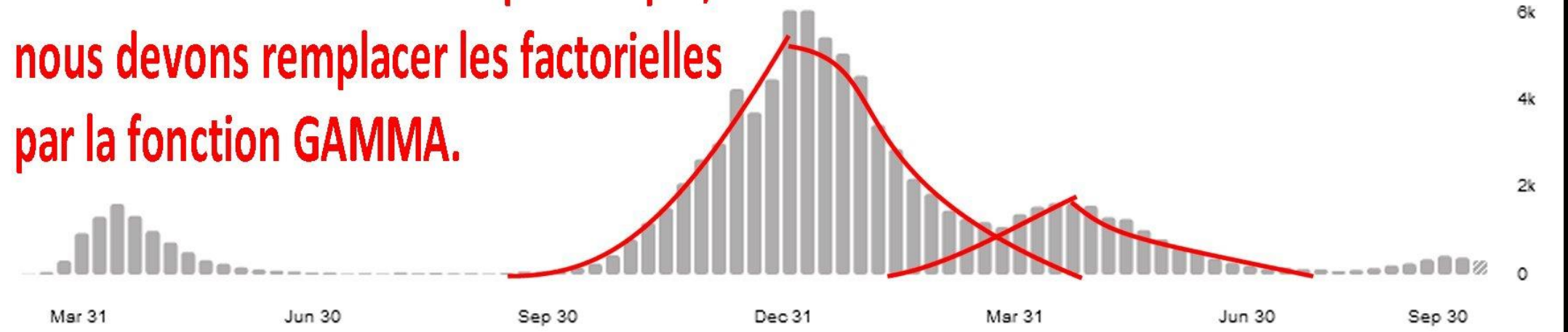

Représentation du Capital Salarial par groupe de salaire et multiplié par le salaire du groupe.
Cet indicateur donne le poids économique de chaque groupe dans la société globale, sous le SEUL aspect des salaires.

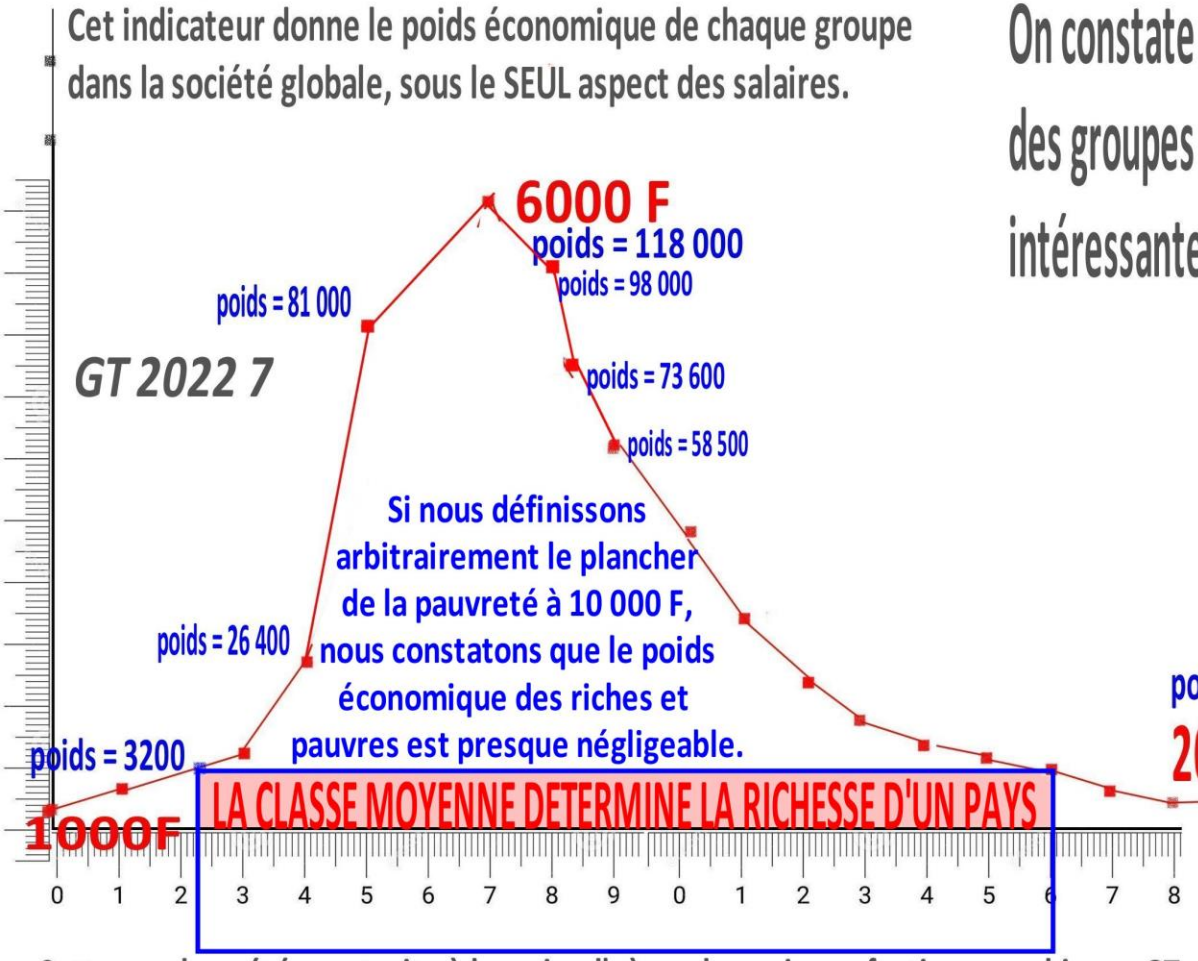

Cette courbe a été construite à la main, d'où quelques imperfections graphiques GT

La courbe de répartition des Salaires est une **courbe de Poisson** où "**courbe épidémique**" lorsqu'elle est continue.
On constate qu'il en va de même de la courbe du POIDS des groupes de salaire , mais avec des modifications intéressantes de la partie ascendante de la courbe. GT

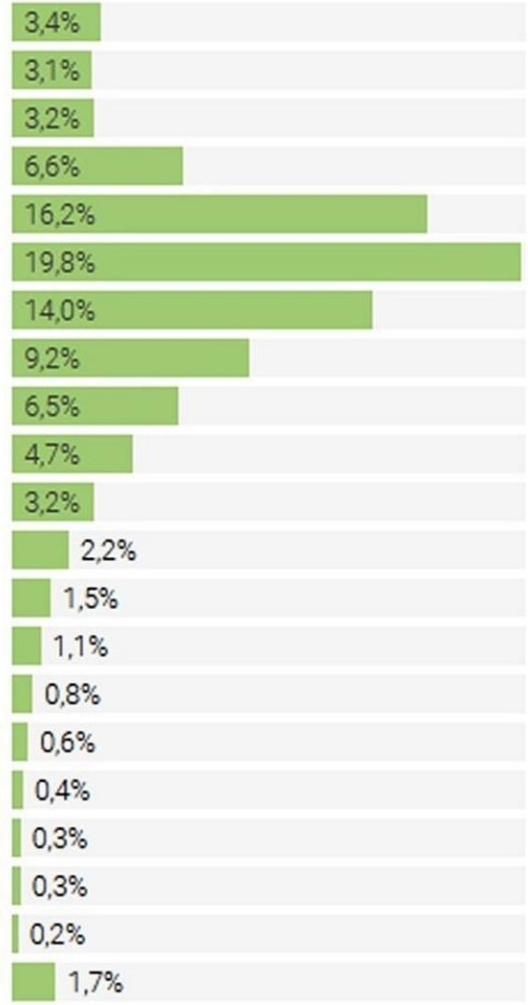

PLUS DE 20 000 F

Les salaires très élevés ne sont pas pris en compte pour des raisons de statistiques.
Il n'y a guère de doute qu'ils sont définis sur la courbe de Poisson

Cette courbe a été établie pour des raisons didactiques sur les Salaires Hommes Suisse 2020.

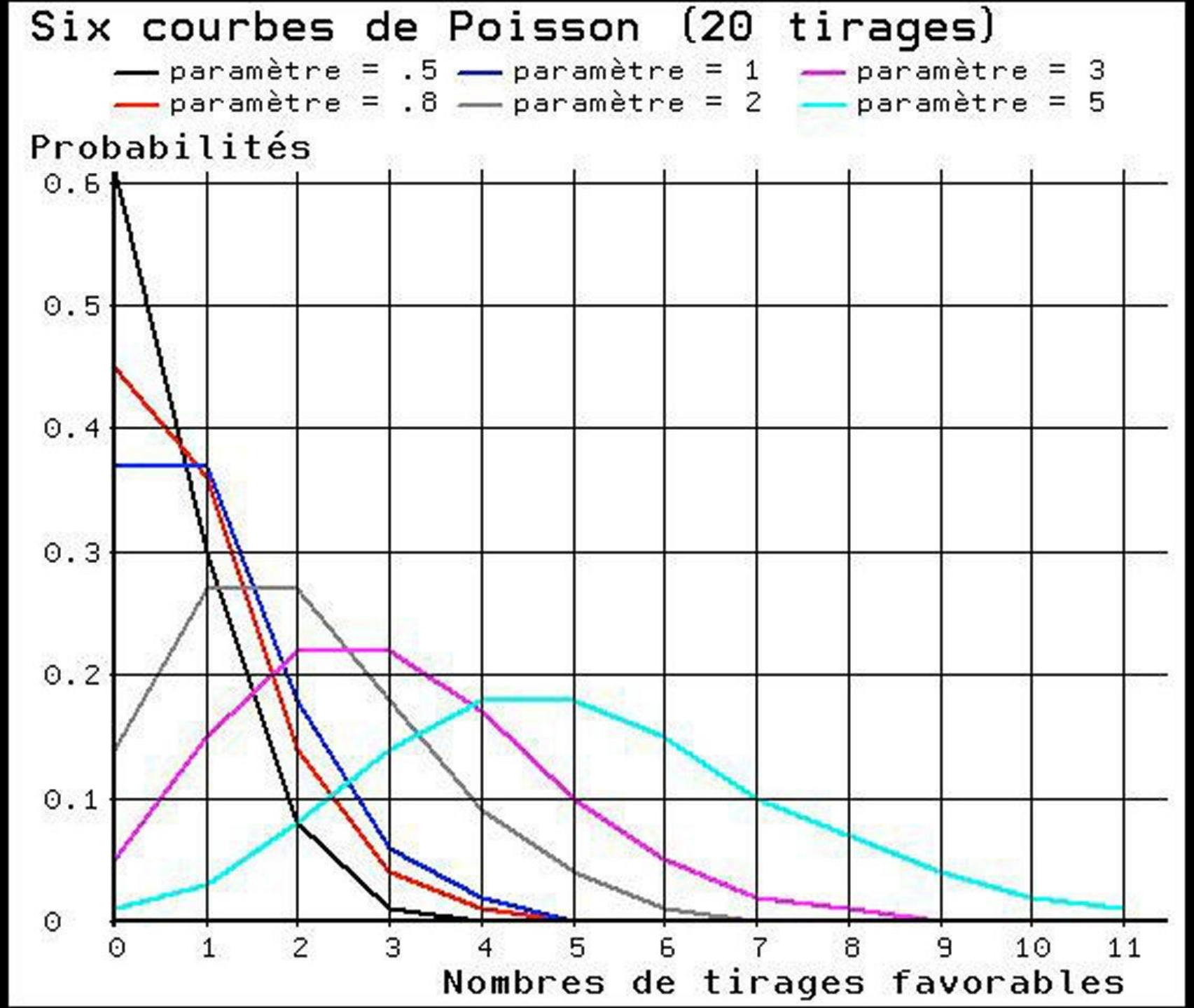
Six courbes de Poisson (20 tirages)
paramètre = .5
paramètre = 1
paramètre = 3
paramètre = .8
paramètre = 2
paramètre = 5
Probabilités
0.6
0.5
0.4
0.3
0.2
0.1
0
0 1 2 3 4 5 6 7 8 9 10 11
Nombres de tirages favorables

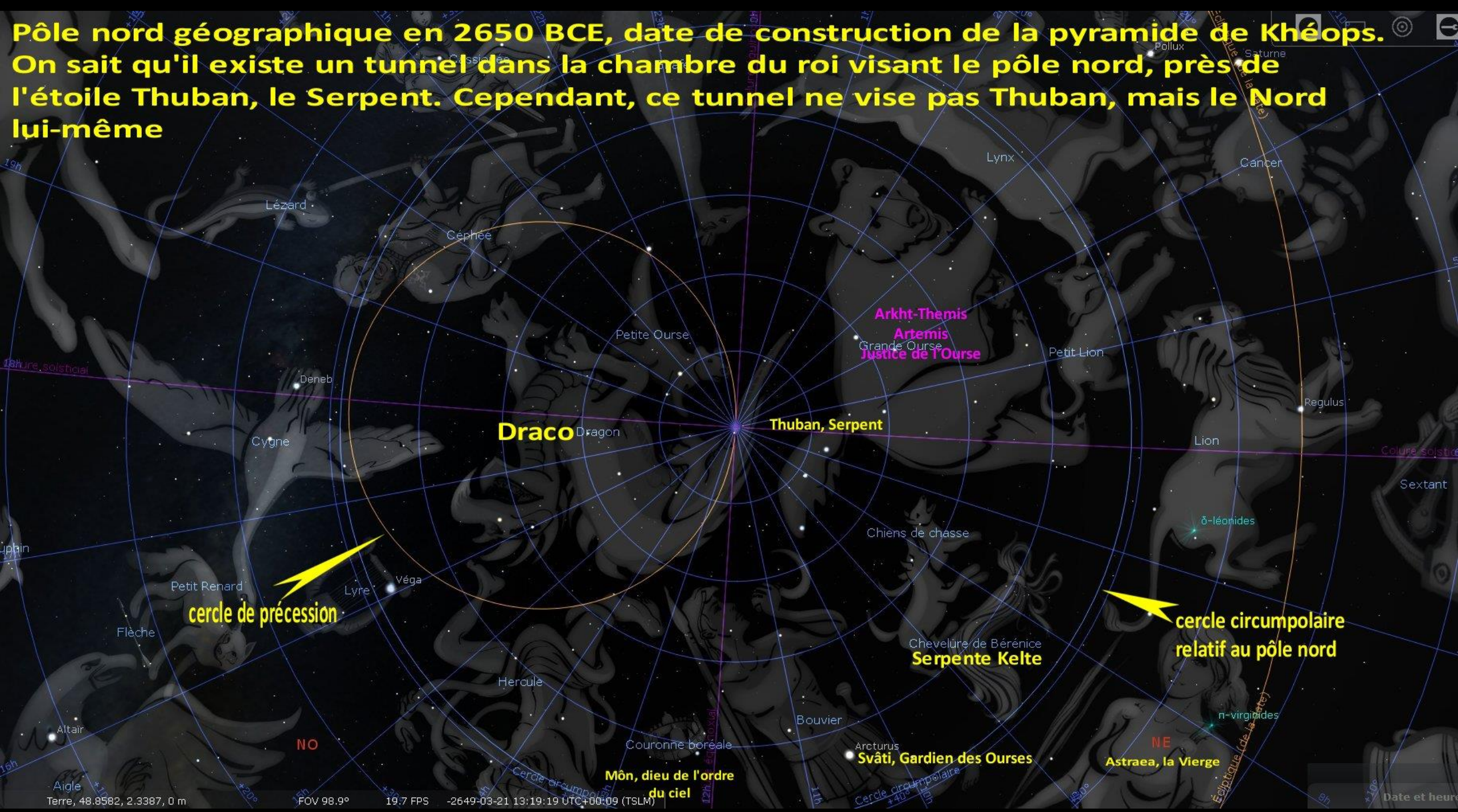
Pôle nord géographique en 2650 BCE, date de construction de la pyramide de Khéops.
On sait qu'il existe un tunnel dans la chambre du roi visant le pôle nord, près de l'étoile Thuban, le Serpent. Cependant, ce tunnel ne vise pas Thuban, mais le Nord lui-même
Pollux
Saturne
Lynx
Cancer
Lézard
Céphée
Arkht-Themis
Artemis
Justice de l'Ourse
Petite Ourse
Grande Ourse
Petit Lion
Deneb
Regulus
Draco
Dragon
Thuban, Serpent
Cygne
Lion
Sextant
δ-léonides
Chiens de chasse
Petit Renard
Lyre
Véga
cercle de précession
Flèche
cercle circumpolaire
relatif au pôle nord
Chevelure de Bérénice
Serpente Kelte
Hercule
Bouvier
Altair
NO
Couronne boréale
Arcturus
Svâti, Gardien des Ourses
NE
Astraea, la Vierge
Môn, dieu de l'ordre du ciel
Aigle
Terre, 48.8582, 2.3387, 0 m
FOV 98.9°
19.7 FPS
-2649-03-21 13:19:19 UTC+00:09 (TSLM)

Gérôme Taillandier, l'éternel retour

@gerometaillandier / gerometaillandier.tumblr.com

Paramètres du blog

Billets Coups de cœur Abonnements

gerometaillandier

"Il faut adapter Paris à l'automobile et les Français à la Banque Rothschild."

Georges Pompidou

croissance et décroissance des peuples

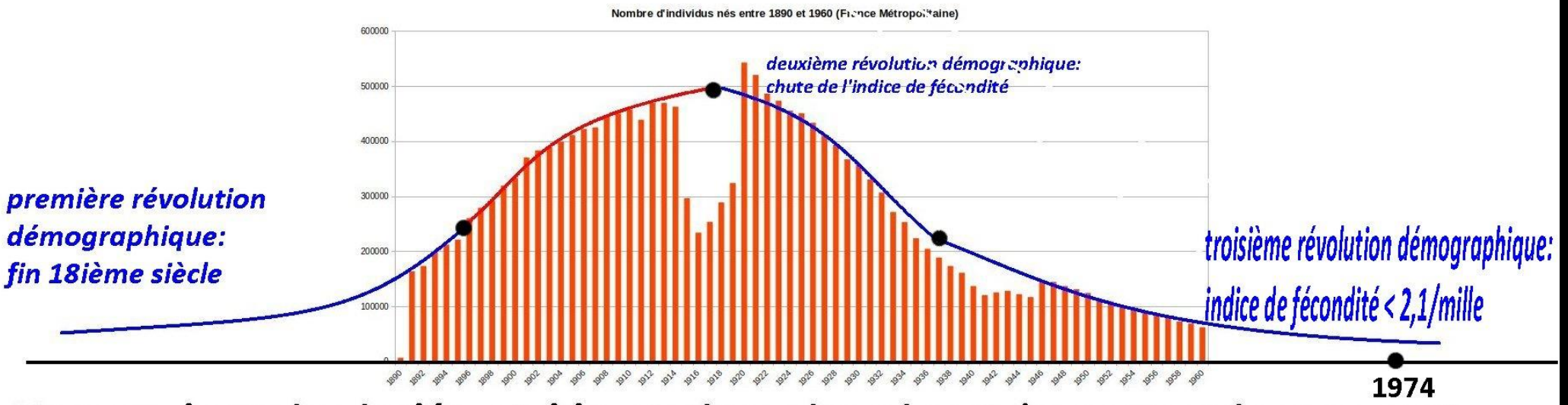

Une pop humaine isolée, stable, stationnaire, vivant dans un environnement stationnaire, a une croissance définie par une courbe de Poisson continue, ou "courbe épidémique". GT 2021 1 19

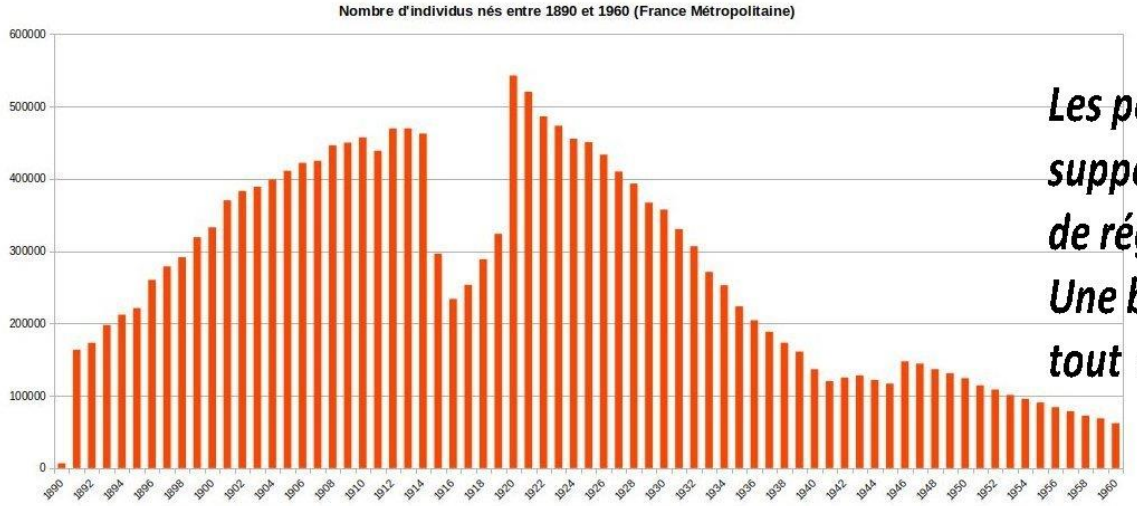

Les peuples semblent très mal supporter les changements de régime démographique. Une bonne guerre permet de tout oublier.

Production mondiale de plastique (en millions de tonnes)

Aucune industrie dans le monde n'a connu pareille croissance. À titre de comparaison, la production mondiale d'acier est passée, entre 1980 et 2017, de 600 à 1 700 millions de tonnes, celle d'aluminium de 14 à 60 millions de tonnes.

Source : PlasticsEurope Market Research Group

1 How to connect by strong interaction those 2 protons ?
A meson has emerged from vacuum

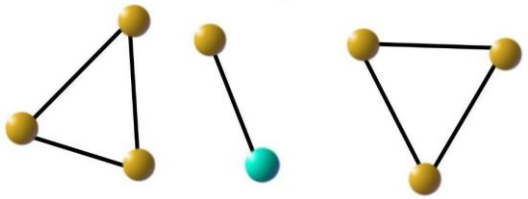

2 First proton has connected to meson by q-qbar

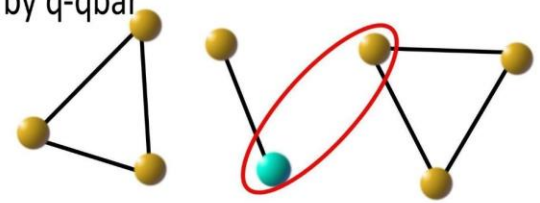

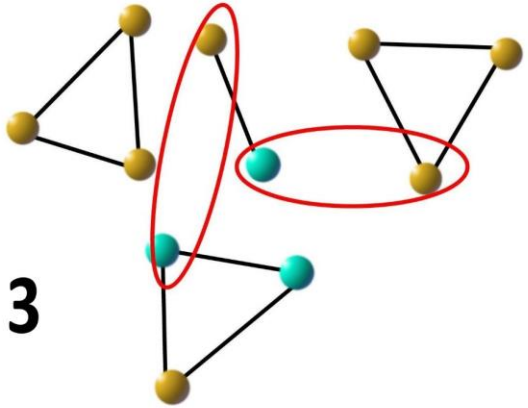

3

A wild single neutron
was passing by...
A poor lonesome neutron...
He connects to meson by q-qbar

Z

A second meson, attracted by honey, connects to second neutron qbar

4

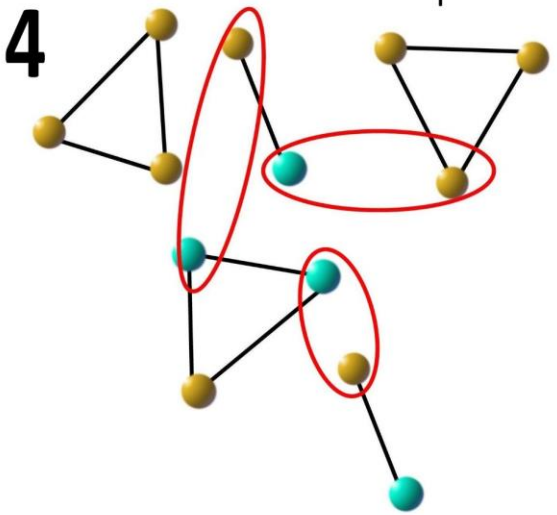

meson qbar connects to Second-proton q:
Strong interaction has connected 2 protons by the grace of neutron

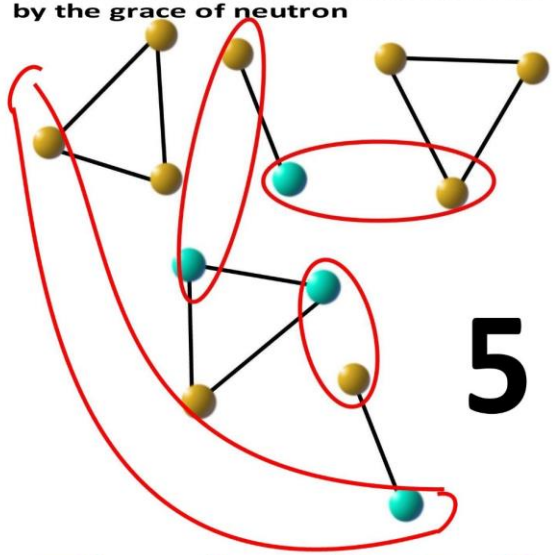

5

That's all, Folks !

Proust n’est pas mort de son asthme, mais de la grippe espagnole.

L’asthme n’a jamais tué personne. Ce sont les comportements délirants des asthmatiques et de leur entourage qui provoquent des morts violentes. L’asthme est une forme de psychose organique induite par le sujet malade et par son environnement social. Les comportements de Proust à l’endroit de son asthme sont tous plus délirants les uns que les autres.

Lorsque Proust se rend en voiture regarder les cerisiers en fleur, il aurait dû se tordre d’angoisse sur le sol en arrivant dans les cerisiers asthmatigènes en fleurs…

On devrait arrêter de dire des conneries sur ce sujet.

Proust ne s’est pas suicidé à l’asthme, mais a été tué par la grippe.

GT 2023 1 2

La PSA n'a jamais été un "soin". Elle n'a jamais guéri personne de la névrose.
Prétendre le contraire fait marcher le commerce dans le 8ième, et rien d'autre.
Elle rend utilisables les forces à l'œuvre dans la névrose.
Si l'homme aux Rats, après le peu d'analyse qu'il a fait avec F avait pû comprendre cela, il se serait barré en Suisse en enculant le Kaiser et aurait coulé des jours heureux en compagnie de la fille de l'aubergiste, en tenant un BierStube et en sautant sa gonzesse et ses copines à Oktoberfest.
C'est ce que j'aurais fait si mes moyens me l'avaient permis et que mes inhibitions m'aient foutu la paix. J'emmerde les Franco-Barbus et les rasés de près de l'Elysée, et j'adore les petites Russes qui ont les plus gros seins de la planète.
Je verrai ça pour ma prochaine réincarnation. bises G

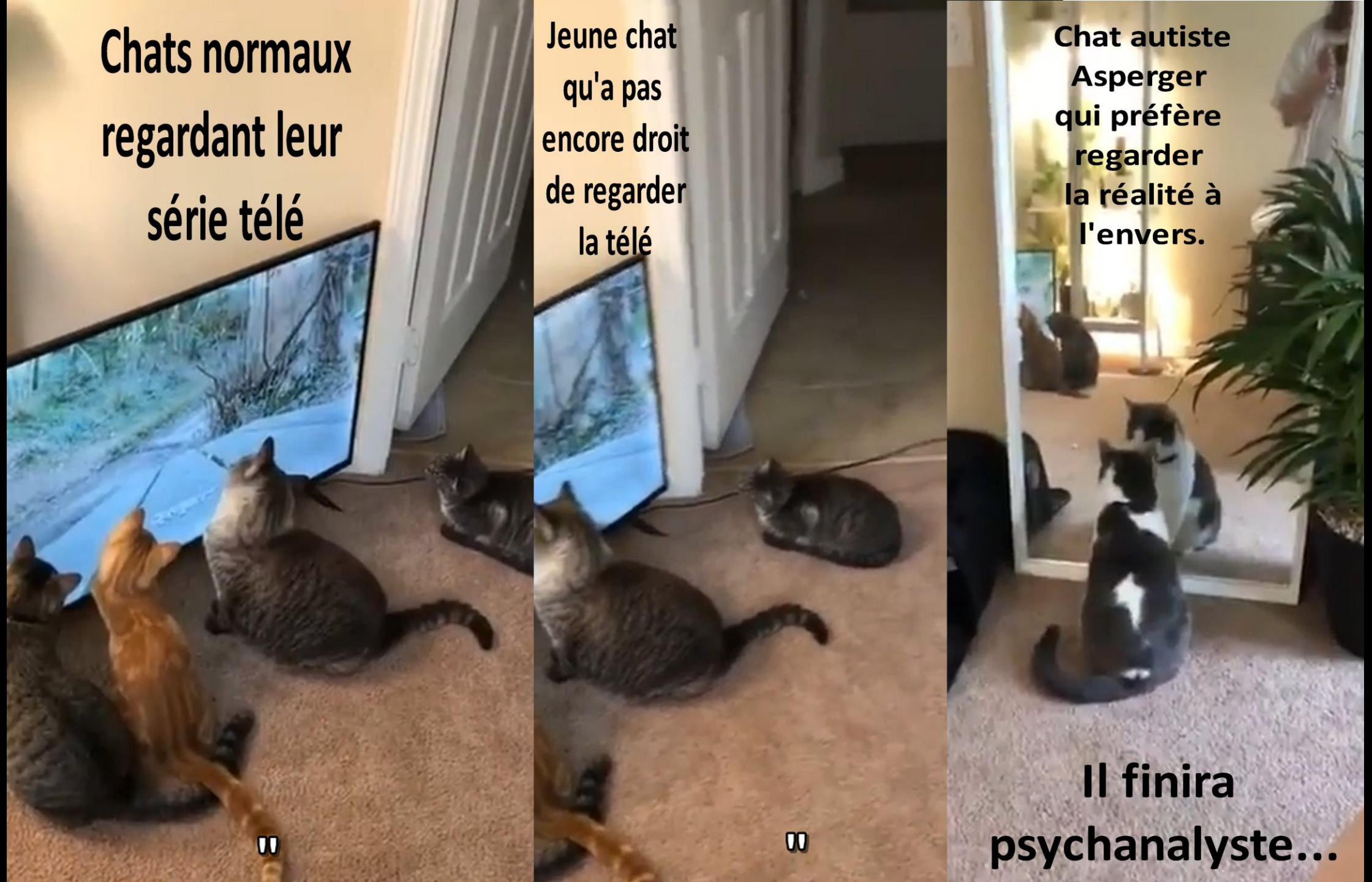
Chats normaux regardant leur série télé
"
Jeune chat qu'a pas encore droit de regarder la télé
"
Chat autiste Asperger qui préfère regarder la réalité à l'envers.
Il finira psychanalyste...

WHO IN WASHINGTON IS RESPONSIBLE FOR

THE

U.S. DEBT

???

With all the talk lately about the debt ceiling, we wanted to take a look at how we got here. While political parties play the blame game, the facts paint a more complicated picture. The data shows that both parties have presided over huge increases and decreases in our national debt, and that events like World War 2 and periods of recession have often been far more important than party ideology.

UNITED STATES DEBT AS A PERCENTAGE OF GDP (1940 - 2012 EST)

Measuring U.S. debt in numbers that haven't been adjusted for inflation produces an alarming and somewhat misleading result. .05 in 1940 ($ trillions) • 16.3 in 2012

Measuring U.S. debt as a percentage of GDP gives us a much better idea of who our biggest borrowers have been.

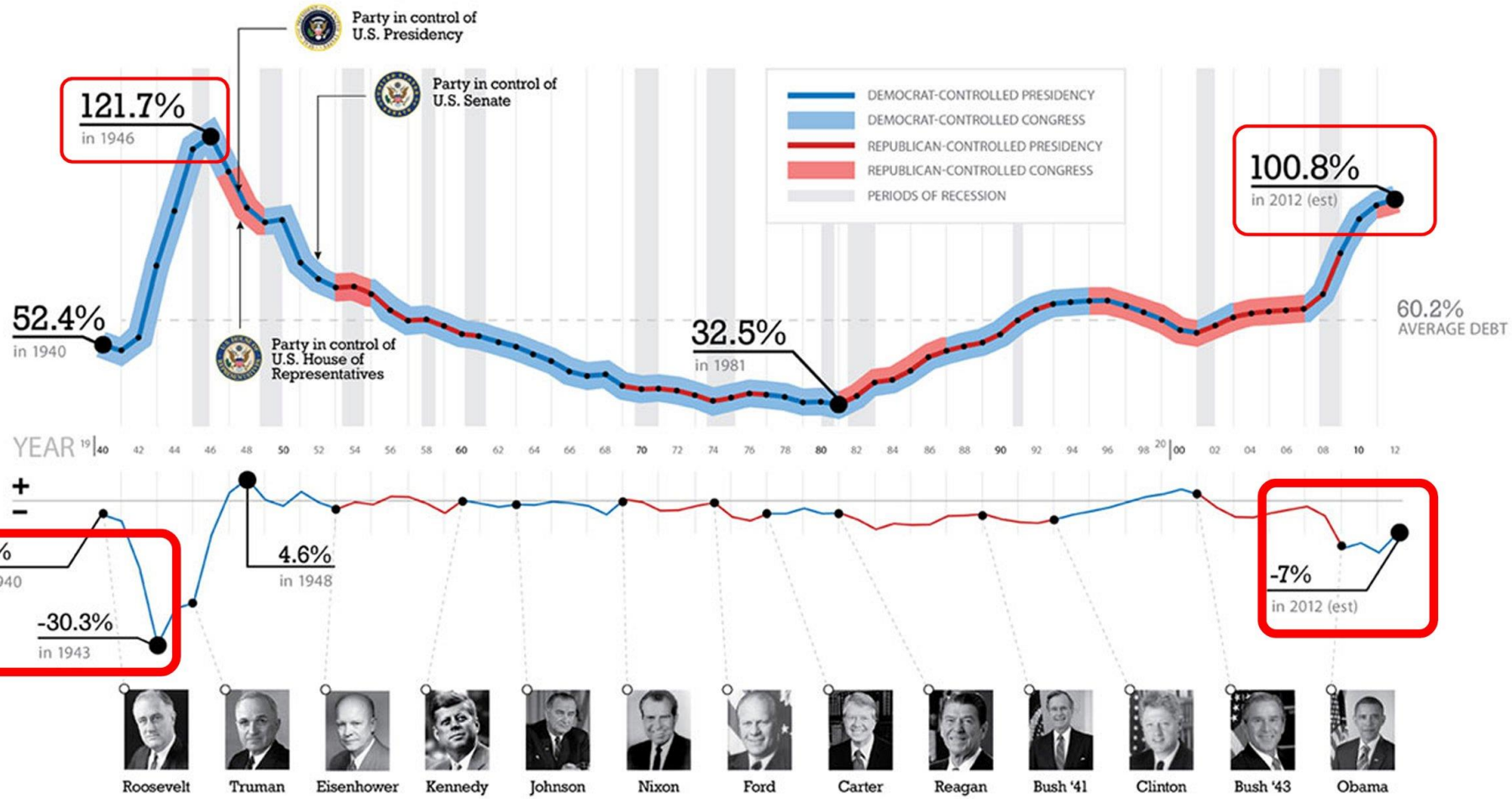

BUDGET SURPLUSES & DEFICITS AS A PERCENTAGE OF GDP

Some presidents are better at balancing budgets than others. Despite labels such as fiscal conservative or big government liberal, the data shows that the ability or inability to balance budgets is truly bi-partisan.

HOW THE RATIO OF US DEBT COMPARES TO OTHER COUNTRIES.

The range is enormous due to emerging third world markets and wild swings created by the economic collapse. (Public Debt/GDP)

La pulsion divise le sujet et le désir, lequel désir ne se soutient que du rapport de cette division à un objet qui la cause.

Telle est la structure du fantasme.

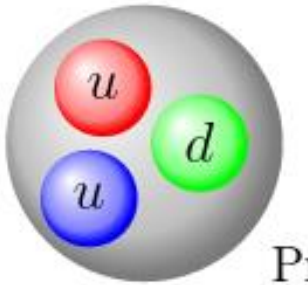

Proton

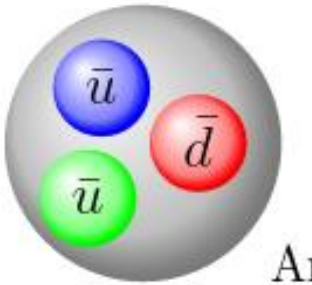

Anti-proton

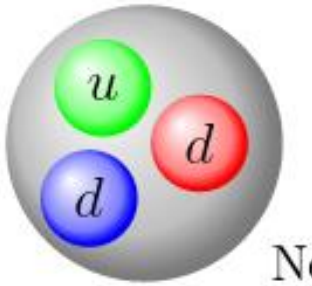

Neutron

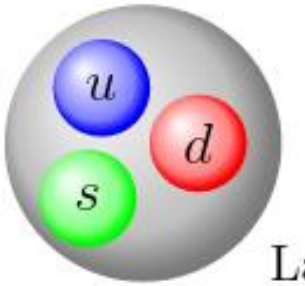

Lambda

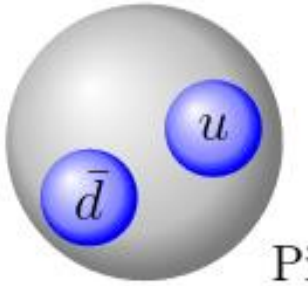

Pion chargé π^+

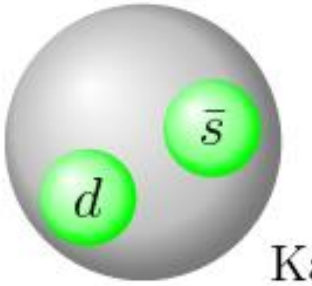

Kaon neutre K^0

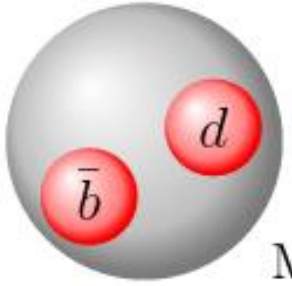

Méson B^0

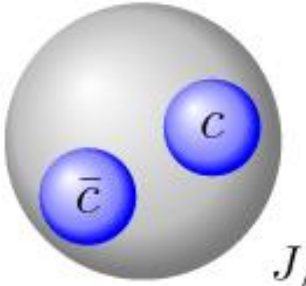

J/ψ

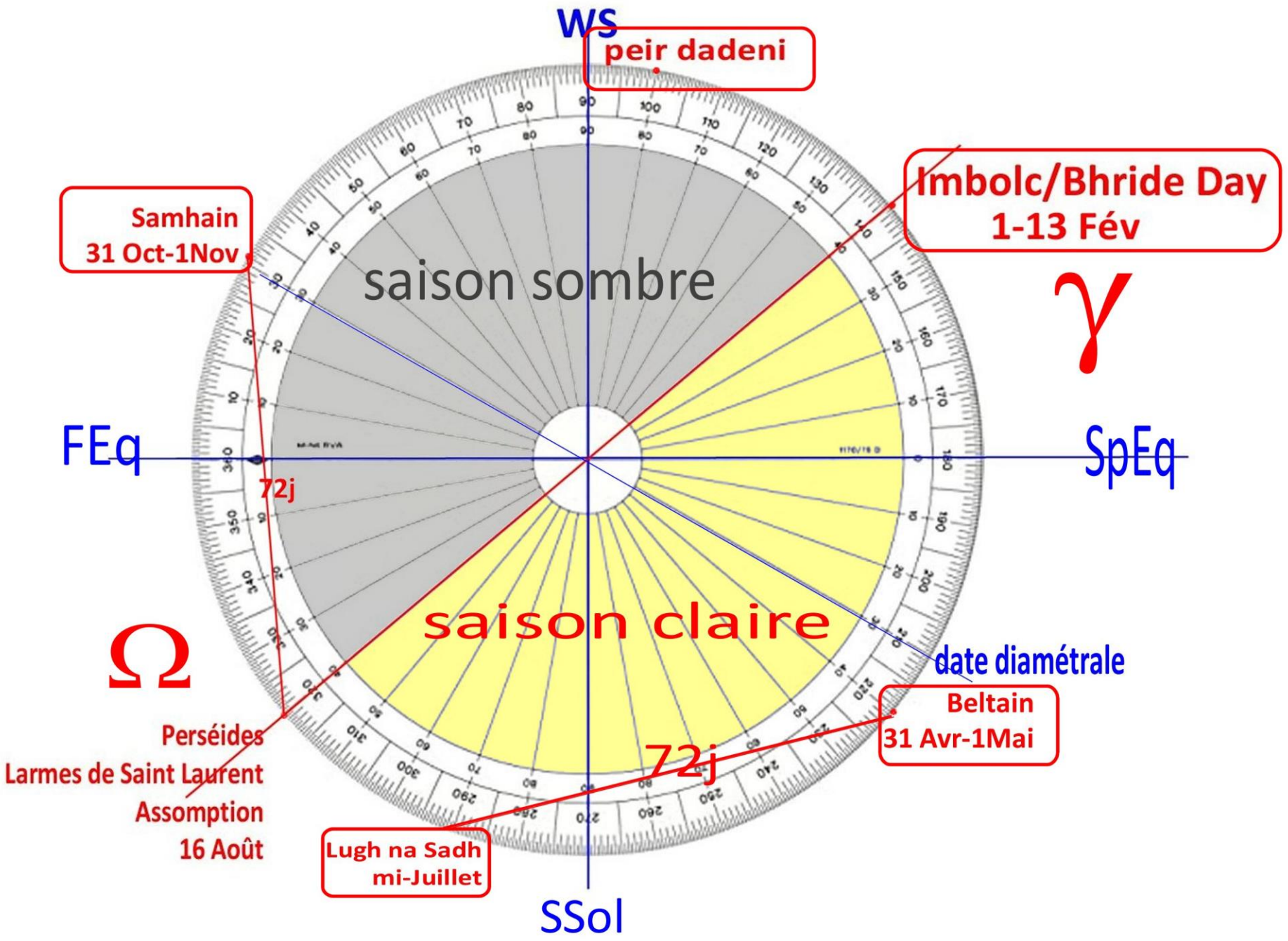
WS
peir dadeni
Imbolc/Bhride Day
1-13 Fév
γ
Samhain
31 Oct-1Nov
saison sombre
FEq
SpEq
72j
saison claire
Ω
date diamétrale
Beltain
31 Avr-1Mai
Perséides
Larmes de Saint Laurent
Assomption
16 Août
72j
Lugh na Sadh
mi-Juillet
SSol

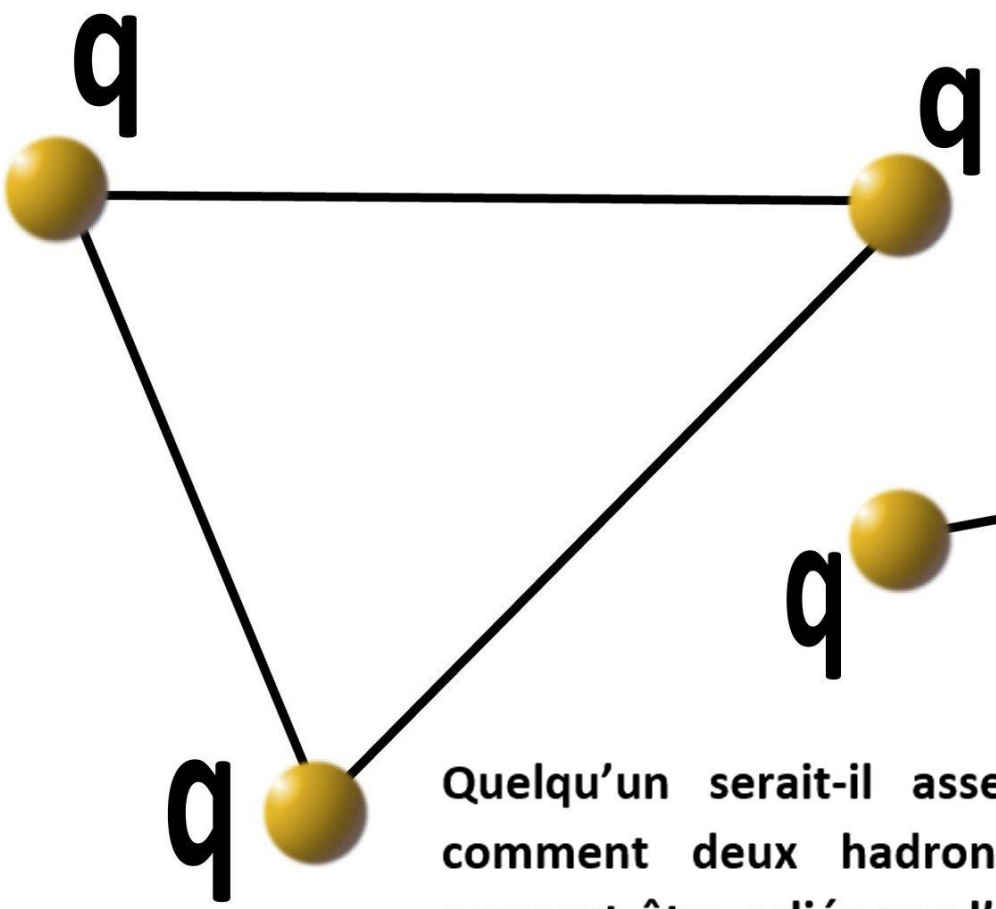

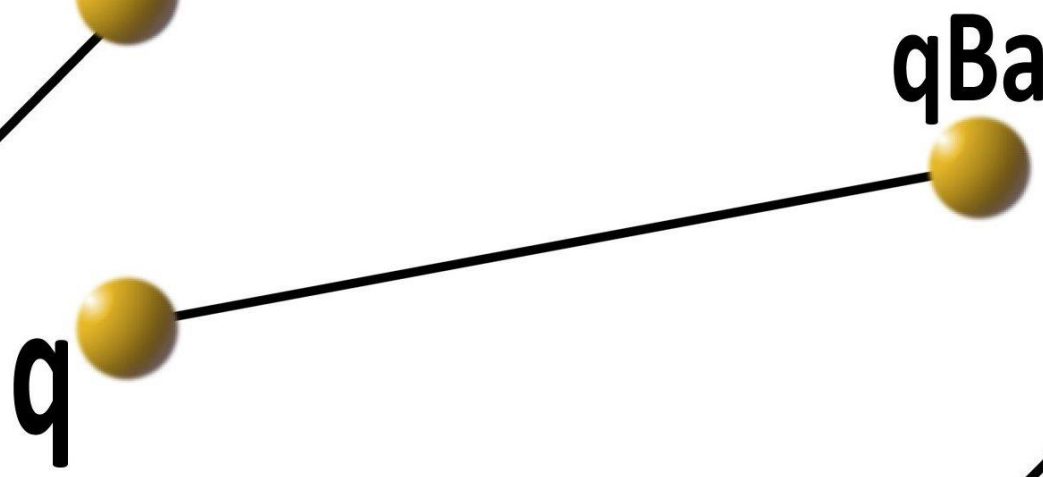

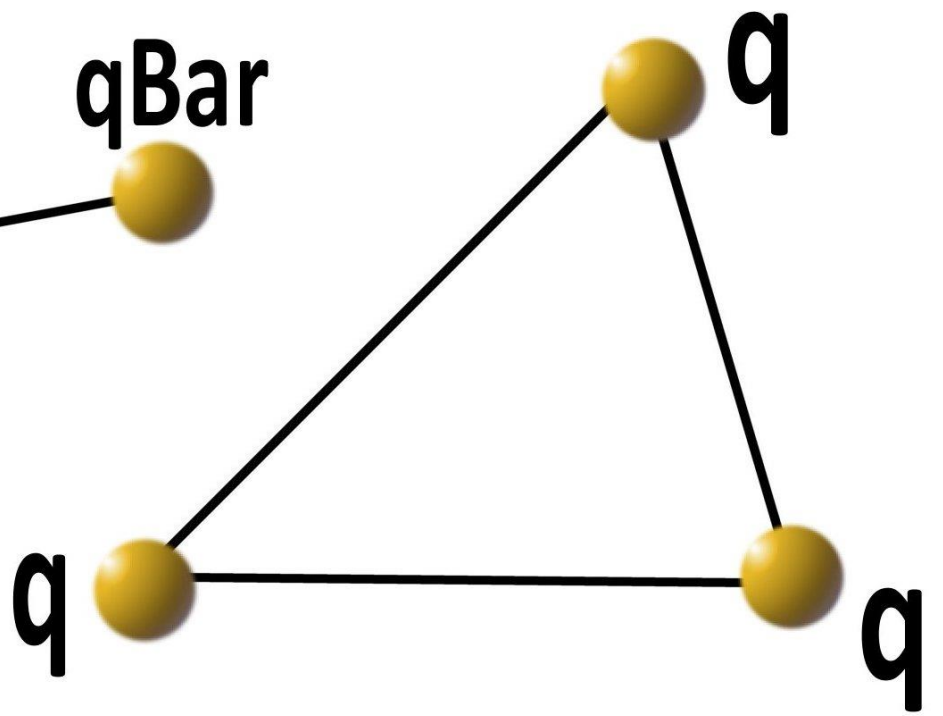

Quelqu'un serait-il assez bon pour me dire comment deux hadrons saturés en couleur peuvent être reliés par l'interaction forte par un méson qui n'est pas saturé en couleur mais qui contrebalance l'interaction électromagnétique répulsive entre hadrons par le moyen de sa non-saturation. Par quel miracle les mésons existent-ils ? Tout ça est un peu farfelu…

Z

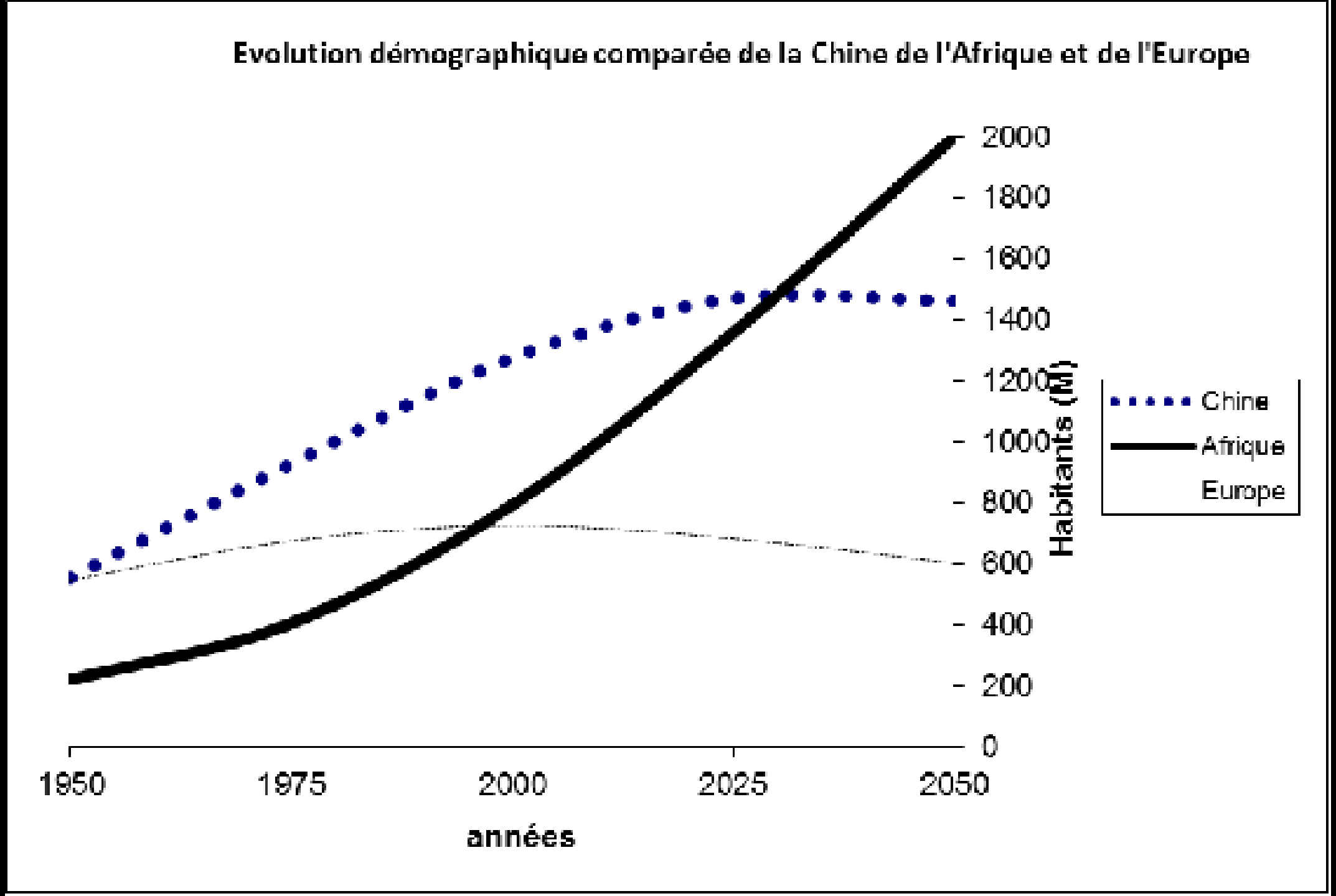
Evolution démographique comparée de la Chine de l'Afrique et de l'Europe
2000
1800
1600
1400
1200
1000
800
600
400
200
0
Habitants (M)
Chine
Afrique
Europe
1950
1975
2000
2025
2050
années

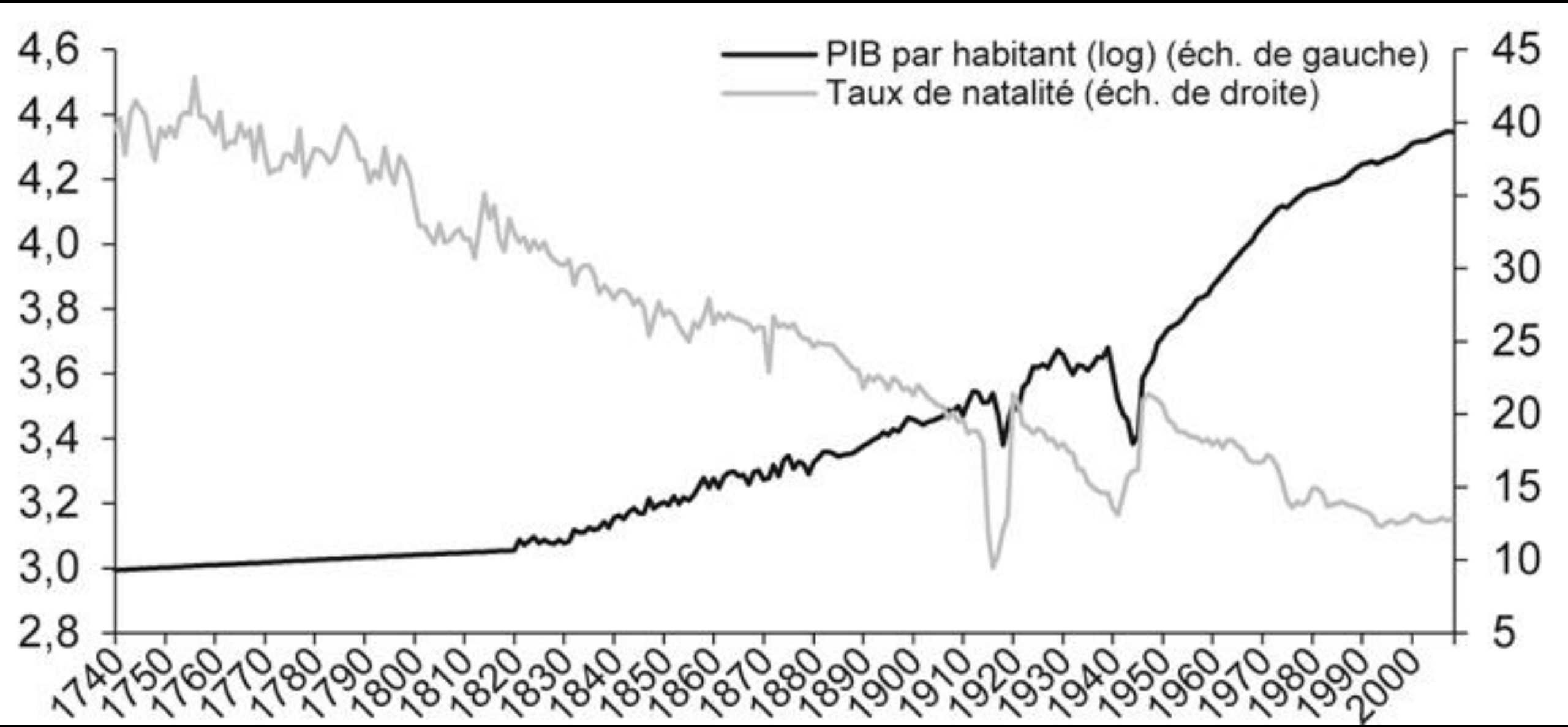
PIB par habitant (log) (éch. de gauche)
Taux de natalité (éch. de droite)
4,6
4,4
4,2
4,0
3,8
3,6
3,4
3,2
3,0
2,8
45
40
35
30
25
20
15
10
5
1740
1750
1760
1770
1780
1790
1800
1810
1820
1830
1840
1850
1860
1870
1880
1890
1900
1910
1920
1930
1940
1950
1960
1970
1980
1990
2000

geromschweisthal

Selon certain canular propagé dans l'espèce Sapiens, les races n'existeraient pas.

Il suffit pourtant de regarder la sélection des rosiers, des chats, des chiens, des vaches, pour se rendre compte, non seulement que les races existent, mais que **le principal facteur de la création de races est précisément Sapiens.**

Ce que Sapiens fait avec les espèce animales et végétales, il le fait aussi avec le même résultat pour l'espèce Sapiens elle-même.

Or non seulement le canular selon lequel les races n'existeraient pas est une contre-vérité démontable à tout instant, mais on s'aperçoit à y regarder de près que les auteurs et propagateurs de ce canular sont ceux-là même qui maintiennent avec une belle constance depuis des milliers d'années la séparation de leurs propres groupes ethniques malgré les mélanges apparents mais factices des ethnies dans les sociétés actuelles.

SUPPOSONS que nous nous trouvons sur une planète très lointaine à l'autre bout de la galaxie. Sur cette planète, il y a une espèce vivante, qui comporte deux races : les ROUGES et les BLEUS. Les locaux ont pour habitude de dire que les Bleus sont le contraire des rouges…

Ces deux races se reproduisent discrètement, par une opération nommée « symplexe », on dit qu'elle est symplectique.

Elle consiste en ceci.

A la première génération, un individu Rouge se transforme d'abord en individu rouge.

Puis sa face se divise en deux dans le sens de la hauteur, et sa demi-face droite devient bleue.

On dit qu'il est « métissé ».

A la génération suivante, le métissé Rouge/Bleu mute pour se reproduire, et son image s'inverse dans un miroir : il devient Bleu/Rouge, il est toujours métissé.

Puis au bout d'une nuit de sommeil, sa demi-face droite devient BLEUE !!

Ainsi, au bout de deux changements, donc de trois générations, la race Rouge est devenue Bleue.

Il est évident que, **lorsque les individus Rouges se rassemblent dans une ruche monochrome, cette colonie devient Bleue en deux générations.**

Amusez-vous bien ! GT 2023 11 10

$CIENC€ DES VIRUS RESPIRATOIRES (XXIe siècle)

"Les Manifestants Anti Passe sont des Tueurs de Flics, des Ennemis de la République et de la Démocratie, des Antisémites, des Abrutis qui veulent Contaminer et Tuer les Autres…" Laurence Saillet sur CNews

PAR Planetes360 in POLITIQUE 1.3k 55 0

$CIENC€ DES VIRUS RESPIRATOIRES (XXIe siècle)

RAIE PUBLIQUE FRANCO-BARBUE 2023

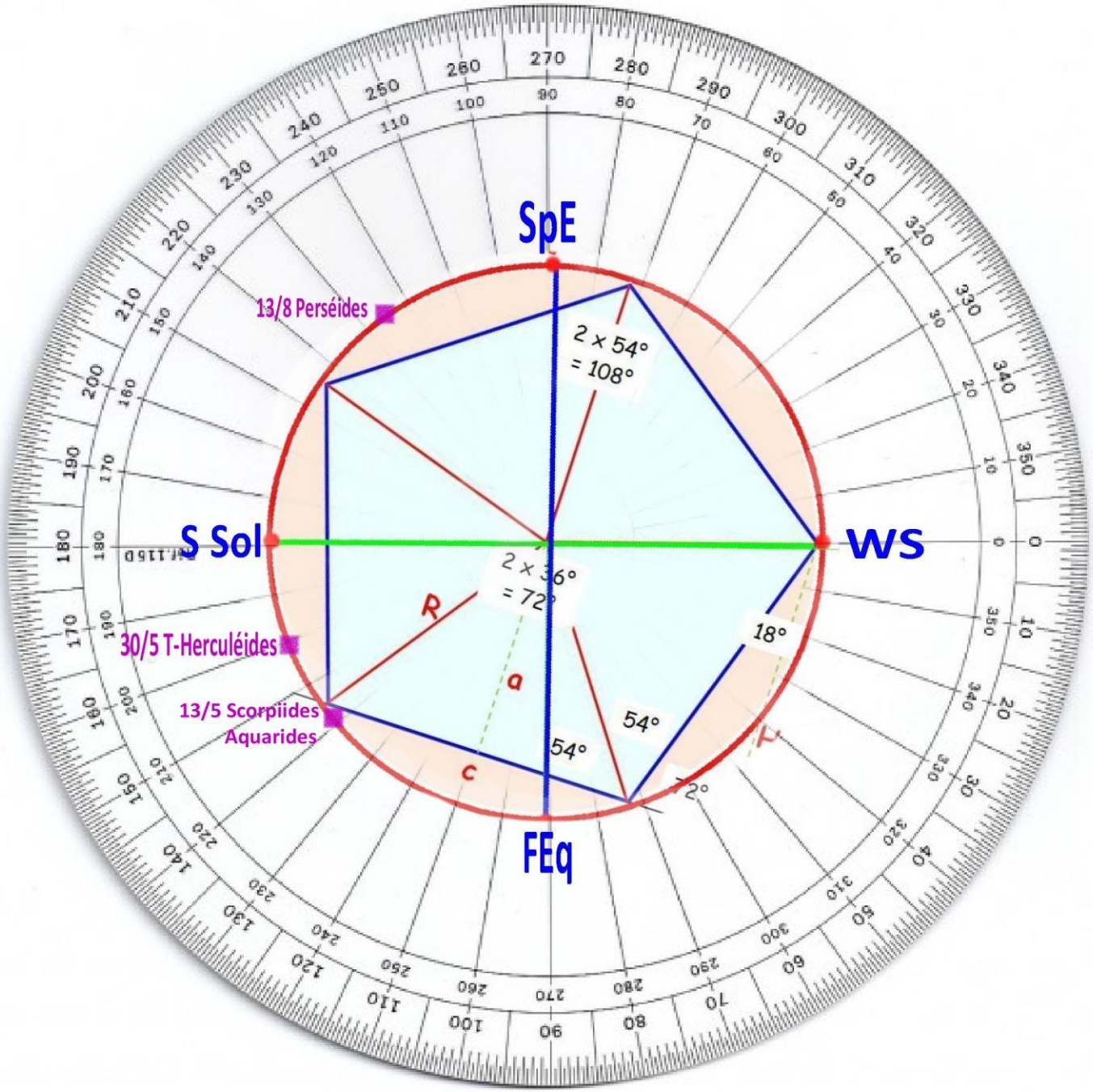
SpE
13/8 Perséides
2 x 54°
= 108°
S Sol
WS
2 x 36°
= 72°
R
30/5 T-Herculéides
18°
a
13/5 Scorpiides
Aquarides
54°
54°
c
72°
FEq

Recession velocity (v_{rec}) is the velocity in Hubble's law since Hubble's constant $H = \dot{a}/a$. Peculiar velocity (v_{pec}) is unassociated with the expansion of the universe and corresponds more closely to common usage of the word 'velocity'. For example setting $ds = 0$ for a photon in the FRW metric gives a radial peculiar velocity $a\dot{\chi}_\gamma = c$. The conversion from cosmological redshift to recession velocity is different from the conversion from an SR Doppler shift to peculiar velocity (Fig. 1):

$$v_{pec}(z) = c\,\frac{(1+z)^2-1}{(1+z)^2+1} \qquad \text{SR Doppler shift} \tag{2}$$

$$v_{rec}(z) = \dot{a}(z)\int_o^z \frac{c\,dz'}{H(z')} \qquad \text{GR cosmological redshift} \tag{3}$$

Equation (3) converts high redshifts into superluminal recession velocities but does not contradict special relativity because nothing ever overtakes a photon and all observers measure local photons to be traveling at c.

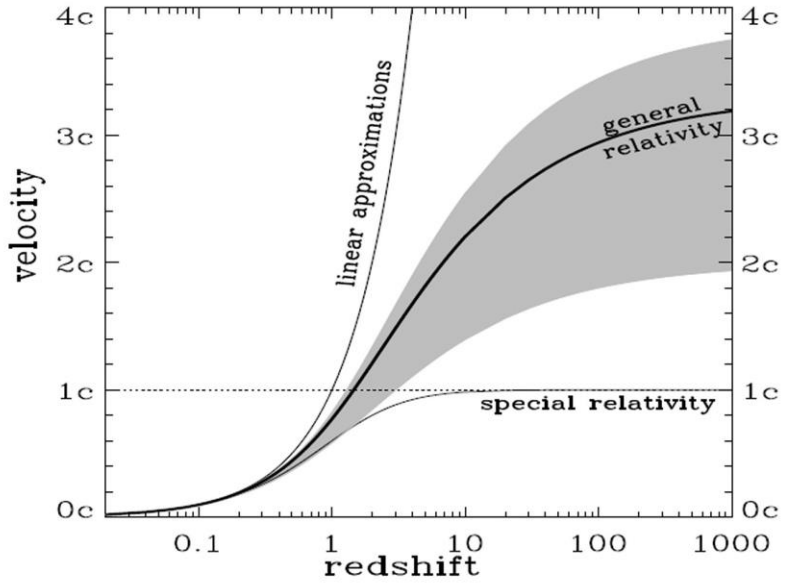

FIGURE 1. Velocity is plotted as a function of redshift for both special relativity (Eq. 2) and the general relativistic (GR) Friedmann-Robertson-Walker cosmology (Eq. 3). The SR conversion has an upper limit of c. The GR conversion is model dependent (hence the grey band), and time dependent (present day recession velocities are shown). The thick line is an $(\Omega_M, \Omega_\Lambda) = (0.3, 0.7)$ model for which recession velocity exceeds the speed of light for all redshifts $z > 1.46$. The upper and lower limits of the grey band are $(\Omega_M, \Omega_\Lambda) = (0.2, 0.8)$ and $(1, 0)$ respectively. In all cosmological models within this range, objects above a redshift of three are receding superluminally. Unfortunately adding to the confusion, both expressions share the same low redshift linear approximation: $v \approx c\,z$. This is why Hubble could measure a linear distance-redshift relation. These redshift-velocity conversions do not depend on H. Notice that at the particle horizon ($z \to \infty$) the velocity of recession is about 3 times the speed of light.

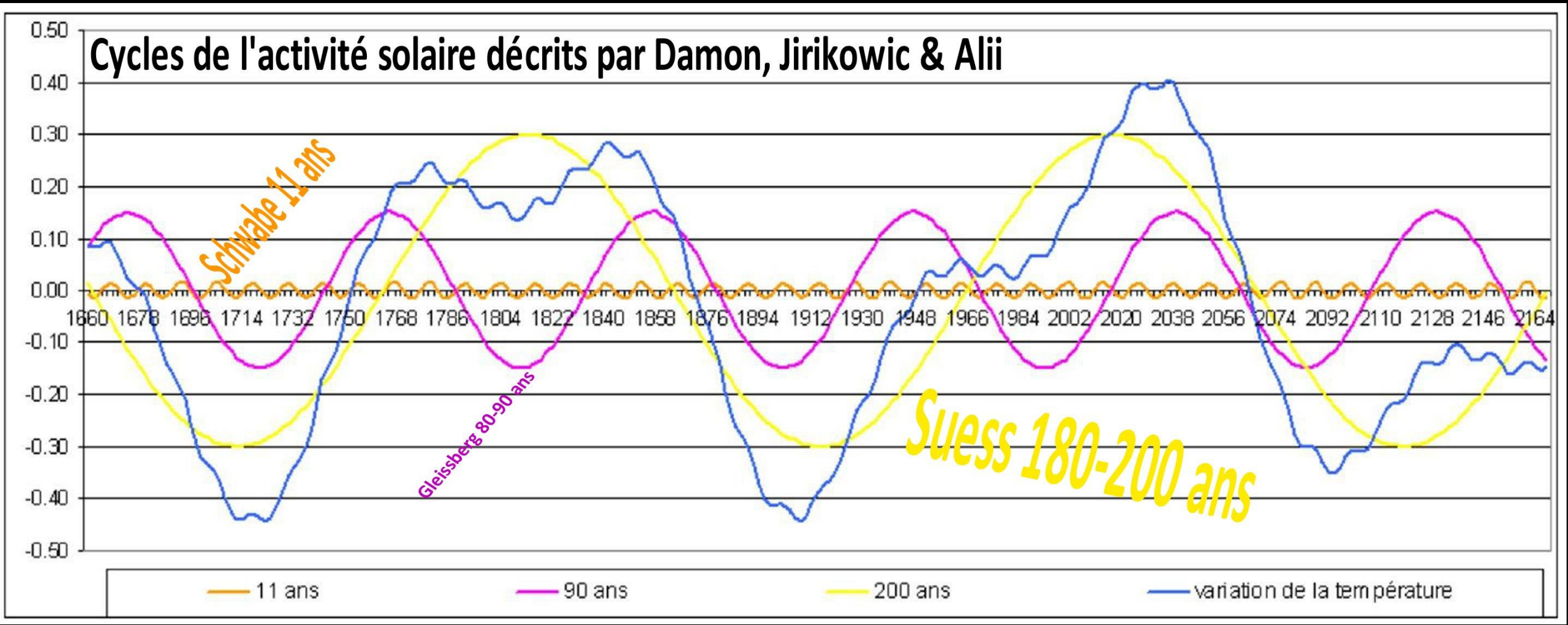
Cycles de l'activité solaire décrits par Damon, Jirikowic & Alii
0.50
0.40
0.30
0.20
0.10
0.00
-0.10
-0.20
-0.30
-0.40
-0.50
1660 1678 1696 1714 1732 1750 1768 1786 1804 1822 1840 1858 1876 1894 1912 1930 1948 1966 1984 2002 2020 2038 2056 2074 2092 2110 2128 2146 2164
Schwabe 11 ans
Gleissberg 80-90 ans
Suess 180-200 ans
11 ans
90 ans
200 ans
variation de la température

Pop Gauloise et assimilée, 2021

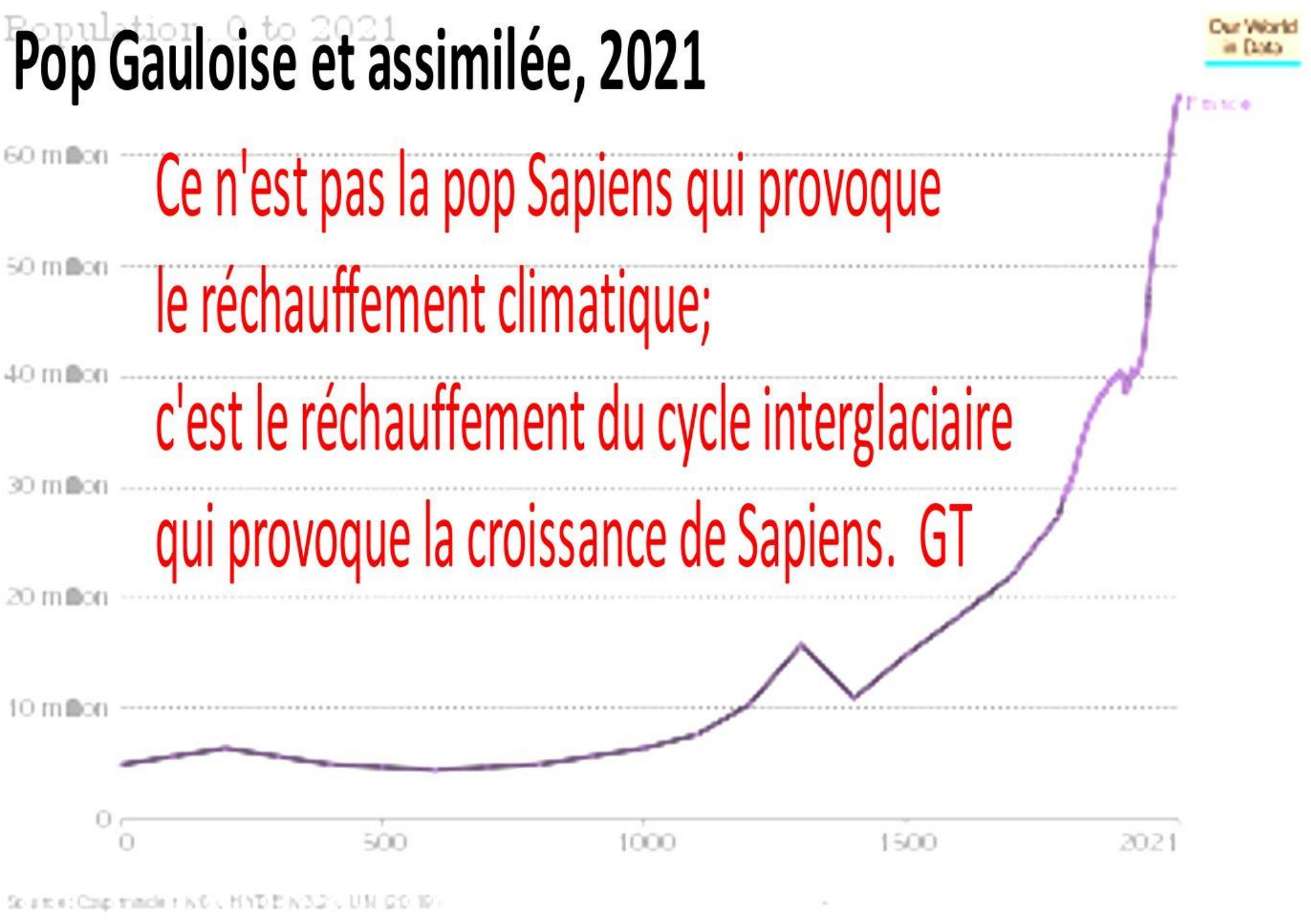

Ce n'est pas la pop Sapiens qui provoque
le réchauffement climatique;
c'est le réchauffement du cycle interglaciaire
qui provoque la croissance de Sapiens. GT

Température du vide dans l'espace	**-272°C**
Congélation de l'eau	0°C
Liquéfaction du CO2	-57°C
Liquéfaction de l'azote	-196°C
Liquéfaction de l'oxygène	-183°C

Si le Soleil s'arrêtait de fonctionner même une heure, toute l'atmosphère terrestre serait congelée ou liquéfiée en quelques minutes

Plus d'atmosphère = plus de respiration

Plus de Soleil = plus de photosynthèse.

Réchauffement climatique, mon c[redacted] !! GT

Entre 1998 et 2005 a lieu un important effet de chauffage climatique, dû à la somme de deux cycles de forçage solaire, Gleissberg et Suess

La température baissera fortement à partir de 2040. Mais un autre cycle de Milankovic, l'excentricité, se superpose à ceux-ci, et durant 2000 à 5000 ans, la très faible excentricité impliquera une forte hausse des températures, liée à la quantité de chaleur reçue du Soleil.

Rappelons que DS = DQ / T.

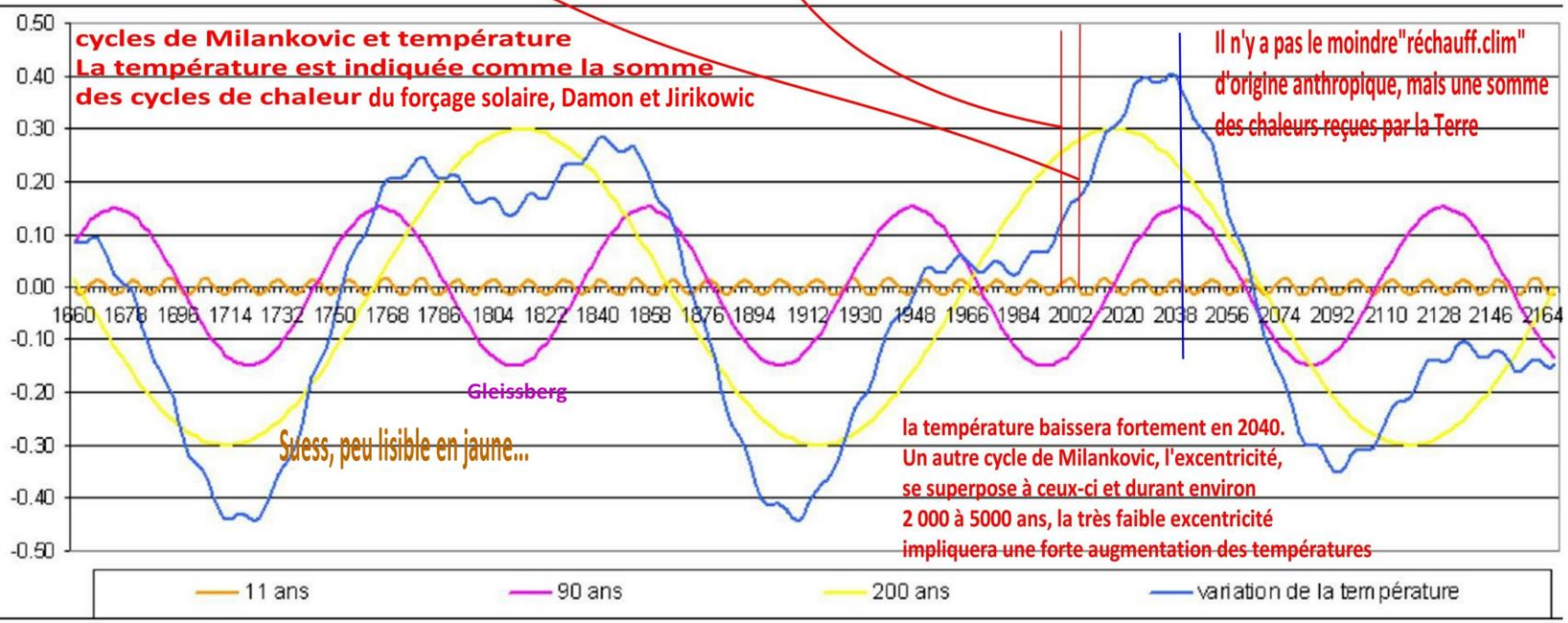

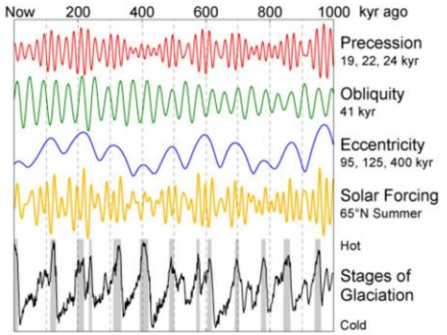

PSYCHANALYSTE
TRES BON PAS CHER
PRIX DE GROS
PREMIERE SEANCE
GRATUITE
QUI REVIENT

$$H = T + V$$

$$E^2 = \mathbf{p}^2 c^2 + m_0^2 c^4$$ REMR

a kind of Hamiltonian...

CERTIFICAT D'ÉTUDE ANNÉE 2022

Soit l'effet Bohm-Aharonov en électromagnétisme.

Définir son équation dans un espace-temps lorentzien de dimensions 3 + 1.

Étendre cette définition à un espace-temps de Minkowski de dimensions 9 +1.

Dans le repère défini par les variables de votre équation, définir la surface représentative de votre équation dans le repère de l'espace-temps.

Cette surface est-elle une surface de Kummer ?

Si ce n'est pas le cas, peut-on définir la variété de Calabi-Yau qui étend cette surface ?

On envisagera le cas de plusieurs charges de supersymétrie.

Durée de l'exercice : 2 heures *Coefficient 6*

elle a eu le bonheur de ne le prendre ni juif, ni musulman, mais chrétien, c'est-à-dire confirmant et sanctifiant sa tendance innée au progrès infini.

L'Europe, en connaissant mieux ses véritables origines, ne comprendra-t-elle pas enfin ses véritables intérêts? Ne verra-t-elle pas que ces antipathies internationales au nom desquelles une politique égoïste réussit encore à entraver l'émancipation des peuples et la constitution d'un ordre de choses assurant sa place au soleil à chaque nationalité, à chaque Européen sa liberté, ne sont que des préjugés injustifiables au point de vue historique aussi bien qu'au point de vue chrétien? Quoi qu'il en coûte à notre amour-propre et tout en restant fiers de la puissance et de la gloire de notre pays, ne sommes-nous pas forcés de nous avouer que l'Angleterre, avec son rude climat, sa population moindre, ses mœurs moins expansives et moins sociables, est notre rivale sur le vieux continent, et dans le reste du monde nous efface presque partout? Pourquoi? Il y en a bien des raisons, hélas! mais en vérité elles se résument toutes dans celle-ci, que, parmi les grands peuples modernes, le peuple anglais est celui qui a maintenu et développé avec le plus de persévérance et d'énergie l'aptitude merveilleuse de notre race au progrès par la liberté. *Hoc signo vincemus.* C'est là en effet, c'est dans cette noble tendance, dans l'existence distincte et le libre jeu des forces vives que consiste la puissance réelle des sociétés européennes, et il faut en finir avec ce mauvais rêve d'empire romain qui fait exception dans notre histoire, et qui, s'il se réalisait par malheur, soit à Paris, soit ailleurs, aboutirait à créer une Chine occidentale immobile, pétrifiée, comme celle d'Orient. Que notre race garde sa fierté originelle! Sa tradition, c'est l'indépendance, c'est la liberté. Ce n'est pas une théorie en l'air qui l'affirme, c'est sa langue, un monument plus ancien et plus durable, en dépit des variations de la surface, que ceux de Babylone et de Memphis. Nous sommes tous les fils des Aryas, et nos pères, en quittant, il y a plus de quatre mille ans, la patrie primitive, ont emporté nos titres de noblesse et nous les ont légués. Dans ce progrès continu que depuis lors ils n'ont cessé de faire à la surface de la terre se trouve comme une prédiction, comme un symbole du progrès, bien plus glorieux encore, que nous avons à faire dans le monde de l'esprit. C'est spirituellement aussi qu'il nous faut être dignes de la vieille bénédiction : *Dieu fasse que Japhet s'élargisse!*

ALBERT RÉVILLE.

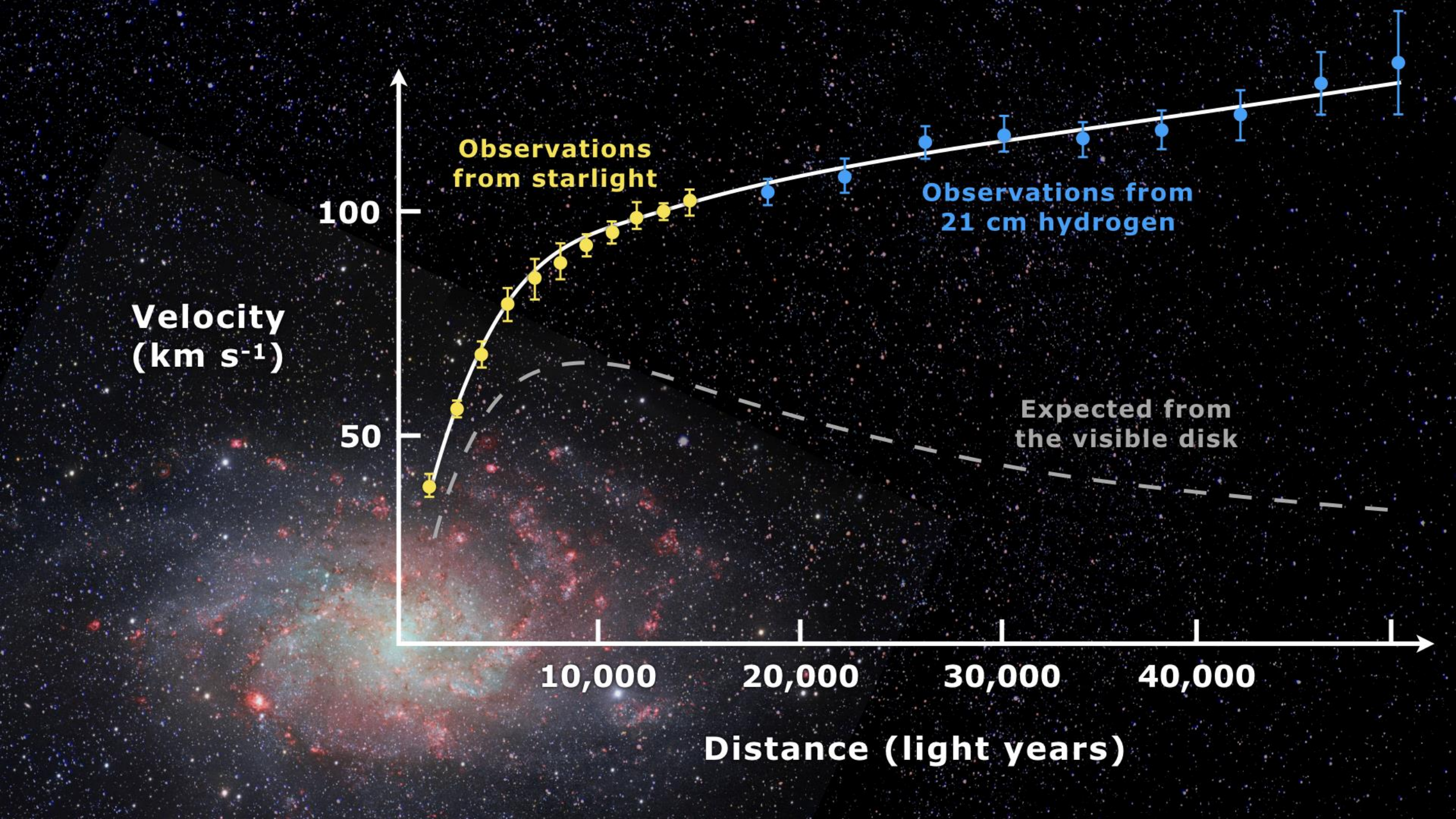
Observations
from starlight
Observations from
21 cm hydrogen
Expected from
the visible disk
100
50
Velocity
(km s-1)
10,000
20,000
30,000
40,000
Distance (light years)

Quarante jours ou quarante nuits après la montée de la Déesse Astraea au ciel Ouranos, à la fin de l'Âge d'Or, après les Larmes de Saint Laurent, ou Perséides, dont Matthieu Calloc'h m'a fait percevoir l'importance, arrive Samhaín, la Réunion avec les Ancêtres. Je ne connais pas le nom kelt d'Astraea, et je vous suggère de le chercher. Peut-être Keridwen ? Préparez la rencontre avec les Anciens comme il convient, pour leur venue dans leur foyer. GT, pas Kelt du tout !!

Aux Etats-Unis d'Amérique du Nord,
le Réchauffement Climatique se fait
sentir avec une cruauté sans précédent!
Les gens sont obligés de sortir de chez eux
en slip de bain!
N'oubliez pas vos palmes!
SANTA BARBARA- HAAAA...

C’est la diminution de l’excentricité de l’orbite terrestre qui provoque la croissance de Sapiens.

La croissance numérique de Sapiens est déterminée par une courbe de Poisson ou « courbe épidémique ».

A ce jour, cette courbe n’a pas encore atteint son premier point d’inflexion.

La croissance, puis l’arrêt de croissance du nombre de Sapiens, est un phénomène automatique, indépendant de la volonté de cette espèce. Elle ne dépend pour l’instant que de la seule quantité de chaleur reçue du Soleil, laquelle dépend de l’excentricité de l’orbite terrestre.

En 12 ans, jusqu'en 2022, Sapiens a augmenté sa masse de 7 à 8 milliards. La quantité de déchets que Sapiens défèque sur la planète a donc augmenté de 14%.

Si le réchauffement était dû à Sapiens, la température aurait dû augmenter de 14%.

Concluez.

C'est le réchauffement qui provoque la croissance de Sapiens, pas le contraire.

Si une glaciation soudaine mettait les pendules à l'heure, la moitié de Sapiens disparaîtrait en quinze jours.

Dont moi. **GT**

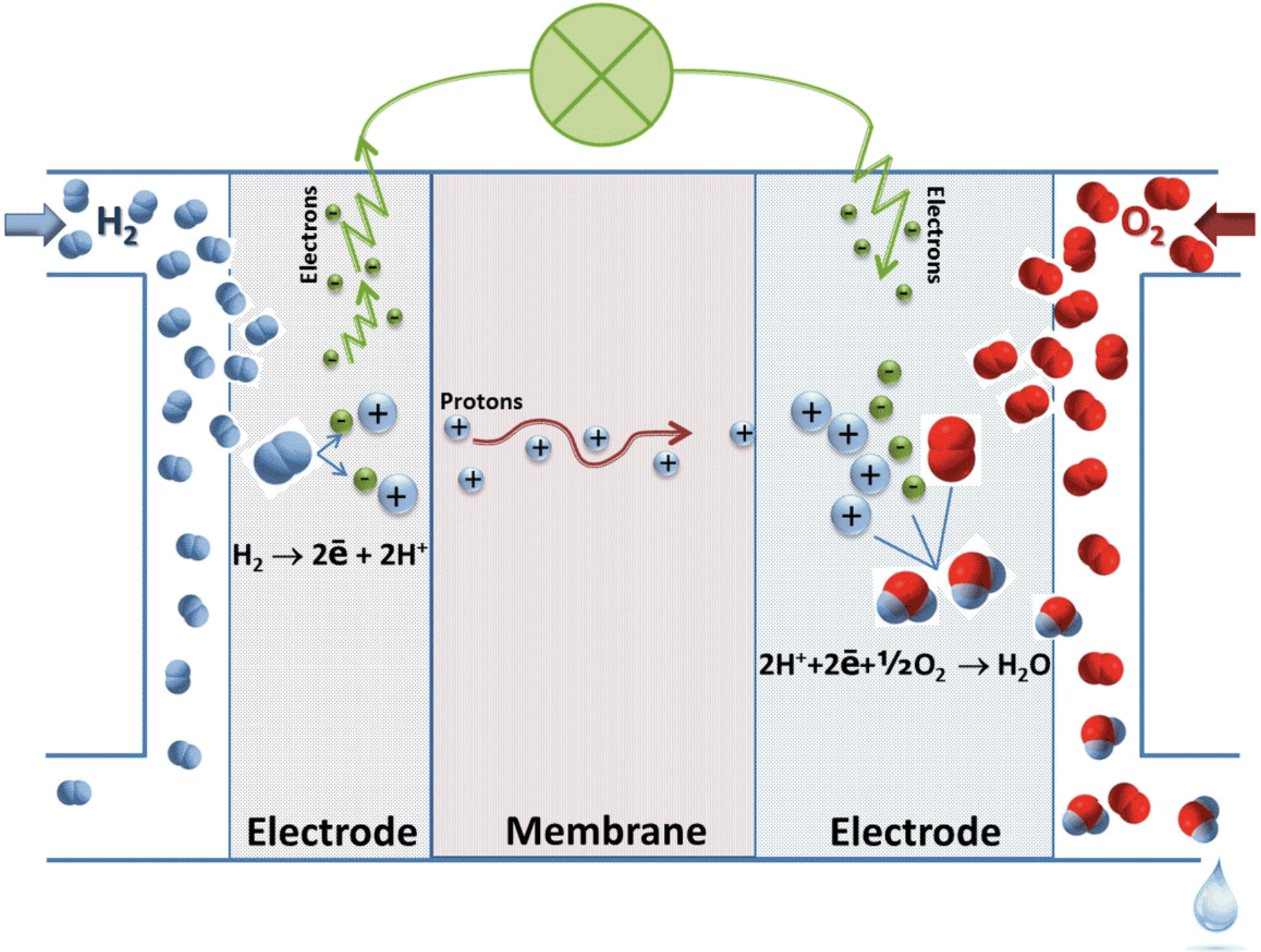
H_2
Electrons
Electrons
O_2
Protons
$H_2 \rightarrow 2\bar{e} + 2H^+$
$2H^+ + 2\bar{e} + \frac{1}{2}O_2 \rightarrow H_2O$
Electrode
Membrane
Electrode

Schwarzschild black hole

$$ds^2 = \left(1 - \frac{2m}{r}\right) dt^2 - \frac{1}{\left(1 - \frac{2m}{r}\right)} dr^2$$

$$- (r)^2 (d\theta^2 + \sin^2(\theta) d\phi^2)$$

Schwarzschild's Solution to Einstein's Equations

Time Dilation

Radial Length Contraction

$$ds^2 = -\left(1 - \frac{R_S}{r}\right)c^2 dt^2 + \frac{1}{\left(1 - \frac{R_S}{r}\right)}dr^2 + r^2\left(d\theta^2 + \sin^2\theta\, d\phi^2\right)$$

Invariant Line Element

Schwarzschild Radius

$$R_S = \frac{2GM}{c^2}$$

Schwarzschild black hole

$$ds^2 = \left(1 - \frac{2m}{r}\right) dt^2 - \frac{1}{\left(1 - \frac{2m}{r}\right)} dr^2$$

$$-(r)^2 (d\theta^2 + \sin^2(\theta) d\phi^2)$$

Schwarzschild's Solution to Einstein's Equations

Time Dilation

Radial Length Contraction

$$ds^2 = -\left(1 - \frac{R_S}{r}\right) c^2 dt^2 + \frac{1}{\left(1 - \frac{R_S}{r}\right)} dr^2 + r^2 \left(d\theta^2 + \sin^2\theta d\phi^2\right)$$

Invariant Line Element

Schwarzschild Radius

$$R_S = \frac{2GM}{c^2}$$

Massive bosons
(integer spin)

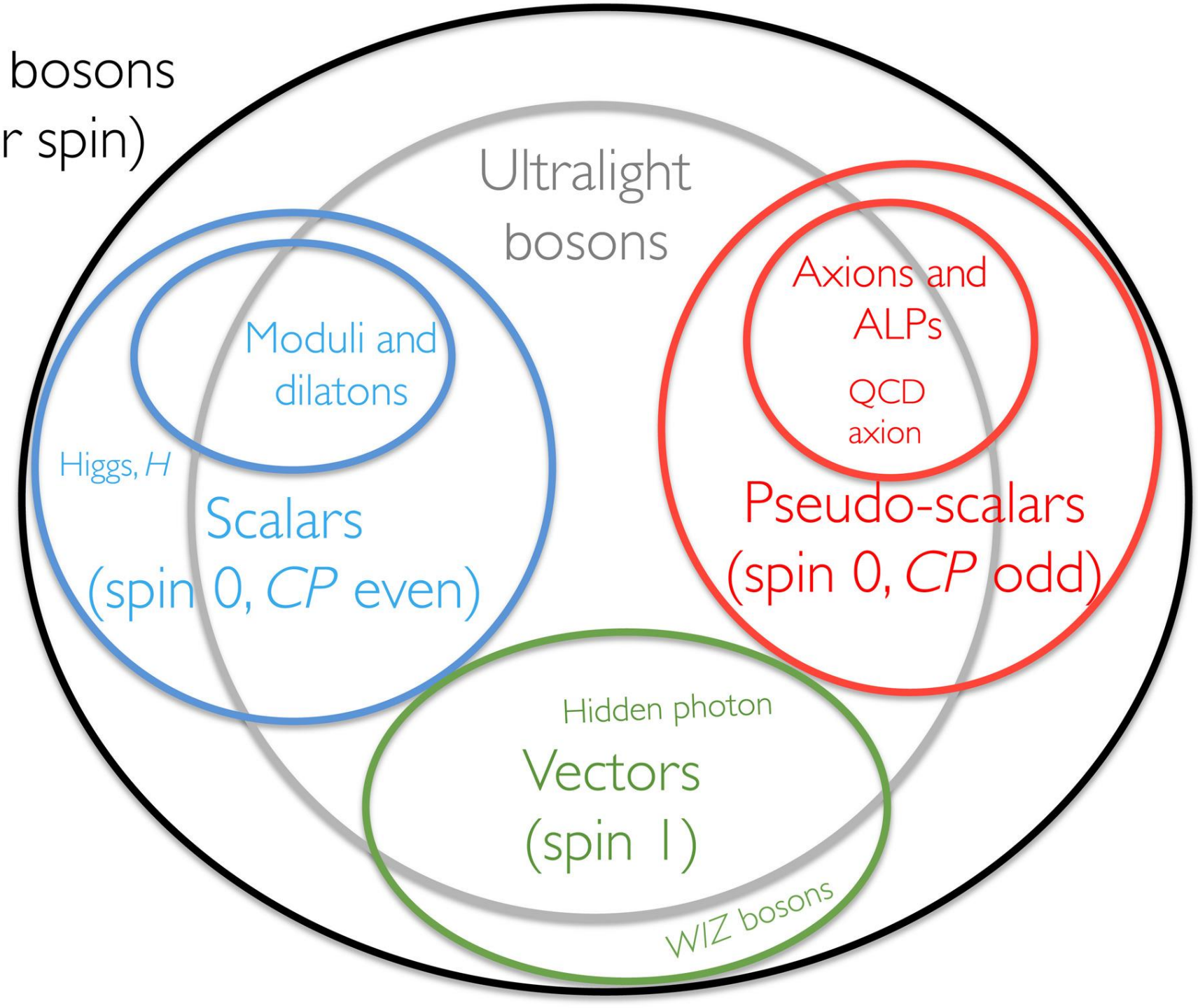

cet arbre avait 60 ans
en 2019

pin

Forêt de Fontainebleau

un très brutal épisode de sécheresse est apparu entre 1998 et 2005

Une Milice bien organisée,
étant nécessaire à la sécurité d'un Etat libre,
le droit du peuple de garder
et de porter des Armes,
ne sera pas violé.

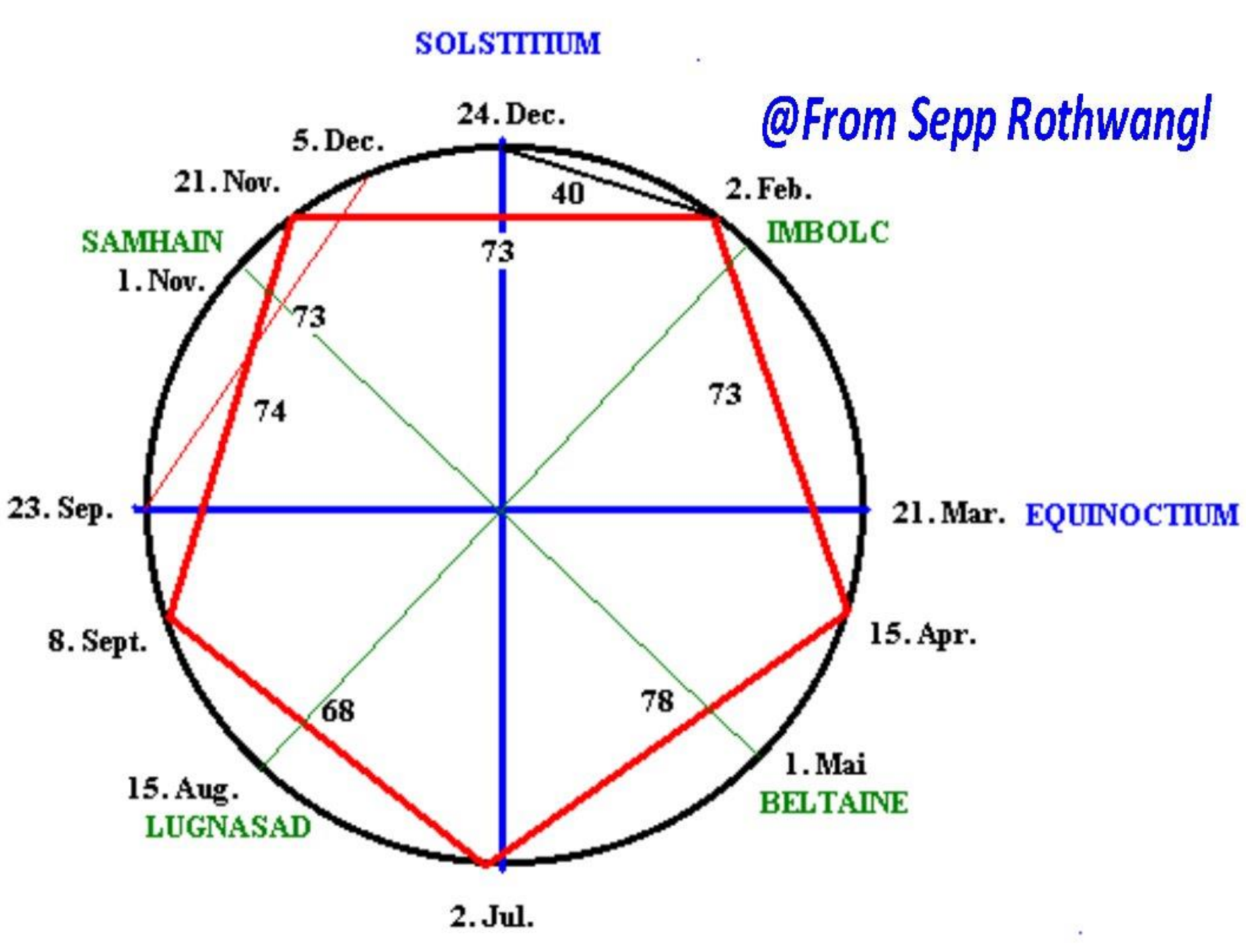
SOLSTITIUM
24. Dec.
5. Dec.
21. Nov.
SAMHAIN
1. Nov.
40
73
2. Feb.
IMBOLC
73
74
73
23. Sep.
21. Mar.
EQUINOCTIUM
8. Sept.
15. Apr.
68
78
15. Aug.
LUGNASAD
1. Mai
BELTAINE
2. Jul.
@From Sepp Rothwangl

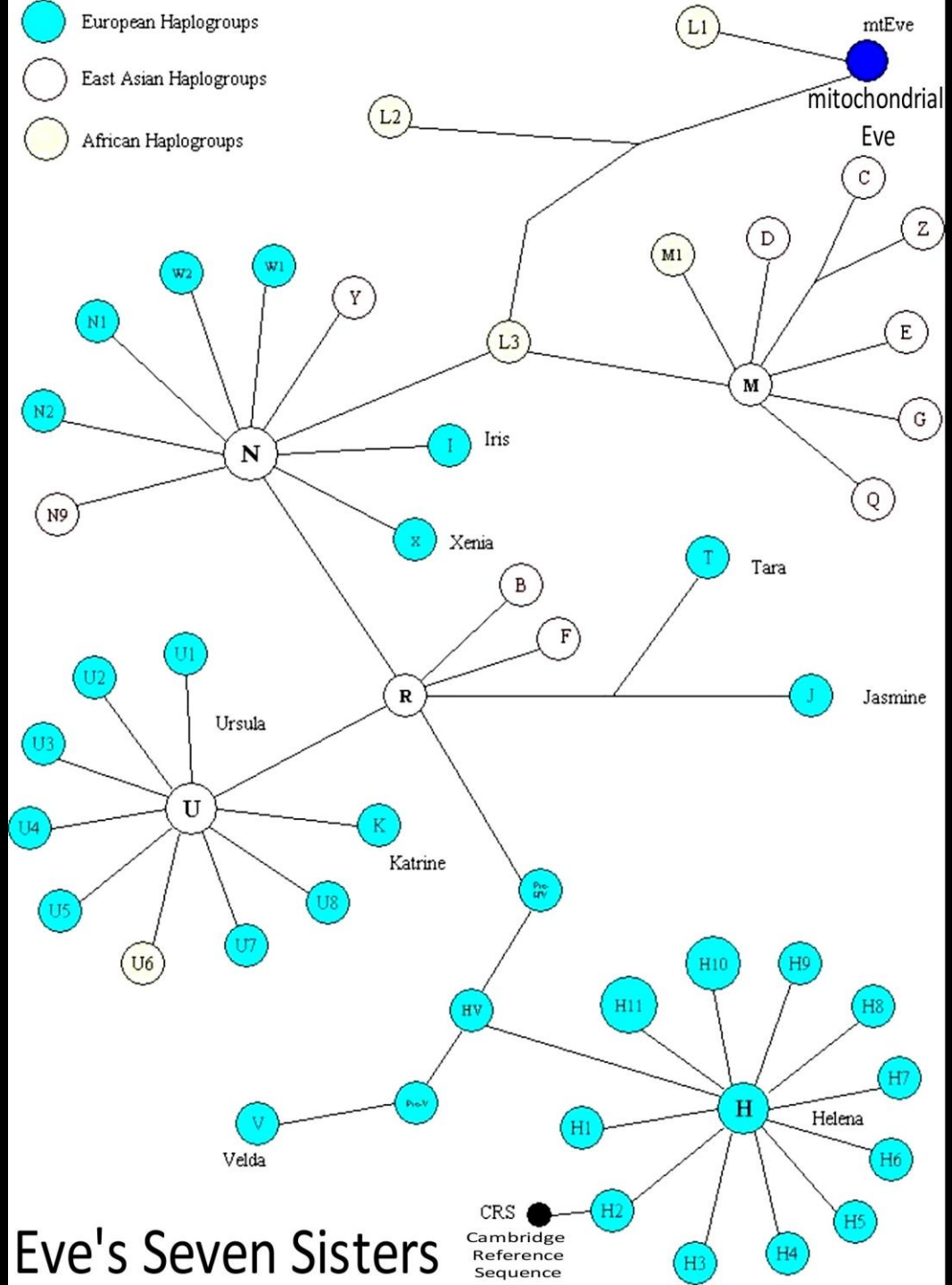
European Haplogroups
East Asian Haplogroups
African Haplogroups
L1
mtEve
mitochondrial Eve
L2
C
Z
D
M1
E
G
Q
L3
M
W2
W1
Y
N1
N2
N
I
Iris
N9
X
Xenia
T
Tara
B
F
R
J
Jasmine
U1
U2
Ursula
U3
U
U4
K
Katrine
U5
U8
U6
U7
HV
H10
H9
H11
H8
H7
H
Helena
H1
H6
V
Velda
H2
H5
H3
H4
CRS
Cambridge Reference Sequence
Eve's Seven Sisters

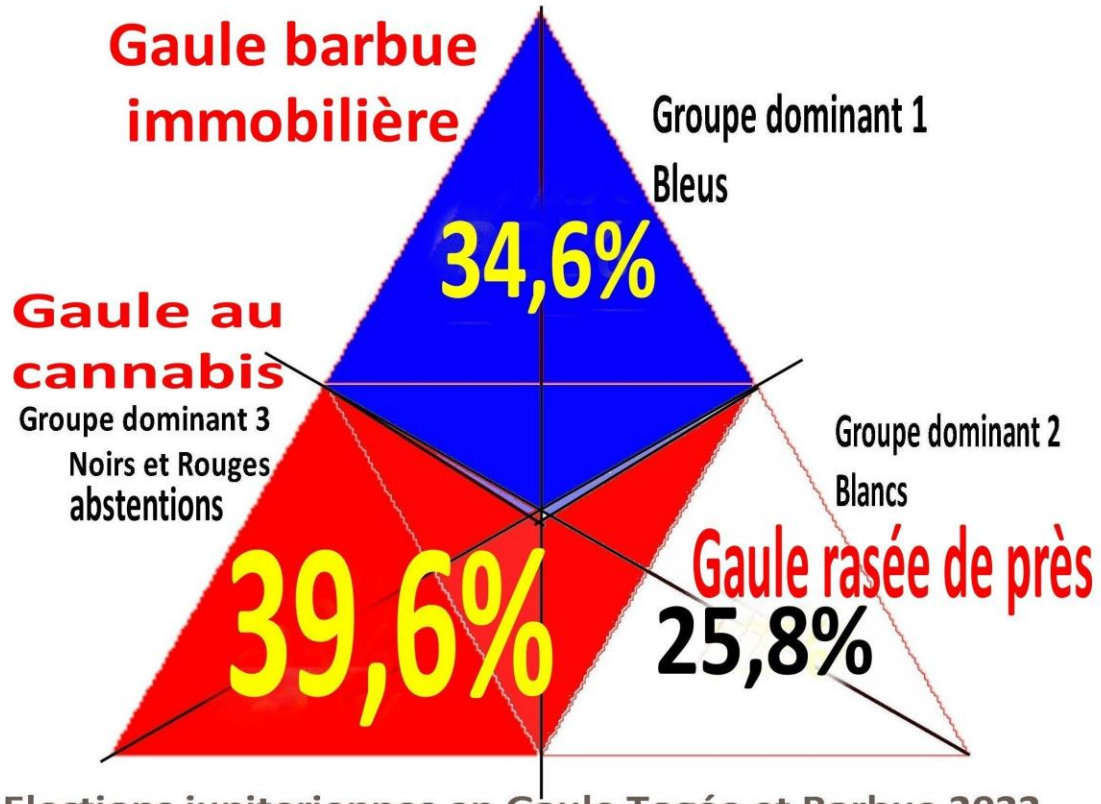

Elections jupiteriennes en Gaule Togée et Barbue 2022
Au cas où les groupes dominants seraient équipartis, la situation de la harde devient instable et sujette à fragmentation ou à conflit de dominance.
Cette situation est pré-dictatoriale. GT

Les pourcentages sont définis sur la base du corps électoral potentiel

La Gaule Togée et Barbue est en situation de STAMPEDE
GT

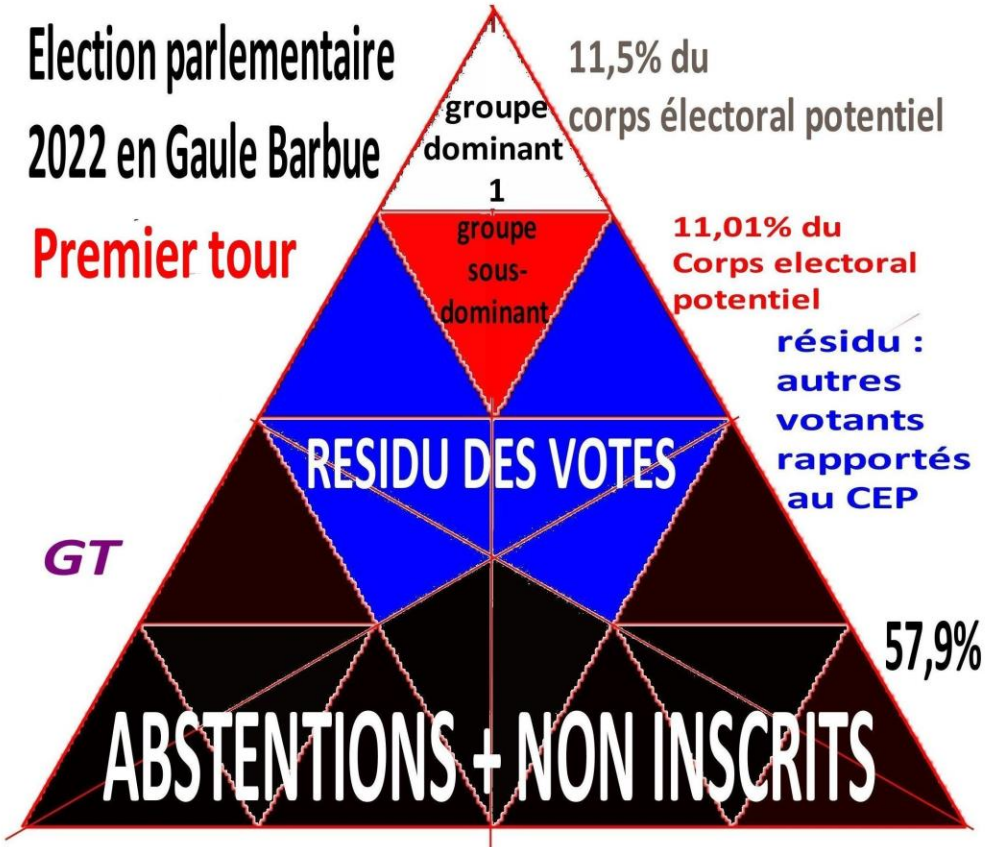

ce schéma est établi selon les voix et non selon les sièges
Il est défini sur la base du Corps Electoral Potentiel:
Abstentions + Non-inscrits (5 millions)

Le but de ce schéma n'est pas de montrer toutes les forces, mais l'affrontement des groupes dominants à un instant donné. Ainsi, en Mars 2023, les "Républicains" sont entrés dans la danse, alors qu'ils étaient annihilés.

On constate que la loi de Pareto 80/20 est parfaitement respectée: ce royaume est bicéphale. On sait que c'est la situation idéale pour les coups d'état.

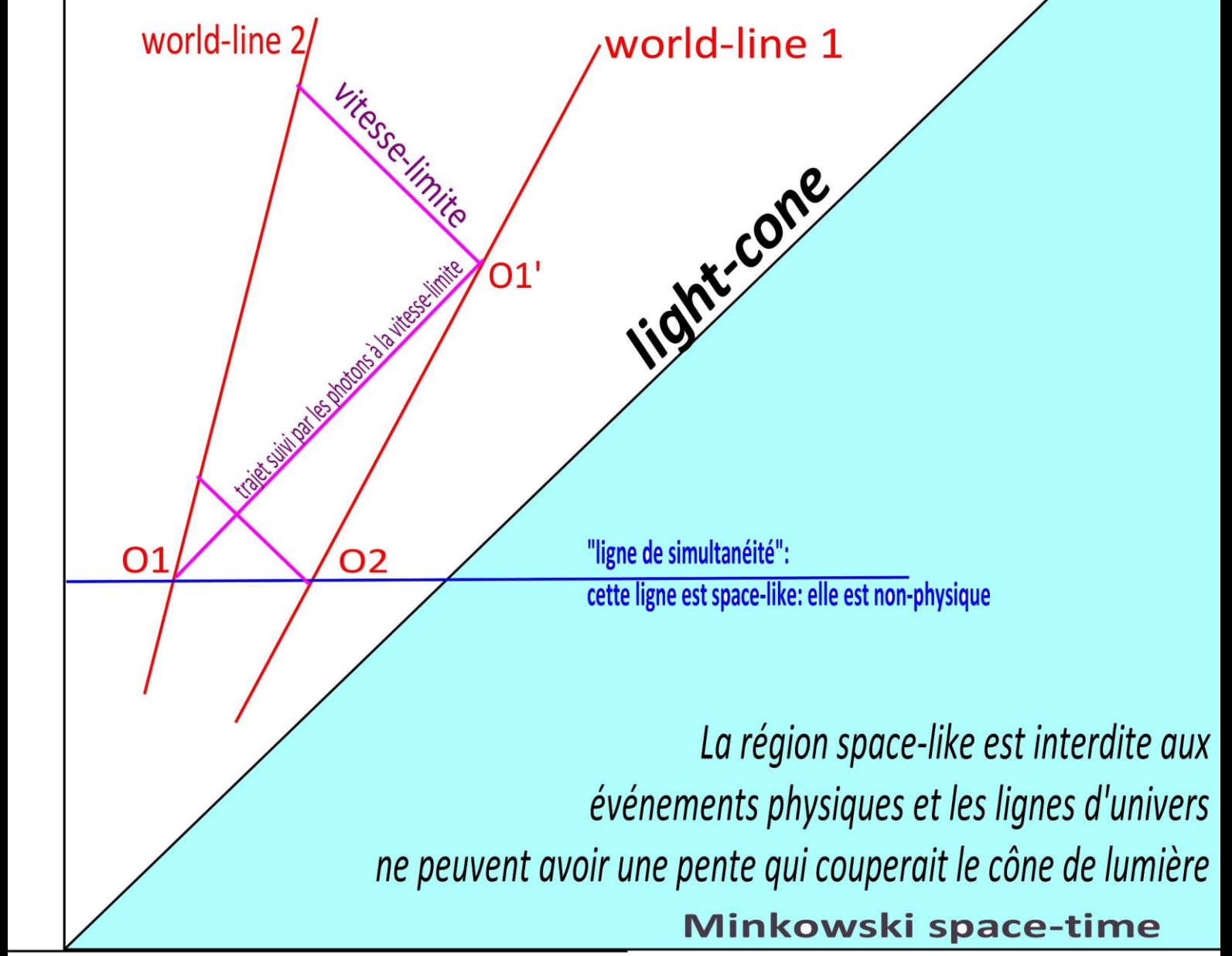

Simultaneity is a non-physical notion.
Since there exist a limit-speed, two world-lines may only "communicate" within this speed-limit, which forbids this notion.

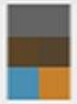

geromschweisthal

Les empereurs sodomites, les affranchis devenant consuls, les chambellans devenant conseillers du maître, les légions d'auxiliaires, les galles se castrant sur les chars en public, les femelles déchirant les hommes dans les rues des villes, les sodomites défilant en folie, -signent la fin de l'Empire.

Solar forcing and solar harmonic oscillations due to internal solar activity. There are of course many more oscillators!

GT

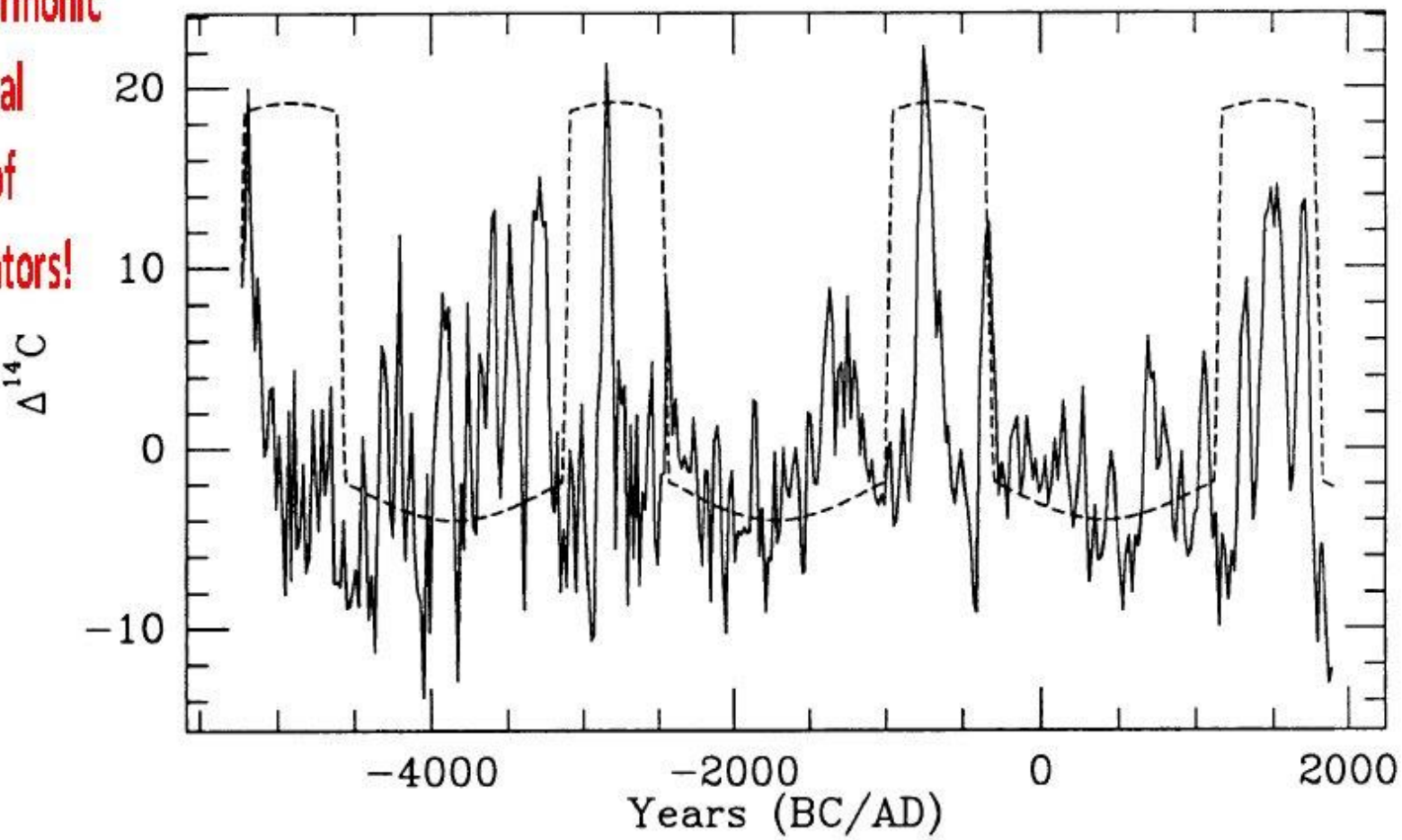

Fig. 4. (– – –) wave-form model generating the Hallstattzeit harmonics and amplitude gating of the (——) century-scale $\Delta^{14}C$ variations compared to the detrended high-precision $\Delta^{14}C$ time series. Note that the weaker century-scale oscillations appear modulated by variations of the Earth's magnetic field as described in the text, yet the stronger gated variations appear comparatively unmodulated.

Solstice d'hiver/ Manannan, Cuchulain, trempe les guerriers morts au combat dans le Peir Dadeni Chaudron de Résurrection. Les guerriers repartent au combat sous la forme de la Horde Sauvage, Mesnie Hellequin, Familie Herlethingi. Oddhin parcourt le ciel et l'on ferme sa porte, afin de ne pas le rencontrer sur son chemin.

Panama
Atlantic
Ocean
Northeast
Brazil
Ilave
Pacific
Ocean
Lagoa Santa
Uruguay
A460

Entre le 28 Août 1939, date de signature du pacte Molotov-Ribbentrop, et le 22 Juin 1941, déclenchement de l'Opération Barbarossa, l'Allemagne et l'URSS sont en paix.

Comment le parti communiste français a-t-il utilisé cette paix pour s'armer grâce au libre passage d'équipement soviétique passant par l'Allemagne vers la France ?

t

The Via Appia Antica is one of the best preserved Roman roads, it has a width of 4.10 m. It was there that they were crucified between Rome and Capua in 71 BC. to the rebels led by Spartacus.

geromschweisthal

Monsieur, Vous faites un blog très magnifique, et je vous en remercie. Puisque vous avez pas loin de chez vous un truc nommé Vatican, pourriez-vous suggérer au locataire de venir de temps à autre Via Appia, pour y prier pour l'âme des dizaines de milliers d'esclaves crucifiés par l'Empire, au lieu de s'occuper de la migration musulmane en Europe. Il aurait de quoi faire, surtout s'il décidait de faire le trajet à genoux, ce que même Jésus n'a pas fait.

Gérôme Taillandier

81 notes

Lorsqu'une sphère entre en rotation, elle subit une brisure de symétrie de son espace. C'est ce qui se passe quand un trou noir éjecte de la matière lors d'une fusion avec son disque de matière. Dans le modèle de Gasperini, on peut considérer que l'univers accessible ET l'anti-univers d'antimatière sont des jets de matière issus de la brisure de symétrie du vide causée par un instanton du vide. GT

Dans l'espace euclidien E3, deux cycles complets de rotations sont nécessaires pour revenir à l'état IDENTITE.
Mais cet état est non orienté.
Ces deux cycles de rotations sont un aspect connu des spineurs.

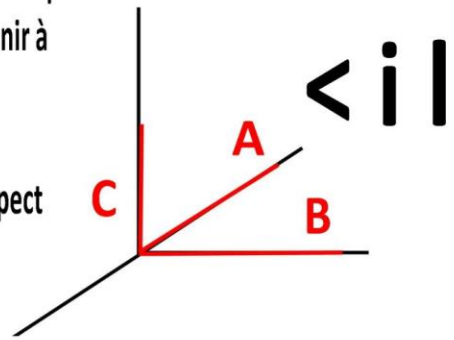

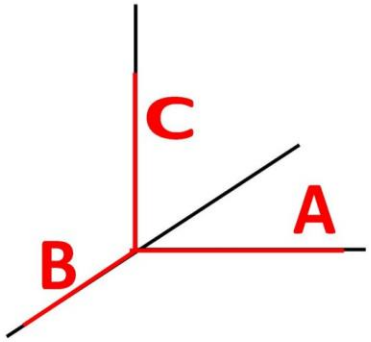

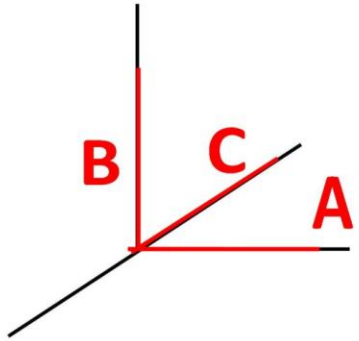

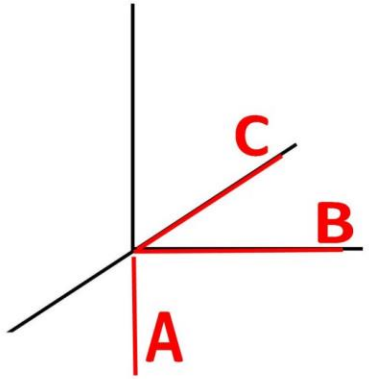

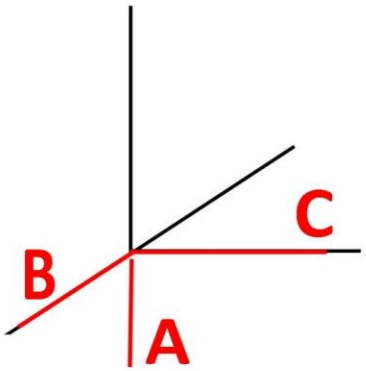

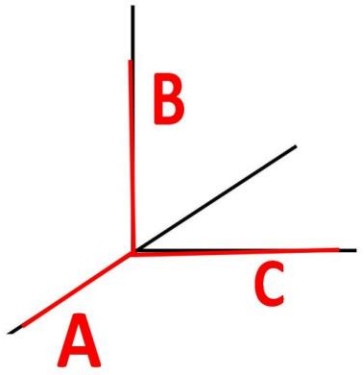

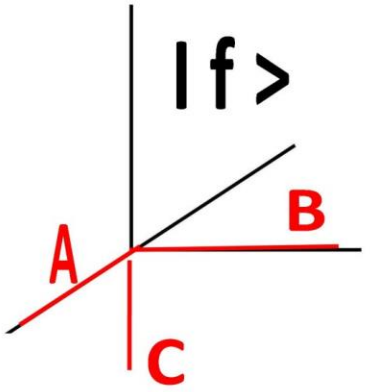

Dans l'espace euclidien E3, un objet rigide exige DEUX cycles complets de rotations orthogonales pour revenir à son IDENTITE.
Le premier état final n'a pas les orientations adéquates.

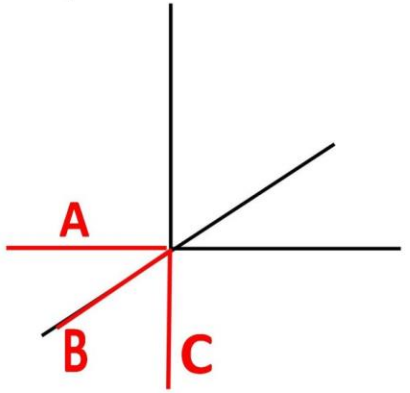

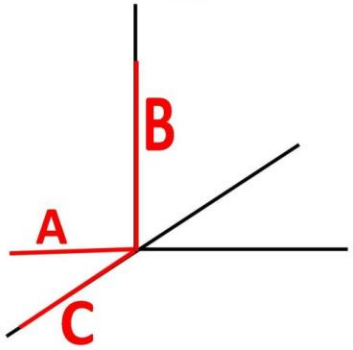

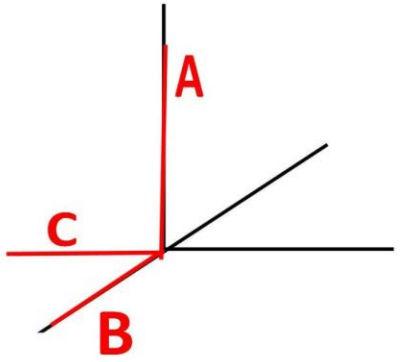

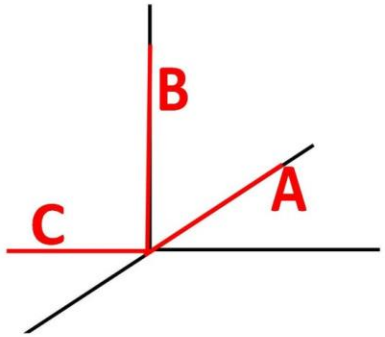

rappel de l'état final 1

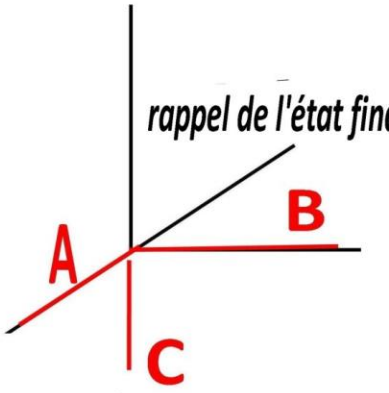

Dans un espace de spineurs, le retour du spineur à l'identité exige une rotation de 4 PI

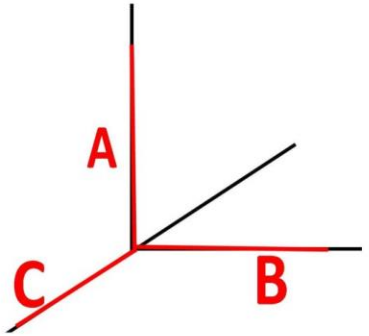

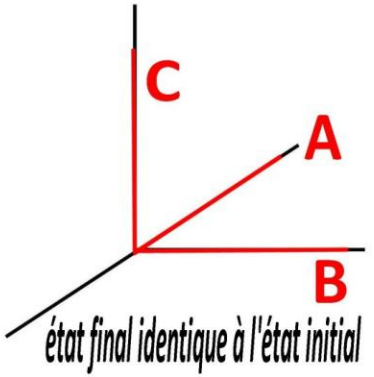

état final identique à l'état initial

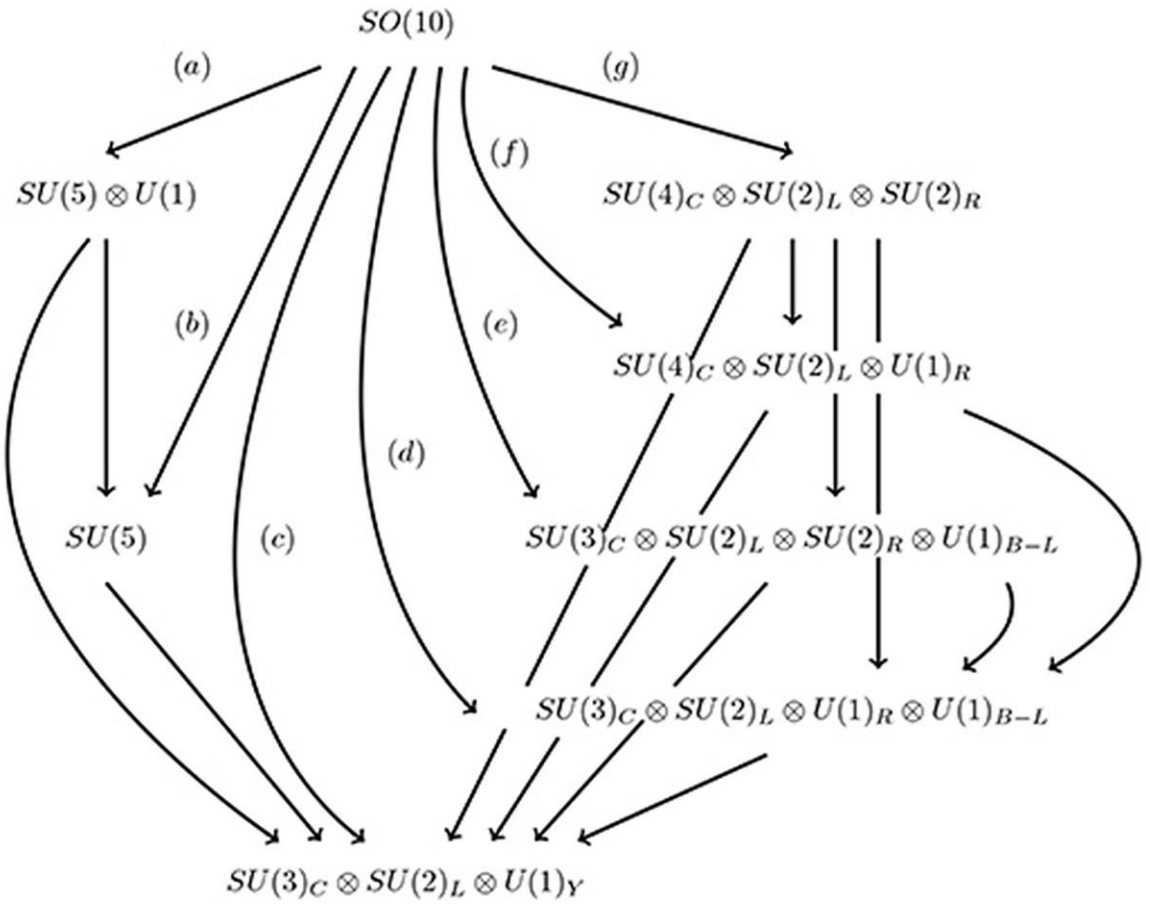

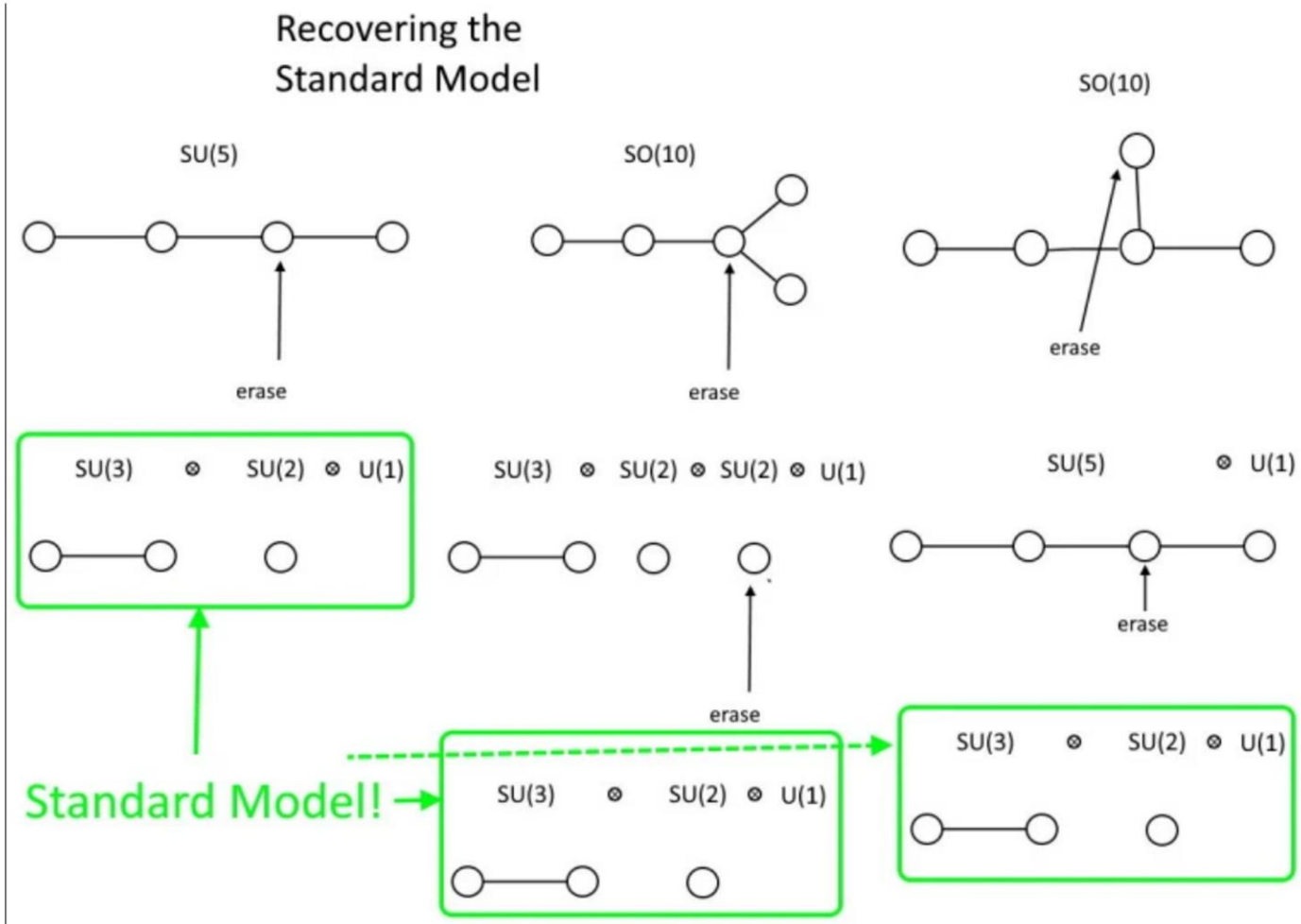

From Standard Model to SO(10)

STANDARD MODEL EXTENSIONS IN DYNKIN DIAGRAMS

We know SU(5) doesn't work...

SU(5)

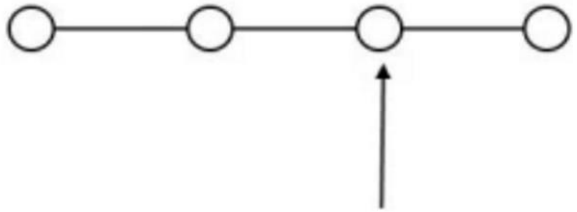

SU(10) implies a 4th generation of fermions

SO(10)

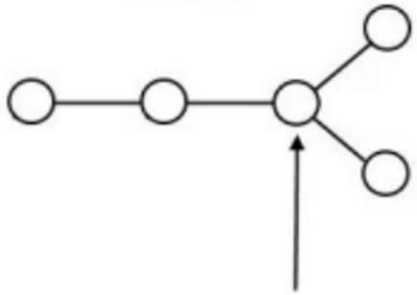

SO(10)

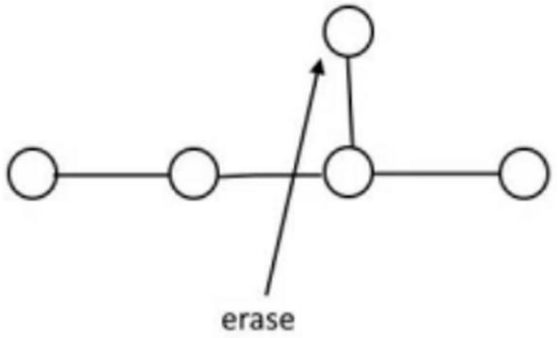

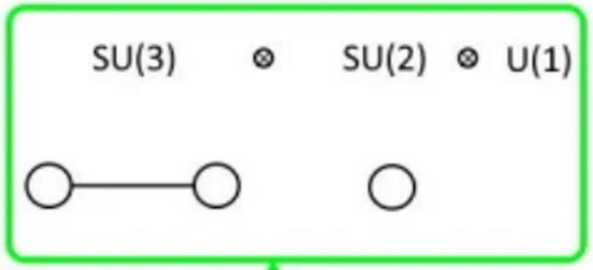

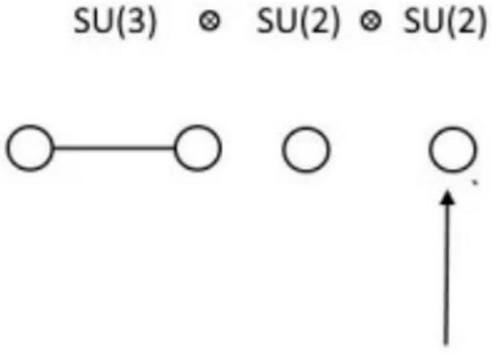

SU(5) ⊗ U(1)

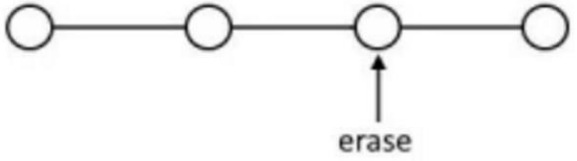

Standard Model! →

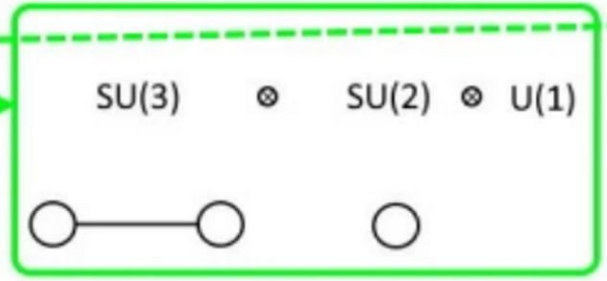

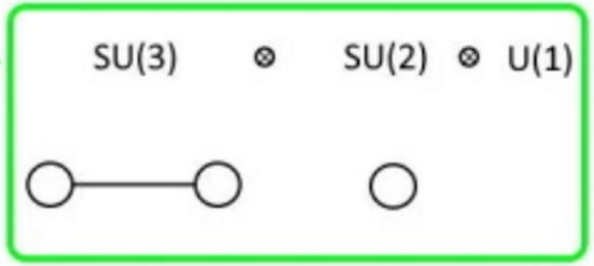

GT 2023 4

this version is approximate

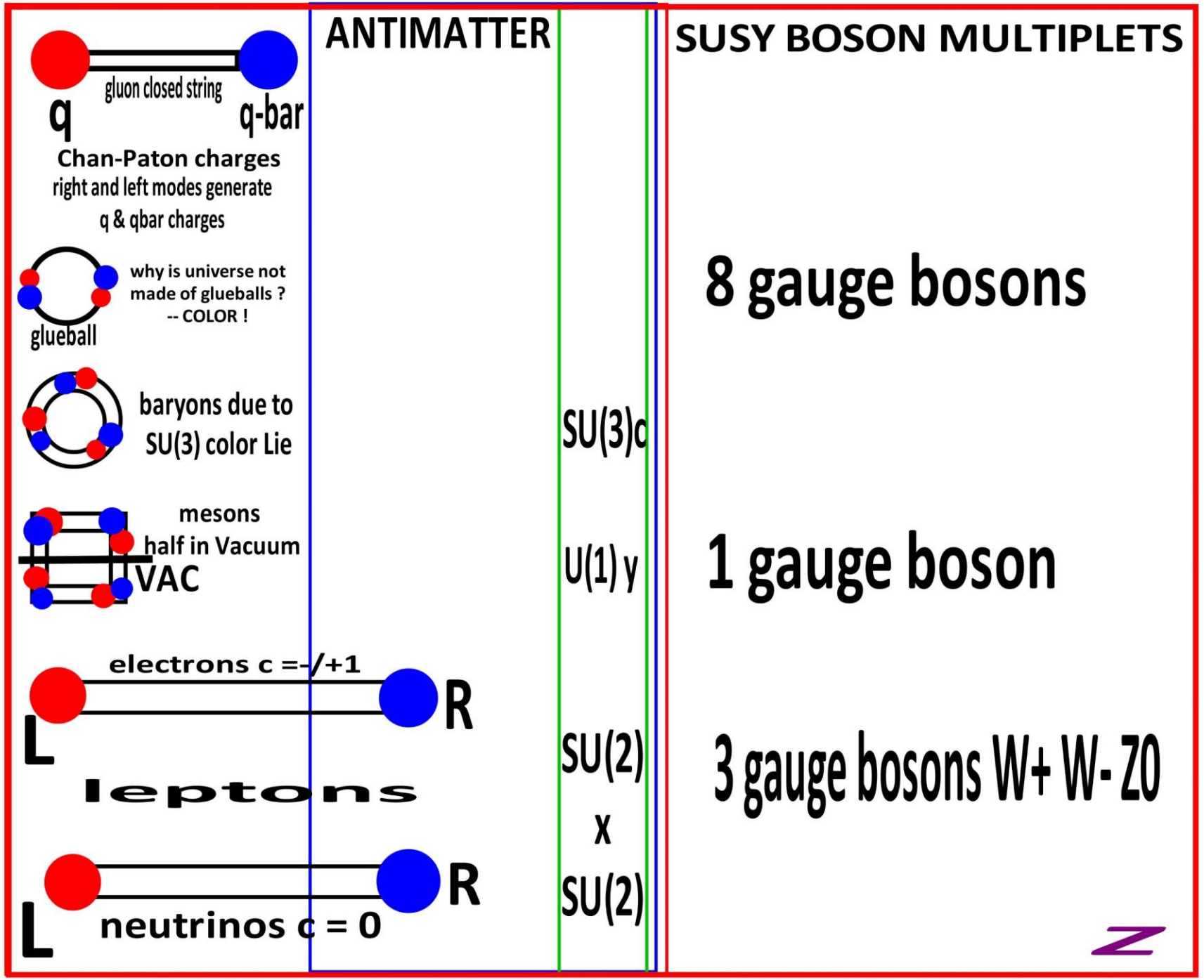
gluon closed string
q
q-bar
Chan-Paton charges
right and left modes generate
q & qbar charges
why is universe not
made of glueballs ?
-- COLOR !
glueball
baryons due to
SU(3) color Lie
mesons
half in Vacuum
VAC
electrons c =-/+1
L
R
leptons
L
R
neutrinos c = 0
ANTIMATTER
SU(3)c
U(1) y
SU(2)
x
SU(2)
SUSY BOSON MULTIPLETS
8 gauge bosons
1 gauge boson
3 gauge bosons W+ W- Z0

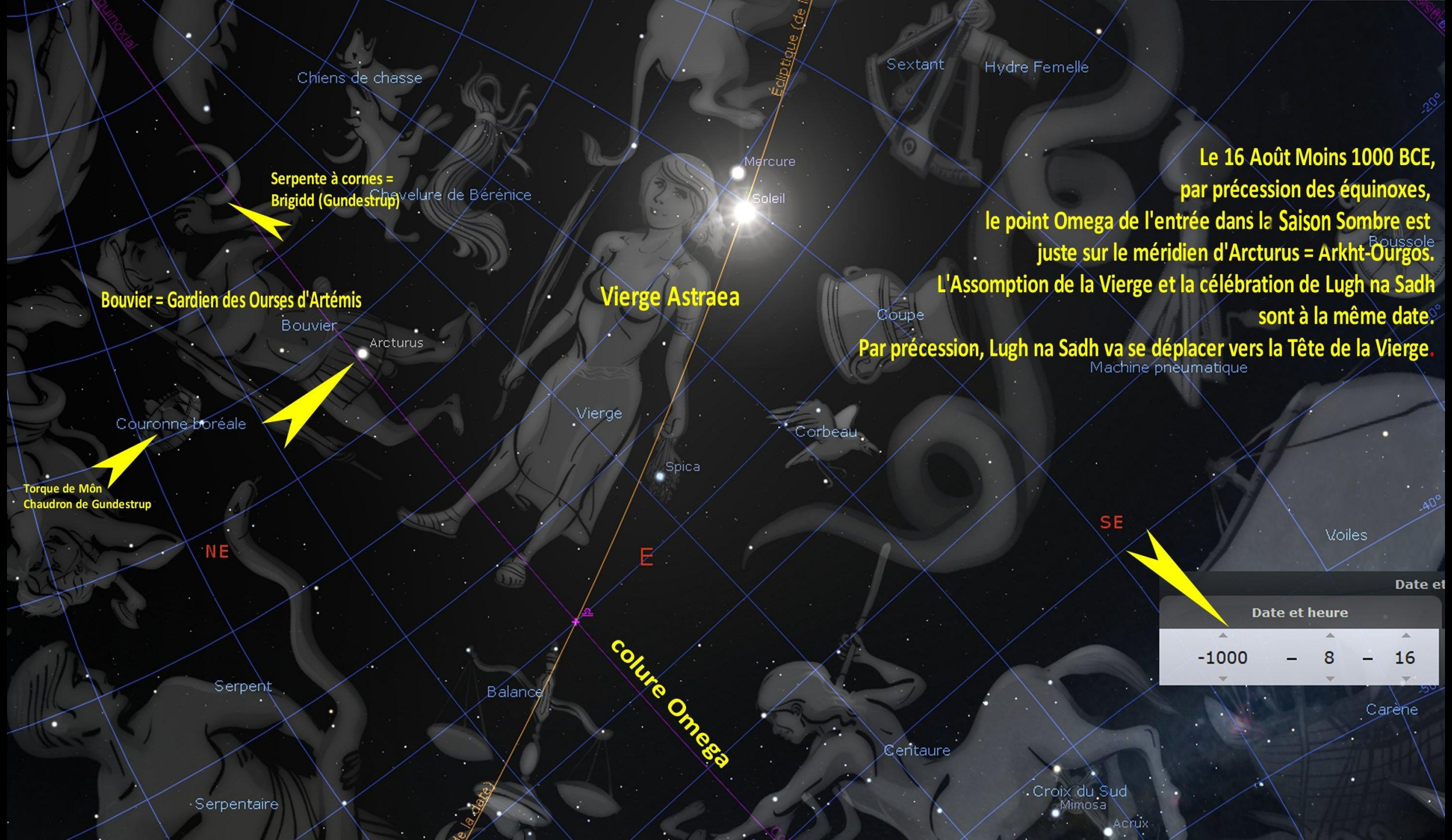
Chiens de chasse
Sextant
Hydre Femelle
Écliptique (de la date)
Mercure
Soleil
Chevelure de Bérénice
Serpente à cornes =
Brigidd (Gundestrup)
Boussole
Bouvier = Gardien des Ourses d'Artémis
Vierge Astraea
Bouvier
Arcturus
Coupe
Machine pneumatique
Couronne boréale
Vierge
Corbeau
Spica
Torque de Môn
Chaudron de Gundestrup
NE
E
SE
Voiles
Date et heure
-1000 – 8 – 16
colure Omega
Serpent
Balance
Carène
Centaure
Serpentaire
Croix du Sud
Mimosa
Acrux
Le 16 Août Moins 1000 BCE,
par précession des équinoxes,
le point Omega de l'entrée dans la Saison Sombre est
juste sur le méridien d'Arcturus = Arkht-Ourgos.
L'Assomption de la Vierge et la célébration de Lugh na Sadh
sont à la même date.
Par précession, Lugh na Sadh va se déplacer vers la Tête de la Vierge.

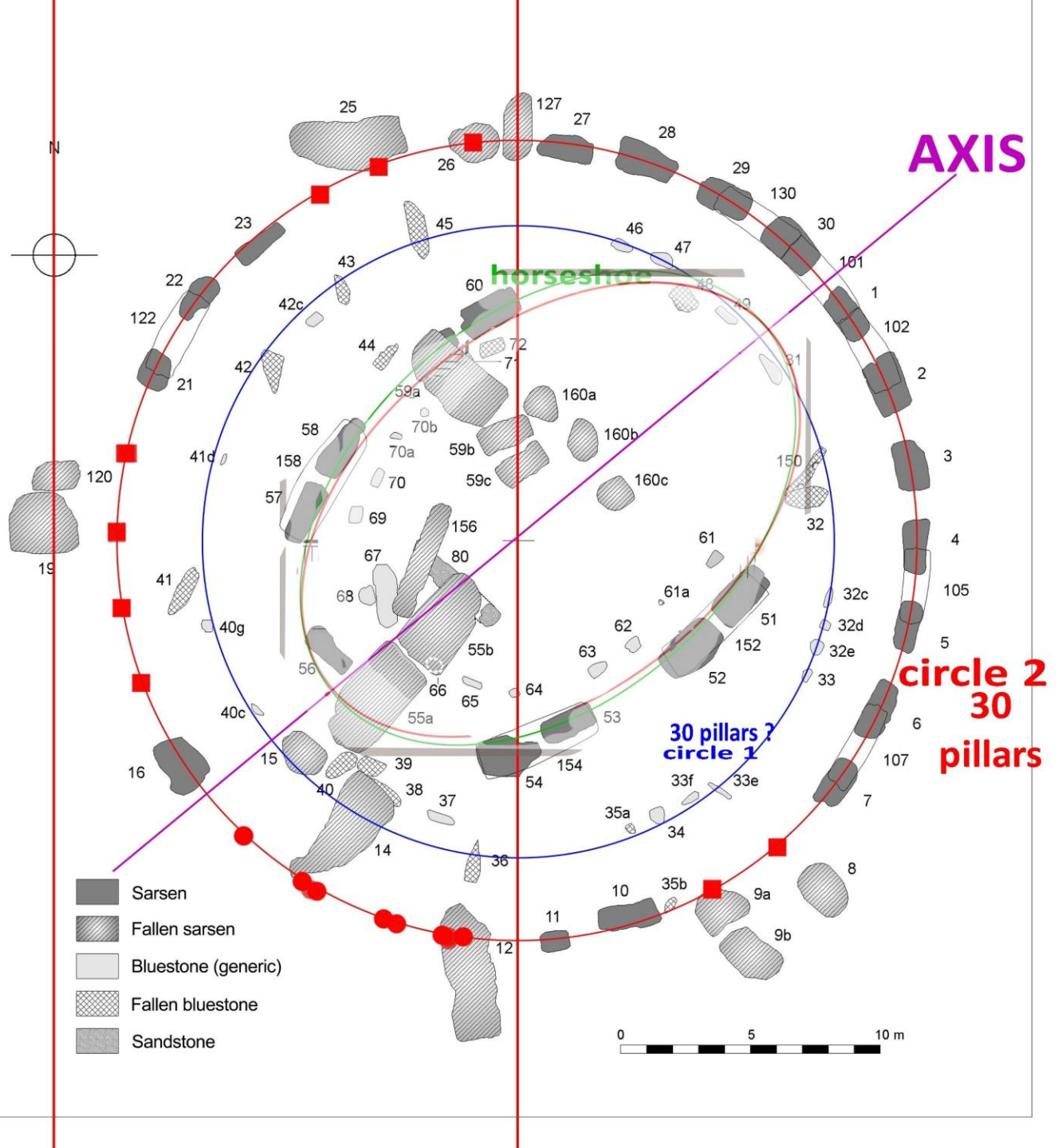
AXIS
horseshoe
circle 2
30
pillars
30 pillars ?
circle 1
N
Sarsen
Fallen sarsen
Bluestone (generic)
Fallen bluestone
Sandstone
0
5
10 m

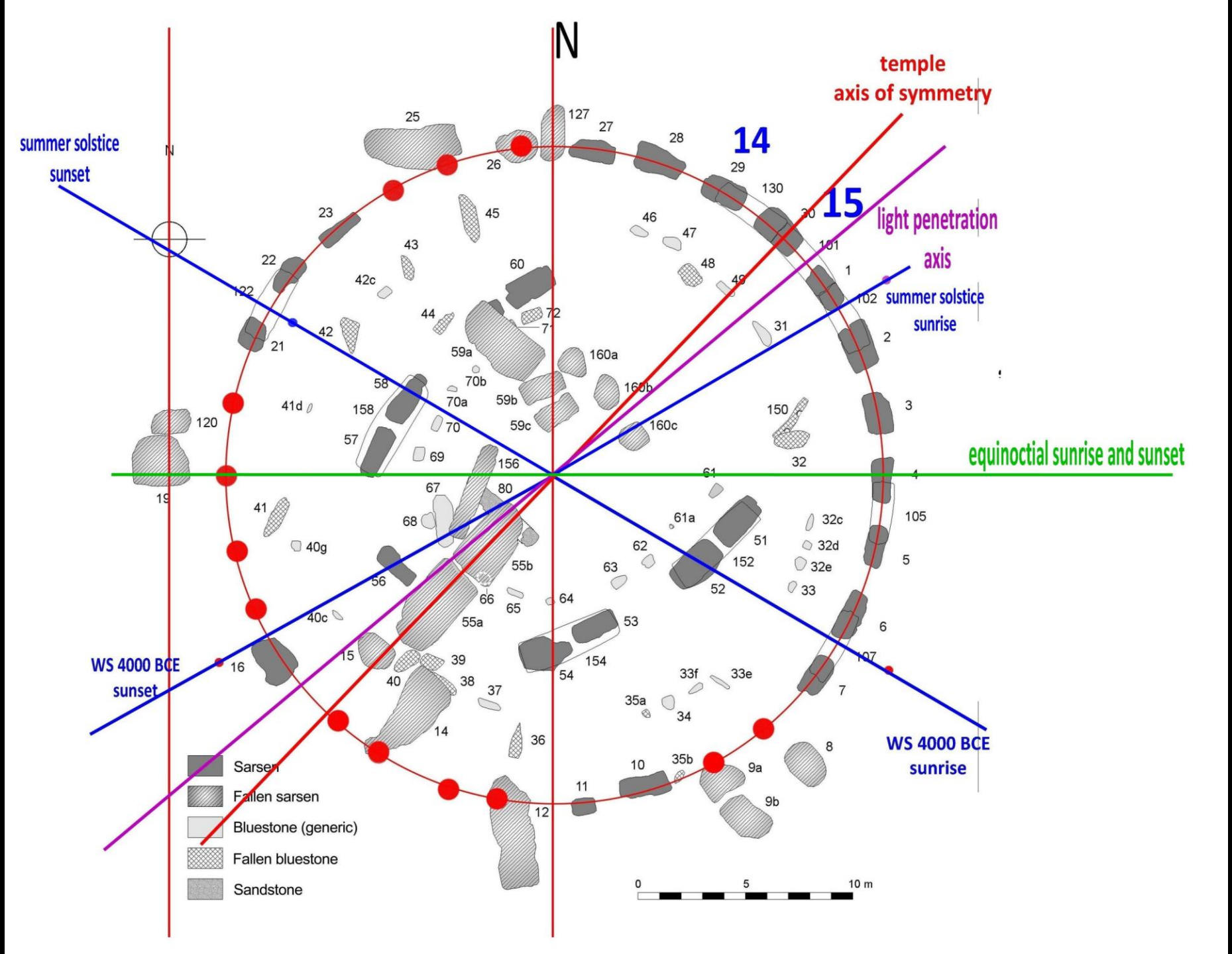
N
temple
axis of symmetry
14
15
light penetration
axis
summer solstice
sunset
summer solstice
sunrise
equinoctial sunrise and sunset
WS 4000 BCE
sunset
WS 4000 BCE
sunrise
Sarsen
Fallen sarsen
Bluestone (generic)
Fallen bluestone
Sandstone
0
5
10 m

Stonehenge 1, 2, 3, geometric structure

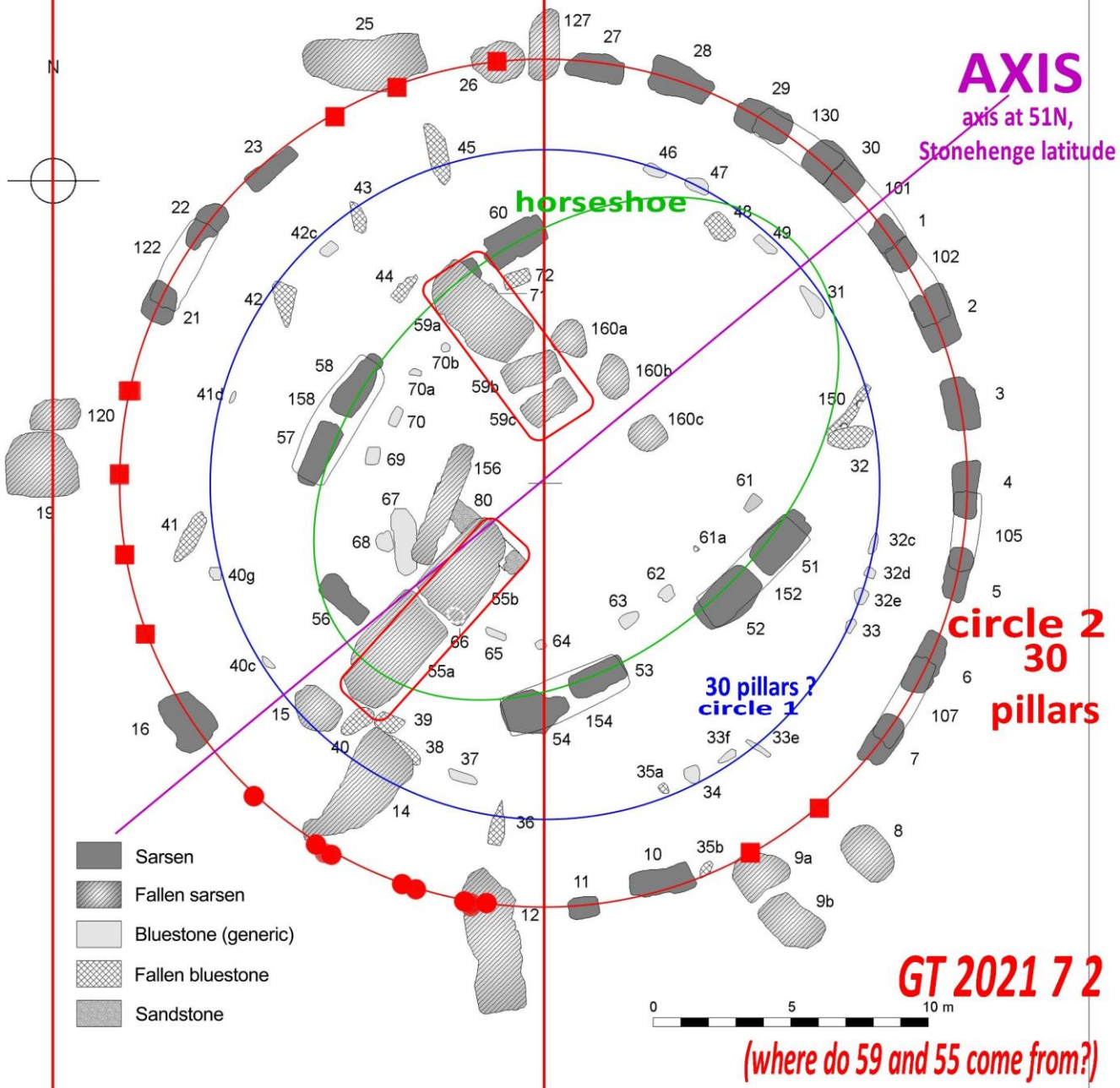

Stonehenge 1, 2, 3, geometric structure

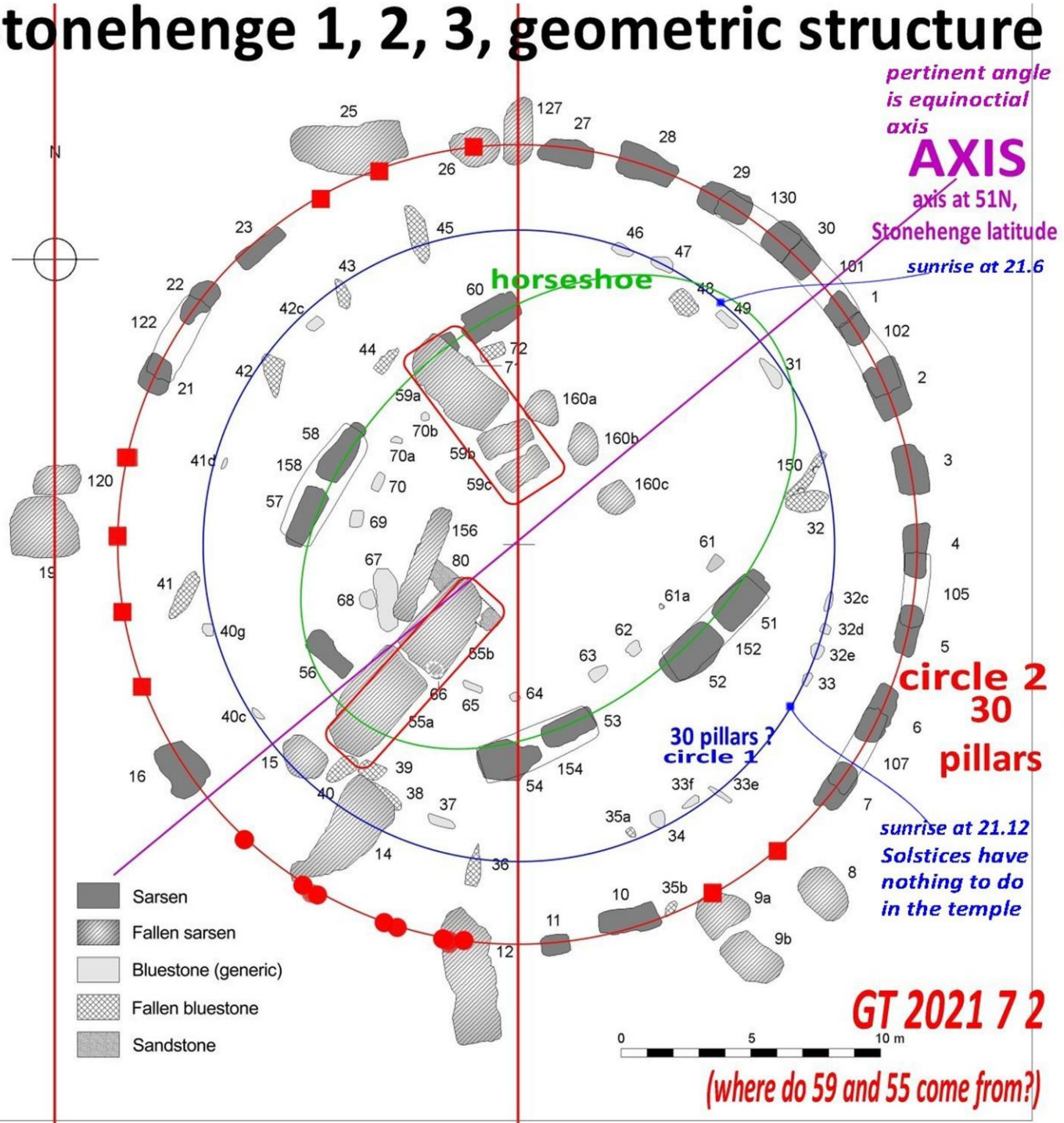

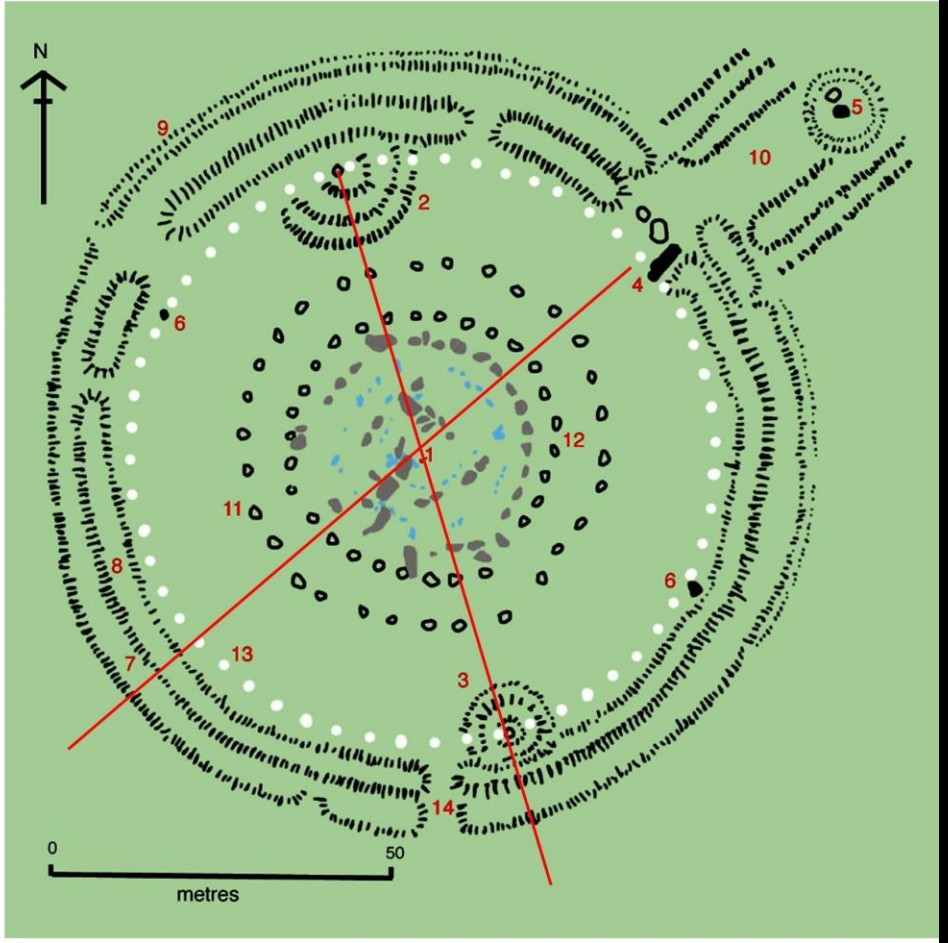

The only pertinent axis in Stonehenge is the equinoctial axis, at 51N, of sunrise at equinoxes.
Solstices are not defined in Temple geometric structure.
GT 2021 9 21

Golden Ellipsis following the simplest way to construct it.

Little axis is 5, great axis is 8.

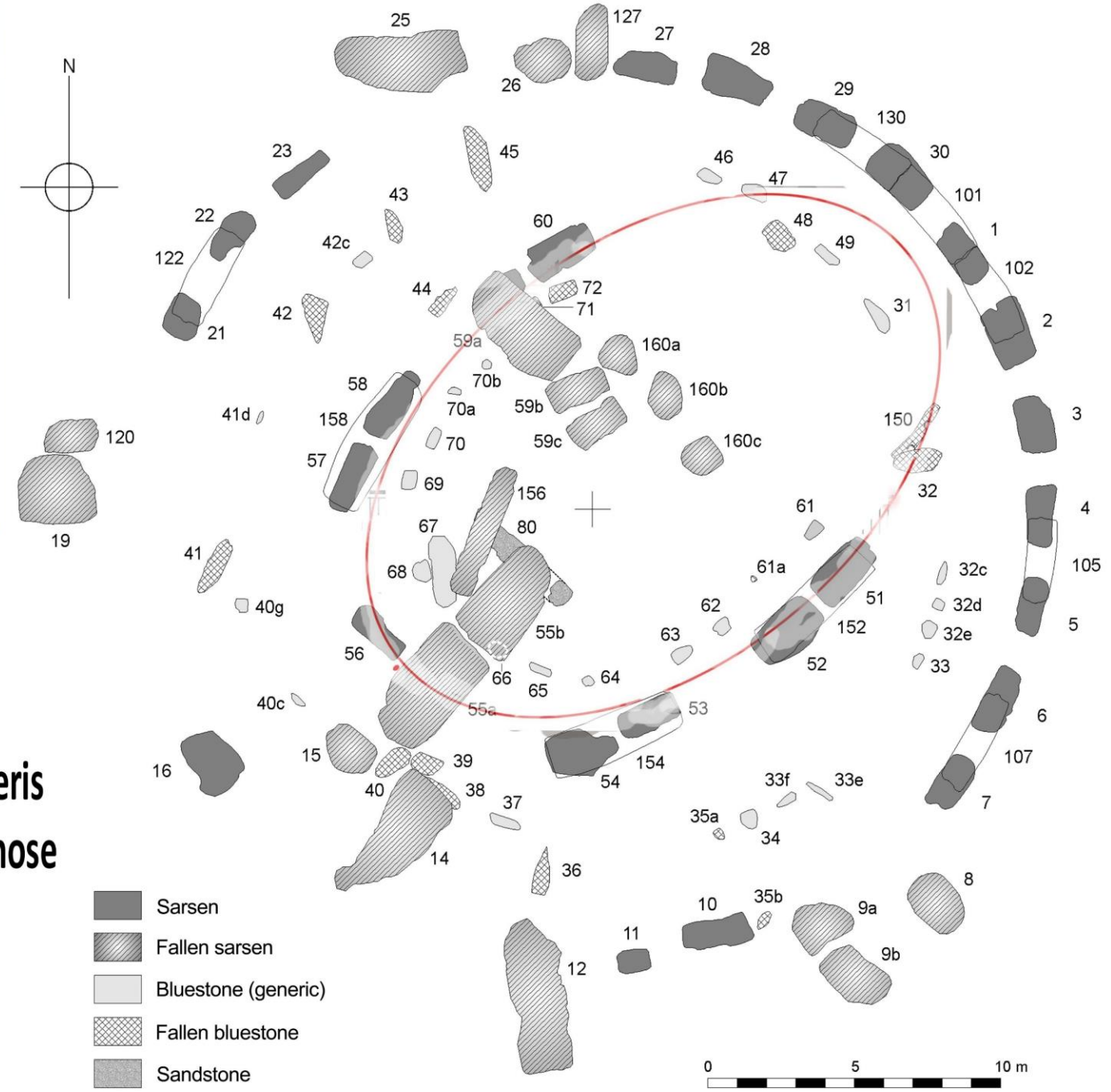

Stonehenge Golden Ellipse whose axes are 5 to 8, following the Venus octaëteris.

The architect perfectly knew the octaëteris and applied it to the interior temple, whose sixth arch has been suppressed to allow for the Processionnal Way.

GT 2022 7 30

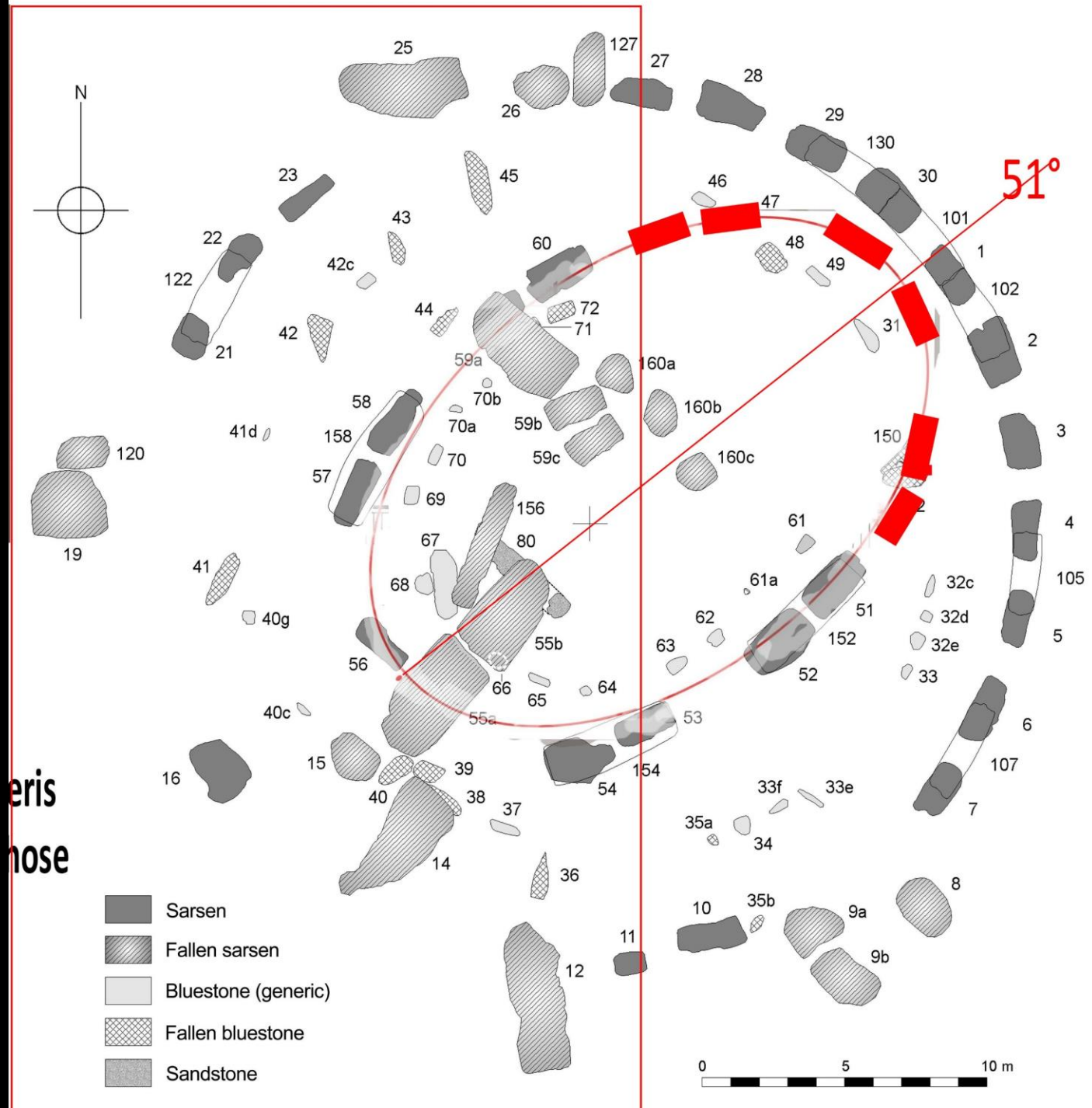
N
51°
Sarsen
Fallen sarsen
Bluestone (generic)
Fallen bluestone
Sandstone
0
5
10 m

καὶ καθαρπάζειν· ἀφ΄ οὗ δὴ πάντα τὸν πολυπράγμονα καὶ κατακούειν ἐπιχειροῦντα τῶν λάθρα καὶ ἐν ἀπορρήτῳ διαλεγομένων Κωρυκαῖον καλοῦμεν, καὶ ἐν παροιμίᾳ φαμέν

Τοῦ δ΄ ἄρ΄ ὁ Κωρυκαῖος ἠκροάζετο,

ὅταν δοκῇ τις πράττειν δι΄ ἀπορρήτων ἢ λαλεῖν, μὴ λανθάνῃ δὲ διὰ τοὺς κατασκοποῦντας καὶ φιλοπευστοῦντας τὰ μὴ προσήκοντα.

Strabon, 14, 1, 34

[33] Μετὰ δὲ Κώρυκον Ἀλόννησος νησίον· εἶτα τὸ Ἀργεννον, ἄκρα τῆς Ἐρυθραίας πλησιάζουσα μάλιστα τῷ Χίων Ποσειδίῳ ποιοῦντι πορθμὸν ὅσον ἑξήκοντα σταδίων. Μεταξὺ δὲ τῶν Ἐρυθρῶν καὶ τοῦ Ὑποκρήμνου Μίμας ἐστὶν ὄρος ὑψηλὸν εὔθηρον πολύδενδρον· εἶτα κώμη Κυβέλεια καὶ ἄκρα Μέλαινα καλουμένη μύλων ἔχουσα λατόμιον.

[34] Ἐκ δ΄ Ἐρυθρῶν Σίβυλλά ἐστιν, ἔνθους καὶ μαντικὴ γυνὴ τῶν ἀρχαίων τις· κατ΄ Ἀλέξανδρον δὲ ἄλλη ἦν τὸν αὐτὸν τρόπον μαντική, καλουμένη Ἀθηναΐς, ἐκ τῆς αὐτῆς πόλεως· καὶ καθ΄ ἡμᾶς Ἡρακλείδης Ἡροφίλειος ἰατρὸς συσχολαστὴς Ἀπολλωνίου τοῦ Μυός.

34. Erythrae, patrie de l'antique Sibylle, cette femme inspirée, si célèbre par ses prophéties, a vu naître, du temps d'Alexandre, une autre devineresse, nommée Athenaïs, et, de nos jours, le médecin Héraclide, de la secte Hérophilienne, condisciple d'Apollonius Mus.

35. Quand on exécute le périple de l'île de Chio en rangeant de près la côte, on trouve que cette île peut avoir 900 stades de circuit. Elle possède une ville [de même nom] pourvue d'un bon port et un naustathme ou arsenal maritime pouvant abriter jusqu'à quatre-vingts vaisseaux. Supposons que, dans ce périple, on parte de la ville de Chio en ayant la côte de l'île à droite, on relèvera successivement le Posidium, le port profond de Pliante, un temple dédié à Apollon et un grand bois sacré planté de palmiers ; puis vient la plage de Notium, mouillage excellent, immédiatement suivie d'une autre plage, dite de Laiûs, dont l'abri n'est pas moins sûr. Entre cette dernière plage et la ville de Chio, l'île forme un isthme qui ne mesure que 60 stades ; mais le périple entre ces deux points est de 360 stades : nous avons, dans un de nos voyages, fait nous-même cette traversée. La pointe Mélaene, qui se présente ensuite, a juste en face d'elle, à 50 stades de distance, l'île Psyra, île très haute qui renferme une ville de même nom et mesure 40 stades de tour ; plus loin, sur un espace de 30 stades environ, on longe le canton d'Ariusie, dont le sol est âpre et la côte droite et dépourvue d'abris, mais qui produit un vin réputé le meilleur des vins grecs. Un dernier point à relever est le mont Minoens, le plus haut sommet de l'île. A ses autres richesses Chio joint l'exploitation d'une carrière de marbre. En fait de célébrités, maintenant, elle compte un poète tragique, Ion ; un historien, Théopompe, et un

Carte du Tendre for string theories

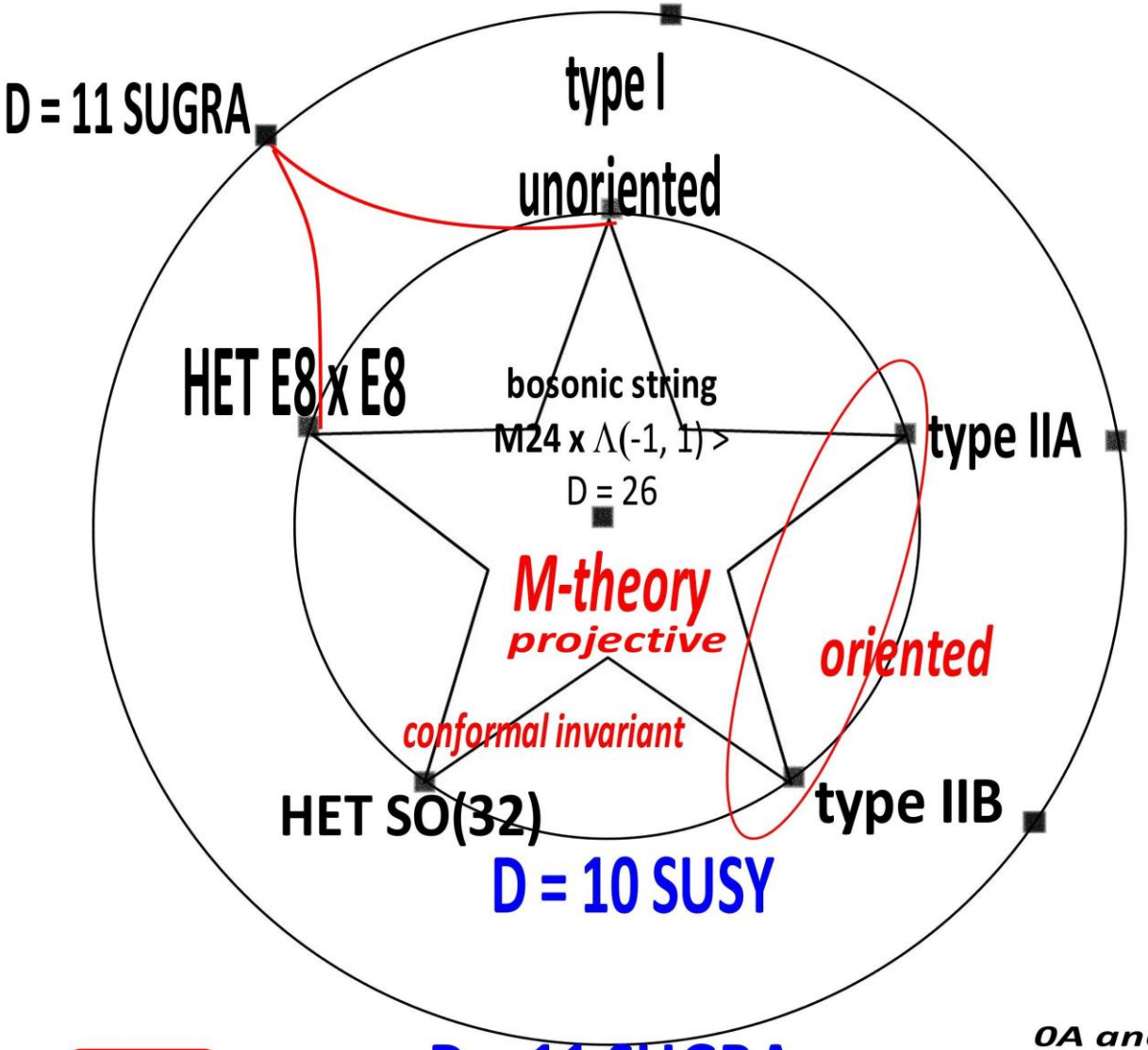

Z

D = 11 SUGRA

NO conformal invariance

0A and 0B not included

Les Helvetii, tribus Keltes vivant auprès des Alpes, avaient décidé d'émigrer pour aller à la mer prendre leurs vacances dans la région des Charentes, comme le firent les Bataves qui vinrent plus tard coloniser la région. Mais, avec leur bagage et toute leur marmaille, ils auraient dû traverse les territoires de tribus Keltes alliées de Rome et déjà converties aux élégances de la toge, qui n'entendaient pas voir leurs récoltes pillées par les émigrants. Ils demandèrent à Julius Caesar, Caesar étant son surnom, Julius son nom de *gens*, et Gaius son prénom, -de mettre le holà ! à cette migration. Caesar le fit avec son élégance habituelle en leur flanquant une bonne raclée, en sorte que les Helvetii retournèrent dans leurs alpages.

C'est ainsi que, au lieu de se perdre dans le camp des vaincus Kelts, les Helvetii restèrent ***Eidgenossen***, et firent un serment sur la plaine du Grüssli, et fabriquèrent du chocolat.

Je pense que les Suisses devraient élever une statue à Caesar, puisque c'est à lui qu'ils doivent d'être devenus Suisses, beaucoup plus qu'aux Habsburg.

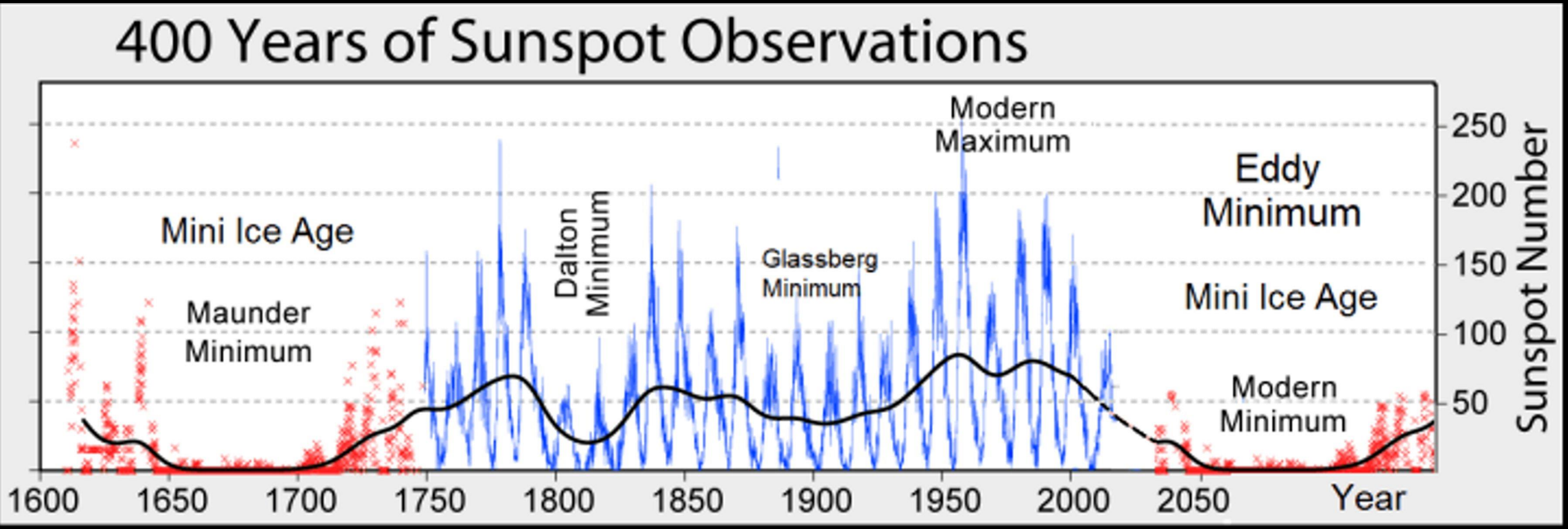
400 Years of Sunspot Observations
Mini Ice Age
Maunder Minimum
Dalton Minimum
Glassberg Minimum
Modern Maximum
Eddy Minimum
Mini Ice Age
Modern Minimum
250
200
150
100
50
Sunspot Number
1600
1650
1700
1750
1800
1850
1900
1950
2000
2050
Year

Could it be that this spot
may have been a splendid
pre-cambrian super- volcano ?
GT 2022 12 17

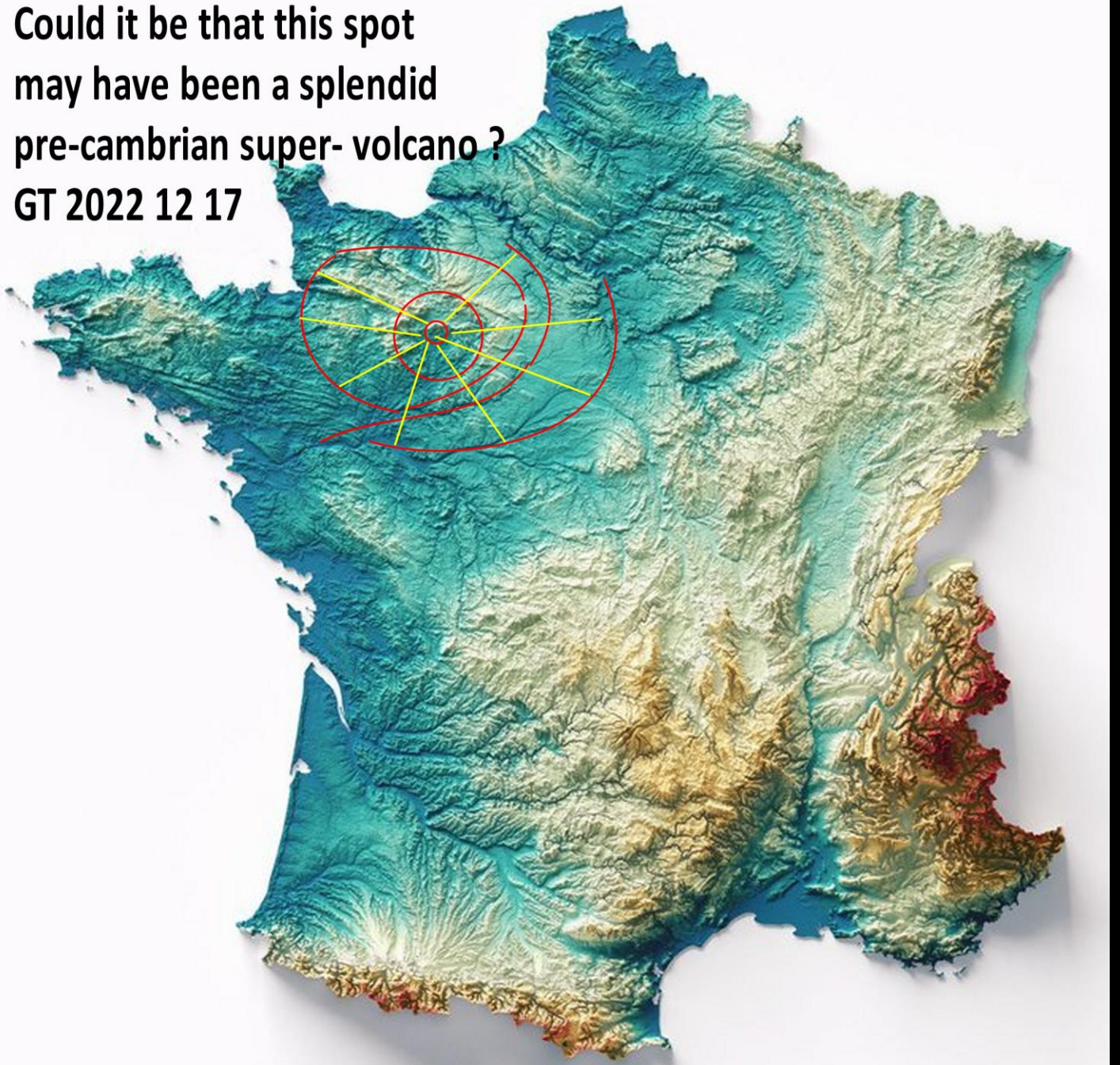

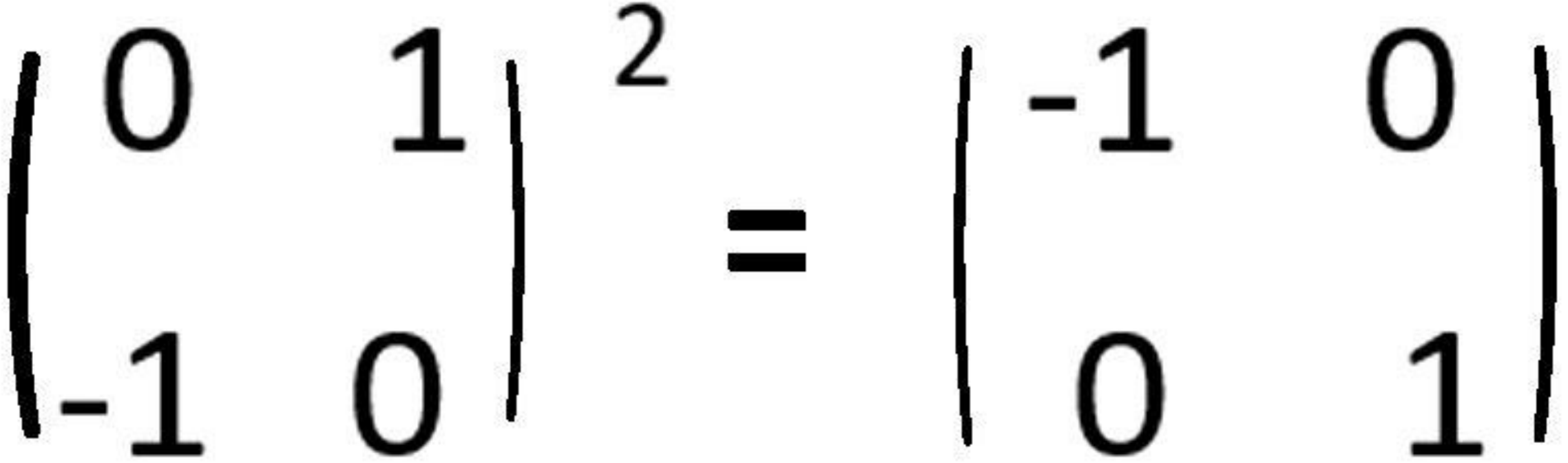

carré de la transformation symplectique

CARTE RESOLUMENT ANTIPATHIQUE

Les pop nordiques se nourrissaient avant tout de laitages, ce qui explique beaucoup de choses... GT

* Les invasions mongoles, cause de la peste noire, ont débarrassé l'Europe de ses nuisibles: la féodalité

homerides

homerides

Art moderne, parodie homosexuelle de mariage par la loi Taubira, « dégenrisation » administrative (parents 1 et 2), reconnaissance d'un « troisieme » sexe, écriture inclusive, animalisme végan et antispécisme, et dans un autre domaine, droit du sol avec acquisition automatique de la nationalité… Ce sont les différents symptômes d'une seule et même maladie sociale : la négation des limites naturelles (raciales, culturelles, sexuelles et anthropologiques) à la volonté de l'homme. Autrement dit : l'individualisme libéral développé jusqu'à ses conséquences logiques avec, en toile de fond, l'uniformisation mondiale par la consommation.

Julien Langella, Refaire un peuple, La Nouvelle Libraire, 2021, page 257

geromschweisthal

Madame Taubira, Guyanaise indépendantiste, nous a bien enculés. Son copain Mithe Errand aussi, pour ne rien dire de la Baudruche hollandaise. GT

$j(i) + 1 = 1729$ (Ramanujan Taxicab)

Nouvelle victime
de la Guerre
Anti-Téton
sur Pinterest:
Sofia Loren
a perdu les siens...
Et pourtant,
y a de quoi faire...

THÉORÈME DE PARETO-MARX

Gérôme Taillandier

La loi binomiale donne le squelette de toutes les lois continues qui règlent les données de la nature : Gauss, Poisson, Pareto à longue traîne.

La loi Pareto 80/20 peut être appliquée dans un registre infini de données de la nature et de la vie animale.

Le comportement de harde des mammifères grégaires permet de constater que toute harde homogène et stable est soumise à la loi de dominance de dirigeants de la harde. Chez les animaux sociaux, abeilles, fourmis, termites, et chez les organismes dispersants, virus, bactéries, champignons, il semble que la loi est différente.

Ce comportement est valable chez les Sapiens et peut se formuler ainsi :

Théorème de Pareto-Marx :

Dans toute harde Sapiens homogène et stable, 80% de la pop remet son pouvoir de décision dans le groupe aux 20% de la pop, qui, en échange, se croient fondés à accaparer 80% des fortunes, revenus et productions des 80% concernés.

Ce fait se réplique pour chacune des castes ainsi formées, et la division 80/20 est observable dans chacune de ces castes.

Ainsi, il n'y a pas accaparement de la plus-value de la valeur-travail, mais travail actif de profit et de perte entre les individus et les castes, dont la répartition statistique se fait selon la loi de Pareto.

Ainsi fonctionne la cybernétique des pops Sapiens.

2023 12 8

NB : Le mot peuple, ou population, a pour origine le latin populus, lequel n'a pas d'étymologie connue à partir de POPUS, alors que le suffixe -ULUS a un sens diminutif. On doit conjecturer l'existence d'un mépris de caste ou d'un mot ancien dans les castes qui définissent la grammaire, les hommes à cheval.

On préférerait donc le mot Folk, Volk, qui ne suppose pas l'existence de chevaux, mais d'un Führer, Duce.

LA THÉORIE DE MARX EST JUSTE PARCE QU'ELLE EST VRAIE

La loi de Pareto nous apprend que 80% d'une harde Sapiens remet ses droits et volontés entre les mains de 20% d'entre eux, afin d'être débarrassés de leurs lourdes cornes de cocus s'il leur arrivait de vouloir être des chefs de harde.

Cette théorie en a engendré une autre, celle de Marx : le prolétariat est exploité et sa plus-value est accaparée par la caste des capitalistes. Cette théorie est parfaitement exacte. Mais Marx a négligé le fait, établi par Pareto, que les 20% des castes dominantes sont à leur tour divisés en 80/20, dont les 80% servent de chiens de garde aux castes supérieures moyennant un nonos à ronger et le droit de mordre et d'aboyer.

A leur tour, les 20% restant sont divisés en 80/20, dont la fraction 80 devient les « représentants » du peuple, enchantant les soirées télévisées de la harde en extase, tandis que le groupe 20 fait ses comptes et empoche les bénéfices sous la forme de la fortune du capital financier.

Il faut ajouter que le capital financier tient sous sa coupe le capital productif. Il faut enfin ajouter que le capital national et socialiste des empires tient sous sa coupe les peuples, comme le montre le remarquable succès en cours de développement de l'Empire du Milieu, qui tiendra bientôt sous sa coupe la plupart des régions des Trente-Glorieuses. Ainsi, le capitalisme national et socialiste Han aura montré le succès de la théorie de Marx, dont je n'ai jamais douté.

La théorie M n'est pas une théorie conforme des cordes, mais la théorie des transformations par dualité et projection entre ces théories. Elle doit donc préserver le *cross ratio.* Quel est alors l'invariant de toute transformation projective ?

Computation of the quantum effects due to a four-dimensional pseudoparticle

G. 't Hooft

Phys. Rev. D **14**, 3432 – Published 15 December 1976; Erratum Phys. Rev. D **18**, 2199 (1978)

An article within the collection: *Physical Review D* 50th Anniversary Milestones

ABSTRACT

A detailed quantitative calculation is carried out of the tunneling process described by the Belavin-Polyakov-Schwarz-Tyupkin field configuration. A certain chiral symmetry is violated as a consequence of the Adler-Bell-Jackiw anomaly. The collective motions of the pseudoparticle and all contributions from single loops of scalar, spinor, and vector fields are taken into account. The result is an effective interaction Lagrangian for the spinors.

Received 28 June 1976

DOI: https://doi.org/10.1103/PhysRevD.14.3432

©1976 American Physical Society

How instantons solve the U(1) problem

G. 't Hooft

Show more

+ Add to Mendeley Share Cite

https://doi.org/10.1016/0370-1573(86)90117-1

Get rights and content

Abstract

The gauge theory for strong interactions, QCD, has an apparent U(1) symmetry that is not realized in the real world. The violation of the U(1) symmetry can be attributed to a well-known anomaly in the regularization of the theory, which in field configurations called "instantons" can be seen to give rise to interactions that explicitly break the symmetry. A simple polynomial effective Lagrangian describes these effects qualitatively very well. In particular it is seen that no unwanted Goldstone bosons appear and the eta particle owes a large fraction of its mass to instantons. There is no need for field configurations with fractional winding numbers and it is explained how a spurious U(1) symmetry that remains in QCD even after introducing instantons, does not affect these results.

France : Plus la dette publique augmente, moins le PIB progresse.

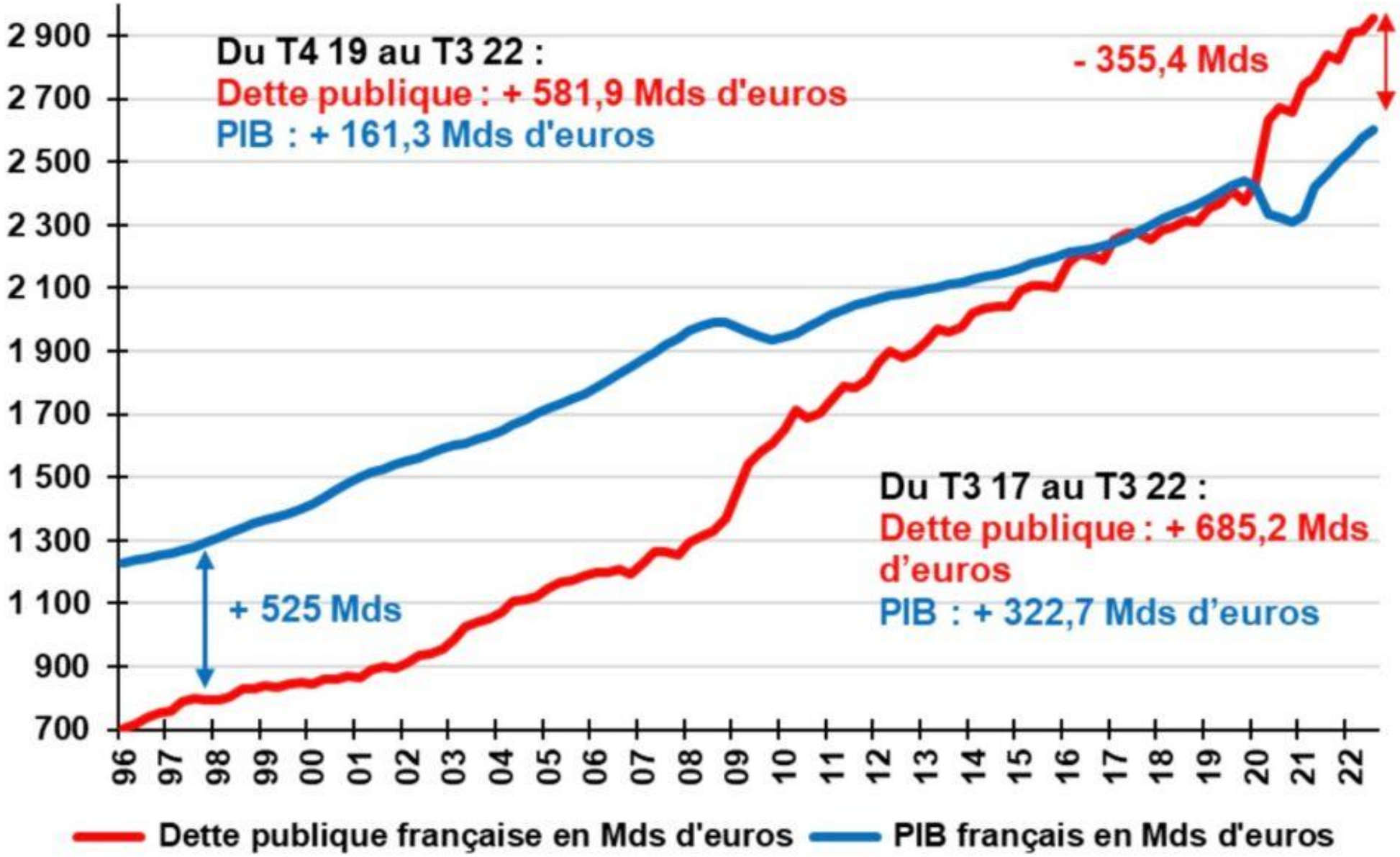

Sources : INSEE, ACDEFI

Au Bon Tirailleur
Sénégalais,
Fichage S gratuit!

BALTHUS TISON DE FRÉDÉRIQUE

Frédérique Tison avait un père heureusement fusillé et une mère déportée et déglinguée, tous deux s'étant amusés à faire de la « résistance ».

Elle connut Balthus à 12 ans, et peut-être moins, et décida, à dix-sept ans, de le rejoindre pour devenir une femme. Elle y réussit fort bien, en sorte que Balthus peignit, sous sa demande, le tiers de son œuvre.

Balthus la tisonna beaucoup, du moins on l'espère.

Lorsqu'il eut fini, et qu'elle fut réparée du désastre de ses tarés familiaux, elle eut un enfant, Balthus quitta Chassy après avoir vécu un magnifique inceste avec une fille, qui la mena à sa féminité.

Méfiez-vous des résistants.

Demandez à Arletty.

GT

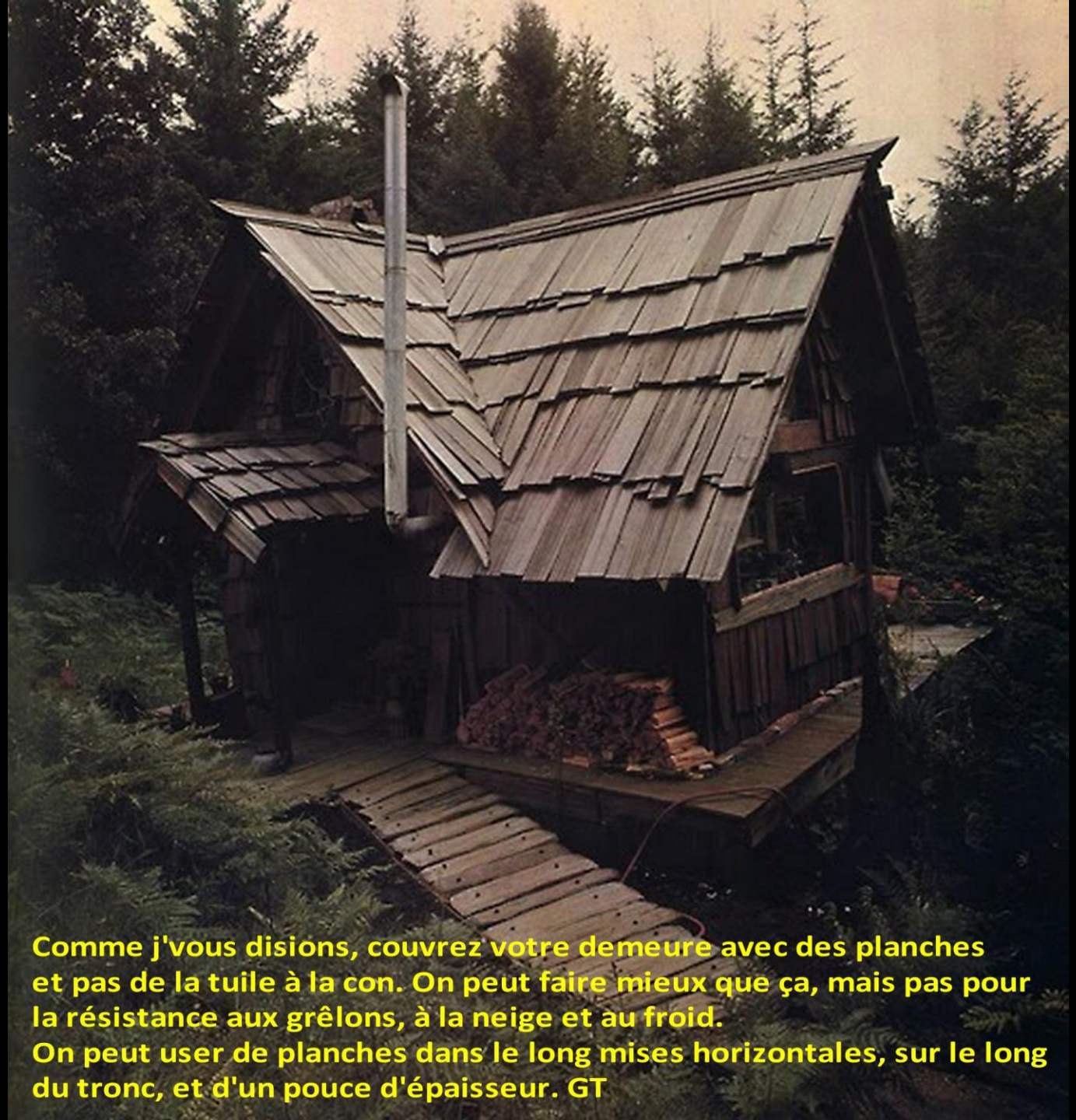

Comme j'vous disions, couvrez votre demeure avec des planches et pas de la tuile à la con. On peut faire mieux que ça, mais pas pour la résistance aux grêlons, à la neige et au froid.
On peut user de planches dans le long mises horizontales, sur le long du tronc, et d'un pouce d'épaisseur. GT

geromschweisthal

* Le BUT du trafic planétaire de drogue est en premier de détruire notre civilisation.

*** Les toxicomanes et les trafiquants sont la force avancée de cette destruction, favorisés par l'état de ruine de notre civilisation.**

*** Derrière la force d'invasion, les Barbares ricanent en nous regardant tituber et pleurnicher.**

gerometaillandier ↻ blackswaneuroparedux ···

blackswaneuroparedux

Quid ergo dicemus, cum et silentii et orationis magna utilitas sit? *

- Sallust

What then should we say, considering that there is great utility in both silence and in speaking? *

Prof Kathleen Stock, a university professor of philosophy was hounded out of her post by trans activists for her gender critical views. In her work she tackled the relation between sex and gender identity, arguing among other things that: womanhood and manhood reflect biological sex, not gender or gender identity; the claim "transwomen are women" is a fiction, not literally true; sexual orientation (being gay, being lesbian) is determined by same-sex attraction, not attraction to gender identity; spaces where women undress and sleep should remain genuinely single-sex, in order to protect them; and children with gender identity disorders should not be given puberty blockers as minors. For holding such views she was subject to torrential abuse and subsequently hounded out of her academic position by a vocal minority of student trans right activists for holding such 'transphobic' views.

Stock was invited first by the Cambridge Union and later the Oxford Union to debate her views. At Oxford, trans activists tried to get her invitation rescinded on the basis that her views constituted 'hate speech'. The Oxford Union was threatened by the Student Union to deny her a platform. To their credit, the Oxford Union held fast to their free speech principles while a petition signed by many Oxford academics, including Richard Dawkins and Nigel Biggar, came out in support for Prof. Stock.

Trans activists did their best to disrupt the event outside with a march while also offering 'safe spaces' for triggered Oxford students in a nearby college room complete with energy bars, ear plugs, and bottled water.

Inside the chamber, one activist, Riz Possnett, glued her hand to the chamber floor, in an attempt to disrupt Stock's talk, until she was removed by police. The privately educated Possnett (£41,000 year private school in Hong Kong) reading PPE at Wadham College, Oxford, is no stranger to controversy as 'they' was known to be an Extension Rebellion activist and Republican agitator, having previously broken into Windsor Castle to frolic on King Charles' bed with 'their' partner.

Prof Stock told the Union that some universities were "becoming propaganda machines for a particular point of view". She said she did not find it "traumatic" to have protesters outside the event and said that students in her generation staged similar protests. "Generally what I find more worrying is when institutions listen to protesters and take that voice through into the institution and basically become propaganda machines for a particular point of view and then everyone else in that institution feels that they can't say what they want to say," she said. She said that had happened in some universities. She told the Union said it would "take courage" for people to realise that "the world does not end" when you have disagreements.

Photo: Prof Stock brought the severed head of a trans activist to display in an attempt to trigger her critics. Is there no end to this woman's evil?

@gerometaillandier /
gerometaillandier.tumblr.com

Blogs similaires à celui-là

- **blackswaneuroparedux** — Black Swan Europa redux
- **viktor-sbor** — Vik
- **l-ile** — Des choses
- **raffaella342utopie** — Utopie

Prof Kathleen Stock, a university professor of philosophy was hounded out of her post by trans activists for her gender critical views. In her work she tackled the relation between sex and gender identity, arguing among other things that: womanhood and manhood reflect biological sex, not gender or gender identity; the claim "transwomen are women" is a fiction, not literally true; sexual orientation (being gay, being lesbian) is determined by same-sex attraction, not attraction to gender identity; spaces where women undress and sleep should remain genuinely single-sex, in order to protect them; and children with gender identity disorders should not be given puberty blockers as minors. For holding such views she was subject to torrential abuse and subsequently hounded out of her academic position by a vocal minority of student trans right activists for holding such 'transphobic' views.

Stock was invited first by the Cambridge Union and later the Oxford Union to debate her views. At Oxford, trans activists tried to get her invitation rescinded on the basis that her views constituted 'hate speech'. The Oxford Union was threatened by the Student Union to deny her a platform. To their credit, the Oxford Union held fast to their free speech principles while a petition signed by many Oxford academics, including Richard Dawkins and Nigel Biggar, came out in support for Prof. Stock.

Trans activists did their best to disrupt the event outside with a march while also offering 'safe spaces' for triggered Oxford students in a nearby college room complete with energy bars, ear plugs, and bottled water.

Inside the chamber, one activist, Riz Possnett, glued her hand to the chamber floor, in an attempt to disrupt Stock's talk, until she was removed by police. The privately educated Possnett (£41,000 year private school in Hong Kong) reading PPE at Wadham College, Oxford, is no stranger to controversy as 'they' was known to be an Extension Rebellion activist and Republican agitator, having previously broken into Windsor Castle to frolic on King Charles' bed with 'their' partner.

Prof Stock told the Union that some universities were "becoming propaganda machines for a particular point of view". She said she did not find it "traumatic" to have protesters outside the event and said that students in her generation staged similar protests. "Generally what I find more worrying is when institutions listen to protesters and take that voice through into the institution and basically become propaganda machines for a particular point of view and then everyone else in that institution feels that they can't say what they want to say," she said. She said that had happened in some universities. She told the Union said it would "take courage" for people to realise that "the world does not end" when you have disagreements.

Photo: Prof Stock brought the severed head of a trans activist to display in an attempt to trigger her critics. Is there no end to this woman's evil?

gerometaillandier

Bien, Black Swan !! GT

Second thoughts. Je pourrais, à partir de la psychanalyse, en rajouter beaucoup sur le sujet. Cependant, je n'aime pas avoir de la merde dans la bouche quand je parle.

Je ne sais pas si vous avez déjà eu une gastroentérite, BS, mais j'en ai eu une récemment.

Je considère le sujet dont vous parlez comme une gastroentérite de l'âme, et je m'abstiens de manger leur merde.

Gérôme Taillandier 2023 6 2

Train pour Vladivostok, j'ai dû prendre un transport d'esclave, lesquels chantent dans leur wagon-prison.

A dix mètres de moi, une femme, de grande finesse et beauté, parle à un de ses amis dans un wagon réservé aux classes des boyards, où j'ai réussi à me faufiler.

De temps à autre, je regarde cette femme.

Je me lève pour m'éloigner. Soudain, le regard de cette femme s'adresse clairement à moi.

Je saute dans le vide :

« J'ai connu une femme qui vous ressemblait beaucoup, il y a longtemps, lorsque j'étais jeune et beau. »

Elle sourit, je m'éloigne.

Bientôt le couvent de Sainte Ursule la Bienheureuse, où je vais pour enseigner.

2023 11 23, jour des 23...

Il y a 3 familles de partons, en attendant que l'accès à l'énergie exigée par SO(10) en découvre une quatrième.

Il y a 3 quarks de valence à basse énergie.

Il y a 3 couleurs de quarks. Il paraît difficile d'imaginer que cette trialité soit due au hasard.

Comment rendre compte de ce fait ?

Jean-Louis Trintignant a vu sa mère tondue pour avoir aimé un soldat italien, à la « « « libération » » ».

Ça peut donner envie d'être conformiste.

Il m'en faudrait moins que ça pour devenir exterminateur.

Il y avait à Chaumont une Cour des Trois Rois où s'étaient réunis trois empereurs.

Elle fut rasée parce qu'habitée par des pauvres, qu'on rendit riches en les noyant dans du béton armé.

Mon chat Pitou avait été recueilli par une dame à chats, et c'est là que j'allai le chercher.

Je n'ai pas sû m'occuper de Pitou, mais il est là tous les jours et je pense qu'il m'attend.

Paris, capitale de la Suède

pendule de Meudon:
elle n'est pas encore entrée
dans le trou noir

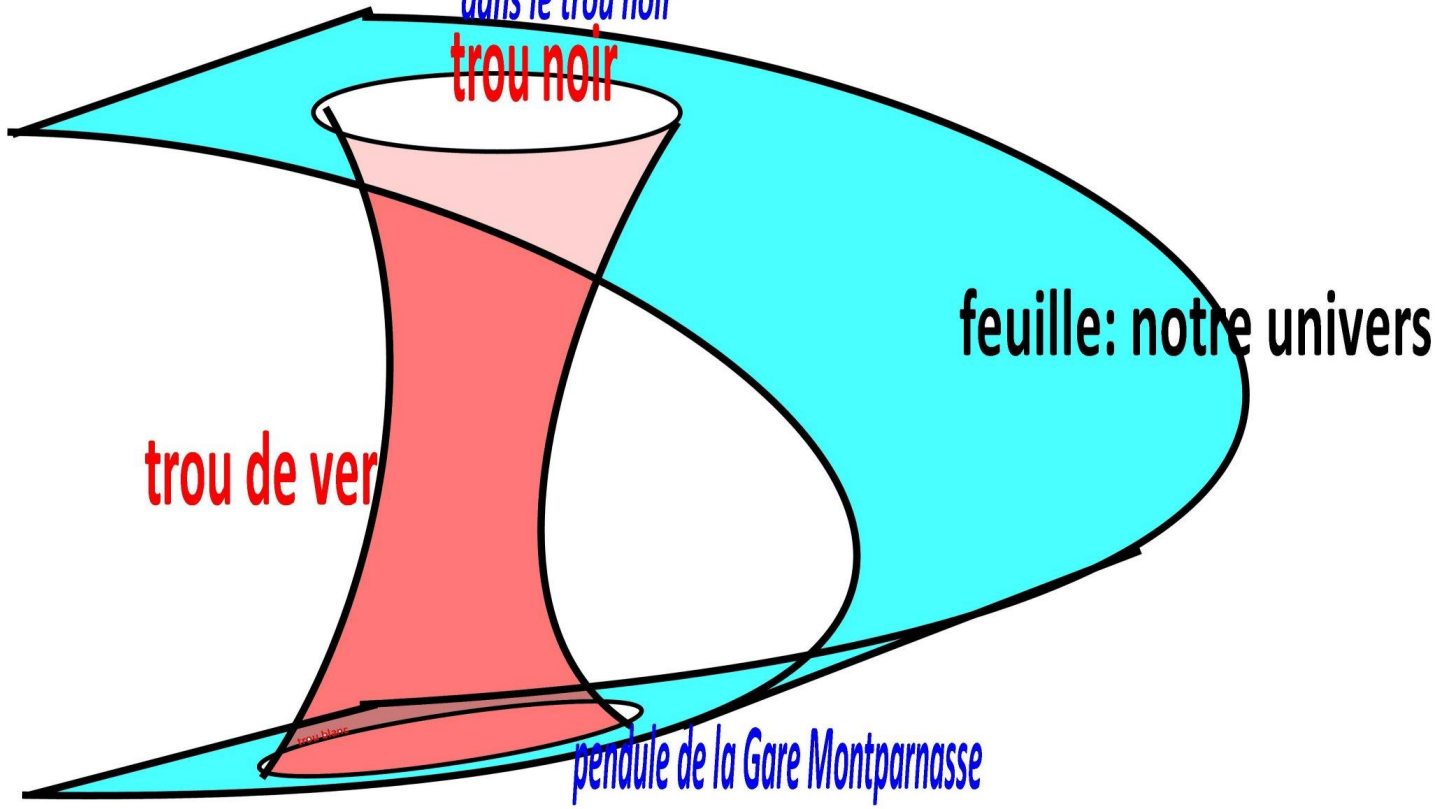

Bretagne

Soient des spineurs de Dirac dont les spins sont (anti)parallèles. L'algèbre de Clifford se réduit à une algèbre de Dirac

$$ab + ba = \delta_{ij} \times n$$

Si les spins ne sont pas alignés, la partie *non-diagonale* du *wedge product* entre en scène et l'algèbre de Clifford est complète :

$$a©b = a.b + a\hat{}b$$

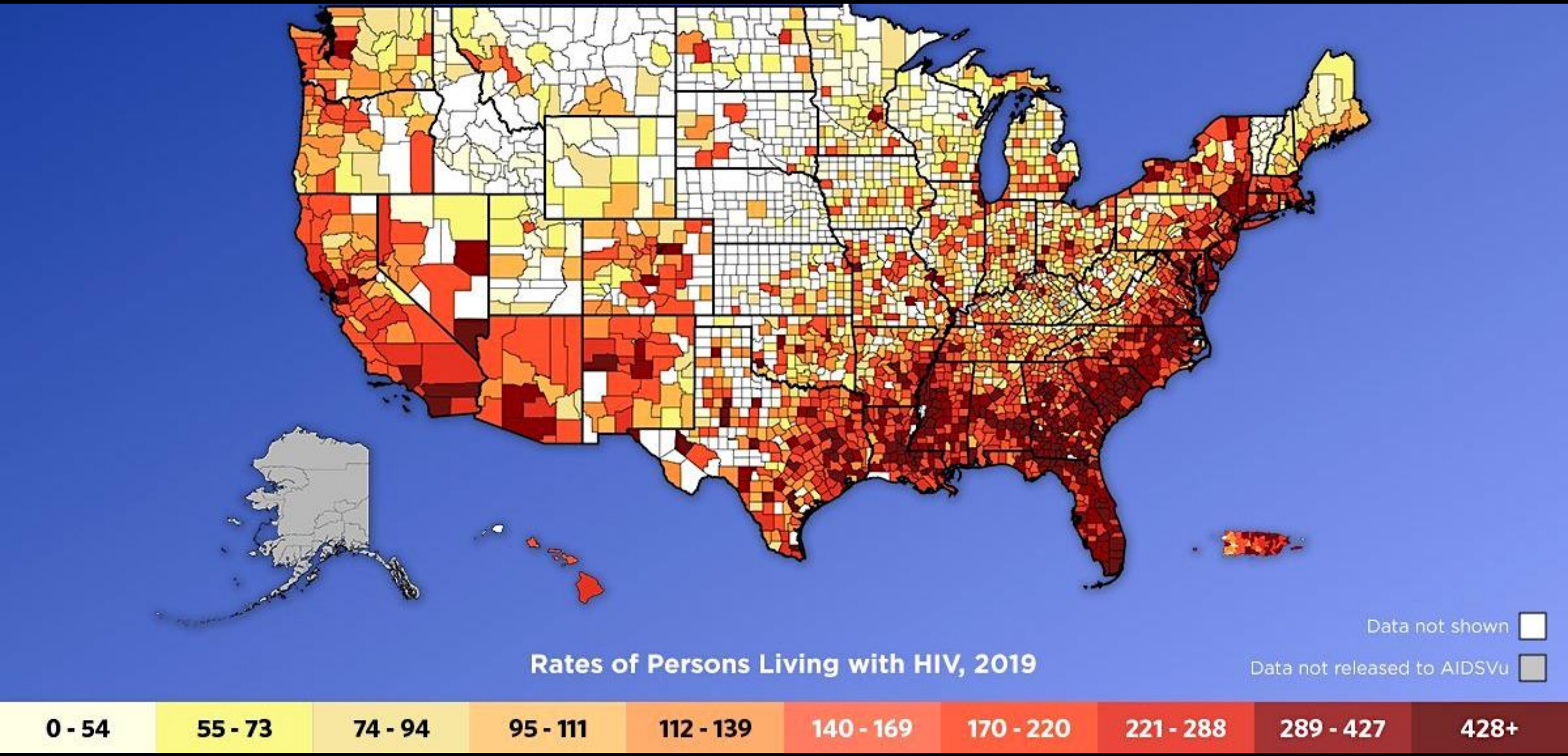
Rates of Persons Living with HIV, 2019
Data not shown
Data not released to AIDSVu
0 - 54
55 - 73
74 - 94
95 - 111
112 - 139
140 - 169
170 - 220
221 - 288
289 - 427
428+

Avant de vous diagnostiquiez une dépression ou une faible estime de soi, assurez-vous d'abord que vous n'êtes pas, en fait, juste entouré par des trous du cul.

- Sigmund Freud

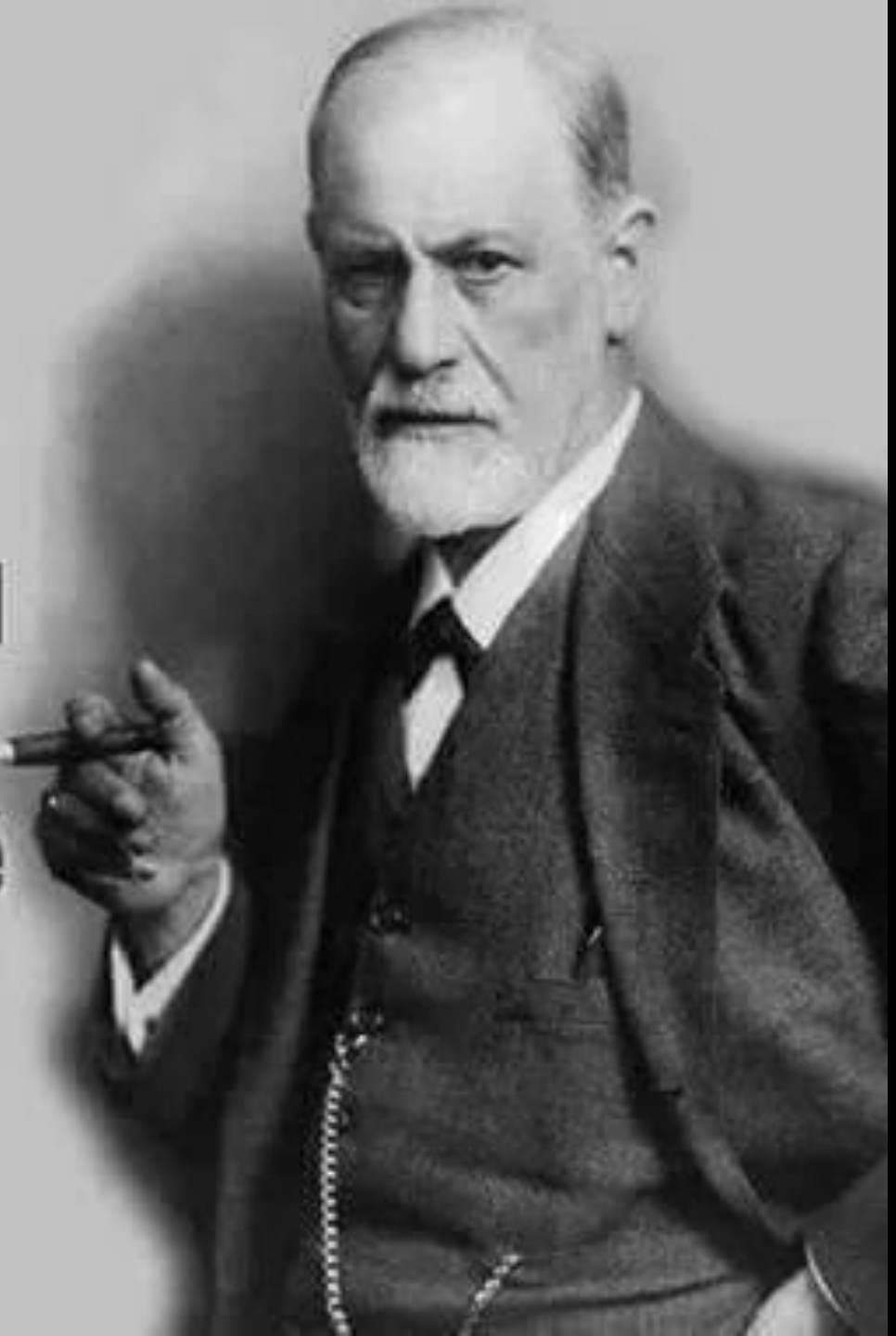

"Présidences de la Raie Publique, jouer du piano avec sa bite."

Héraclite d'Ephèse

La géométrie interne d'une particule élémentaire est une boule de Poincaré, qui se manifeste dans la région timelike de l'espace-temps de Minkowski comme un ensemble stable de trois quarks, condition de stabilité, ou de deux quarks, condition de particule instable échangeant entre la région timelike et le vide de Dirac, la région spacelike, par les bosons majoranas du cône de lumière.

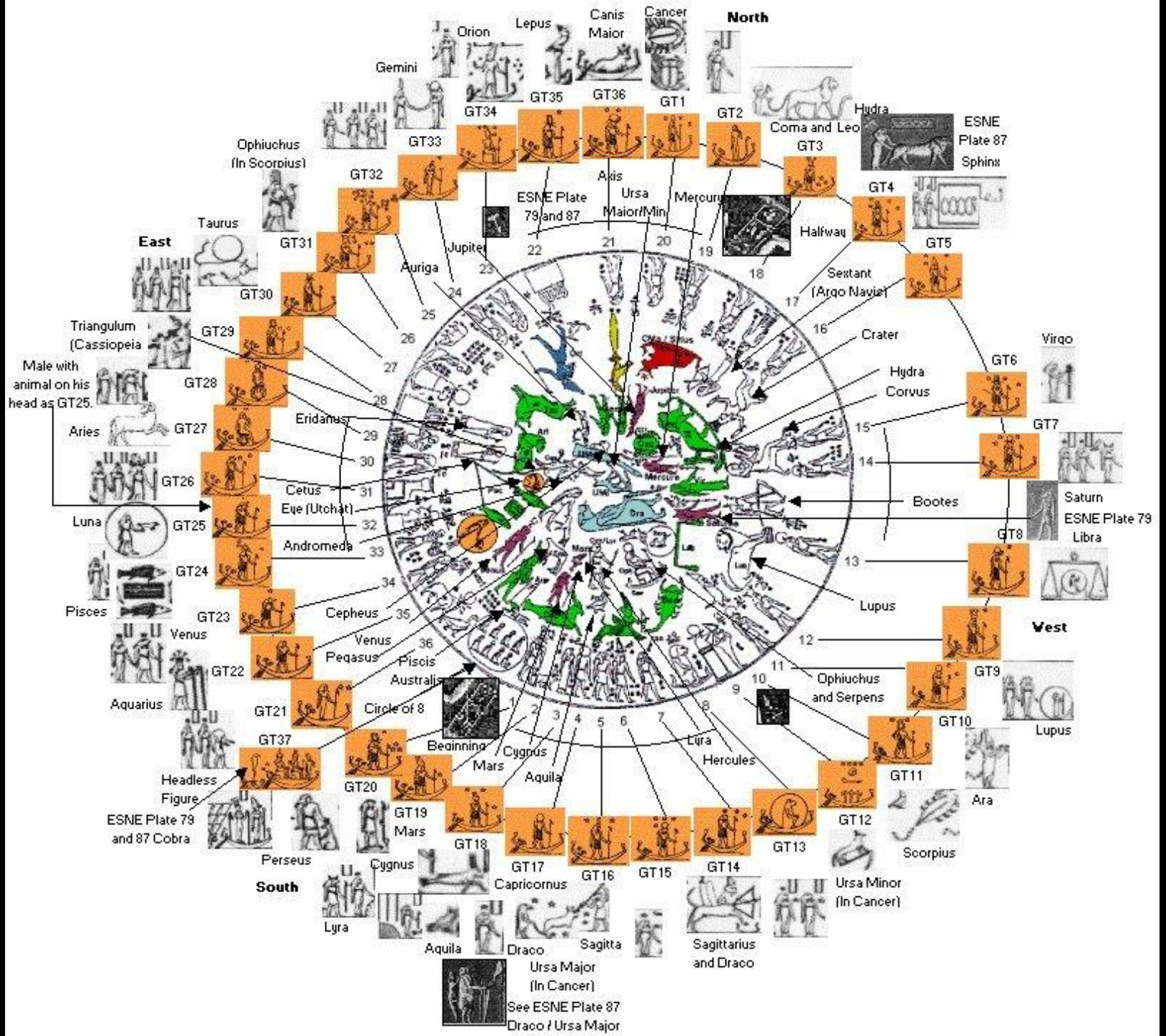
North
East
South
West
Orion
Lepus
Canis Maior
Cancer
Gemini
GT35
GT36
GT1
GT34
GT2
Hydra
Coma and Leo
ESNE Plate 87 Sphinx
GT33
GT3
Ophiuchus (In Scorpius)
Axis
GT32
ESNE Plate 79 and 87
Ursa Maior/Min
Mercury
GT4
Taurus
GT31
Halfway
Jupiter
GT5
Auriga
Sextant (Argo Navis)
GT30
Triangulum (Cassiopeia
Crater
Virgo
GT29
GT6
Male with animal on his head as GT25.
Hydra
Corvus
GT28
Eridanus
GT7
Aries
GT27
Saturn
ESNE Plate 79
Libra
GT26
Cetus
Bootes
Luna
GT25
Eye (Utchat)
GT8
Andromeda
GT24
Lupus
Pisces
GT23
Cepheus
Venus
Venus
Pegasus
Piscis
GT9
GT22
Australis
Ophiuchus and Serpens
Aquarius
GT21
Circle of 8
GT10
Lupus
GT37
Beginning
Lyra
Cygnus
Hercules
GT11
Ara
Headless Figure
GT20
Mars
Aquila
ESNE Plate 79 and 87 Cobra
GT19
Mars
GT18
GT12
Scorpius
Perseus
Cygnus
GT17
GT16
GT15
GT14
GT13
Capricornus
Ursa Minor (In Cancer)
Lyra
Aquila
Draco
Sagitta
Sagittarius and Draco
Ursa Major (In Cancer)
See ESNE Plate 87 Draco / Ursa Major

Depuis 1975, la France enchaîne les déficits publics

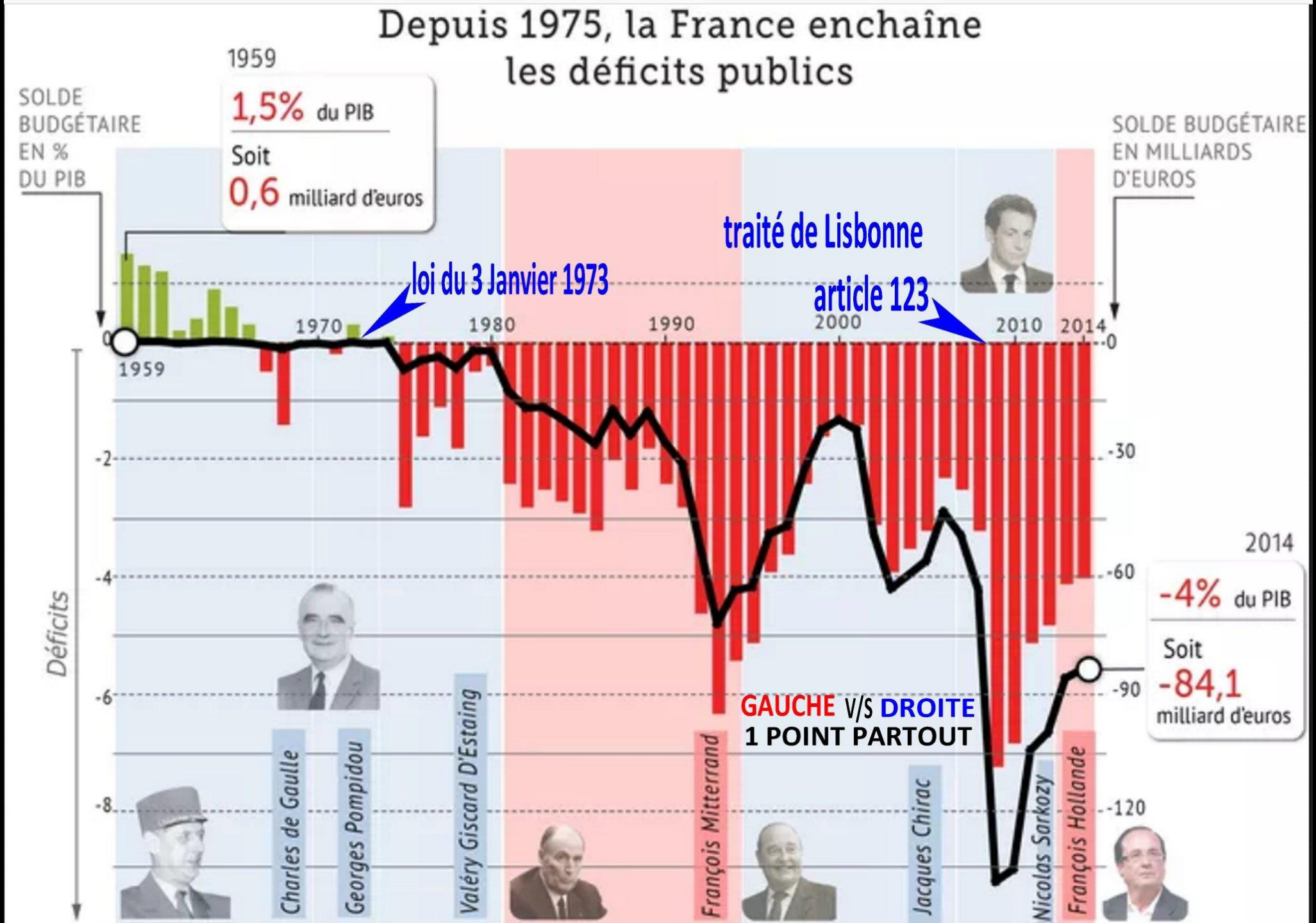

L'an est divisé en 3 tétraménies de 4 mois (Champollion, 1842)

TETRAMENIE 1: VEGETATION

TETRAMENIE 2: RECOLTE

TETRAMENIE 3: INONDATION

Denderah 26N32E

Sirius, AD/DEC: 6.45.53, 16.44.26

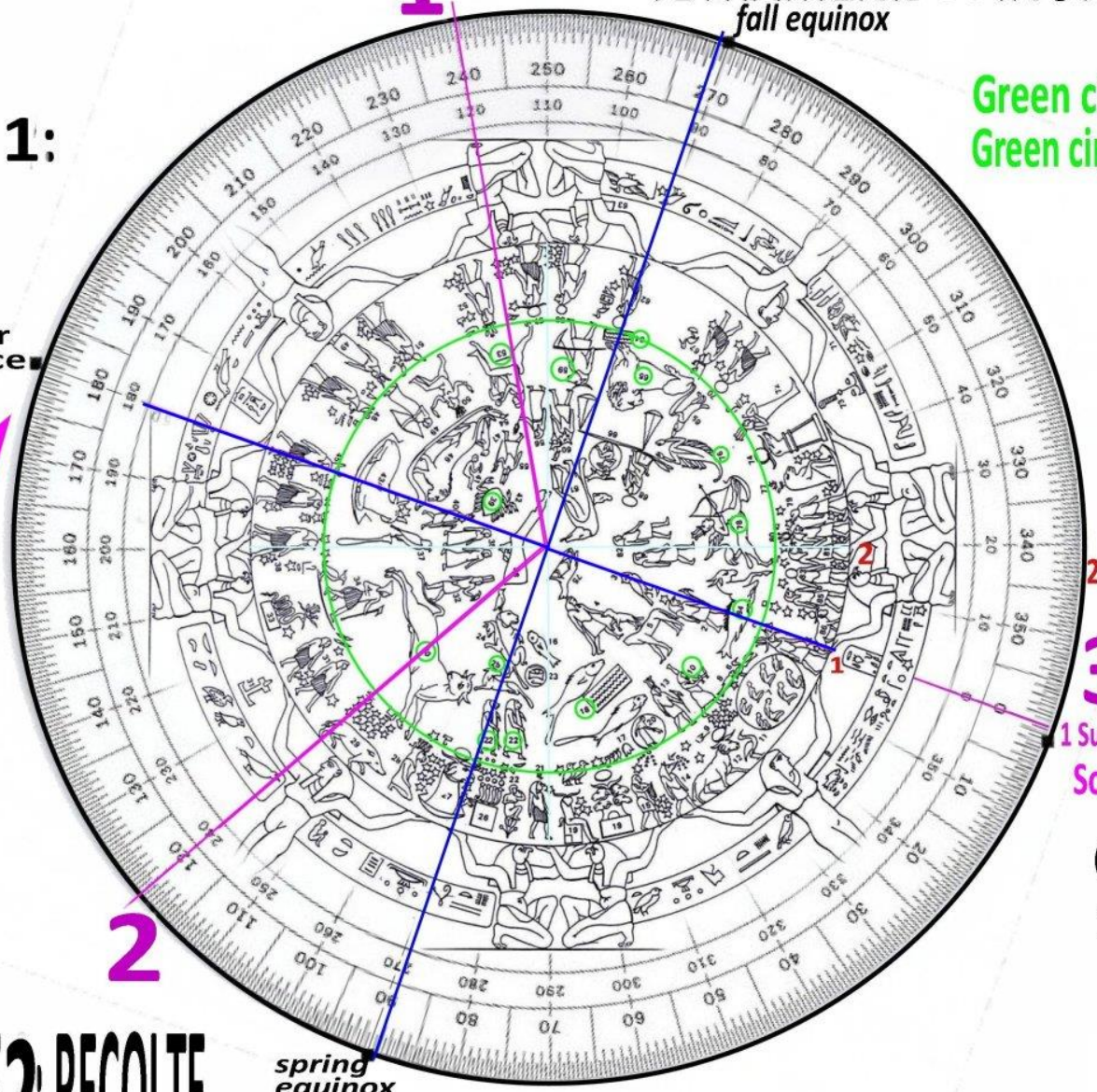

Green circles: Roman zodiac

Green circle: perizodiacal circle

2: 5 epagomene days

3

1 Sum Sol + 3 days = 1st Thôt

Sothis heliacal rising in south

(This assertion: that 1st Thôt is on SS+3days is NOT very certain! GT)

Ce schéma devra être repris. GT 2016.11

Champollion 1831:

Mes recherches sur cet important objet me conduisirent à des résultats complets dès l'année 1824 ; et, depuis, j'ai développé dans un mémoire spécial, lu à l'Académie des belles-lettres, les preuves de fait sur lesquelles repose la certitude de ces mêmes résultats dont je ne dois présenter ici qu'un simple énoncé.

Les anciens Égyptiens partageaient le *jour astronomique* en vingt-quatre heures, comptées en deux séries de douze heures chacune : douze heures de jour, douze heures de nuit.

Les *mois* étaient au nombre de douze, et chaque mois fut de trente jours.

L'image du croissant de la lune, les cornes tournées vers le bas, représentait l'idée *mois*, *mensis*, dans l'écriture hiéroglyphique.

On partageait les douze mois de l'année en trois séries distinctes, espèces de saisons que je nommerai *tétraménies*, parce que chacune d'elles se composait de *quatre mois*.

Chaque tétraménie fut exprimée par un signe particulier commun aux quatre mois qui la formaient : ces signes ou caractères ont, par leur signification propre, un rapport direct avec les travaux ou les phénomènes de l'*année agricole* des Égyptiens.

La première tétraménie, composée du premier, du deuxième, du troisième et du quatrième mois de l'année, était la tétraménie de la *végétation*. On la notait par un caractère représentant des tiges, des boutons et des fleurs épanouies de diverses plantes.

La seconde tétraménie, nommée HRÈ, était, comme son nom l'indique, la tétraménie des *grains* ou de la *récolte des céréales* : elle comprenait les cinquième, sixième, septième et huitième mois de l'année.

La tétraménie dite de l'*inondation* fut la troisième : elle se formait des quatre derniers mois de l'année, le neuvième, le dixième, le onzième et le douzième, pendant lesquels le Nil couvrait l'Égypte de ses eaux génératrices.

Le numéro d'ordre des mois, dans chacune des tétraménies, était marqué par le signe du mois, redoublé, triplé ou quadruplé, c'est-à-dire qu'on traçait, au-dessus du signe de la tétraménie, un croissant, deux croissants, trois croissants ou quatre croissants, suivant que le mois à noter était le premier, le deuxième, le troisième ou le quatrième d'une tétraménie.

On ajouta enfin aux trois tétraménies, formant trois cent soixante jours, cinq jours épagomènes, que les Égyptiens appelaient *les cinq jours célestes de l'année;* et ces jours complémentaires, joints à la somme des jours des douze mois, constituaient une année de trois cent soixante-cinq jours.

Douze grandes divinités présidaient aux douze mois de l'année, et cinq autres dieux ou déesses aux jours *épagomènes*. Trente génies gouvernaient les trente jours du mois; douze dieux et douze déesses réglaient les vingt-quatre heures du jour *astronomique*.

Une foule de monuments authentiques démontrent que ces divisions du temps et leur notation étaient déjà d'un usage général dans toute l'Égypte au XXI^e^ siècle avant l'ère vulgaire, et rien ne prouve d'ailleurs qu'à cette époque si reculée leur invention fût récente.

there is a M24 symmetry at each point of string

$\mathbf{x}\,\Lambda\,(1,1)$

M 24

McKay

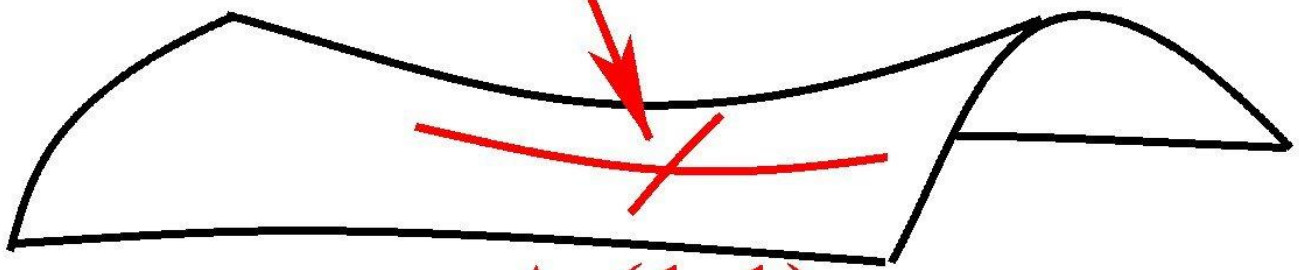

$\Lambda\,(1,1)$

bosonic string in 26 dimensions

There is a Moonshine for every Sporadics.

What bounds E8xE8 for SUSY to Sporadics ?

What ties are there between K3 Calaby-Yau and Moonshine ?

Is there a natural descent from M24 to E8xE8 HET ?

Is K3 asserted by those Moonshines ?

Is M24 the Hima Âlaya for string theory ?

Countries by percentage of similarity to Y-DNA Average of Europeans

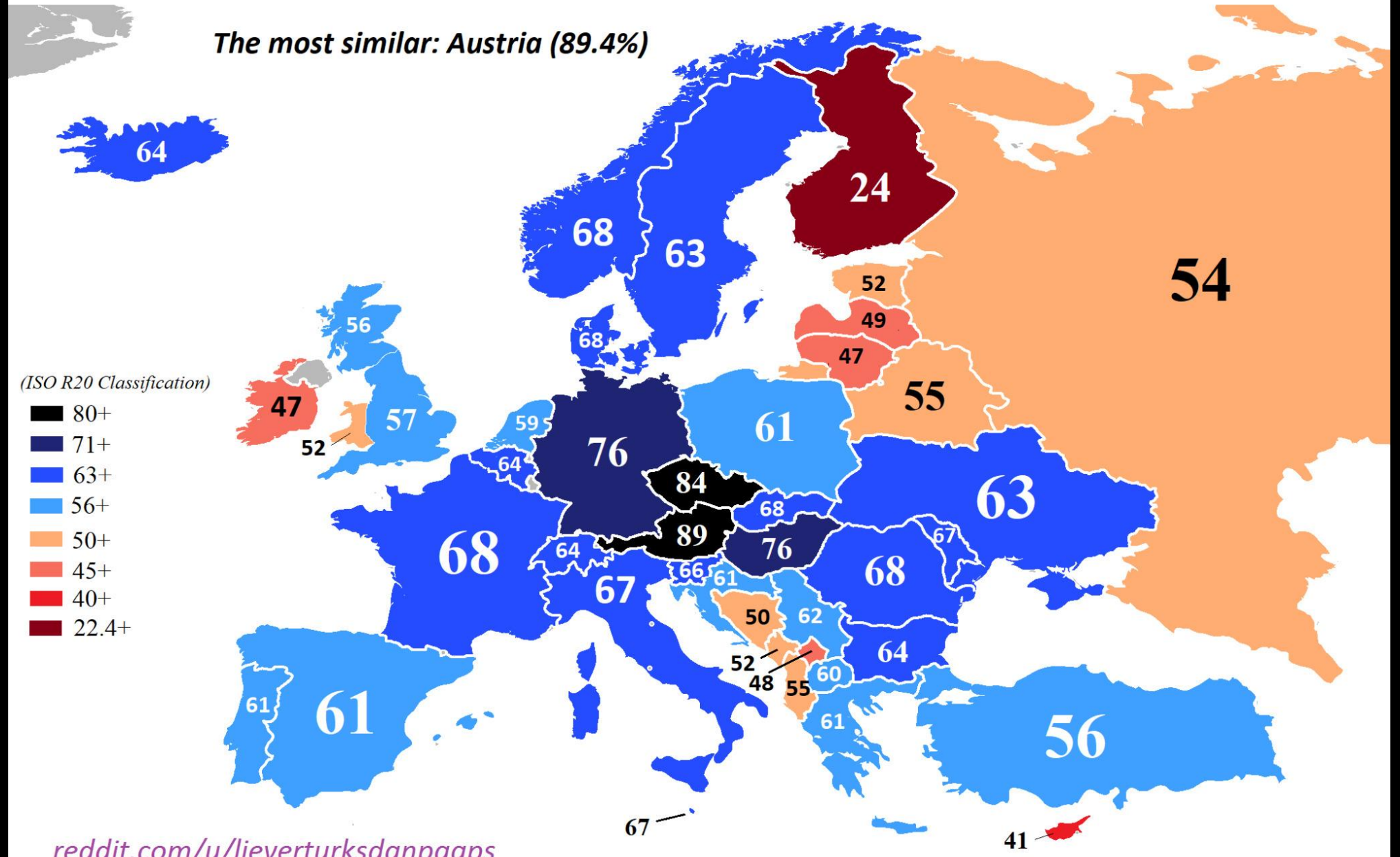

Un corps humain pèse 37 grammes.

Le reste est l'énergie d'échange des gluons. Ceux-ci sont constitués pour moitié de couleur et pour moitié d'anticouleur. Un être humain est donc constitué pour moitié d'antiénergie sous forme d'anticouleur.

Bonne journée quand même. GT

Supposez que vous avez une multiplication nilpotente. Ajoutez la règle de Jacobi. Alors, vous obtenez une algèbre de Grassmann, qui est aussi une algèbre de Lie. Une algèbre de Lie est aussi Grassmann.

Si cette algèbre décrit une théorie de jauge, vous aurez des ghosts qui circulent dans les boucles off-shell et obéissent à la règle de Grassmann.

Il est possible que ces ghosts existent dans la région spacelike du cône de lumière. GT 2021 4 16

population de la France

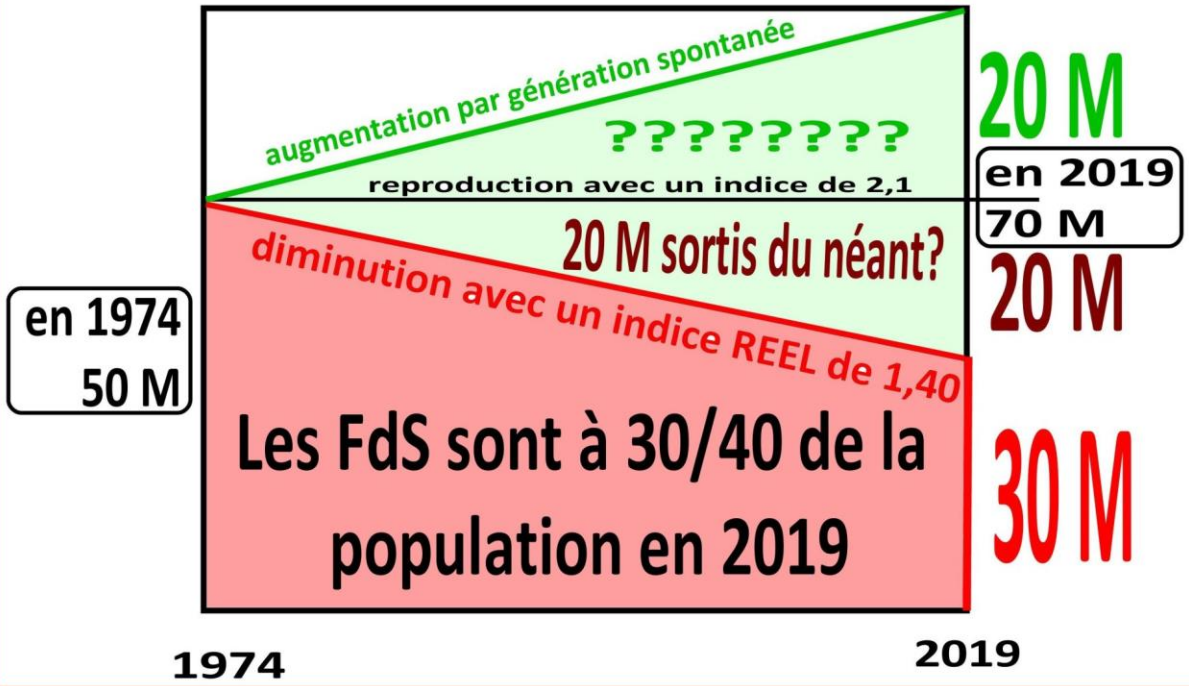

En 1974 l'indice de fécondité en France est tombé au-dessous de 2,1/mille.

Il est en réalité le même que celui des pays des Trente-Glorieuses, égal à 1,40/mille, les chiffres officiels étant truqués.

Il restait donc 30 millions de FdS en 2019.

La pop « française » ayant crû à 68 millions en 2021, je vous laisse le plaisir de calculer la part de la pop immigrée depuis 1974 en « France ». GT

Vous ne manquez pas de remarquer l'invraisemblable bordel qui règne dans le secteur des nakshatras 16 à 27. Plutôt que d'accuser mon incompétence, je vous suggère de réfléchir aux bouleversements issus du remaniement des nakshatras de 27 à 28.
Cependant, je soupçonne un autre problème plus intéressant que je développerai.
Les indications en ROUGE proviennent du système actuel de 27 nakshatras, et ne peut donc pas être en correspondance parfaite avec la base NOIRE et POURPRE des 28 nakshatras. GT

NOIR: Burgess 28 nakshatras Atharva V.
POURPRE: Colebrooke Miscellanous
ROUGE: données collectées sur le système à 27 nakshatras

DATE IS *PRESENT*

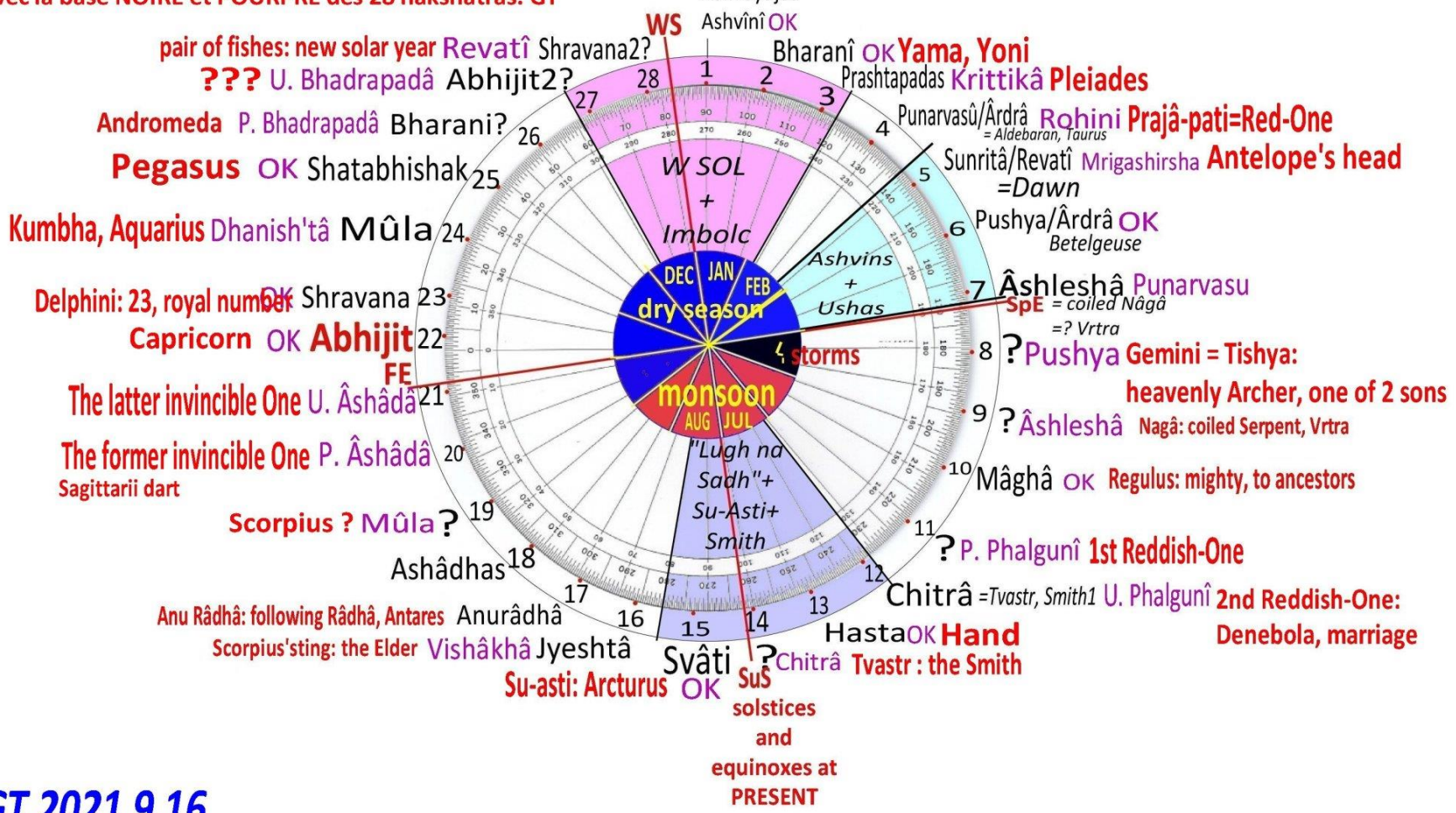

GT 2021 9 16

VEDIC SYSTEM OF 28 NAKSHATRAS

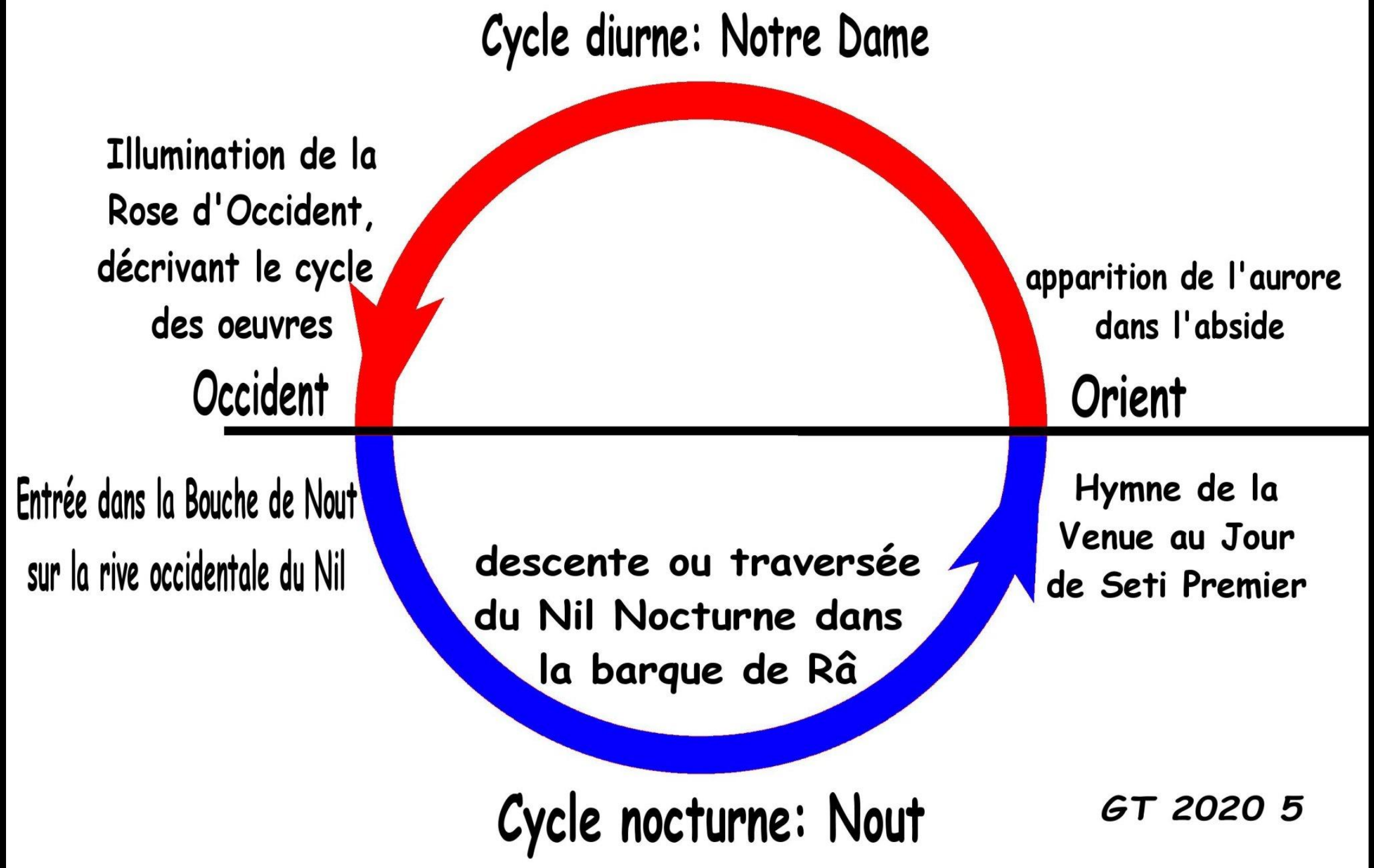
Cycle diurne: Notre Dame
Illumination de la Rose d'Occident, décrivant le cycle des oeuvres
Occident
apparition de l'aurore dans l'abside
Orient
Entrée dans la Bouche de Nout sur la rive occidentale du Nil
Hymne de la Venue au Jour de Seti Premier
descente ou traversée du Nil Nocturne dans la barque de Râ
Cycle nocturne: Nout
GT 2020 5

Considérons une algèbre engendrée par une identité de Jacobi. Ajoutons à cette identité la règle de Clifford. Alors, toutes les formes antisymétriques de l'algèbre sont détruites, égales à 0. Ajoutons alors une forme antisymétrique dans les règles : on a une algèbre de Lie PLUS Clifford. MAIS Clifford détruit toute l'algèbre de Lie…

En sorte que si cette algèbre de Lie est une théorie de jauge, Clifford détruit la théorie de jauge.

Une algèbre de Lie ne peut décrire des fermions relativistes (spineurs), seule une algèbre de Clifford le permet. GT

Taranis, abductor of Helene, and a son of Thunder-God, coming for freeing his sister, as a coming out of Clear Season.

GT 2017.4

TARANIS & HELENE PLATE

Beltain, Beltane
amaying,
feast of BEL, light, clear god

one offers a green bough, or Hawthorne flowers, as protective symbols.

(H)ausos-tro
Eôs, Usha, Dawn
Ôstarâ, Eoster, Easter (Angli, Norses)

BRIGID/LAKSHMI PLATE

Imbolc
Candelaria
Saint Brigid
Disablot *(Norse)*
end of dark season fllwg TBC

MANANNAN/PEIR DADENI PLATE

Yuletide,
real Samhain fllwg ME,

LUGH PLATE

Lugh na Sadh
midsummer,
midsommar

Clear and Dark seasons
fllwg Tain Bo Cualnge

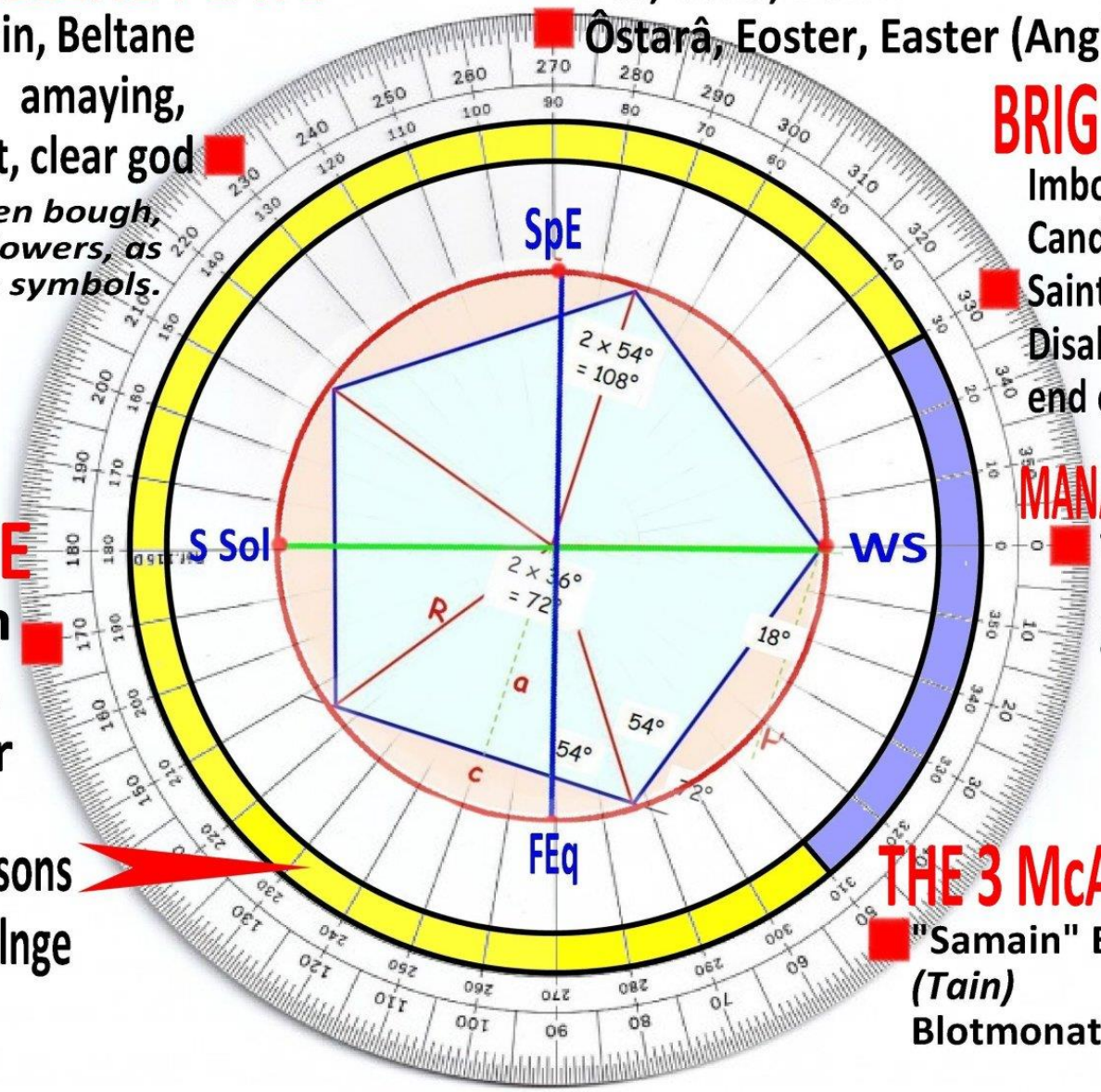

THE 3 McARACH PLATE

"Samain" End of Summer
(Tain)
Blotmonath *(Angli)*

A CONJECTURED CORRESPONDENCE BETWEEN GUNDESTRUP PLATES AND KELT FEASTS

A votre avis, quelle serait l'image spéculaire d'un individu Sapiens Sapiens qui aurait la structure anatomique d'une étoile de mer ? Je me pose la question depuis 1966…
GT

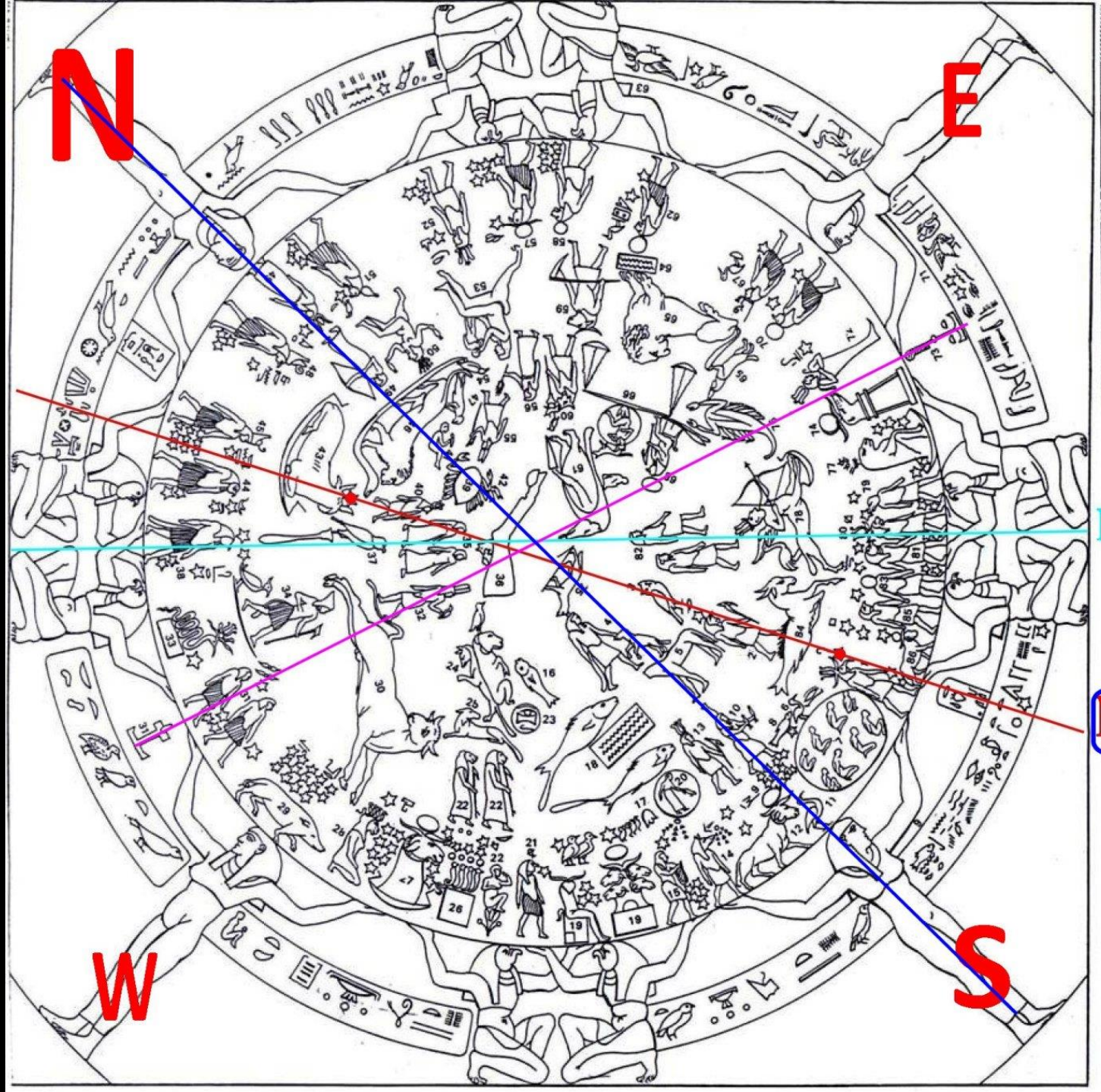

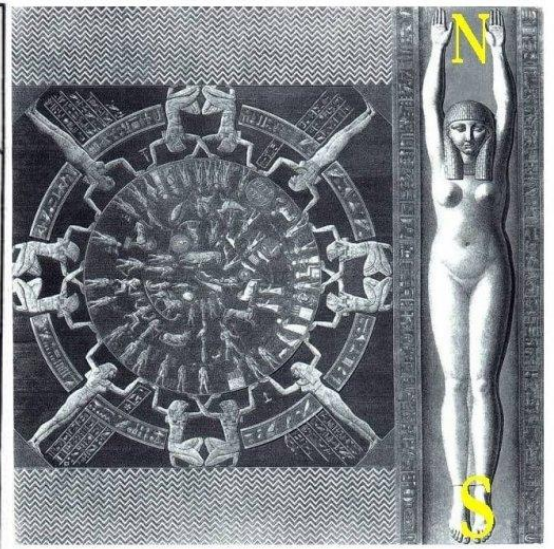

GT
2016.11

Nord de Biot

différence = 17°

Nord de Lauth

Ce que Lauth appelle "nord vrai" est en fait le lever héliaque de Sirius/Sothis au 1er Thôt, et n'a rien à voir avec le nord. GT

Denderah: 26N32E
Sirius, AD/DEC:
6.45.53, 16.44.26

ZODIAQUE DE DENDERAH
ALIGNEMENT NORD-SUD

Douze-Anciens
Les Douze-Anciens
d'Anatolie
GT 2021 8 27
?
Il manque un des Douze-Anciens

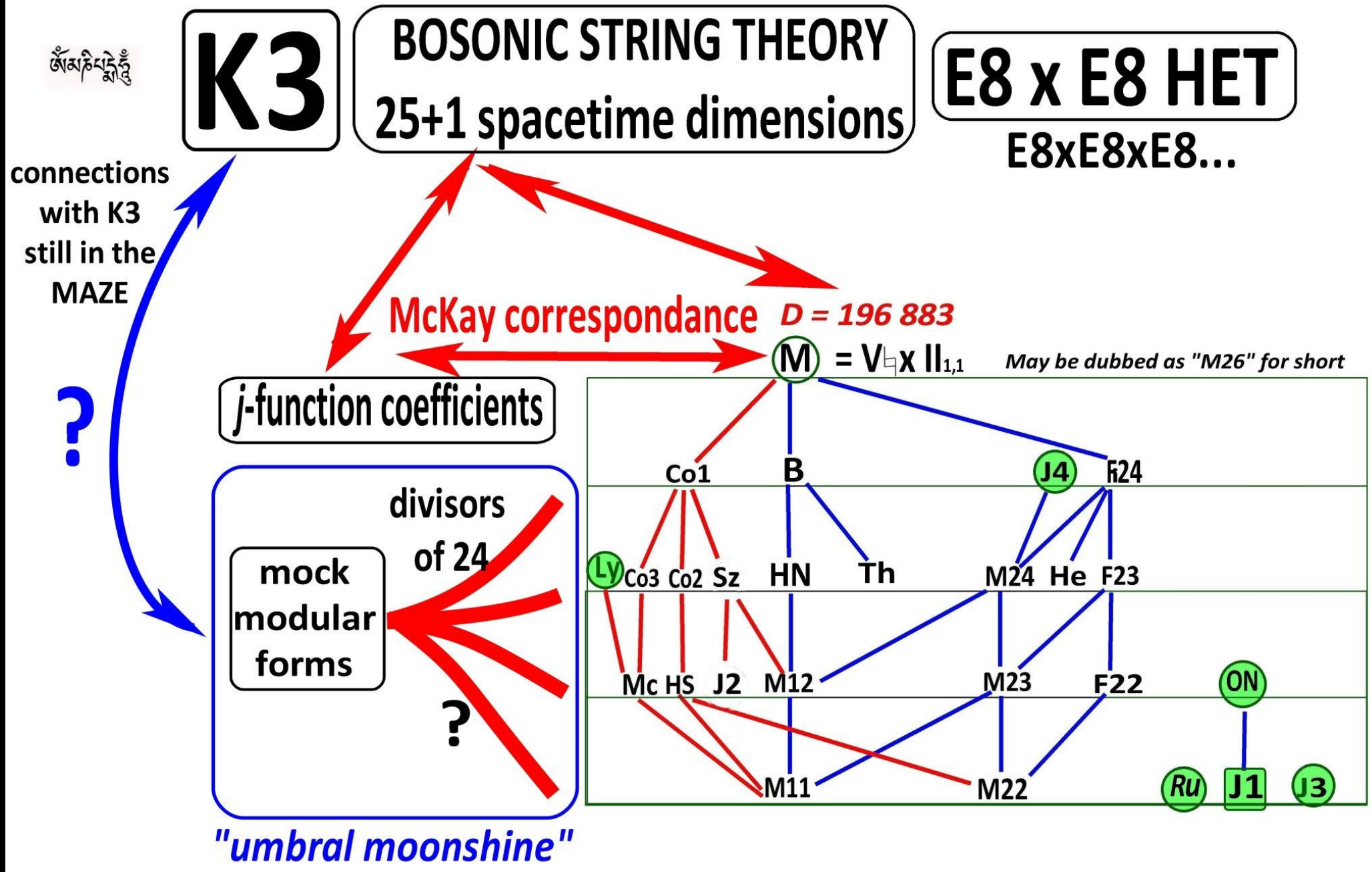

from McKay conjecture to umbral moonshine

GRAVITON-GLUON INTERACTION BY QUARKS ?

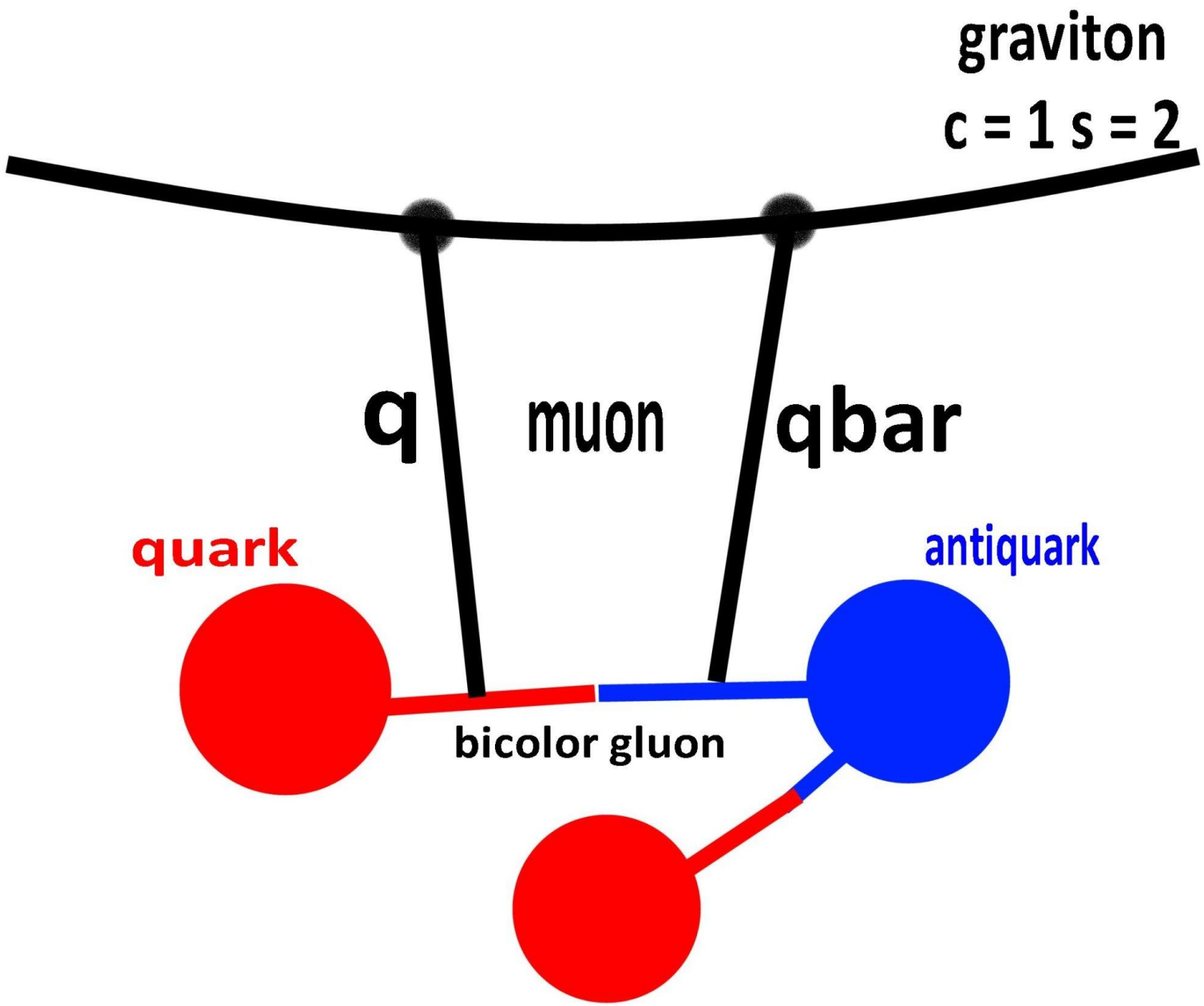

GT 2018.3

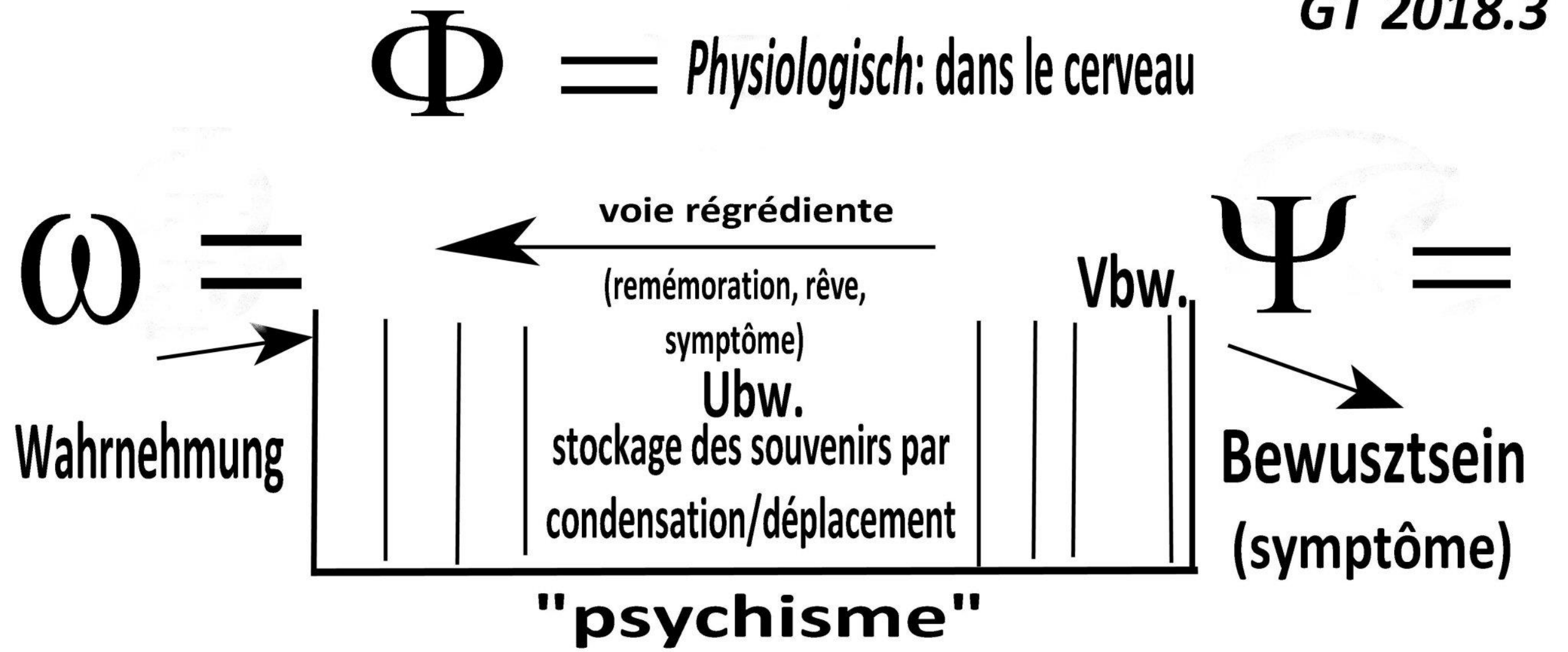

Appareil psychique selon Freud

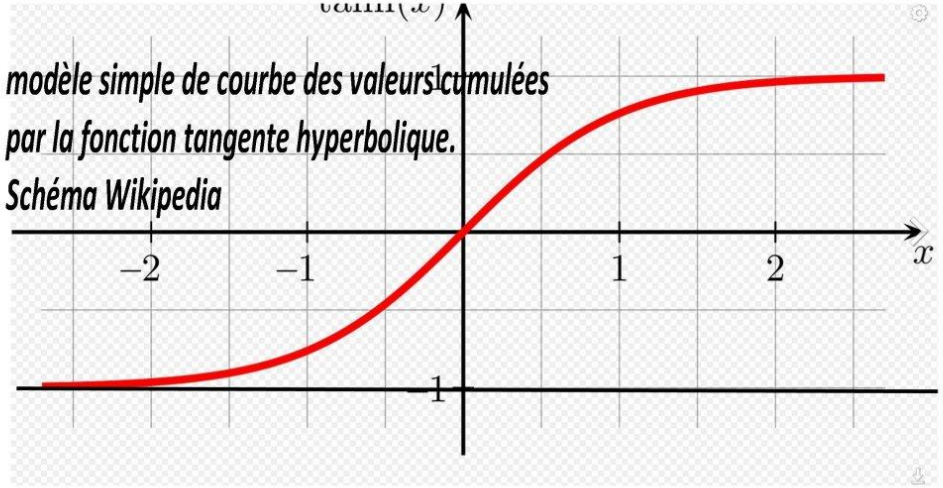

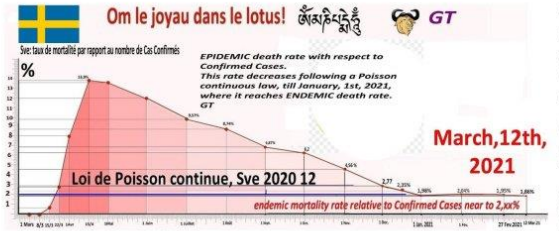

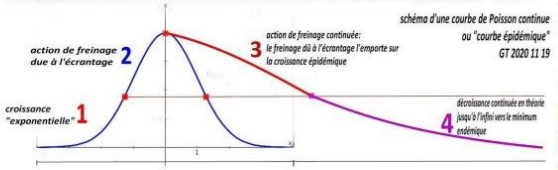

La courbe temporelle décrite par une épidémie est une courbe de Poisson, prolongement continu de la loi binomiale si l'on substitue une fonction Γ à l'exponentielle.
Une épidémie se déroule en 4 phases:
EXP+, croissance quasi-exponentielle,
DEXP+, décroissance de l'exponentielle due à l'écrantage de masse,
DGAUSS-, freinage gaussien ralenti par la propagation épidémique,
DGAUSS+, diminution du freinage à l'approche du seuil endémique.

Cette description est valable toutes choses égales par ailleurs. En cas de variant viral non écranté ou de passage de l'agent épidémique dans d'autres lieux ou conditions, une nouvelle courbe de Poisson est déclenchée, qui se superpose à la première.

Il existe pour une épidémie donnée un seuil d'écrantage de masse qui provoque une chute exponentielle décroissante rapide qui s'arrête au seuil ENDEMIQUE.

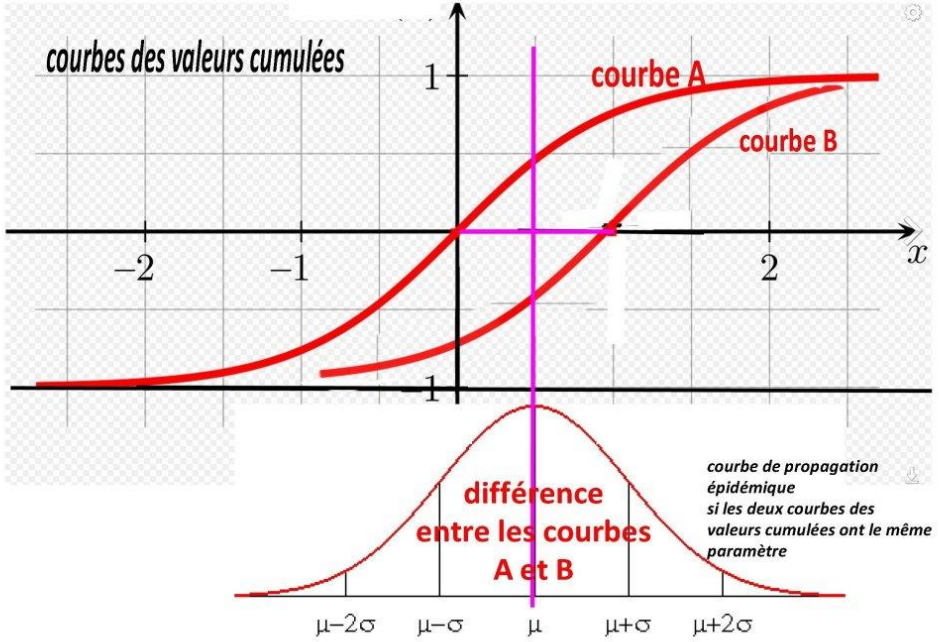

Si les deux courbes de valeurs cumulées
A : nombre de cas déclarés
B : nombre de cas écrantés
ont des paramètres différents,
la courbe de différence est une courbe de Poisson continue.

GT 2021 11 16

mécanisme de propagation d'une épidémie monofocale

Nuclear power generation

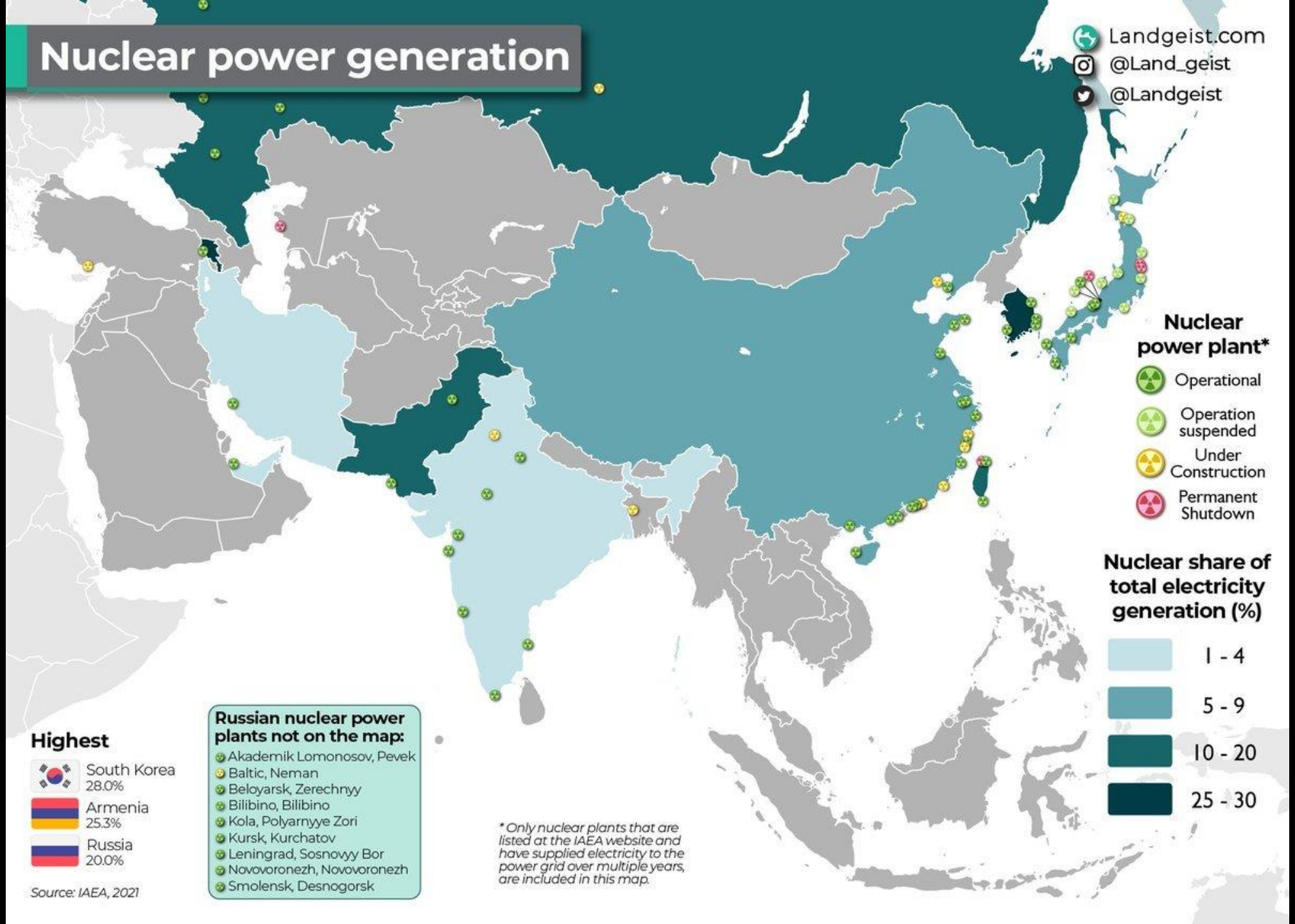

Nuclear scale

Matter

Macroscopic

Crystal

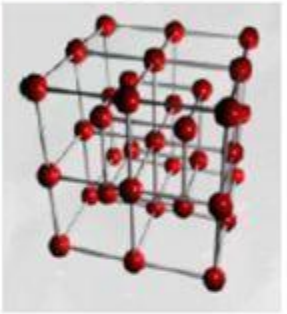

10^{-9} m

Atom

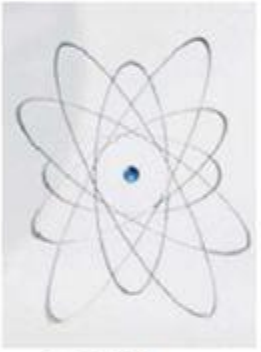

10^{-10} m

Atomic nucleus

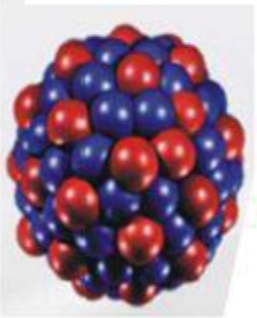

10^{-14} m

Nucleon

10^{-15} m

Quark

$< 10^{-18}$ m

Nuclear physics:
studies the properties of nuclei and
the interactions inside and between them

-4000 m +4000 m

Paratethys mega-lake level fluctuations

lake transgression maximum (+80 m)

lake regression maximum (-200 m in central basin)

Terrestrial environments (land)

Shifting environments (lake areas that dry during lake regressions)

Lowstand lakes (salt and freshwater)

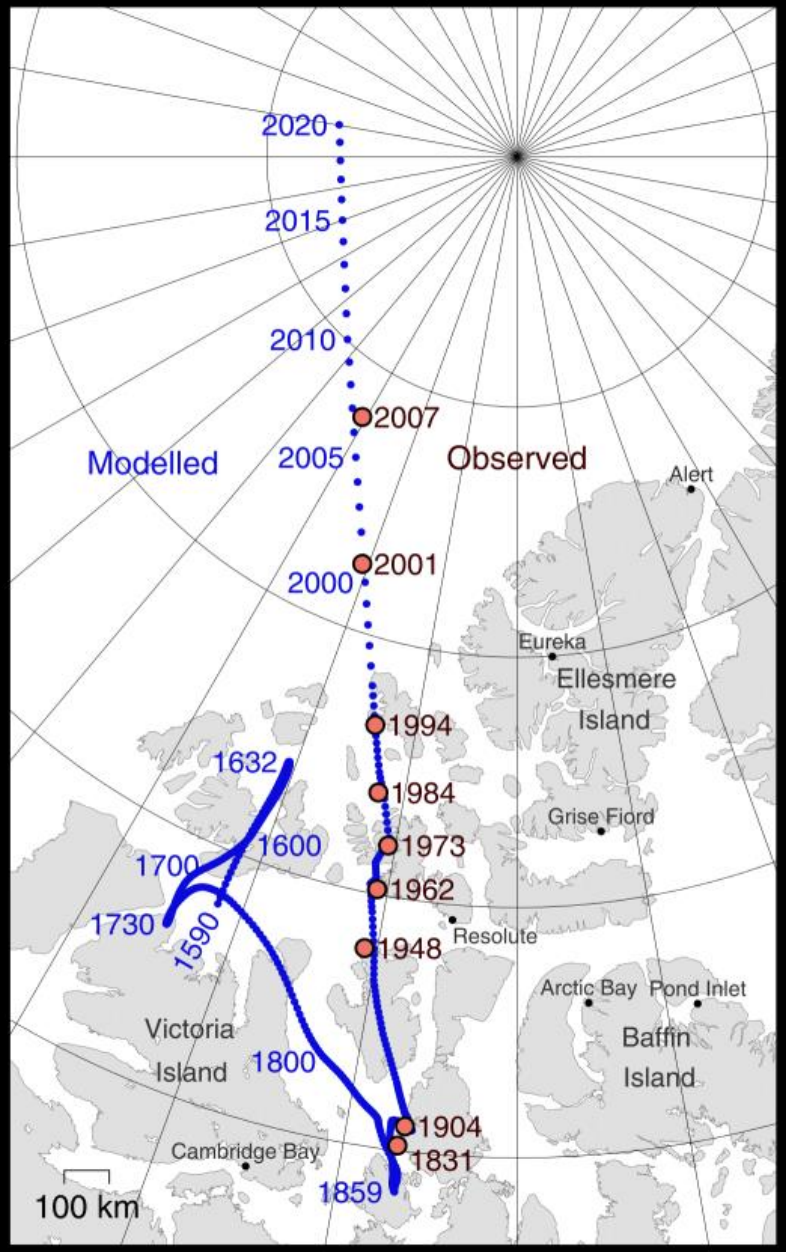
2020
2015
2010
2007
Modelled
2005
Observed
2001
2000
1994
1632
1984
1600
1973
1700
1962
1730
1590
1948
1800
1904
1831
1859
Alert
Eureka
Ellesmere
Island
Grise Fiord
Resolute
Arctic Bay
Pond Inlet
Baffin
Island
Victoria
Island
Cambridge Bay
100 km

KUMMER SURFACES:200 YEARS OF STUDY

IGOR DOLGACHEV

ABSTRACT. This is a brief history of discovery and later study of Kummer surfaces. The article is based on the author's Oliver Club talk at Cornell University on October 10, 2019 delivered exactly 101 years since the first talk at the club given by John Hutchinson.

The fascinating story about the Kummer surface starts from discovery by Augustin-Jean Fresnel in 1822 of the equation describing the propagation of light in an optically biaxial crystal [8]. Let v denote the light speed in some matter and $n = c/v$, where c is the light speed in vacuum. It depends on the coordinates $x = (x_1, x_2, x_3)$ of a point and the unit direction vector $\xi = (\xi_1, \xi_2, \xi_3)$. The propagation of light is described by the function $n(x, \xi)$. The matter is homogeneous if n does not depend on x and isotropic if it does not depend on the direction. For example, Maxwell studied the fisheye and found that the light is inhomogeneous but isotropic. A biaxial crystal gives an example of homogeneous but anisotropic propagation. Fresnel found the equation of propagation of light in such a crystal of the form:

Augustin-Jean Fresnel:1822

$$\frac{\xi_1^2}{\frac{1}{a_1^2} - \frac{1}{n^2}} + \frac{\xi_2^2}{\frac{1}{a_2^2} - \frac{1}{n^2}} + \frac{\xi_3^2}{\frac{1}{a_3^2} - \frac{1}{n^2}} = 0, \tag{1}$$

where a_1, a_2, a_3 are constants describing the property of the crystal (principal refraction indices). In new coordinates $(x, y, z) = n(\xi_1, \xi_2, \xi_3)$ one can rewrite the equation (1) in homogeneous form as

$$\frac{a_1^2 x^2}{x^2 + y^2 + z^2 - a_1^2 w^2} + \frac{a_2 y^2}{x^2 + y^2 + z^2 - a_2^2 w^2} + \frac{a_3 z^2}{x^2 + y^2 + z^2 - a_3^2 w^2} = 0 \tag{2}$$

After cleating the denominators, we find a homogeneous equation of degree 4.

In 1833 Sir William Hamilton discovered that the surface has four real singular points

William Hamilton:1833

$$(\pm a_3 \sqrt{\frac{a_1^2 - a_2^2}{a_1^2 - a_3^2}}, 0, \pm a_1 \sqrt{\frac{a_2^2 - a_3^2}{a_1^2 - a_3^2}}, 1)$$

and also 4 real *trope-conics* cut out by the planes $\alpha x_1 + \beta x_2 + \gamma x_3 + x_4 = 0$, where

$$(\alpha, \beta, \gamma, 1) = (\pm \frac{a_3}{a_2^2} \sqrt{\frac{a_1^2 - a_2^2}{a_1^2 - a_3^2}}, 0, \pm \frac{a_1}{a_2^2} \sqrt{\frac{a_2^2 - a_3^2}{a_1^2 - a_3^2}}, 1)$$

[12, p. 134]. In fact, over $\mathbb{C}$, it has additionally 12 nodes and 12 trope-conics such that the incidence configuration of 16 nodes and 16 trope-conics is of type (16_6) (this the famous *Kummer abstract configuration*). In 1849 Arthur Cayley proved that the Fresnel's wave surface is a particular case of a quartic surface. It contains four pairs of coplanar conics, the three vertices of the tetrahedron formed by these four planes lying in the same face are conjugate with respect to the both conics [5]. He gave the name *tetraedroid quartic surface* to such a quartic surface.

Arthur Cayley: 1848

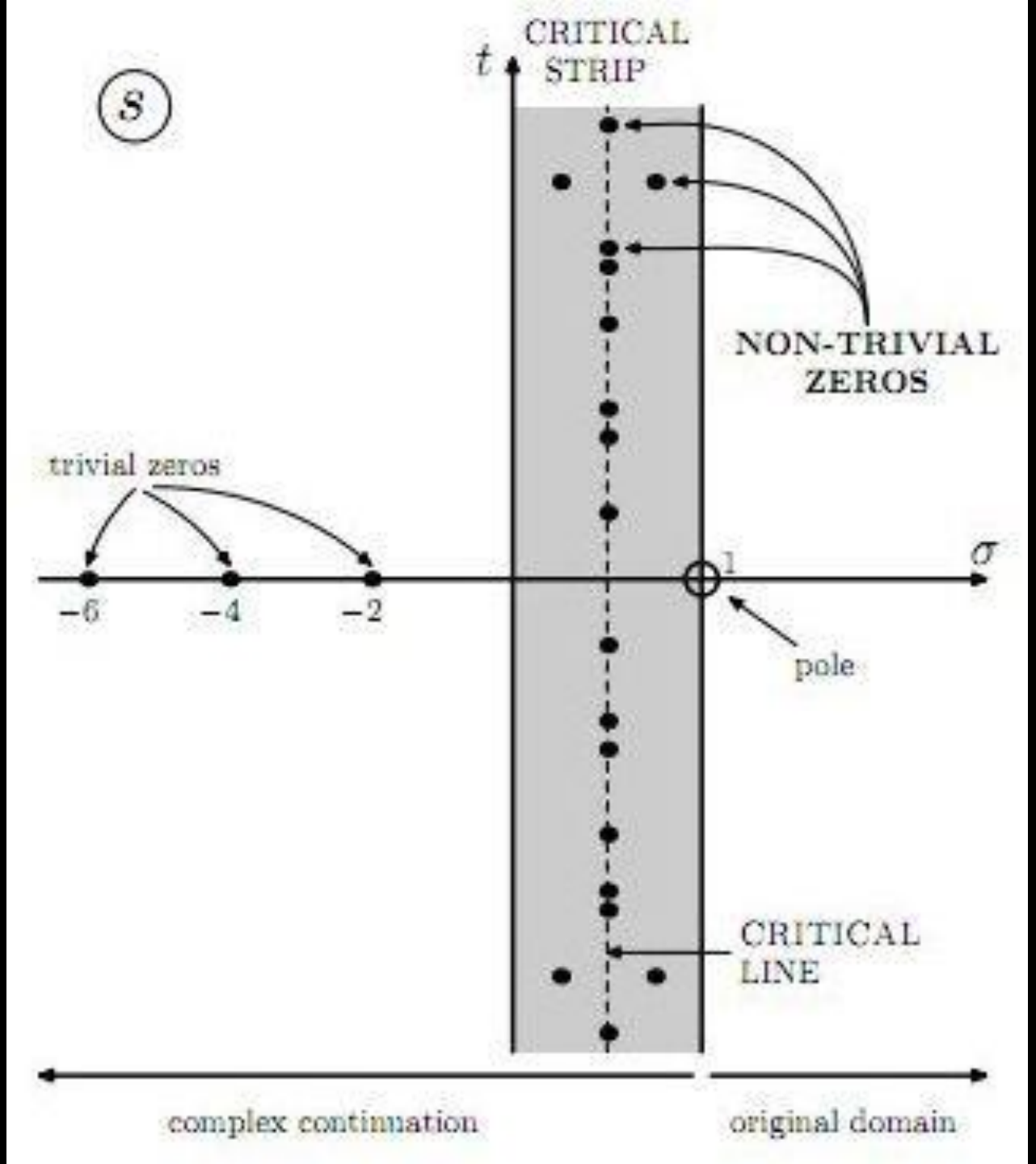
CRITICAL
STRIP
t
s
NON-TRIVIAL
ZEROS
trivial zeros
σ
1
-6
-4
-2
pole
CRITICAL
LINE
complex continuation
original domain

1	**Distribution du patrimoine des ménages en 2021**		
2			
3	en euros		
4	**Déciles**	**Patrimoine brut**	**Patrimoine net**
5	1er décile (D1)	4 400	3 000
6	2e décile (D2)	13 400	10 400
7	3e décile (D3)	33 200	26 500
8	4e décile (D4)	106 200	67 100
9	Médiane	177 200	124 800
10	6e décile (D6)	246 100	192 100
11	7e décile (D7)	328 400	274 700
12	8e décile (D8)	447 500	394 300
13	9e décile (D9)	716 300	633 200
14	95e centile (C95)	1 034 600	956 100
15	99e centile (C99)	2 239 200	2 072 600
16	Lecture : début 2021, 10 % des ménages français ont un patrimoine brut supérieur à 716 300 euros. Par ailleurs, 10 % ont un patrimoine net supérieur à 633 200 euros en déduisant les éventuels emprunts privés et/ou professionnels encore en cours		
17	Champ : France hors Mayotte, ménages vivant en logement ordinaire.		
18	*Source : Insee, enquête Histoire de vie et Patrimoine.*		

A majorana spinor has no charge

A majorana spinor has no time

A majorana spinor has no P-twin :

It is Sakharov-blind.

It is an object of Clifford algebra.

A majorana spinor doesn't need space :

space is translation. IF majorana spinor

is supersymmetric, translation is

the product of two SUSY transfos.

A majorana spinor only needs a

bosonic superpartner.

A majorana spinor has a spin.

That's all, folks !

Liste de pays qui n'ont pas déclaré la guerre à l'Allemagne en 1939 :

Autriche

Suisse

Luxembourg

Liechtenstein

Vaduz

Andorre

Monaco

Islande

Corée

Irlande

Portugal

Espagne

Chine

Tibet

États-Unis d'Amérique.

GDP (PPP) per capita in international dollars in 2010

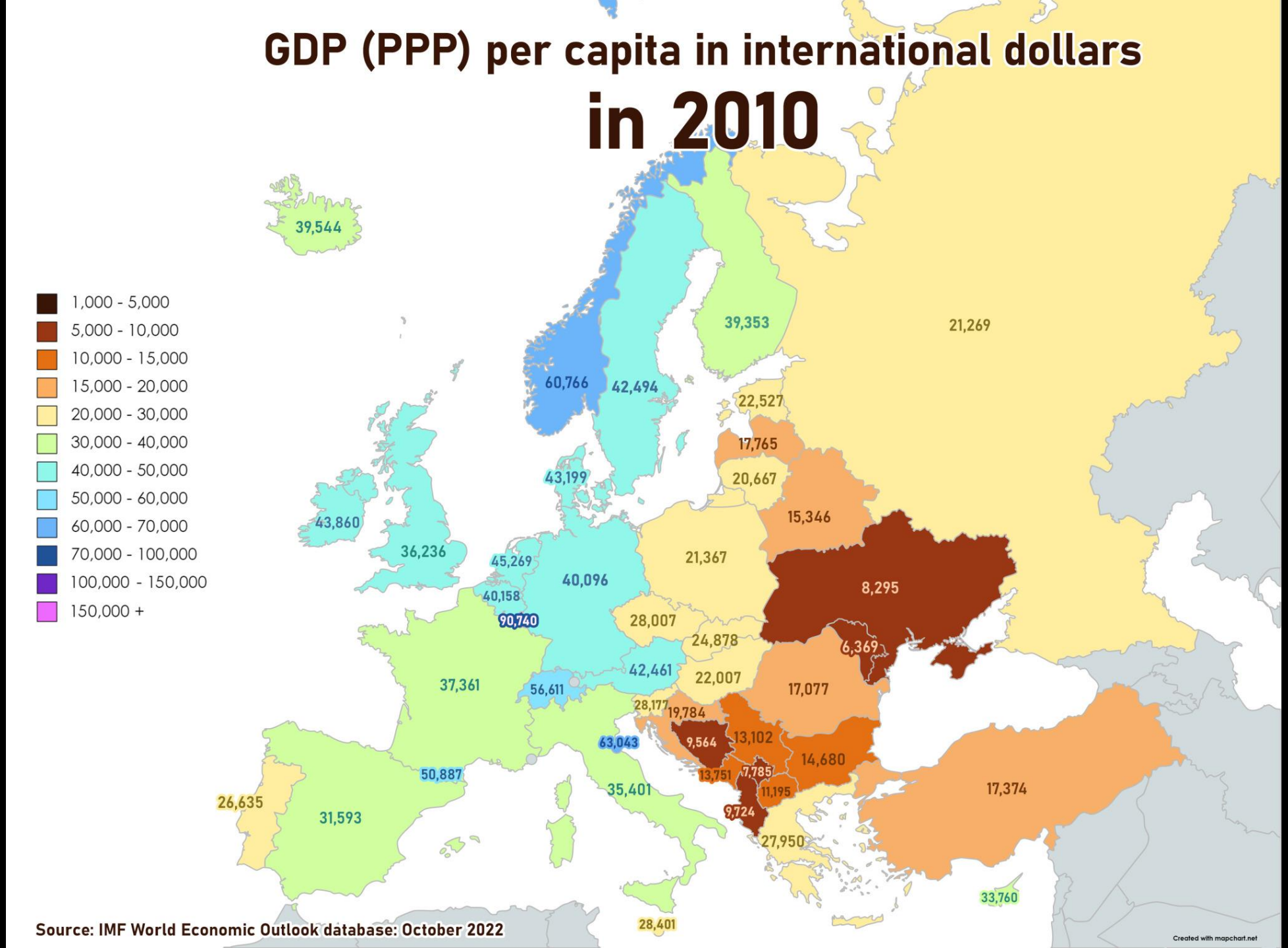

Source: IMF World Economic Outlook database: October 2022

Annual hours worked

Landgeist.com
@Land_geist
@Landgeist

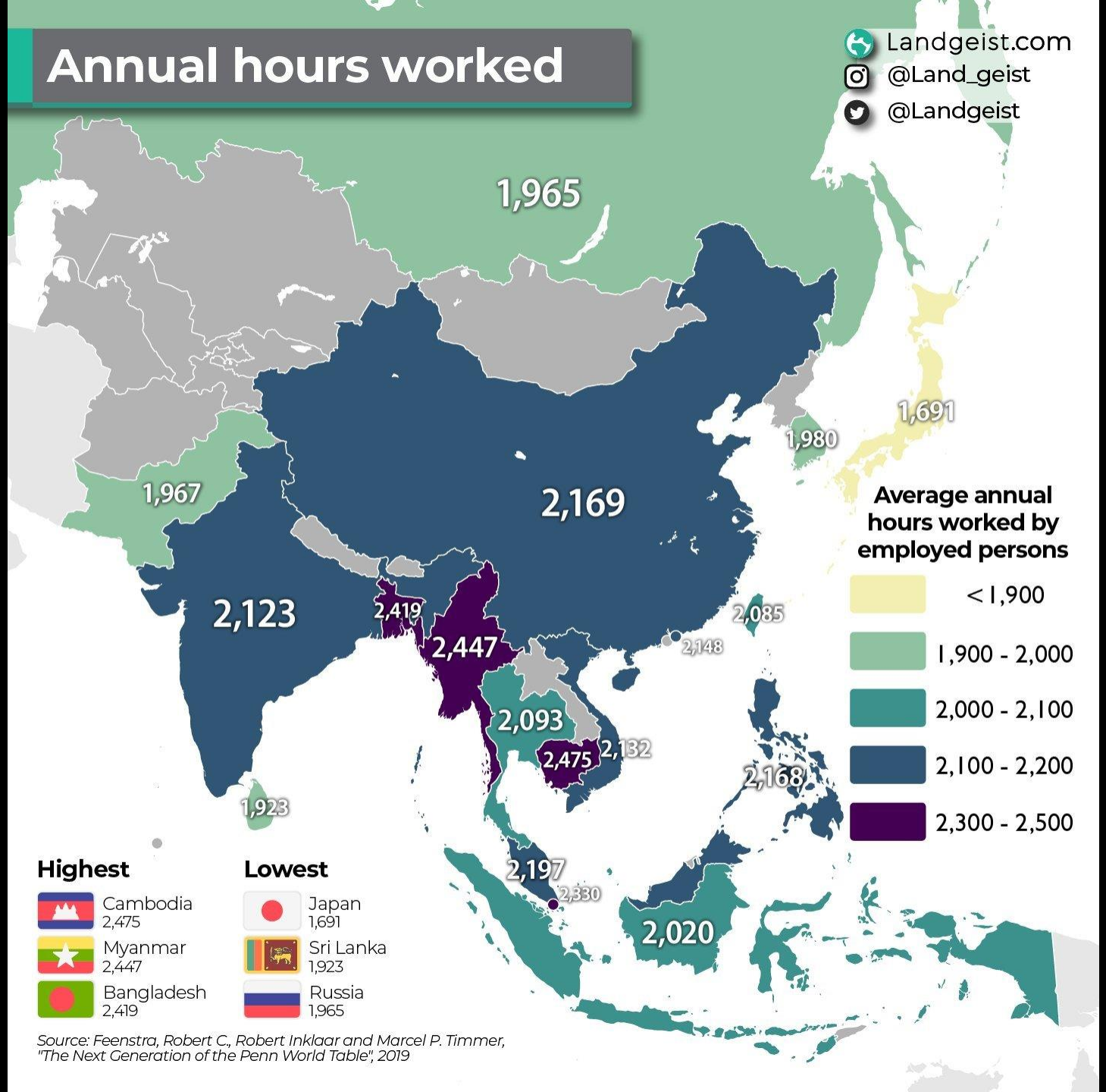

Highest

- Cambodia 2,475
- Myanmar 2,447
- Bangladesh 2,419

Lowest

- Japan 1,691
- Sri Lanka 1,923
- Russia 1,965

Source: Feenstra, Robert C., Robert Inklaar and Marcel P. Timmer, "The Next Generation of the Penn World Table", 2019

Quantité d'énergie solaire reçue par unité de surface terrestre en fonction des cellules de Hadley-Ferrey

Gérôme Taillandier 2021 9 2

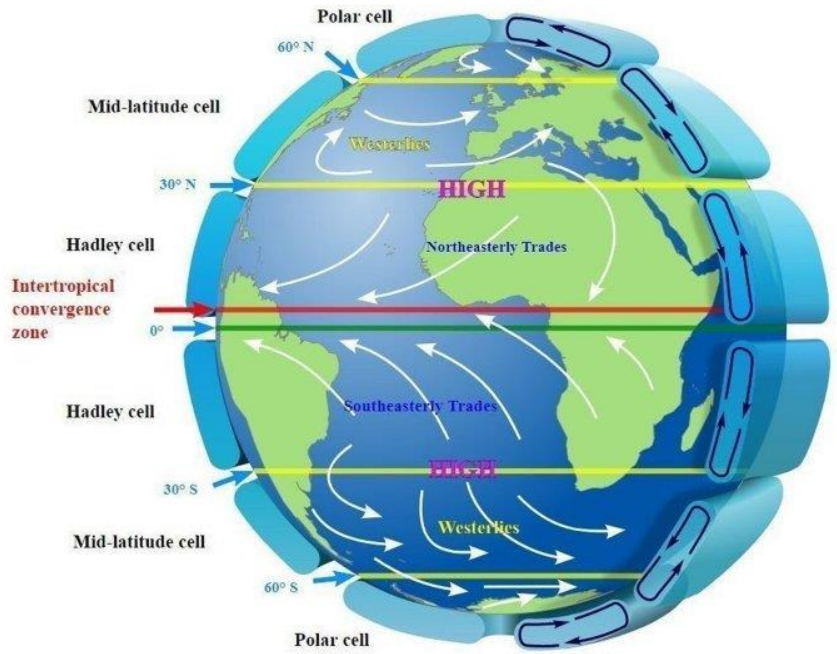

Vous n'avez **AUCUNE** chance de comprendre quoique ce soit au climat si vous ne prenez pas en compte les cellules de Hadley-Ferrey et en particulier la **désertification** induite par la jonction tropique-tempérée.

surface relative des cellules en fraction de la surface totale	pourcentage d'énergie solaire acceptée selon l'angle des cellules avec le soleil. (Valeurs approximatives)	pourcentage de terres émergées selon la latitude des cellules (à compléter)	indice de réception d'énergie solaire selon la latitude des cellules de Hadley-Ferrey
0.56	25 %		14
1.44	70 %	à compléter	29.3
2	95 %		190

Les trois constantes de couplage du Modèle Standard sont reliées par une relation de Descartes. Elles sont donc l'expression d'une relation harmonique entre ces trois interactions et sont représentables au moyen d'une sphère de Poincaré. GT 2021 3 9

On remarque que cette carte est mal construite, puisqu'elle n'indique pas le RAPPORT entre densité de pop et densité de lieux de cafés et de bars.

Si on lui accorde un crédit, on voit que, à l'exception de la capitale, toutes les régions de forte densité sont situées en marge de la France Profonde de Vercingétorix, Daladier et Castex, soit, dans les régions de conquête récente des Français, ou si l'on veut, à proximité des frontières, ce qui semble indiquer que passer une frontière donne soif. GT

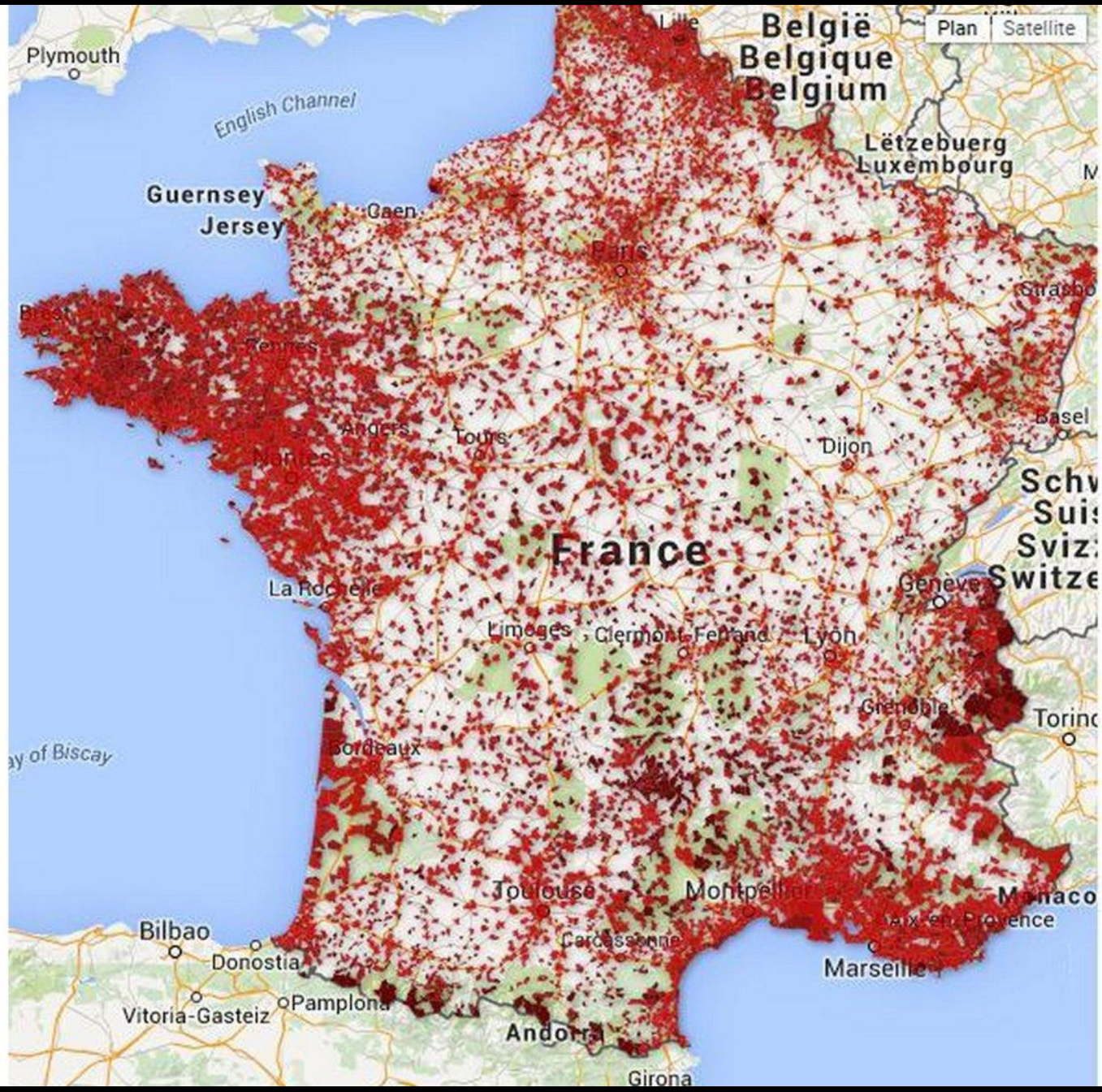

La charge électrique est non quantisée à moins de la DQC.

Elle est invariante relativiste.

D'où l'existence d'un champ magnétique.

La charge de couleur est-elle quantisée.

Est-elle invariante dans une transfo de Lorentz ?

Y a-t-il un « champ magnétique » du gluon ?

Je paie une sucette anglaise à la personne qui me le dit. GT 2021 8 7

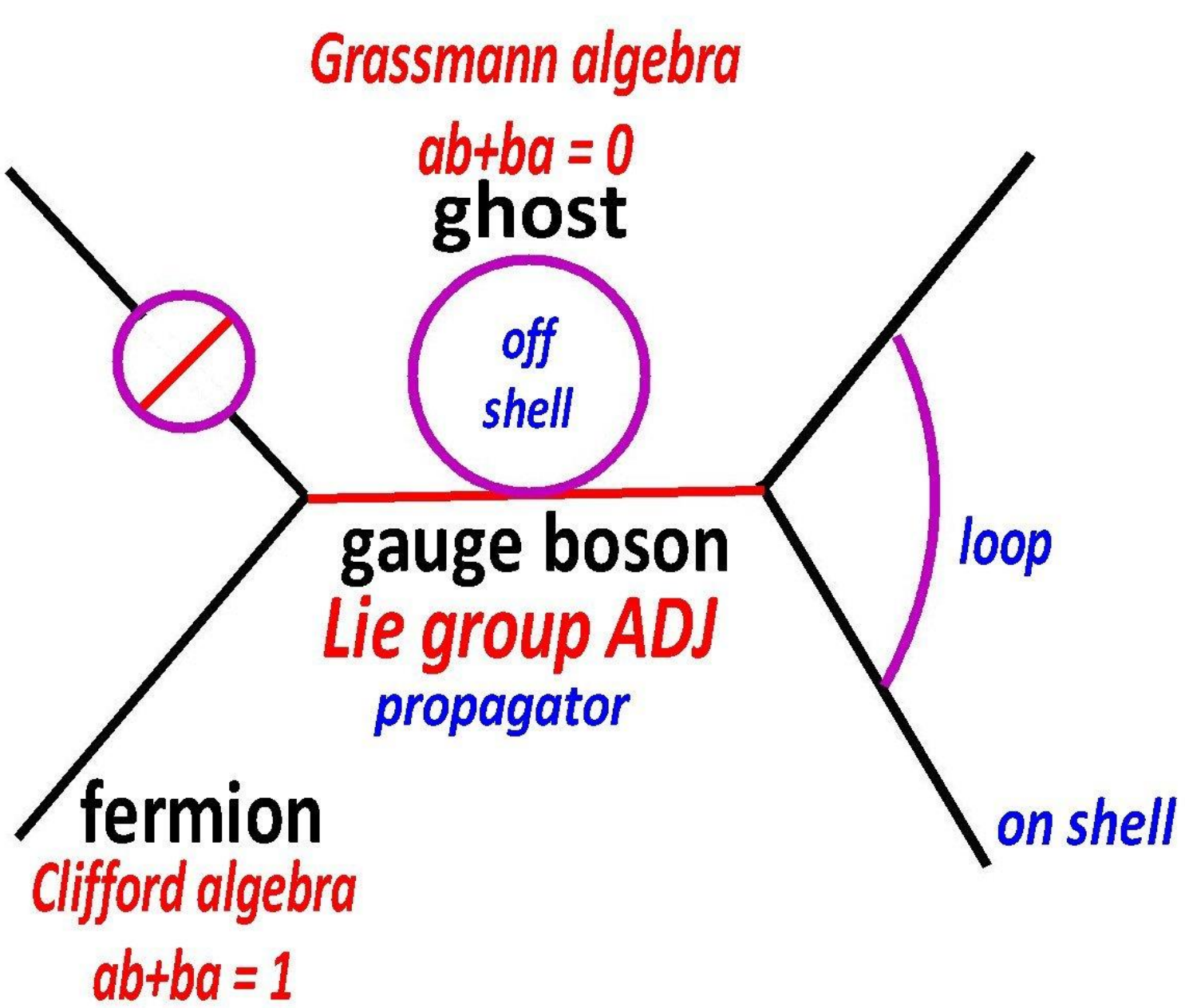

Lie algebra of forms = Clifford + Grassmann + Trace

Due to precession, critical points are rotated by (-69°) from present position

Pour définir une date de précession dans le passé, il faut remonter le cours du temps

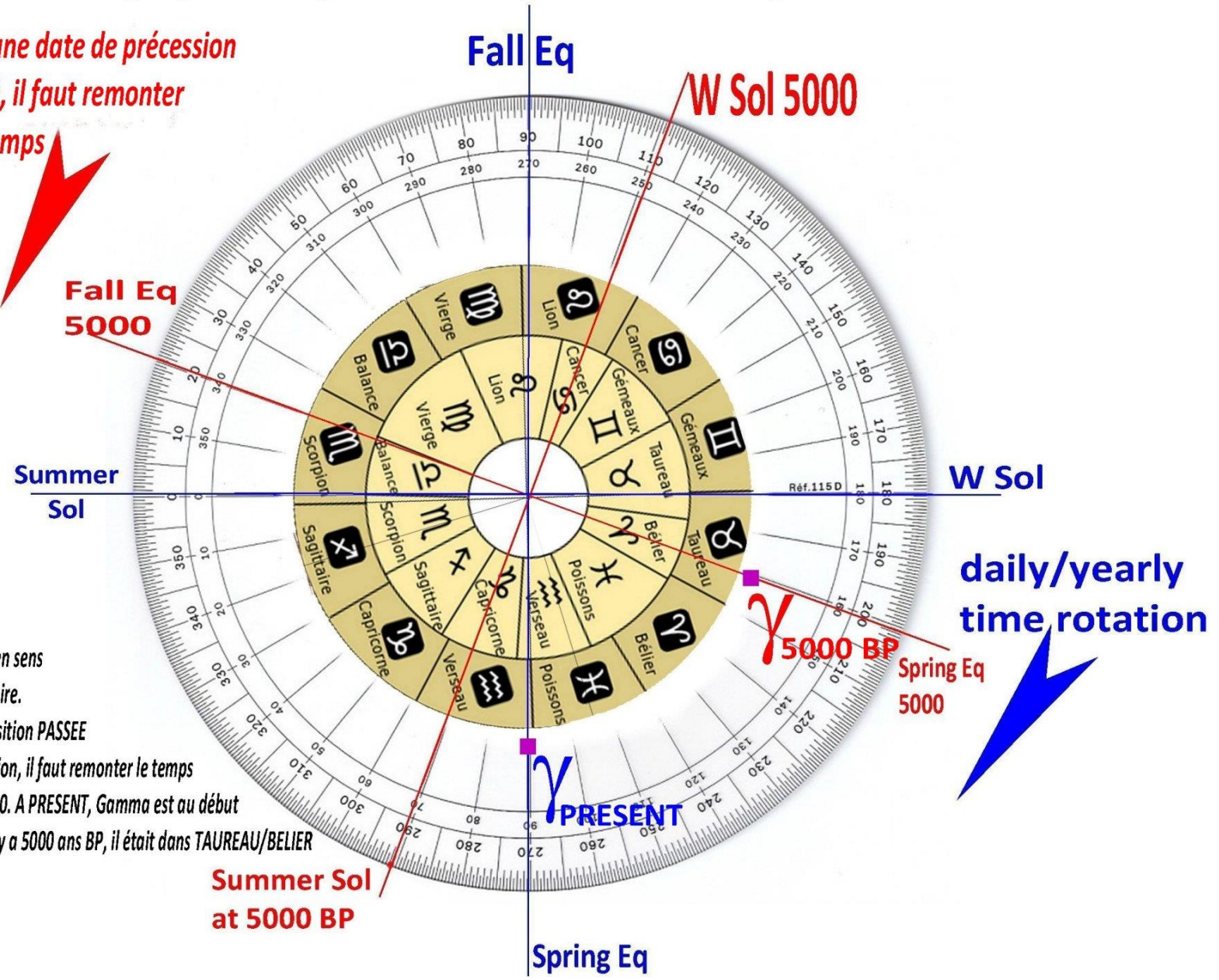

ATTENTION!
La précession tourne en sens contraire du cycle solaire.
Si l'on cherche une position PASSEE d'une date de précession, il faut remonter le temps à partir de PRESENT = 0. A PRESENT, Gamma est au début de AQUARIUS, mais il y a 5000 ans BP, il était dans TAUREAU/BELIER

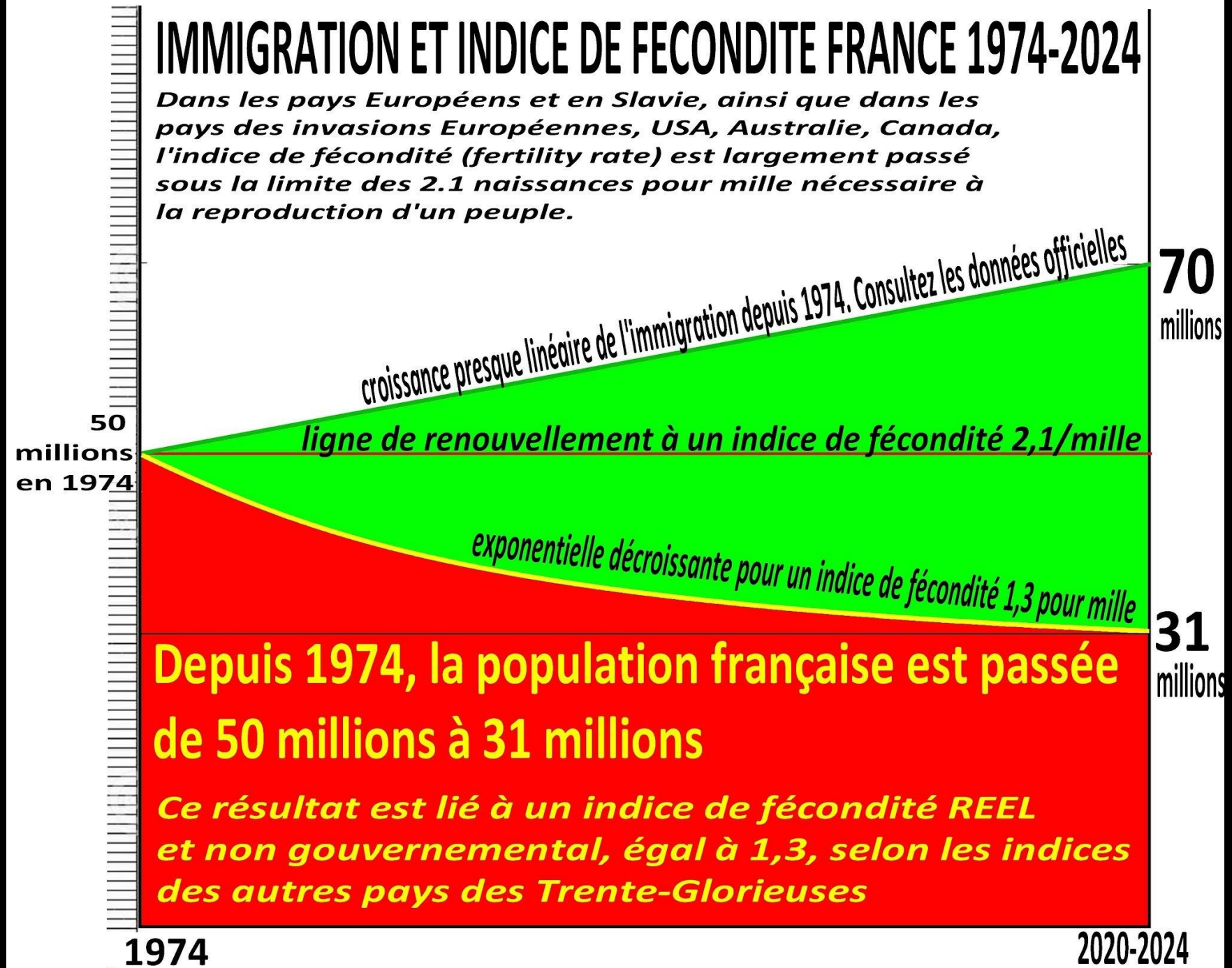
IMMIGRATION ET INDICE DE FECONDITE FRANCE 1974-2024
Dans les pays Européens et en Slavie, ainsi que dans les pays des invasions Européennes, USA, Australie, Canada, l'indice de fécondité (fertility rate) est largement passé sous la limite des 2.1 naissances pour mille nécessaire à la reproduction d'un peuple.
croissance presque linéaire de l'immigration depuis 1974. Consultez les données officielles
70 millions
50 millions en 1974
ligne de renouvellement à un indice de fécondité 2,1/mille
exponentielle décroissante pour un indice de fécondité 1,3 pour mille
31 millions
Depuis 1974, la population française est passée de 50 millions à 31 millions
Ce résultat est lié à un indice de fécondité REEL et non gouvernemental, égal à 1,3, selon les indices des autres pays des Trente-Glorieuses
1974
2020-2024

"Le sujet reçoit de l'Autre son message sous une forme inversée"

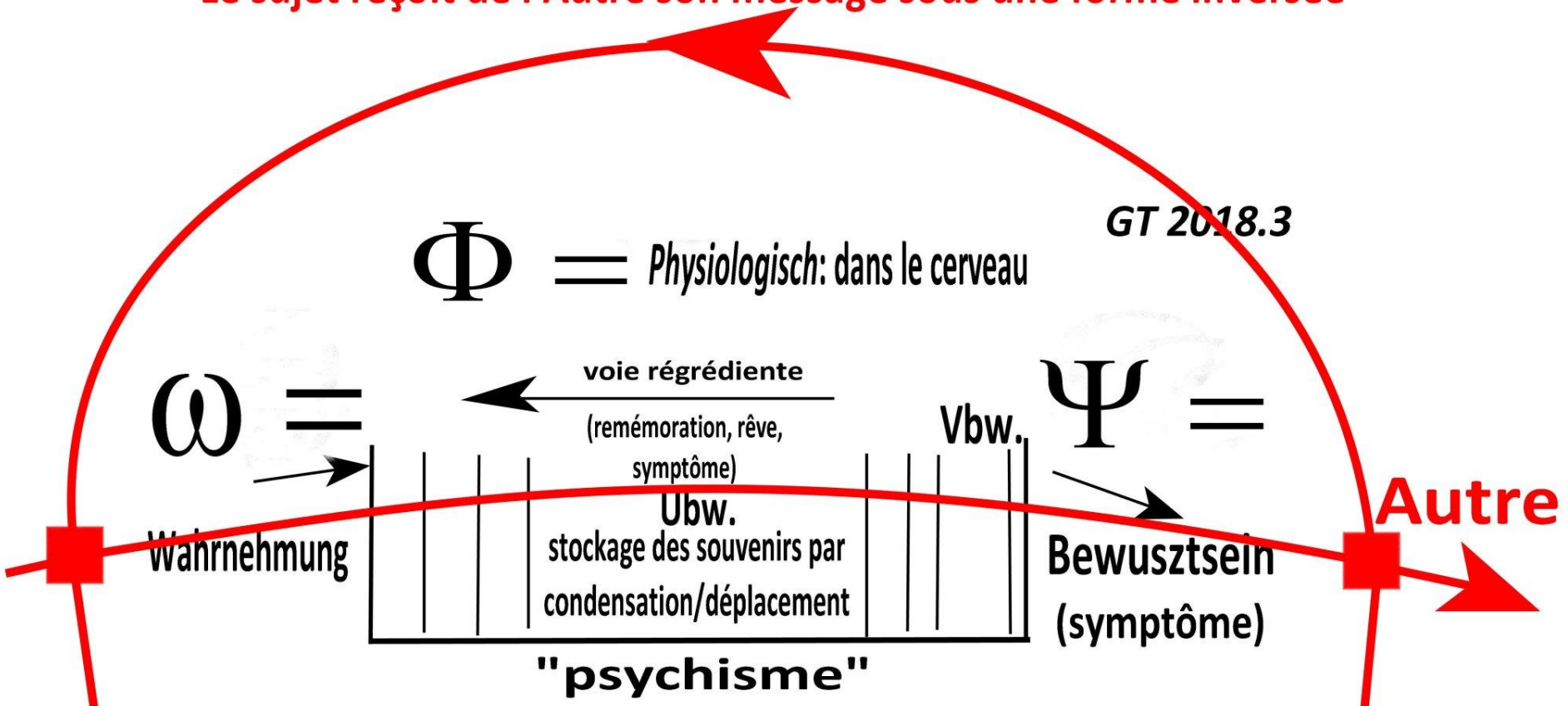

Appareil psychique selon Freud

Il n'y a pas besoin d'être grand clerc pour se rendre compte que le double circuit de l'appareil de Freud correspond au schéma de Jacques Lacan, mais Freud ne connaissait pas les graphes.
Il en résulte qu'on peut se débarrasser sans douleur du schéma ridicule de la deuxième topique, et lui subsituer le Graphe, simplement parce que toutes les fonction freudiennes sont présentes sur ce graphe, et beaucoup d'autres.
Entrant chez son psychanalyste il y a peu, une charmante jeune femme répond à l'interphone: "c'est moi".
Il est clair que ce n'est bien sûr le cas que jusqu'à la porte, car ensuite, c'est son schéma de Freud qui entre en jeu. Je vous suggère de revoir les Enfants du Paradis, où Lacenaire fait une déclamation qui montre que lui, du moins, a compris cela.
GT 2018.3

demande à l'Autre

Idéal du Moi

Sujet de l'Ics

Ni sur des vaisseaux Ni à pied

Vous ne découvrirez La merveilleuse route

Qui mène aux fêtes Des Hyperboréens

GDP (PPP) per capita in international dollars in 1980

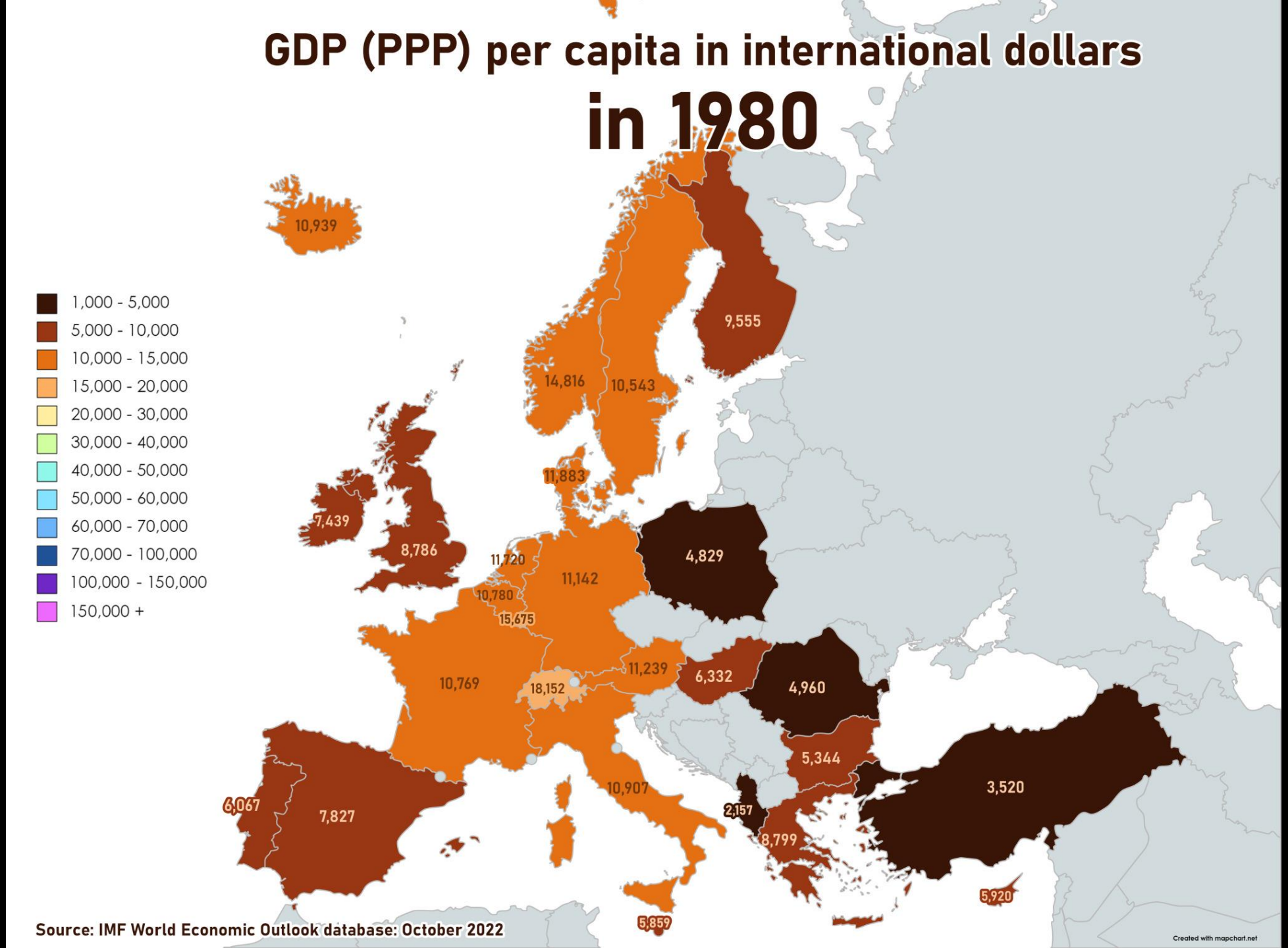

Source: IMF World Economic Outlook database: October 2022

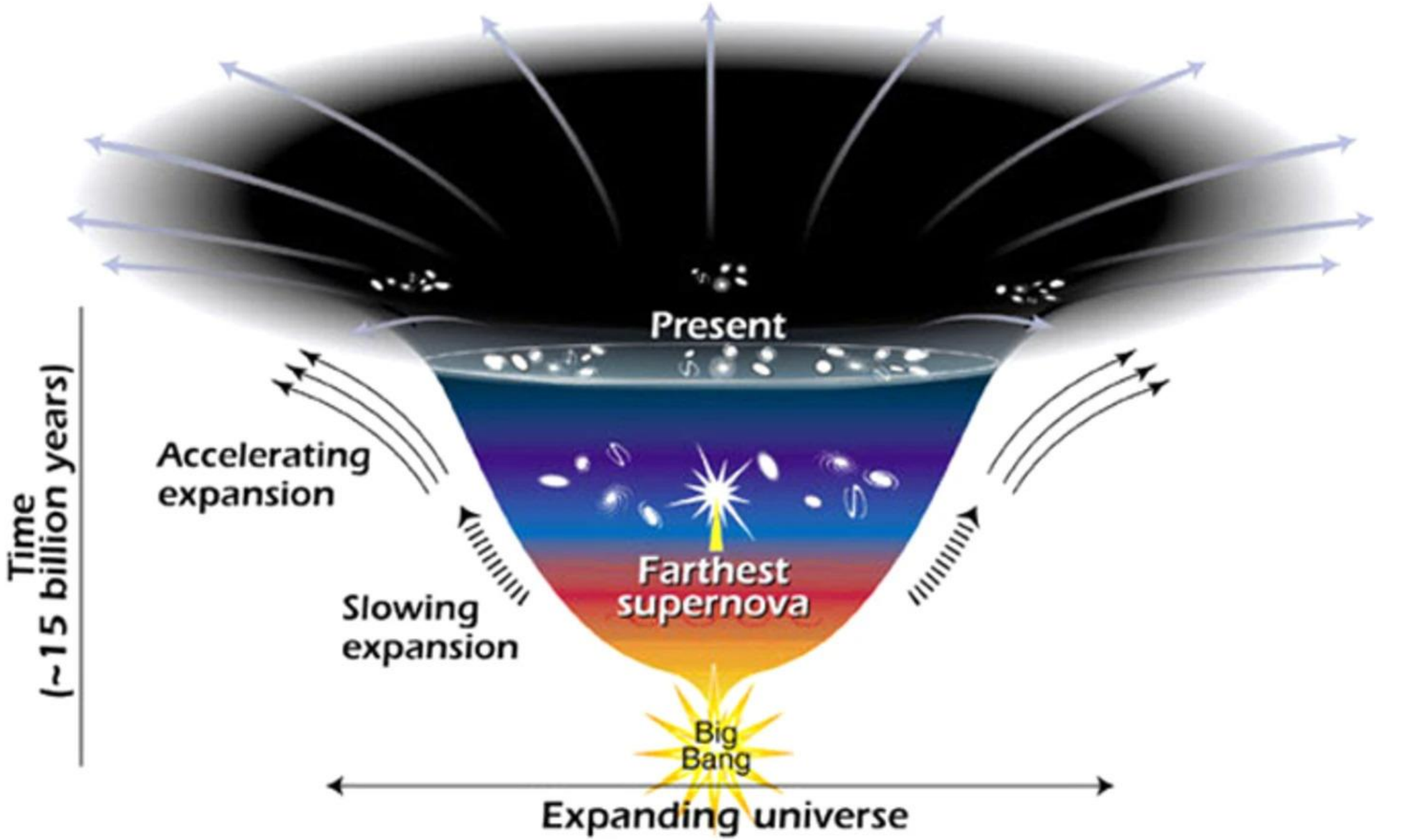
Present
Accelerating expansion
Slowing expansion
Farthest supernova
Big Bang
Time (~15 billion years)
Expanding universe

2023 Dutch House of Representatives Election Results

		Estimated Number of Seats
PVV	**PVV** **Party for Freedom** Leader: Geert Wilders Ideology: Right Populistic / Eurosceptic European: ID Party	37
GL PvdA	**GroenLinks - PvdA** **Green Left - Labour Party** Leader: Frans Timmermans Ideology: Social Democrat / Green European: S&D (Party of European Socialists & European Green Party)	25
VVD	**VVD** **People's Party for Freedom and Democracy** Leader: Dilan Yesilgöz Ideology: Conservative Liberal / Right European: Renew Europe (ALDE Party)	24
nsc	**Nieuw Sociaal Contract (NSC)** **New Social Contract** Leader: Pieter Omtzigt Ideology: Christian Democrat / Centre-Right European: to be determined	20
D66	**D66** **Democrats 66** Leader: Rob Jetten Ideology: Progressive Liberal / Centre European: Renew Europe (ALDE Party)	9
BBB	**BoerBurgerBeweging (BBB)** **Farmer Citizen Movement** Leader: Caroline van der Plas Ideology: Farmer's Interests / Right European: to be determined	7
CDA	**CDA** **Christian Democratic Appeal** Leader: Henri Bontenbal Ideology: Christian Democrat / Centre European: European People's Party	5
SP	**SP** **Socialist Party** Leader: Lilian Marijnissen Ideology: Democratic Socialism / Left European: GUE/NGL	5
Christen Unie	**Christen Unie (CU)** **Christian Union** Leader: Bilgin Ekkor Ideology: Christian Democrat / Centre-Left European: European People's Party	3
DENK	**Denk** **Think / Balanced** Leader: Stephan van Baarle Ideology: Centre-Left / Muslim Interests European: S&D	3
FvD	**Forum voor Democratie (FvD)** **Forum for Democracy** Leader: Thierry Baudet Ideology: Far Right / Conspiracy Thinking European: Non-Inscrits (Formerly ECR Party)	3
PvdD	**Partij voor de Dieren (PvdD)** **Party for the Animals** Leader: Esther Ouwehand Ideology: Animal rights / Left European: G/EFA(NGL) (Animal Politics EU)	3
SGP	**SGP** **Reformed Political Party** Leader: Chris Stoffer Ideology: Christian Conservative / Right European: ECR Party	3
Volt	**Volt Nederland** Leader: Laurens Dassen Ideology: Pro-Europe / Centre European: Greens- EFA (Volt Europe)	2
JA21	**JA21** **Right Answers 21** Leader: Joost Eerdmans Ideology: Right Populistic / Eurosceptic European: ECR Party	1

Largest Party in each Municipality with Percentage

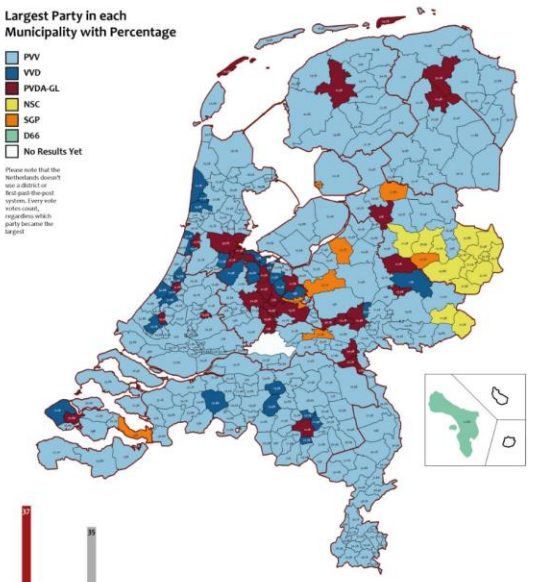

Please note that the Netherlands doesn't use a district or first-past-the-post system. Every vote votes count, regardless which party became the largest

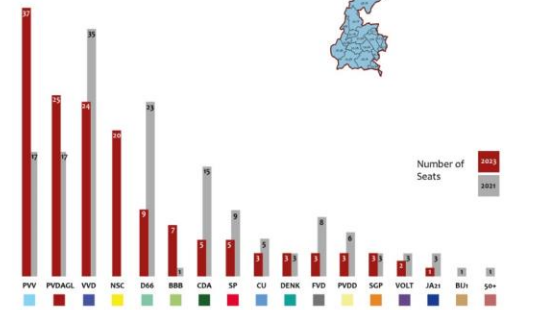

Changes in the Distribution of Seats

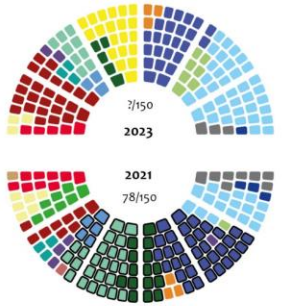

Seats controlled by the previous coalition

Current Make-up of the Senate

A Dutch law only comes into being after its passed by both the **Tweede Kamer** (House of Representatives) and the **Eerste Kamer** (Senate). Holding a majority in only one of the chambers is possible, but it requires constant negotiating to pass any legislation

*The **general voter turn-out was 77.8%**. Just 1% shy of the 78,8% of the 2021 elections*

*NSC was formed by **old CDA member Pieter Omtzigt**. He garnered a lot of attention and scored a major victory with 20 seats*

***Most decided municipalities:** Kerkrade (PVV 43.2%), Urk (SGP 48.3), Rucphen (PVV 53.8)*

*Two left wing parties - GL and PVDA – **ran as a joined group** for this election. It is seen as a step to an eventual fusion the two*

***Least decided municipalities:** Middelburg (GL/PVDA 18.2%), Veere (VVD 17.2%), Lochem (VVD 17%)*

*Elections were held on **22nd of November***

Sources:
https://www.rtlnieuws.nl/nieuws/politiek/artikel/5418157/nsc-wil-meedoen-aan-europese-verkiezingen
https://www.bnnvara.nl/joop/artikelen/geen-gezamenlijk-programma-pvda-en-groenlinks-bij-europese-verkiezingen
https://www.ewmagazine.nl/nederland/achtergrond/2023/07/bbb-de-meest-begeerde-bruid-van-brussel-487754/
https://app.nos.nl/nieuws/tk2023/

https://www.parlement.com/id/vi6qcluz2dvq/pvv_delegatie_europees_parlement
https://nos.nl/collectie/13860/artikel/2537037-bekijk-hier-de-uitslagen-van-de-verkiezingen
https://caribischnetwerk.ntr.nl/2023/11/23/verkiezingen-d66-grootste-pvv-vierde-op-bonaire/#:~:text=Op%20Bonaire%20heeft%20D66%20de,t2Nederland)%20bekend%20zijn%20gemaakt.

THE HOLY ROMAN EMPIRE
circa AD 1000
Limits in 972, under Otto I
Limits in 1032, under Conrad II
KINGDOM OF DENMARK
Ripen
Hedeby
MARCH OF SCHLESWIG
Schleswig
Jomsborg
Kołobrzeg
Gdańsk
PRUSSIA
BILLUNG MARCH
Mecklenburg
Wolin
POMERANIA
Stettin
NORTHERN MARCH
Havelberg
Brandenburg
Vistula
Gniezno
Poznan
Oder
KINGDOM OF POLAND
Breslau
Budissin
Meissen
MARCH OF MERSEBURG
MARCH OF MEISSEN
Merseburg
Zerbst
MARCH OF LAUSITZ
Jüterbog
Quedlinburg
Magdeburg
Hamburg
Lüneburg
Elbe
DUCHY OF SAXONY
FRISIA
Groningen
Bremen
Verden
Hildesheim
Goslar
Minden
Osnabrück
Utrecht
HOLLAND
Rhine
Weser
Münster
Paderborn
Dortmund
KINGDOM OF ENGLAND
Canterbury
Bruges
Ghent
Antwerp
Meuse
Boulogne
Tournai
Arras
Valenciennes
Cambrai
DUCHY OF LOWER LORRAINE
Cologne
Aachen
Liège
Fritzlar
Naumburg
Erfurt
Zeitz
THURINGIA
MARCH OF ZEITZ
Fulda
Koblenz
Frankfurt
Mainz
Bouillon
Trier
Ingelheim
Worms
Speyer
Arlon
Verdun
Metz
DUCHY OF UPPER LORRAINE
DUCHY OF FRANCONIA
Bamberg
Würzburg
Rottenburg
NORDGAU
Eichstädt
Regensburg
Hirsau
Prague
Elbe
Pilsen
DUCHY OF BOHEMIA
Olmütz
MORAVIA
Brünn
Rheims
Paris
Seine
Chalon
Chartres
Troyes
Sens
Clairvaux
Orléans
Auxerre
Bourges
Loire
Dijon
Autun
Cluny
Clermont
Le Puy
KINGDOM OF FRANCE
Strasbourg
Ulm
Danube
Augsburg
DUCHY OF SWABIA
Lechfeld(955)
Freising
Passau
Linz
EASTERN MARCH
Vienna
Pressburg
KINGDOM OF HUNGARY
Gran
Raab
Buda
Sopron
Alba Regia
Danube
Rhine
Constance
Basel
Besançon
Pontarlier
Zürich
St Gall
DUCHY OF BAVARIA
Salzburg
Inn
Brenner 1372 m
CARINTHIAN MARCH
Friesach
Brixen
Villach
Lausanne
St Gothard 2108 m
Geneva
Lyon
Mâcon
Grand St Bernard 2469 m
Mont-Cenis 2081 m
Vienne
Grenoble
Valence
Embrun
Avignon
Turin
Milan
Brescia
Verona
Mantua
Pavia
Po
Parma
Modena
Bologna
LOMBARDY
Genoa
KINGDOM OF BURGUNDY
Nice
Aix
Arles
Marseille
Béziers
Narbonne
Rhône
MARCH OF VERONA
Trento
Aquileia
Krainburg
Laibach
MARCH OF CARNIOLA
Trieste
Fiume
ISTRIAN MARCH
Venice
Zagreb
Sisak
Pecs
KINGDOM OF CROATIA
Tuzla
REPUBLIC OF VENICE
Zara
PENTAPOLIS
Florence
Pisa
MARQUISATE OF TUSCANY
Sienna
Perugia
Spoleto
Spalato
KINGDOM OF SERBIA
Ragusa
PAPAL STATES
DUCHY OF SPOLETO
Rome
DUCHY OF BENEVENTO
Monte Cassino
Capua
Benevento
PUGLIA
Bari
Gaeta
CORSICA
COUNTY OF BARCELONA

Mourir tué par une racaille toxicomane dans un trou du cul perdu du diable, au bénéfice d'une bande d'optimiseurs fiscaux et de fondés de pouvoir. France aujourd'hui. Comme en 14.

Le **GRAVITON** est une particule massive de spin 2 et porte une charge de gravité inconnue.

Son **spin** provient des deux higgs-antihiggs qu'il échange avec le vide.

Sa **masse** est nulle car l'échange des higgs lui donne une masse en apparence nulle, qui détermine sa vitesse égale à la vitesse-limite.

Sa **charge** de gravité est inconnue car on ne dispose pas d'une DQC pour la définir.

Le mec qui la trouvera gagnera le gros lot. GT 2021 4 9

EAT PUSSY
NOT
ANIMALS.

LUST

GDP (PPP) per capita in international dollars in 2000

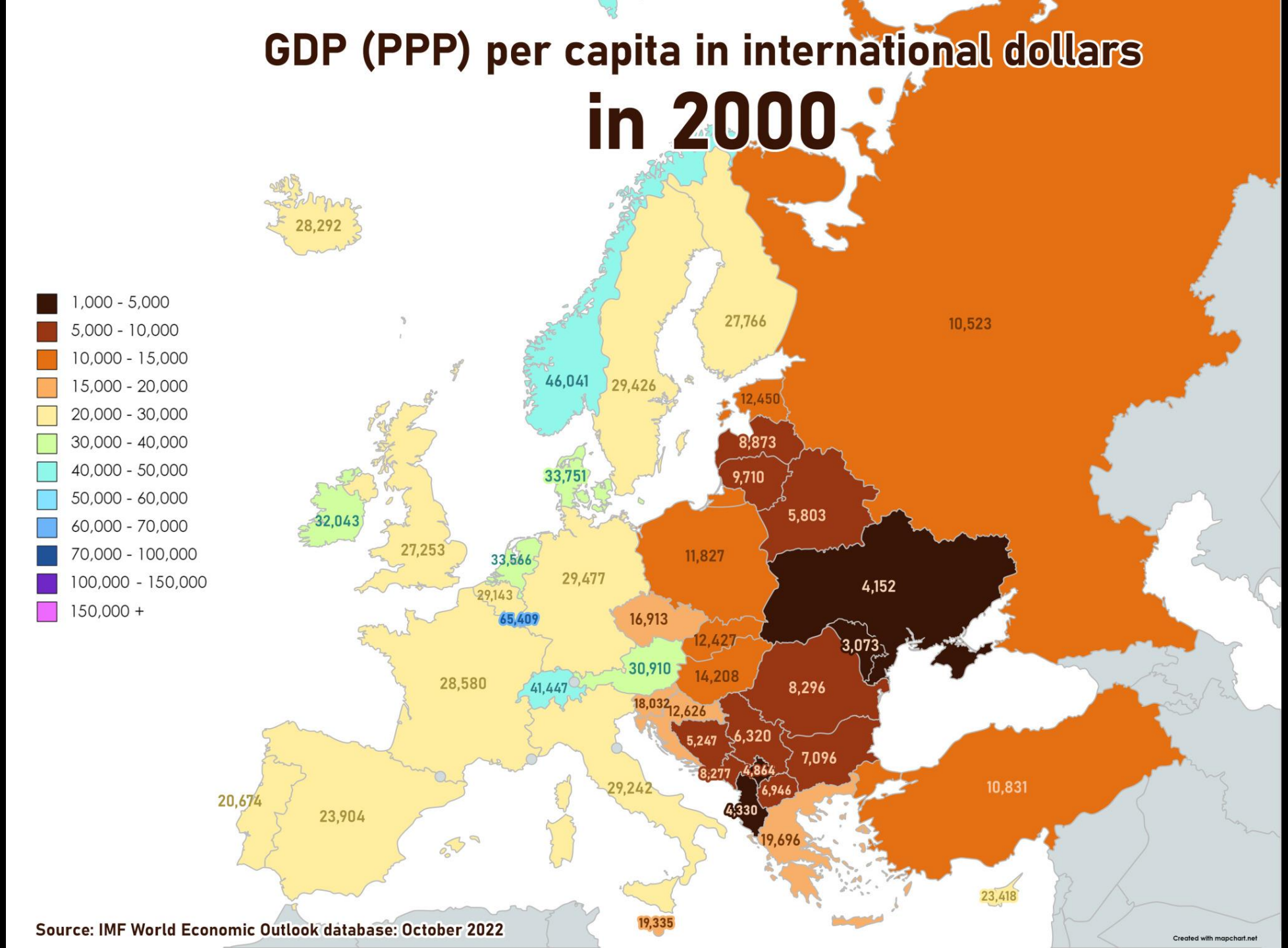

Source: IMF World Economic Outlook database: October 2022

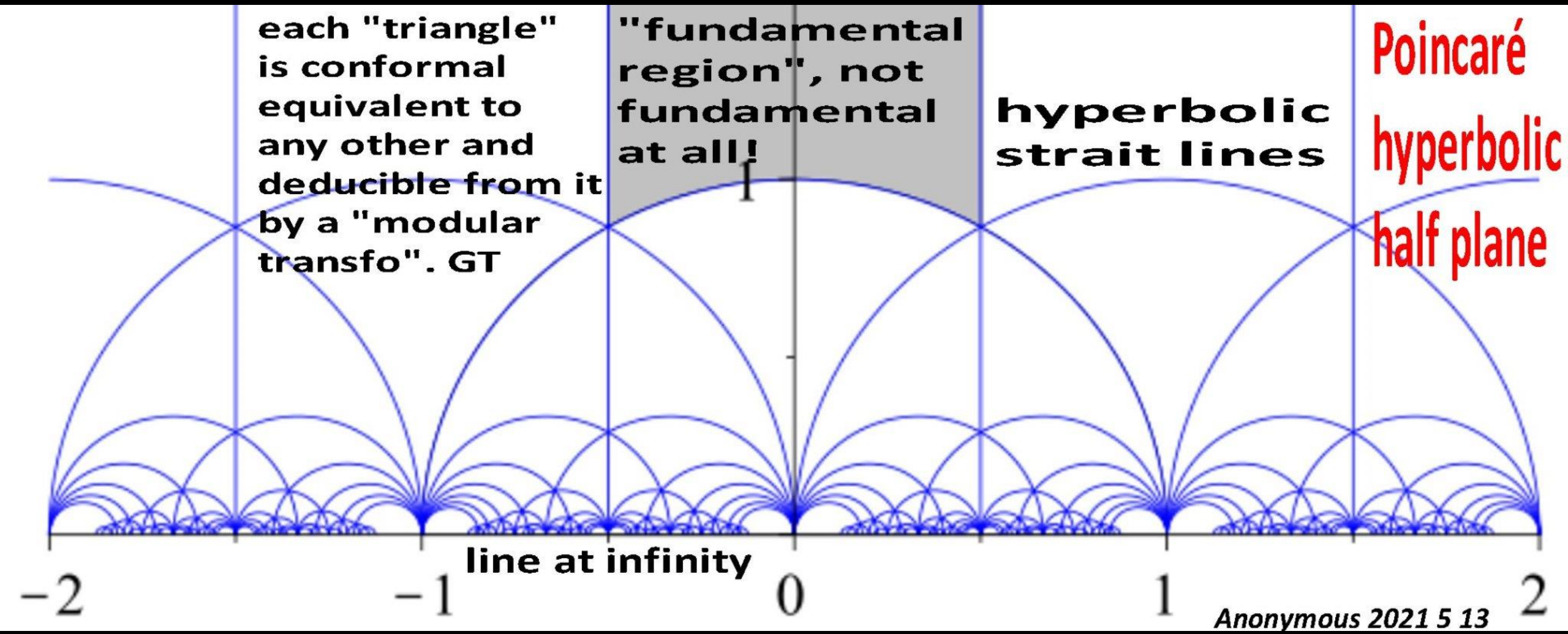
each "triangle" is conformal equivalent to any other and deducible from it by a "modular transfo". GT
"fundamental region", not fundamental at all!
hyperbolic strait lines
Poincaré hyperbolic half plane
i
line at infinity
−2
−1
0
1
2
Anonymous 2021 5 13

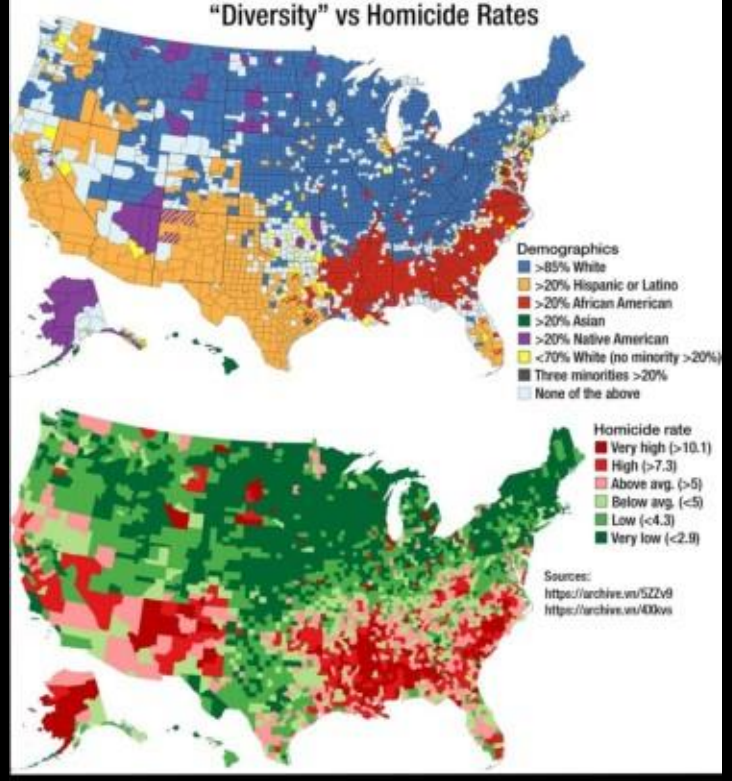
"Diversity" vs Homicide Rates
Demographics
>85% White
>20% Hispanic or Latino
>20% African American
>20% Asian
>20% Native American
<70% White (no minority >20%)
Three minorities >20%
None of the above
Homicide rate
Very high (>10.1)
High (>7.3)
Above avg. (>5)
Below avg. (<5)
Low (<4.3)
Very low (<2.9)
Sources:
https://archive.vn/5ZZv9
https://archive.vn/40kvs

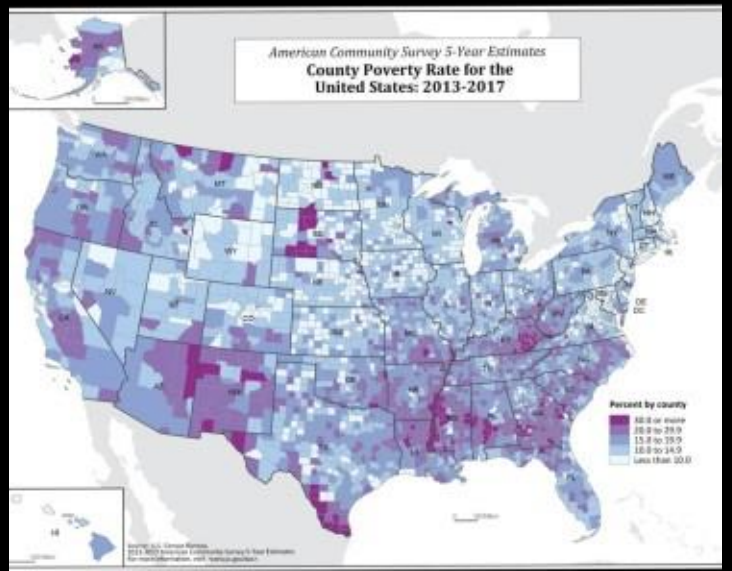
American Community Survey 5-Year Estimates
County Poverty Rate for the
United States: 2013-2017
Percent by county

chaque demi-cercle est une droite hyperbolique

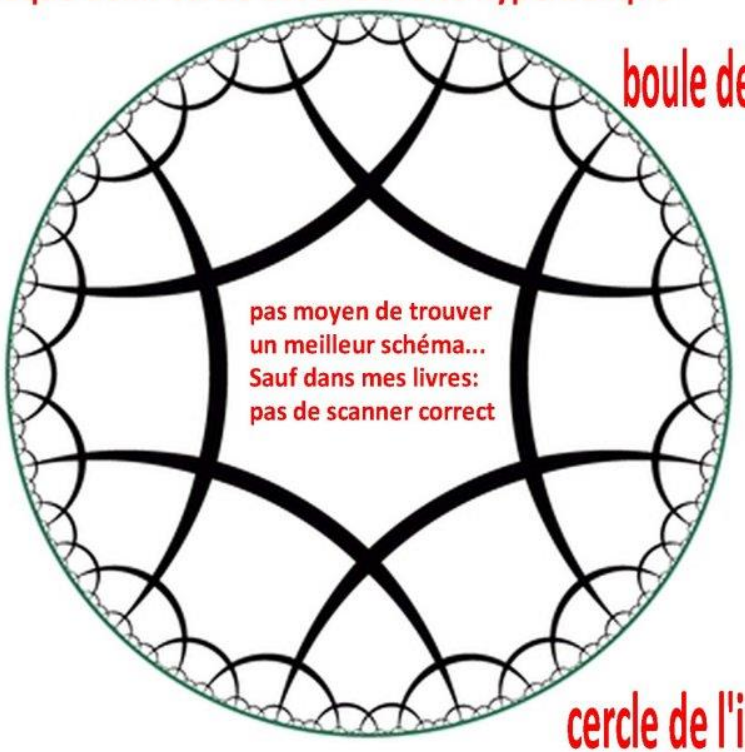

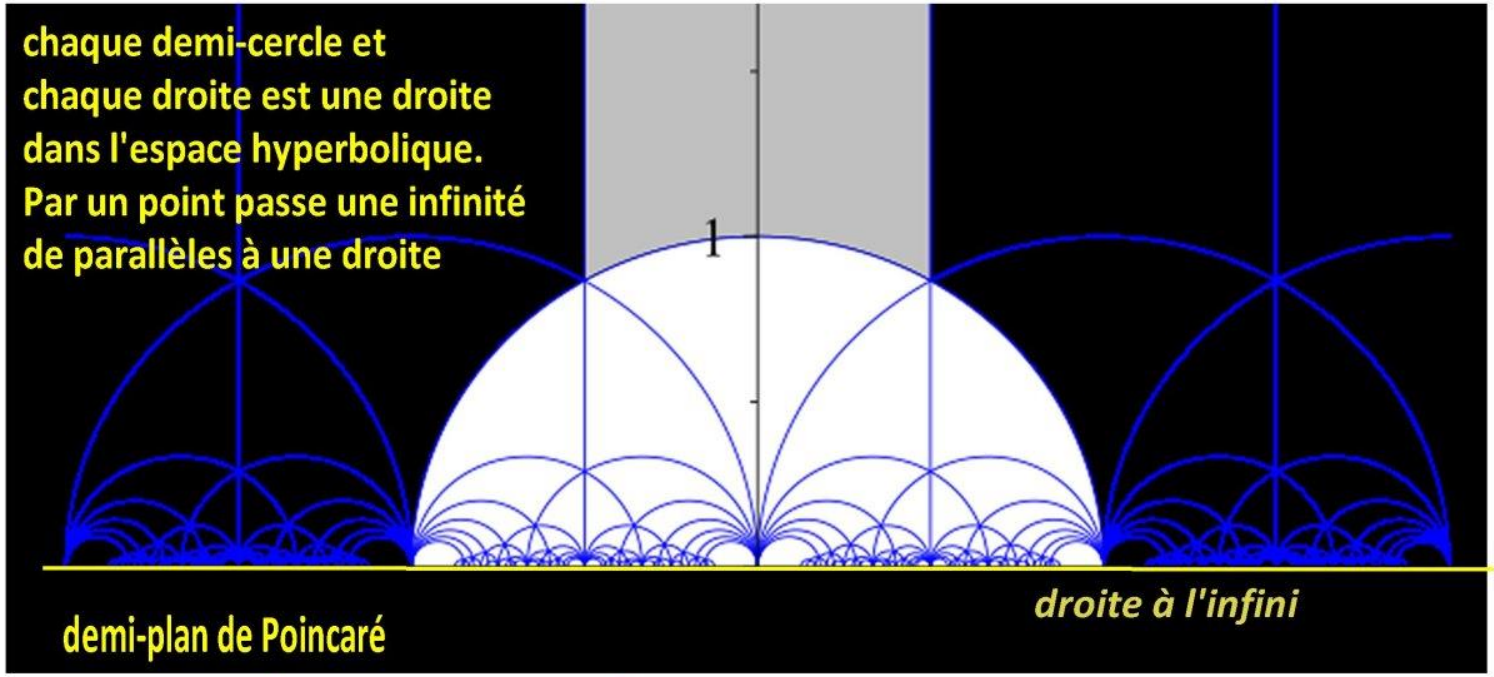

Un peu de Poincaré ne saurait nuire.

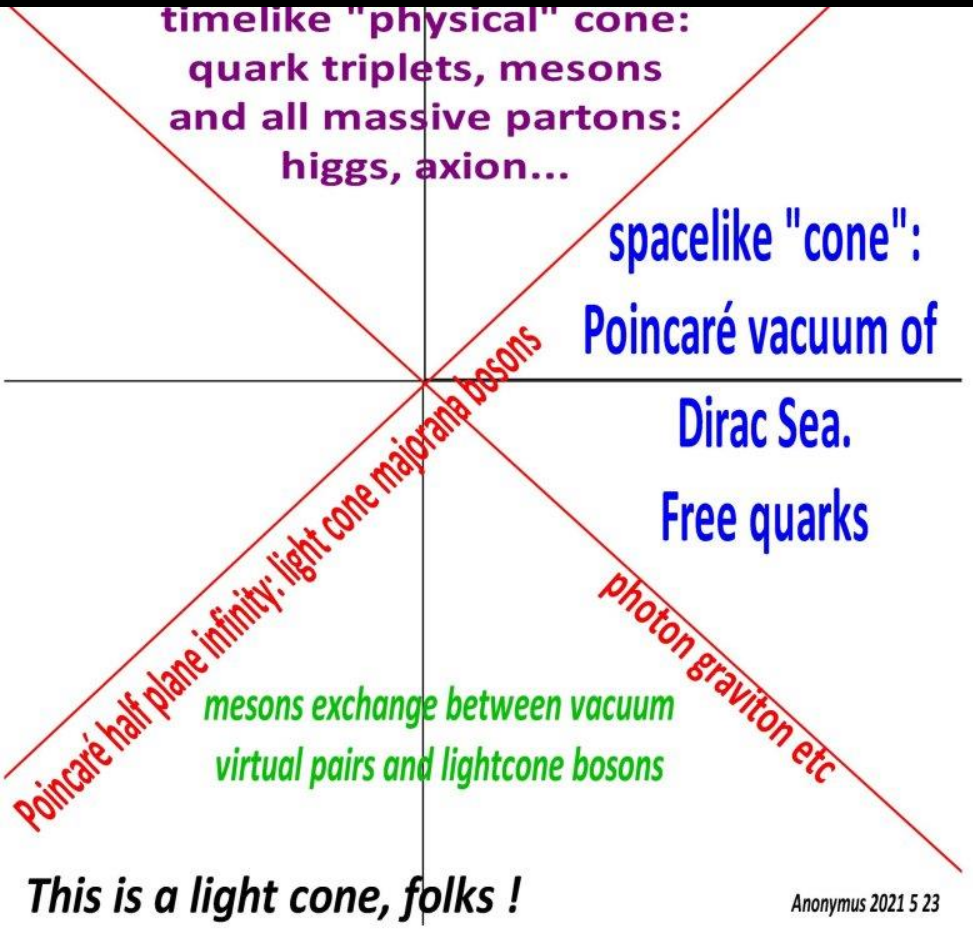

This is a light cone, folks !

Anonymus 2021 5 23

Suppose you have got a splendid Minkowski spacetime!

suppose an isointerval hyperboloid.
Nothing prevents you from transforming it in such way you get a Poincaré representation of your Minkowski !

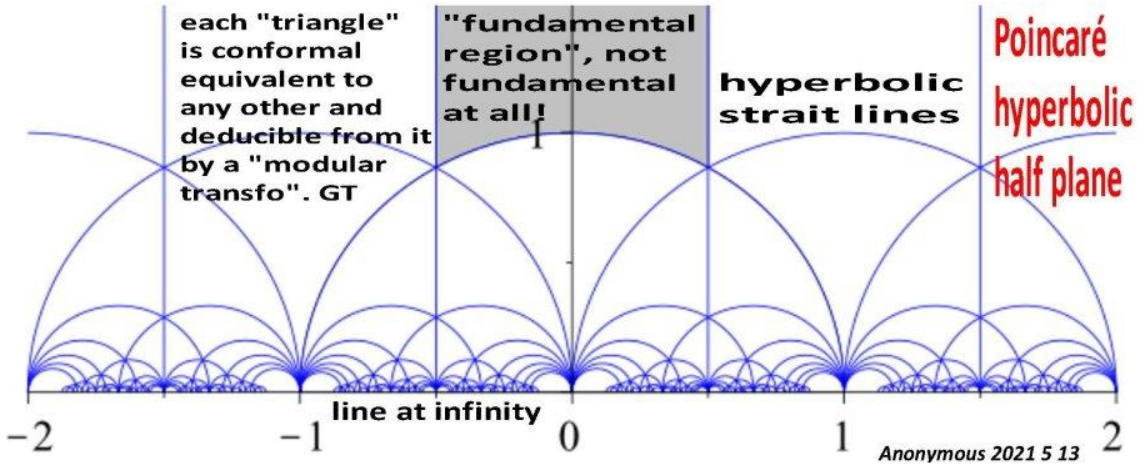

"circles" are now your isointerval hyperbolas; strait lines are light cone asymptotes, provided they meet hyperbolae at infinity

That's all, Folks !

Anonymus 2021 5 14

TRANSFORMATIONS SYMPLECTIQUES

Vous savez que le produit scalaire est un invariant, mais c'est aussi le cas du déterminant.

A certains égards, la surface et le volume sont aussi des quantités orientables, mais scalaires. Généralisez aux hypersurfaces.

Supposez que vous définissez un groupe de transformations telles que ces quantités soient conservées : scalaire, déterminant, aire, volume et hypervolume.

Supposez que ce groupe est Lie.

Alors ce groupe est un groupe de transformations SYMPLECTIQUES.

Il exige une matrice totalement antisymétrique dont les éléments non-nuls sont la matrice identité et son opposé.

Voyez cela chez les Sçavants.

C'est pas plus simple de commencer comme ça ?

Gérôme Taillandier 2020 8 4

Quarante jours ou quarante nuits après la montée de la Déesse Astraea au ciel Ouranos, à la fin de l'Âge d'Or, après les Larmes de Saint Laurent, ou Perséides, dont Matthieu Calloc'h m'a fait percevoir l'importance, arrive Samhaín, la Réunion avec les Ancêtres. Je ne connais pas le nom kelt d'Astraea, et je vous suggère de le chercher. Peut-être Keridwen ? Préparez la rencontre avec les Anciens comme il convient, pour leur venue dans leur foyer. GT, pas Kelt du tout !!

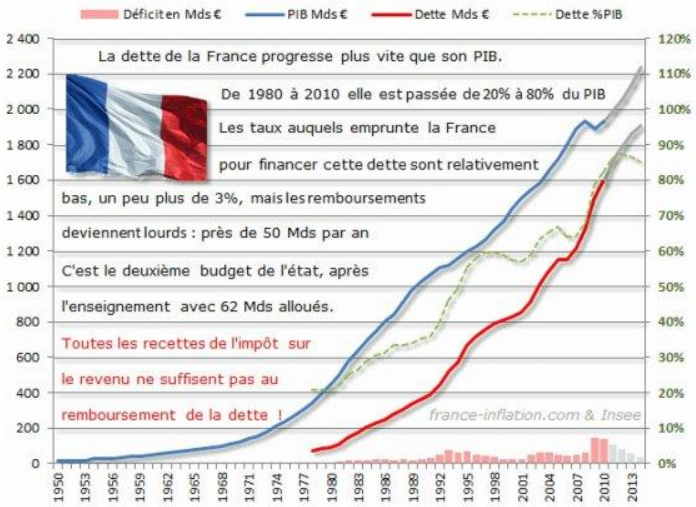

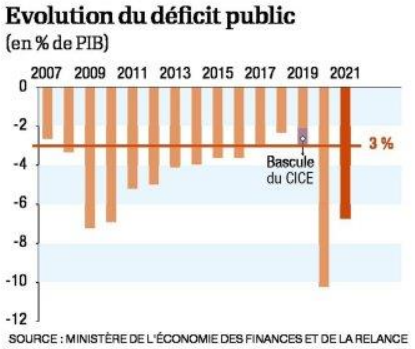

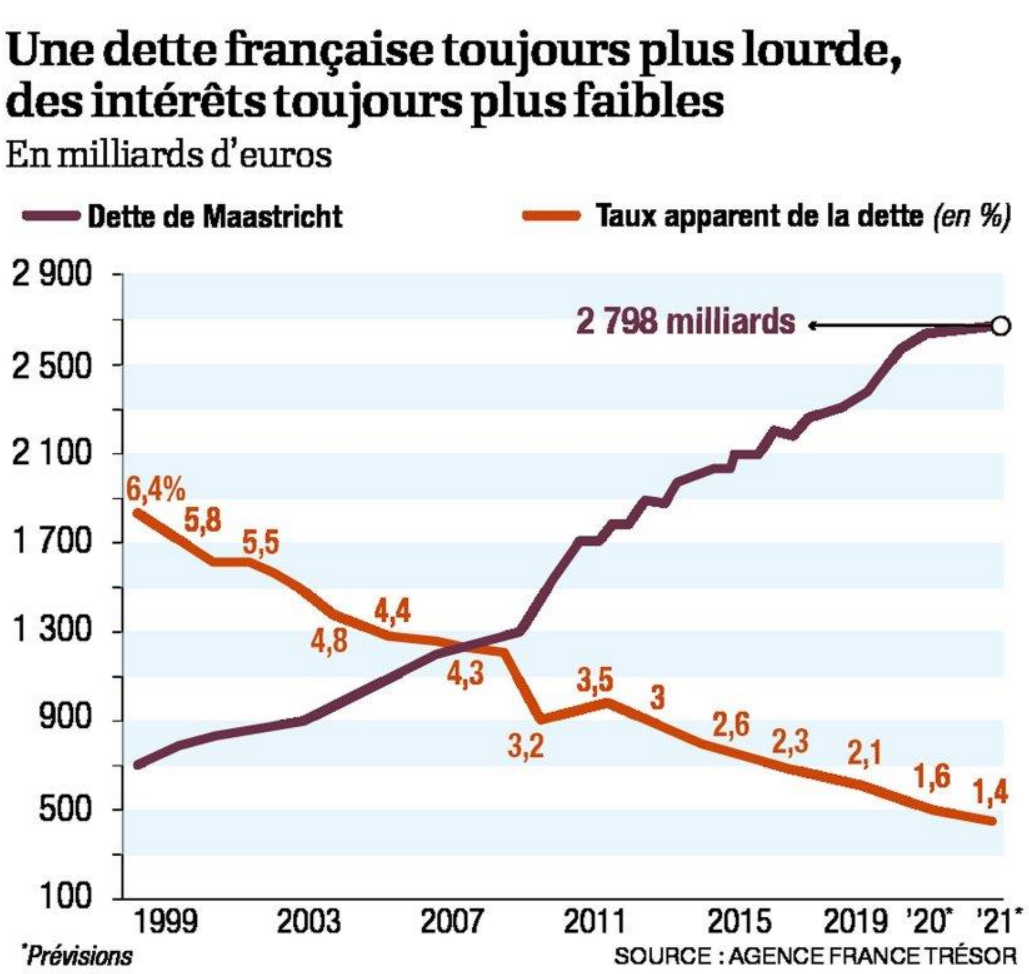

Source : Banque de France

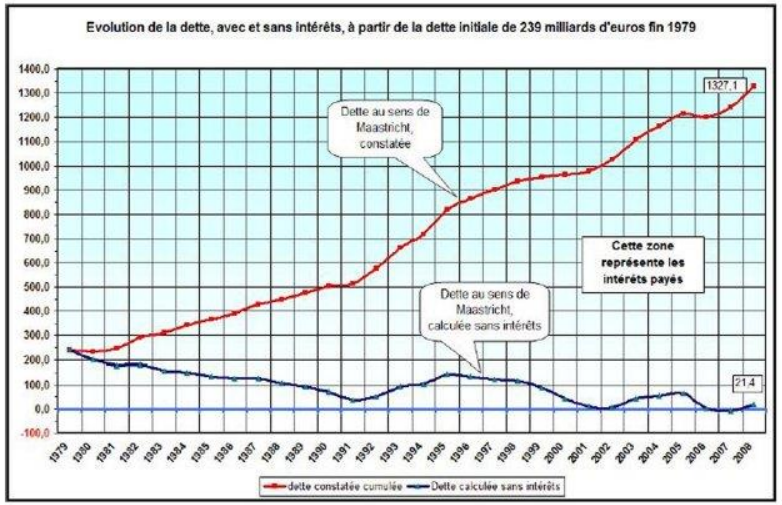

Loi Pompidou-Giscard du 3 janvier 1973 modifiée en loi Sarkozy-Lisbonne

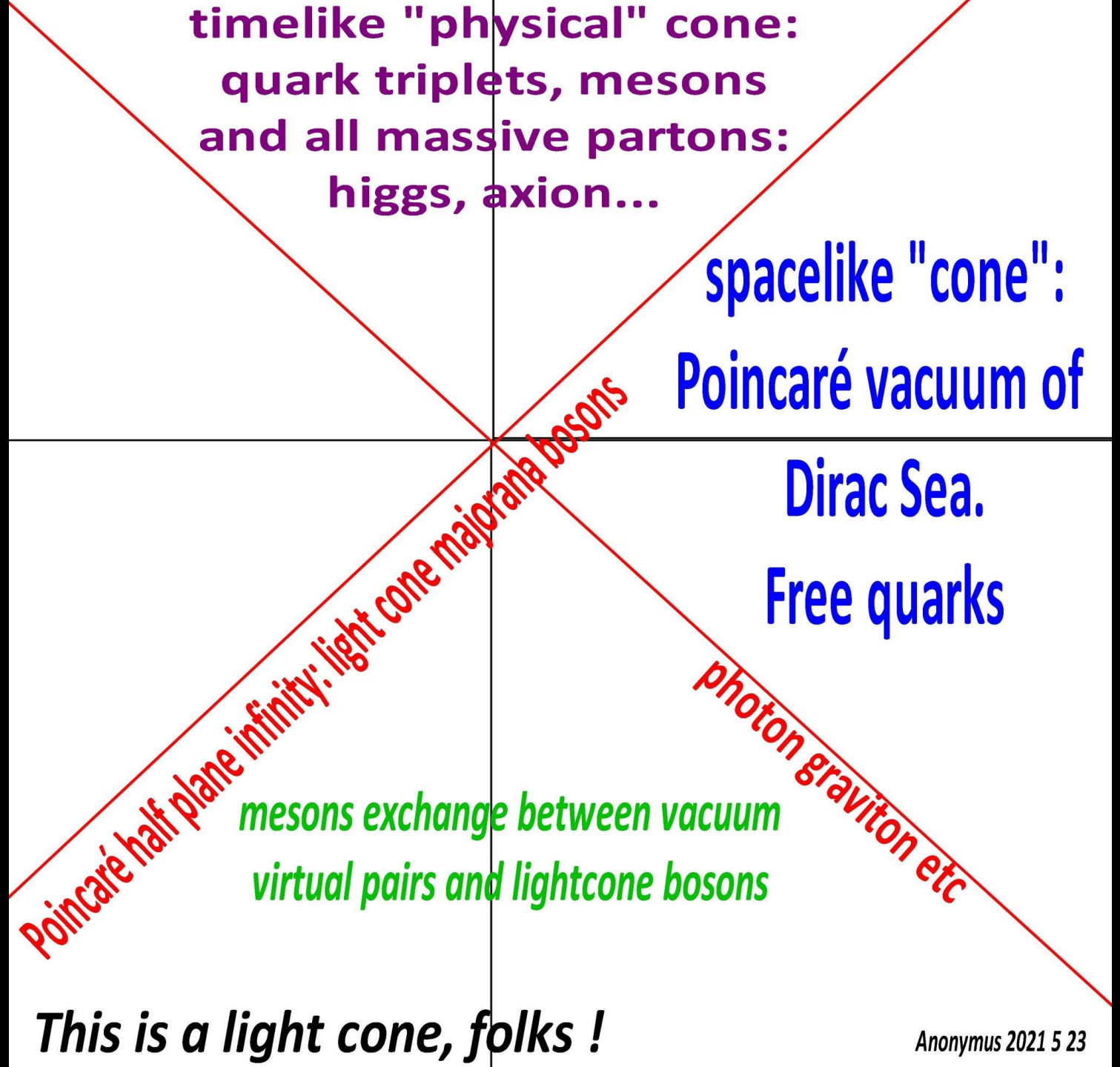
timelike "physical" cone:
quark triplets, mesons
and all massive partons:
higgs, axion...
spacelike "cone":
Poincaré vacuum of
Dirac Sea.
Free quarks
Poincaré half plane infinity: light cone majorana bosons
photon graviton etc
mesons exchange between vacuum
virtual pairs and lightcone bosons
This is a light cone, folks !
Anonymus 2021 5 23

Dans la théorie SO(10), le nombre de familles de quarks est égal à 4. Par ailleurs, dans un modèle de Green-Schwartz-Witten le nombre de familles est égal à l'index d'Euler de la variété de compactification divisé par 2, donc 4. Il y a fort à parier que le nombre de familles est bien égal à 4 et qu'il dépend de la théorie des cordes adéquate et de son treuil de compactification. GT

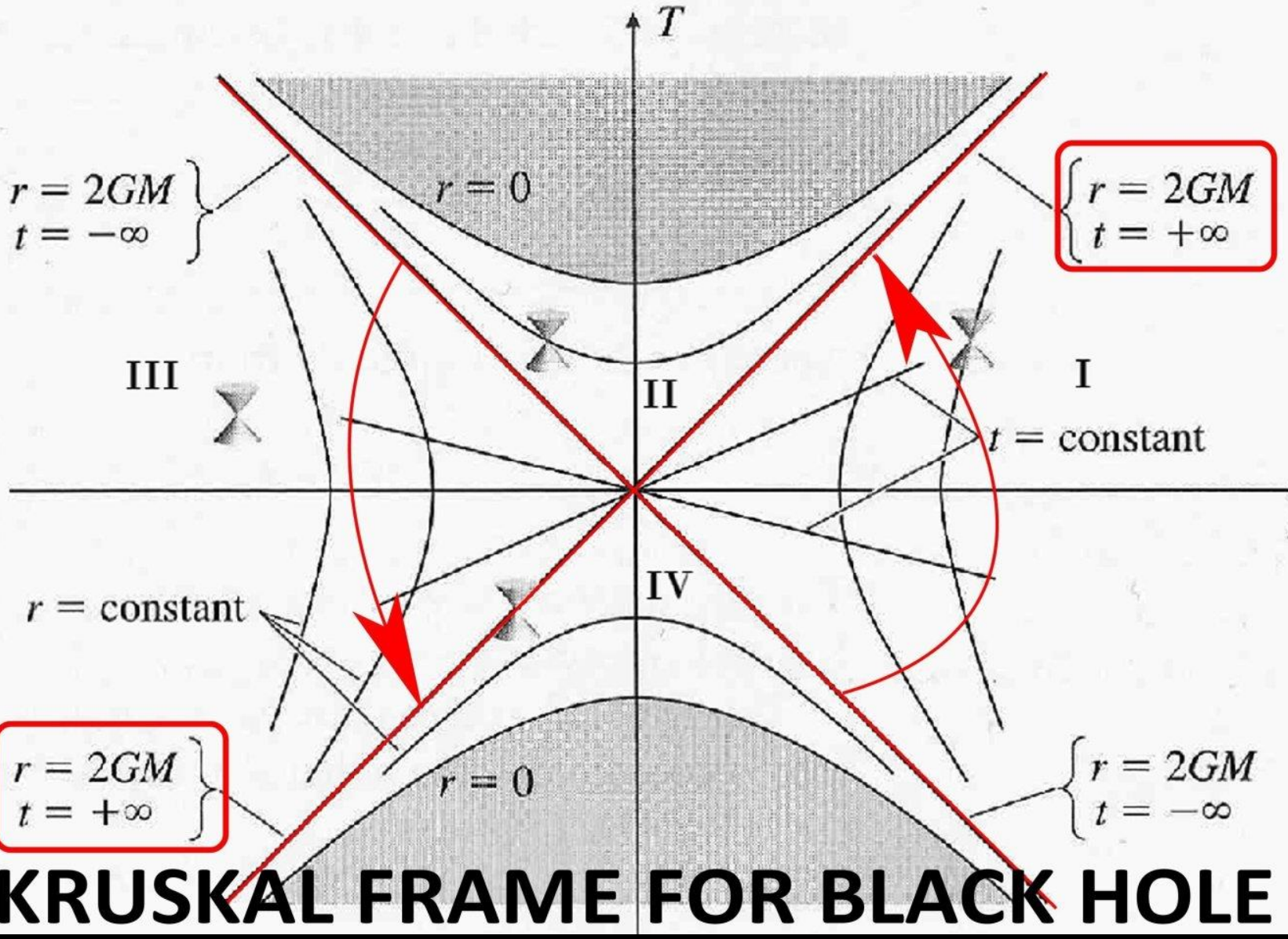

KRUSKAL FRAME FOR BLACK HOLE

We could have a problem with Kruskal: are +/- infinite lines topsy-turvy?
And the same for timelike lines?
A way to escape is identifying I and III regions but INVERTING their direction.
We get a Möbius strip of timelike regions.

IF we do the same for black hole regions II and IV, we get a projective plane.

But we also get a cyclic time, the price to pay for this frame. Consider you are in an AdS spacetime!

"Le désir, ce qui s'appelle le désir suffit à faire que la vie n'ait pas de sens à faire un lâche. Et quand la loi est vraiment là, le désir ne tient pas, mais c'est pour la raison que la loi et le désir refoulé sont une seule et même chose, c'est même ce que Freud a découvert."
(JL - Kant avec Sade)

La condition de Clifford,

ab + ba = 1.n, détruit l'algèbre de Lie à laquelle elle est ajoutée. Une algèbre de Lie ne peut donc décrire des particules relativistes. Une théorie de jauge en condition relativiste doit être décrite par un groupe de Clifford, servant peut-être bien de double recouvrement de celle de Lie.

GT

Pour construire une théorie des cordes à la Green-Schwartz, il faut disposer de fermions majorana et d'un target space lorentzien de dimension plutôt 9+1. On doit y ajouter les transformations supersymétriques. Il paraît possible de se débarrasser du target space si on remarque que le produit de deux transfos SUSY est une translation. La translation selon le temps doit pouvoir être remplacée par un produit SUSY.

Un fermion majorana n'a pas de charge : s'il en avait une, étant égal à son supersym, les deux charges s'annuleraient.

Il n'a pas de temps, puisqu'une antiparticule remonte le cours du temps.

Rien n'indique qu'il ait une parité…

De sorte qu'un fermion majorana est *Sakharov-blind*, si l'on entend par là que la conservation CPT de Sakharov ne l'affecte pas.

Il est donc par construction *matière/antimatière-blind*.

Il n'est donc sensible qu'à la transformation boson/fermion et devrait avoir un superpartenaire bosonique.

-Mais les bosons de la métrique sont le résultat du produit des transfos SUSY, et sont de masse nulle…

Un fermion majorana doit donc avoir une masse nulle…

On peut se demander si ces quelques remarques sont fausses ou délirantes. GT 2021 4 17

Soit un ensemble de vecteurs ou tenseurs tels que, pour deux d'entre eux:

$$ab := a.b + a \wedge b ,$$

somme du produit scalaire et du produit vectoriel.

Cette formule-clef de Hestenes définit l'algèbre de spacetime.

Les éléments de cette algèbre se nomment des *cliffords*.

teith gan willeith agwillon. Guỳdi da di- 1
ogan aditan kertozion. Nv nev nam guỳ.
guall.gan wỳlleith aguỳllon. Nv nev nach-
ỳscafe ergrinaf.wỳnragon. Vỳ argluit guen- 4
dolev am brozrỳv brodozion. Guỳdi pozthi heint
ahoed amcỳlch coed Keliton. Buỳf guaf guinwỳ-
dic. gan guledic gozchoztion. 7
Afallen pen blodev eſſplit. a tỳf igwerid ag-
hůd ỳguit. Diſgogan hwimleian hwet-
il adiwit. id lathennaur gan brid gur-
hid erwit. Rac dreigev arderchev. riev Rỳbit. Goz-
uit grat wehin din digrefit. Rac maban hvan
heolit arweit. Saeſſon ardiwreit beirt ar kin- 13
Afallen pen apren fion attif ỳ dan .it.
gel ỳg coed Keliton. Kid keiſſeer ofer vit
heruitỳ haton. inỳdel kadwaladir oe kinadil. 16
kadwaon. ỳ erir tỳwi a teiwi affon. a dỳuod.
grande o aranwinion. a guneuthur guar. o.
willt. o gwallt hirion. 19

This is the ONLY KNOWN PLACE where the name of "CALEDONIA" in Celt form is used. That name is the ONLY real name of "Picts"
GT 2021 6 1

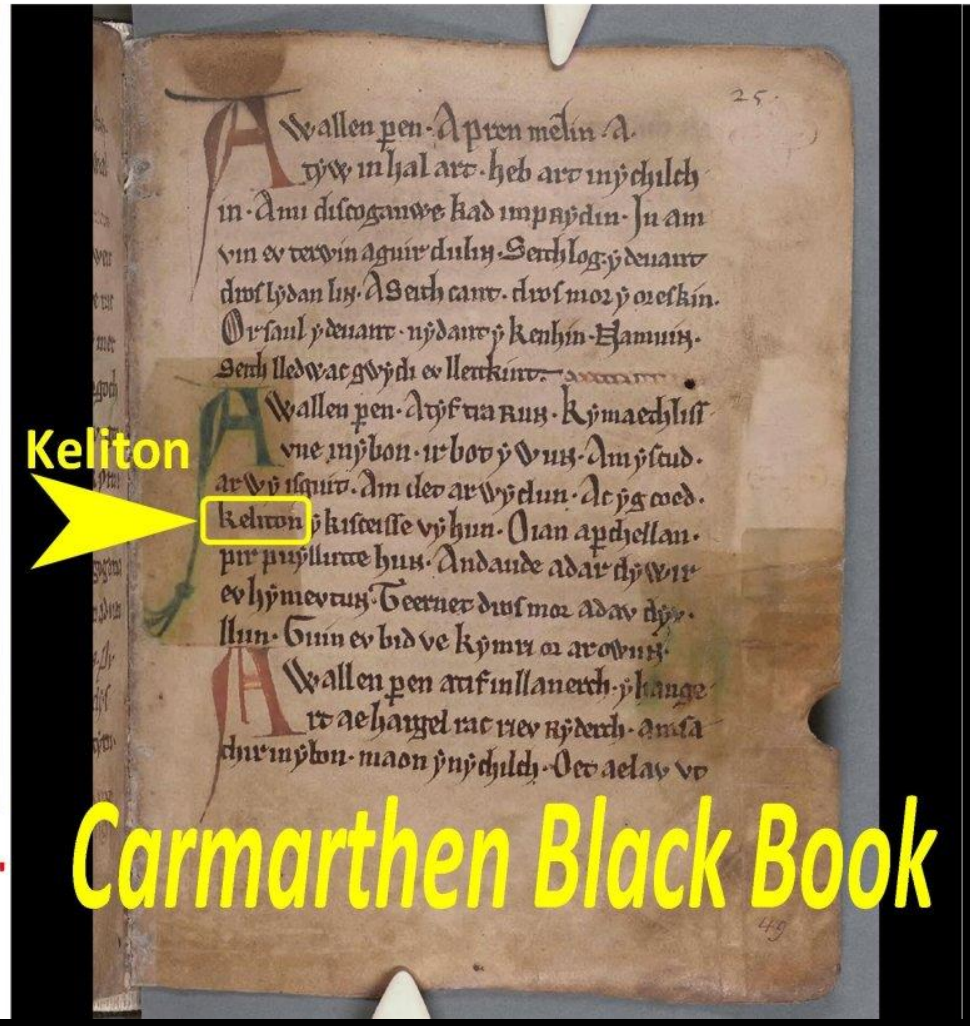

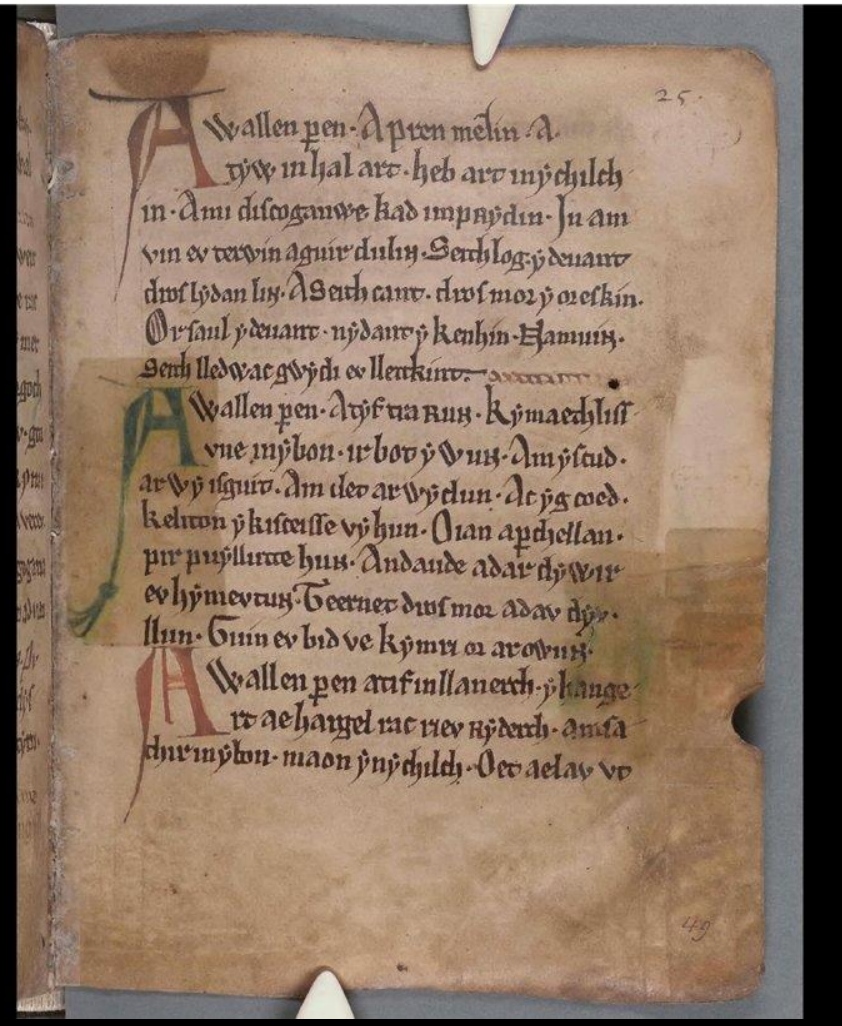

A votre avis, quelle serait l'image spéculaire d'un individu Sapiens Sapiens qui aurait la structure anatomique d'une étoile de mer ? Je me pose la question depuis 1966…
GT

Tain Bo Cualnge dans le cosmos
Les Cinq Royaumes
Procyon
Elnath
NO
Il est clair que le Forgeron est aussi Cuchulain
Bételgeuse
Le Forgeron, Cullan, Cualnge
Aldébaran
Taureau des gens d'Uladh, convoité par la reine des Cinq Royaumes, Medbh
Bellatrix
Alnilam
Sirius
Cu Chulain
Chien de Cullan
Rivière qui sépare Uladh des Cinq Royaumes:
Voie Lactée
Rigel
Wezen
Adhara
Uladh céleste: le royaume des Ancêtres
Terre, Paris, 42 m
FOV 70.9°
29.5 FPS
2021-04-09 02:22:37 UTC+02:00

In guise of Lakshmi, possibly Brigid, at the end of Dark Season. I also conjectured Mabd, but Brigid would be far more coherent.

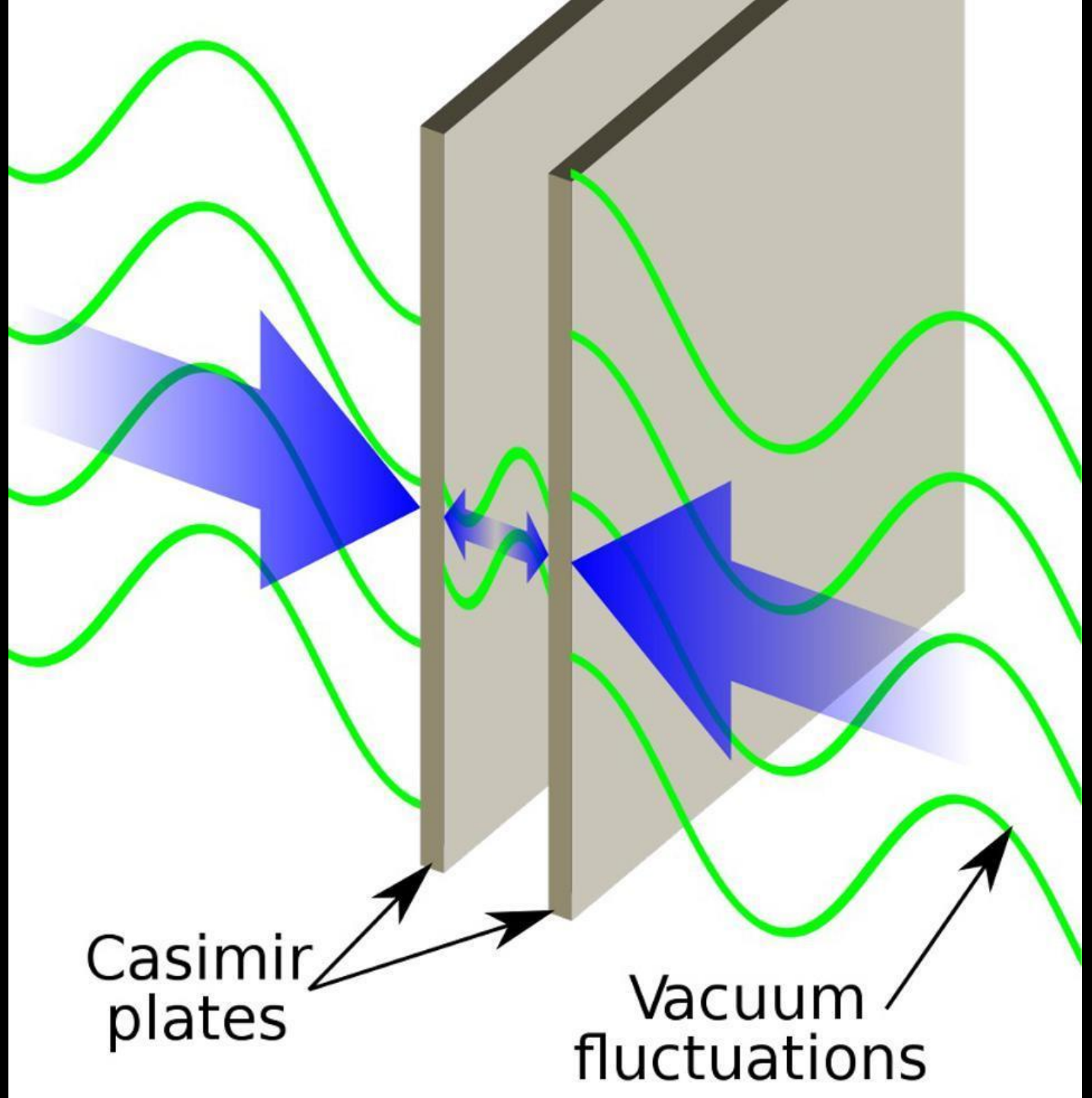
Casimir
plates
Vacuum
fluctuations

IN OUT-OF-VACUUM MINKOWSKI SPACETIME VACUUM IS SPACELIKE

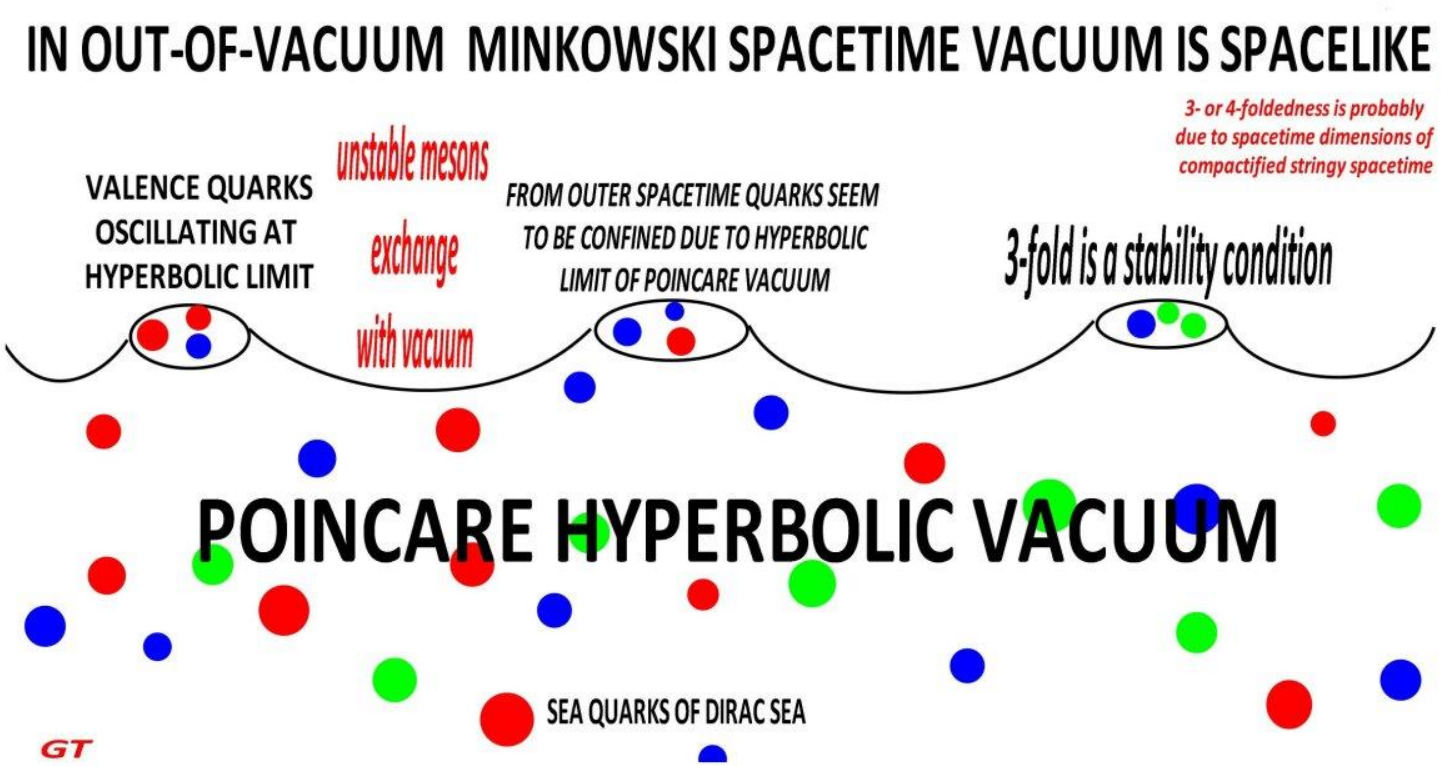

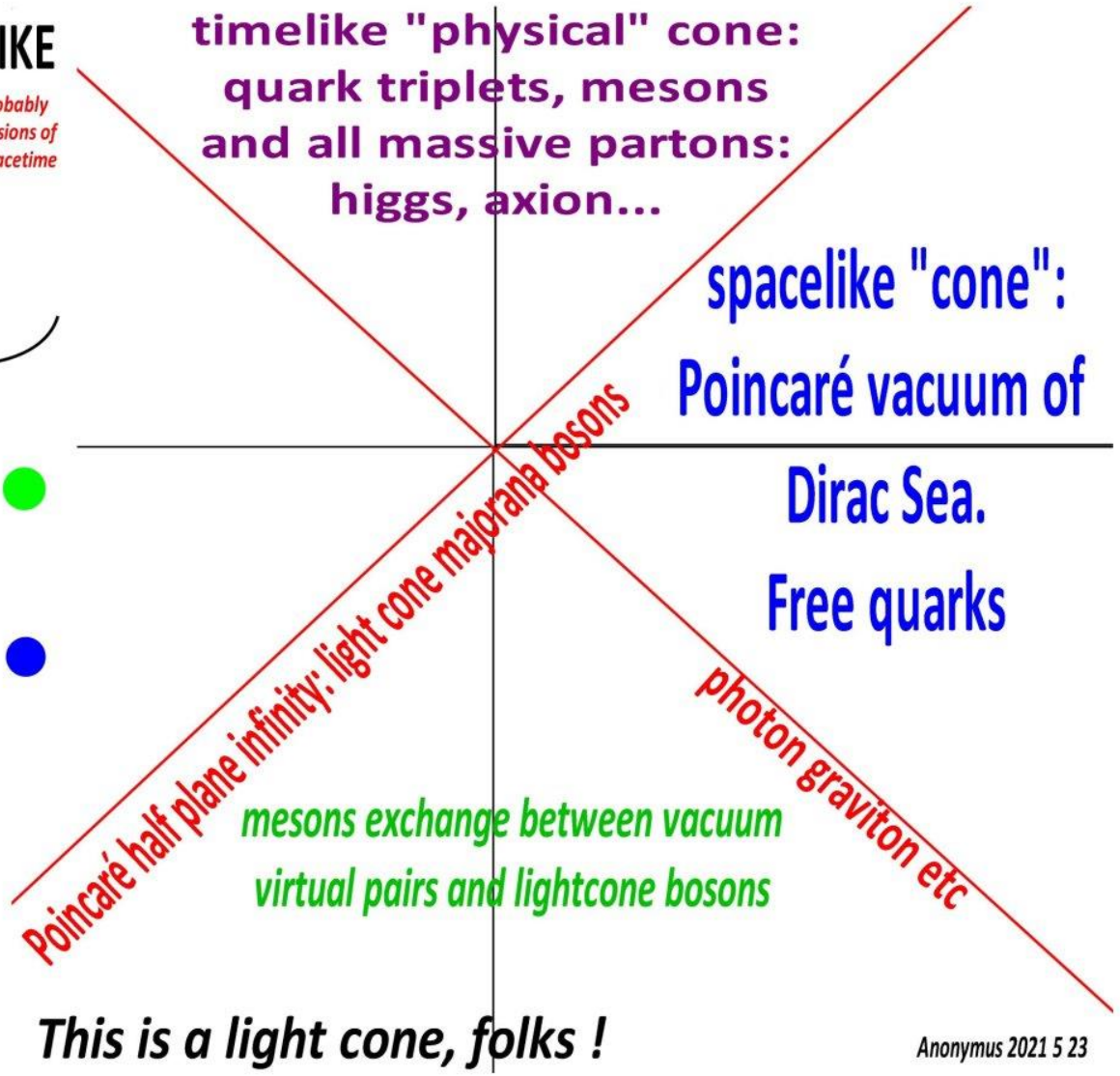

This is a light cone, folks !

Anonymus 2021 5 23

from: Davis, Lineweaver: Expanding confusion:
common misconceptions of cosmological horizons

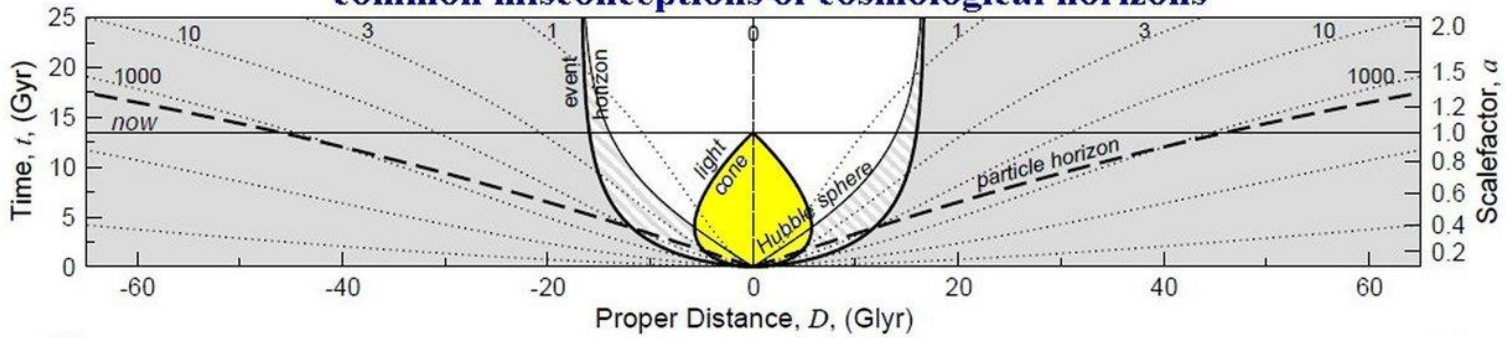

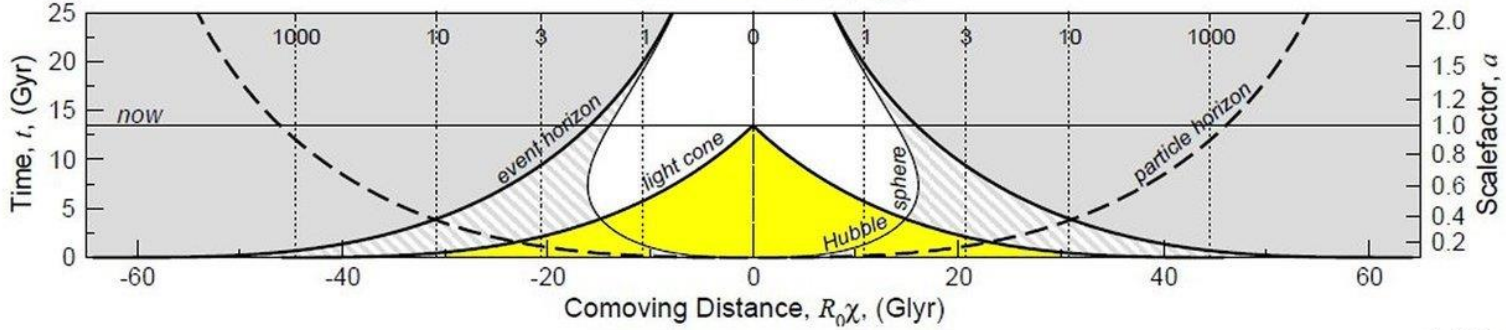

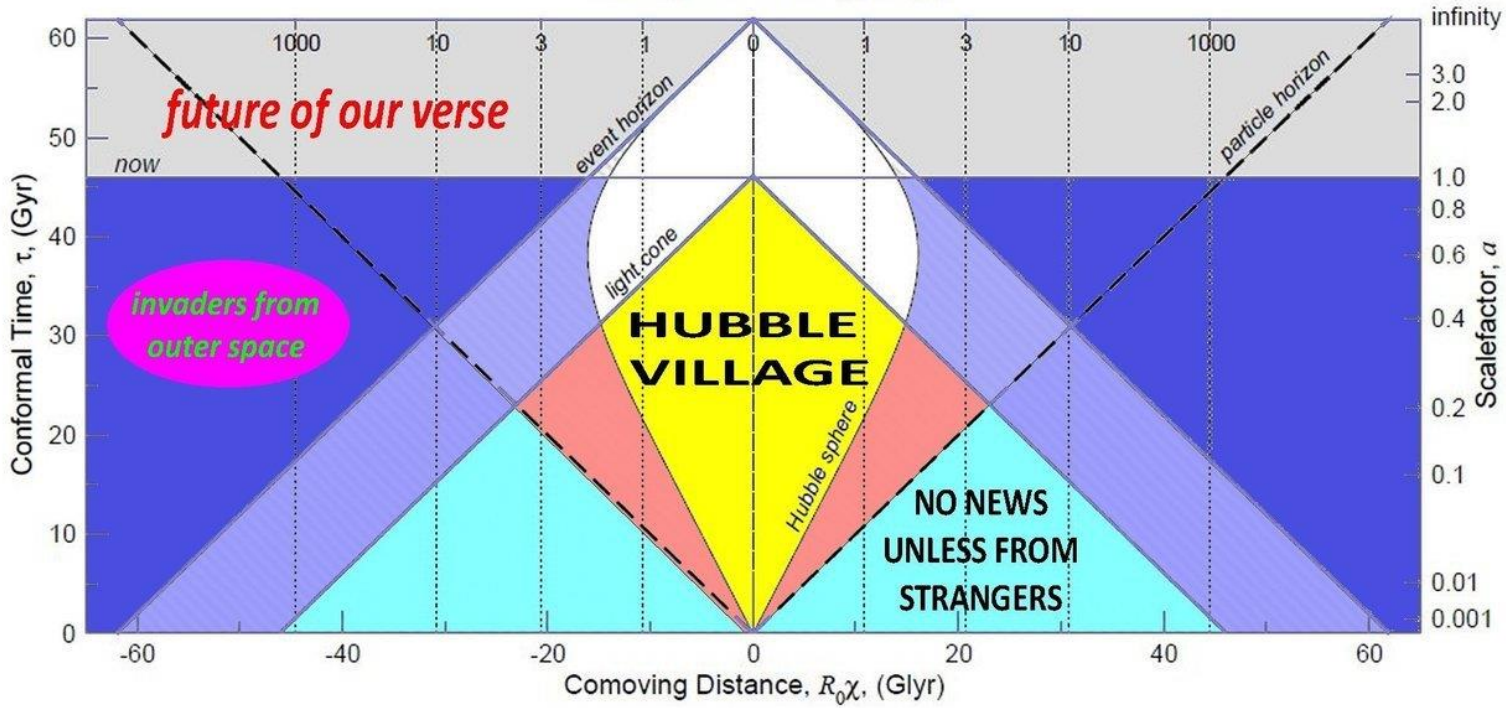

El proceso de la fecundación in vitro

1 Estimulación del ovario
Se suministra a la mujer gonadotropinas y análogos de GnRH o antagonistas del GnRH para aumentar el número de ovocitos.

2 Punción ovárica
Punción de los folículos, situados en el ovario, y la aspiración del contenido para obtener los óvulos.

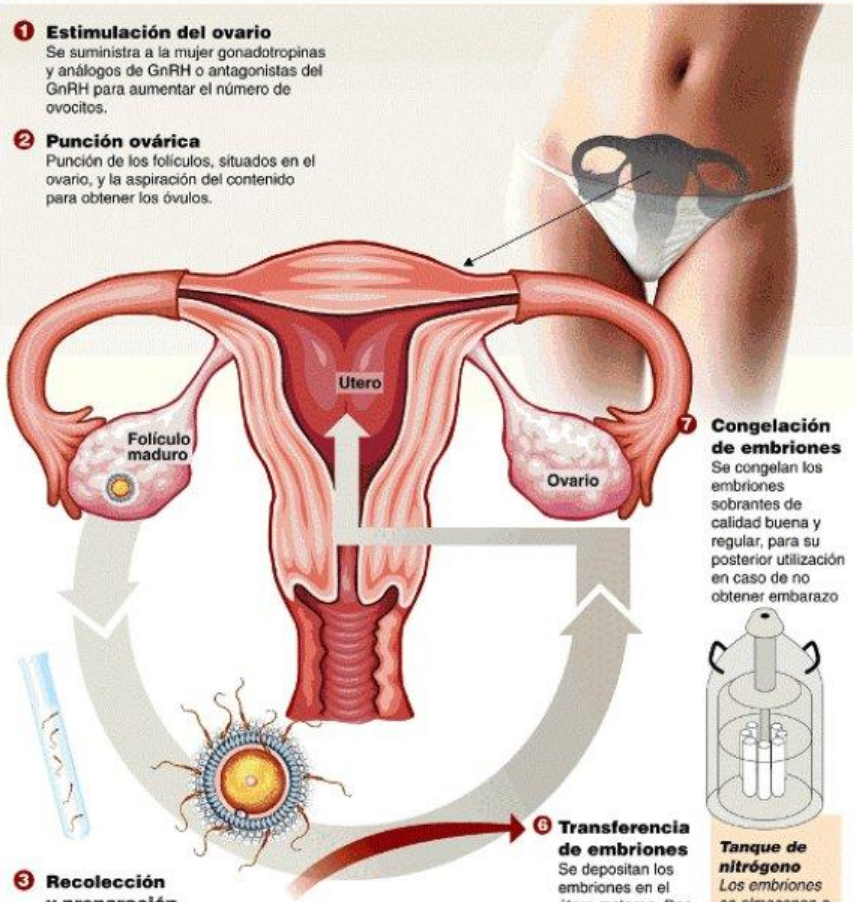

7 Congelación de embriones
Se congelan los embriones sobrantes de calidad buena y regular, para su posterior utilización en caso de no obtener embarazo

Tanque de nitrógeno
Los embriones se almacenan a una temperatura de 196º C bajo cero.

6 Transferencia de embriones
Se depositan los embriones en el útero materno. Dos semanas después se efectúa una prueba de embarazo

3 Recolección y preparación del semen
Se separan los espermatozoides de buena calidad del resto de la muestra.

4 Inseminación de los ovocitos
Se sitúan en la misma placa de cultivo los óvulos y los espermatozoides para que se produzca la fecundación.

5 Cultivo de embriones
El óvulo fertilizado se transforma en un embrión. Se observa la evolución de todos los embriones para seleccionar los mejores.

Embriones no válidos
Se dejan en cultivo, pero generalmente dejan de dividirse y no logran sobrevivir.

EVOLUCION DE LOS EMBRIONES

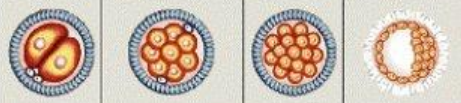

Día 2	Día 3	Días 4 y 5	Día 6
Cigoto. Tienen sus propios genes.	Están preparados para el consumo de glucosa en la cavidad uterina.	El embrión se ha divido en 100 células.	Está preparado para adherirse al útero de la mujer.

BOSONIC STRING THEORY
25+1 spacetime dimensions

E8 x E8 HET

McKay correspondance

D = 196 883

j-function coefficients

M = $V\natural$ x $II_{1,1}$

May be dubbed as "M26" for short

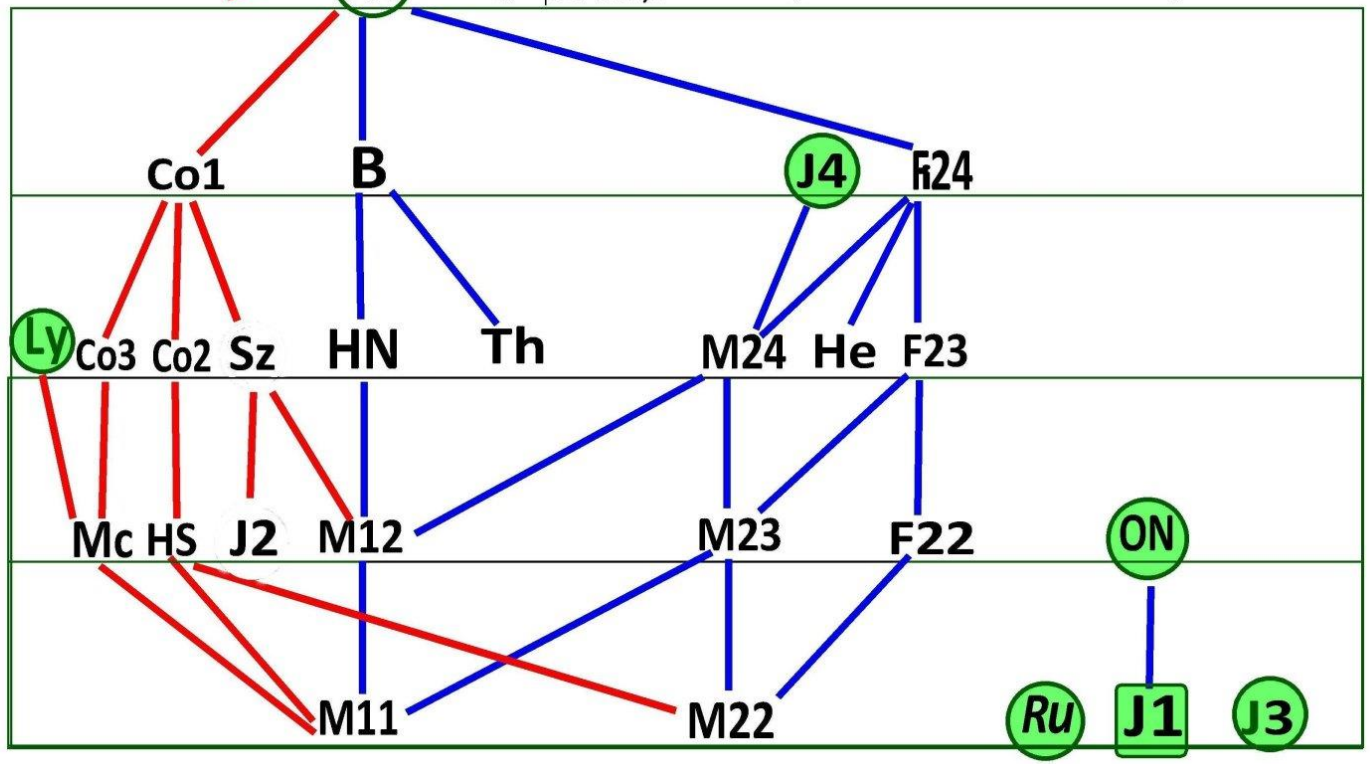

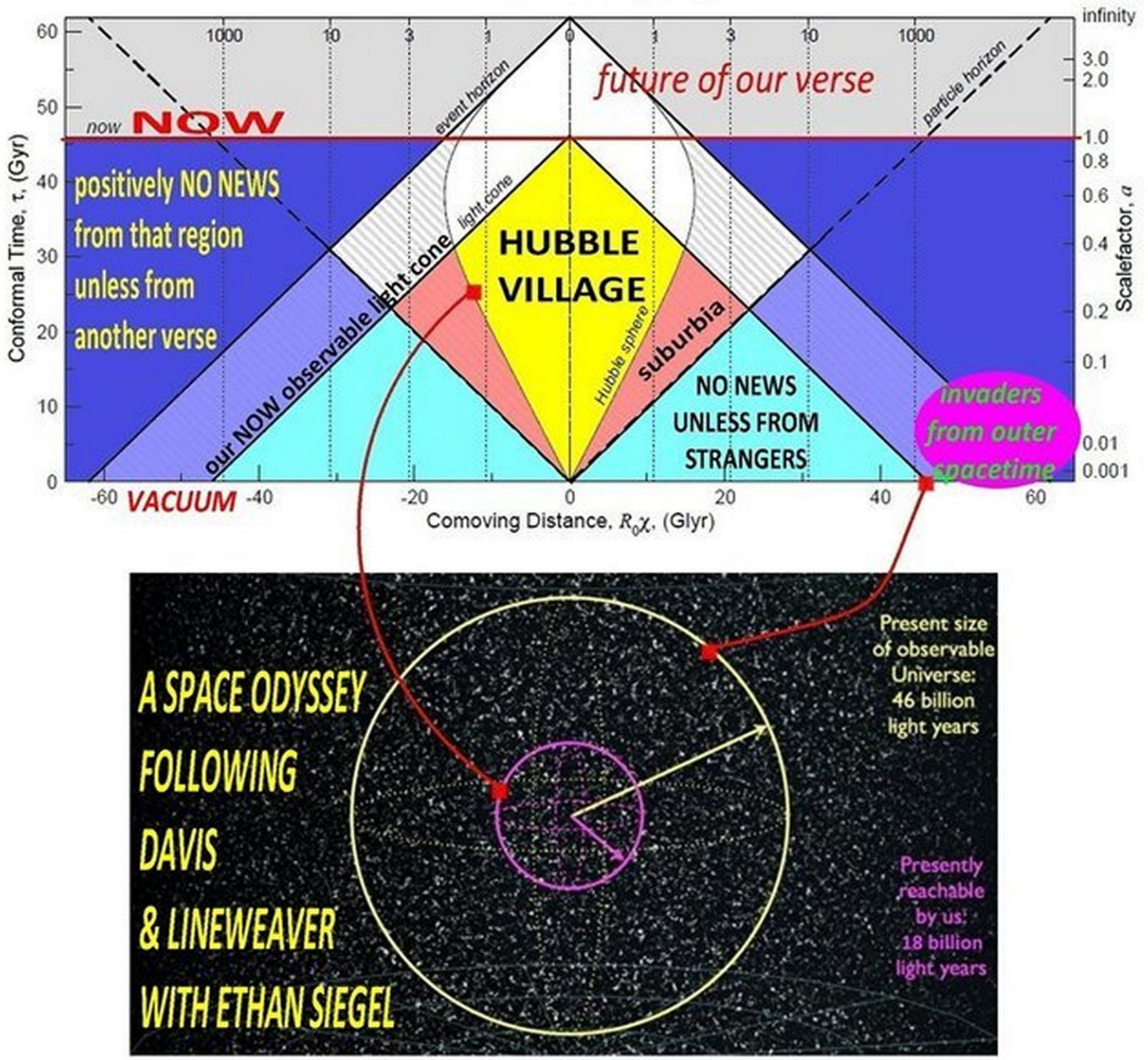
future of our verse
now NOW
positively NO NEWS
from that region
unless from
another verse
event horizon
particle horizon
light cone
our NOW observable light cone
HUBBLE
VILLAGE
Hubble sphere
suburbia
NO NEWS
UNLESS FROM
STRANGERS
invaders
from outer
spacetime
VACUUM
Conformal Time, τ, (Gyr)
Scalefactor, a
Comoving Distance, $R_0\chi$, (Glyr)
infinity
1000
10
3
1
0
A SPACE ODYSSEY
FOLLOWING
DAVIS
& LINEWEAVER
WITH ETHAN SIEGEL
Present size
of observable
Universe:
46 billion
light years
Presently
reachable
by us:
18 billion
light years

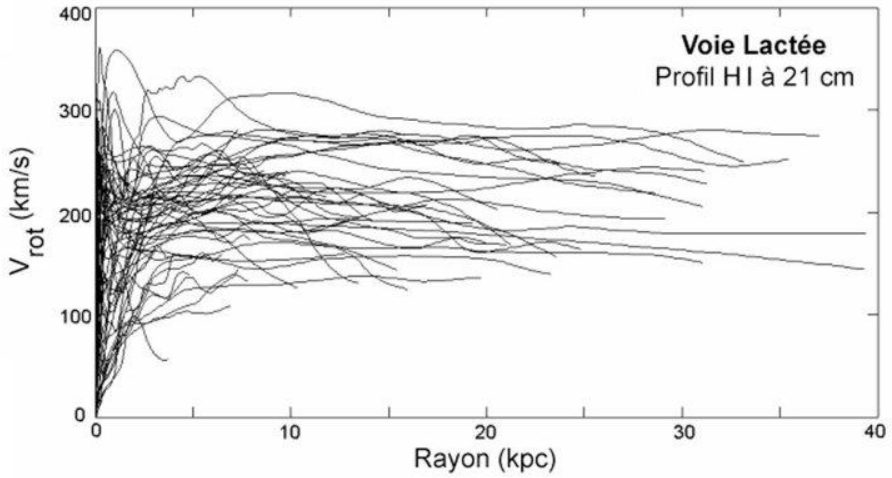

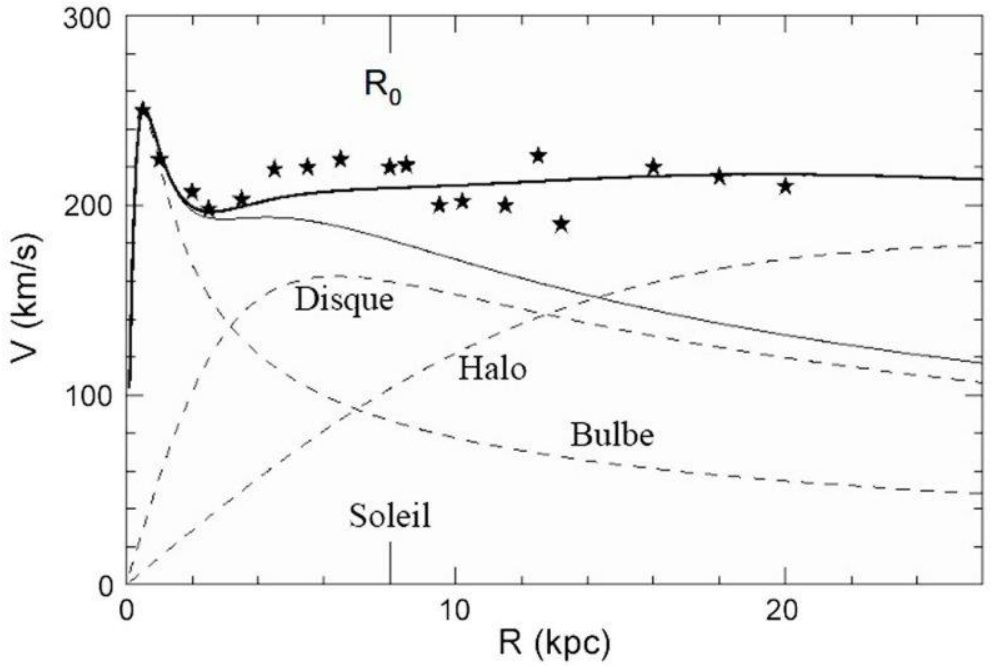

vitesse radiale dans une galaxie "à noyau"

courbe de freinage
par une force inconnue...

Ici, Dieu se décide à réagir pour sauver sa galaxie...

contrecoup
science-fictif
inobservable

rotation "en roue de vélo"
au lieu de la relation newtonienne
au carré et de l'expulsion inertielle
des étoiles

augmentation linéaire-
mystère des vitesses

pourquoi la "roue de vélo"
n'existe-t-elle pas dans les galaxies
sans noyau ?

A moins de supposer que Dieu a envoyé son Esprit Saint pour contrarier terme à terme le conflit entre inertie et gravitation, on ne voit pas comment la courbe des vitesses pourrait être "plate"...

On ne voit pas non plus comment la "matière noire" pourrait savoir qu'elle doit corriger le problème terme à terme ?

GT 2021 3 4

Considérons une courbe elliptique. Identifions ses deux extrémités à l'infini. Nous obtenons une courbe fermée que nous pouvons projeter sur un tore : elle définit une courbe de coordonnées isothermes sur le tore. Toutes les courbes elliptiques constituent l'ensemble des coordonnées isothermes du tore. Selon la conjecture de Shimura-Tanyama-Weil, il doit donc exister une bijection entre ces courbes du tore et les formes modulaires définies sur une autre variété. Celle qui paraît la plus évidente est le demi-plan de Poincaré. Il doit donc exister une bijection entre les courbes elliptiques sur le tore et les formes modulaires sur le tore. Vous savez où cela mène ! GT

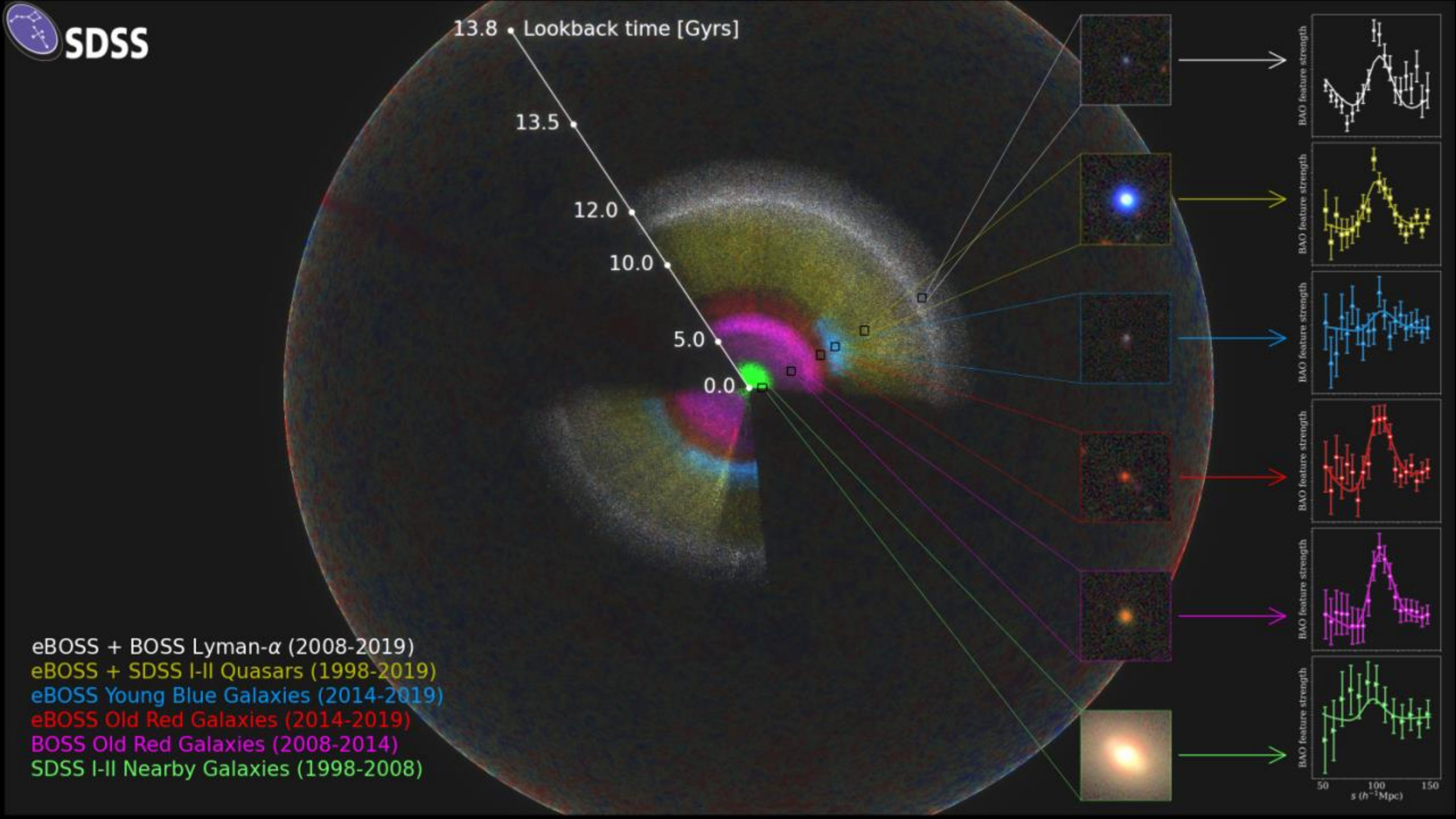
SDSS
13.8
Lookback time [Gyrs]
13.5
12.0
10.0
5.0
0.0
BAO feature strength
BAO feature strength
BAO feature strength
BAO feature strength
BAO feature strength
BAO feature strength
50
100
150
s (h⁻¹Mpc)
eBOSS + BOSS Lyman-α (2008-2019)
eBOSS + SDSS I-II Quasars (1998-2019)
eBOSS Young Blue Galaxies (2014-2019)
eBOSS Old Red Galaxies (2014-2019)
BOSS Old Red Galaxies (2008-2014)
SDSS I-II Nearby Galaxies (1998-2008)

Un des aspects déroutants de la GR est les signes (-) qui se promènent partout dans les équations. La racine du problème tient à l'espace-temps de Minkowski. La distance doit y être remplacée par l'intervalle, qui est défini par :

$I^2 = -dt^2 + dx^2 + dy^2 + dz^2$, puisque cet espace est lorentzien.

Comme, pour qu'un intervalle soit à l'intérieur du cône de lumière, il faut que $dt^2 > \text{sigma}(dx_i)^2$, l'intervalle *timelike* a un signe négatif ! C'est ce signe que l'on traîne partout lorsqu'on doit extraire la racine carrée de l'intervalle… GT 2021 3 9

Face à la hausse des prix et des profits...

LES SALAIRES EN CHUTE LIBRE

Toute liberté aux prix et aux profits ... mais police des salaires !

2 520 € NET EN MOYENNE

- Les salariés du secteur privé gagnent en moyenne 2 520 € net par mois (pour un volume de travail correspondant à un temps complet).

. 4 330 € net pour un cadre
. 1 800 € net pour les employés
. 1 860 € net pour les ouvriers.

L'ÉCART ENTRE LES HAUTS ET LES BAS SALAIRES ?

Moins de 2 000 € net par mois - En 2020, la moitié des salariés du secteur privé perçoivent moins de 2 000 € net par mois en équivalent temps plein.

Moins de 1 340 € net - 1 salarié sur 10 gagne moins de 1 340 € net

1 219 € net - le Smic mensuel net s'établit à 1 219 €.

Plus de 4 030 € - un salarié sur dix perçoit plus de 4 030 €.

LES ÉCARTS ENTRE LES FEMMES ET LES HOMMES

25,7% - Dans le secteur privé, les femmes perçoivent en moyenne un revenu salarial inférieur de 25,7 % à celui des hommes.

L'INFLATION NOUS VOLE NOS VIES, COMPROMET L'ACCÈS AUX SOINS, AUX VACANCES, À UNE ALIMENTATION DE QUALITÉ.

L'inflation gonfle les profits ...

LES 42 MILLIARDAIRES FRANÇAIS ONT AUGMENTÉ LEUR FORTUNE DE 58% EN 2 ANS

De 64 à 97 - Ces 10 dernières années, l'écart de rémunération entre le salaire moyen des dirigeant.e.s et celui de leurs salarié.e.s est passé de 64 à 97.

- 10 points - la part des richesses, créées dans les 100 plus grandes entreprises françaises cotées en bourse, qui est allouée aux travailleur.euse.s a baissé de 10 points depuis 2009.

62 milliards, soit l'équivalent d'un chèque moyen de 8 914 € par salarié.e.
- Ce sont plus de 62 milliards € qui auraient été alloués aux salarié.e.s en 2021 si la même répartition de la valeur ajoutée de 2009 était appliquée **= l'équivalent d'un chèque moyen de 8 914 euros par salarié.e.**

+ 66 % - les PDG des 100 plus grandes entreprises ont augmenté leur rémunération de 66 %, **leurs salarié.e.s de 21 %**, tandis que **le SMIC n'a augmenté que de 14 %.**
Pour le CAC 40, les PDG ont augmenté leur rémunération de 90 %, leurs salarié.e.s uniquement de 23 %.

CONTRE L'INFLATION
. Indexation des salaires sur la hausse des prix

POUR UN TRAVAIL QUI PERMETTE DE VIVRE
. Égalité des salaires entre femmes et hommes
. Augmentation générale des salaires

POUR ARRÊTER LE VOL DE LA VALEUR CRÉÉE
. Priorité aux salaires, pas aux actionnaires

IN OUT-OF-VACUUM MINKOWSKI SPACETIME VACUUM IS SPACELIKE

3- or 4-foldedness is probably due to spacetime dimensions of compactified stringy spacetime

VALENCE QUARKS OSCILLATING AT HYPERBOLIC LIMIT

unstable mesons exchange with vacuum

FROM OUTER SPACETIME QUARKS SEEM TO BE CONFINED DUE TO HYPERBOLIC LIMIT OF POINCARE VACUUM

3-fold is a stability condition

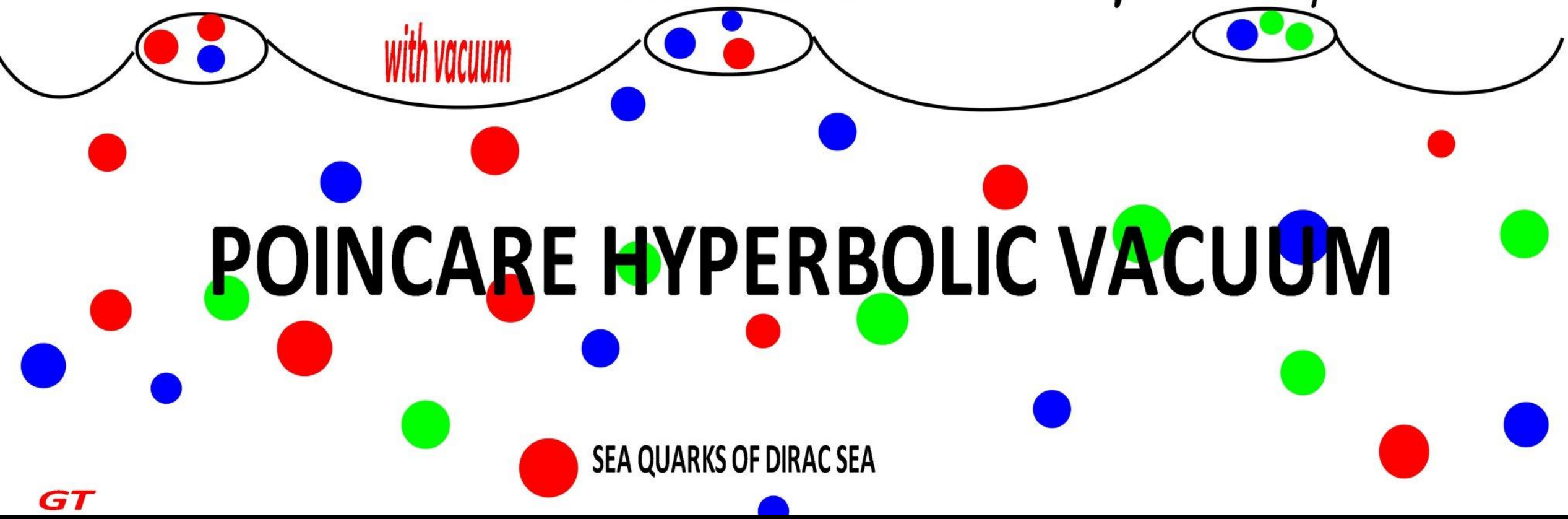

POINCARE HYPERBOLIC VACUUM

SEA QUARKS OF DIRAC SEA

GT

	d	s	b	Y
u	**1**	1/10	1/1000	1/10 000
c	1/10	**1**	1/100	**?**
t	1/1000	1/100	**1**	1/1000
Z	1/10 000	**?**	1/1000	**1**

CKM matrix probability interactions between quarks

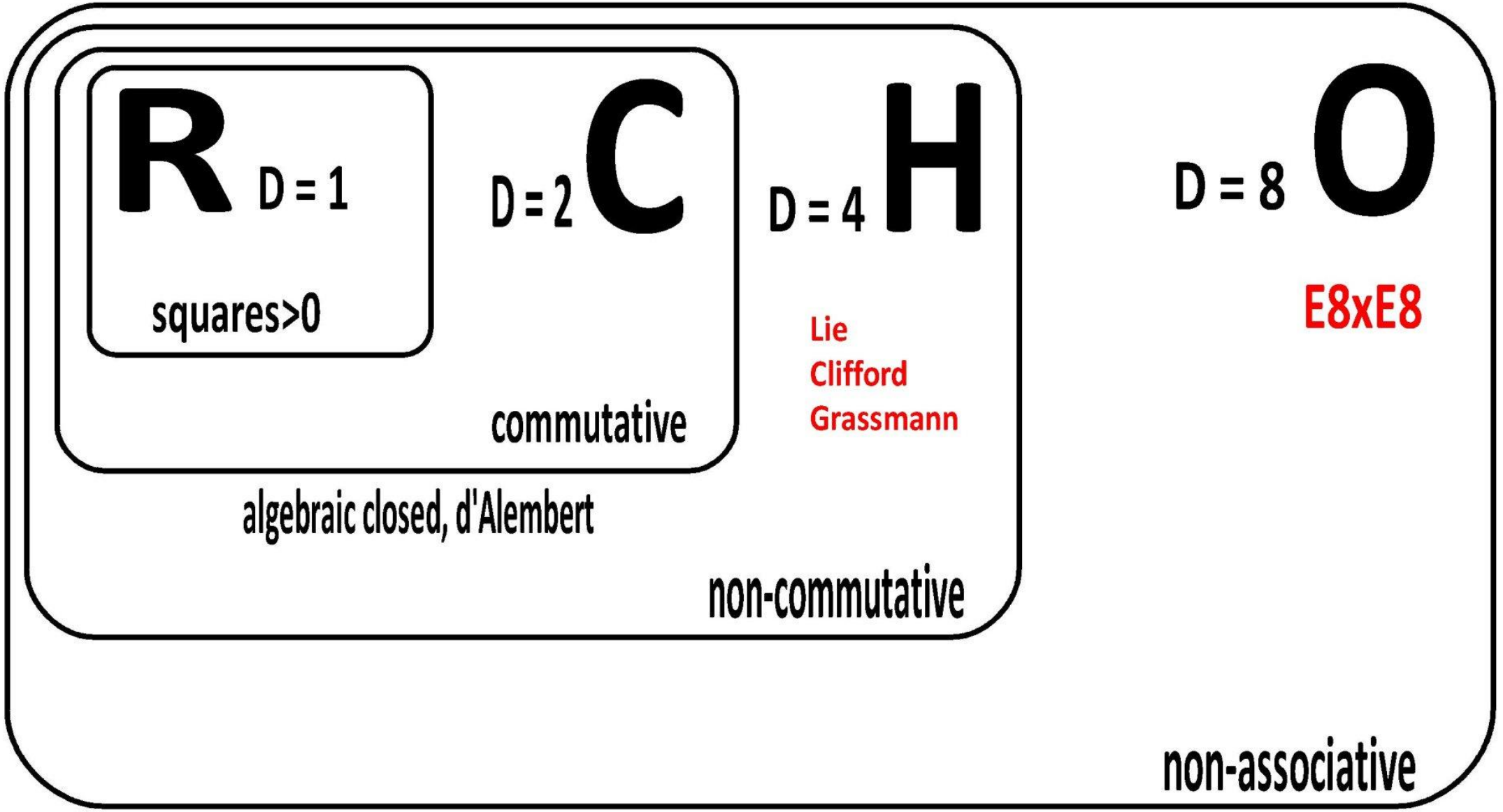

division algebras, Steinitz

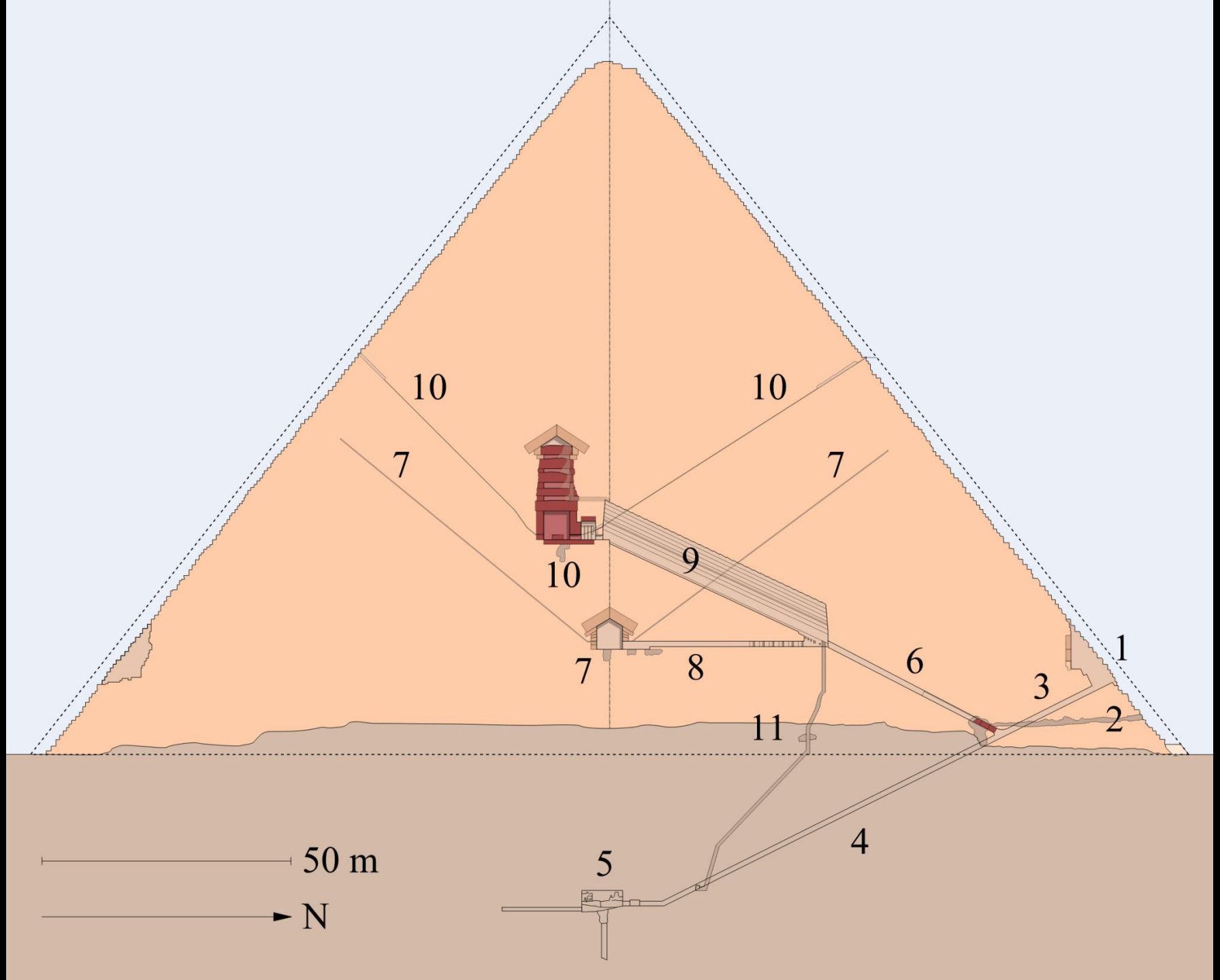
10
10
7
7
10
9
7
8
6
1
3
2
11
4
5
50 m
N

Un **instanton** peut provoquer une brisure de symétrie (Hawking & Pope).

Cette brisure peut être considérée comme une acquisition de masse (Veneziano & Witten).

MON JOY:

latin Gaudium, neutre,

donc masculin en Français:

"MON JOY SAINT DENIS"

A new ps-goldstone : massive axion Di Vecchia

absent thanks to an exact classical symmetry (the chiral rotation of the massless quark) which allows to rotate θ away.

The Peccei-Quinn (PQ) solution of the strong-CP problem uses a similar mechanism, but is based on extending QCD to include, in the matter sector, some new degrees of freedom. The essential property of the PQ model is that such an extension should provide a new classically exact, but anomalous and spontaneously broken, $U(1)_{PQ}$ symmetry.

The low-energy effective action of such a theory will have to contain, besides the usual QCD degrees of freedom, an extra would-be Goldstone boson related to the spontaneously broken $U(1)_{PQ}$ symmetry. If we denote by a_{PQ} the coefficient of the $U(1)_{PQ}$ anomaly and by F_α the scale of its spontaneous breaking (the analog of F_π), we can easily write down an effective action that incorporates all the relevant (anomalous and non-anomalous) Ward identities. It consists of adding a couple of terms to the effective Lagrangian of Eq. (15) to give:

$$L = \frac{1}{2}Tr(\partial_\mu U \partial_\mu U^\dagger) + \frac{1}{2}Tr(\partial_\mu N \partial_\mu N^\dagger) + \frac{F_\pi}{2\sqrt{2}}Tr\left(M(U+U^\dagger)\right)\frac{q^2}{aF_\pi^2} - \theta q +$$

$$+\frac{i}{2}q(x)\left(Tr(\log U - \log U^\dagger) + a_{PQ}(\log N - \log N^\dagger)\right) \tag{68}$$

where U

$$U(x) = \frac{F_\pi}{\sqrt{2}}e^{i\sqrt{2}\Phi(x)/F_\pi} \quad ; \quad N(x) = \frac{F_\alpha}{\sqrt{2}}e^{i\sqrt{2}\alpha(x)/F_\alpha} \tag{69}$$

Notice that, following our assumptions, the only term that breaks $U(1)_{PQ}$ is the one related to the anomaly.

Under the axial $U(1)$ and the additional $U(1)_{PQ}$ defined by:

$$U \to e^{i\beta}U \quad ; \quad N \to e^{i\gamma}N\,, \tag{70}$$

the effective Lagrangian transforms as follows:

$$\delta L = -\left(N_f\beta + a_{PQ}\gamma\right)q(x) \tag{71}$$

It is invariant if we choose $N_f\beta + a_{PQ}\gamma = 0$. This is an anomaly-free $U(1)$ subgroup, whose spontaneous and explicit breaking (by quark masses) implies a new, presudo-Goldstone boson, the (Peccei-Quinn-Weinberg-Wilczek) axion.

Proceeding as in the previous sections ($< U_{ij} >= e^{-i\phi_i}\delta_{ij}F_\pi/\sqrt{2}$ and $< N >= e^{-\phi}F_\alpha/\sqrt{2}$), we have to minimize the energy given by:

L'attaque de Pearl Harbor est un coup monté par Roosevelt pour provoquer le plus con des amiraux japonais à attaquer l'île.

Sça a parfaitement marché.

Grâce à cela, Roosevelt a réussi à faire basculer l'opinion américaine en faveur de la guerre avec l'Allemagne, ce qui n'aurait jamais marché sinon.

Les morts par overdose aux États-Unis

Taux de mortalité annuel, par type d'opiacés

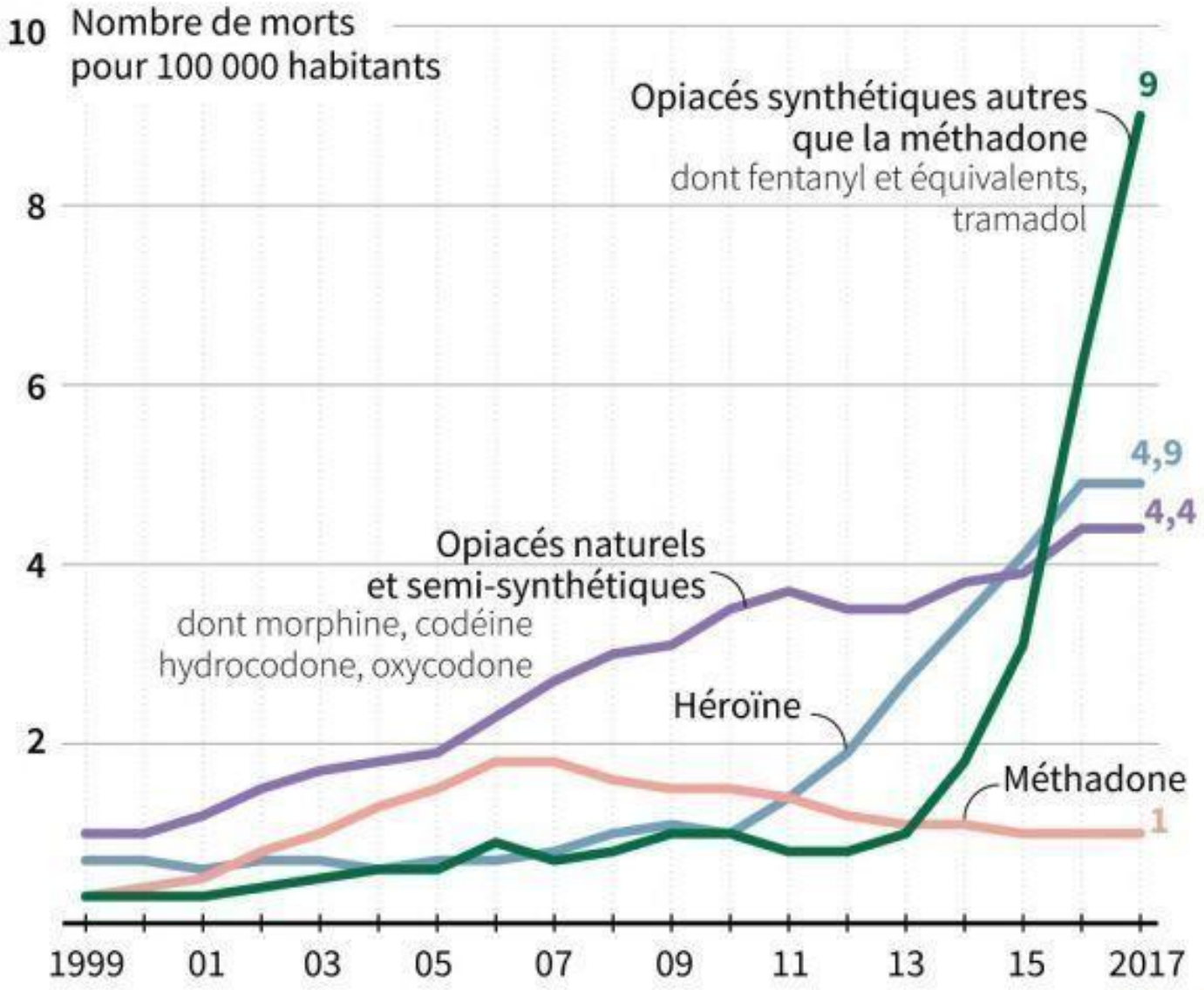

Source : CDC National Center for Health Statistics

© AFP

Suspects in the 60 deadliest mass shootings of 2022

All mass shootings with 3 or more fatalities

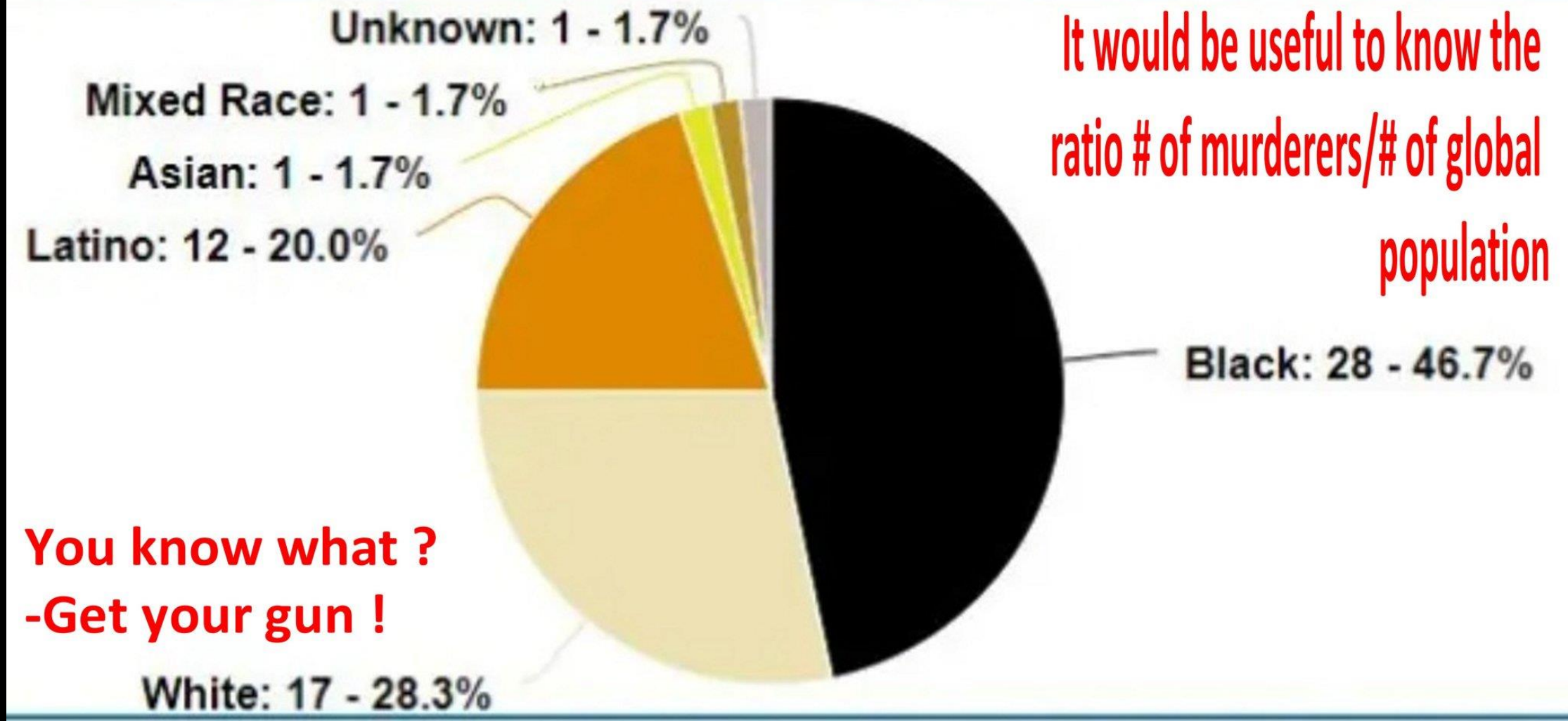

It would be useful to know the ratio # of murderers/# of global population

You know what ?

-Get your gun !

PROJET DE RÉNOVATION À SAINT-DENIS

1 Raser la Franciade

2 Laisser la basilique au centre de l'Île

3 Planter une forêt autour en laissant un chemin forestier pour aller à la basilique.

GT 2021, Samhain

Extrait de A. Danjon:
Les conjonctions inférieures de la planète Vénus

Ce schéma s'exprime en termes de conjonction Terre-Vénus. Le résultat est bien sûr le même qu'en termes de rétrogradations, lesquelles dépendent de l'observateur terrestre.

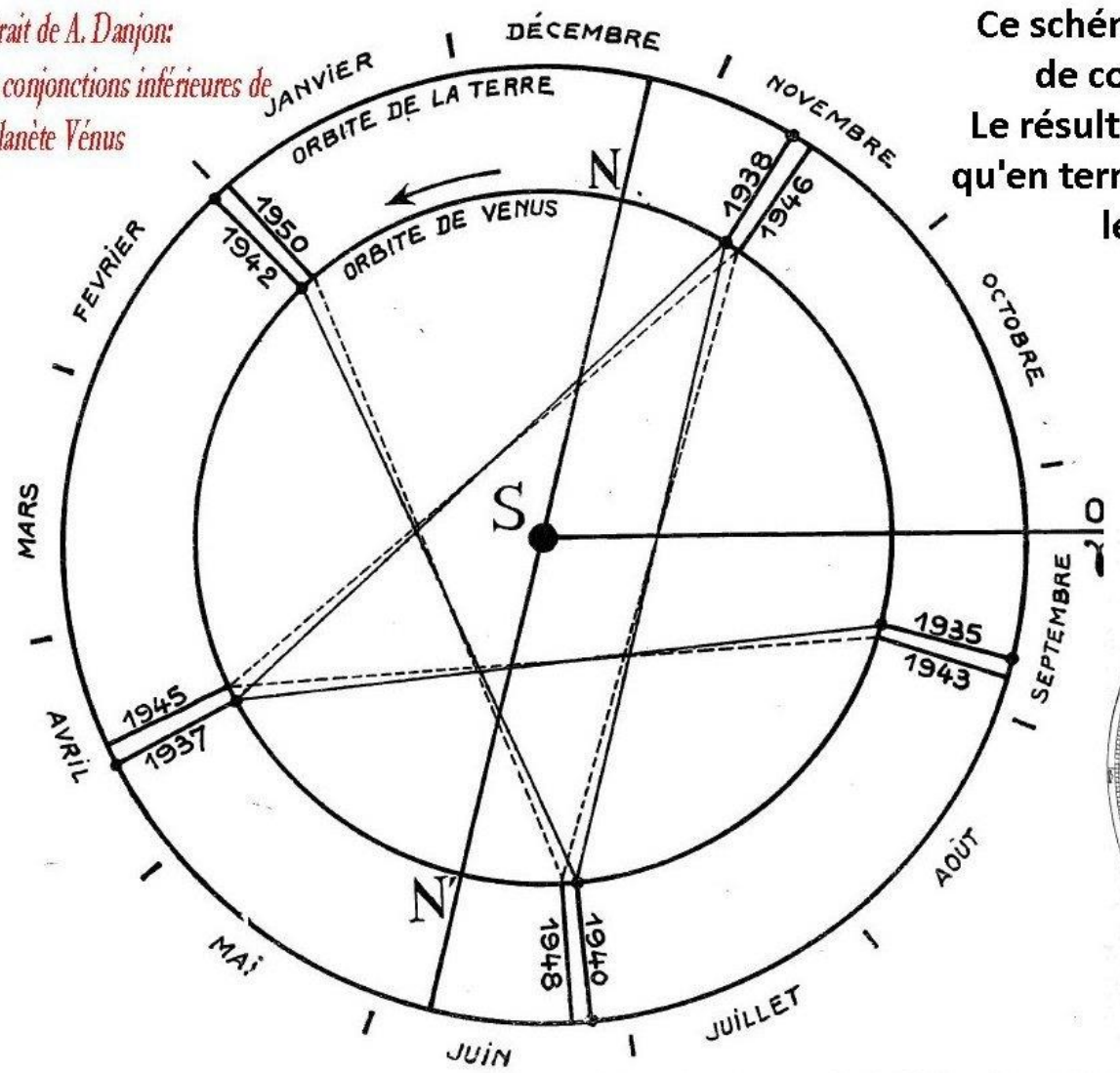

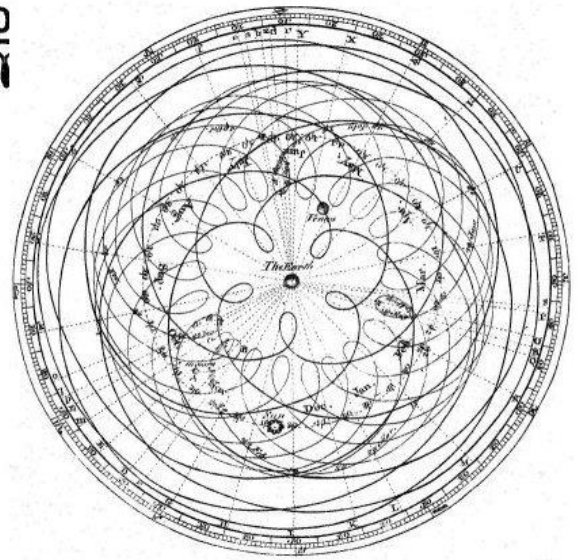

Fig. 108. — La Terre et Vénus parcourent leurs orbites dans le sens de la flèche. Le pentagone reliant les conjonctions inférieures d'un cycle de 8 ans rétrograde lentement. On a tracé deux de ses positions successives. Les passages de 1874-1882 se sont produits près du nœud N, ceux de 2004-2012 surviendront près du nœud N'.

L'octaëteris de Vénus, ses rétrogradations dans le ciel, au nombre de 5 tous les 8 ans, cycle presque parfait, est à l'origine du Nombre d'Or, proche de 8/5 ou 5/8. GT

The United States is not a democracy

IT IS A REPUBLIC

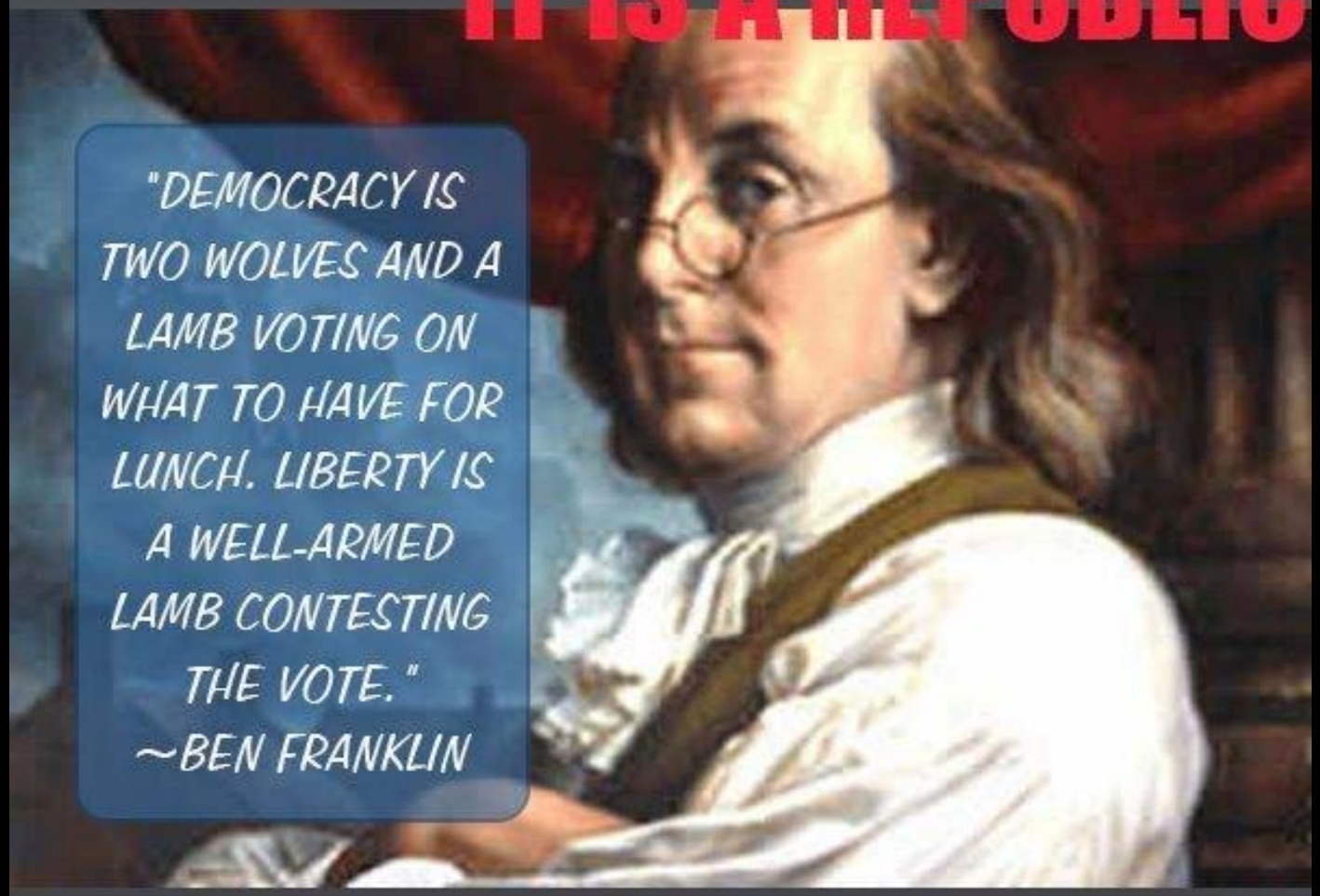

IN A DEMOCRACY THE **MAJORITY RULES**

IN A REPUBLIC THE INDIVIDUAL IS PROTECTED FROM THE MAJORITY.

TURISTA = MIERDA!

VIVA EL CORONA !

UNE VISITE FAIT TOUJOURS PLAISIR

Gérôme Taillandier

Psychanalyste à la retraite, sujet ce soir à une crise d'angoisse devant la vastitude du néant de ma vie, je me rappelle à nouveau la phrase de Guitry, qui résumerait assez bien la mienne : « Une visite fait toujours plaisir, et si ce n'est pas quand on arrive, c'est du moins quand on s'en va. »

J'ai toujours été en visite, n'ayant rien à faire là.

Il y a beau temps que dans mon travail d'analyste, j'ai constaté que la vie d'un sujet à l'inconscient se résumait en une seule phrase, généralement prononcée par une femme, la mère le plus souvent, et qui dit à l'enfant exactement ce qu'elle pense de lui :

-N'importe comment tu n'es qu'un vaurien,

-Mon pauvre garçon tu seras toujours aussi maladroit,

-Tu ne feras jamais rien d'autre,

J'en passe…

Longtemps, --je ne me suis pas couché de bonheur, mais je me suis demandé quelle était ma phrase-qui-tue ?

Peu à peu, a émergé un souvenir ancien.

Je téléphone à une femme plus ou moins psychanalyste, à la demande d'une autre, pour lui annoncer une nouvelle.

Je n'ai pas cette femme au bout du fil, mai son mari, qui l'appelle.

De loin, elle lui demande, entendant mon nom :

« Qu'est-ce qu'il veut encore, celui-là ? »

Je suis resté très calme.

Puis les années passant, il m'apparaît que cette femme a trouvé pile-poil ma phrase-qui-tue :

« Qu'est-ce qu'il veut encore, celui-là ? »

On n'imagine pas la satisfaction d'avoir enfin trouvé son mot de passe pour l'enfer.

Bientôt la quille !

Visite à la maison de notre nouvelle femme de ménage.

Je me présente à elle, et lui dis : « Je suis le mari de Madame. »

Réponse sans le moindre sourire : « Et qui d'autre sinon ? »

Une demi-heure plus tard, elle déclenche une crise de manque diabétique, son mari vient la chercher…

2023 12 19

1 14 9

J'arrive chez moi, lycée poubelle où les élèves se font un plaisir de monter par la porte interdite, avec la complicité des conducteurs. Ils m'ont déjà jeté par terre. Arrive en courant une très jolie fille du lycée, vêtue et apprêtée de manière impensable vu l'endroit. Je m'efface un peu pour la laisser passer, et montre du geste de la main et un salut du buste que je lui offre le chemin. J'entends dans mon dos:" Merci Monsieur! Vous êtes gentil! "

Raboum !!!

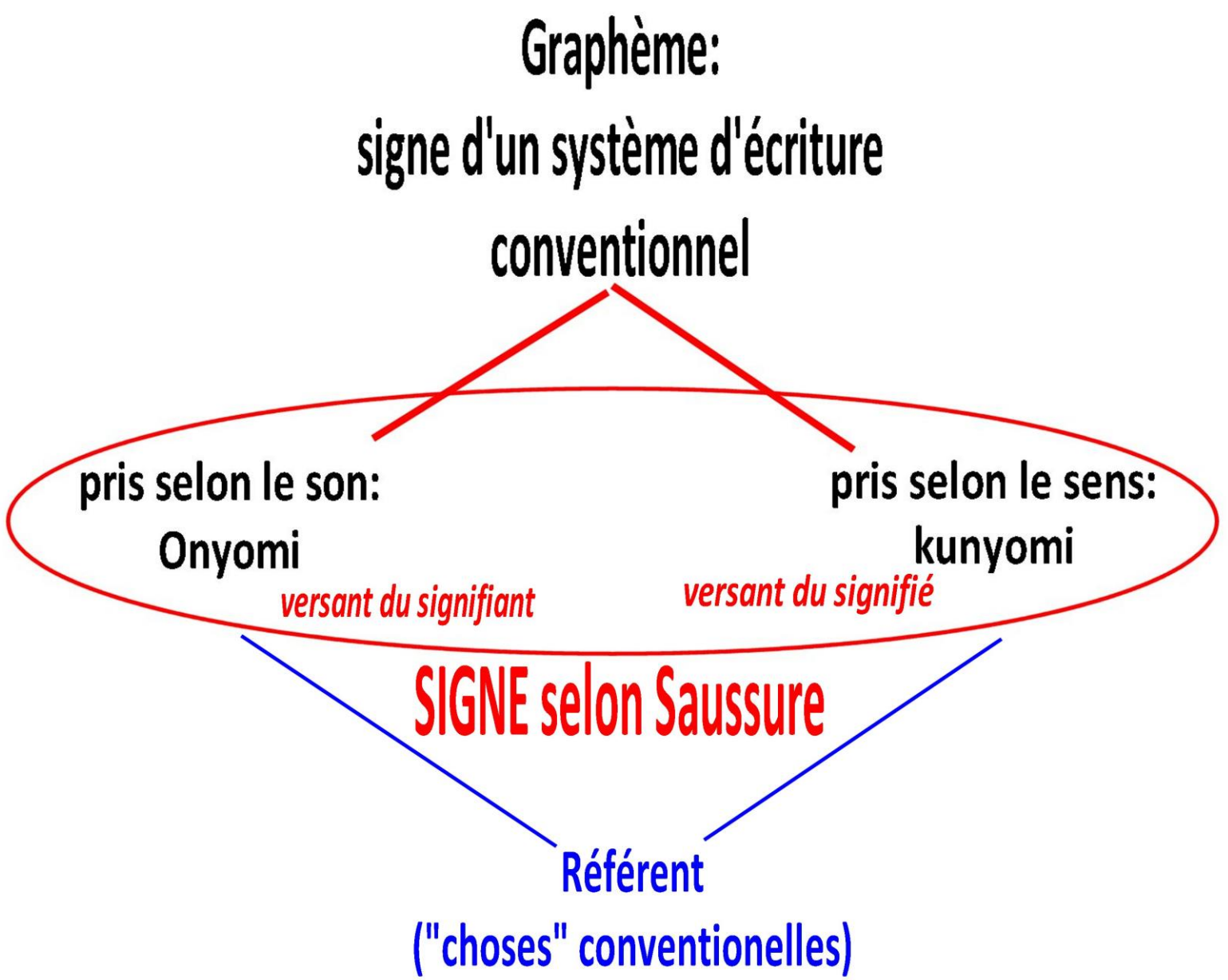

GT 2021 11 26

construction d'un système d'écriture

VACCIN À ARN

Les « vaccins à ARN » ne sont pas des « vaccins » au sens de Jenner. Un vaccin immunisant est stocké dans la mémoire de l'immunité cellulaire.

Ce n'est pas le cas des « vaccins » à ARN, qui introduisent dans la cellule un segment d'ARN messager étranger à la cellule, transformé en ARN de transfert dans le ribosome.

Ce « médicament » est donc un corps étranger à la cellule qui traduit ce message en protéines. Ce message ne provient pas du génome de la cellule, ne peut pas faire partie de l'ADN cellulaire, et ne peut pas faire partie de l'ADN du système immunitaire cellulaire.

Ce n'est pas parce qu'un médicament est injecté par une seringue qu'il est un vaccin de Jenner. Un vaccin de Jenner provoque la mise en branle de l'immunité cellulaire. Un médicament injecté ne le peut en aucune façon.

Il N'EXISTE PAS DE « VACCINATION PAR L'ARN ».

Contrairement à ce qu'on vous raconte, les prétendus « vaccins » contre le corona ne sont pas des vaccins.

On appelle vaccin ou plutôt vaccin immunisant un vaccin de Jenner, qui met en branle le système de l'immunité CELLULAIRE, et la mémorisation des antigènes par les cellules adéquates, constituant une protection à long terme contre les nouveaux pathogènes. C'est le cas du vaccin contre la grippe.

Les « vaccins » contre la corona sont des SÉRUMS ANTICORPS, ils miment plus ou moins bien les anticorps naturels et ne durent que quelques semaines dans l'organisme, puisqu'ils ne sont pas stockés dans la mémoire cellulaire immunitaire.

Ce qu'on vous oblige à absorber pour vous faire avaler la dictature Macron- Pfizer- von der Leyen, ce sont des anticorps de fabrication douteuse destinés à vous soumettre à la dictature Européiste, comme le traité de Lisbonne, refusé par le peuple français, et que Sarkozy lui a fait avaler par le cul alors que les Français l'avaient rejeté par referendum.

Demandez à notre ami O'Micron de vous aider à lutter pour vous permettre de rétablir le droit du peuple en France.

Liste de pays qui n'ont pas déclaré la guerre à l'Allemagne en 1939 :

Autriche

Suisse

Luxembourg

Liechtenstein

Vaduz

Andorre

Monaco

Islande

Corée

Irlande

Portugal

Espagne

Chine

Tibet

États-Unis d'Amérique.

Les servants de Cybèle s'habillent en femme, et se promènent en procession dans les rues de Rome, se mutilant, et pour couronner le tout, se castrant avec des pinces adaptées dont on a retrouvé un exemplaire. C'est une habitude de ce genre de vaporetti de vouloir castrer les femmes de leurs attributs, tant ils les détestent, puisqu'elles leur rappellent leur mère, qui les a déjà castrés dans leur enfance.

Il semble que beaucoup de sites d'image américains sont aux mains des vaporetti depuis quelques années.

U(1) without instantons

G. Veneziano

CERN, Geneva, Switzerland

Received 14 May 1979, Available online 25 October 2002.

Show less

+ Add to Mendeley Share Cite

https://doi.org/10.1016/0550-3213(79)90332-8

Get rights and content

Abstract

Witten's recent proposal that the U(1) problem might be solved in $1/N$ expanded QCD, is shown to be automatically consistent with expected θ dependences and anomalous Ward identities, if a (modified) Kogut-Susskind mechanism is used. Ward identities are algebraically saturated for large N. A sort of "partial conservation of the U(1) current" is found to hold for the "η" field.

VENT EN POUPE

Il y a deux ponts, le pont avant, ou proue, et le pont arrière ou poupe.

Mais que signifie le mot « poupe » ?

Il vient de l'anglais : poop roof.

Poop signifie « faire son gros caca ».

La poupe est l'endroit où l'on fait ce que la nature commande, tandis que le bateau avance.

Imaginez sinon, si vous faites le caca en proue…

GT

Selon une idée très répandue chez les débiles mentaux, le « Réchauffement climatique » serait dû ao CO2.

Foutaise !

J'ai montré que les variations de climat récentes sont dues à deux faits différents :

-La très faible excentricité de la Terre, = 0,016 ;

-la superposition de deux cycles solaires mise en évidence par Damon et Jirikowic vers 1990.

Concernant Vénus, une autre connerie court les rues dans les laboratoires de gens payés par l'ONU :

« Vénus serait cuite en raison d'un fait d'emballement (?) de l'effet de serre. »

Quand il s'agit de dire des conneries, ils sont toujours d'accord…

Il SUFFIT de comparer les paramètres des deux orbites de la Terre et de Vénus pour voir d'où vient le problème :

-L'excentricité de Vénus est égale à 0,006, l'orbite de Vénus est presque circulaire.

-Le périhélie de Vénus est à 107,5 millions de km du Soleil ; (mais il pourrait s'agir d'une erreur !)

-celui de la Terre est à 147 millions de km.

Autrement dit, Vénus est cuite au four depuis un bon nombre de millions d'années, et cela n'a RIEN A VOIR avec un effet de serre.

Gérôme Taillandier 2024 3 22

Various portraits ofVercingetorix
prisoner in Rome.
OK! Gaulish people!
Time to wake up, now!

GT 2017

LE COMPORTEMENT DE VOTRE MÂLE VOUS ÉNERVE ?

AVEZ-VOUS ENVISAGÉ LA STÉRILISATION?

Consultez vite votre vétérinaire

VITVET

Le 16 Août 2022,Arkht-Ourgos, le phallus de Lugh, s'est séparé par précession du colure Omega.La date de passage de la saison claire à la saison sombre s'est avancée dans l'année, tandis que les Larmes de Saint Laurent, date d'assomption de la Vierge Astraea, ne bougent pas: les pluies de météorites ne sont pas soumises à la précession! Je vous laisse le plaisir ce chercher pourquoi. GT
Le Serpentaire, ancienne position du dieu précurseur de Lugh le Cornu, est maintenant déplacée en Bouvier, du fait de la précession. Graham Millar est le premier à avoir compris ces faits. GT
Hercule
Couronne boréale
Serpentaire
Serpent
Bouvier
NO
Arcturus
Chevelure de Bérénice
Petit Lion
Lynx
Balance
Vierge
Lion
Soleil
Regulus
Mercure
Spica
Date et heure
2022 – 8 – 16

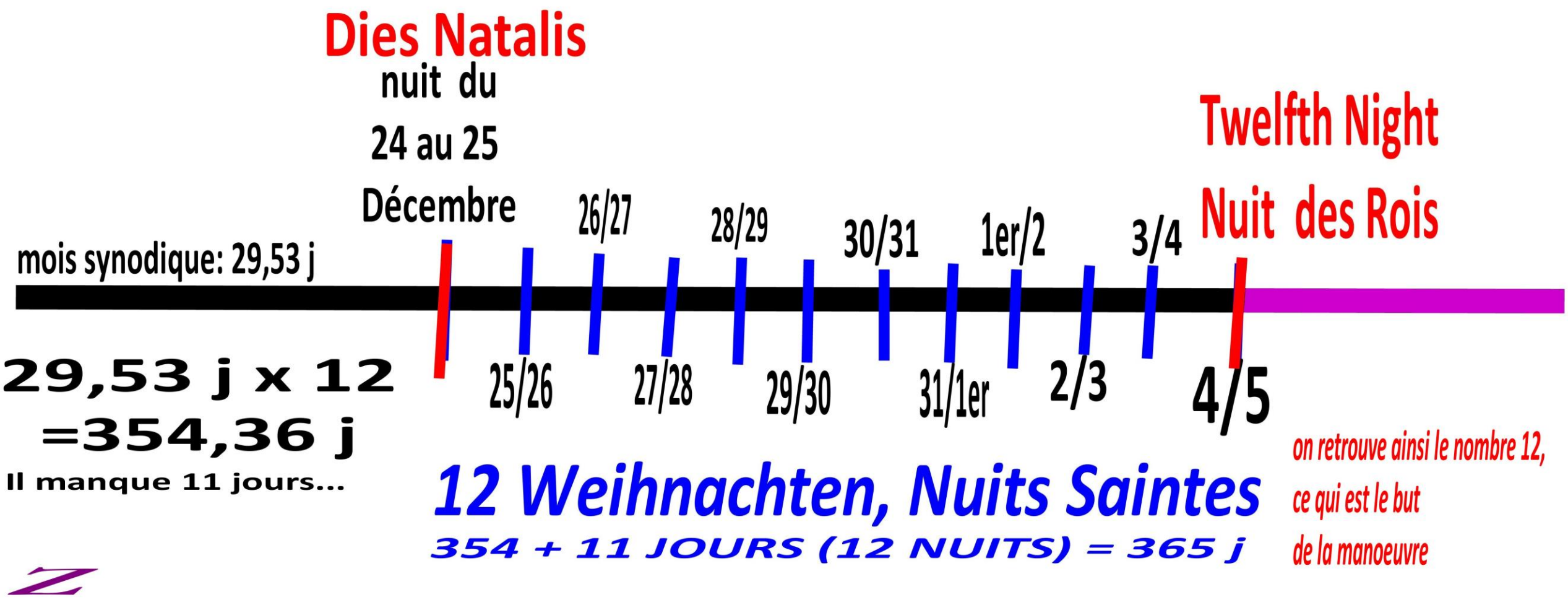
Dies Natalis
nuit du
24 au 25
Décembre
Twelfth Night
Nuit des Rois
mois synodique: 29,53 j
25/26
26/27
27/28
28/29
29/30
30/31
31/1er
1er/2
2/3
3/4
4/5
29,53 j x 12
=354,36 j
Il manque 11 jours...
12 Weihnachten, Nuits Saintes
354 + 11 JOURS (12 NUITS) = 365 j
on retrouve ainsi le nombre 12,
ce qui est le but
de la manoeuvre

The U(1) problem

Steven Weinberg
Phys. Rev. D **11**, 3583 – Published 15 June 1975

ABSTRACT

A detailed analysis of the problems associated with the conserved U(1) axial-vector current in quark-gluon models is presented. It is shown that such models involve a light isoscalar pseudoscalar boson, with a mass less than $\sqrt{3}m_\pi$. The existence of this boson would produce a strong off-shell variation in the $\eta \to 3\pi$ matrix element, thus invalidating the usual conclusions about the rate and energy dependence of this decay. Following Kogut and Susskind, it is proposed that the light Goldstone boson is actually a dipole, with positive- and negative-metric parts, which cancel in matrix elements of gluon-gauge-invariant operators but not in operators such as the U(1) current. It is shown that the masses of the observable pseudoscalar bosons and the η decay rate are then just as they would be in a theory without the U(1) symmetry, and in fair agreement with experiment. The application of current algebra to theories with charmed quarks is briefly discussed.

Received 10 March 1975

DOI: https://doi.org/10.1103/PhysRevD.11.3583

©1975 American Physical Society

Weinberg angle

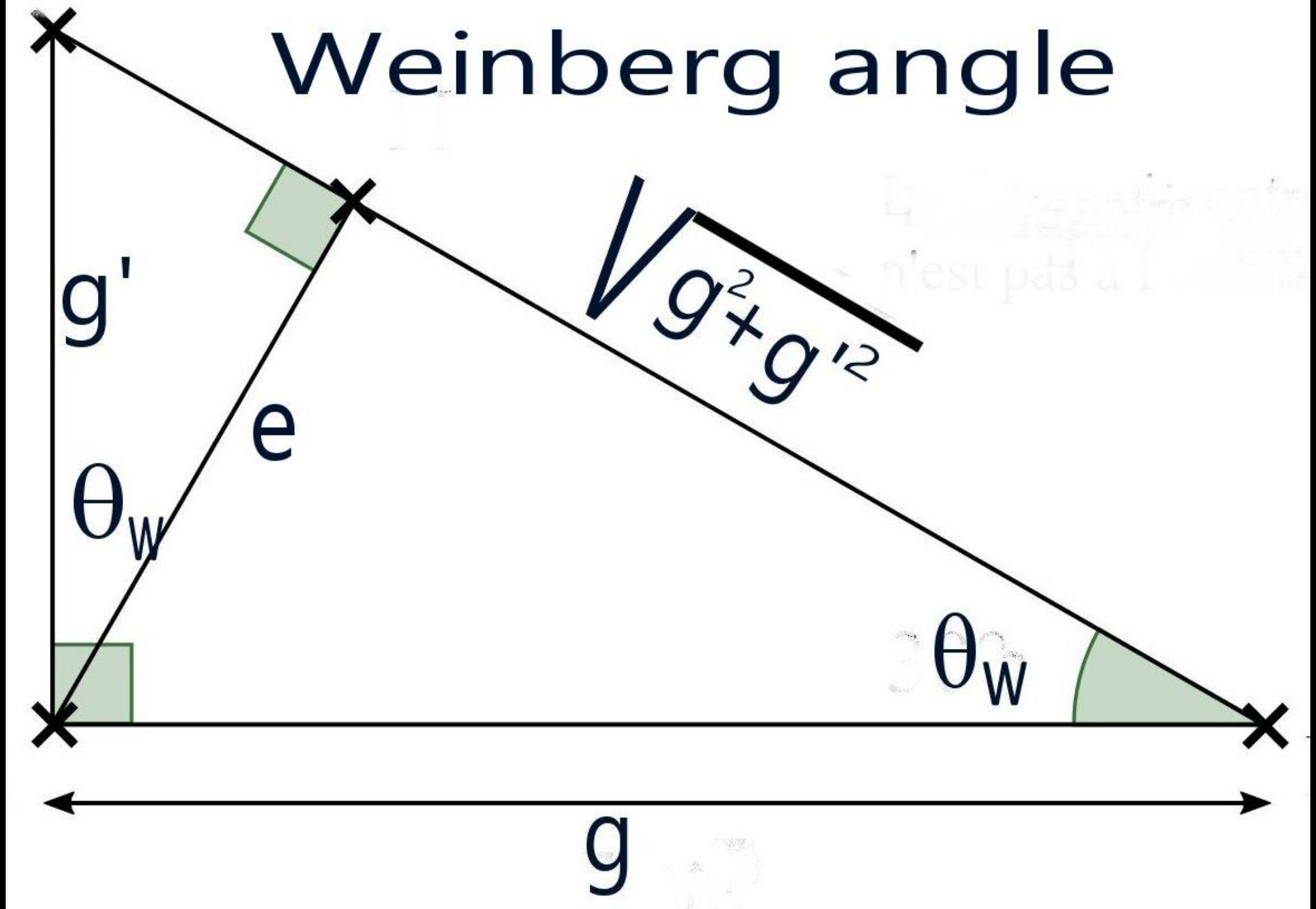

N°5
WERTHEIMER
PARIS
made by Coco

Gérôme Taillandier a ajouté 2 photos.
À l'instant ·

Je ne sais pas si Facebook va pouvoir supporter sans crise cardique ou sans mon expulsion la rélvélation suivante: la tombe d'Oscar Wilde au Père Lachaise avait un sexe! Mais ce sexe a été cassé par deux anglaises, incontinent, en sorte que la statue de Wilde était devenue très --sobre. Les admirateurs de l'amour, hommes et femmes, ont donc décidé de faire de cette tombe un lieu d'expression magique de l'amour en laissant des marques de baiser au rouge à lèvre sur cette tombe.
Bonne idée, surtout dans un cimetière, qui est vraiment l'endroit rêvé pour exprimer l'amour!
Des âmes bienveillantes se sont --incontinent-- penchées sur ce douloureux problème de respect dû au mort, qui mourut au dessus de ses moyens dans un hôtel bien connu, et entourèrent sa tombe d'une vitre blindée et d'un châssis de même nature afin d'empêcher la manifestation des sentiments des passants de tous les sexes.
La France semble de plus en plus vouloir ressembler à l'Arabie Saoudite.
Par contre, qu'une jeune femme se fasse insulter sur les marches de l'hôtel de ville de Paris par un type qui lui propose de baiser sa mère, cela ne semble pas gêner outre mesure la sécurité.
Pour l'instant, Victor Noir a échappé au pire!
Je vous livre les photos concernées, nous allons voir si Facebook explose dans la minute!
GT

Geometrical interpretation of the Wess–Zumino term

If e_a are the basis vectors for the Lie algebra, then $\mathcal{K}(e_a, [e_b, e_c])$ are the structure constants of the Lie algebra. The structure constants are completely anti-symmetric, and thus they define a 3-form on the group manifold of G. Thus, the integrand above is just the pullback of the harmonic 3-form to the ball $\mathbf{B}^3$. Denoting the harmonic 3-form by c and the pullback by γ^*, one then has

$$S^{\mathrm{WZ}}(\gamma) = \int_{\mathbf{B}^3} \gamma^* c.$$

This form leads directly to a topological analysis of the WZ term.

Geometrically, this term describes the torsion of the respective manifold.[7] The presence of this torsion compels teleparallelism of the manifold, and thus trivialization of the torsionful curvature tensor; and hence arrest of the renormalization flow, an infrared fixed point of the renormalization group, a phenomenon termed **geometrostasis**.

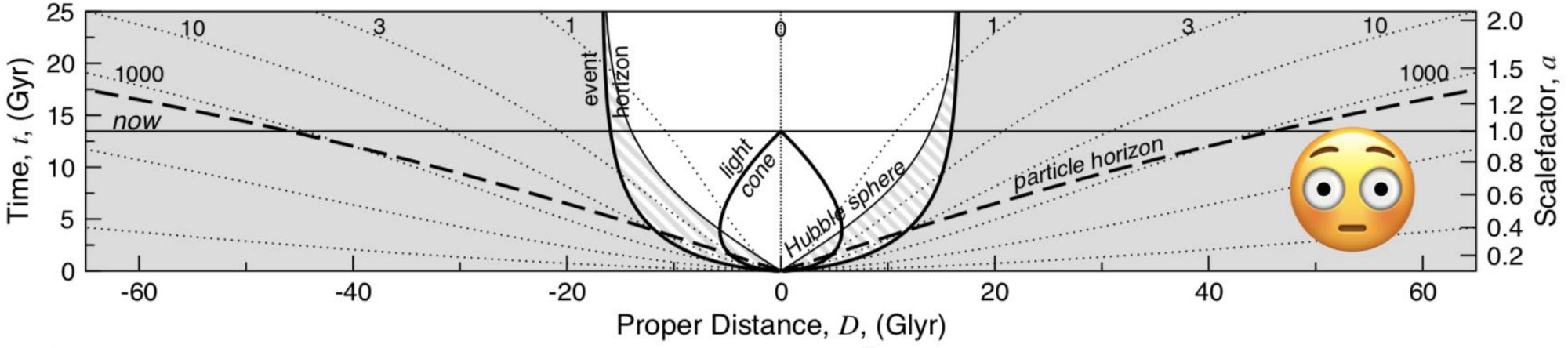
Time, t, (Gyr)
Proper Distance, D, (Glyr)
Scalefactor, a
now
event horizon
light cone
Hubble sphere
particle horizon
10
3
1
0
1000

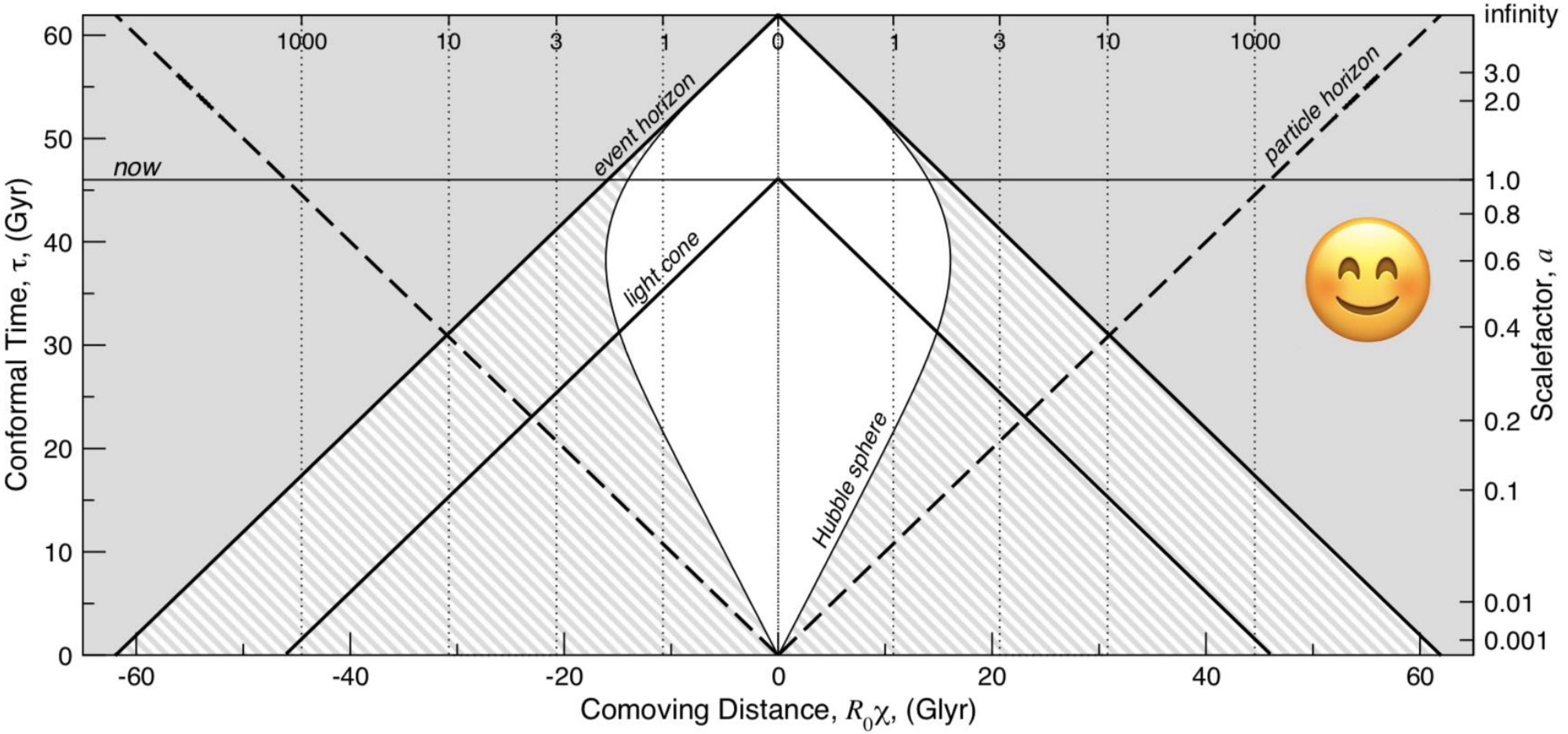
Conformal Time, τ, (Gyr)
Comoving Distance, $R_0\chi$, (Glyr)
Scalefactor, a
now
event horizon
particle horizon
light cone
Hubble sphere
infinity
1000
10
3
1
0